

SOMMAIRE

1. Travail de la peau.....	2
1.1. Perforation par rotation alternative de peaux fraîches	2
1.2. Perforation par percussion posée indirecte de peaux fraîches	7
1.3. Perforation par rotation alternative de peaux fraîches et ocrées	12
1.4. Perforation par percussion posée indirecte de peaux fraîches et ocrées	12
1.5. Écharnage par percussion posée directe de peaux fraîches	14
1.6. Écharnage par percussion lancée de peaux fraîches	20
1.7. Écharnage par percussion posée directe de peaux fraîches ocrées	23
1.8. Perforation par rotation alternative de peaux sèches	25
1.9. Perforation par percussion posée indirecte de peaux sèches.....	25
1.10. Écharnage par percussion posée directe de peaux sèches.....	28
1.11. Assouplissement par percussion posée directe de peaux reverdies	28
1.12. Perforation par rotation alternative de peaux tannées	31
1.13. Perforation par percussion posée indirecte de peaux tannées	35
1.14. Couture sur peaux tannées	38
2. Travail de l'os.....	43
2.1. Perforation par rotation alternative d'un os sec	43
3. Travail du bois végétal.....	45
3.1. Fendage par percussion indirecte de feuillus verts	44
3.2. Entaillage par percussion indirecte de feuillus verts	47
3.3. Fendage par percussion indirecte de feuillus secs..	50
3.4. Entaillage par percussion indirecte de feuillus secs	52
3.5. Fendage par percussion indirecte de conifères secs	55
4. Travail de l'écorce.....	59
4.1. Écorçage par percussion posée directe de feuillus verts	59
4.2. Perforation par rotation alternative d'écorce humide de chêne	59
4.3. Perforation par percussion indirecte d'écorce humide de chêne	65
4.4. Perforation par rotation alternative d'écorce sèche de chêne.....	68
4.5. Perforation par percussion indirecte d'écorce sèche de chêne	72
5. Travail du lin.....	75
5.1. Tissage	75
5.2. Couture	78
6. Travail du carex et de la paille de seigle.....	82
7. Travail des cannes.....	85
7.1 Fendage de cannes vertes par sciage.....	85
7.2. Fendage de cannes sèches par percussion posée indirecte.....	85
8. Travail de l'argile	88
9. Synthèse.....	90
9.1. Les outils utilisés par rotation alternative	90
9.2. Les outils utilisés par percussion indirecte	92
9.3. Les outils utilisés par percussion posée directe et par percussion lancée.....	96
9.4. Les outils utilisés par poussée longitudinale	96
Liste des figures.....	99
Abréviation annexes	101
Annexe – Référentiel expérimental	102
Annexe – Kh-KhP Corpus général	105
Annexe – Kh-KhP Données techniques.....	172
Annexe – Kh-KhP Données fonctionnelles	205
Annexe – Kh Données spatiales	214
Annexe – CAK Corpus général	247
Annexe – CAK Données techniques.....	252

Les résultats de l'analyse fonctionnelle sur le matériel expérimental sont présentés par matière travaillée, mode d'action et durée d'utilisation. La plupart des outils expérimentaux a été fabriquée au fur et à mesure des besoins de l'expérimentation. Un examen tracéologique avant leur utilisation n'a pas toujours pu être préalablement conduit. Toutefois, lorsque celui-ci a été réalisé, la morphologie des apex avant et après l'utilisation de l'outil, a été comparée afin de mieux appréhender la formation de l'usure.

1. TRAVAIL DE LA PEAU

1.1. Perforation par rotation alternative de peaux fraîches

Cinq pointes (P10b, P12, P17, P19, P24) ont été utilisées pour perforer des peaux fraîches de cerf, de mouton et de vache. La durée d'utilisation varie de 10 à 85 minutes. Les usures présentées ci-dessous sont relatives à la perforation par rotation alternative de peaux fraîches de cerf.

Durée d'utilisation : 10 minutes (P12-P17)

L'usure est localisée sur l'ensemble de la pointe mais affecte particulièrement l'apex (fig. 1-1). Son étendue est marginale et son développement est dégressif. Deux zones d'usure ont été identifiées. La première a été repérée sur une longueur de 1,5 mm ; le degré d'effacement des traces de fabrication y est modéré (fig. 1-2). La zone d'usure 2, qui mesure environ 2 mm, présente un degré d'effacement des traces de fabrication faible (fig. 1-5). La limite de cette seconde zone n'a pu être précisément délimitée.

Zone d'usure 1 :

Les altérations du volume : À 32x, l'apex présente des enlèvements successifs, profonds et émoussés qui se répartissent principalement sur le bord gauche (fig. 1-2). Sa morphologie initiale est totalement modifiée (stade d'usure 3).

Les altérations de surfaces : À 32x, seul le relief est affecté par l'usure. Quelques stries d'utilisation pluridirectionnelles, longues, droites et entrecroisées sont

observées (fig. 1-2). À 100x, la topographie de la surface usée est irrégulière (fig. 1-3). À 200x, le microrelief est homogène (fig. 1-4). Les élévations sont vernies, d'aspect le plus souvent bombé mais aussi plat et de texture grenue. À ce grossissement, les stries apparaissent plus nombreuses que lors de l'examen macroscopique. Elles sont majoritairement larges – entre 3 et 5 μm – profondes, continues ou discontinues. Leurs bords sont émoussés et leur fond est rugueux ou partiellement lisse. De nombreux cratères et microtrous sont également observés. Les cratères sont circulaires, d'un diamètre de 10 à 13 μm , leurs bords sont émoussés et leur fond est rugueux ou partiellement lisse.

Zone d'usure 2 :

Les altérations du volume : Les arêtes de la pointe présentent un émoussé modéré.

Les altérations de surfaces : À 32x, seul le relief reste affecté par l'usure mais il est moins réfléchissant que dans la zone d'usure 1 (fig. 1-5). Les stries et dépressions non linéaires n'ont pu être observées à ce grossissement. À 100x, la topographie observée est proche de la topographie d'origine (fig. 1-6). Elle est structurée par les stries longitudinales de façonnage. À 200x, le microrelief est homogène (fig. 1-7). L'aspect, la texture et la brillance des élévations ne changent pas d'une zone à l'autre. Les stries d'utilisation qui apparaissent à ce grossissement, sont nombreuses et pluridirectionnelles. Si on les compare à celles observées dans la zone d'usure 1, on remarque qu'elles sont plus larges – entre 5 et 10 μm – et plus profondes. Leurs bords restent émoussés mais leur fond est moins lisse. Les cratères et les microtrous sont nombreux. Le diamètre des cratères ne varie pas par rapport à la zone 1, de même que l'aspect de leurs bords et leur de fond.

D'une zone à l'autre, l'usure est, à l'échelle macro- et microscopique, relativement similaire et homogène. Aucune trace de manipulation n'a été observée sur la partie mésiale de l'outil.

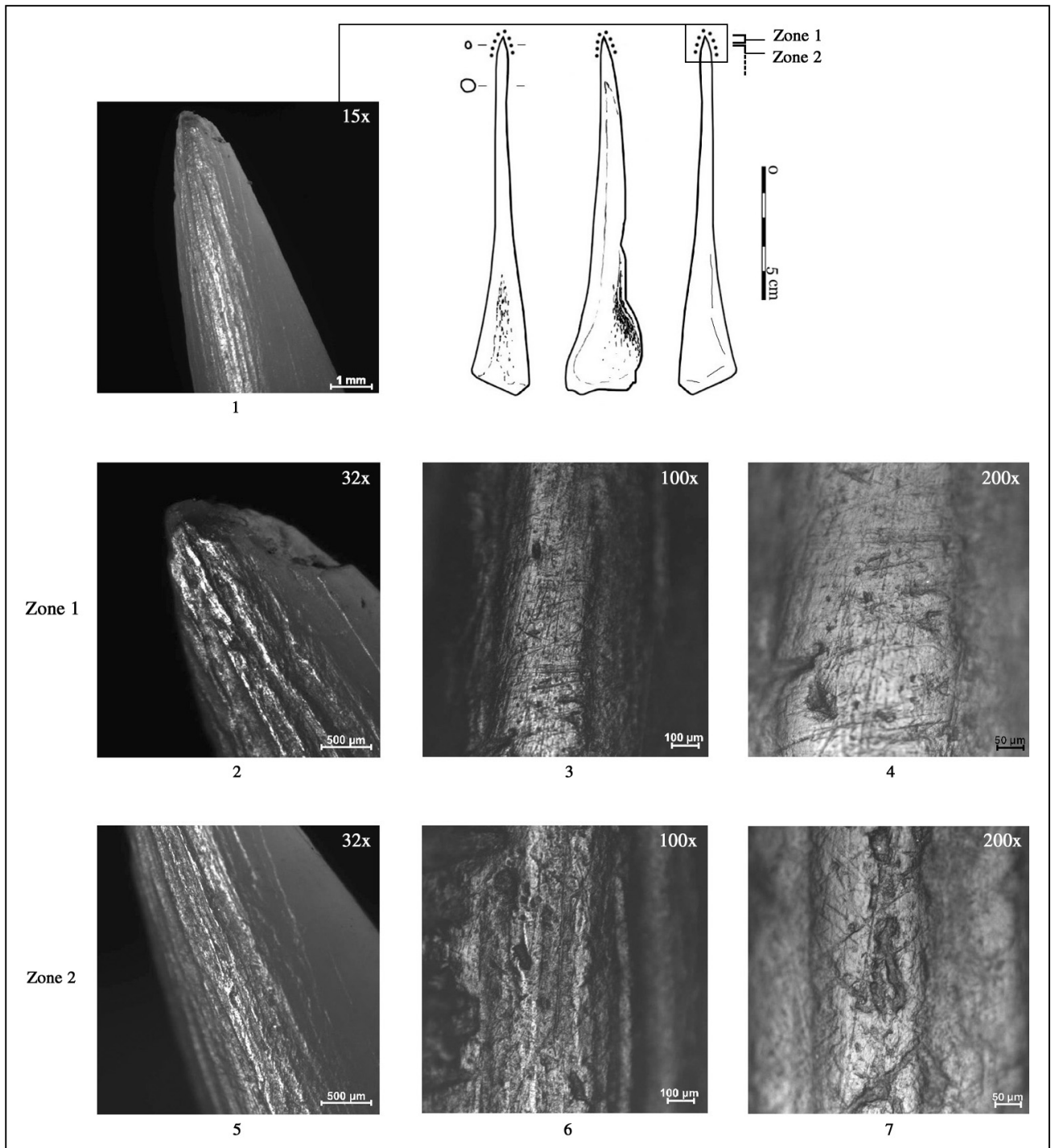


Fig. 1 : Perforation par rotation alternative d'une peau fraîche de cerf pendant 10 minutes (n° d'inventaire P17) (clichés A. Legrand).

Durée d'utilisation : 35 minutes (P24)

L'usure est localisée sur l'ensemble de la pointe (fig. 2-1). Son étendue est marginale et son développement, dégressif. Trois zones d'usure ont été reconnues. La zone d'usure 1 mesure 1 mm. Le degré d'effacement des traces de fabrication y est important (fig. 2-2). La zone d'usure 2 mesure 2 mm. Le degré d'effacement des traces de fabrication y est modéré (fig. 2-5). Enfin, la zone d'usure 3 présente un degré d'effacement des traces de fabrication faible (fig. 2-8). Sa limite n'a pu être précisément définie.

Zone d'usure 1 :

Les altérations du volume : un écrasement prononcé accompagné d'un émousé important affecte l'apex (fig. 2-2). La déformation de l'extrémité active est très avancée (stade d'usure 3).

Les altérations de surfaces : À 32x, les stries d'utilisation sont à peine visibles. À 100x, la topographie est irrégulière (fig. 2-3). À 200x, le microrelief est homogène (fig. 2-4). Les élévations sont vernies, d'un aspect bombé et d'une texture grenue. Les stries d'utilisation restent peu développées à ce grossissement. Elles sont localisées sur les élévations mais affectent également le fond des dépressions les plus émoussées. Elles sont pluridirectionnelles, courtes, fines et superficielles et associées à de fréquents microtrous.

Zone d'usure 2 :

Les altérations du volume : Les arêtes de la pointe présentent un émousé modéré (fig. 2-5).

Les altérations de surfaces : Quelques stries entrecroisées sont observées sur le relief (32x). À 100x, la topographie est irrégulière (fig. 2-6). À 200x, le microrelief est homogène (fig. 2-7). L'aspect des élévations, leur texture ainsi que leur brillance sont similaires à ce qui a été observé dans la zone d'usure 1. Les stries d'utilisation sont nettement visibles à ce grossissement. Elles apparaissent majoritairement transversales, longues, droites, larges (environ 3 µm), profondes et parallèles entre elles. Elles sont continues, partiellement lisses et présentent des bords émoussés. Les microtrous restent présents.

Zone d'usure 3 :

Les altérations du volume : L'émousé des arêtes est faible.

Les altérations de surfaces : À 32x, seul le relief est affecté par l'usure (fig. 2-8). À 100x, on observe que les stries profondes de façonnage sont encore bien marquées ce qui indique que la topographie d'origine n'a pas été complètement transformée par l'usure (fig. 2-9). À 200x, le microrelief est irrégulier (fig. 2-10). L'aspect des élévations et leur texture restent inchangés, en revanche, la brillance est atténuée. Au côté des stries d'utilisation transversales, des stries longitudinales apparaissent. Les microtrous restent fréquents.

Comme dans le cas précédent, l'usure est similaire d'une zone à l'autre.

Durée d'utilisation : 85 minutes (P10b)

L'usure est localisée sur l'ensemble de la pointe (fig. 3-1). Son étendue est envahissante et son développement est dégressif en trois zones d'usure. La zone d'usure 1 mesure 8 mm (fig. 3-2), la zone d'usure 2, 7 mm (fig. 3-5) et la zone d'usure 3 mesure 10 mm (fig. 3-8).

Zone d'usure 1 :

Les altérations du volume : À 15x puis à 32x, l'apex est marqué par un émousé modéré, associé à des écaillures (fig. 3-2). La morphologie du contour initial de l'apex est modifiée (stade d'usure 2).

Les altérations de surfaces : À 32x puis à 64x, on observe quelques cratères et de nombreuses stries d'utilisation pluridirectionnelles, longues, droites ou courbes, parallèles entre elles ou entrecroisées et couvrantes. La topographie est irrégulière (fig. 3-3). Le microrelief est régulier (fig. 3-4). La surface est striée et vernie. Les stries d'utilisation sont larges (environ 3 µm), profondes, continues et rugueuses. Leurs bords sont émoussés. On observe également des stries courtes, plus fines et superficielles. Les cratères, d'un diamètre d'environ 11 µm, sont circulaires. Leurs bords sont émoussés et leur fond rugueux. Notons également la présence de nombreux microtrous.

Zone d'usure 2 :

Les altérations du volume : À 32x, les arêtes de la pointe sont modérément émoussées.

Les altérations de surfaces : À 32x, les stries d'utilisation restent nombreuses (fig. 3-5). Elles sont longitudinales, longues, droites et parallèles entre elles. Les cratères sont moins fréquents que dans la zone 1. À 100x, la topographie est irrégulière (fig. 3-6). Le microrelief est homogène (fig. 3-7). Les élévations sont brillantes, d'aspect bombé et de texture grenue. Les stries d'utilisation sont plus ordonnées et homogènes. Elles sont localisées sur les élévations mais affectent également le fond des stries de façonnage les plus émoussées. Elles sont larges (entre 1 et 2 µm), profondes ou superficielles, droites, continues et rugueuses.

Zone d'usure 3 :

Les altérations du volume : Les arêtes de la pointe sont faiblement émoussées.

Les altérations de surfaces : Localisées sur les élévations, les stries d'utilisation longitudinales restent nombreuses (32x) (fig. 3-8). La topographie est proche de la topographie d'origine (fig. 3-9). Le microrelief reste homogène (fig. 3-10). Les stries d'utilisation sont similaires à celles observées dans la zone 2. Les dépressions non linéaires sont de nouveau plus fréquentes. Il s'agit principalement de microtrous.

Dans ce cas, on note que l'usure qui caractérise la zone d'usure 1 diffère de celles observée sur les zones suivantes. C'est au niveau de la morphométrie des stries d'utilisation que les différences sont les plus marquées.

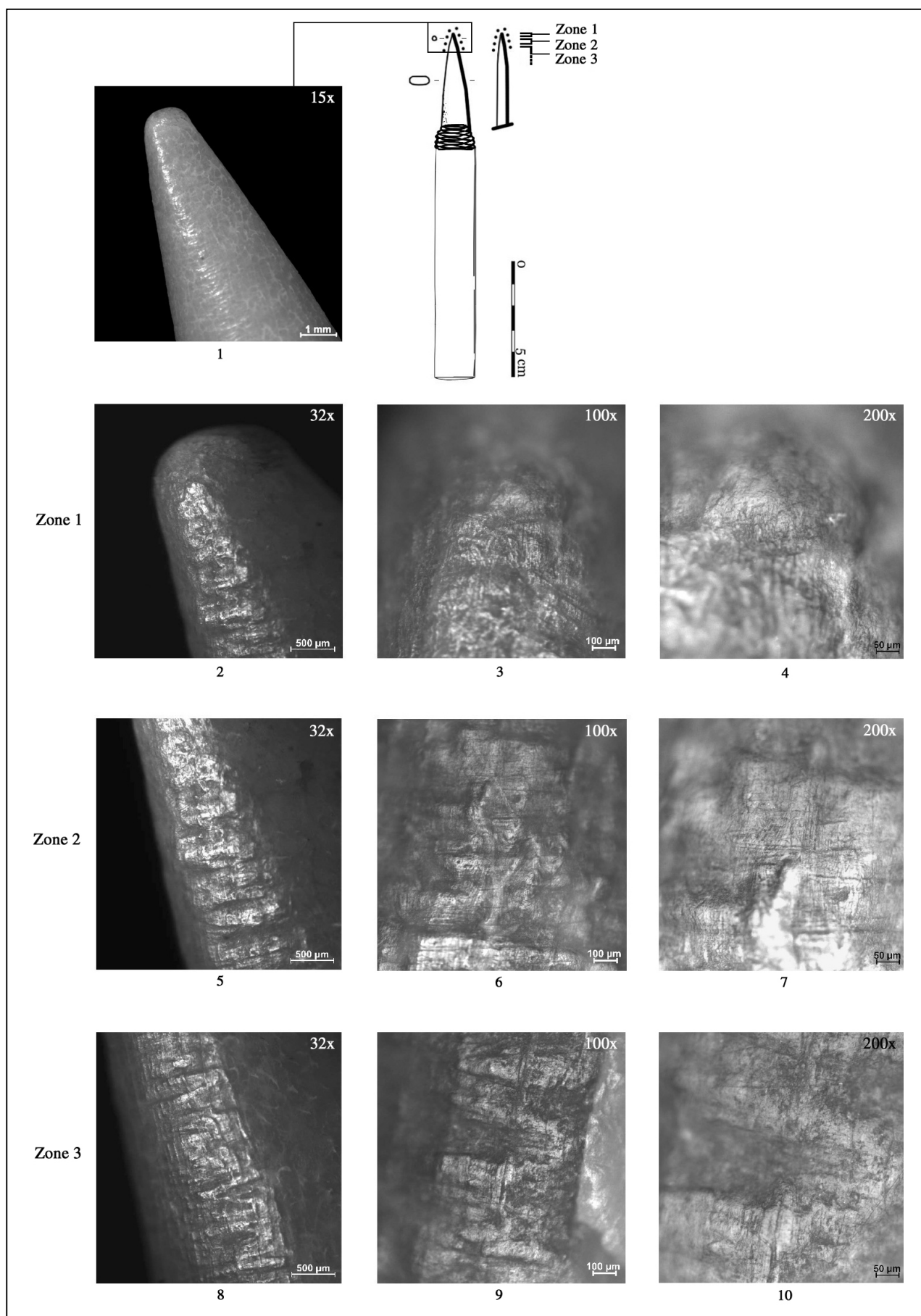


Fig. 2 : Perforation par rotation alternative d'une peau fraîche de cerf pendant 35 minutes (n° d'inventaire P24) (clichés A. Legrand).

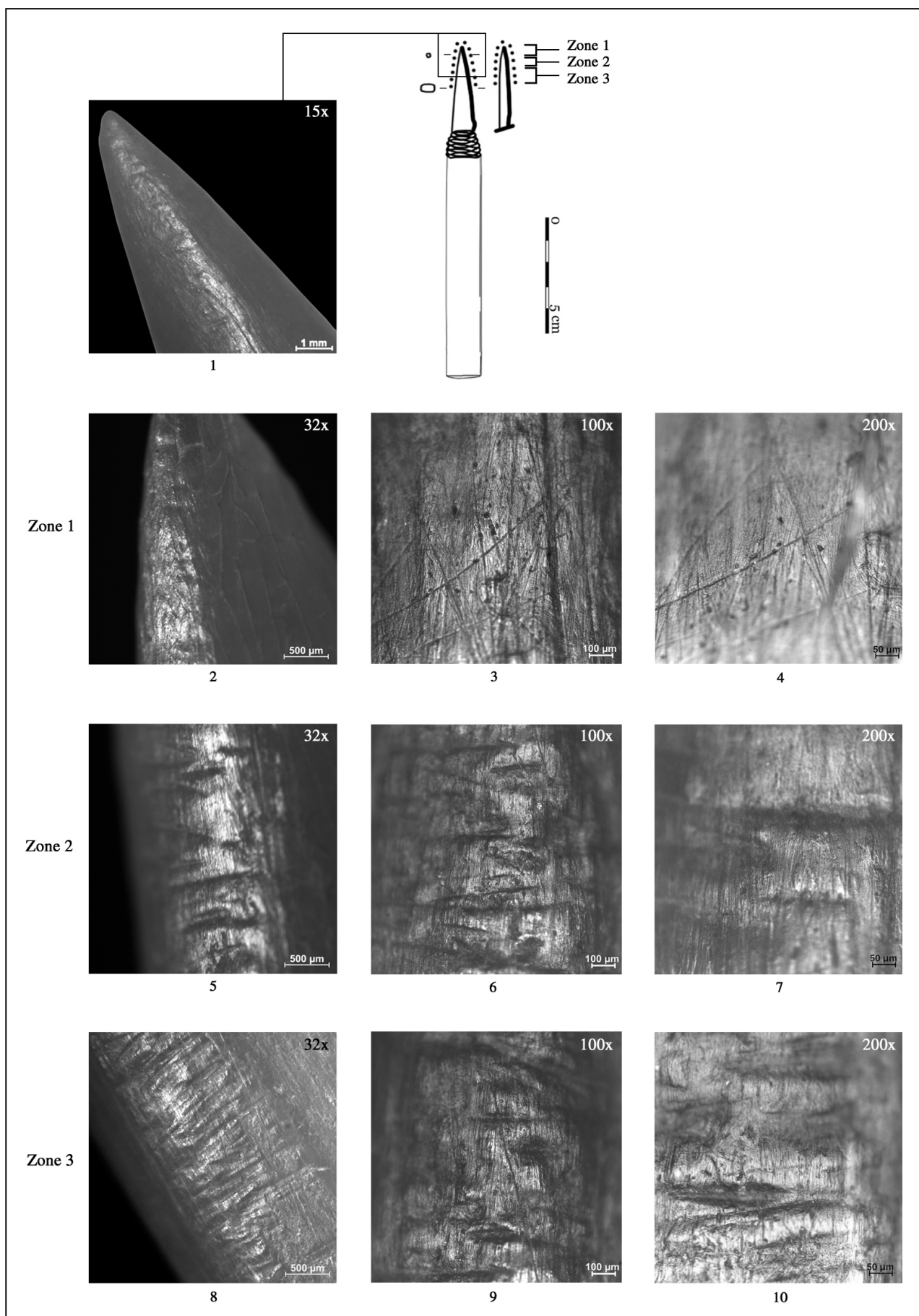


Fig. 3 : Perforation par rotation alternative d'une peau fraîche de cerf pendant 85 minutes (n° d'inventaire P10b) (clichés A. Legrand).

Caractéristiques de l'usure : Perforation par rotation alternative de peaux fraîches

- Plus le temps d'utilisation est long, plus l'étendue de l'usure est envahissante et plus les zones d'usure se multiplient.
- Les altérations du volume de la pointe consistent en un émoussé associé à des éclats ou à un écrasement.
- Lorsque le temps d'utilisation est bref, les stries d'utilisation et les dépressions non linéaires sont rarement visibles à faible grossissement. En revanche, lorsque le temps d'utilisation est plus long, elles apparaissent nettement à cette échelle. On peut alors supposer que leur développement est progressif.
- La topographie est irrégulière quel que soit le temps d'utilisation.
- Le microrelief tend à se régulariser au fur et à mesure de l'utilisation de l'outil. Lorsque le microrelief est homogène, les élévations sont vernies et présentent un aspect plutôt bombé et une texture grenue.
- À l'échelle microscopique, les stries d'utilisation affectent autant les élévations que le fond des dépressions les plus émoussées. Elles sont pluridirectionnelles, longues, courtes, droites ou courbes, larges ou fines, continues ou discontinues, rugueuses ou partiellement lisses. Plus le temps d'utilisation est long et plus leur morphométrie est variée. On remarque par ailleurs que les stries sont plus larges au fur et à mesure que l'on s'éloigne de la zone d'usure 1.
- Le nombre de cratères circulaires et rugueux est variable tandis que le nombre de microtrous augmente progressivement avec la durée d'utilisation.

1.2. Perforation par percussion posée indirecte de peaux fraîches

Sept pointes (3b, P1, P4, P6, P11, P13, P14) ont été utilisées pour perforer des peaux de mouton et de vache. Le temps d'utilisation varie de 10 à 70 minutes. Les descriptions qui suivent ne concernent que le travail des peaux de vache puisque ce sont essentiellement sur ces peaux que la percussion posée indirecte a été testée.

Durée d'utilisation : 10 minutes (P11-P14-P13)

L'usure est localisée sur l'ensemble de la pointe (fig. 4-1). Son étendue est marginale et son développement est homogène avec une seule zone d'usure observée sur une longueur de 4 mm. Le degré d'effacement des traces de fabrication y est faible.

Zone d'usure 1 :

Les altérations du volume : L'apex est totalement déformé par un enlèvement important (stade d'usure 3).

Les altérations de surfaces : À 32x, seul le relief est affecté par l'usure. À 100x, on observe la topographie d'origine (fig. 4-3). À 200x, le microrelief est irrégulier (fig. 4-4). Les élévations sont brillantes, d'aspect bombé et de texture grenue. À ce grossissement, des stries d'utilisation longitudinales apparaissent mais restent difficilement observables.

Aucune trace de manipulation n'a été observée sur la partie proximale de l'outil. L'épiphyse proximale du métapode qui a servi de base à l'outil est légèrement écrasée (stade d'usure 1).

Durée d'utilisation : 30 minutes (P1)

L'usure est localisée sur l'ensemble de la pointe (fig. 5-1). Son étendue est modérée et son développement est dégressif en 3 zones d'usure. La première mesure 5 mm, la seconde zone, 4 mm et la dernière zone d'usure mesure 3 mm.

Zone d'usure 1 :

Les altérations du volume : À 15x, l'apex et les arêtes de la pointe sont faiblement émoussés (stade d'usure 1).

Les altérations de surfaces : À 32x, quelques cratères et de nombreuses stries d'utilisation longitudinales ou obliques, longues et entrecroisées, sont observés (fig. 5-2). À 100x, la topographie est irrégulière (fig. 5-3). Le microrelief est régulier. La surface est de texture grenue, vernie et entrecoupée par des stries d'utilisation larges – entre 2 µm et 6 µm – profondes et continues (fig. 5-4). Les cratères sont circulaires, d'un diamètre compris entre 7 µm et 17 µm. Toutes ces dépressions présentent des bords émoussés et un fond partiellement lisse.

Zone d'usure 2 :

Les altérations du volume : L'émoussé des arêtes de la pointe est faible à modéré.

Les altérations de surfaces : À 32x, on observe des stries d'utilisation longitudinales (fig. 5-5). La topographie est irrégulière (fig. 5-6). Le microrelief est homogène (fig. 5-7). L'aspect, la texture et la brillance des élévations sont similaires à ce qui a été observé dans la zone 1. Les stries d'utilisation sont larges, profondes et continues. Leurs bords sont émoussés et leur fond est partiellement ou totalement lisse. Les cratères sont nombreux. Leur diamètre est d'environ 6 µm. Leurs bords paraissent moins émoussés que ceux observés dans la zone 1 et leur fond est plus rugueux.

Zone d'usure 3 :

Les altérations du volume : Les arêtes de la pointe sont faiblement émoussées.

Les altérations de surfaces : À 32x, les stries d'utilisation ont quasiment disparu (fig. 5-8). À 100x, on observe la topographie d'origine très légèrement transformée par l'usure (fig. 5-9). À 200x, le microrelief devient irrégulier. Les stries et les dépressions non linéaires sont similaires à celles observées dans la zone 2 (fig. 5-10).

L'usure est relativement homogène d'une zone à l'autre même si elle est bien plus développée sur la zone 1. Aucune trace de manipulation n'a pu être identifiée. L'épiphyse distale du métapode utilisée comme plan de frappe, est légèrement écrasée et émoussée. La déformation observée sur la surface proximale de l'outil correspond à un stade d'usure 1.

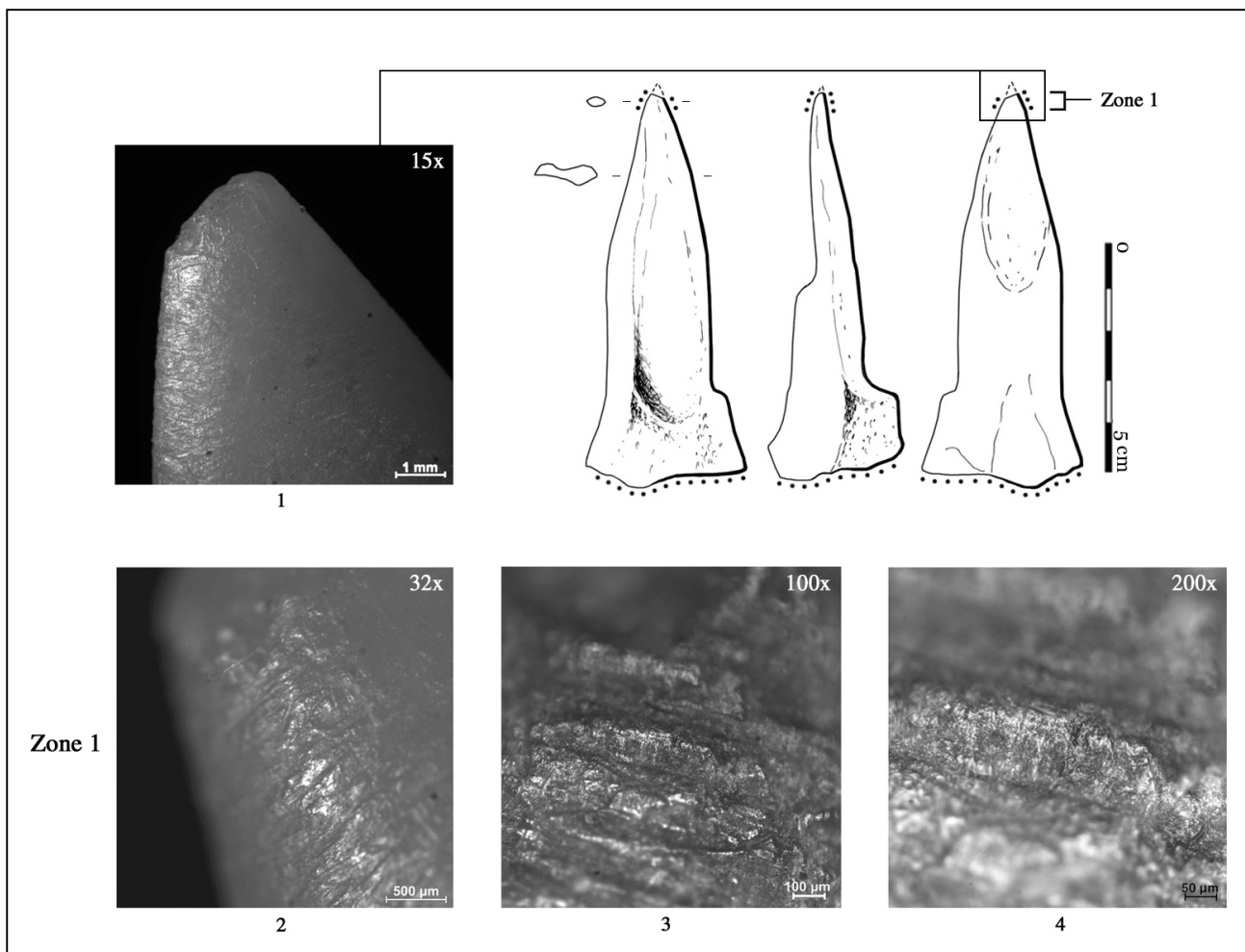


Fig. 4 : Perforation par percussion posée indirecte d'une peau fraîche de vache pendant 10 minutes (n° d'inventaire P13) (clichés A. Legrand).

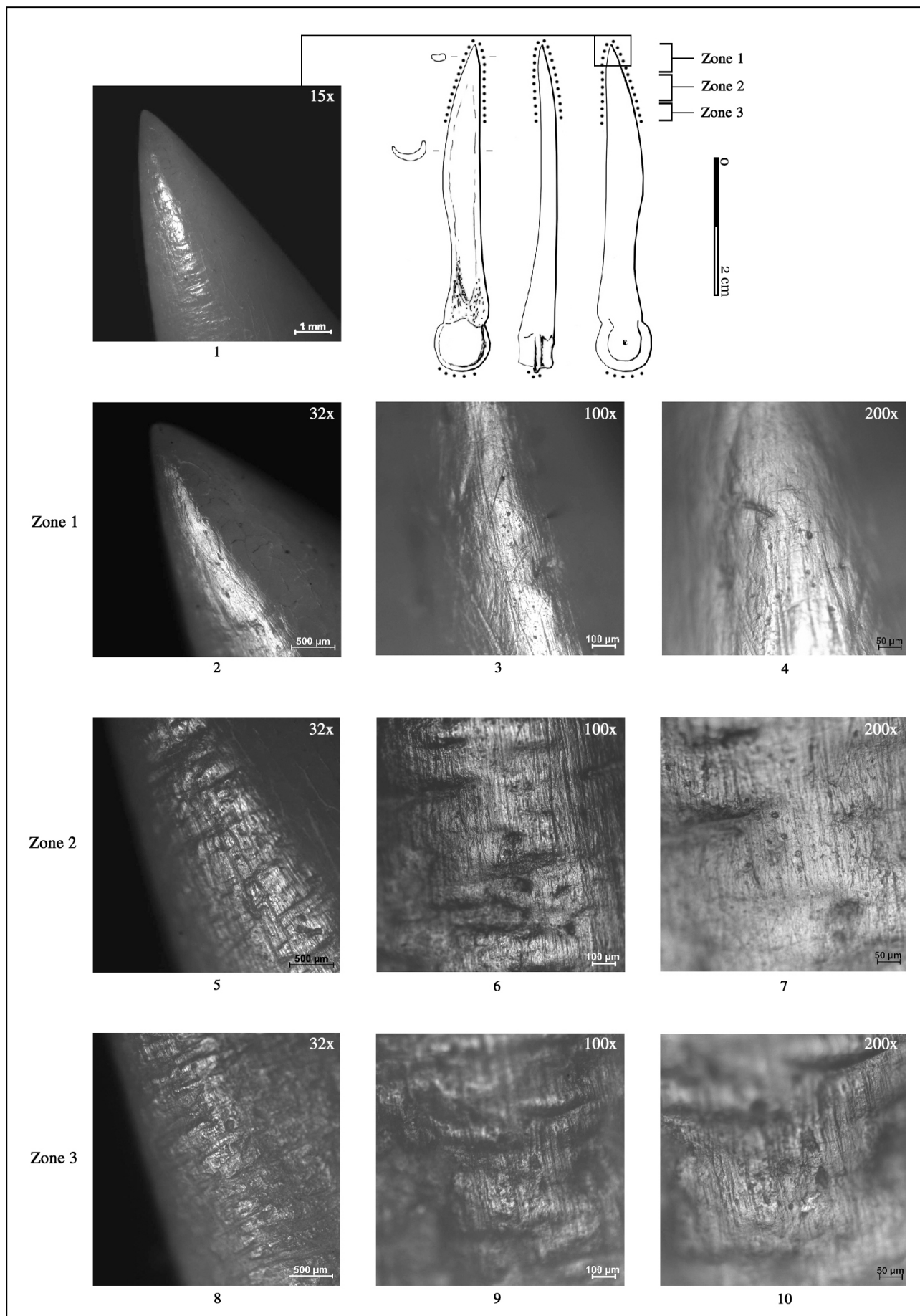


Fig. 5 : Perforation par percussion posée indirecte d'une peau fraîche de vache pendant 30 minutes (n° d'inventaire P1) (clichés A. Legrand).

Durée d'utilisation : 70 minutes (3b)

L'usure est localisée sur l'ensemble de la partie active (fig. 6-1). Son étendue est modérée et son développement est dégressif. Trois zones d'usure ont été repérées. La première mesure 2 mm et présente un degré d'effacement des traces de fabrication modéré à important (fig. 6-2). La seconde mesure 3 mm et présente un degré d'effacement des traces de fabrication modéré (fig. 6-5). Enfin, la dernière zone d'usure mesure 1 mm. Le degré d'effacement des traces de fabrication y est faible (fig. 6-8).

Zone d'usure 1 :

Les altérations du volume : À 15x et à 32x, l'apex est écrasé et émoussé. Sa morphologie initiale est très déformée (stade d'usure 3). Les arêtes de la pointe sont également très émoussées (fig. 6-2).

Les altérations de surfaces : À 32x, on observe de nombreuses stries d'utilisation longitudinales, longues et droites ainsi que quelques cratères. La topographie est irrégulière (fig. 6-3). Le microrelief est homogène (fig. 6-4). Les élévations sont vernies, d'aspect bombé et de texture grenue. Les stries d'utilisation affectent à la fois les élévations et le fond des dépressions les plus émoussées. Elles sont fines, superficielles, continues et serrées. De rares stries obliques et courtes sont également présentes. Des microtrous et de rares cratères circulaires, d'un diamètre de 30 µm ont été observés.

Zone d'usure 2 :

Les altérations du volume : Les arêtes de la pointe sont émoussées.

Les altérations de surfaces : Les stries d'utilisation longitudinales sont moins fréquentes (fig. 6-5). La topographie est irrégulière, proche de la topographie d'origine (fig. 6-6). Le microrelief est homogène. L'aspect, la texture et la brillance des élévations sont similaires à ce qui a été observé dans la zone 1. On remarque à ce grossissement des stries d'utilisation pluridirectionnelles et courtes (fig. 6-7). Les microtrous restent présents mais les cratères ont quasiment disparu.

Zone d'usure 3 :

Les altérations du volume : Les arêtes de la pointe sont faiblement émoussées.

Les altérations de surfaces : À 32x, seul le relief est affecté par l'usure, on y observe quelques stries d'utilisation entrecroisées (fig. 6-8). La topographie d'origine est structurée par les stries de façonnage (fig. 6-9). Le microrelief est irrégulier. L'aspect des élévations est bombé, leur texture et leur brillance sont identiques à celles décrites pour les zones précédentes. Les stries d'utilisation restent pluridirectionnelles et les microtrous présents (fig. 6-10).

La perforation de peaux fraîches semble se caractériser par une homogénéité de l'usure quelle que soit la zone considérée puisque dans ce cas encore, l'usure est similaire sur l'ensemble de la pointe.

Des traces de manipulation ont été mises en évidence. Enfin, l'épiphyse proximale du métapode, utilisée comme plan de frappe, est légèrement écrasée (stade d'usure 1).

Caractéristiques de l'usure : Perforation par percussion indirecte de peaux fraîches

- Au cours de l'utilisation, l'étendue devient modérée et les zones d'usure se multiplient, passant d'une à trois.
- Au cours de l'utilisation, l'émoussé est plus prononcé.
- Les altérations de surfaces sont suffisamment bien développées pour être caractérisées à l'échelle macroscopique.
- La topographie est toujours irrégulière dans les zones où la topographie d'origine a été modifiée par l'usure, c'est-à-dire dans les zones d'usure 1 et 2.
- Le microrelief tend à se régulariser au cours de l'utilisation. Les élévations présentent un aspect bombé et une texture grenue. Elles sont vernies.
- À l'échelle microscopique, les stries d'utilisation sont pluridirectionnelles mais principalement longitudinales. Elles sont fines ou plus larges, superficielles ou profondes, continues, rugueuses ou partiellement lisses.
- Les cratères et les microtrous sont également fréquents. Les premiers disparaissent néanmoins au cours de l'utilisation tandis que les seconds apparaissent à la fin de l'utilisation.

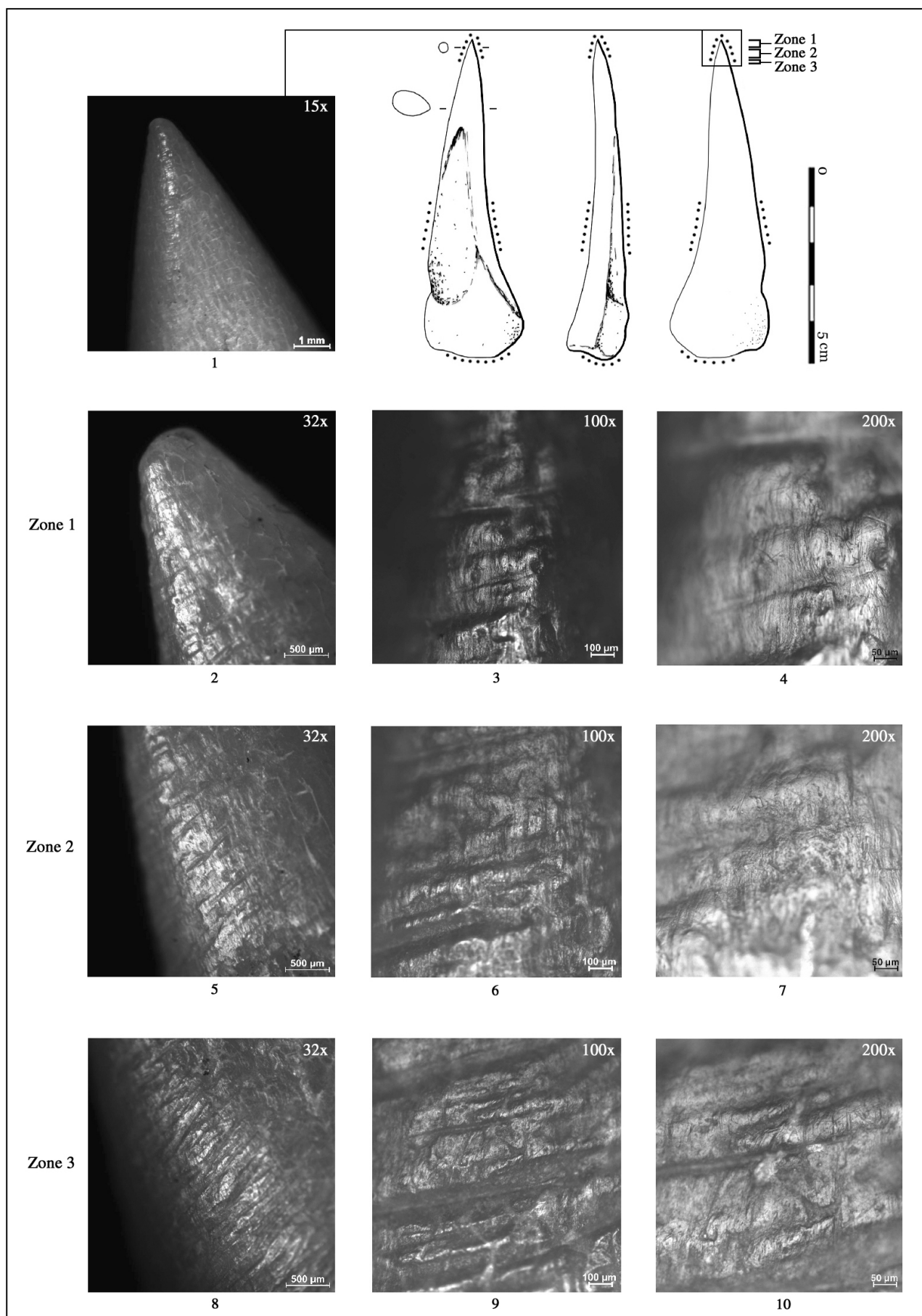


Fig. 6 : Perforation par percussion posée indirecte d'une peau fraîche de vache pendant 70 minutes (n° d'inventaire 3l (clichés A. Legrand).

1.3. Perforation par rotation alternative de peaux fraîches et ocrées

Une pointe (P7) a été utilisée pour perforer une peau de mouton.

Durée d'utilisation : 65 minutes

L'usure est localisée sur l'ensemble de la pointe (fig. 7-1). Son étendue est modérée et son développement est dégressif en deux zones d'usure. La zone d'usure 1 mesure 6 mm (fig. 7-2). La zone d'usure 2 mesure 11 mm (fig. 7-5).

Zone d'usure 1 :

Les altérations du volume : À 15x et à 32x, l'ensemble de l'apex est légèrement écrasé. On note que cet écrasement associé à un émoussé important, confère à l'apex une morphologie arrondie et asymétrique qui reflète la position de l'outil par rapport à la matière travaillée (fig. 7-2). Les arêtes de la pointe sont totalement émoussées. La déformation de la partie active est avancée.

Les altérations de surfaces : À 32x, quelques cratères et de nombreuses stries d'utilisation pluridirectionnelles, longues, droites, courbes et désordonnées, ont été repérés (fig. 7-2). À 100x, la topographie est régulière (fig. 7-3). À 200x, le microrelief est régulier. La surface est lisse, vernie et striée (fig. 7-4). Les stries d'utilisation sont fines ou larges (2 µm), superficielles ou profondes, continues ou discontinues. Les bords des stries larges sont émoussés et leur fond est rugueux, partiellement ou totalement lisse. Les cratères sont circulaires, d'un diamètre d'environ 9 µm. Leurs bords sont émoussés et leur fond est rugueux ou partiellement lisse. Les microtrous sont fréquents.

Zone d'usure 2 :

Les altérations du volume : À 32x, les arêtes de la pointe sont peu émoussées.

Les altérations de surfaces : À 32x, les stries d'utilisation principalement longitudinales sont localisées sur le relief (fig. 7-5). À 100x, on observe la topographie d'origine, faiblement modifiée par l'usure (fig. 7-6). À 200x, le microrelief est irrégulier ou homogène selon l'altitude des élévations, les plus hautes étant les premières affectées par l'usure (fig. 7-7). Les élévations sont vernies, d'aspect bombé et de texture grenue. Les stries d'utilisation sont larges, rugueuses ou partiellement

lisses. Les cratères restent rares et les microtrous sont fréquents.

L'usure est plus développée dans la zone 1 et relativement circonscrite.

1.4. Perforation par percussion posée indirecte de peaux fraîches et ocrées

Une pointe (1a) a été utilisée pour perforer une peau de mouton.

Durée d'utilisation : 45 minutes

L'usure est localisée sur l'ensemble de la pointe (fig. 8-1). Son étendue est envahissante et son développement est homogène. La zone d'usure observée mesure environ 35 mm (fig. 8-2). Sa limite est floue et variable selon les faces de la pointe.

Zone d'usure 1 :

Les altérations du volume : À 15x et à 32x, l'apex et les arêtes de la pointe présentent un émoussé modéré (fig. 8-1). La morphologie initiale de l'apex est peu modifiée (stade d'usure 1).

Les altérations de surfaces : À 32x, on distingue de nombreuses stries d'utilisation pluridirectionnelles, longues, droites, parallèles entre elles ou entrecroisées. La topographie est irrégulière en raison de la variété directionnelle et morphométrique des stries d'utilisation et des dépressions non linéaires qui structurent la surface (fig. 8-3). Le microrelief est régulier. La surface est vernie et striée. À ce grossissement, on distingue des stries fines et superficielles et des stries plus larges d'une largeur de 2 µm (fig. 8-4). Ces dernières sont profondes, continues ou discontinues, leurs bords sont émoussés et leur fond peut être rugueux, partiellement ou totalement lisse. De nombreux microtrous et cratères ont aussi été observés. Les cratères sont circulaires, d'un diamètre compris entre 7 µm et 13 µm. Leurs bords sont émoussés et leur fond est rugueux, partiellement ou totalement lisse.

Aucune trace de manipulation n'a pu être précisément identifiée.

Les parties saillantes de l'épiphyse proximale du métapode utilisée comme plan de frappe, sont légèrement écrasées (stade d'usure 1).

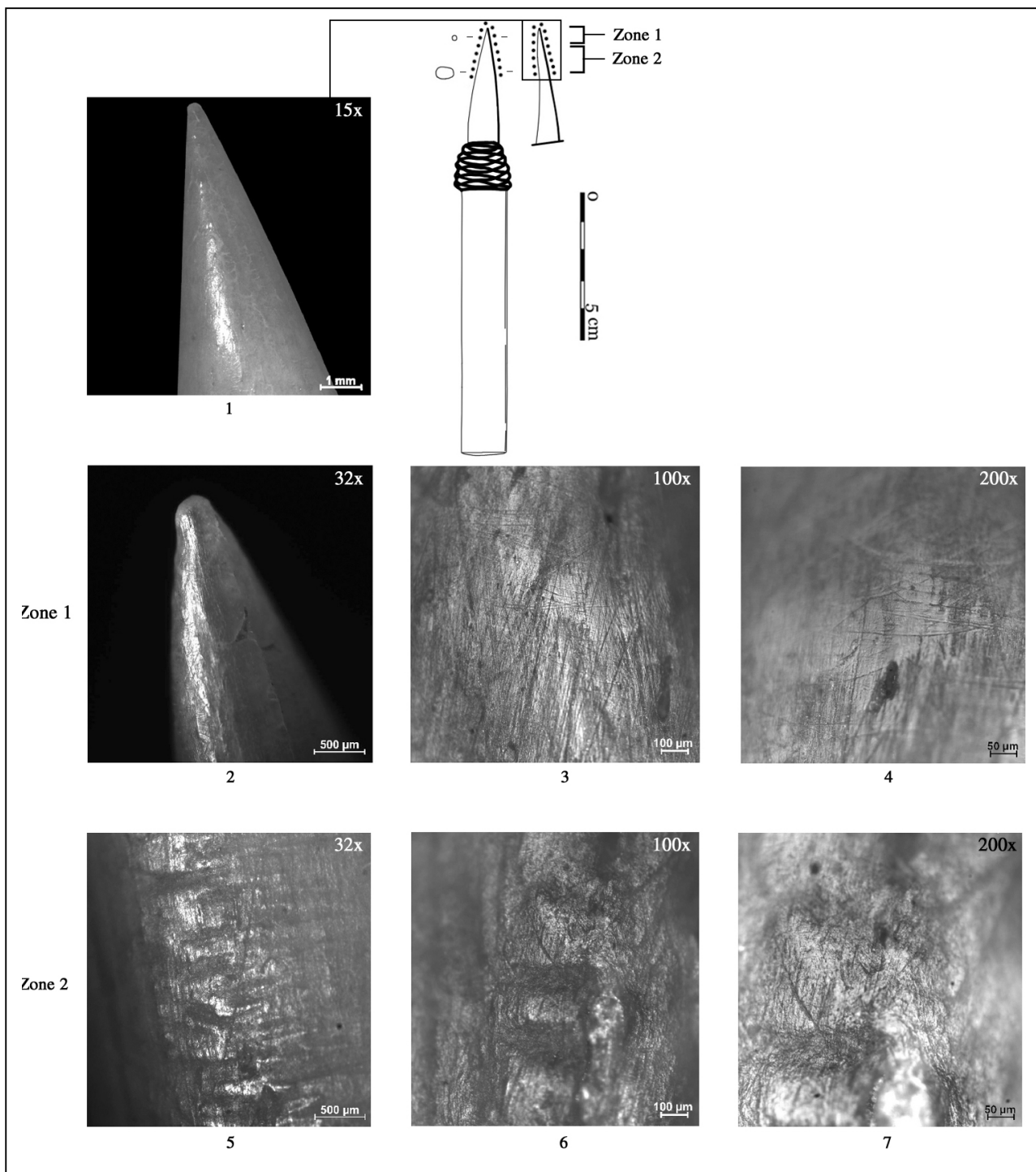


Fig. 7 : Perforation par rotation alternative d'une peau fraîche et ocrée de mouton pendant 65 minutes (n° d'inventaire P7) (clichés A. Legrand).

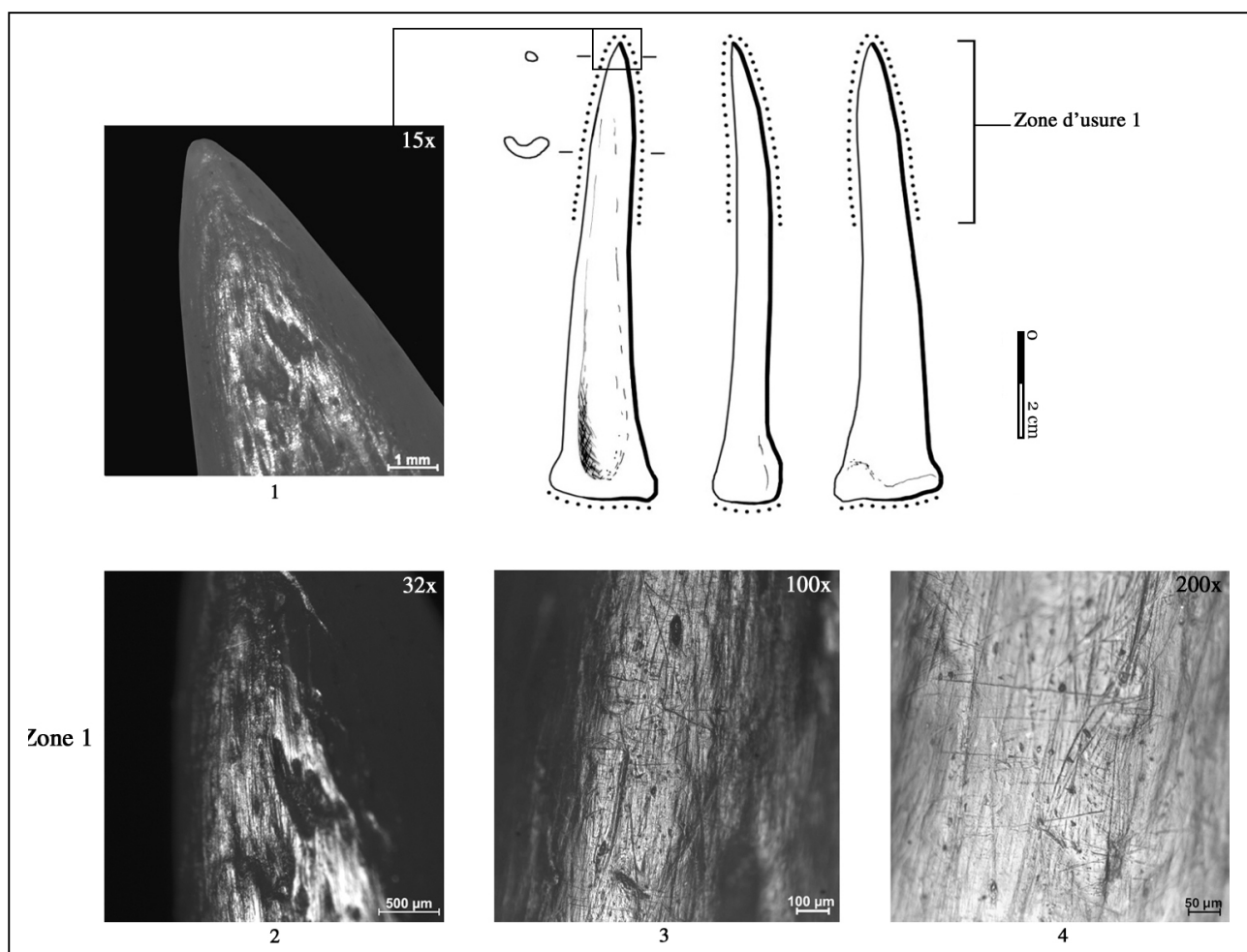


Fig. 8 : Perforation par percussion posée indirecte d'une peau fraîche et ocrée de mouton pendant 45 minutes (n° d'inventaire 1a) (clichés A. Legrand).

1.5. Écharnage par percussion posée directe de peaux fraîches

Douze outils tranchants (21a, 5a1, 5b, L15, Os4, Os9b, Os30, T13, T14, T15, T16, T18) ont été utilisés par percussion posée directe en coupe positive selon un angle de dépouille d'environ 10°, sur des peaux fraîches de mouton, de cerf et de vache. Le temps d'utilisation varie de 10 à 100 minutes. Deux types de supports ont été utilisés : une planche en bois et un cadre. Les outils tranchants utilisés pour écharner des peaux de cerf étendues sur une planche seront tout d'abord étudiés.

Écharnage de peaux de cerf étendues sur une planche

Durée d'utilisation : 10 minutes (T16)

La localisation de l'usure est bifaciale et asymétrique. Elle est, en effet, davantage marquée sur la face inférieure du tranchant (fig. 9-1). L'étendue de l'usure est marginale et son développement est homogène. Une

seule zone d'usure a été repérée sur une longueur de 2 mm (fig. 9-2).

Zone d'usure 1 :

Les altérations du volume : L'ensemble du taillant présente un émoussé faible à facettes bombées ainsi que quelques écaillures dispersées le long du taillant (10x) (fig. 9-1). Le contour initial du taillant est peu modifié (stade d'usure 1).

Les altérations de surfaces : À 32x, aucune strie d'utilisation n'a été observée. La topographie est très proche de celle d'origine (fig. 9-3). Le microrelief est irrégulier (fig. 9-4). Les élévations sont ternes, d'aspect bombé et de texture grenue. À ce grossissement aucune strie d'utilisation n'est visible.

Aucune trace de manipulation n'a pu être mise en évidence.

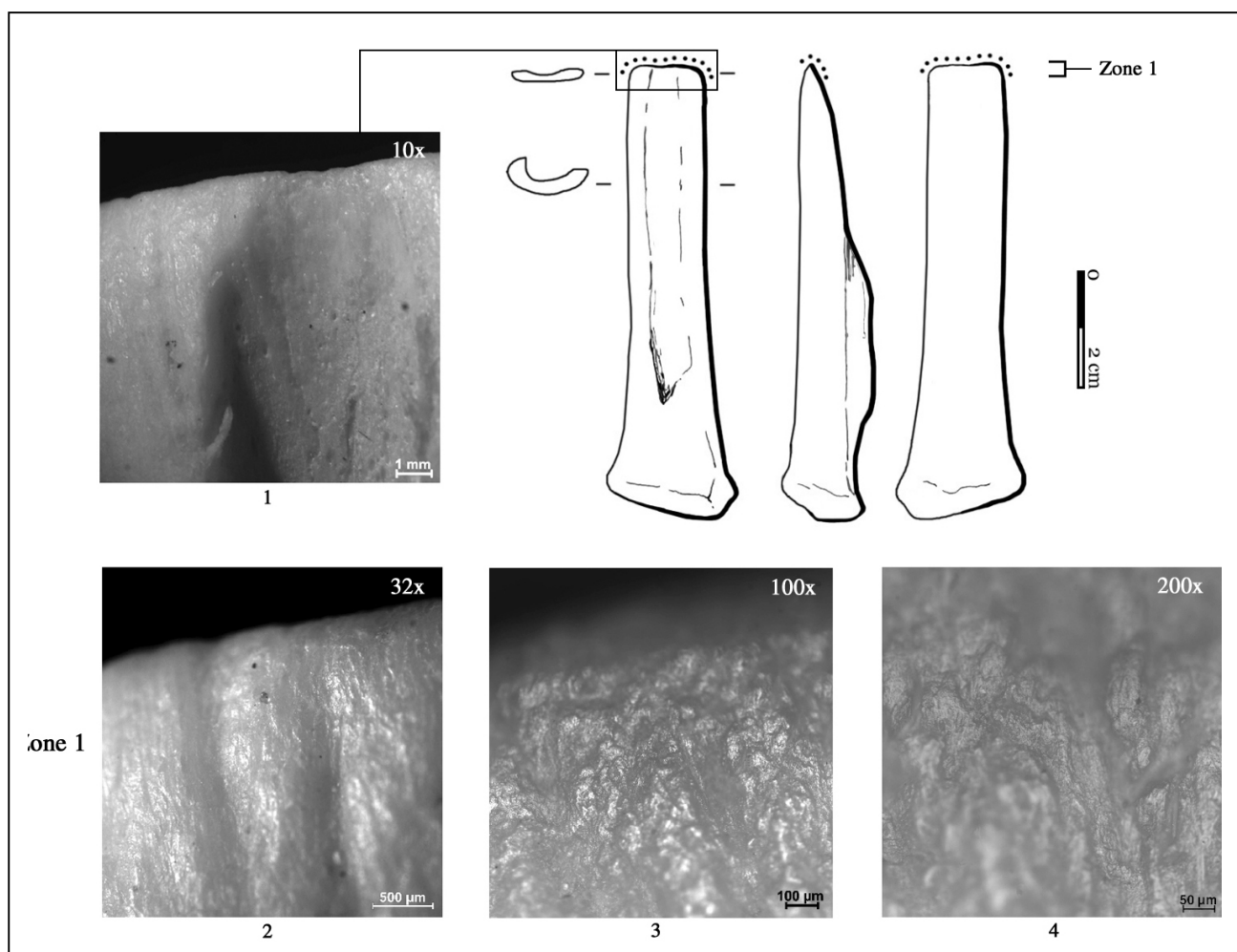


Fig. 9 : Écharnage par percussion posée directe d'une peau fraîche de cerf posée sur une planche pendant 10 minutes (n° d'inventaire T16) (clichés A. Legrand).

Durée d'utilisation : 35 minutes (L15)

L'usure est localisée sur la face supérieure du tranchant, elle est donc unifaciale (fig. 10-1). Son étendue est marginale et son développement est homogène. L'unique zone d'usure a été observée sur une longueur d'1 mm (fig. 10-2).

Zone d'usure 1 :

Les altérations du volume : le taillant présente un émoussé symétrique faible (fig. 10-1). La déformation du tranchant est faible (stade d'usure 1).

Les altérations de surfaces : À 32x, de nombreuses stries d'utilisation longitudinales, longues, droites, parallèles entre elles ou entrecroisées sont observées (fig. 10-2). La topographie est relativement régulière (fig. 10-3). Le microrelief est homogène. Les élévations sont vernies, d'aspect bombé et de texture grenue. Les stries d'utilisation sont larges (environ 3 µm) et profondes. Leurs bords sont émoussés et leur fond partiellement lisse. De nombreux microtrous sont observés (fig. 10-4).

Aucune trace de manipulation n'a été mise en évidence.

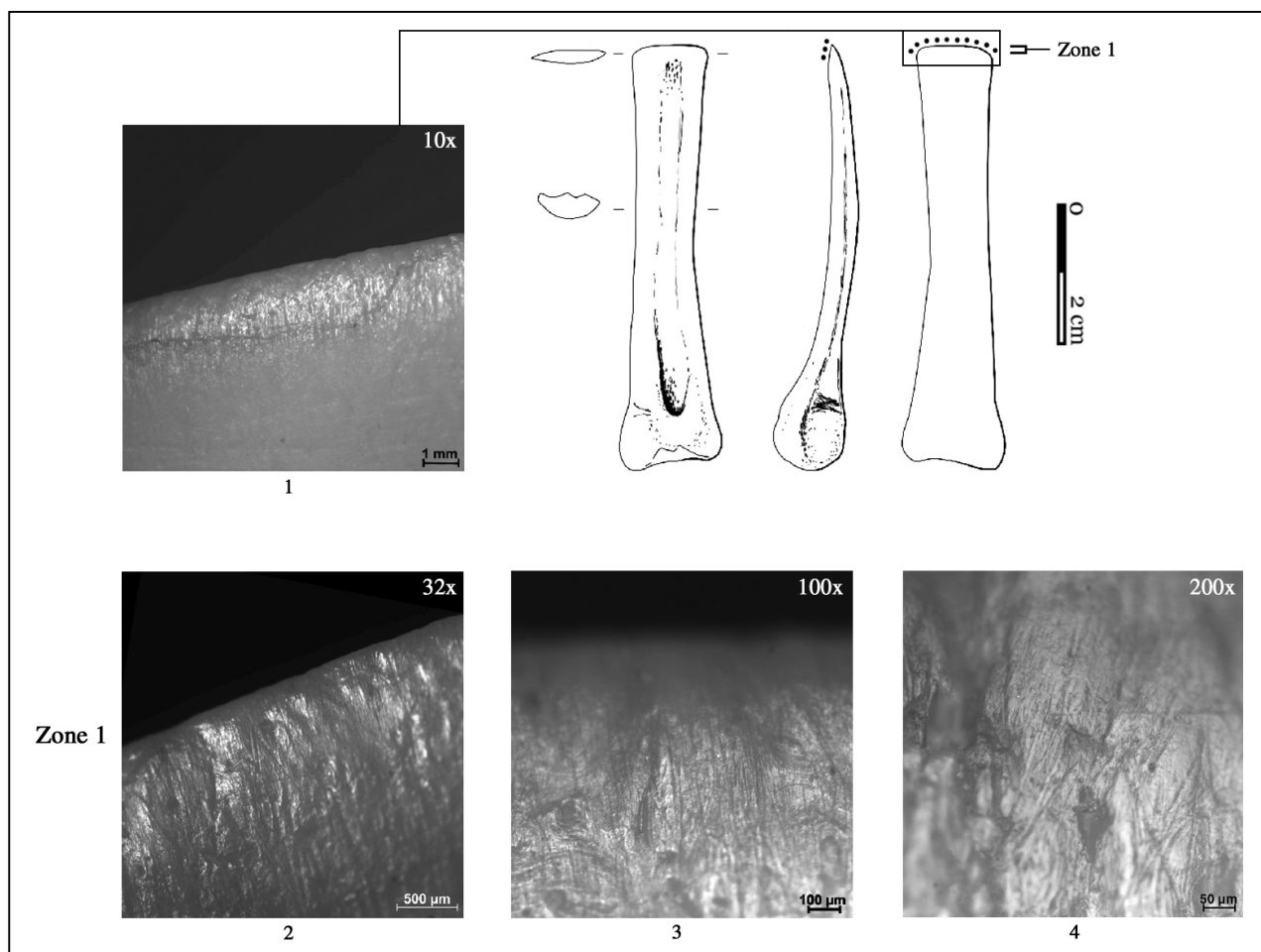


Fig. 10 : Écharnage par percussion posée directe d'une peau fraîche de cerf posée sur une planche pendant 35 minutes (n° d'inventaire L15) (clichés A. Legrand).

Durée d'utilisation : 100 minutes (Os9b-T15)

L'usure est unifaciale, localisée sur la face supérieure du tranchant (fig. 11-1). Son étendue reste marginale mais son développement est cette fois, dégressif. Deux zones d'usure ont été observées. La première mesure à peine 1 mm. Le degré d'effacement des traces de fabrication y est modéré (fig. 11-2). La seconde zone mesure 1 mm. Le degré d'effacement des traces y est faible (fig. 11-5).

Zone d'usure 1 :

Les altérations du volume : À 10x, puis 32x, on observe sur la face supérieure du tranchant, un émoussé symétrique modéré. Une facette d'usure peu prononcée, de profil bombé, matérialise la zone de contact (fig. 11-1 et fig. 11-2). Les bords du taillant sont aussi émoussés. La déformation de la partie active est avancée (stade d'usure 2).

Les altérations de surfaces : À 32x, la surface est marquée par des stries d'utilisation pluridirectionnelles, longues, droites et entrecroisées (fig. 11-2). À 100x, la

topographie est irrégulière (fig. 11-3). À 200x, le microrelief est régulier (fig. 11-4). La surface est vernie, de texture grenue et striée. À ce grossissement, les stries d'utilisation sont fines et larges (entre 3 et 6 μ m), superficielles ou profondes, continues, avec des bords émoussés et un fond rugueux ou partiellement lisse. Les microtrous sont très nombreux et les cratères rares.

Zone d'usure 2 :

Les altérations du volume : Les bords du taillant sont faiblement émoussés.

Les altérations de surfaces : À 32x, seul le relief est affecté par l'usure (fig. 11-5). Les stries d'utilisation sont difficilement visibles à ce grossissement. La topographie d'origine est légèrement modifiée par l'usure (fig. 11-6). Le microrelief est homogène (fig. 11-7). Les élévations sont vernies, d'aspect plat et de texture grenue. Les stries d'utilisation sont similaires à celles observées dans la zone précédente. On note également la présence de dépressions non linéaires.

L'usure est relativement homogène d'une zone à l'autre même si elle est bien plus développée dans la zone 1. Aucune trace de manipulation n'a pu être mise en évidence.

Caractéristiques de l'usure : Écharnage par percussion posée directe de peaux fraîches posées sur une planche

- Plus la durée d'utilisation est longue, plus le développement de l'usure est dégressif, passant d'une à deux zones d'usure. Son étendue est en revanche, systématiquement marginale.
- Le développement des altérations du volume paraît également plus important en fonction de la durée d'utilisation. Pour un temps d'utilisation bref, l'émoussé du taillant est faible et accompagné d'écaillures qui lui confère une morphologie dite à facettes bombées. Au cours de l'utilisation, l'émoussé affecte progressivement les bords et les faces de l'extrémité active jusqu'à former une facette d'usure qui matérialise la zone de contact entre l'outil et la matière travaillée. La déformation du taillant s'intensifie donc au cours de l'utilisation.
- À l'échelle macroscopique, les stries sont visibles excepté lorsque le temps d'utilisation est trop bref. Leur direction, plutôt longitudinale, reflète le mouvement longitudinal appliqué à l'outil. Par ailleurs, elles sont longues, droites, parallèles entre elles ou entrecroisées.
- La topographie qui caractérise la zone usée est régulière dans le cas d'une utilisation brève et irrégulière lorsque le temps d'utilisation est plus long.
- Le microrelief se régularise au cours de l'utilisation. Dans le cas d'un microrelief homogène, les élévations présentent un aspect bombé et une texture grenue. Leur brillance s'intensifie au cours de l'utilisation.
- À l'échelle microscopique, les stries d'utilisation sont fines ou larges, superficielles ou profondes, rugueuses ou partiellement lisses.
- Les microtrous sont nombreux quel que soit le temps d'utilisation. En revanche, les cratères sont rares et apparaissent à la fin de l'utilisation.

Écharnage d'une peau de cerf tendue sur cadre en bois

Durée d'utilisation : 50 minutes (5a1)

L'usure est unifaciale, localisée sur la face supérieure de l'outil (fig. 12-1). L'étendue de l'usure est marginale et son développement est dégressif. Deux zones d'usure ont été reconnues. La première zone mesure 1 mm, le degré d'effacement des traces de fabrication y est modéré ou

important (fig. 12-2). La seconde zone mesure entre 1 et 1,5 mm. Le degré d'effacement des traces de fabrication y est faible (fig. 12-5).

Zone d'usure 1 :

Les altérations du volume : À 10x, puis à 32x, on observe sur toute la largeur de la face supérieure du tranchant, un émoussé important, symétrique et circonscrit. Une facette d'usure large d'environ 1 mm, de profil bombé s'est formée modifiant ainsi le profil initial du taillant (fig. 12-1 et fig. 12-2). En revanche, les bords du taillant ne sont pas émoussés. La déformation de l'extrémité active est avancée (stade d'usure 2).

Les altérations de surfaces : À 32x, de nombreuses stries d'utilisation majoritairement obliques, longues, droites et parallèles entre elles ainsi que de fréquents cratères, ont été repérés sur cette facette (fig. 12-2). À 100x, la topographie est irrégulière (fig. 12-3). À 200x, le microrelief est régulier (fig. 12-4). La surface apparaît entièrement striée et vernie. Les stries d'utilisation sont fines, superficielles, serrées, ordonnées et discontinues. Les cratères sont circulaires et d'un diamètre d'environ 10 µm. Leurs bords sont émoussés et leur fond est partiellement lisse. De nombreux microtrous sont également présents. Précisons que les dépressions larges et profondes visibles sur les figures 12-3 et 12-4, sont des ostéones.

Zone d'usure 2 :

Les altérations du volume : Les bords du taillant sont faiblement émoussés.

Les altérations de surfaces : Seul le relief est affecté par l'usure. Des stries d'utilisation pluridirectionnelles sont observées à 32x (fig. 12-5). À 100x, la topographie est irrégulière (fig. 12-6). À 200x, le microrelief est homogène (fig. 12-7). Les élévations sont vernies, d'aspect plat et de texture grenue. Les stries d'utilisation fines et discontinues sont toujours présentes mais elles sont désormais associées à des stries larges, profondes, aux bords plus ou moins émoussés et au fond rugueux. Les cratères et les microtrous restent nombreux et similaires à ceux observés dans la zone 1.

L'usure des deux zones est bien différenciée. Celle observée sur la facette d'usure qui constitue la zone 1, est plus régulière et les éléments qui la composent plus homogènes que l'usure observée dans la zone 2, marquée par de profondes traces de façonnage.

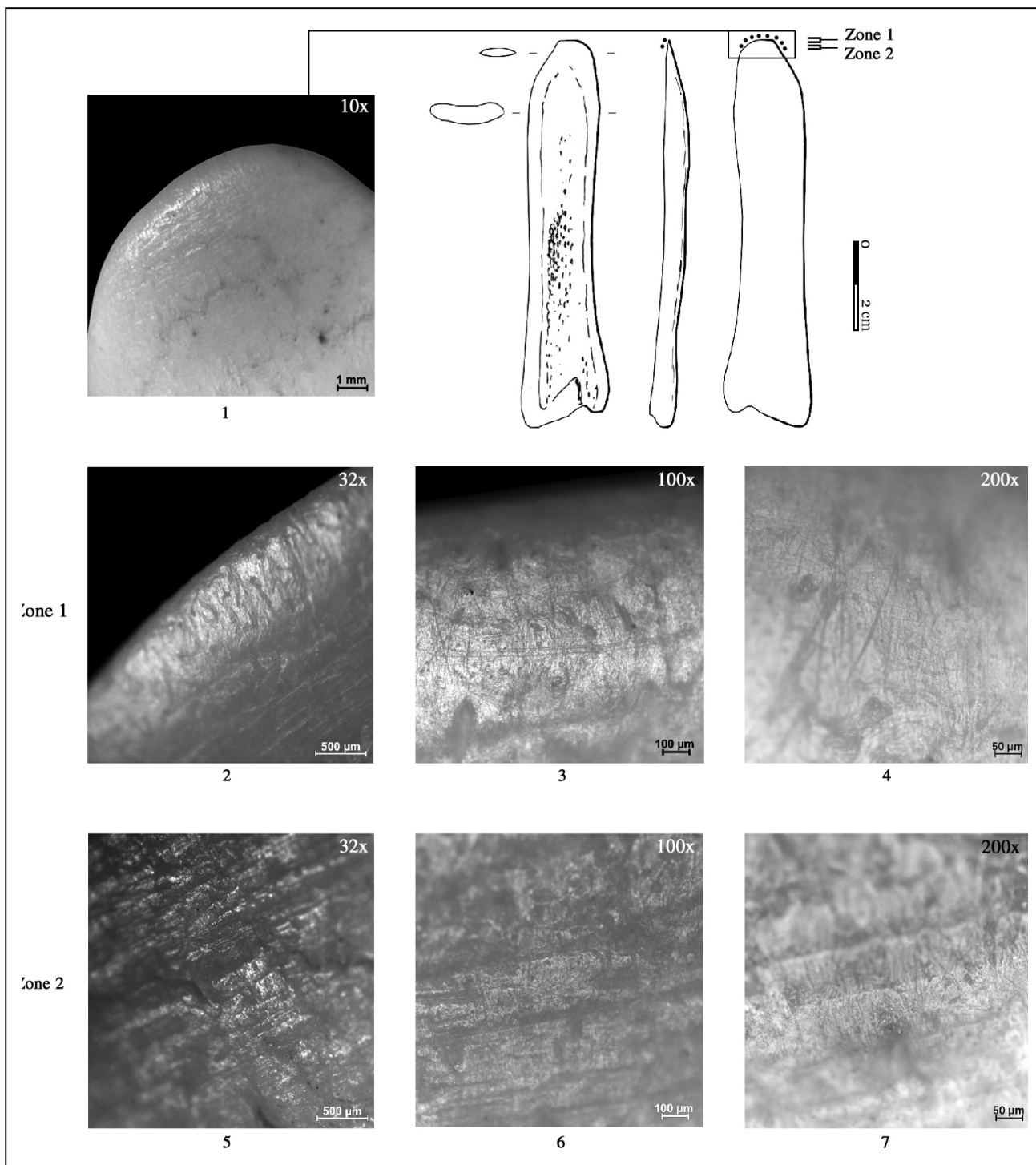


Fig. 11 : Écharnage par percussion posée directe d'une peau fraîche de cerf posée sur une planche pendant 100 minutes (n° d'inventaire Os9b) (clichés A. Legrand).

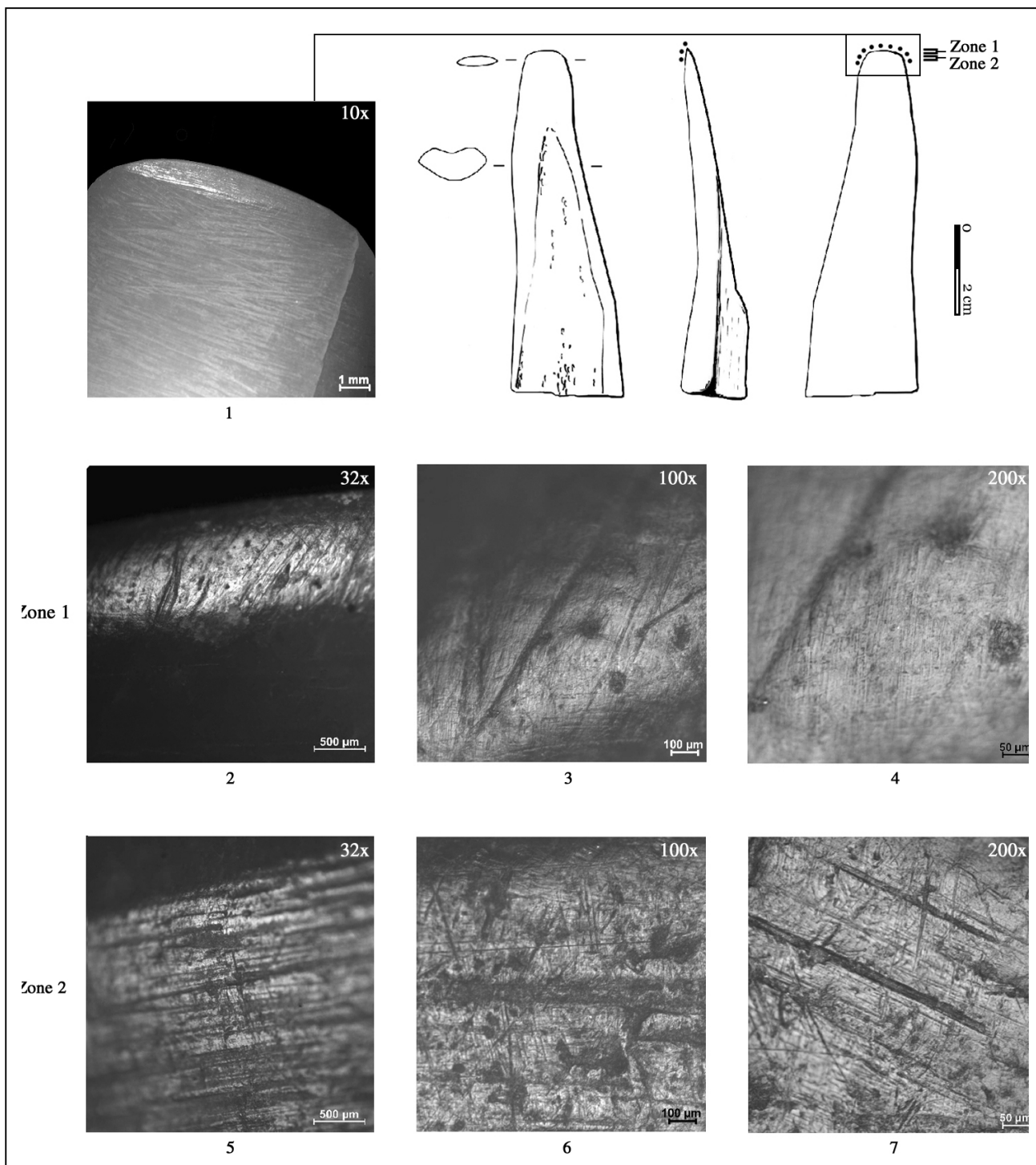


Fig. 12 : Écharnage par percussion posée directe d'une peau fraîche de cerf tendue sur un cadre pendant 50 minutes (n° d'inventaire 5a1) (clichés A. Legrand).

1.6. Écharnage par percussion lancée de peaux fraîches

Trois outils tranchants (L3, T11, T12) ont été utilisés pour écharner des peaux fraîches de cerf par percussion lancée. Le temps d'utilisation varie de 40 à 90 minutes. Les peaux étaient étendues sur le sol ou sur un cadre en bois. L'angle de dépouille est d'environ 45°. Les outils utilisés pour écharner les peaux étendues sur le sol seront tout d'abord décrits.

Écharnage de peaux de cerf étendues sur le sol

Durée d'utilisation : 40 minutes (T11-T12)

L'usure est localisée sur les deux faces du tranchant. Son étendue est marginale et son développement est dégressif. Deux zones d'usure ont été observées. La première mesure environ 500 µm et présente un degré d'effacement des traces de fabrication modéré (fig. 13-2). La seconde zone mesure 1 mm. Le degré d'effacement des traces de fabrication y est faible (fig. 13-5).

Zone d'usure 1 :

Les altérations du volume : À 32x, l'émoussé du taillant est symétrique et faible. Les bords du taillant sont peu émoussés (fig. 13-2). La partie active est peu déformée (stade d'usure 1).

Les altérations de surfaces : À 32x, quelques stries d'utilisation longitudinales, longues, droites et légèrement entrecroisées, sont observées sur les élévations (fig. 13-2). La topographie est irrégulière, marquée par de profondes stries de façonnage (fig. 13-3). Le microrelief est homogène (fig. 13-4). Les élévations sont brillantes, d'aspect plat et de texture grenue. Les stries d'utilisation sont fines ou larges (égales ou supérieures à 2 µm), profondes ou superficielles, serrées, ordonnées et continues. Leurs bords sont émoussés et leur fond est rugueux ou partiellement lisse. Les microtrous sont nombreux.

Zone d'usure 2 :

Les altérations du volume : Les bords du taillant restent peu émoussés.

Les altérations de surfaces : À 32x, seul le relief est affecté par l'usure (fig. 13-5). Les stries d'utilisation sont

rares. À 100x, on observe la topographie d'origine (fig. 13-6). Le microrelief est irrégulier ou homogène (fig. 13-7). Les élévations sont brillantes, d'aspect bombé et de texture lisse. Les stries d'utilisation sont pluridirectionnelles, courtes, rugueuses ou partiellement lisses. Les microtrous sont moins nombreux que dans la zone 1.

L'usure est relativement homogène d'une zone à l'autre même si elle est bien plus développée dans la zone 1. Des traces de manipulation ont été mises en évidence sous l'épiphyse proximale.

Écharnage d'une peau de cerf tendue sur un cadre

Durée d'utilisation : 90 minutes (L3)

L'outil était emmanché en herminette. L'usure est unifaciale, localisée sur la face supérieure du tranchant (fig. 14-1). Son étendue est marginale et son développement, homogène. L'unique zone d'usure a été repérée sur une longueur de 2 mm. Le degré d'effacement des traces de fabrication y est important (fig. 14-2).

Zone d'usure 1 :

Les altérations du volume : À 10x et à 32x, on observe que l'ensemble du taillant est affecté par un émoussé symétrique et prononcé. Une facette d'usure de profil bombé s'est formée sur la face supérieure du tranchant venant ainsi modifier de façon importante son profil (stade d'usure 2) (fig. 14-2).

Les altérations de surfaces : À 32x, la surface est marquée par de nombreuses stries d'utilisation longitudinales, longues, droites, parallèles entre elles ou entrecroisées (fig. 14-2). À 100x, la topographie apparaît irrégulière (fig. 14-3). Le microrelief est régulier. La surface est brillante et de texture grenue (fig. 14-4). Les stries d'utilisation sont larges (environ 2 µm), superficielles ou profondes, continues ou discontinues, serrées et ordonnées. Leurs bords sont émoussés et leur fond est rugueux, partiellement ou totalement lisse. De fréquents microtrous sont également observés. Les dépressions larges et ovales visibles sur les figures 14-3 et 14-4 sont des ostéones.

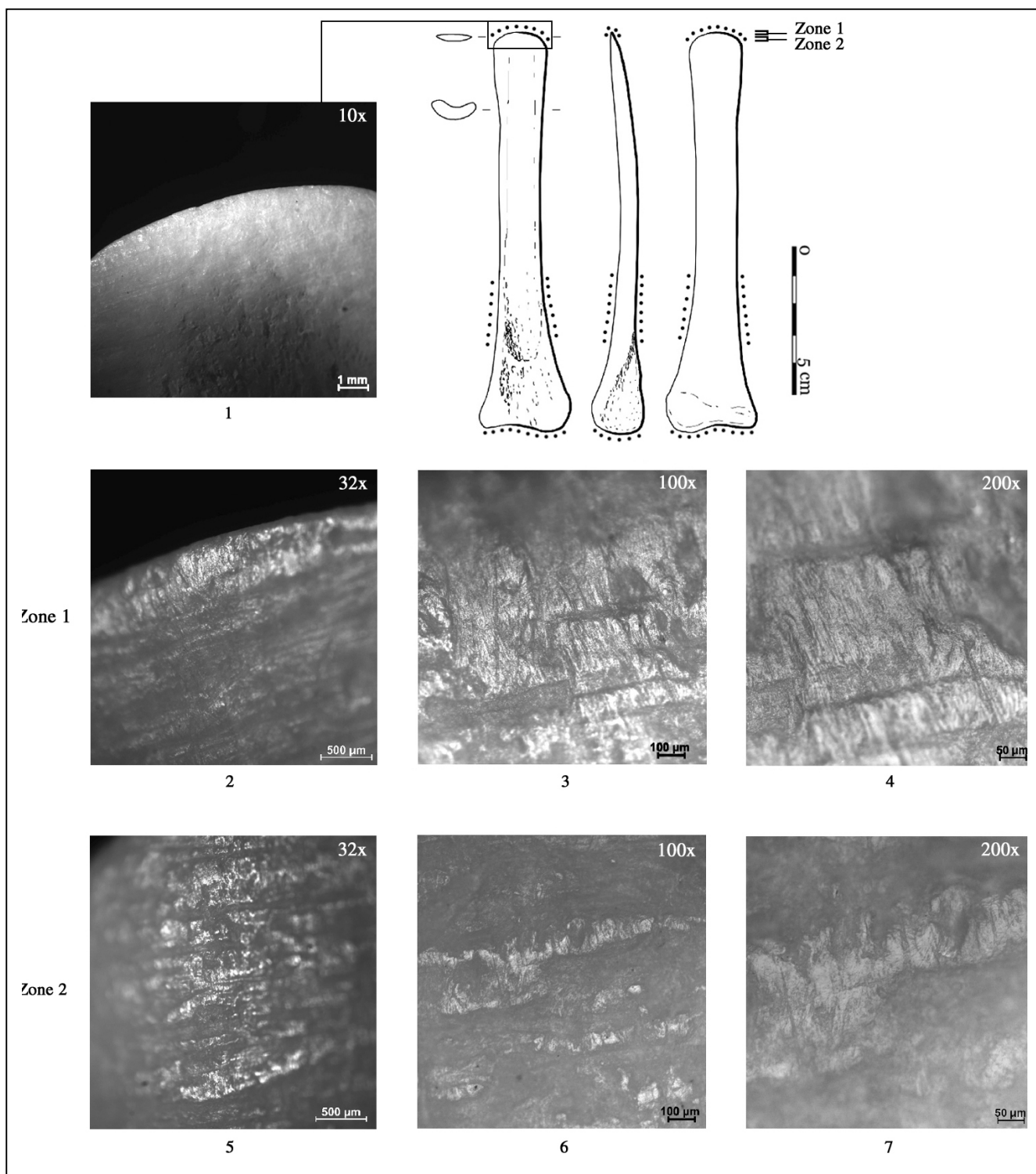


Fig. 13 : Écharnage par percussion lancée d'une peau fraîche de cerf tendue sur le sol pendant 40 minutes (n° d'inventaire T12) (clichés A. Legrand).

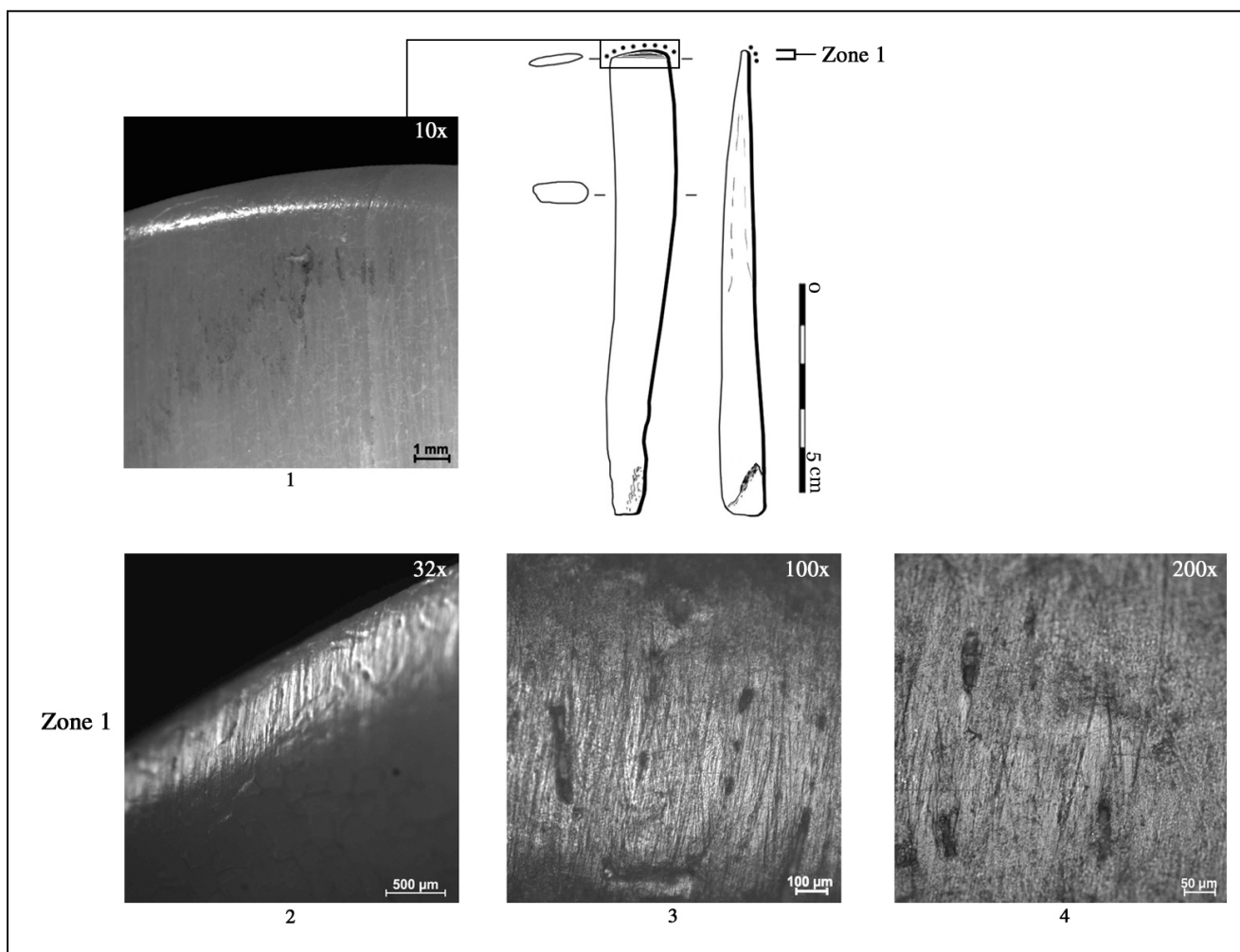


Fig. 14 : Écharnage par percussion lancée d'une peau fraîche de cerf tendue sur un cadre pendant 90 minutes (n° d'inventaire L3) (clichés A. Legrand).

1.7. Écharnage par percussion posée directe de peaux fraîches ocrées

Un outil tranchant (20a) a été utilisé en coupe positive sur une peau de mouton selon un angle de dépouille d'environ 10°-15°. Précisons que la peau était étendue sur le sol.

Durée d'utilisation : 10 minutes

L'usure est unifaciale, localisée sur la face inférieure du tranchant (fig. 15-1). Son étendue est modérée et son développement est dégressif en trois zones d'usure. La zone d'usure 1 mesure 2 mm (fig. 15-2), la zone d'usure 2, 5 mm (fig. 15-5) et la zone d'usure 3 mesure 11 mm (fig. 15-8).

Zone d'usure 1 :

Les altérations du volume : À 10x puis à 32x, le taillant présente un émoussé symétrique et important. Cet émoussé affecte également les bords du tranchant (fig. 15-2). La déformation de la partie active est avancée (stade d'usure 2).

Les altérations de surfaces : À 32x, de nombreuses stries d'utilisation longitudinales, longues, droites, parallèles entre elles ou entrecroisées ont été repérées. Elles sont associées à de nombreuses dépressions non linéaires (fig. 15-2). La topographie est régulière (fig. 15-3). Le microrelief est régulier (fig. 15-4). La surface est vernie, striée et de texture lisse. Les stries d'utilisation sont larges (entre 1,5 et 3 µm) ou plus fines, profondes ou superficielles, serrées, ordonnées, continues ou discontinues. Les cratères sont circulaires, d'un diamètre compris entre 6 et 10 µm. Les bords de l'ensemble de ces dépressions sont émoussés et le fond est rugueux ou partiellement lisse. Précisons que certaines stries larges

peuvent présenter un fond totalement lisse. Enfin, de nombreux microtrous ont également été observés.

Zone d'usure 2 :

Les altérations du volume : À 32x, l'émoussé des bords du tranchant est faible.

Les altérations de surfaces : Le même réseau de stries longitudinales que celui précédemment observé est observé sur le relief (32x) (fig. 15-5). À 100x, la topographie est irrégulière (fig. 15-6). À 200x, le microrelief est homogène (fig. 15-7). Les élévations sont vernies, d'aspect bombé ou plat et de texture lisse. Les stries d'utilisation restent similaires à celles observées dans la zone 1. Si elles affectent les élévations, elles marquent aussi le fond des dépressions les plus émoussées. Les cratères présentent une morphométrie similaire à celle des cratères de la zone 1 mais leur fréquence diminue ainsi que celle des microtrous.

Zone d'usure 3 :

Les altérations du volume : À 32x, l'émoussé des bords du tranchant reste faible.

Les altérations de surfaces : À 32x, les stries d'utilisation restent nombreuses et affectent le relief (fig. 15-8). À 100x, la topographie est irrégulière, assez proche de la topographie d'origine (fig. 15-9). À 200x, le microrelief est irrégulier (fig. 15-10). Les élévations sont vernies, d'aspect bombé et de texture grenue. Dans cette zone, seules les élévations sont entrecoupées par des stries d'utilisation similaires à celles observées dans les zones précédentes. Les cratères restent rares.

D'une zone à l'autre, l'usure est relativement similaire et homogène. Aucune trace de manipulation n'a pu être mise en évidence.

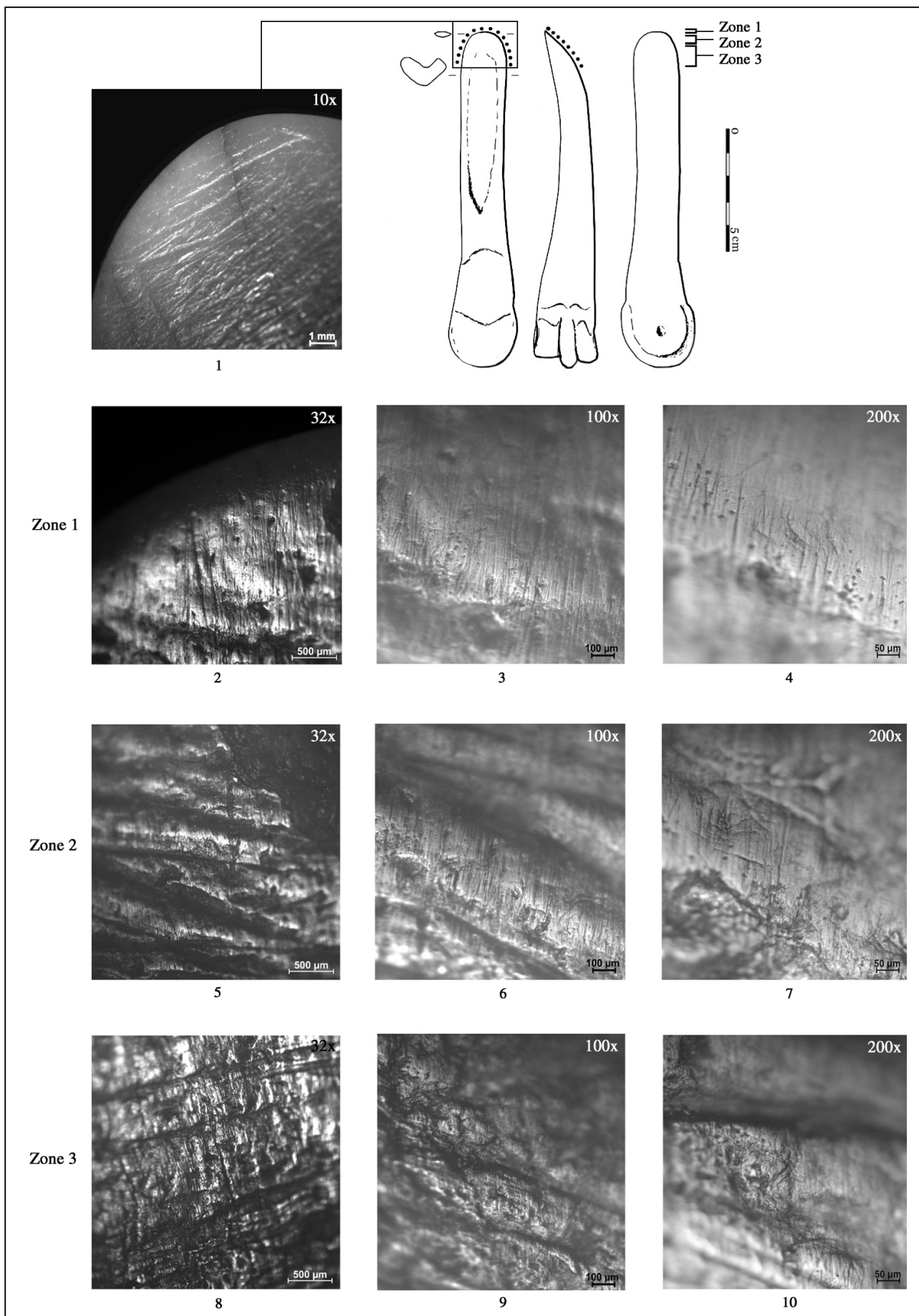


Fig. 15 : Écharnage par percussion posée directe d'une peau fraîche de mouton et ocrée tendue sur le sol pendant 10 minutes (n° d'inventaire 20a) (clichés A. Legrand).

1.8. Perforation par rotation alternative de peaux sèches

Une pointe (P22b) a été utilisée pour perforer une peau sèche de cerf.

Durée d'utilisation : 90 minutes

L'usure est localisée sur l'ensemble de la pointe (fig. 16-2). Son étendue est modérée et son développement est dégressif en trois zones d'usure. La première zone mesure 5 mm (fig. 16-3). La seconde zone mesure 10 mm (fig. 16-6). Enfin, la dernière zone n'a pu être précisément délimitée (fig. 16-9).

Zone d'usure 1 :

Les altérations du volume : À 15x et à 32x, la pointe présente un émoussé modéré. La morphologie initiale de l'apex est modifiée et les arêtes de façonnage sont, après utilisation, moins saillantes (stade d'usure 2) (fig. 16-1 & fig. 16-2).

Les altérations de surfaces : À 32x, la surface est couverte par de fréquents cratères et par de nombreuses stries d'utilisation pluridirectionnelles, longues, courbes, droites, entrecroisées (fig. 16-3). La topographie est irrégulière (fig. 16-4). Le microrelief est régulier (fig. 16-5). La surface est vernie et striée. Les stries d'utilisation sont fines ou larges (jusqu'à 6 μm), superficielles ou profondes, désordonnées, continues ou discontinues. Les bords des stries larges sont émoussés et leur fond est rugueux, partiellement ou totalement lisse. Les cratères sont circulaires ou ovales, d'un diamètre compris entre 11 μm et 15 μm . Leurs bords sont plus ou moins émoussés et leur fond est rugueux. De nombreux microtrous sont observés.

Zone d'usure 2 :

Les altérations du volume : Les arêtes de la pointe sont modérément émoussées.

Les altérations de surfaces : À 32x, la surface présente le même réseau de stries que celui observé dans la zone 1 (fig. 16-6). La topographie est irrégulière (fig. 16-7). Le microrelief est homogène (fig. 16-8). Les élévations sont vernies, d'aspect plat et de texture grenue. La diversité dimensionnelle et directionnelle des stries d'utilisation reste importante et l'aspect de leurs bords et de leur fond, identique à celui observé sur la zone 1. Les dépressions non linéaires – cratères et microtrous – restent nombreuses.

Zone d'usure 3 :

Les altérations du volume : Les arêtes de la pointe sont faiblement émoussées (15x).

Les altérations de surfaces : À 32x, les cratères et les stries d'utilisation sont plus rares et localisés sur le relief de la surface (fig. 16-8). À 100x, la topographie est proche de la topographie d'origine (fig. 16-9). À 200x, le microrelief est irrégulier (fig. 16-10). Les élévations sont vernies, d'aspect bombé et de texture lisse. Les stries d'utilisation sont, à ce grossissement, pluridirectionnelles, fines et superficielles.

Une certaine homogénéité de l'usure se dessine entre les zones d'usure 1 et 2. Sur la zone d'usure 3, l'usure étant beaucoup moins développée, ses principales caractéristiques et notamment la morphométrie des stries n'apparaissent pas.

Aucune trace de manipulation n'a été repérée sur la partie mésiale de cet outil.

1.9. Perforation par percussion posée indirecte de peaux sèches

Une pointe (P26) a été utilisée pour perforer une peau sèche de cerf.

Durée d'utilisation : 105 minutes

L'usure est localisée sur l'ensemble de la pointe (fig. 17-1). Son étendue est modérée et son développement est dégressif en deux zones d'usure. La première mesure 1 mm et présente un degré d'effacement des traces de fabrication modéré (fig. 17-2). La seconde mesure 5 mm. Le degré d'effacement des traces de fabrication y est faible (fig. 17-5).

Zone d'usure 1 :

Les altérations du volume : L'émoussé de l'apex et des arêtes est faible (15x) (fig. 17-1). Sa morphologie initiale est peu modifiée (stade d'usure 1).

Les altérations de surfaces : À 32x, on observe de nombreuses stries d'utilisation longitudinales, longues, droites et souvent entrecroisées (fig. 17-2). À 100x, la topographie est régulière (fig. 17-3). À 200x, le microrelief est homogène (fig. 17-4). Les élévations sont ternes, d'aspect bombé et de texture grenue. À ce grossissement, les stries sont fines ou larges (de 1,5 μm à 3 μm), profondes ou superficielles et continues. L'aspect des bords des stries larges paraît émoussé. Leur fond est rugueux ou partiellement lisse.

Zone d'usure 2 :

Les altérations du volume : L'émoussé qui affecte les arêtes de la pointe reste faible.

Les altérations de surfaces : À 32x, les stries d'utilisation, moins nombreuses, sont localisées sur le relief (fig. 17-5). La topographie est irrégulière (fig. 17-6). À 200x, le microrelief reste homogène (fig. 17-7). L'aspect et la texture des élévations ne varient pas par rapport à la zone 1. En revanche, leur brillance est accentuée. Les stries d'utilisation sont larges (environ 3 μm), droites, continues, rugueuses ou partiellement lisses et présentent des bords émoussés (fig. 17-7). Les stries fines disparaissent. Quelques microtrous apparaissent sur les élévations.

D'une zone à l'autre, l'usure est relativement similaire.

Aucune trace de manipulation n'a été identifiée.

La surface proximale est légèrement écrasée (stade d'usure 1).

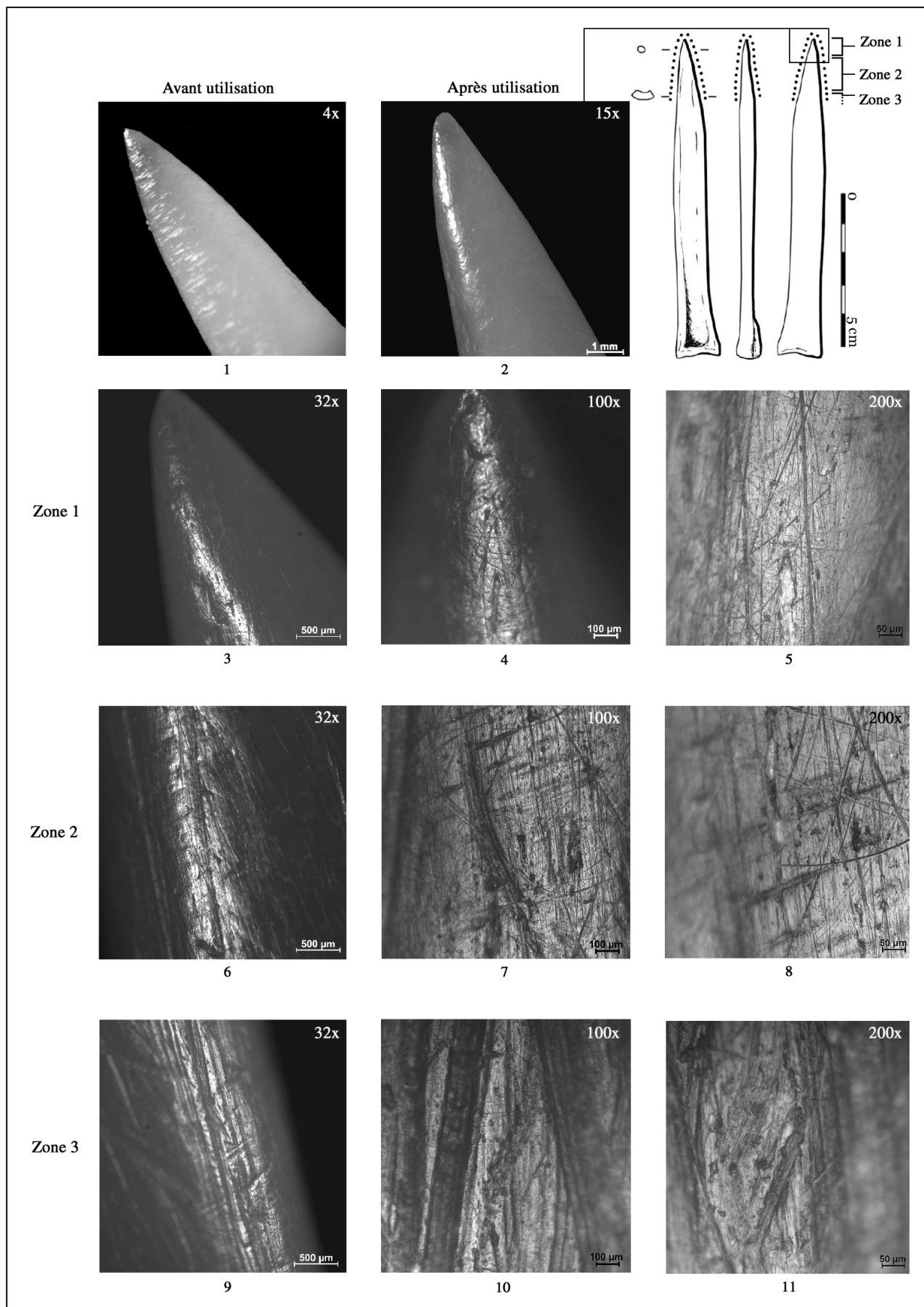


Fig. 16 : Perforation par rotation alternative d'une peau sèche de cerf pendant 90 minutes (n° d'inventaire P22b) (clichés A. Legrand).

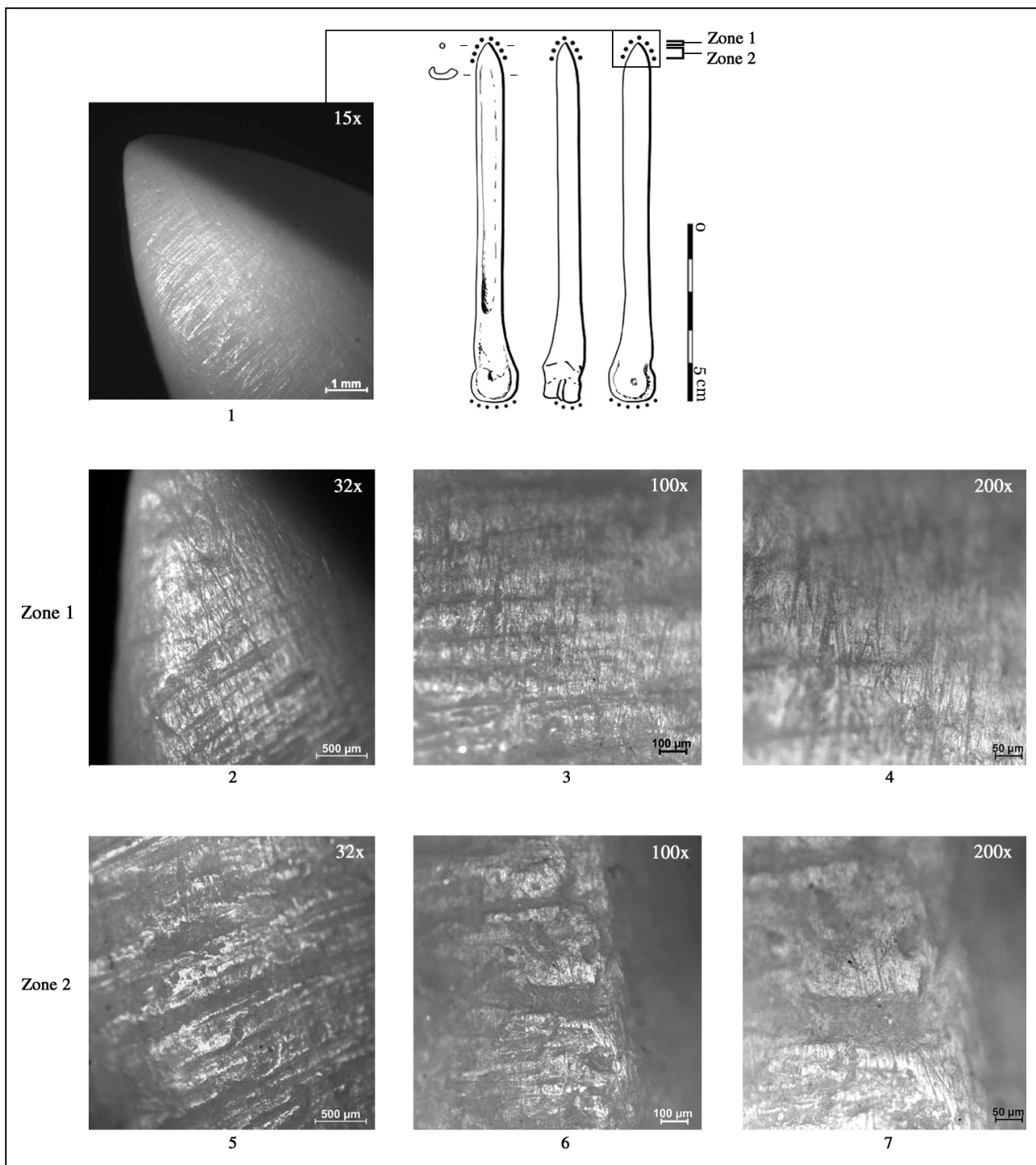


Fig. 17 : Perforation par percussion indirecte d'une peau sèche de cerf pendant 105 minutes (n° d'inventaire P26) (clichés A. Legrand).

1.10. Écharnage par percussion posée directe de peaux sèches

Un outil tranchant (Os16) inséré dans un manche droit a été utilisé en coupe positive selon un angle de dépouille de 70°, pour écharner une peau sèche de cerf suspendue à un cadre en bois.

Durée d'utilisation : 20 minutes

L'usure est bifaciale et asymétrique. La face supérieure du tranchant est davantage usée. La description qui suit concerne donc l'usure de la face supérieure du tranchant. L'étendue de l'usure est marginale et son développement est homogène. L'unique zone d'usure mesure environ 1 mm. Elle présente un degré modéré d'effacement des traces de fabrication (fig. 18-2). La limite de la zone d'usure est claire.

Zone d'usure 1 :

Les altérations du volume : Le taillant et les bords du tranchant sont marqués par un émoussé symétrique d'intensité faible (10x) (fig. 18-1). La morphologie du taillant est peu modifiée (stade d'usure 1).

Les altérations de surfaces : À 32x puis à 64x, le relief est entrecoupé par de nombreuses stries d'utilisation longitudinales, longues, droites et parallèles entre elles (fig. 18-2). La topographie est irrégulière (fig. 18-3). Le microrelief est irrégulier ou homogène en fonction de l'altitude du relief (fig. 18-4). Les élévations sont vernies, d'aspect bombé et de texture grenue. Les stries d'utilisation sont fines ou larges (4,5 µm), superficielles ou profondes, continues ou discontinues, rugueuses ou partiellement lisses. Leurs bords sont plus ou moins émoussés. De fréquents cratères sont associés aux stries. Leur forme est plus ou moins circulaire et leur diamètre est compris entre 5 et 7 µm. Leurs bords sont émoussés et leur fond est rugueux ou partiellement lisse.

Caractéristiques de l'usure : Écharnage par percussion posée directe de peaux sèches

- L'étendue de l'usure est marginale et son développement est homogène.
- L'émoussé du tranchant est faible, sa morphologie initiale est peu modifiée.
- Les stries d'utilisation, observées à faible grossissement, sont nombreuses, longitudinales, longues, droites et parallèles entre elles.
- La topographie est irrégulière.
- Le microrelief est irrégulier ou homogène. L'aspect des élévations est bombé, leur texture est grenue et elles sont vernies.
- À l'échelle microscopique, les stries d'utilisation sont fines ou larges, superficielles ou profondes, continues ou discontinues. Leurs bords sont plus ou moins émoussés, leur fond est rugueux ou partiellement lisse.
- Les cratères sont fréquents. Leurs bords sont émoussés et leur fond est rugueux ou partiellement lisse.

1.11. Assouplissement par percussion posée directe de peaux reverdies

Deux outils tranchants (L2 et 3a) ont été utilisés en coupe positive selon un angle de dépouille de 5°, pour assouplir une peau reverdie de cerf posée sur le sol.

Durée d'utilisation : 60 minutes

L'usure est localisée sur le bord gauche de l'outil. Son étendue est modérée et son développement est dégressif en deux zones d'usure. La première zone mesure 5 mm et présente un degré d'effacement des traces de fabrication important (fig. 19-1). La seconde zone d'usure mesure 10 mm. Le degré d'effacement des traces de fabrication y est modéré (fig. 19-2).

Zone d'usure 1 :

Les altérations du volume : À 10x, le bord actif est marqué par un émoussé symétrique important (fig. 19-1). Son contour est totalement arrondi et sa déformation est avancée (stade d'usure 2).

Les altérations de surfaces : À 32x, de nombreuses stries d'utilisation perpendiculaires au bord ou obliques, droites et entrecroisées ainsi que de fréquents cratères sont présents (fig. 19-2). La topographie est irrégulière (fig. 19-3). Le microrelief est homogène (fig. 19-4). Les élévations sont vernies, d'aspect bombé ou plat et de texture lisse. Les stries d'utilisation sont larges, de 2 à 4 µm, profondes, longues ou courtes, désordonnées, continues ou discontinues. Leurs bords sont plus ou moins émoussés et leur fond peut être rugueux, partiellement ou totalement lisse. Les cratères sont circulaires, d'un diamètre compris entre 9 et 11 µm. Leur fond est rugueux et leurs bords émoussés. De nombreux microtrous ont été observés.

Zone d'usure 2 :

Les altérations du volume : Le bord actif est modérément émoussé (32x) (fig. 19-5).

Les altérations de surfaces : À 32x, les stries d'utilisation sont fréquentes et limitées au relief. La topographie est irrégulière (fig. 19-6). À 200x, le microrelief est homogène (fig. 19-7). L'aspect des élévations est bombé. Leur texture et leur brillance restent similaires à celles observées dans la zone 1. Les stries d'utilisation sont proches de celles décrites dans la zone 1, mais elles sont davantage parallèles entre elles, plus ordonnées et serrées. Les cratères restent fréquents.

D'une zone à l'autre, l'usure est assez proche notamment au niveau de l'aspect du microrelief et des élévations mais diffère par l'organisation des stries d'utilisation qui apparaît bien plus régulière dans la zone 2.

Des traces de manipulation ont été observées, à l'échelle microscopique, sur la partie mésiale de l'outil. À 200x, on observe que le microrelief est irrégulier, les élévations les plus hautes sont affectées par l'usure. Celles-ci sont entrecoupées par de rares stries pluridirectionnelles et très fines (fig. 20).

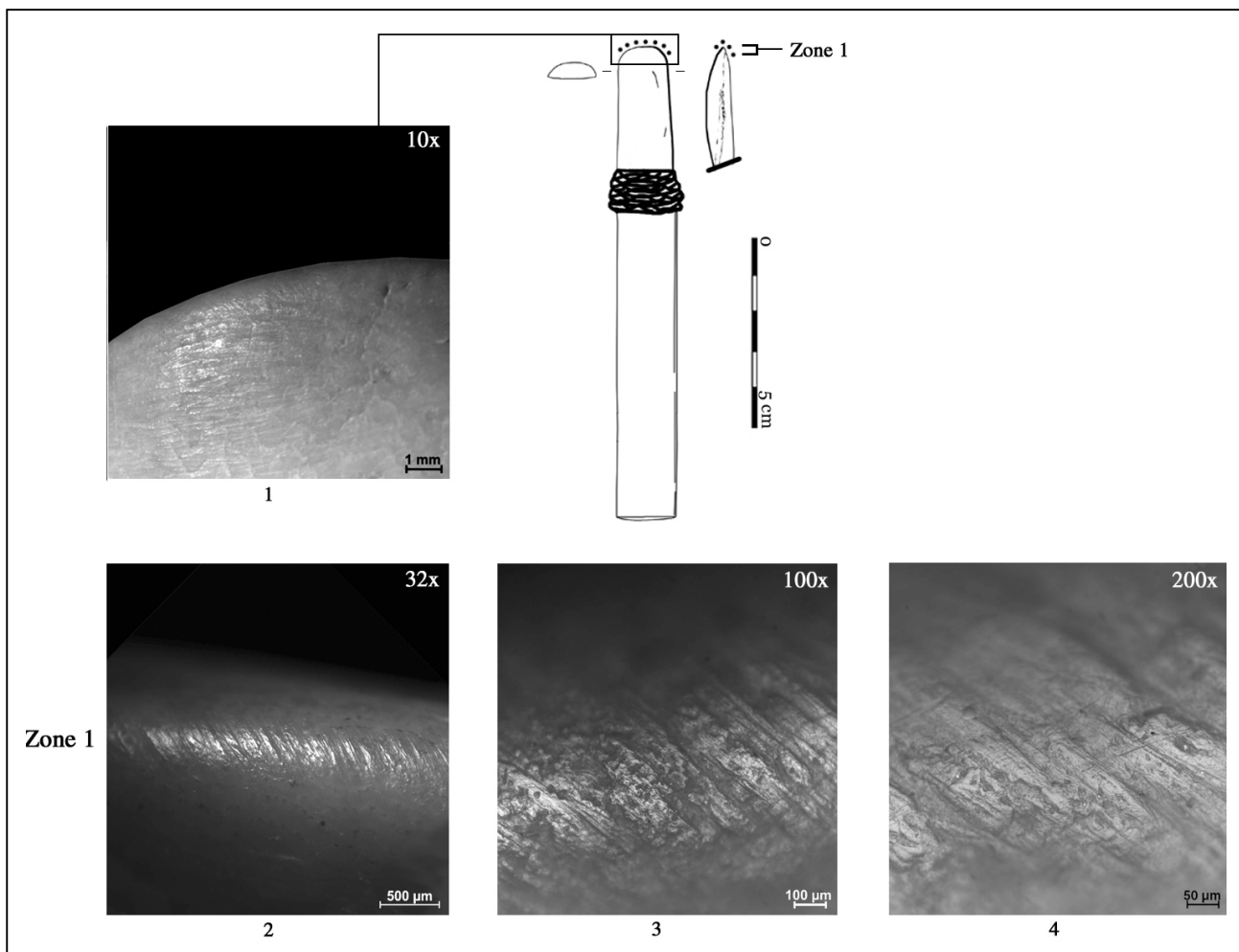


Fig. 18 : Écharnage par percussion posée directe d'une peau sèche de cerf pendant 20 minutes (n° d'inventaire Os16) (clichés A. Legrand) .

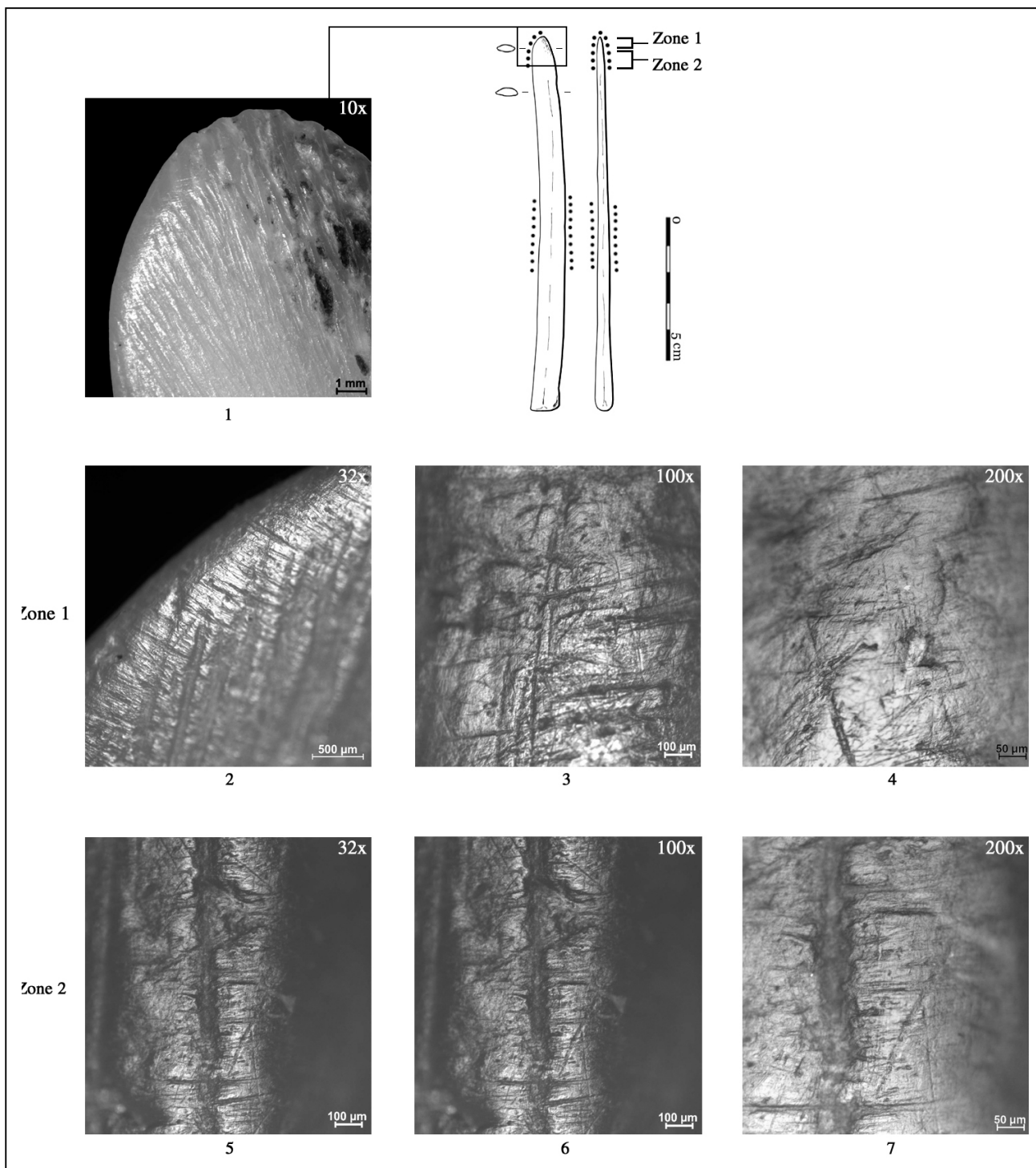


Fig. 19 : Assouplissement par percussion posée directe d'une peau de cerf reverdie pendant 60 minutes (n° d'inventaire L2) (clichés A. Legrand).

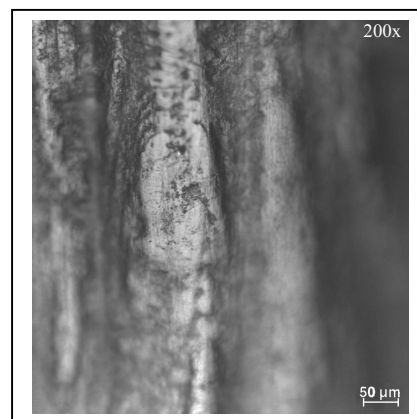
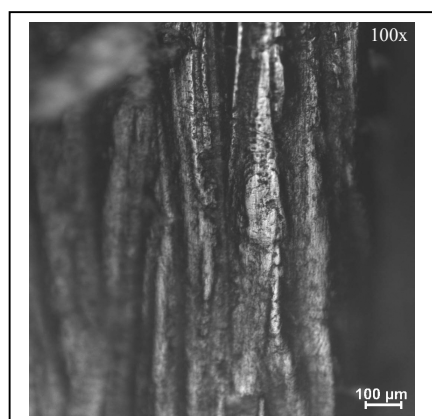


Fig. 20 : Traces de manipulation observées sur la partie mésiale de l'outil L2 (clichés A. Legrand).

Les esquilles utilisées comme outils dormants présentent un émoussé très important sur l'ensemble de leur bord actif. D'après les observations réalisées par R. Christidou¹, l'usure consiste en un réseau dense de stries rugueuses, transversales, longues, parallèles entre elles ou entrecroisées, associées à de fréquentes dépressions non linéaires rugueuses. À 200x, le microrelief est régulier (comm. pers. R. Christidou et Christidou et Legrand 2005) (fig. 21).

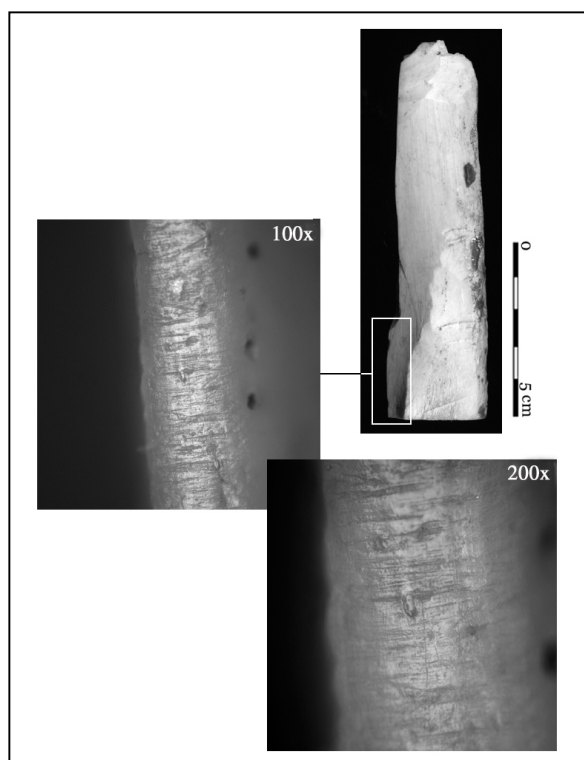


Fig. 21 : Esquille utilisée comme outil dormant pour assouplir une peau de cerf reverdie (clichés R. Christidou).

1.12. Perforation par rotation alternative de peaux tannées

Deux pointes (P16, P22) ont été utilisées pour perforer une peau tannée pendant 35 et 50 minutes.

Durée d'utilisation : 35 minutes (P16)

L'usure est localisée sur l'ensemble de la pointe (fig. 22-2). Son étendue est modérée et son développement est dégressif. Deux zones d'usure ont été observées. La première mesure 2 mm et présente un degré d'effacement des traces de fabrication modéré (fig. 22-3). La zone 2 mesure 5 mm et présente un degré d'effacement des traces de fabrication faible (fig. 22-4).

Zone d'usure 1 :

Les altérations du volume : À 32x, l'apex et les arêtes de la pointe sont modérément émoussés (fig. 22-3). En comparant l'outil avant et après utilisation, on note très clairement la déformation de la pointe tant au niveau de l'apex que des arêtes qui apparaissent moins saillantes (stade d'usure 2) (fig. 22-1 & fig. 22-3).

Les altérations de surfaces : De fréquentes stries d'utilisation longitudinales, longues, droites et parallèles entre elles sont observées sur le relief (32x) (fig. 22-3). La topographie est proche de la topographie d'origine (fig. 22-4). Le microrelief est homogène (fig. 22-5). Les élévations sont vernies, d'aspect bombé ou plat et de texture lisse. Les stries d'utilisation sont fines ou larges (entre 1 et 2 µm). Dans les deux cas, elles sont superficielles et continues. Les bords des stries larges sont émoussés et leur fond est partiellement ou totalement lisse. De nombreux microtrous et quelques cratères circulaires entrecoupent également les élévations. Les cratères dont le diamètre est d'environ 10 µm présentent des bords émoussés et un fond rugueux ou partiellement lisse.

¹ Cet outil a été étudié par Rozalia Christidou qui m'a aimablement transmise ses observations et photographies.

Zone d'usure 2 :

Les altérations du volume : l'émoussé des arêtes est faible (32x).

Les altérations de surfaces : À 32x, on observe que seul le relief est affecté par l'usure (fig. 22-6). La topographie observée est la topographie d'origine (fig. 22-7). Le microrelief est irrégulier (fig. 22-8). L'aspect des élévations est bombé. Leur texture et leur brillance ne varient pas dans cette zone. Les mêmes stries

d'utilisation que celles précédemment décrites affectent les élévations. Les microtrous restent présents, en revanche les cratères ont disparu.

L'usure est homogène sur les deux zones d'usure étudiées. Cette homogénéité reflète le caractère diffus du contact entre l'outil et la matière travaillée.

Aucune trace de manipulation n'a été identifiée sur la partie mésiale de l'outil.

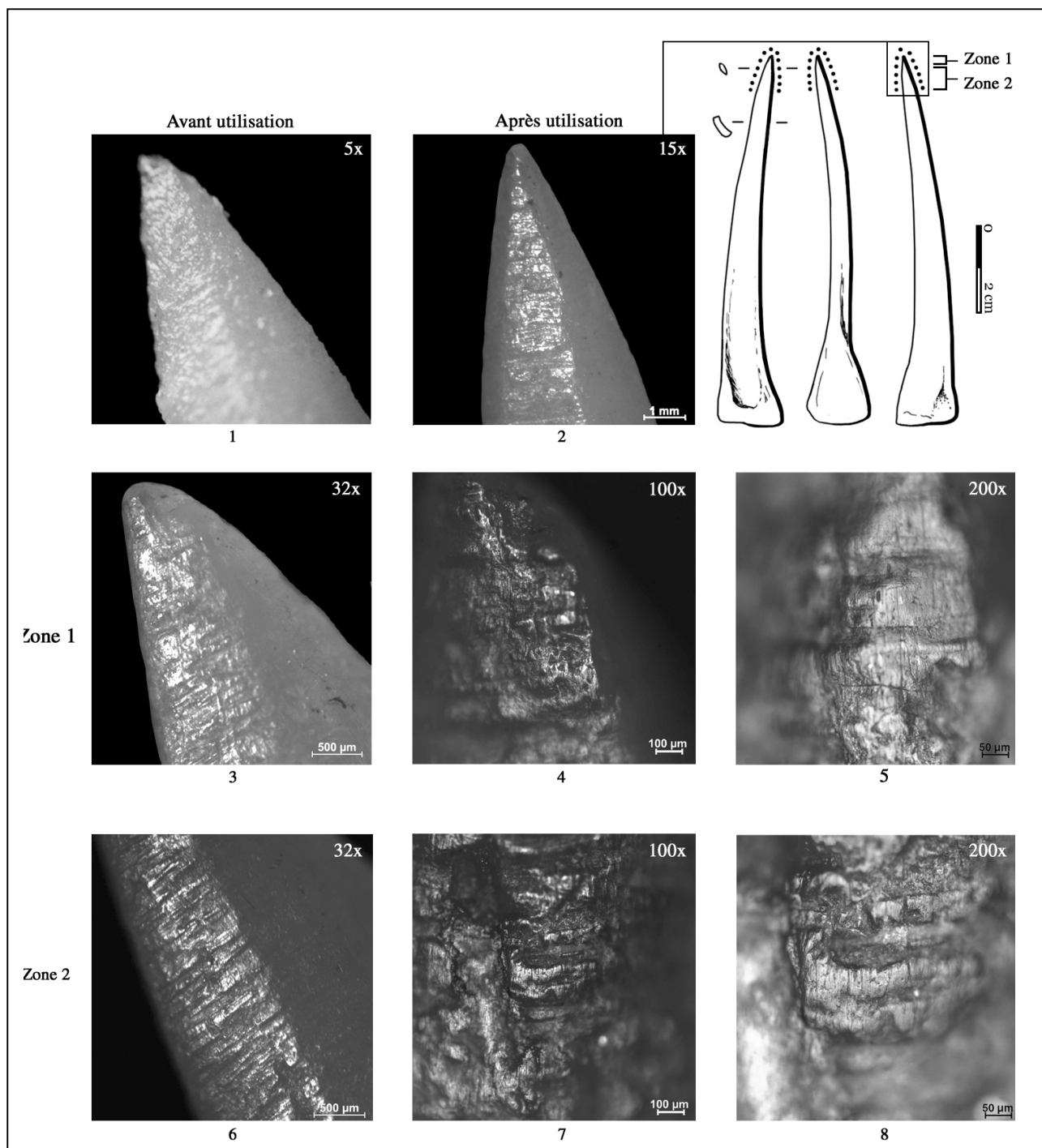


Fig. 22 : Perforation par rotation alternative d'une peau tannée pendant 35 minutes (n° d'inventaire P16) (clichés A. Legrand).

Durée d'utilisation : 50 minutes (P22)

L'usure s'étend à l'ensemble de la pointe. Son étendue est modérée et son développement est dégressif en trois zones d'usure. La première zone mesure 1 mm (fig. 23-2). La seconde zone mesure environ 8 mm (fig. 23-5). Quant à la troisième zone d'usure, sa limite inférieure est floue (fig. 23-8).

Zone d'usure 1 :

Les altérations du volume : À 32x, l'émoussé de l'apex et des arêtes est plus prononcé que dans le cas précédent (fig. 23-2). La déformation de la partie active est très avancée (stade d'usure 3).

Les altérations de surfaces : À 32x, de fréquentes stries d'utilisation pluridirectionnelles, courtes, droites, parallèles entre elles et entrecroisées sont observées sur le relief (fig. 23-2). La topographie est irrégulière (fig. 23-3). Le microrelief est homogène (fig. 23-4). Les élévations sont vernies, d'aspect bombé et de texture lisse. Les stries d'utilisation sont fines, superficielles, droites et continues. De fréquents cratères et microtrous ont également été repérés sur ces élévations. Les cratères sont circulaires ou ovales, leur largeur est comprise entre 9 µm et 15 µm. Leurs bords sont émoussés et leur fond est partiellement lisse.

Zone d'usure 2 :

Les altérations du volume : Les arêtes de la pointe sont modérément émoussées.

Les altérations de surfaces : À 32x, on note que seul le relief est affecté par l'usure et notamment par des stries d'utilisation longitudinales (fig. 23-5). La topographie est irrégulière (fig. 23-6). Les stries de façonnage et les dépressions qui leur sont associées, structurent la surface. Le microrelief est homogène, proche de celui observé dans la zone 1 (fig. 23-7). Les élévations sont vernies, d'aspect bombé et de texture lisse. Les stries d'utilisation restent pluridirectionnelles, fines, superficielles et droites et sont toujours associées à de fréquents cratères et microtrous.

Zone d'usure 3 :

Les altérations du volume : Les arêtes de la pointe sont faiblement émoussées.

Les altérations de surfaces : À 32x, seul le relief est affecté par l'usure (fig. 23-8). La topographie observée est proche de la topographie d'origine (fig. 23-9). Le microrelief est homogène (fig. 23-10). Les caractéristiques des élévations sont similaires à celles exposées pour les zones précédentes. Les stries d'utilisation sont moins fréquentes mais restent pluridirectionnelles, fines, superficielles et droites et associées à de fréquents cratères et microtrous.

L'usure est similaire d'une zone à l'autre. Comme dans le cas précédent, elle traduit un contact diffus et continu entre l'outil et la matière travaillée.

Des traces de préhension ont été identifiées sur la partie mésiale de l'outil. À l'échelle macroscopique, seul le relief est affecté par l'usure (fig. 24-1). À fort grossissement, le microrelief est irrégulier mais tend à se lisser (fig. 24-2).

Caractéristiques de l'usure : Perforation par rotation alternative de peaux tannées

- L'étendue de l'usure est modérée. Plus le temps d'utilisation est long, plus le développement est dégressif, passant de 2 à 3 zones d'usure.
- Plus le temps d'utilisation est long, plus l'émoussé de la pointe est important entraînant alors une déformation très avancée de l'apex.
- Les stries d'utilisation observées à faible grossissement, sont fréquentes, pluridirectionnelles, droites, courtes ou longues.
- La topographie est irrégulière.
- Le microrelief est homogène. L'aspect des élévations est bombé ou plat, leur texture est lisse. Elles sont vernies.
- À l'échelle microscopique, les stries d'utilisation sont fines ou larges, superficielles et continues.
- Les cratères et les microtrous sont nombreux. Les cratères sont circulaires ou ovales. Ils présentent des bords émoussés et leur fond est rugueux ou partiellement lisse.

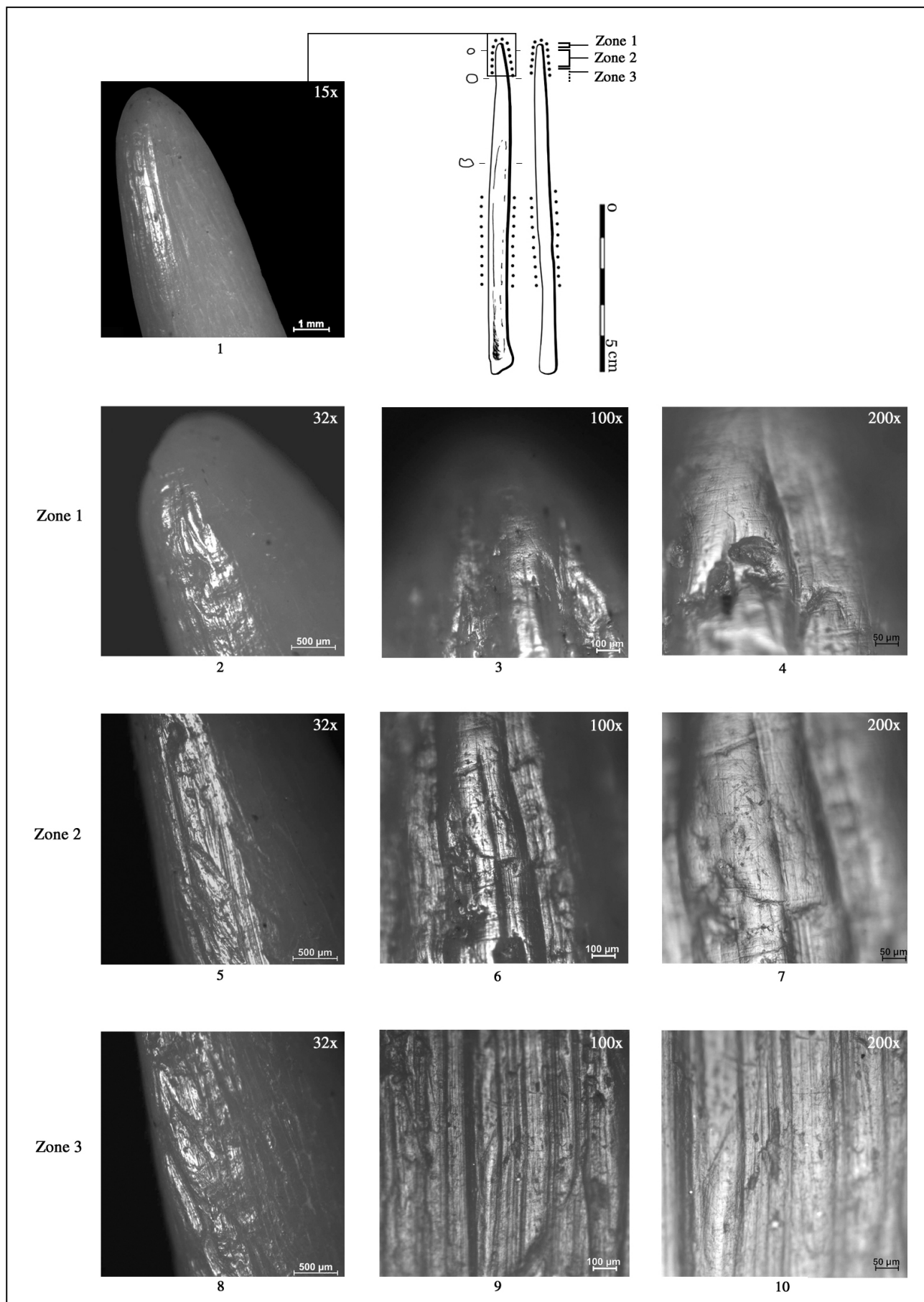


Fig. 23 : Perforation par rotation alternative d'une peau tannée pendant 50 minutes (n° d'inventaire P22) (clichés A. Legrand).

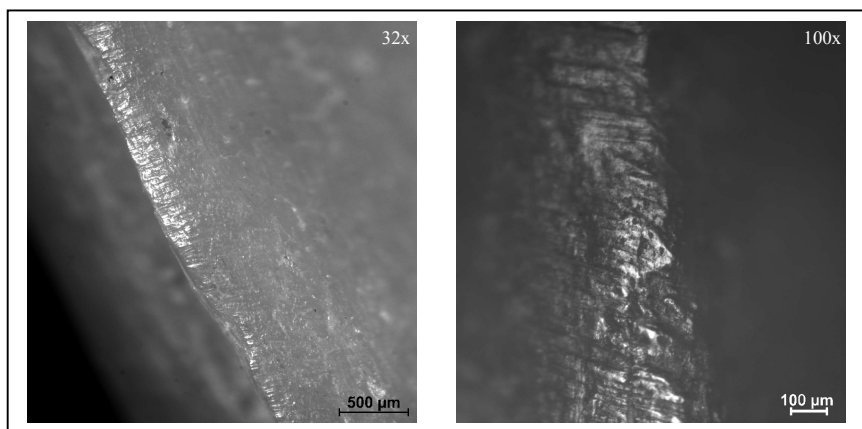


Fig. 24 ; Traces de manipulation observées sur la partie mésiale de l'outil P22 (clichés A. Legrand).

1.13. Perforation par percussion posée indirecte de peaux tannées

Deux pointes (P15, P31) ont été utilisées pour perforer une peau tannée pendant 10 et 45 minutes.

Durée d'utilisation : 10 minutes (P31)

L'usure est localisée sur l'ensemble de la pointe de l'outil (fig. 25-1). Son étendue est modérée et son développement est dégressif en 3 zones d'usure. La zone d'usure 1 mesure 1 mm (fig. 25-2). La zone d'usure 2 mesure 4 mm (fig. 25-3). Enfin, la zone d'usure 3 mesure entre 1 et 2 mm (fig. 25-4). La limite de cette dernière zone est plus ou moins claire.

Zone d'usure 1 :

Les altérations du volume : À 15x puis à 32x, l'apex présente un émoussé faible. L'émoussé des arêtes de la pointe est modéré (fig. 25-2). La déformation de la partie active est peu avancée (stade d'usure 1).

Les altérations de surfaces : À 32x, les stries d'utilisation sont rares et localisées sur le relief. Elles sont longitudinales, longues, droites et parallèles entre elles. La topographie est irrégulière en raison de dépressions profondes et rugueuses aux dimensions variées, liées à la fois au façonnage et à l'usure (fig. 25-3). Le microrelief est homogène (fig. 25-4). Les élévations sont vernies et présentent un aspect bombé et une texture grenue. Les stries d'utilisation apparaissent plus nombreuses à ce grossissement. Elles sont fines, superficielles et continues. On note également la présence de microtrous et de quelques cratères circulaires, d'un diamètre d'environ 9 µm. Les bords de

ces derniers sont émoussés et leur fond est rugueux ou partiellement lisse.

Zone d'usure 2 :

Les altérations du volume : Les arêtes de la pointe sont peu émoussées.

Les altérations de surfaces : À 32x, seul le relief est affecté par les stries d'utilisation (fig. 25-5). La topographie reste irrégulière (fig. 25-6). Le microrelief est homogène (fig. 25-7). L'aspect, la texture et la brillance des élévations sont similaires à ce qui a été observé dans la zone 1. Les altérations microscopiques se caractérisent par de nombreux microtrous et par de nombreuses stries dont les caractéristiques sont proches de celles décrites précédemment.

Zone d'usure 3 :

Les altérations du volume : L'émoussé des arêtes est faible.

Les altérations de surfaces : À 32x, seul le relief est affecté par l'usure (fig. 25-6). De rares stries sont observées à ce grossissement. La topographie observée est celle d'origine (fig. 25-7). Le microrelief est irrégulier (fig. 25-8). L'aspect, la texture et la brillance des élévations restent similaires à la zone 1. Les stries d'utilisation gardent les mêmes caractéristiques, en revanche, les dépressions non linéaires ont disparu.

L'usure apparaît homogène d'une zone d'usure à l'autre. Aucune trace de manipulation n'a été observée sur la partie proximale. Seules les parties proéminentes de la surface articulaire sont légèrement écrasées (stade d'usure 1).

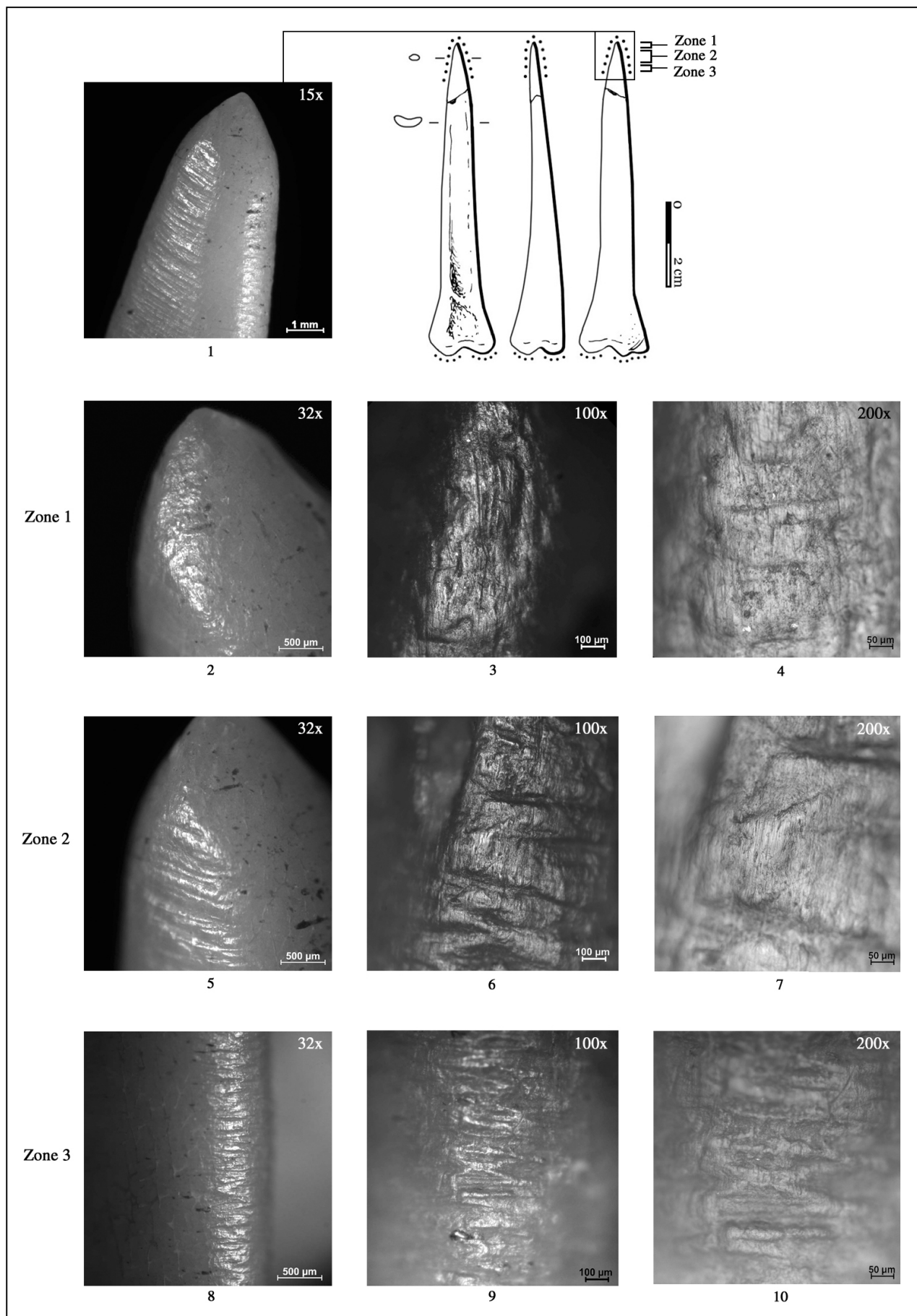


Fig. 25 : Perforation par percussion indirecte d'une peau tannée pendant 10 minutes (n° d'inventaire P31) (clichés A. Legrand).

Durée d'utilisation : 45 minutes (P15)

L'usure s'étend à l'ensemble de la pointe (fig. 26-1). Son étendue est marginale et son développement est homogène. Une seule zone d'usure a été identifiée sur une longueur d'environ 7 mm.

Zone d'usure 1 :

Les altérations du volume : La pointe présente sur sa face supérieure, un enlèvement long et rasant. Celui-ci n'étant pas directement localiser sur l'apex, il ne vient en aucune façon affecter l'efficacité de l'outil. L'apex présente un émoussé modéré qui envahit faiblement les arêtes de la pointe (stade d'usure 2) (fig. 26-2).

Les altérations de surfaces : À 32x, de nombreuses stries d'utilisation obliques, courtes, droites, parallèles entre elles, sont observées (fig. 26-2). La topographie est irrégulière (fig. 26-3). Le microrelief est homogène (fig. 26-4). Les élévations sont vernies, d'aspect bombé et de texture grenue. À 200x, les stries apparaissent pluridirectionnelles, fines, superficielles et continues. Quelques cratères et de fréquents microtrous sont également présents.

Aucune trace de manipulation n'a été observée sur la partie mésiale de l'outil. La surface proximale est peu écrasée (stade d'usure 1).

Caractéristiques de l'usure : Perforation de peaux tannées par percussion posée indirecte

– L'étendue de l'usure est modérée au début de l'utilisation, puis devient marginale. De même, le développement de l'usure diffère au cours de l'utilisation de l'outil.

– L'intensité de l'émoussé ne varie pas au cours de l'utilisation. En revanche, une utilisation longue se caractérise par l'apparition d'éclats. La déformation de la pointe est alors plus avancée.

– Les stries d'utilisation observées à faible grossissement, sont rares au début de l'utilisation puis plus nombreuses. Elles sont pluridirectionnelles, courtes ou longues, droites et parallèles entre elles.

– La topographie est irrégulière.

– Le microrelief est homogène. L'aspect des élévations est bombé, leur texture est grenue et elles sont vernies.

– À l'échelle microscopique, les stries d'utilisation sont fines, superficielles et continues.

– De fréquents cratères au fond rugueux ou partiellement lisse et des microtrous sont observés.

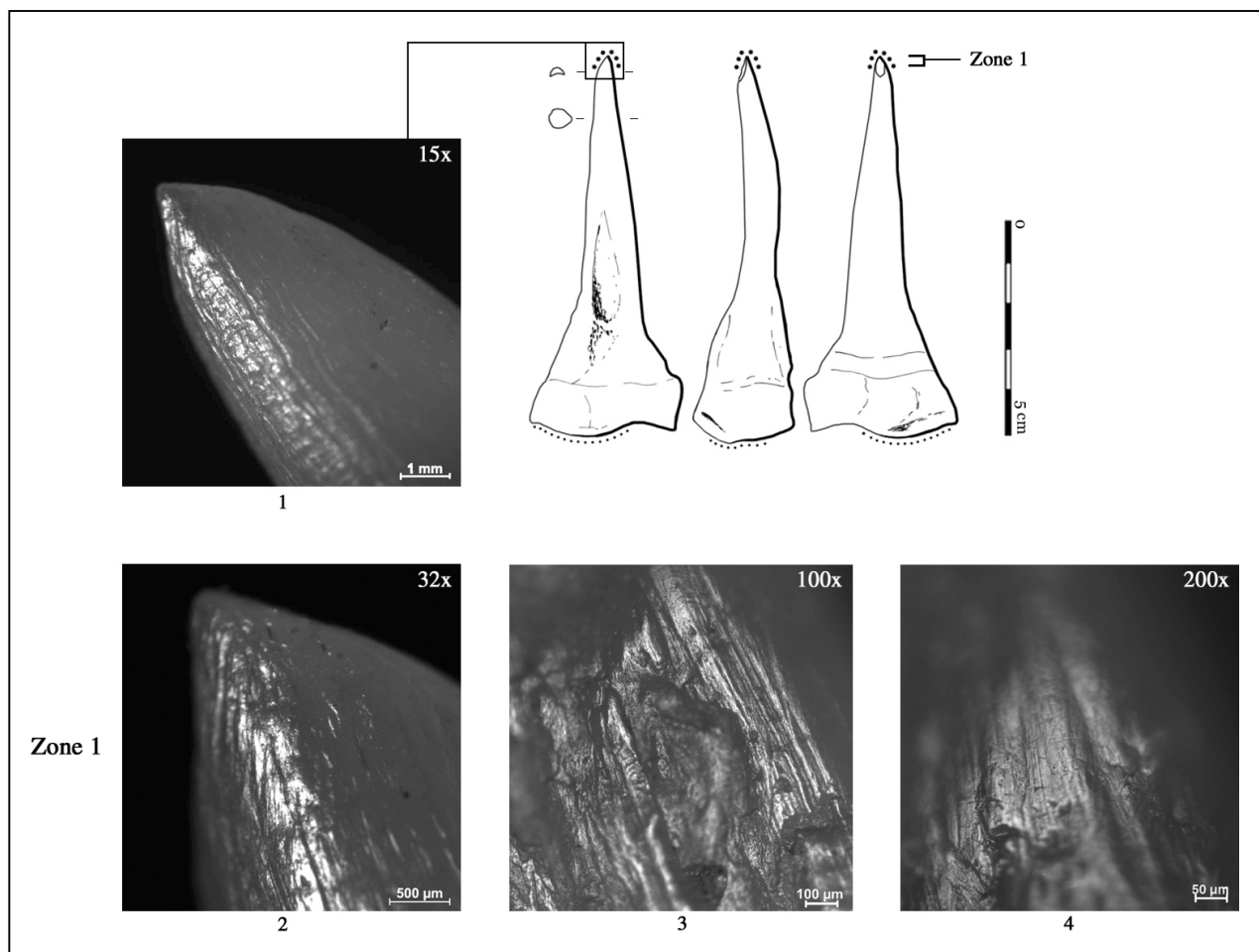


Fig. 26 : Perforation par percussion indirecte d'une peau tannée pendant 45 minutes (n° d'inventaire P15) (clichés A. Legrand).

1.14. Couture sur peaux tannées

Trois aiguilles (A1, A3, A7) ont été utilisées pour coudre un morceau de cuir. La durée d'utilisation varie de 15 à 110 minutes.

Durée d'utilisation : 15 minutes (A7)

L'usure est localisée sur l'ensemble de l'outil mais elle est bien plus développée sur la pointe (fig. 27-1). Le chas est, en effet, peu usé tant au niveau de sa paroi interne que de ses branches (fig. 27-4). L'étendue de l'usure est couvrante et son développement est dégressif.

Zone de l'apex :

Les altérations du volume : À 32x, on note la présence sur l'une des faces de la pointe, une ébréchure qui modifie de façon importante l'apex de l'aiguille (stade d'usure 3). Cet enlèvement traduit directement la nature même du cuir utilisé, c'est-à-dire un cuir plutôt résistant et non assouplit (fig. 27-1).

Les altérations de surfaces : À 32x, seul le relief est affecté par l'usure (fig. 27-1). Les stries d'utilisation sont peu visibles à ce grossissement. À 100x, la topographie est irrégulière (fig. 27-2). À 200x, le microrelief est homogène (fig. 27-3). Les élévations sont vernies, d'aspect bombé et de texture lisse. De nombreuses stries longitudinales, longues, droites, fines, superficielles et continues, apparaissent. Elles sont localisées sur les élévations mais affectent aussi le fond des stries de façonnage les plus émoussées (fig. 27-3). De très nombreux microtrous viennent également piquer la surface.

Zone du chas :

Les altérations du volume : Aucune altération du volume ne vient affecter la zone du chas. La paroi interne est saillante, de même que l'arête de forage.

Les altérations de surfaces : À 32x, aucune altération de surface n'est relevée. L'usure se manifeste à plus fort grossissement. La topographie est celle d'origine (fig. 27-5). À 200x, le microrelief est irrégulier (fig. 27-6). Les élévations sont brillantes, d'aspect bombé et de texture grenue. On observe sur les élévations, quelques stries entrecroisées, courtes et fines.

Aucune trace de manipulation n'a été observée sous le chas probablement en raison de la brièveté de l'utilisation.

Durée d'utilisation : 95 minutes (A3)

L'usure est localisée sur l'ensemble de l'outil mais la pointe reste la zone sur laquelle l'usure est la plus développée (fig. 28-1). Le chas n'est pratiquement pas affecté par l'usure malgré une durée d'utilisation plus longue (fig. 28-4). Le développement de l'usure est dégressif.

Zone de l'apex :

Les altérations du volume : À 32x, l'ensemble de la pointe montre un émoussé modéré (fig. 28-1). Des éclats sont également observés sur l'apex. La déformation de la partie active est avancée (stade d'usure 2).

Les altérations de surfaces : À 32x, de nombreuses stries longitudinales, longues et parallèles entre elles apparaissent (fig. 28-1). À 100x, la topographie est irrégulière (fig. 28-2). À 200x, le microrelief est homogène (fig. 28-3). Les élévations sont brillantes et présentent un aspect bombé et une texture grenue. À ce grossissement, on remarque que les stries d'utilisation affectent aussi bien les élévations que le fond des dépressions les plus émoussées. Elles sont fines ou larges (inférieures à 2 µm), superficielles, droites, rugueuses ou partiellement lisses et associées à de très nombreux microtrous.

Zone du chas :

Les altérations du volume : La paroi interne et les branches du chas ne sont pas affectées par l'usure.

Les altérations de surfaces : À 32x, aucune altération de surface n'a été relevée. À fort grossissement, l'usure est également peu développée. La topographie observée dans cette zone est celle d'origine (fig. 28-5). À 200x, le microrelief est irrégulier (fig. 28-6). Les élévations sont brillantes, leur aspect est bombé et leur texture grenue. On observe sur ces élévations, quelques stries fines, longitudinales et parallèles entre elles.

Aucune trace de manipulation n'a été observée sur cette aiguille.

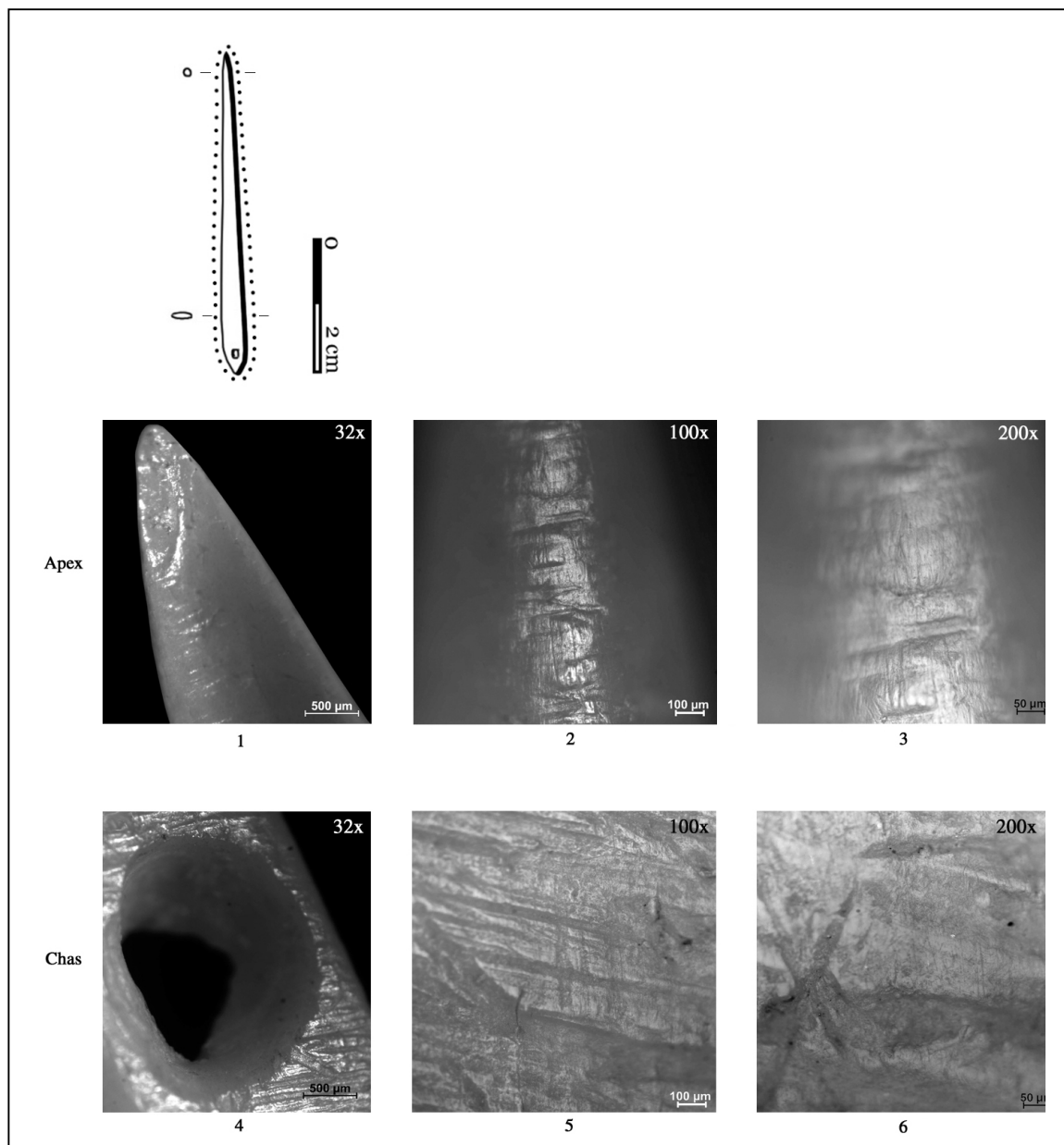


Fig. 27 : Couture sur peau tannée pendant 15 minutes (n° d'inventaire A7) (clichés A. Legrand).

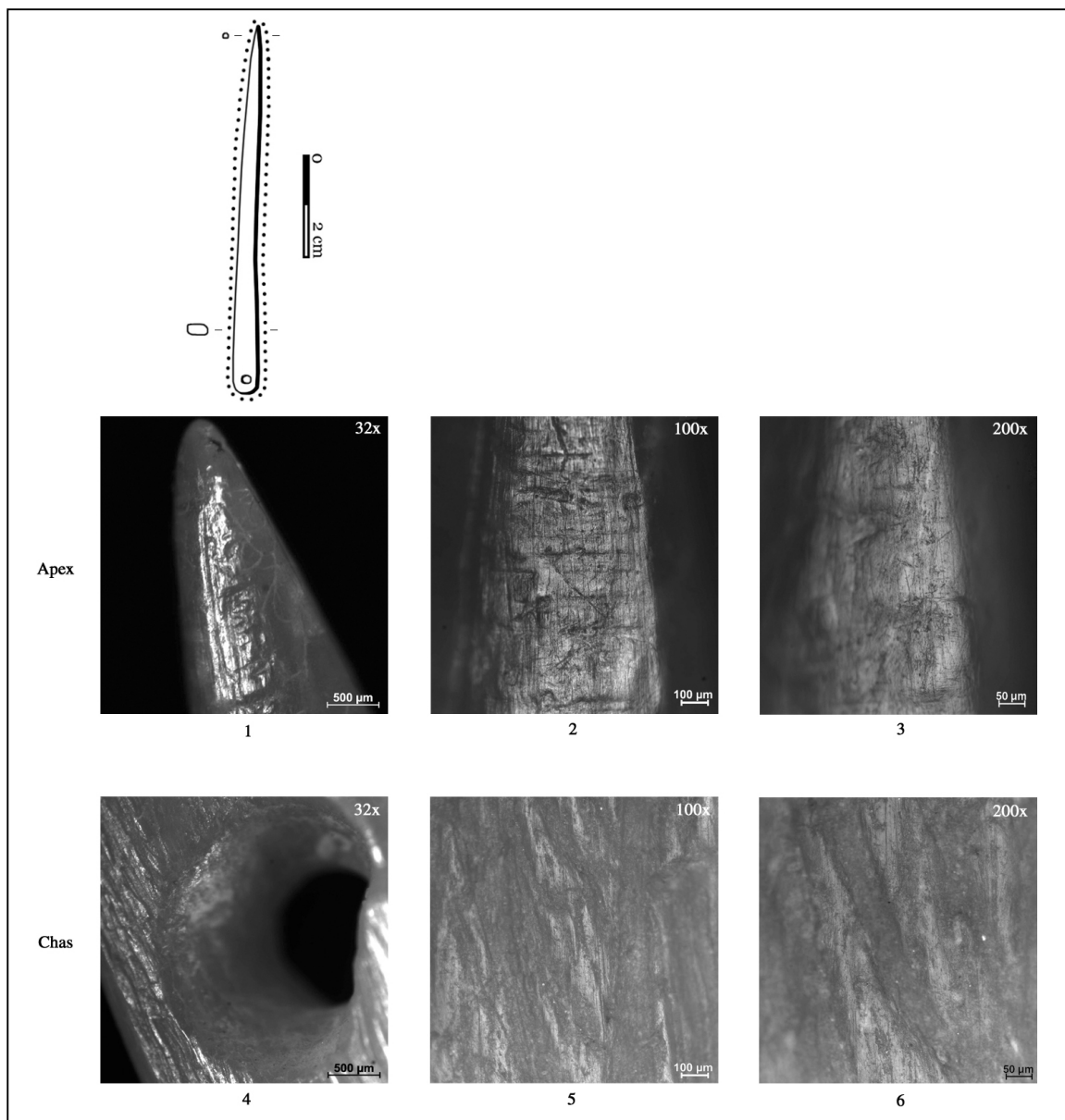


Fig. 28 : Couture sur peau tannée pendant 95 minutes (n° d'inventaire A3) (clichés A. Legrand)

Durée d'utilisation : 110 minutes (A1)

L'usure est localisée sur l'ensemble de l'outil mais plus particulièrement sur la partie distale (fig. 29-1). L'usure du chas est, toutefois, plus importante que dans les cas précédents (fig. 29-4). L'étendue de l'usure est couvrante et son développement est dégressif. Le degré d'effacement des traces de fabrication sur la zone de l'apex est modéré (fig. 29-1).

Zone de l'apex :

Les altérations du volume : Un écrasement oblique de l'apex associé à un émoussé important a été repéré à 32x (fig. 29-1). La morphologie oblique de l'écrasement traduit la position de l'aiguille par rapport à la matière lors de son utilisation. La combinaison écrasement et émoussé modifie de façon importante le contour initial de l'apex puisque ce dernier est rectiligne et déjeté. La déformation de la partie active est donc très avancée (stade d'usure 3)

Les altérations de surfaces : À 32x, de nombreuses stries d'utilisation longitudinales, longues, droites et parallèles entre elles, sont observées sur l'ensemble de la zone considérée (fig. 29-1). À 100x, la topographie est régulière (fig. 29-2). À 200x, le microrelief est régulier (fig. 29-3). La surface est vernie et de texture lisse. Les stries d'utilisation affectent à la fois les élévations et le fond des dépressions. Elles sont fines, superficielles et continues. Quelques cratères de forme circulaire et d'un diamètre d'environ 5 µm, apparaissent. Leurs bords sont émoussés et leur fond est partiellement lisse. Les microtrous sont moins fréquents que lors d'une utilisation plus brève.

Zone du chas :

Les altérations du volume : Contrairement aux aiguilles précédentes, la paroi interne du chas est, ici, émoussée (fig. 29-4). Mais la déformation du chas reste peu importante.

Les altérations de surfaces : Les altérations de surface sont difficilement perceptibles à faible grossissement. La topographie est plutôt régulière malgré de profondes

stries d'abrasion (fig. 29-5). À 200x, le microrelief est irrégulier (fig. 29-6). Les élévations sont vernies, leur aspect est bombé et leur texture est grenue. On observe sur ces élévations, quelques stries fines, pluridirectionnelles. Ces stigmates pourraient être attribués à une usure de préhension.

Caractéristiques de l'usure : Couture sur peaux tannées

– L'étendue de l'usure est plus importante au cours de l'utilisation mais son développement reste dégressif. Si l'apex est systématiquement usé, l'usure du chas est progressive mais reste peu développée.

– Dans les premiers temps de l'utilisation, l'apex porte des éclats puis un émoussé important se développe. Enfin, un écrasement associé à un émoussé affecte l'apex lorsque le temps d'utilisation est long. Plus le temps d'utilisation est long, plus la déformation de la partie active est donc importante. En revanche, celle du chas est dans tous les cas, peu avancée.

– Les stries d'utilisation observées à faible grossissement sont rares au début de l'utilisation puis deviennent plus nombreuses. Elles sont principalement longitudinales, longues, droites et parallèles entre elles.

– La topographie est irrégulière au début de l'utilisation, puis se régularise.

– Le microrelief est homogène mais tend à se régulariser à la fin de l'utilisation. L'aspect des élévations est bombé, leur texture est grenue ou lisse et elles sont le plus souvent vernies mais peuvent également être brillantes.

– À l'échelle microscopique, les stries d'utilisation sont fines ou larges, superficielles et continues. Leur fond est rugueux ou partiellement lisse.

– Quelques cratères, aux bords émoussés et au fond partiellement lisse, apparaissent à la fin de l'utilisation. Les microtrous sont au contraire, toujours nombreux

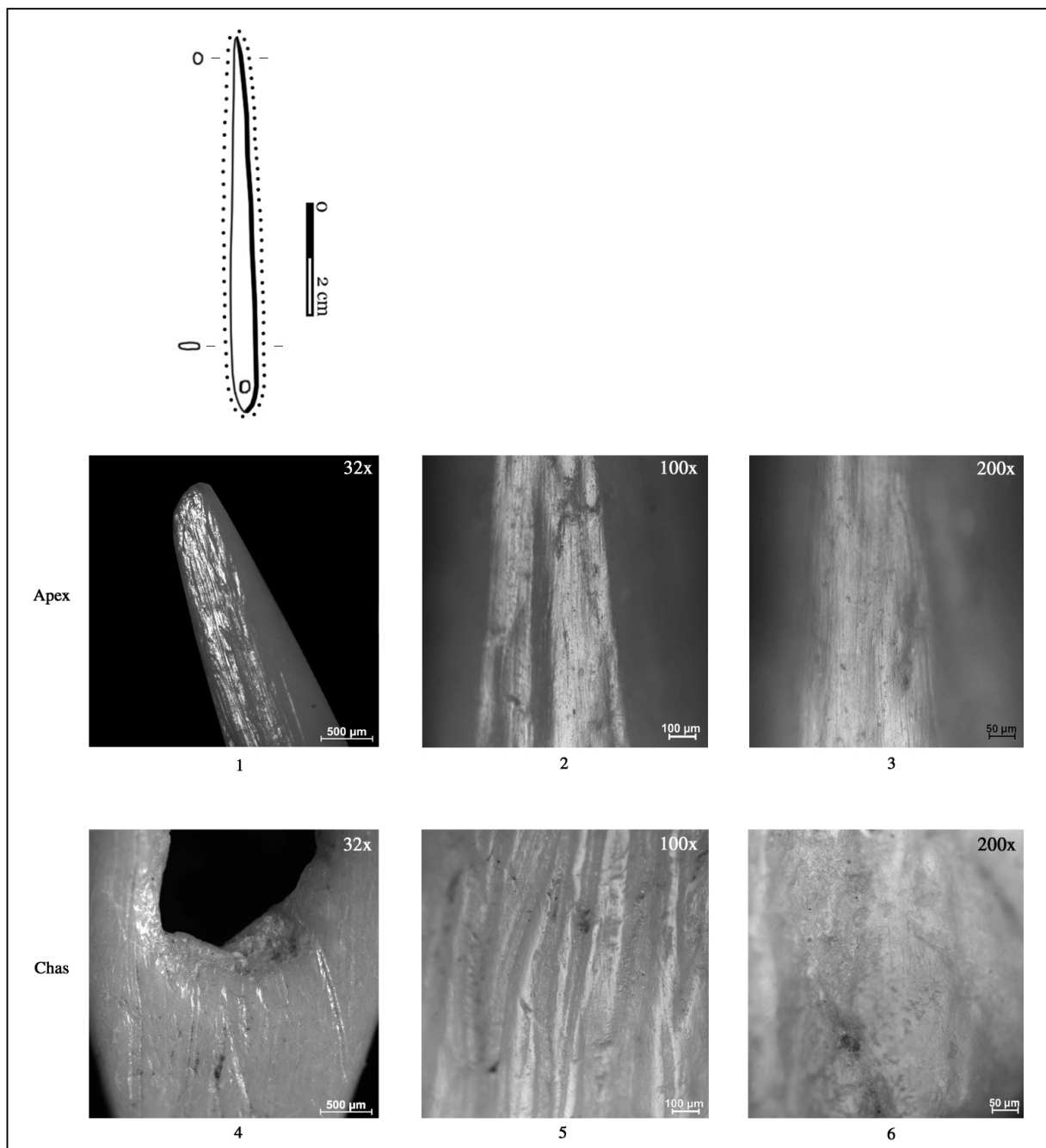


Fig. 29 : Couture sur peau tannée pendant 110 minutes (n° d'inventaire A1) (clichés A. Legrand).

2. TRAVAIL DE L'OS

2.1. Perforation par rotation alternative d'un os sec

Deux pointes (P9 et P60) ont été utilisées pendant 30 minutes pour perforer une plaquette en os.

Durée d'utilisation : 30 minutes

L'usure est localisée sur l'ensemble de la pointe (fig. 30-1). L'étendue de l'usure est marginale et son développement est homogène. Une seule zone d'usure a été observée sur une longueur de 3 mm.

Zone d'usure 1 :

Les altérations du volume : On observe un écrasement à plat de l'apex, associé à un émoussé modéré qui affecte

également les arêtes de la pointe (fig. 30-1). La morphologie initiale du contour de l'apex est totalement transformée (stade d'usure 3).

Les altérations de surfaces : À 32x, les stries d'utilisation sont rares, transversales, courtes et entrecroisées (fig. 30-2). La topographie est irrégulière (fig. 30-3). Le microrelief est irrégulier ou homogène. Les élévations sont vernies, d'aspect bombé et de texture grenue. Les stries d'utilisation localisées sur ces élévations sont larges (de 2 à 4 μm), profondes, droites et continues (fig. 30-4). Leurs bords sont émoussés et leur fond rugueux ou partiellement lisse. De nombreux microtrous sont présents.

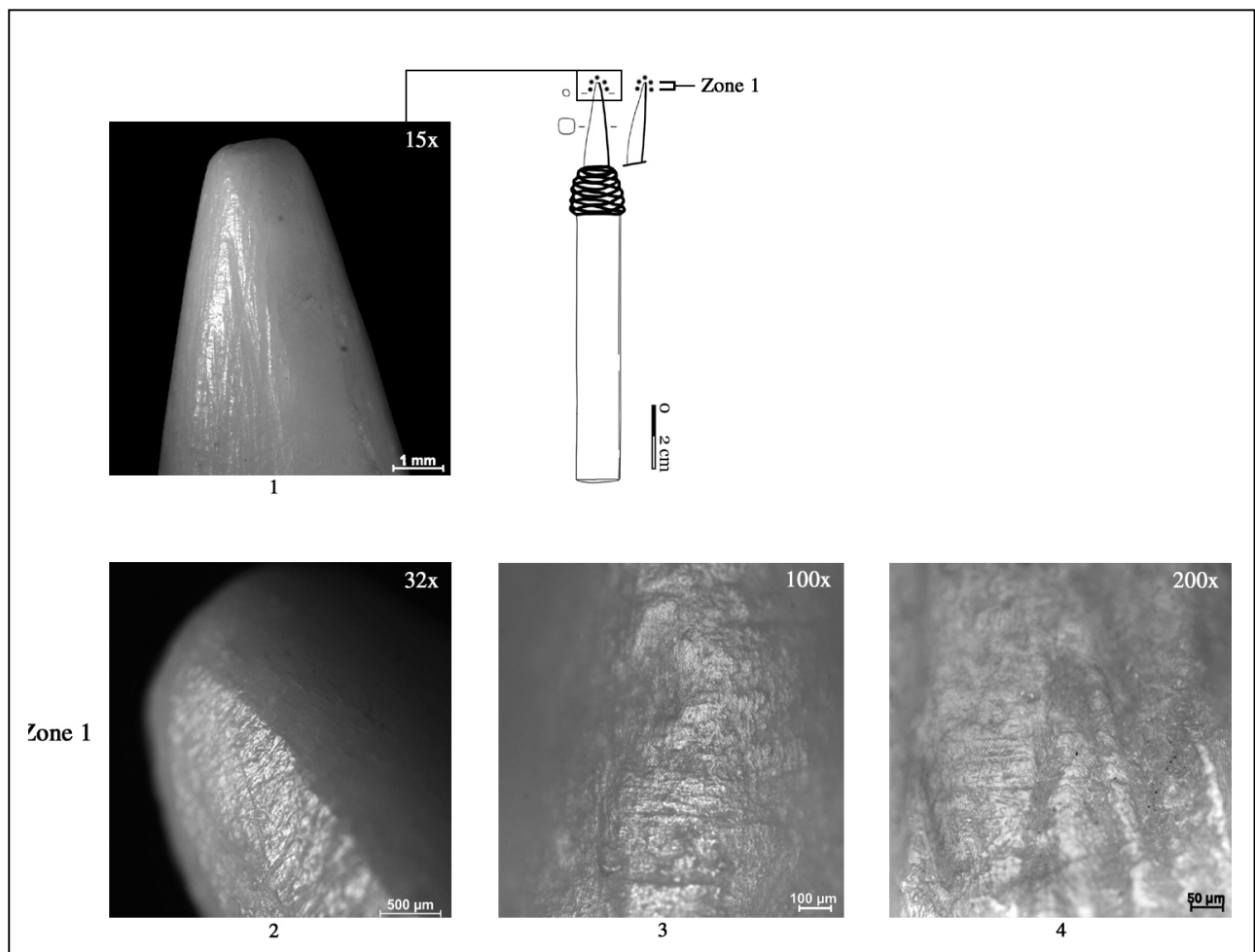


Fig. 30 : Perforation par rotation alternative d'une plaquette en os pendant 30 minutes (n° d'inventaire P60) (clichés A. Legrand).

3. TRAVAIL DU BOIS VEGETAL

3.1. Fendage par percussion indirecte de feuillus verts

Cinq outils tranchants (Os2, Os6b, Os10, T3, T4) ont été utilisés pour fendre des branches de feuillu vert. La durée d'utilisation varie de 5 à 25 minutes.

Durée d'utilisation : 10 minutes (Os2, Os6b, T4)

La localisation de l'usure est bifaciale et asymétrique. Elle est plus développée sur la face inférieure du tranchant (fig. 31-1). L'étendue de l'usure est modérée et son développement est dégressif en deux zones d'usure. La première mesure 7 mm. (fig. 31-2). La seconde zone d'usure mesure au minimum 12 mm, sa limite n'a pu être précisée (fig. 31-5).

Zone d'usure 1 :

Les altérations du volume : À 32x, le taillant présente un émoissé symétrique et modéré (fig. 31-2). La déformation de la partie active est faible (stade d'usure 1).

Les altérations de surfaces : À 32x, de fréquentes stries d'utilisation longitudinales, longues, droites et entrecroisées, associées à des cratères, sont observées principalement sur la face inférieure du tranchant (fig. 31-2). La topographie est irrégulière (fig. 31-3). Le microrelief est homogène (fig. 31-4). Les élévations sont brillantes, d'aspect bombé ou plat et de texture lisse. Les stries d'utilisation sont à peine visibles. Elles sont fines, superficielles, continues ou discontinues. Les cratères sont rares, circulaires et ont un diamètre variable compris entre 6 µm et 22 µm. Leurs bords sont émoissés et leur fond est rugueux ou partiellement lisse. Les microtrous sont fréquents.

Zone d'usure 2 :

Les altérations du volume : L'émoissé des bords est faible.

Les altérations de surfaces : À 32x, seul le relief est affecté par l'usure (fig. 31-5). Quelques stries longitudinales localisées sur le relief, sont observées à 32x. La topographie est proche de celle d'origine (fig. 31-6). Le microrelief est irrégulier (fig. 31-7). Les élévations sont brillantes et présentent un aspect bombé et une texture grenue. Les stries d'utilisation sont plus profondes et plus larges que celles observées dans la zone 1. Leurs bords sont émoissés et leur fond est partiellement lisse. Les cratères ont disparu en revanche, les microtrous restent fréquents.

Entre la zone d'usure 1 et la zone d'usure 2, l'usure diffère. Outre l'aspect du microrelief, on note que l'aspect des élévations et en particulier leur texture change, plutôt lisse dans la zone 1, elle devient grenue dans la zone 2. Aucune trace de manipulation n'a été repérée. La surface proximale de l'outil est légèrement écrasée (stade d'usure 1).

Durée d'utilisation : 25 minutes (T3)

L'usure est bifaciale et plus développée sur la face inférieure du tranchant (fig. 32-1). Son étendue est envahissante et son développement est dégressif en trois zones d'usure. La zone d'usure 1 s'étend sur une longueur de 5 mm (fig. 32-2). La zone d'usure 2 mesure 15 mm (fig. 32-5). La zone d'usure 3 mesure 6 mm (fig. 32-8). La limite de cette dernière zone est claire.

Zone d'usure 1 :

Les altérations du volume : L'émoissé du taillant et des bords est symétrique et modéré (fig. 32-2). La déformation de la partie active est peu avancée (stade d'usure 1). L'enlèvement visible sur le bord droit a été provoqué au façonnage (fig. 32-2).

Les altérations de surfaces : À 32x, les stries d'utilisation sont nombreuses, longitudinales, longues et droites (fig. 32-2). De nombreux cratères sont également présents. À 100x, la topographie est irrégulière (fig. 32-3). À 200x, le microrelief est homogène (fig. 32-4). Les élévations sont vernies. Leur aspect est bombé et leur texture est lisse. À ce grossissement, les stries affectent uniquement les élévations, contrairement au travail des peaux. Elles sont fines, superficielles, continues ou discontinues. Les cratères sont circulaires et ont un diamètre d'environ 11 µm. Leurs bords sont émoissés et leur fond est rugueux ou partiellement lisse. Les microtrous sont plus nombreux que les cratères.

Zone d'usure 2 :

Les altérations du volume : les bords du tranchant sont faiblement émoissés.

Les altérations de surfaces : À 32x, l'on retrouve les mêmes stries d'utilisation longitudinales que celles observées dans la zone 1 (fig. 32-5). À 100x, la topographie est irrégulière (fig. 32-6). À 200x, le microrelief est homogène (fig. 32-7). L'aspect, la texture et la brillance des élévations sont similaires à la zone 1. Les stries d'utilisation et les dépressions non linéaires restent nombreuses et présentent les mêmes caractéristiques que celles observées dans la zone précédente.

Zone d'usure 3 :

Les altérations du volume : les bords du tranchant sont faiblement émoissés.

Les altérations de surfaces : Seul le relief est affecté par l'usure (fig. 32-8). Les stries d'utilisation sont peu visibles à 32x. À 100x, la topographie observée est celle d'origine, légèrement transformée par l'usure (fig. 32-9). À 200x, le microrelief est irrégulier (fig. 32-10). Les élévations sont ternes, d'aspect bombé et de texture grenue. Les stries sont localisées sur les élévations. Elles sont nombreuses et fines et paraissent moins ordonnées que dans les zones précédentes. Les microtrous restent nombreux.

L'usure est similaire d'une zone à l'autre. Aucune trace de manipulation n'a été identifiée. La surface proximale est écrasée (stade d'usure 1).

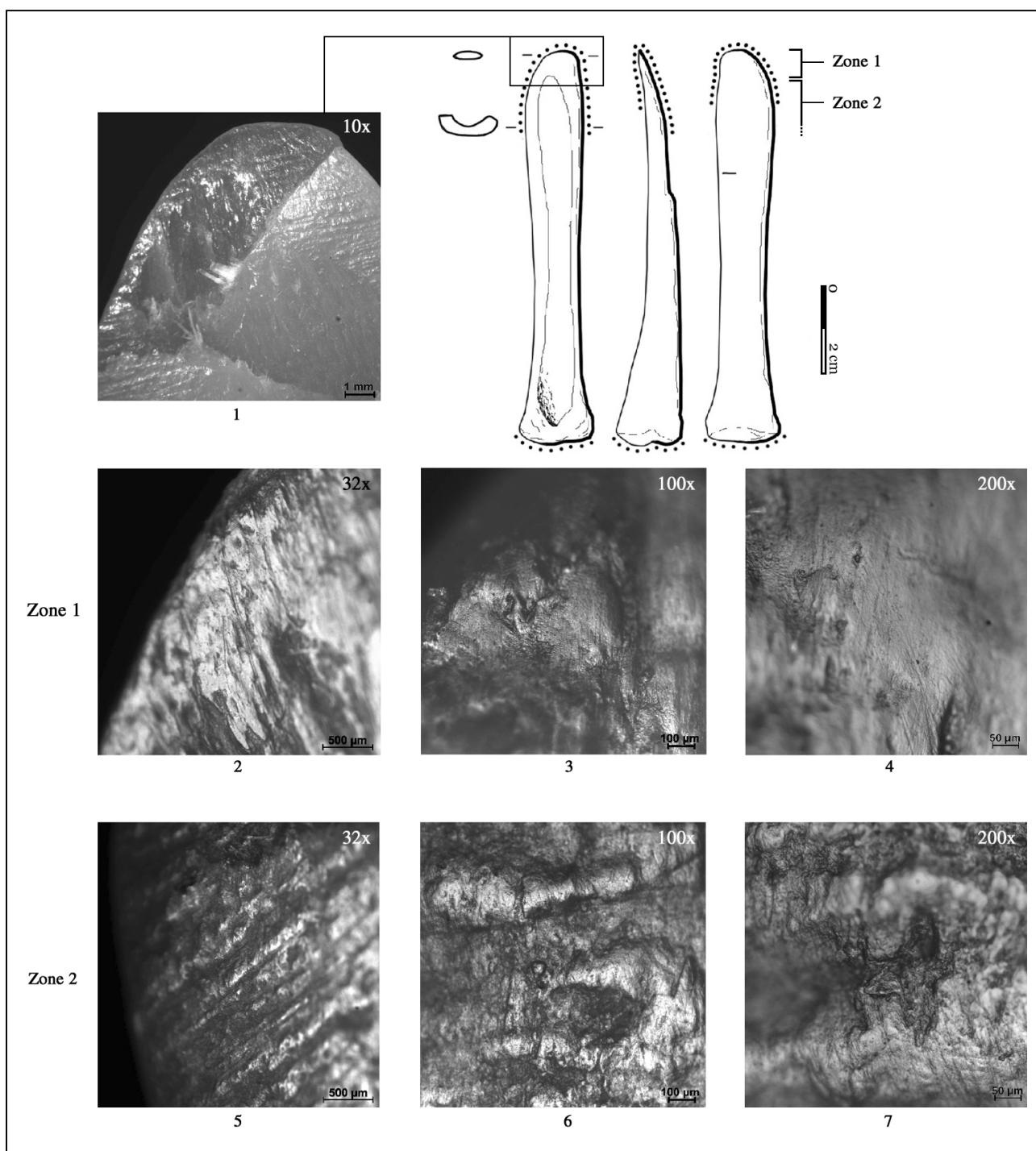


Fig. 31 : Fendage par percussion indirecte de feuillus verts pendant 10 minutes (n° d'inventaire T4)
(clichés A. Legrand).

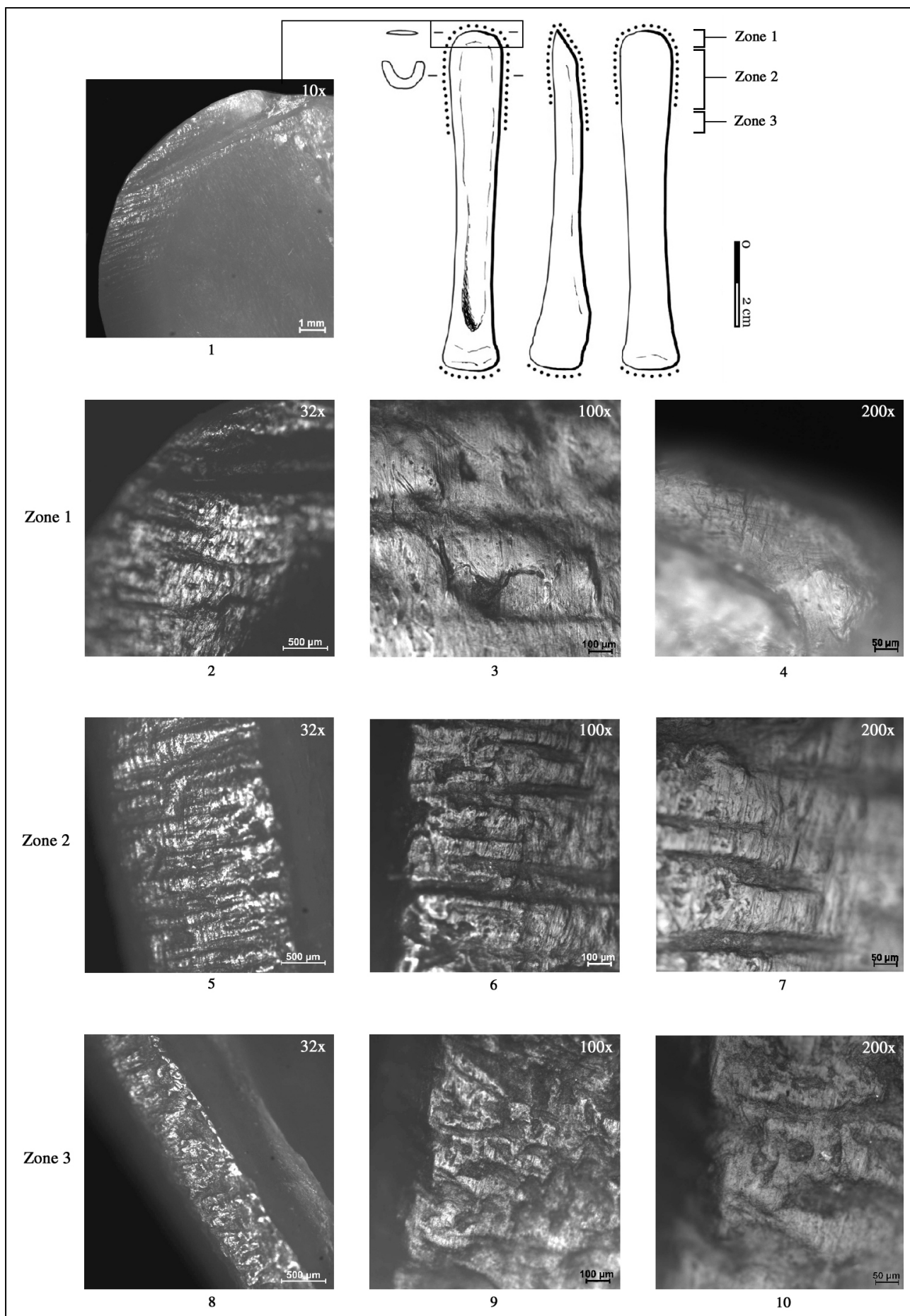


Fig. 32 : Fendage par percussion indirecte de feuillus verts pendant 25 minutes (n° d'inventaire T3) (clichés A. Legrand).

Caractéristiques de l'usure : Fendage par percussion indirecte de feuillus verts

- Plus le temps d'utilisation est long, plus l'étendue de l'usure est envahissante et plus son développement est dégressif.
- L'éroussé est symétrique et son intensité est modérée. Le contour initial du taillant est peu modifié. La déformation de la partie active est peu avancée.
- Les stries d'utilisation observées à faible grossissement sont nombreuses. Principalement longitudinales, elles sont longues, droites et entrecroisées. De nombreux cratères sont également présents.
- La topographie est irrégulière.
- Le microrelief est homogène. L'aspect des élévations est bombé ou plat et leur texture est lisse. Elles sont brillantes ou vernies.
- À l'échelle microscopique, les stries d'utilisation sont localisées sur les élévations. Elles sont fines, superficielles, continues ou discontinues.
- Le nombre de cratères augmente au cours de l'utilisation. Leurs bords sont éroussés et leur fond est rugueux ou partiellement lisse. Les microtrous sont également plus nombreux à la fin de l'utilisation.

3.2. Entaillage par percussion indirecte de feuillus verts

Trois outils tranchants (Os1, Os5, T6) ont été utilisés en coupe positive pour entailler des branches de feuillu vert. L'angle de dépouille était d'environ 45°. La durée d'utilisation varie de 7 à 40 minutes. L'outil utilisé 7 minutes s'étant rapidement brisé, il ne sera pas ici considéré.

Durée d'utilisation : 15 minutes (T6)

La localisation de l'usure est bifaciale et symétrique. Son étendue est marginale et son développement est dégressif en deux zones d'usure. La première zone mesure 1 mm et la seconde 2 mm (fig. 33-2 & fig. 33-5).

Zone d'usure 1 :

Les altérations du volume : Quelques écaillures sont disposées le long du taillant marqué également par un éroussé à facettes bombées. La déformation de la partie active est peu avancée (stade d'usure 1)

Les altérations de surfaces : De fréquentes stries d'utilisation pluridirectionnelles, courtes et droites sont observées sur le relief (32x) (fig. 33-2). La topographie est irrégulière (fig. 33-3). Le microrelief est homogène (fig. 33-4). Les élévations sont vernies et présentent un aspect bombé et une texture plutôt lisse. Elles sont entrecoupées par des stries d'utilisation larges (supérieures à 3 µm), superficielles, continues, aux bords éroussés et à fond rugueux ou partiellement lisse.

Zone d'usure 2 :

Les altérations du volume : Un éroussé faible affecte les bords du tranchant.

Les altérations de surfaces : À 32x, seul le relief est affecté par l'usure (fig. 33-5). À 100x, la topographie observée est proche de celle d'origine (fig. 33-6). À 200x, le microrelief est irrégulier à homogène (fig. 33-7). L'aspect et la texture des élévations ne varient pas d'une zone à l'autre, en revanche, leur brillance est atténuée. Les stries d'utilisation sont similaires à celles de la zone 1.

L'usure est relativement similaire et homogène d'une zone à l'autre. Aucune trace de manipulation n'a été identifiée. Seules les parties proéminentes de la surface proximale sont légèrement écrasées (stade d'usure 1).

Durée d'utilisation : 40 minutes (Os5)

La localisation de l'usure est bifaciale et plus développée sur la face inférieure du tranchant (fig. 34-1). Son étendue est envahissante et son développement est dégressif en deux zones d'usure. La première mesure 10 mm (fig. 34-2). La seconde zone d'usure mesure 15 mm (fig. 34-5).

Zone d'usure 1 :

Les altérations du volume : Le taillant et les bords du tranchant présentent un éroussé symétrique et important (stade d'usure 2) (fig. 34-2).

Les altérations de surfaces : À 32x, de nombreuses stries pluridirectionnelles, longues, droites, sont observées (fig. 34-2). Quelques cratères circulaires ont également été repérés. La topographie est irrégulière en raison de la variété dimensionnelle et directionnelle des stries d'utilisation (fig. 34-3). Le microrelief est homogène (fig. 34-4). Les élévations sont brillantes, d'aspect plat et de texture lisse. Les stries d'utilisation sont plus ou moins larges (entre 1 et 3 µm), superficielles, continues, aux bords peu éroussés et au fond partiellement lisse. Les cratères sont circulaires, leurs bords sont éroussés et leur fond est partiellement lisse.

Zone d'usure 2 :

Les altérations du volume : L'éroussé des bords du tranchant est faible.

Les altérations de surfaces : À 32x, seul le relief est affecté par des stries pluridirectionnelles, longues, entrecroisées et désordonnées (fig. 34-5). La topographie observée est proche de la topographie d'origine (fig. 34-6). Le microrelief est homogène (fig. 34-7). L'aspect, la texture et la brillance des élévations ne varient pas. Les stries sont, en revanche, nettement moins marquées que dans la zone 1. De rares cratères apparaissent également sur les élévations.

L'usure est relativement homogène d'une zone à l'autre malgré la présence dans la zone 2 de stries de façonnage bien marquées. Des traces de manipulation ont été observées dans la partie mésiale. La surface proximale est peu écrasée (stade d'usure 1).

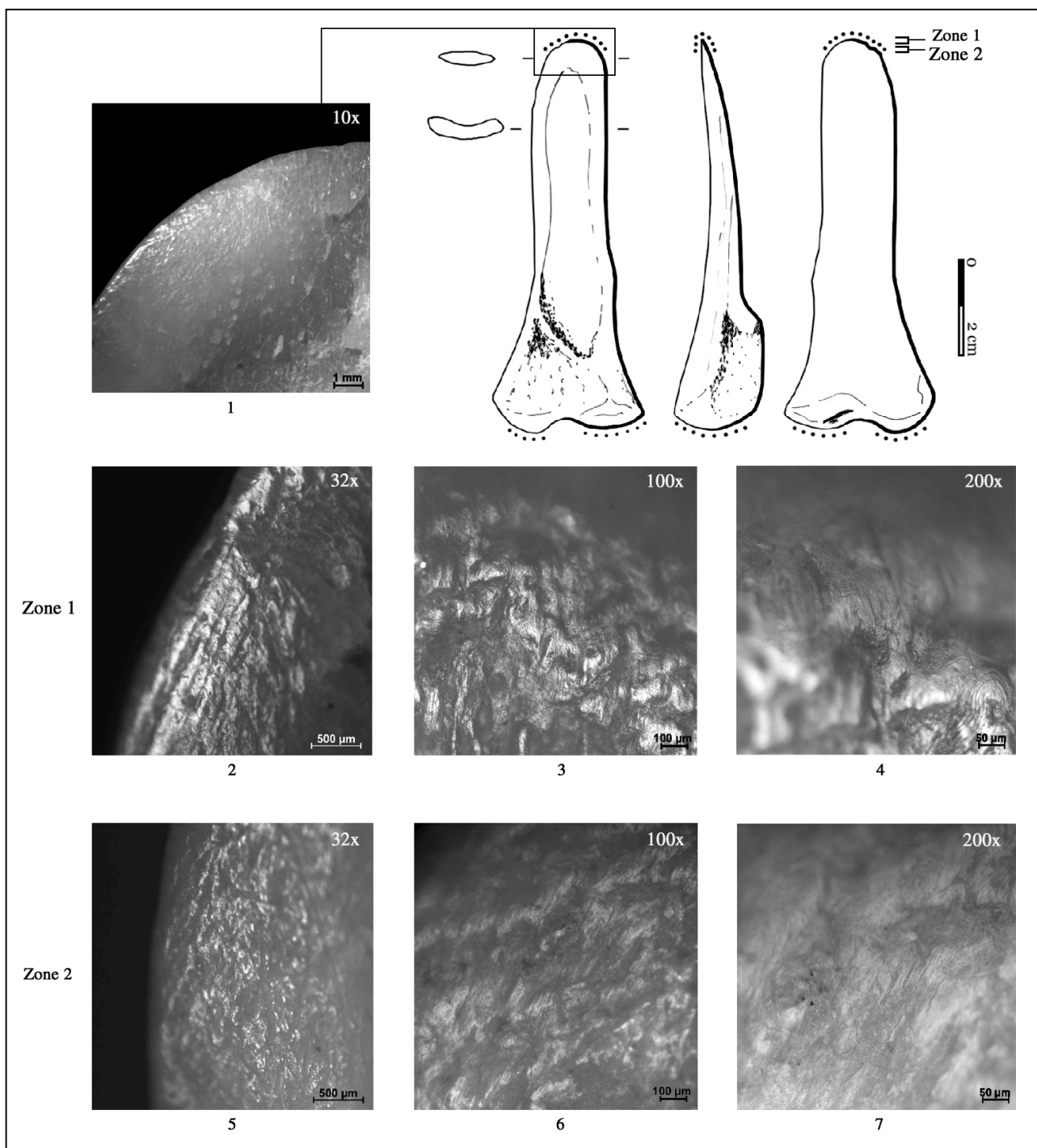


Fig. 33 : Entaillage par percussion indirecte de feuillus verts pendant 15 minutes (n° d'inventaire T6) (clichés A. Legrand).

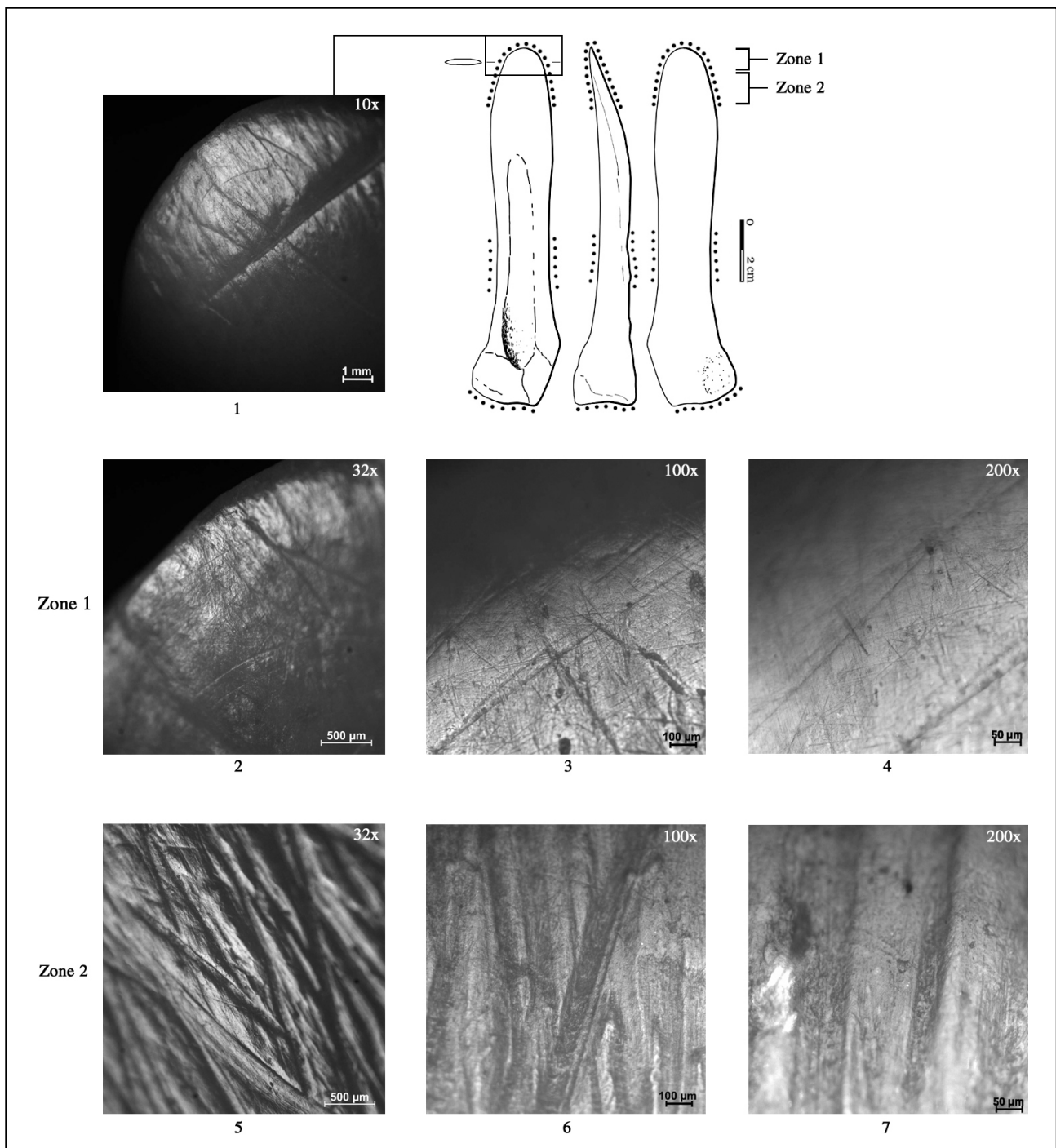


Fig. 34 : Entaillage par percussion indirecte de feuillus verts pendant 40 minutes (n° d'inventaire Os5)
(clichés A. Legrand).

Caractéristiques de l'usure : Entaillage par percussion indirecte de feuillus verts

- Au cours de l'utilisation, l'étendue de l'usure est plus envahissante, en revanche, son développement est systématiquement dégressif en 2 zones d'usure.
- Le taillant présente, au début de l'utilisation, des écaillures associées à un émoussé à facettes bombées, de faible intensité. Au cours de l'utilisation, l'émoussé est plus intense. Ainsi, plus le temps d'utilisation est long, plus la partie active est déformée.
- Les stries d'utilisation observées à faible grossissement sont nombreuses, pluridirectionnelles, courtes ou longues et droites.
- La topographie est irrégulière.
- Le microrelief est homogène. L'aspect des élévations est bombé ou plat, leur texture est lisse. Elles sont vernies ou brillantes.
- À l'échelle microscopique, les stries d'utilisation sont localisées sur les élévations. Elles sont larges, superficielles, continues, rugueuses ou partiellement lisses. Leurs bords sont émoussés.
- De rares cratères, partiellement lisses, apparaissent à la fin de l'utilisation.

3.3. Fendage par percussion indirecte de feuillus secs

Deux outils tranchants (T7 et T9) ont été utilisés pour fendre des branches de feuillu sec. Les temps d'utilisation sont de 10 et de 25 minutes. Sous les chocs répétés, mais aussi en raison de la nature même de la matière première (de l'os sec a été utilisé), le premier outil s'est fissuré sur presque toute sa longueur. Le second outil s'est brisé en oblique, du taillant vers le bord droit de la face inférieure du tranchant. Dans les deux cas, le travail a dû être interrompu.

Durée d'utilisation : 10 minutes (T7)

L'usure est bifaciale et symétrique. Son étendue est modérée et son développement est dégressif en deux zones d'usure. La première mesure 5 mm (fig. 35-2). La seconde mesure 5 mm (fig. 35-5).

Zone d'usure 1 :

Les altérations du volume : Le taillant présente un émoussé à facettes bombées. Sa morphologie initiale est peu modifiée (stade d'usure 1) (fig. 35-1).

Les altérations de surfaces : De nombreuses stries d'utilisation majoritairement longitudinales, longues, droites, parallèles entre elles ou entrecroisées sont observées à 32x (fig. 35-2). La topographie est irrégulière (fig. 35-3). Le microrelief est homogène (fig. 35-4). Les élévations sont vernies, d'aspect bombé ou plat et de texture lisse. Les stries d'utilisation présentent une orientation qui, à ce grossissement,

apparaît pluridirectionnelle. Elles sont larges (entre 3 μ m et 6 μ m), profondes et continues. De rares cratères circulaires, d'un diamètre compris entre 6 μ m et 22 μ m sont également présents. Les bords de toutes ces dépressions sont émoussés et leur fond est rugueux et partiellement lisse.

Zone d'usure 2 :

Les altérations du volume : L'émoussé des bords du tranchant est faible.

Les altérations de surfaces : Seul le relief est affecté par l'usure (fig. 35-5). La topographie observée est proche de celle d'origine (fig. 35-6). Le microrelief est homogène (fig. 35-7). L'aspect des élévations est plat. Leur texture reste lisse, en revanche, leur brillance s'atténue légèrement. Les stries d'utilisation sont moins nombreuses. Les stries larges ont disparu, seules les stries fines à peine marquées affectent les élévations. Les cratères ont disparu.

L'usure reste homogène d'une zone à l'autre et indique ainsi le caractère diffus du contact entre l'outil et la matière.

Durée d'utilisation : 25 minutes (T9)

L'usure est bifaciale et asymétrique puisqu'elle est davantage localisée sur la face inférieure du tranchant (fig. 36-1). Son étendue est modérée et son développement est homogène en raison de la présence d'un biseau prononcé qui limite la pénétration de l'outil dans la matière. Une seule zone d'usure a été mise en évidence (fig. 36-2).

Zone d'usure 1 :

Les altérations du volume : Des écaillures sont disposées le long du taillant. Ce dernier est également affecté par un émoussé symétrique de faible intensité (fig. 36-1). La déformation de la partie active est peu avancée (stade d'usure 1).

Les altérations de surfaces : De nombreuses stries d'utilisation longitudinales, longues, droites et parallèles entre elles sont présentes (fig. 36-2). La topographie est irrégulière (fig. 36-3). Le microrelief est homogène (fig. 36-4). Les élévations sont vernies, d'aspect bombé et de texture grenue. Les stries d'utilisation apparaissent pluridirectionnelles à ce grossissement. Elles sont fines, superficielles et continues. Les cratères ont disparu mais on remarque la présence de nombreux microtrous.

Quel que soit l'outil considéré, aucune trace de manipulation n'a été observée.

Les parties proximales présentent un écrasement très important (stade d'usure 3). On note un repli des fibres de l'os et des enlèvements situés sous le plan de frappe.

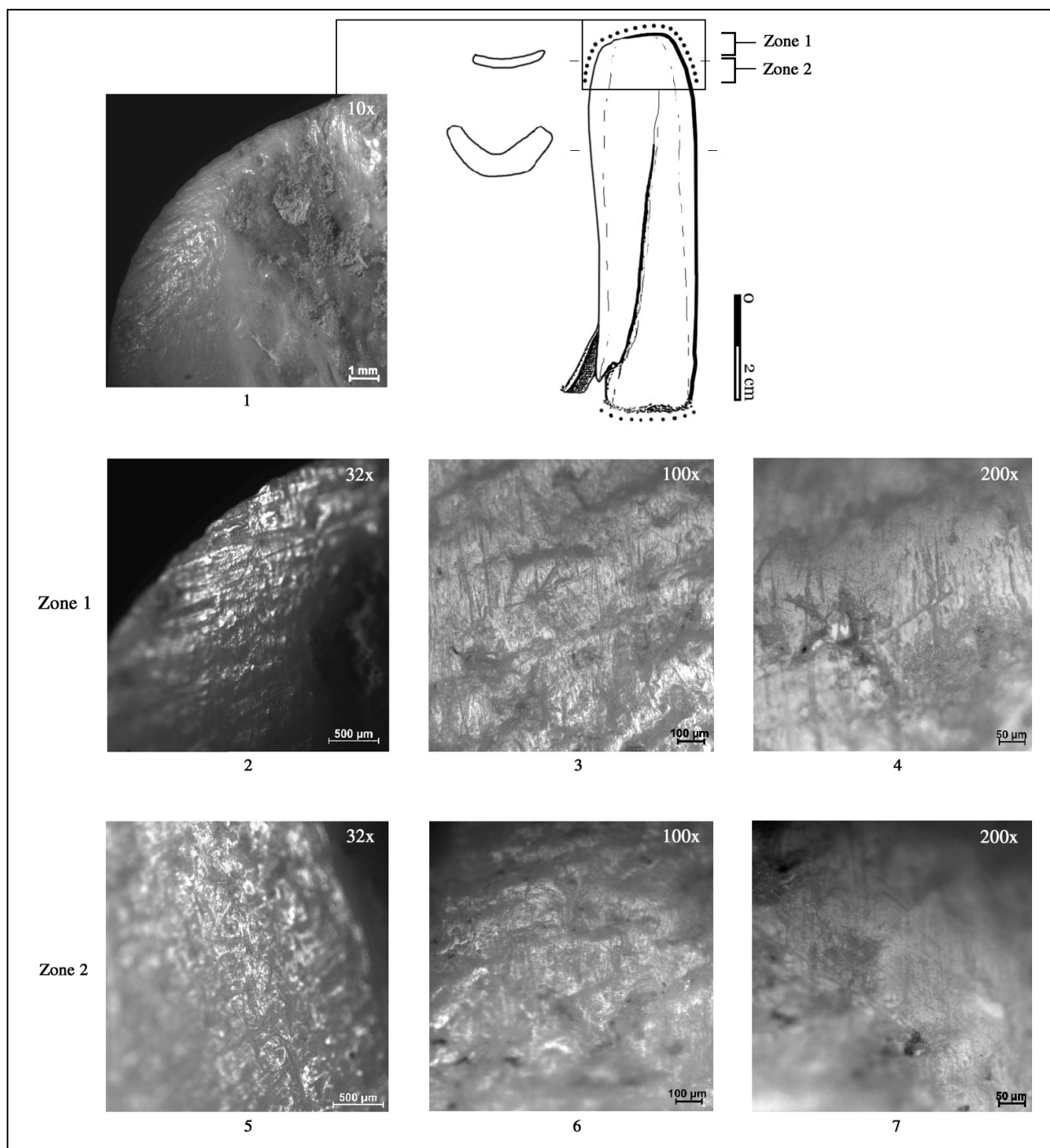


Fig. 35 : Fendage par percussion indirecte de feuillus secs pendant 10 minutes (n° d'inventaire T7) (clichés A. Legrand).

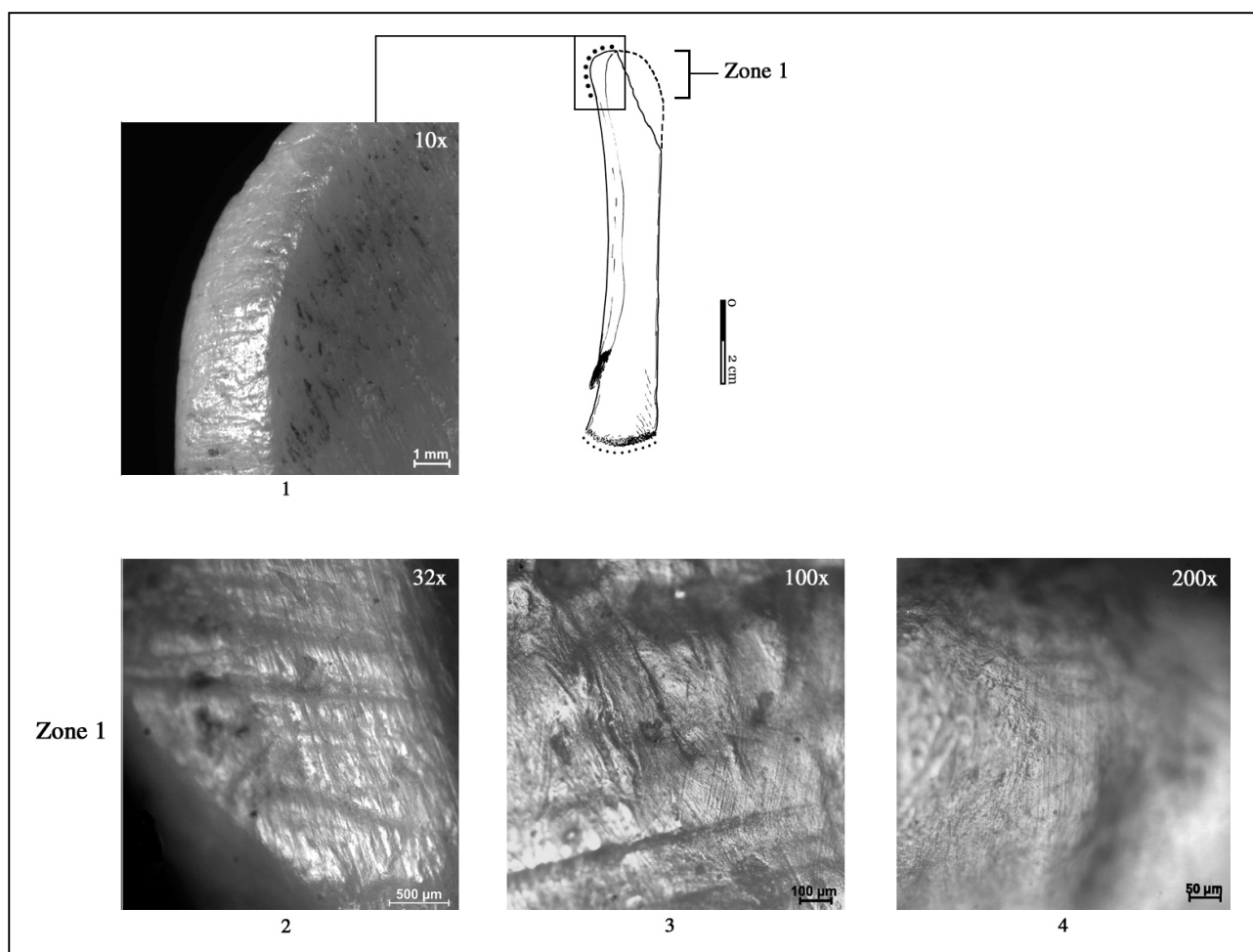


Fig. 36 : Fendage par percussion indirecte de feuillus secs pendant 25 minutes (n° d'inventaire T9) (clichés A. Legrana)

Caractéristiques de l'usure : Fendage par percussion indirecte de feuillus secs

- L'étendue de l'usure est modérée et son développement est dégressif en deux zones, au début de l'utilisation puis homogène en raison de la configuration du biseau.
- Le taillant présente un émoussé faible quel que soit le temps d'utilisation. Mais de rares écaillures apparaissent au cours de l'utilisation. La déformation, dans tous les cas, peu avancée.
- Les stries d'utilisation observées à faible grossissement, sont nombreuses. Elles sont principalement longitudinales, longues, droites, parallèles entre elles ou entrecroisées.
- La topographie est irrégulière.
- Le microrelief est homogène. L'aspect des élévations est bombé ou plat et leur texture est lisse ou grenue. Elles sont vernies.
- À l'échelle microscopique, les stries d'utilisation sont pluridirectionnelles, larges ou fines, profondes ou superficielles, continues, rugueuses ou partiellement lisses.
- De rares cratères, rugueux ou partiellement lisses, sont présents au début de l'utilisation puis disparaissent..

3.4. Entaillage par percussion indirecte de feuillus secs

Deux outils tranchants (T8 et T10) ont été utilisés en coupe positive selon un angle de dépouille de 45°. Les temps d'utilisation sont de 10 et 20 minutes.

Durée d'utilisation : 10 minutes (T10)

La localisation de l'usure est bifaciale et symétrique. Son étendue est marginale et son développement homogène. Une seule zone d'usure a été observée, limitée au biseau produit par le façonnage. La limite de cette zone est donc clairement définie (fig. 37-2).

Zone d'usure 1 :

Les altérations du volume : On observe sur l'ensemble du taillant et sur la face supérieure du tranchant, des ébréchures et des enlèvements parfois profonds qui modifient de façon très importante le contour du taillant (fig. 37-1). La déformation de la partie active est très avancée (stade d'usure 3).

Les altérations de surfaces : Seul le relief est affecté par l'usure et notamment par de rares stries d'utilisation (32x) (fig. 37-2). Malgré une homogénéisation des

élévations, la topographie est irrégulière en raison principalement de la présence de stries d'abrasion larges et profondes, de cratères de tailles variées mais aussi en raison de la variété directionnelle des stries d'utilisation (fig. 37-3). Le microrelief est homogène (fig. 37-4). Les élévations sont vernies, d'aspect bombé et de texture lisse. Les stries d'utilisation sont beaucoup plus nombreuses à ce grossissement. Elles sont pluridirectionnelles, longues, droites, entrecroisées, larges (entre 2 et 3 μm), profondes, continues et parfois discontinues (fig. 37-4). De nombreux microtrous et de fréquents cratères circulaires dont le diamètre varie de 7 à 11 μm apparaissent. Les bords de ces dépressions linéaires et non linéaires sont émoussés et leur fond est rugueux ou partiellement lisse.

Aucune trace de manipulation n'a été identifiée. La surface proximale est légèrement écrasée (stade d'usure 1).

Durée d'utilisation : 20 minutes (T8)

La localisation de l'usure reste bifaciale et symétrique. L'étendue de l'usure est modérée et son développement est dégressif en deux zones d'usure. La première zone d'usure mesure 2 mm et la seconde, 3 mm.

Zone d'usure 1 :

Les altérations du volume : Le centre du taillant présente des écaillures et un émoussé symétrique de faible intensité (fig. 38-1). Ses bords sont faiblement émoussés. La déformation de la partie active est peu avancée, stade d'usure 1.

Les altérations de surfaces : À 64x, de fréquentes stries d'utilisation longitudinales, longues, droites et parallèles entre elles, apparaissent sur le relief (fig. 38-2). La topographie est irrégulière (fig. 38-3). Le microrelief est homogène (fig. 38-4). Les élévations sont vernies, d'aspect bombé et de texture lisse. Les stries d'utilisation sont fines, superficielles, continues, serrées et ordonnées. Le nombre de cratères diminue par rapport à ce qui a été observé lors d'une utilisation brève. En revanche, les microtrous restent nombreux.

Zone d'usure 2 :

Les altérations du volume : L'émoussé des bords du tranchant est faible.

Les altérations de surfaces : À 32x, seul le relief est affecté par l'usure (fig. 38-5). La topographie reste proche de celle d'origine (100x) (fig. 38-6). Le microrelief est irrégulier à homogène (200x) (fig. 38-7). Les élévations sont brillantes, d'aspect bombé et de texture grenue. Les stries d'utilisation sont identiques à celles observées dans la zone 1. Les cratères ont disparus et les microtrous restent nombreux.

L'usure reste homogène d'une zone à l'autre. Aucune trace de manipulation n'a été identifiée. La surface proximale de cet outil est peu écrasée (stade d'usure 1).

Caractéristiques de l'usure : Entaillage par percussion indirecte de feuillus secs

- Plus le temps d'utilisation est long, plus l'usure est étendue et son développement dégressif passant d'une zone d'usure à deux.
- Des éclats parfois profonds et envahissants affectent le taillant, quel que soit le temps d'utilisation. L'émoussé du taillant est symétrique et faible. La déformation est avancée, voire très avancée.
- Les stries d'utilisation observées à faible grossissement sont rares au début de l'utilisation puis plus fréquentes. Elles sont longitudinales, longues, droites et parallèles entre elles.
- La topographie est irrégulière.
- Le microrelief est homogène. Les élévations sont vernies, d'aspect bombé et de texture lisse.
- À l'échelle microscopique, les stries d'utilisation sont larges ou fines, profondes ou superficielles, continues et parfois discontinues. Leurs bords sont émoussés et leur fond est rugueux ou partiellement lisse. Au cours de l'utilisation, leur direction et leur morphométrie s'homogénéisent. Elles sont par ailleurs plus ordonnées.
- Le nombre de cratères diminue au cours de l'utilisation. Les microtrous restent nombreux.

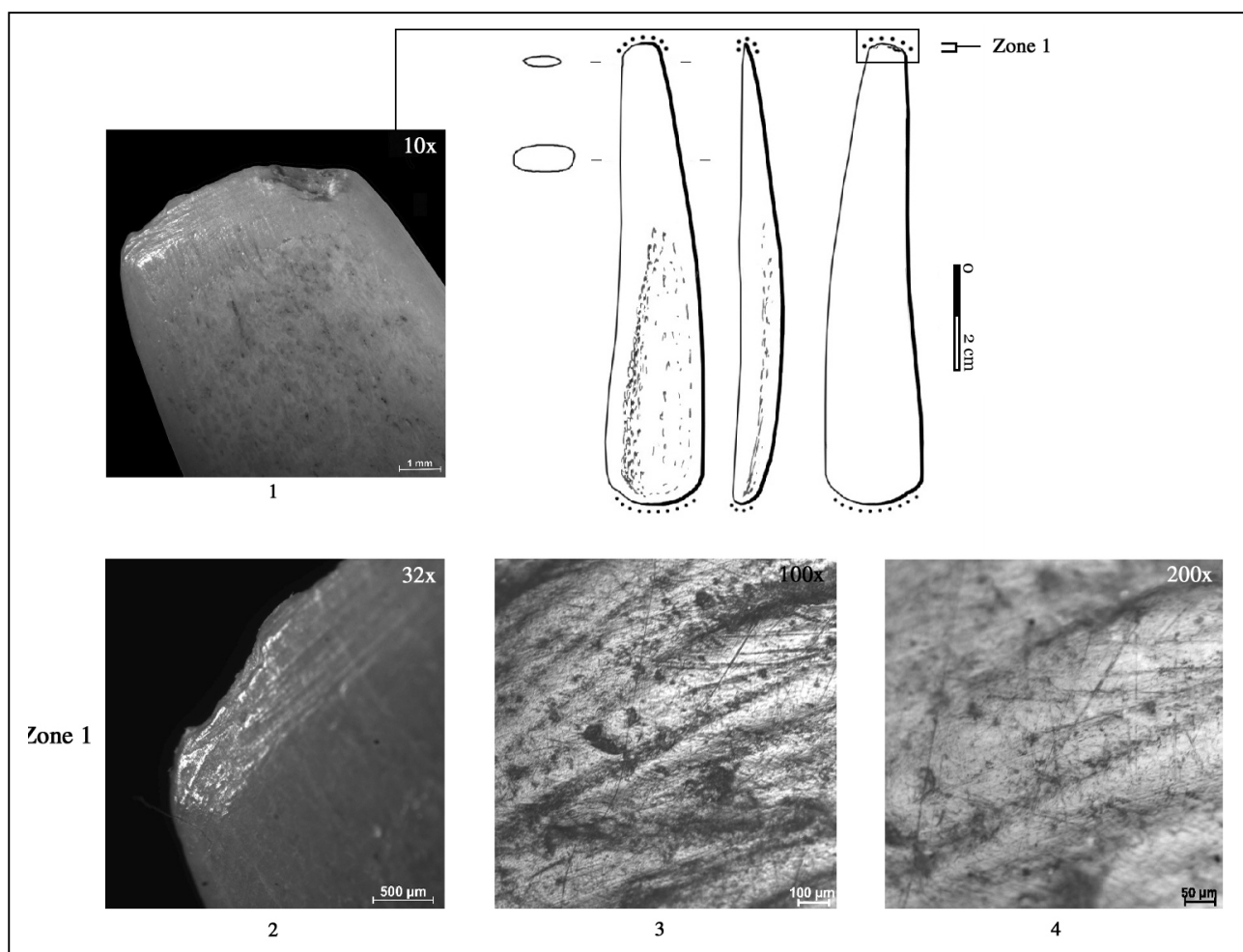


Fig. 37 : Entaillage par percussion indirecte de feuillus secs pendant 10 minutes (n° d'inventaire T10) (clichés A. Legrand).

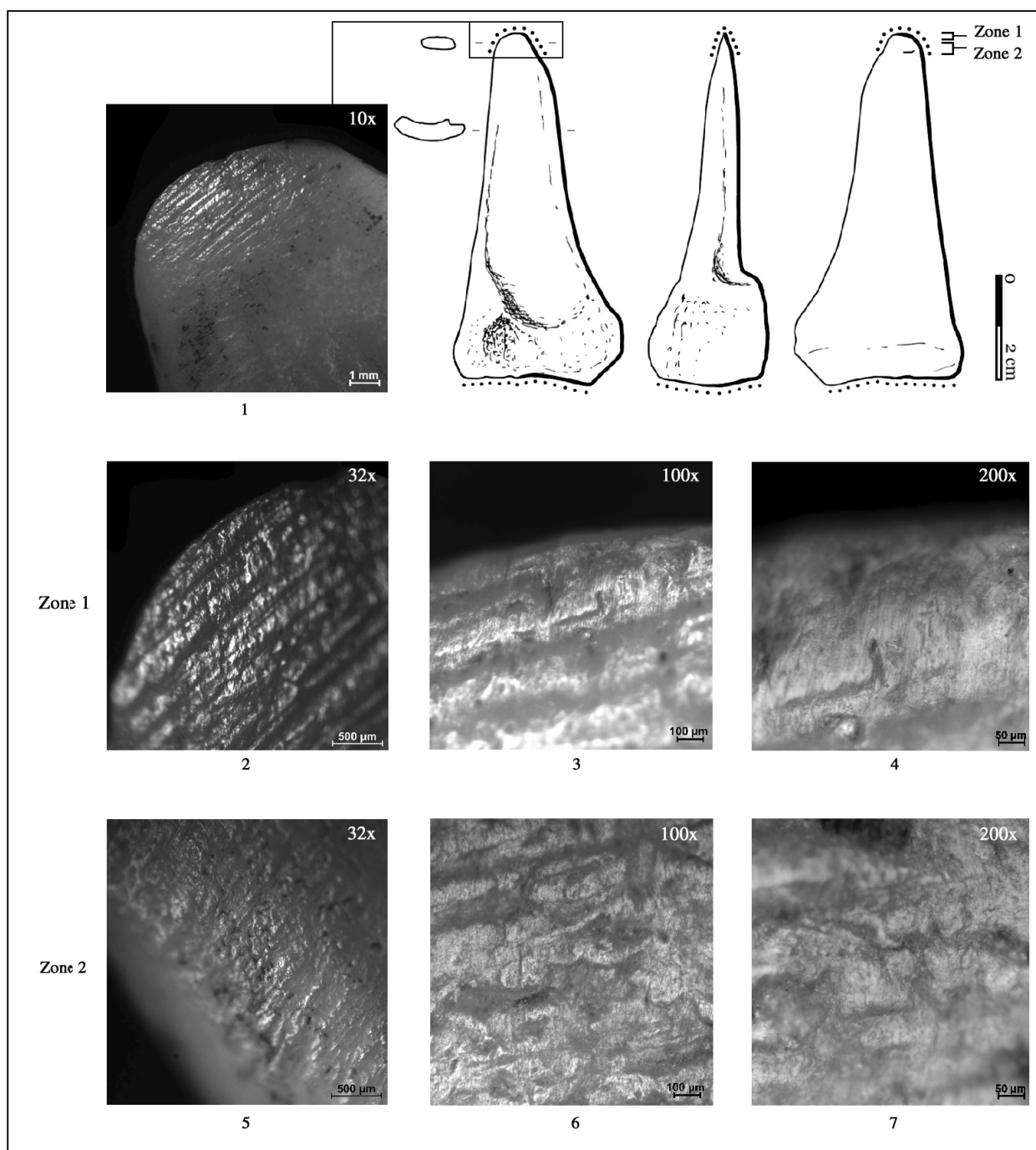


Fig. 38 : Entaillage par percussion indirecte de feuillus secs pendant 20 minutes (n° d'inventaire T8) (clichés A. Legrand).

3.5. Fendage par percussion indirecte de conifères secs

Deux outils tranchants (T2 et T5) ont été utilisés pour fendre des branches sèches de pins pendant 10 et 20 minutes. L'utilisation du second outil a été limitée en raison d'un enlèvement longitudinal qui a emporté une moitié de l'outil. L'os utilisé était frais mais cette fracture était inévitable en raison d'un accident survenu lors du débitage par percussion qui a fragilisé la face supérieure de l'outil.

Durée d'utilisation : 10 minutes (T5)

La localisation de l'usure est bifaciale et symétrique. Son étendue est marginale et son développement est homogène. Une seule zone d'usure a été repérée sur une longueur d'un millimètre (fig. 39-2).

Zone d'usure 1 :

Les altérations du volume : À 32x, des écaillures apparaissent sur l'ensemble du taillant (fig. 39-2). L'émoussé observé est de faible intensité. La déformation de la partie active est peu avancée (stade d'usure 1).

Les altérations de surfaces : Seul le relief est affecté par l'usure mais aucune strie ni cratère n'a pu être mis en évidence à 32x (fig. 39-2). La topographie est irrégulière en raison d'un lissage partiel des plus hautes élévations et de la présence de dépressions profondes et rugueuses liées au façonnage (fig. 39-3). Le microrelief est irrégulier (fig. 39-4). Les élévations sont vernies, d'aspect bombé et de texture lisse. De rares stries d'utilisation localisées sur ces élévations, apparaissent à 200x. Elles sont pluridirectionnelles, courtes, droites, fines (inférieures ou égales à 1 µm), superficielles, continues, dispersées et désordonnées. Quelques cratères circulaires aux bords anguleux et au fond rugueux ainsi que de fréquents microtrous ont également été observés sur ces élévations.

Aucune trace de manipulation n'a été observée. La surface proximale est peu écrasée (stade d'usure 1).

Durée d'utilisation : 20 minutes (T2)

La localisation de l'usure est bifaciale et asymétrique. La face inférieure du tranchant montre un développement de l'usure plus important (fig. 40-1). L'étendue de l'usure est modérée et son développement est dégressif en deux zones d'usure. La première mesure 5 mm (fig. 40-2). La zone d'usure 2 mesure 3 mm (fig. 40-3).

Zone d'usure 1 :

Les altérations du volume : L'émoussé du taillant est modéré (fig. 40-2). Quelques ébréchures se sont formées au centre de celui-ci. La déformation de la partie active est peu avancée (stade d'usure 1).

Les altérations de surfaces : À 32x, on observe de nombreuses stries d'utilisation longitudinales, longues, droites et parallèles entre elles (fig. 40-2). La topographie est irrégulière (fig. 40-3). Le microrelief est homogène (fig. 40-4). L'aspect, la texture et la brillance des élévations restent inchangés par rapport à ce qui a été observé dans le cas précédent. Les stries sont larges (entre 3 et 4,5 µm), profondes, continues ou discontinues, aux bords émoussés et au fond partiellement lisse. Quelques microtrous sont présents.

Zone d'usure 2 :

Les altérations du volume : L'émoussé des bords du tranchant est faible.

Les altérations de surfaces : À 32x, seul le relief est affecté par l'usure (fig. 40-5). À ce grossissement, aucune strie n'est visible. À 100x, la topographie observée est celle d'origine (fig. 40-6). Le microrelief est irrégulier (200x) (fig. 40-7). Les élévations sont brillantes, d'aspect bombé et de texture grenue. Les stries d'utilisation sont localisées sur les élévations. Elles sont pluridirectionnelles, courtes, entrecroisées, fines, superficielles, désordonnées. Les microtrous restent peu nombreux.

Contrairement aux outils précédents, l'usure de la zone d'usure 1 est, ici, bien différenciée de celle observée dans la zone d'usure 2. La configuration du biseau très marqué est sans doute à l'origine de ce contraste, le contact avec la matière travaillée ne se faisant alors que sur une zone bien circonscrite.

Aucune trace de manipulation n'a été identifiée.

La surface proximale est légèrement écrasée (stade d'usure 1).

Caractéristiques de l'usure : Fendage de conifères secs par percussion indirecte

- Plus le temps d'utilisation est long, plus l'étendue de l'usure est modérée et plus le développement est dégressif passant d'une à deux zones d'usure.

- Des écaillures associées à un émoussé faible ou modéré affectent le taillant. Son contour initial est peu modifié (stade d'usure 1).

- À faible grossissement, les stries d'utilisation apparaissent au fur et à mesure de l'utilisation. Lorsqu'elles peuvent être observées, elles sont longitudinales, longues, droites et parallèles entre elles.

- La topographie est irrégulière.

- Le microrelief est irrégulier puis tend à devenir homogène lorsque le temps d'utilisation est plus long. Les élévations sont vernies, d'aspect bombé et de texture lisse.

- À l'échelle microscopique, les stries d'utilisation sont pluridirectionnelles, courtes, larges ou fines, profondes ou superficielles, continues ou discontinues. Leurs bords sont émoussés et leur fond est partiellement lisse.

- Quelques cratères rugueux sont présents au début de l'utilisation puis disparaissent. En revanche, la fréquence des microtrous reste stable.

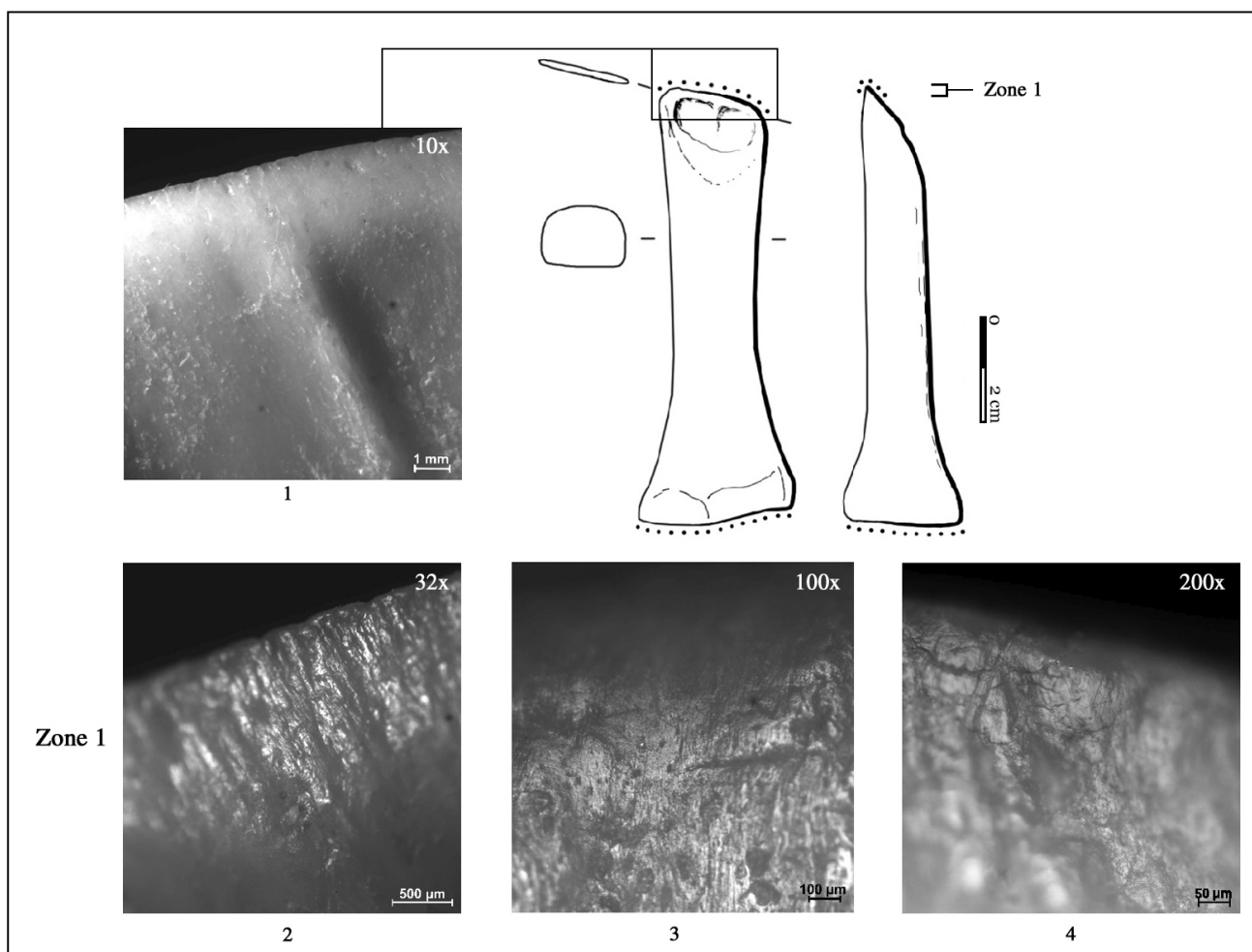


Fig. 39 : Fendage par percussion indirecte de conifères secs pendant 10 minutes (n° d'inventaire T5) (clichés A. Legrand).

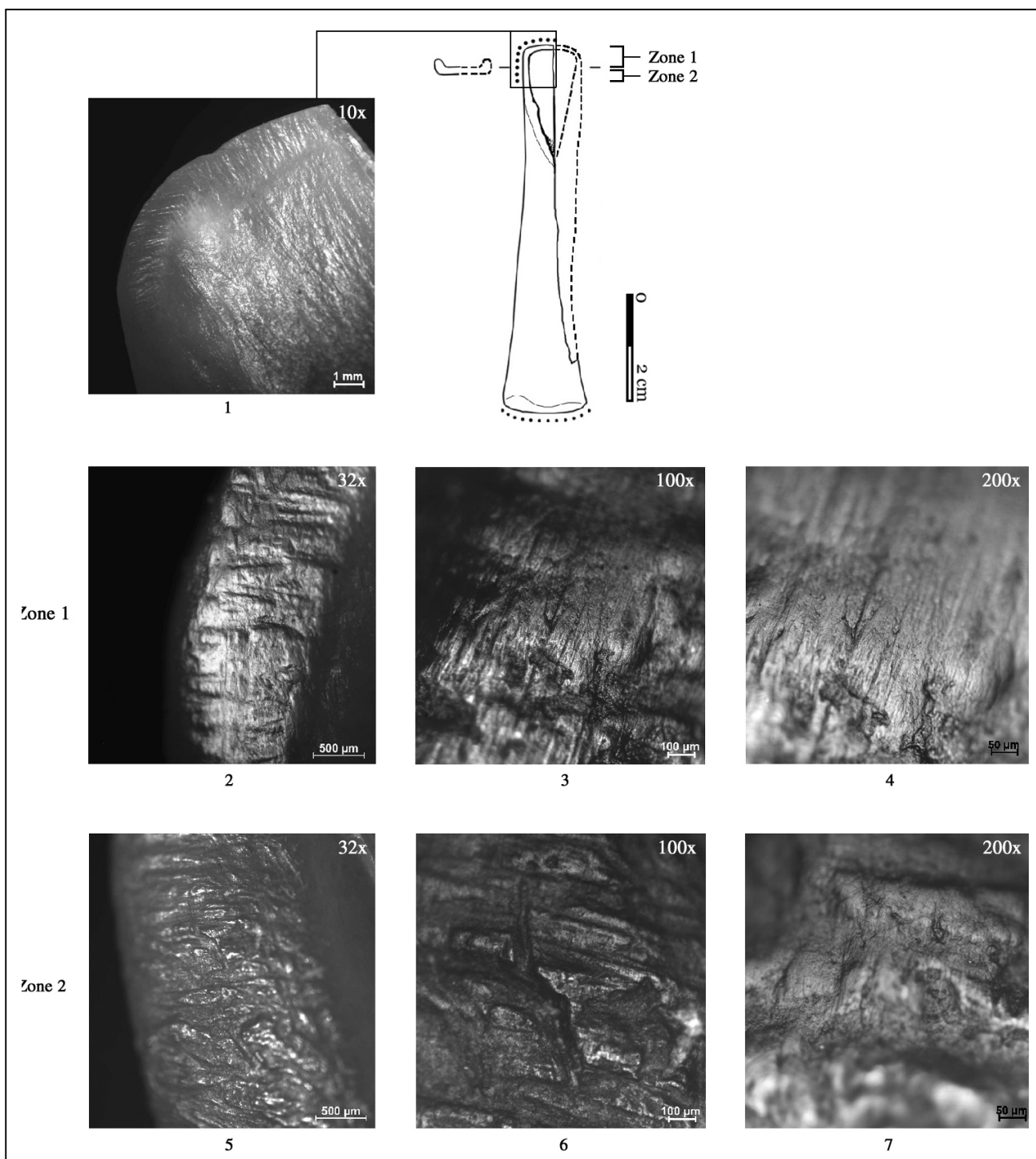


Fig. 40 : Fendage par percussion indirecte de conifères secs pendant 20 minutes (n° d'inventaire T2) (clichés A. Legrand).

4. TRAVAIL DE L'ECORCE

4.1. Écorçage par percussion posée directe de feuillus verts

Deux outils tranchants (L4 et H1) ont été utilisés en coupe positive selon un angle de dépouille de 45°. Les temps d'utilisation sont respectivement de 40 et de 45 minutes. Les deux outils présentent des traces macro- et microscopique équivalentes.

Dans les deux cas, l'usure est localisée sur la face inférieure du tranchant. Son étendue est marginale et son développement est homogène. Une seule zone d'usure a été repérée sur une longueur de 2 mm.

Zone d'usure 1 :

Les altérations du volume : Avant utilisation, le taillant présente un contour irrégulier, aux bords saillants. Les stries de façonnage sont, par ailleurs, très marquées. Après utilisation, on remarque, quel que soit l'outil, un émoussé très important qui envahit l'une des faces du tranchant. Leur profil varie, droit pour le premier outil et bombé pour le second (10x) (fig. 41-2 et fig. 42-1). Le centre du taillant présente, par ailleurs, des écaillures.

Les altérations de surfaces : À 32x, on observe de nombreuses stries d'utilisation longitudinales, longues, droites, parallèles entre elles ou entrecroisées (fig. 41-2 et fig. 42-2). Des cratères circulaires sont également présents. La topographie est régulière pour le premier outil (fig. 41-4) et irrégulière pour le second (fig. 42-3). Le microrelief est régulier (fig. 41-5 et fig. 42-4). La surface est vernie et de texture grenue. Les stries d'utilisation sont fines ou larges (de 2 µm à 6 µm), superficielles ou profondes, serrées, ordonnées et continues ou discontinues. Les stries les plus larges ont des bords émoussés et un fond partiellement lisse voire totalement lisse. À ce grossissement, on distingue de rares stries transversales et obliques. Les cratères dont le diamètre varie de 18 µm à 22 µm, présentent des bords plus ou moins émoussés et un fond partiellement lisse.

Aucune trace de manipulation n'a été identifiée.

4.2. Perforation par rotation alternative d'écorce humide de chêne

Deux pointes (P5 et P20) ont été utilisées par rotation alternative pendant un temps d'utilisation de respectivement 20 et 45 minutes.

Durée d'utilisation : 20 minutes (P5)

L'usure est localisée sur l'ensemble de la pointe (fig. 43-1). Son étendue est modérée et son développement dégressif en deux zones d'usure. La zone d'usure 1 mesure 5 mm de long (fig. 43-2). La zone d'usure 2 mesure 3 mm de long (fig. 43-5). La limite de cette zone est bien définie.

Zone d'usure 1 :

Les altérations du volume : Écrasement et émoussé affectent l'apex. Les arêtes de façonnage sont également émoussées (fig. 43-2). La morphologie initiale de l'apex est totalement modifiée, elle devient plate (stade d'usure 3).

Les altérations de surfaces : À 32x, les stries d'utilisation sont nombreuses, transversales, longues, droites, parallèles entre elles, entrecroisées, serrées et ordonnées (fig. 43-2). La topographie est régulière (fig. 43-3). Le microrelief est homogène (fig. 43-4). Les élévations sont brillantes, d'aspect bombé et de texture grenue. Les stries sont larges (environ 5 µm), profondes, continues, aux bords plus ou moins émoussés et au fond rugueux ou partiellement lisse. De nombreux microtrous sont également présents.

Zone d'usure 2 :

Les altérations du volume : Les arêtes de la pointe sont modérément émoussées.

Les altérations de surfaces : À 32x, les stries d'utilisation sont moins fréquentes (fig. 43-5). La topographie d'origine est observée (fig. 43-6). Le microrelief est irrégulier (fig. 43-7). Les élévations sont brillantes, d'aspect bombé et de texture grenue. Des stries d'utilisation longitudinales, longues, fines et superficielles sont localisées sur ces élévations.

Contrairement au travail des peaux fraîches, l'usure diffère d'une zone à l'autre et ce pour une durée d'utilisation similaire. La nature de la matière première peut en partie expliquer cette différence. L'écorce étant un matériau rigide, le contact est entre l'outil et la matière est plus circonscrit.

Aucune trace de manipulation n'a été observée sur la partie mésiale de cet outil.

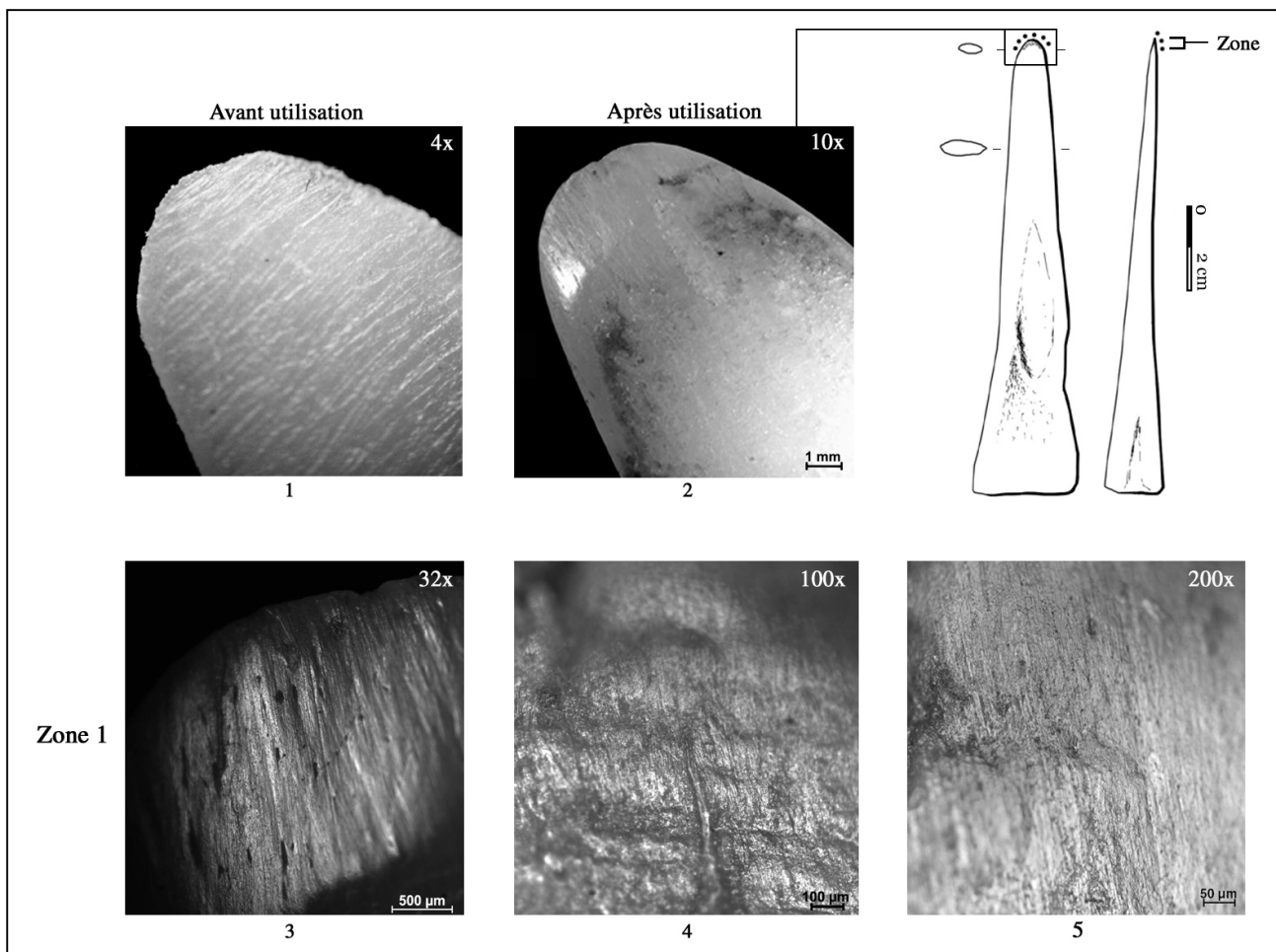


Fig. 41 : Écorçage par percussion posée directe de branches de feuillus verts pendant 40 minutes (n° d'inventaire L4) (clichés A. Legrand).

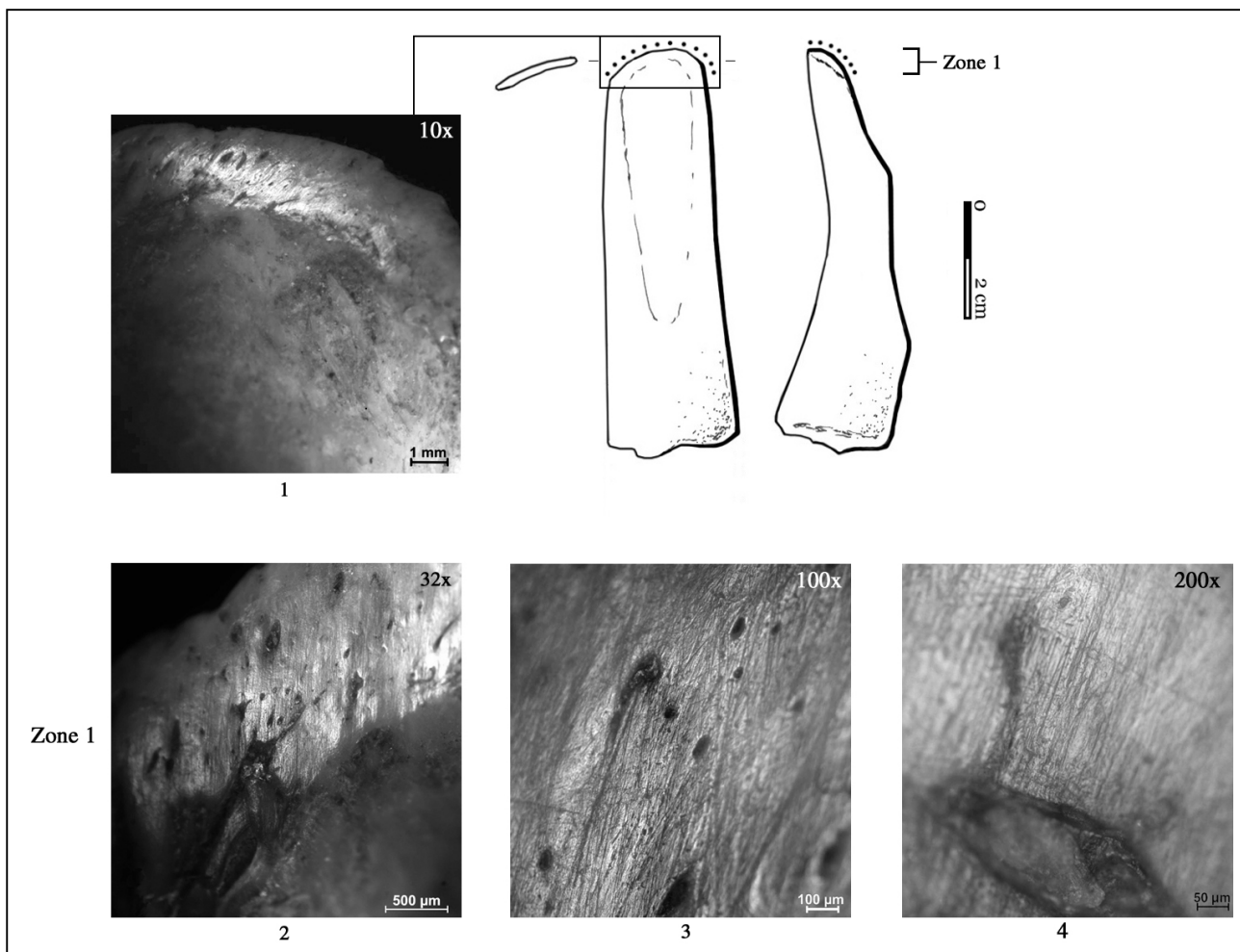


Fig. 42 : Écorçage par percussion posée directe de branches de feuillus verts pendant 40 minutes (n° d'inventaire H1) (clichés A. Legrand).

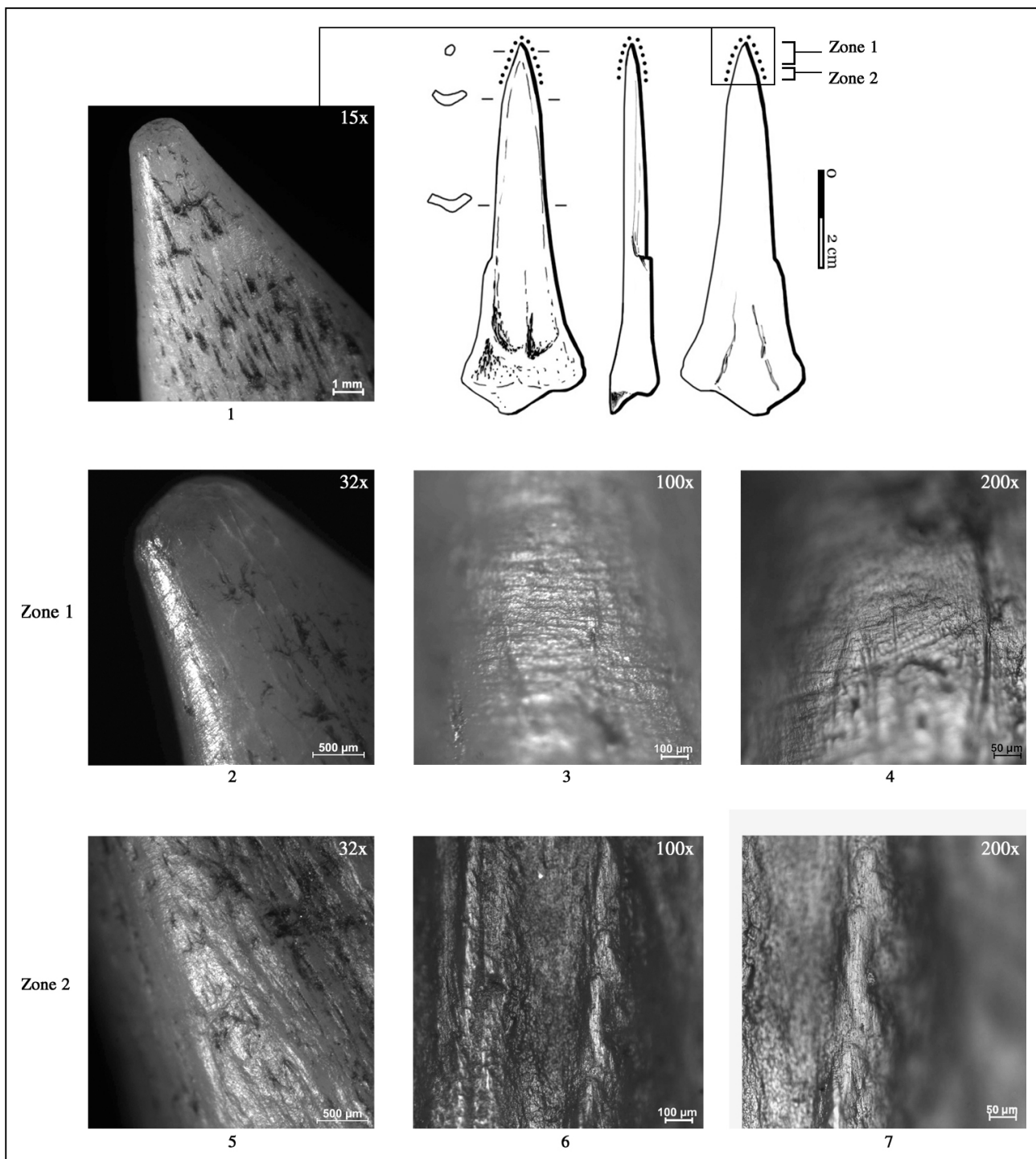


Fig. 43 : Perforation par rotation alternative d'écorce humide de chêne pendant 20 minutes (n° d'inventaire P5) (clichés A. Legrand).

Durée d'utilisation : 45 minutes (P20)

L'usure est localisée sur l'ensemble de la pointe (fig. 44-1). Son étendue est modérée et son développement est dégressif en trois zones. La première mesure 7 mm de long (fig. 44-2). La seconde mesure 4 mm de long (fig. 44-5). Enfin, la troisième mesure 4 mm de long (fig. 44-8).

Zone d'usure 1 :

Les altérations du volume : L'apex présente un émousé important et envahissant associé à des écaillures (fig. 44-2). La déformation de la partie active est avancée, stade d'usure 2.

Les altérations de surfaces : À 32x, les stries d'utilisation sont nombreuses, transversales et obliques, longues, parallèles entre elles ou entrecroisées (fig. 44-2). Quelques cratères plus ou moins circulaires apparaissent également. La topographie est irrégulière en raison d'une variété morphologique et directionnelle importante des stries d'utilisation (fig. 44-3). Le microrelief est régulier (fig. 44-4). La surface est vernie et striée. Les stries d'utilisation sont fines ou larges (9 µm), superficielles ou profondes, droites ou légèrement courbes, ordonnées et continues. Les cratères sont circulaires, leur diamètre varie de 7 µm à 13 µm. Les bords de ces différentes dépressions, stries larges et cratères, sont plus ou moins émousés et leur fond est rugueux ou partiellement lisse. On note également la présence de fréquents microtrous.

Zone d'usure 2 :

Les altérations du volume : Les arêtes de la pointe restent émousées.

Les altérations de surfaces : À 32x, les stries d'utilisation et les cratères restent nombreux sur les élévations (fig. 44-5). La topographie reste irrégulière (fig. 44-6). Le microrelief est homogène. Les élévations sont vernies, d'aspect plat et de texture lisse. Les stries d'utilisation fines présentent les mêmes caractéristiques que celles observées dans la zone 1, en revanche, les stries larges et profondes sont plus rares (fig. 44-7). Les cratères sont plus larges (diamètre de 22 µm). Les bords de ces dépressions restent émousés mais leur fond est désormais rugueux.

Zone d'usure 3 :

Les altérations du volume : L'émousé des arêtes de la pointe tend à s'atténuer.

Les altérations de surfaces : À 32x, les stries d'utilisation sont longitudinales et affectent essentiellement le relief (fig. 44-8). La topographie observée correspond à la topographie d'origine (fig. 44-9). Le microrelief est irrégulier. L'aspect des élévations est bombé. Leur texture reste lisse mais leur brillance diminue légèrement (fig. 44-10). Les stries d'utilisation ont une orientation différente mais gardent les mêmes caractéristiques morphométriques que celles observées dans les zones précédentes. Les dépressions non linéaires ont disparu.

L'usure des zones 1 et 2 est relativement équivalente malgré la présence de nombreuses stries de façonnage. Des traces de manipulation ont été observées sur la partie mésiale de l'outil.

Caractéristiques de l'usure : Perforation par rotation alternative d'écorce humide de chêne

– L'étendue de l'usure est systématiquement modérée, en revanche plus le temps d'utilisation est long, plus le développement de l'usure est dégressif passant de 2 à 3 zones d'usure.

– Au début de l'utilisation, l'apex est écrasé et présente un émousé qui affecte également les arêtes de la pointe. Quelques écaillures apparaissent à la fin de l'utilisation. La morphologie initiale des pointes est totalement modifiée. La déformation de la partie active est donc rapidement avancée, voire très avancée.

– De nombreuses stries d'utilisation pluridirectionnelles, longues, parallèles entre elles ou entrecroisées, sont observées à faible grossissement. Des cratères sont également présents à la fin de l'utilisation.

– La topographie est irrégulière ou régulière.

– Le microrelief est homogène mais tend à se régulariser au cours de l'utilisation.

– À l'échelle microscopique, les stries d'utilisation sont larges ou fines, profondes ou superficielles, droites ou légèrement courbes et continues. Leurs bords sont émousés et leur fond est rugueux ou partiellement lisse.

– Les cratères apparaissent à la fin de l'utilisation. Leurs bords sont émousés et leur fond est rugueux ou partiellement lisse. Les microtrous sont fréquents.

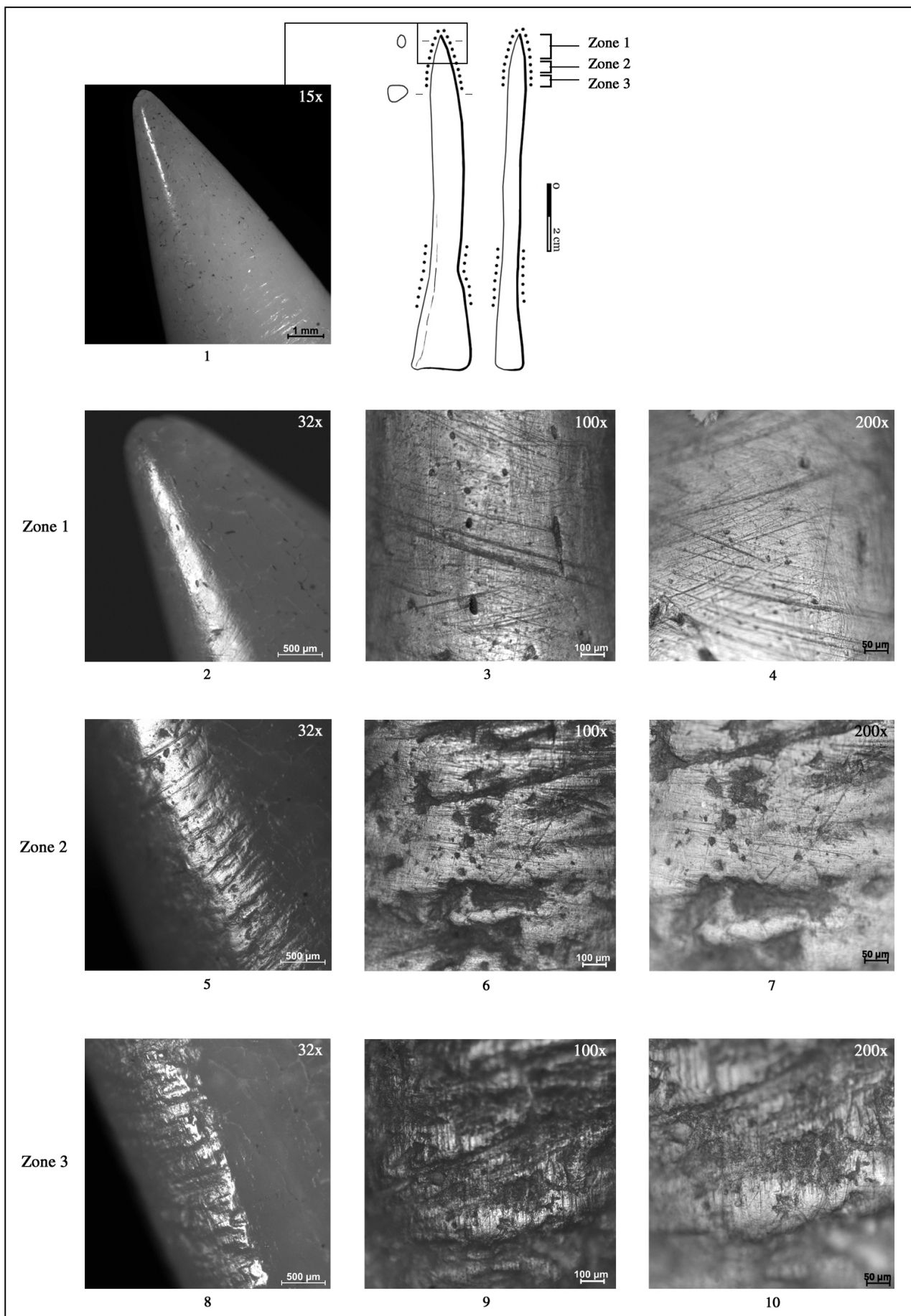


Fig. 44 : Perforation par rotation alternative d'écorce humide de chêne pendant 45 minutes (n° d'inventaire P20) (clichés A. Legrand).

4.3. Perforation par percussion indirecte d'écorce humide de chêne

Deux pointes (P23 et P3) ont été utilisées par percussion posée indirecte pendant 10 et 20 minutes.

Durée d'utilisation : 10 minutes (P23)

L'usure est localisée sur l'ensemble de la pointe (fig. 45-1). Son étendue est modérée et son développement dégressif en trois zones d'usure. La zone d'usure 1 mesure 7 mm (fig. 45-2). La zone d'usure 2 mesure 4 mm (fig. 45-5). Enfin, la zone d'usure 3 mesure 8 mm (fig. 45-8). La limite de cette dernière zone est bien définie.

Zone d'usure 1 :

Les altérations du volume : L'apex présente un émousé modéré qui s'étend aux arêtes de la pointe (fig. 45-2). La déformation de la partie active est avancée, stade d'usure 2.

Les altérations de surfaces : À 32x, de fréquentes stries d'utilisation longitudinales, longues, entrecroisées et associées à quelques cratères, ont été observées sur l'ensemble de la zone. La topographie est régulière (fig. 45-3). Le microrelief est régulier (fig. 45-4). La surface est vernie, de texture grenue et striée. Les stries sont majoritairement longitudinales mais quelques stries transversales sont également visibles à 200x. Dans les deux cas, elles sont fines, superficielles, droites, serrées, ordonnées, continues ou discontinues (fig. 45-4). Le diamètre des cratères varie de 9 µm à 34 µm. Leurs bords sont émousés et leur fond est rugueux ou partiellement lisse.

Zone d'usure 2 :

Les altérations du volume : Les arêtes de la pointe présentent un émousé modéré.

Les altérations de surfaces : À 32x, les stries d'utilisation et les cratères restent présents (fig. 45-5). À 100, la topographie est régulière (fig. 45-6). À 200x, le microrelief est homogène (fig. 45-7). L'aspect, la texture et la brillance des élévations sont similaires à la zone 1. Les stries d'utilisation affectent aussi bien les élévations que le fond des stries de façonnage les plus émousées. Les bords des dépressions non linéaires sont émousés et leur fond est rugueux.

Zone d'usure 3 :

Les altérations du volume : Les arêtes de la pointe présentent un émousé faible.

Les altérations de surfaces : À 32x, les stries d'utilisation restent denses (fig. 45-8). La topographie observée est proche de la topographie d'origine (100x) (fig. 45-9). Le microrelief est homogène (fig. 45-10). L'aspect des élévations est plat. Leur texture est grenue. Leur brillance

est atténuée par rapport à celle des zones précédentes. Les stries d'utilisation sont toujours très nombreuses mais désormais localisées sur ces élévations. Elles sont similaires à celles observées dans les zones précédentes.

L'usure est parfaitement homogène d'une zone à l'autre. Le calibre fin de la pointe a sans doute contribué à une plus longue pénétration de la pointe dans la matière et ainsi à la formation d'une usure continue.

Aucune trace de manipulation n'a été observée. La surface proximale de cet outil est peu endommagée (stade d'usure 1).

Durée d'utilisation : 20 minutes (P3)

L'usure est localisée sur l'ensemble de la pointe (fig. 46-1). Son étendue est modérée et son développement dégressif. Deux zones d'usure ont été mises en évidence. La zone d'usure 1 mesure environ 2 mm (fig. 46-2). La zone d'usure 2 mesure environ 5 mm (fig. 46-5). La limite de l'usure est bien définie.

Zone d'usure 1 :

Les altérations du volume : L'apex de l'outil s'est brisé au cours de l'utilisation (fig. 46-1).

Les altérations de surfaces : De nombreuses stries d'utilisation longitudinales, longues et parallèles entre elles sont observées sur le relief (32x). La topographie est régulière (fig. 46-3). Le microrelief est homogène (fig. 46-4). L'aspect des élévations est bombé. Elles sont brillantes et présentent une texture grenue. Les stries d'utilisation sont larges (entre 2 et 3 µm), superficielles ou profondes et continues. Les cratères sont plus ou moins circulaires, d'un diamètre compris entre 9 µm et 25 µm. Les bords des stries et des cratères sont émousés et leur fond est rugueux. Les microtrous sont nombreux

Zone d'usure 2 :

Les altérations du volume : Aucune altération du volume n'a été relevée.

Les altérations de surfaces : Seul le relief est affecté par l'usure. Les stries d'utilisation se raréfient (fig. 46-5). La topographie est proche de la topographie d'origine (100x) (fig. 46-6). À 200x, le microrelief devient irrégulier. L'aspect, la texture et la brillance de ces dernières restent inchangés (fig. 46-7). Les stries d'utilisation présentent les mêmes caractéristiques que celles observées dans la zone 1. Les cratères sont moins fréquents, en revanche les microtrous restent nombreux.

Contrairement à l'exemple précédent, l'usure diffère d'une zone à l'autre. Le calibre distal plus lourd que le précédent est sans doute à l'origine de cette différence.

Aucune trace de manipulation n'a été observée. La surface proximale de l'outil est peu écrasée (stade d'usure 1).

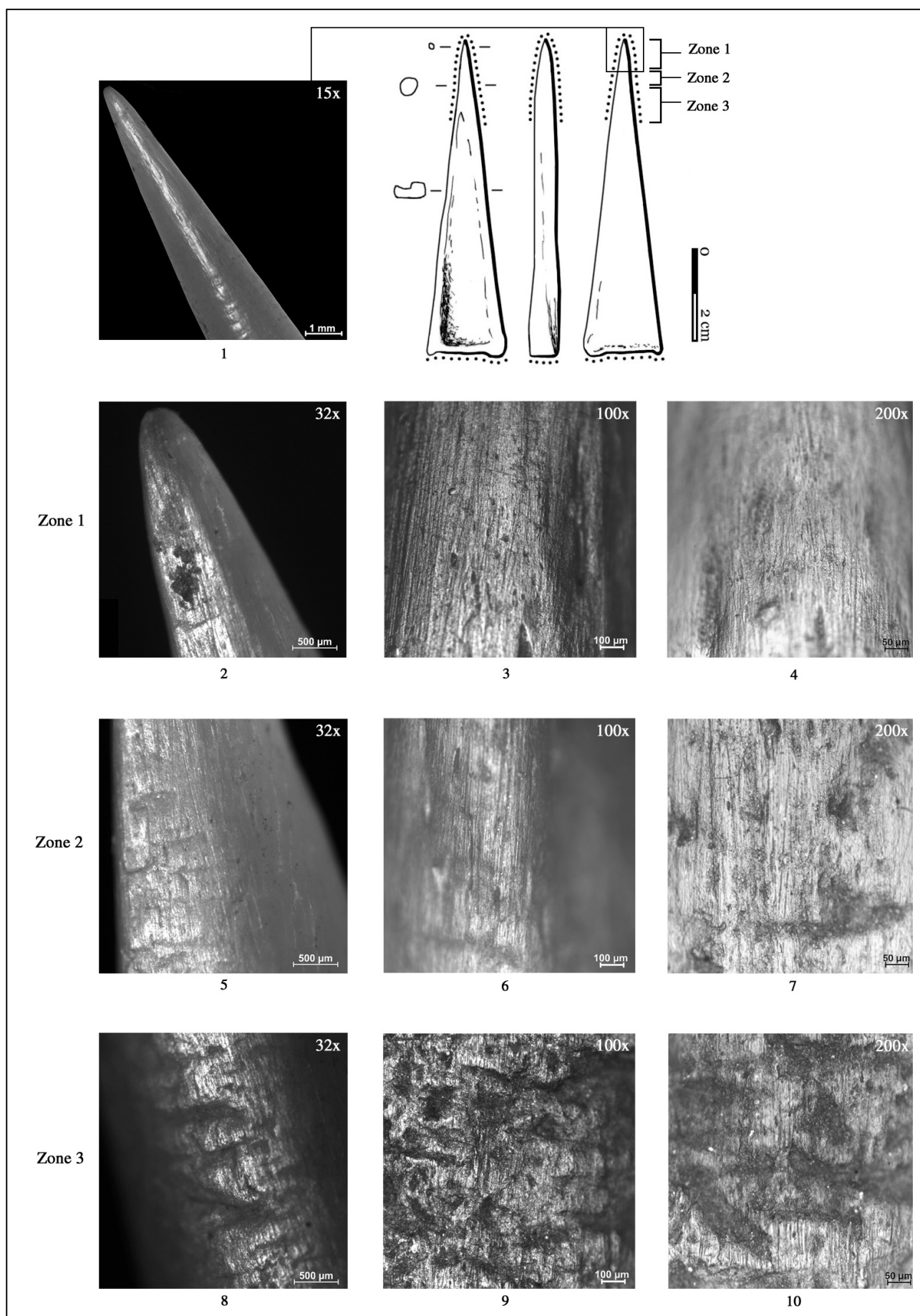


Fig. 45 : Perforation par percussion indirecte d'écorce humide de chêne pendant 10 minutes (n° d'inventaire P23) (clichés A. Legrand).

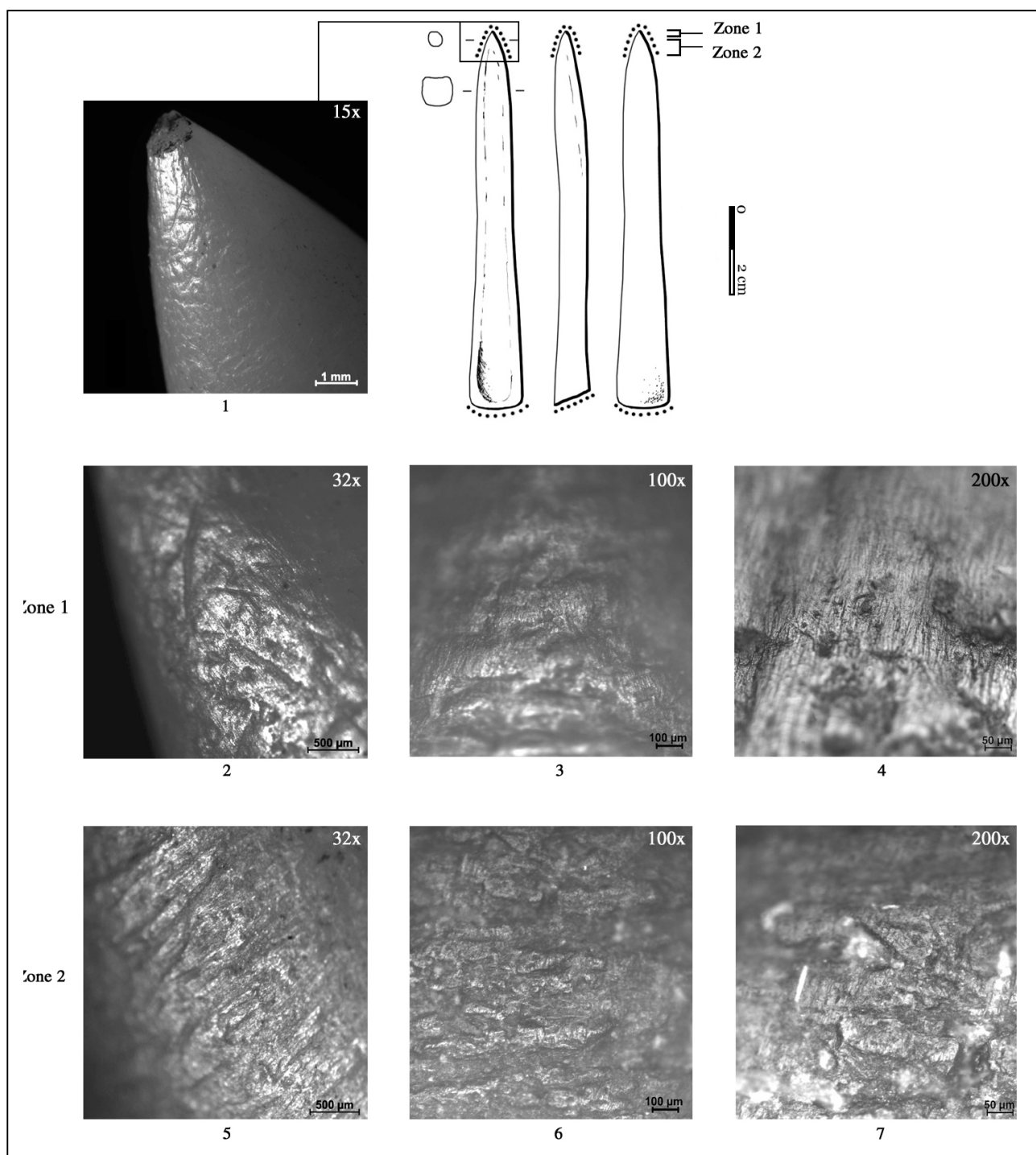


Fig. 46 : Perforation par percussion indirecte d'écorce humide de chêne pendant 20 minutes (n° d'inventaire P3) (clichés A. Legrand).

Caractéristiques de l'usure : Perforation par percussion indirecte d'écorce humide de chêne

- L'étendue de l'usure est modérée et son développement est, pour les raisons précédemment évoquées relatives au calibre distal, moins important en fin d'utilisation.
- Au début de l'utilisation, un émoussé modéré affecte aussi bien l'apex que les arêtes de la pointe. Lorsque le temps d'utilisation est plus long, un enlèvement emporte l'apex. La déformation est donc plus avancée à mesure que la durée d'utilisation s'allonge.
- De nombreuses stries d'utilisation longitudinales, longues, droites, parallèles entre elles, entrecroisées et serrées, sont observées à faible grossissement. Des cratères sont également présents au début de l'utilisation.
- La topographie est régulière.
- Le microrelief est régulier au début de l'utilisation puis devient homogène. L'aspect des élévations est bombé, leur texture est grenue et elles sont brillantes.
- Les stries d'utilisation sont larges ou fines, profondes ou superficielles, continues ou discontinues. Leurs bords sont émoussés et leur fond est rugueux. D'une zone à l'autre, les stries apparaissent homogènes tant dans leur orientation que dans leur morphométrie.
- Les cratères sont rugueux ou partiellement lisses. De nombreux microtrous apparaissent à la fin de l'utilisation.

4.4. Perforation par rotation alternative d'écorce sèche de chêne

Deux pointes (P61 et P63) ont été utilisées par rotation alternative pendant 15 et 20 minutes.

Durée d'utilisation : 15 minutes (P61)

L'usure est localisée sur l'ensemble de la pointe (fig. 47-1). Son étendue est modérée et son développement dégressif en trois zones d'usure. La zone 1 mesure 5 mm (fig. 47-2). La zone d'usure 2 mesure 3 mm (fig. 47-5). La zone d'usure 3 mesure 3 mm (fig. 47-8). La limite de cette dernière zone d'usure est clairement définie.

Zone d'usure 1 :

Les altérations du volume : L'apex présente un émoussé modéré qui affecte également les arêtes de la pointe

(fig. 47-2). Sa morphologie initiale est modérément modifiée (stade d'usure 2).

Les altérations de surfaces : À 32x puis à 64x, de nombreuses stries d'utilisation transversales, longues, parallèles entre elles ou entrecroisées, sont observées sur l'ensemble de la zone. La topographie est régulière, marquée par une unité dans l'orientation et la morphométrie des stries d'utilisation et par l'absence de dépression non linéaire (fig. 47-3). Le microrelief est régulier. La surface est vernie et présente une texture lisse. Les stries d'utilisation sont fines ou plus larges (supérieures à 1 µm), superficielles ou profondes, droites, serrées, ordonnées et continues (fig. 47-4). Les stries larges présentent des bords émoussés et un fond partiellement ou totalement lisse. On note également mais dans une moindre mesure des stries longitudinales qui présentent les mêmes caractéristiques que les stries transversales. On observe de nombreux microtrous.

Zone d'usure 2 :

Les altérations du volume : L'émoussé des arêtes de la pointe est modéré.

Les altérations de surfaces : À 32x, on observe que les stries d'utilisation sont localisées sur le relief (fig. 47-5). À 100x, la topographie est proche de la topographie d'origine (fig. 47-6). À 200x, le microrelief est homogène (fig. 47-7). Les élévations sont vernies, d'aspect bombé et de texture grenue. Les stries d'utilisation sont similaires à celles observées dans la zone 1. Les microtrous restent nombreux.

Zone d'usure 3 :

Les altérations du volume : L'émoussé des arêtes de la pointe est faible.

Les altérations de surfaces : À 32x, les stries d'utilisation sont toujours nombreuses (fig. 47-8). Si l'aspect de la topographie varie peu, le microrelief devient irrégulier (fig. 47-9 & fig. 47-10). Les élévations sont vernies, d'aspect bombé et de texture grenue. Les stries d'utilisation sont majoritairement transversales et sont plus larges et plus profondes que celles observées sur les zones précédentes. Les microtrous restent nombreux.

L'usure est relativement similaire et homogène d'une zone à l'autre.

Des traces de manipulation ont été mises en évidence dans la partie mésiale de l'outil.

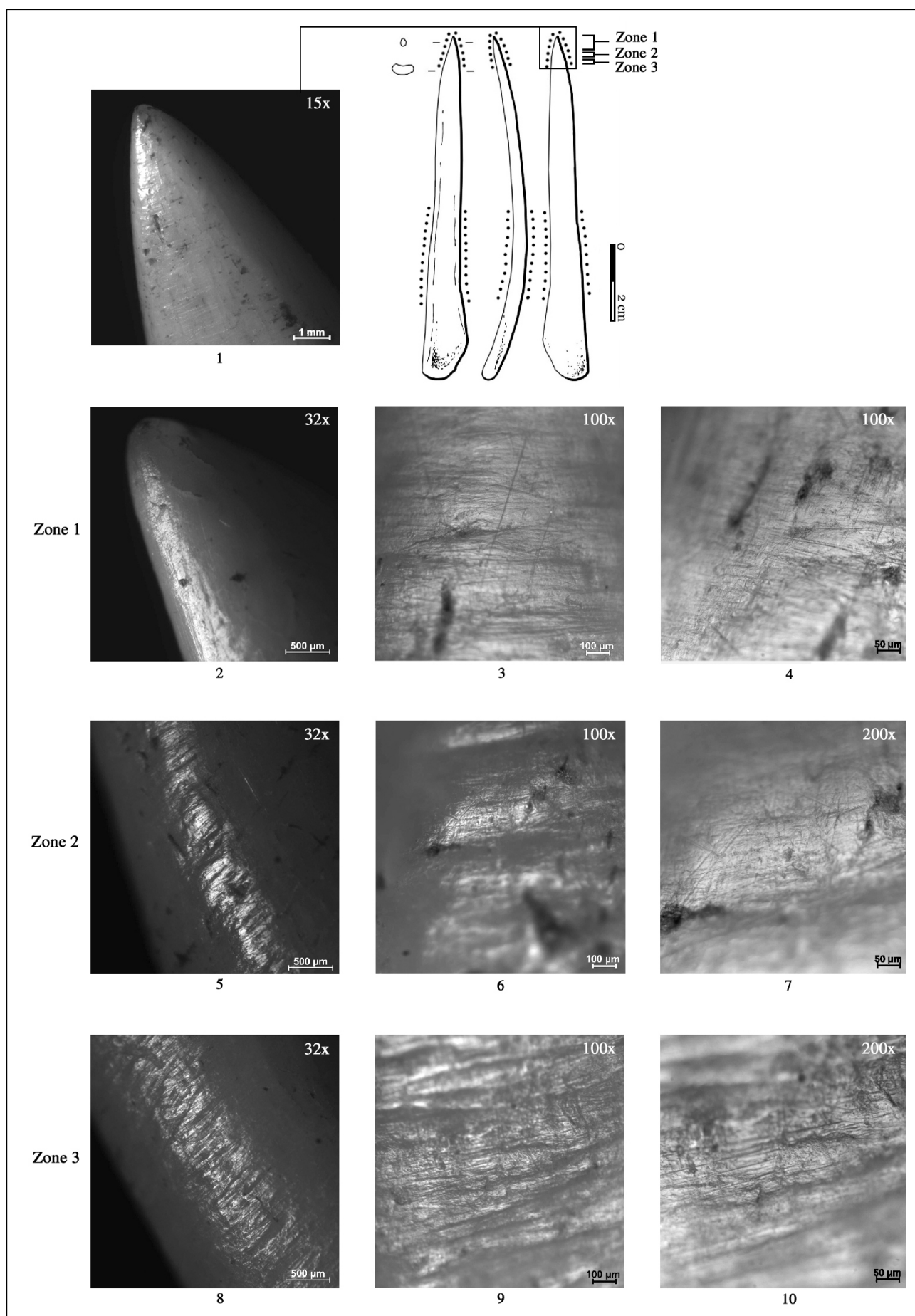


Fig. 47 : Perforation par rotation alternative d'écorce sèche de chêne pendant 15 minutes (n° d'inventaire P61) (clichés A. Legrand).

Durée d'utilisation : 20 minutes (P63)

L'usure est localisée sur l'ensemble de la pointe (fig. 48-1). Son étendue est modérée et son développement est dégressif. Deux zones d'usure ont été observées. La zone 1 mesure 8 mm (fig. 48-2). La zone d'usure 2 mesure 3 mm (fig. 48-5). La limite de l'usure est claire.

Zone d'usure 1 :

Les altérations du volume : À 15x, on observe que l'apex est affecté par un écrasement oblique associé à un émoussé modéré qui envahit également les arêtes de la pointe (fig. 48-2). Le contour initial de l'apex est déformé (stade d'usure 2).

Les altérations de surfaces : La surface est animée par de nombreuses stries d'utilisation principalement transversales mais aussi obliques et longitudinales. Elles sont longues, droites, parallèles entre elles ou entrecroisées et désordonnées (32x) (fig. 48-2). La topographie est régulière en raison d'une homogénéisation des élévations et d'une relative unité dans l'orientation des stries d'utilisation (fig. 48-3). Le microrelief est régulier. La surface est vernie et striée. Les stries d'utilisation sont fines et larges (supérieures à 2 µm), superficielles, continues ou discontinues (fig. 48-4). Les stries larges ont des bords émoussés et un fond partiellement ou totalement lisse. Les dépressions non linéaires sont absentes.

Zone d'usure 2 :

Les altérations du volume : L'émoussé des arêtes de la pointe reste modéré.

Les altérations de surfaces : À 32x, on observe le même réseau important de stries d'utilisation mais elles sont ici, limitées au relief en raison de la profondeur des stries d'abrasion (fig. 48-5). La topographie est proche de la

topographie d'origine (fig. 48-6). Le microrelief devient homogène (fig. 48-7). Les élévations sont vernies et présentent un aspect bombé et une texture grenue. Les stries d'utilisation sont larges et atteignent jusqu'à 8 µm. Les stries discontinues nombreuses dans la zone 1, sont beaucoup moins fréquentes dans cette zone. Des microtrous apparaissent.

L'usure reste relativement homogène d'une zone à l'autre.

Des traces de manipulation ont été mises en évidence dans la partie mésiale de l'outil sous l'épiphyse.

Caractéristiques de l'usure : Perforation par rotation alternative d'écorce sèche de chêne

- L'étendue de l'usure est modérée et son développement est dégressif, en trois ou deux zones.
- Au début de l'utilisation, un émoussé faible affecte l'apex ainsi que les arêtes de la pointe. Au cours de l'utilisation, l'apex et les arêtes restent émoussés mais on note également l'apparition d'un écrasement oblique. La déformation de la partie active est donc avancée.
- De nombreuses stries d'utilisation pluridirectionnelles, longues, parallèles entre elles ou entrecroisées, sont observées à faible grossissement.
- La topographie est régulière.
- Le microrelief est régulier.
- À l'échelle microscopique, les stries d'utilisation sont larges ou fines, profondes ou superficielles, droites, serrées, continues ou discontinues. Leurs bords sont émoussés et leur fond est partiellement ou totalement lisse.
- Les microtrous sont nombreux au début de l'utilisation puis disparaissent.

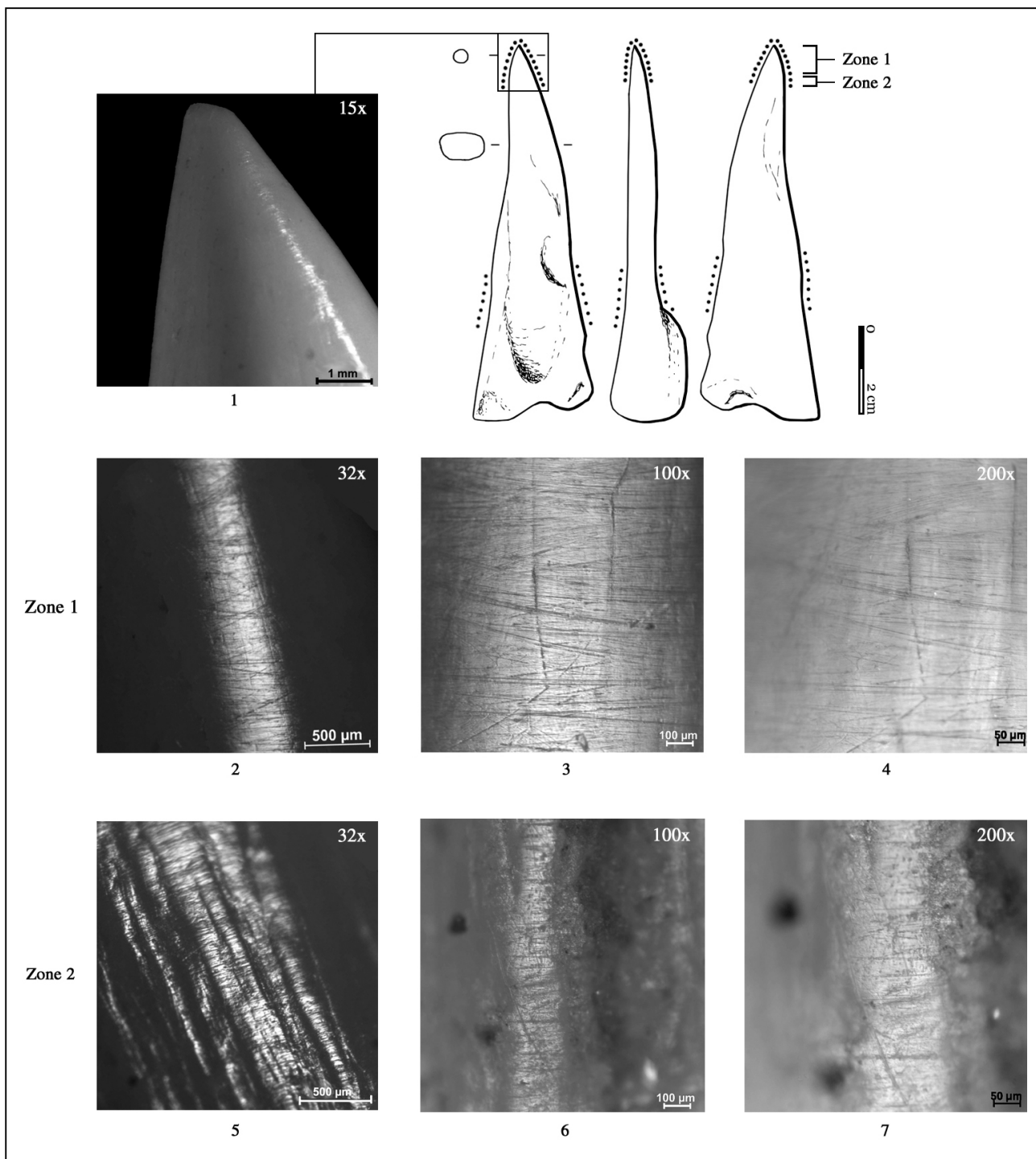


Fig. 48 : Perforation par rotation alternative d'écorce sèche de chêne pendant 20 minutes (n° d'inventaire P63) (clichés A. Legrand).

4.5. Perforation par percussion indirecte d'écorce sèche de chêne

Deux pointes (P2 et P30) ont été utilisées par percussion indirecte pendant 15 et 30 minutes.

Durée d'utilisation : 15 minutes (P2)

L'usure est localisée sur l'ensemble de la pointe (fig. 49-1). Son étendue est modérée et son développement dégressif en 2 zones d'usure. La zone 1 mesure 1 mm de long (fig. 49-2). La zone d'usure 2 mesure 6 mm de long (fig. 49-5). La limite de l'usure est bien définie.

Zone d'usure 1 :

Les altérations du volume : Un émoussé modéré affecte l'apex et les arêtes de la pointe (fig. 49-2). La déformation de la partie active est peu avancée, stade d'usure 1.

Les altérations de surfaces : À 32x, on observe de fréquentes stries d'utilisation longitudinales, longues et parallèles entre elles (fig. 49-2). La topographie est irrégulière (100x) (fig. 49-3). Le microrelief est homogène (fig. 49-4). L'aspect des élévations est bombé, elles sont vernies et présentent une texture grenue. À ce grossissement, les stries apparaissent plus nombreuses et entrecroisées, on distingue également des stries courtes. D'une manière générale, les stries sont larges (entre 2 et 4 μm), profondes ou superficielles, droites et continues. Les bords des stries larges sont peu émoussés et leur fond est partiellement lisse. De nombreux microtrous ont aussi été observés.

Zone d'usure 2 :

Les altérations du volume : Les arêtes de la pointe sont peu émoussées.

Les altérations de surfaces : Seul le relief est affecté par l'usure. Les stries d'utilisation sont rares (fig. 49-5). La topographie observée est celle d'origine (fig. 49-6). Le microrelief devient irrégulier. L'aspect des élévations est bombé et leur texture est grenue. Leur brillance est nettement atténuée (fig. 49-7). Les stries d'utilisation sont moins nombreuses mais gardent les mêmes caractéristiques que celles observées dans la zone précédente. Les microtrous disparaissent.

Aucune trace de manipulation n'a été observée. Les parties saillantes de la surface articulaire sont légèrement écrasées (stade d'usure 1).

Durée d'utilisation : 30 minutes (P30)

L'usure est localisée sur l'ensemble de la pointe (fig. 50-1). Son étendue est modérée et son développement dégressif en trois zones d'usure. La zone 1 mesure 2,5 mm (fig. 50-2). La zone d'usure 2 mesure 7 mm (fig.

50-5). La zone d'usure 3 mesure 3 mm (fig. 50-8). La limite de cette dernière zone est clairement définie.

Zone d'usure 1 :

Les altérations du volume : L'apex et les arêtes de la pointe présente un émoussé modéré. La déformation de la partie active est peu avancée, stade d'usure 1.

Les altérations de surfaces : À 32x, de nombreuses stries d'utilisation sont présentes sur la surface. Elles apparaissent longitudinales, longues, parallèles entre elles ou entrecroisées. La topographie est irrégulière (fig. 50-3). Le microrelief est régulier (fig. 50-4). La surface est vernie et de texture grenue. À ce grossissement, des stries d'utilisation obliques sont observées aux côtés des stries longitudinales. Dans les deux cas, elles sont larges (entre 2 μm et 4,5 μm), profondes, droites, serrées, relativement ordonnées et continues. On observe aussi de nombreux microtrous et de rares cratères circulaires ou ovales dont le diamètre varie de 6 μm à 27 μm . Les bords de ces différentes dépressions sont plus ou moins émoussés et leur fond est rugueux ou partiellement lisse.

Zone d'usure 2 :

Les altérations du volume : L'émoussé des arêtes est modéré.

Les altérations de surfaces : Les stries d'utilisation longitudinales sont toujours nombreuses (32x). La topographie est proche celle d'origine (fig. 50-5). Le microrelief devient homogène (fig. 50-6). L'aspect des élévations est désormais bombé. Leur texture et leur brillances sont similaires à ce qui a été observé dans la zone 1. Les stries d'utilisation sont fines ou larges (environ 3 μm), profondes ou superficielles, droites et continues. Les bords des stries larges sont émoussés. Leur fond est rugueux ou partiellement lisse. Les cratères restent également présents ainsi que les microtrous. Les bords des cratères sont plus anguleux que ceux observés dans la zone 1 et leur fond est rugueux (fig. 50-7).

Zone d'usure 3 :

Les altérations du volume : L'émoussé des arêtes est faible.

Les altérations de surfaces : Seul le relief est affecté par l'usure. Les stries d'utilisation sont rares (32x) (fig. 50-8). La topographie observée est la topographie d'origine (fig. 50-9). Le microrelief est irrégulier (fig. 50-10). L'aspect des élévations est bombé. Elles sont vernies. Les mêmes stries d'utilisation que celles précédemment décrites sont observées sur ces élévations.

L'usure est homogène d'une zone à l'autre. Aucune trace de manipulation n'a été observée. La surface proximale reste peu endommagée (stade d'usure 1).

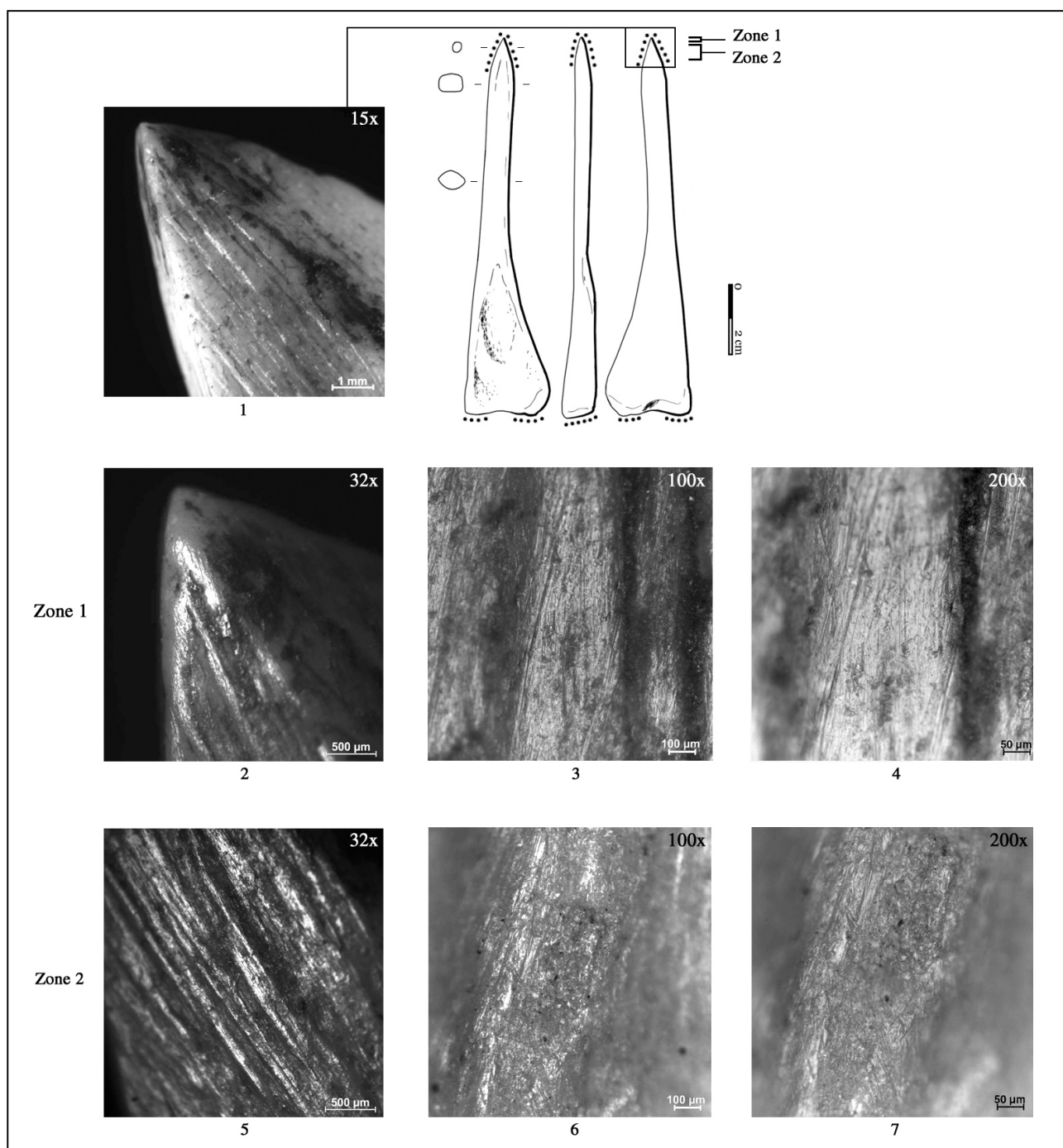


Fig. 49 : Perforation par percussion indirecte d'écorce sèche pendant 15 minutes (n° d'inventaire P2)
(clichés A. Legrand).

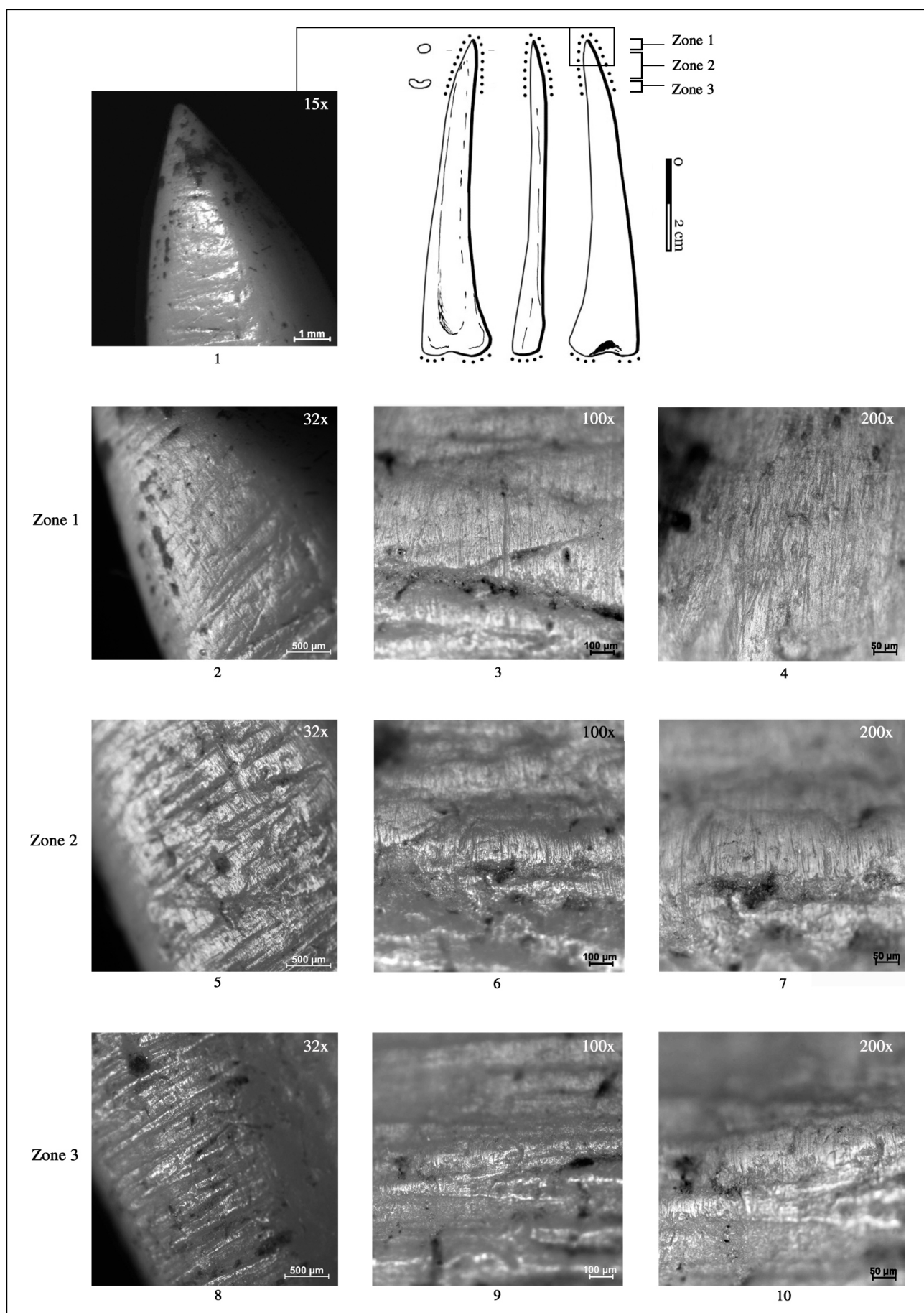


Fig. 50 : Perforation par percussion indirecte d'écorce sèche de chêne pendant 30 minutes (n° d'inventaire P30) (clichés A. Legrand).

Caractéristiques de l'usure : Perforation par percussion indirecte d'écorce sèche de chêne

- Plus la durée d'utilisation est longue, plus le développement de l'usure est dégressif, passant de deux à trois zones d'usure. En revanche, son étendue est systématiquement modérée.
- L'apex et les arêtes de la pointe présentent un émousé modéré. La déformation de la partie active est peu avancée.
- De fréquentes stries d'utilisation principalement longitudinales, longues, parallèles entre elles ou entrecroisées, sont observées à faible grossissement.
- La topographie est irrégulière.
- Le microrelief tend à se régulariser au cours de l'utilisation. La surface est alors vernie et présente une texture grenue.
- À l'échelle microscopique, les stries d'utilisation sont larges, profondes, superficielles, droites, serrées, ordonnées et continues. Leurs bords sont émousés et leur fond est rugueux ou partiellement lisse.
- De nombreux microtrous ont aussi été observés. Les cratères apparaissent à la fin de l'utilisation. Ils sont circulaires ou ovales. Leurs bords sont plus ou moins émousés et leur fond est rugueux ou partiellement lisse.

5. TRAVAIL DU LIN

5.1. Tissage

Trois outils dont 1 pointe (P22) et 2 aiguilles (A5) et A6, ont été utilisés pour tisser des fils de lin. La durée d'utilisation pour chaque outil est de 50 heures.

Pointe (P22) :

L'usure est localisée sur l'ensemble de la pointe (fig. 51-2). Son étendue est modérée et son développement est dégressif en trois zones d'usure. La zone d'usure 1 mesure 4 mm de long (fig. 51-3). La zone d'usure 2 mesure 13 mm de long (fig. 51-6). La longueur de la dernière zone n'a pu être déterminée, la limite de l'usure est floue (fig. 51-9).

Zone d'usure 1 :

Les altérations du volume : Avant l'utilisation, la pointe présente des arêtes de façonnage marquées et un apex piquant. Après l'utilisation, ce dernier est très déformé par des ébréchures qui envahissent la face inférieure de la pointe et par un émousé modéré (stade d'usure 3) (fig. 51-1).

Les altérations de surfaces : Seul le relief est affecté par l'usure mais aucune strie d'utilisation n'a été observée à un grossissement de 64x. La topographie est irrégulière en raison de nombreuses stries de façonnage qui sont associées à des dépressions non linéaires profondes et rugueuses (fig. 51-4). Le microrelief est homogène (fig. 51-5). Les élévations sont vernies, d'aspect bombé ou plat et de texture grenue. À 200x les stries

d'utilisation apparaissent sur les élévations. Elles sont fréquentes, pluridirectionnelles, courtes, fines, superficielles, droites et continues. Les cratères sont plus ou moins circulaires, leur diamètre est d'environ 9 µm. Leurs bords sont émousés et leur fond est partiellement lisse. La surface est également piquetée par de nombreux microtrous.

Zone d'usure 2 :

Les altérations du volume : Les bords restent émousés.

Les altérations de surfaces : Seul le relief est affecté par l'usure (32x) (fig. 51-6). La topographie demeure irrégulière en raison de la persistance d'éléments d'abrasion fréquents et variés liés au façonnage (fig. 51-7). Le microrelief est homogène (fig. 51-8). L'aspect des élévations est bombé. Leur texture et leur brillance restent inchangées. Les stries d'utilisation sont similaires à celles observées dans la zone 1. Les microtrous et cratères sont toujours présents.

Zone d'usure 3 :

Les altérations du volume : Les bords sont faiblement émousés.

Les altérations de surfaces : Seul le relief est affecté par l'usure (32x) (fig. 51-9). La topographie observée est la topographie d'origine (fig. 51-10). Le microrelief est irrégulier (fig. 51-11). Les élévations sont vernies, d'aspect bombé et de texture grenue. Elles sont entrecoupées par des stries d'utilisation similaires à celles décrites précédemment. Les microtrous et cratères restent fréquents.

L'usure est assez homogène d'une zone à une autre même lorsque celle-ci est peu développée comme c'est le cas dans la zone 3.

Aucune trace de manipulation n'a été mise en évidence.

Caractéristiques de l'usure : Tissage de fils de lin avec une pointe

- L'étendue de l'usure est modérée et son développement est dégressif avec trois zones d'usure.
- Ébréchures et émousé modéré affectent l'apex et les arêtes de la pointe. La déformation de la partie active est très avancée.
- Aucune dépression n'a été observée à faible grossissement.
- La topographie est irrégulière.
- Le microrelief est homogène. Les élévations présentent un aspect bombé ou plat et une texture grenue. Elles sont vernies.
- À l'échelle microscopique, les stries d'utilisation sont fréquentes, pluridirectionnelles, courtes, fines, superficielles, droites et continues.
- Les cratères présentent des bords émousés et un fond partiellement lisse. On observe également de nombreux microtrous.

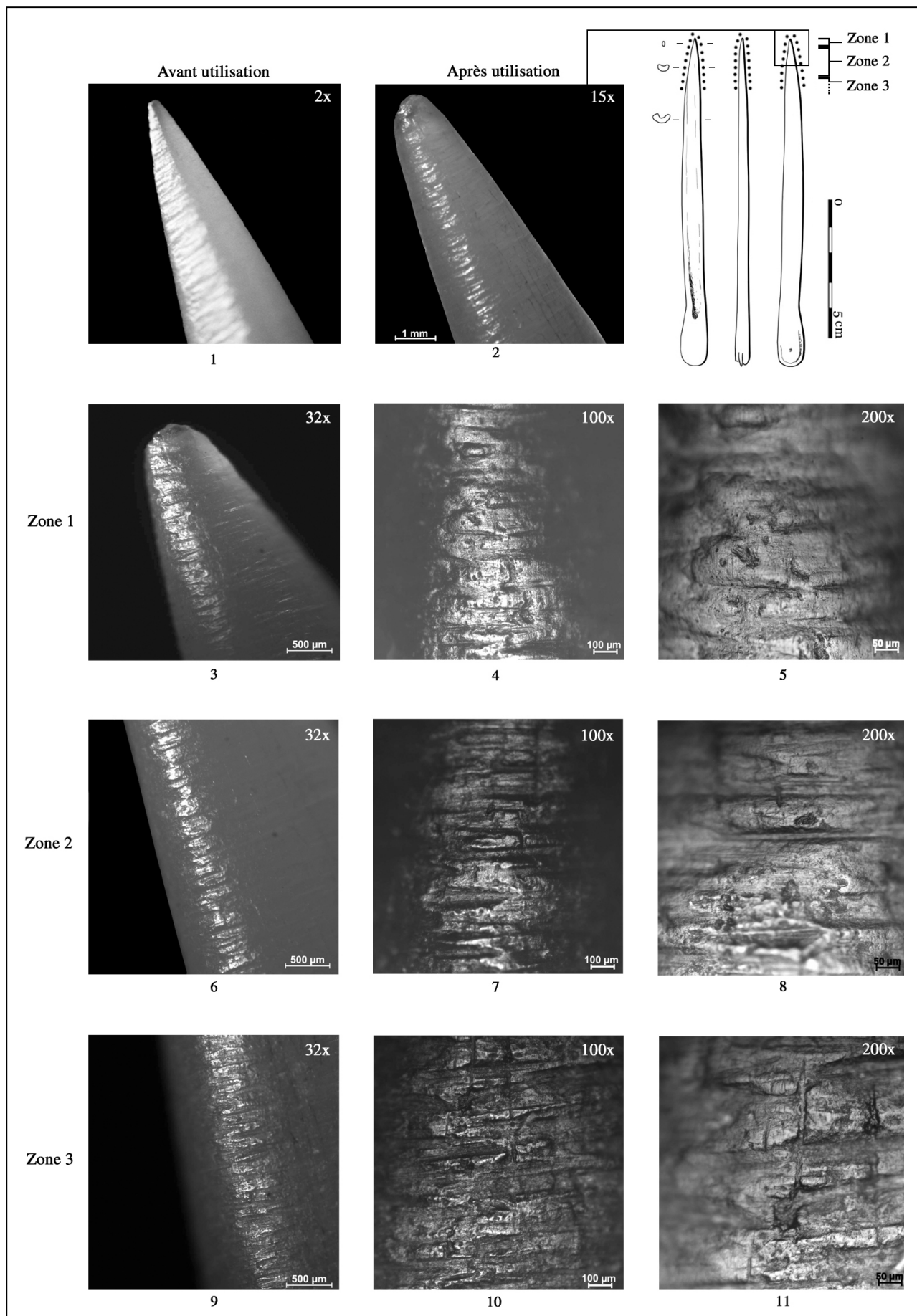


Fig. 51 : Tissage de fils de lin pendant 50 heures (n° d'inventaire P21) (clichés A. Legrand).

Aiguilles (A5-A6) :

L'usure est localisée sur la partie distale de l'aiguille (fig. 52-1). La zone du chas ne présente aucune usure significative (fig. 52-4). L'étendue de l'usure est modérée et son développement est dégressif..

Zone de l'apex :

Les altérations du volume : L'apex est affecté par un émoussé important et par un écaillage très localisé (fig. 52-1). Le contour initial de l'apex est modifié et apparaît relativement plat. La déformation de la partie active est très avancée (stade d'usure 3).

Les altérations de surfaces : De rares stries sont visibles. La topographie est proche de la topographie d'origine (fig. 52-2). Le microrelief est irrégulier (fig. 52-3). L'aspect des élévations est bombé ou plat, leur texture est lisse et elles sont vernies. À ce grossissement les stries sont plus perceptibles, elles apparaissent pluridirectionnelles, longues, entrecroisées, fines, superficielles et continues. De rares microtrous sont également présents.

Caractéristiques de l'usure : Tissage de fils de lin avec une aiguille

- L'étendue de l'usure est modérée et son développement est dégressif.
- L'apex présente de nombreuses écaillures modifiant ainsi de façon très importante son contour initial (stade d'usure 3).
- Les altérations de surface sont peu visibles à faible grossissement.
- La topographie est proche de celle d'origine.
- Le microrelief est irrégulier. Les élévations présentent un aspect bombé ou plat et une texture lisse. Elles sont vernies.
- À l'échelle microscopique, les stries d'utilisation sont plus nombreuses. Elles sont pluridirectionnelles, courtes, fines, superficielles, droites et continues.
- Les cratères sont absents et les microtrous rares.

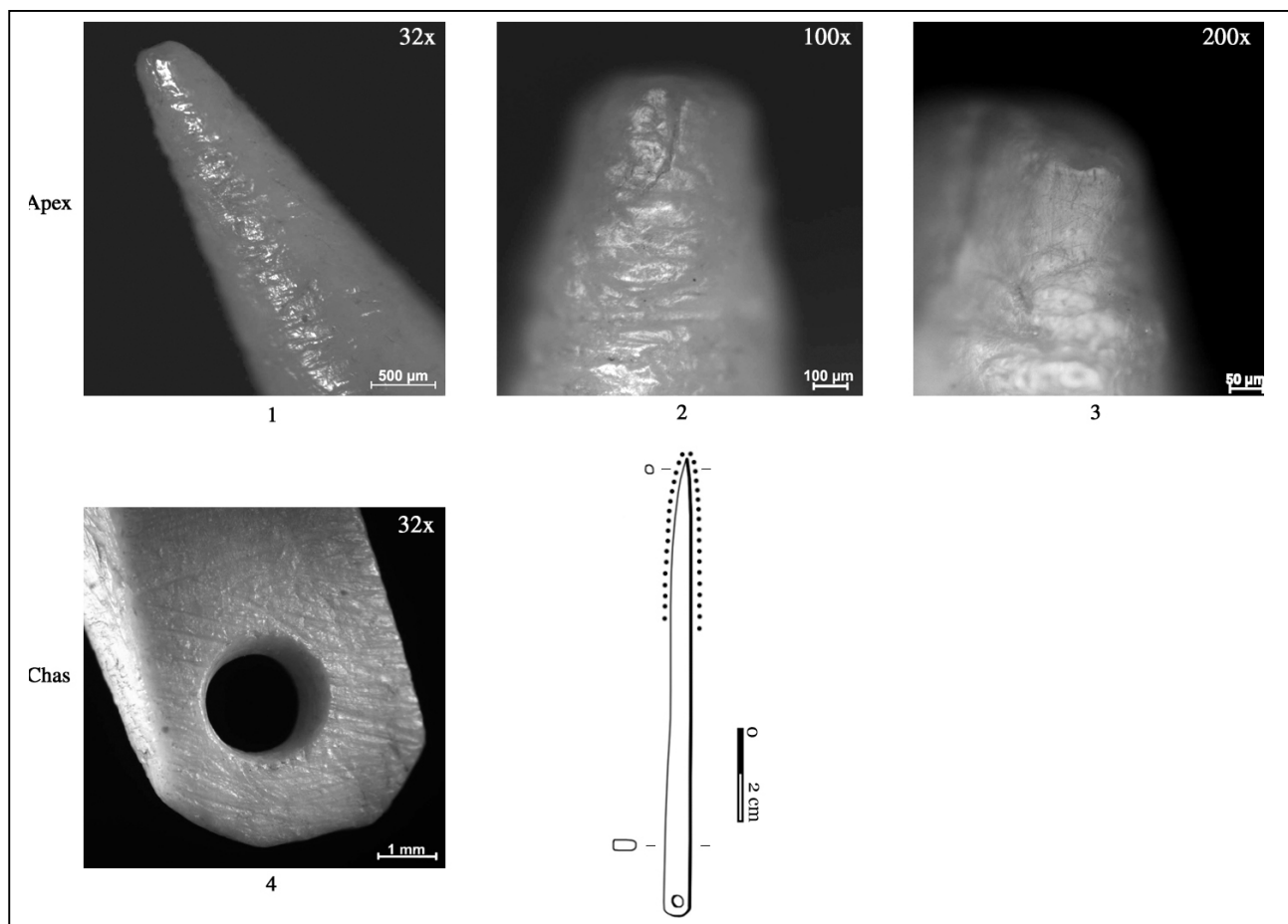


Fig. 52 : Tissage de fils de lin pendant 50 heures (*n° d'inventaire A6*) (clichés A. Legrand).

5.2. Couture

Trois aiguilles (A2, A4, A20) ont été utilisées pour coudre un tissu en lin. La durée d'utilisation varie entre 20 et 120 minutes.

Durée d'utilisation : 20 minutes (A2)

L'usure est localisée sur l'ensemble de l'aiguille mais elle est davantage développée sur la partie distale. En effet, la zone du chas est moins usée que celle de la pointe. L'étendue de l'usure est couvrante et son développement dégressif.

Zone de l'apex :

Les altérations du volume : L'émoussé de l'apex est modéré lui conférant une morphologie arrondie (fig. 53-1). La déformation de la partie active est avancée, stade d'usure 2.

Les altérations de surfaces : À 32x, on distingue quelques stries d'utilisation localisées sur le relief, elles sont longitudinales, longues, droites et proche de la topographie d'origine (fig. 53-2). Le microrelief est irrégulier (fig. 53-3). Les élévations présentent un aspect plat et une texture grenue. Elles sont brillantes. Les stries d'utilisation sont fines, superficielles, ordonnées, serrées et continues (fig. 53-3). Quelques microtrous ont également été observés sur ces élévations.

Zone du chas :

Les altérations du volume : La paroi interne du chas est légèrement émoussée. *Les altérations de surfaces :* À 32x, aucune altération de surface n'est relevée. L'usure se manifeste à plus fort grossissement. La topographie est celle d'origine (fig. 53-5). À 200x, le microrelief est irrégulier (fig. 53-6). Les élévations sont brillantes. Leur aspect est bombé et leur texture lisse. On observe sur ces élévations, quelques stries longitudinales, longues, fines et parallèles entre elles. Les microtrous ont disparu.

Durée d'utilisation : 40 minutes (A4)

L'usure est localisée sur l'ensemble de l'aiguille. La zone de la pointe est toujours la partie sur laquelle l'usure est la plus développée (fig. 54-1). L'étendue de l'usure est couvrante et son développement est dégressif. Dans la zone de l'apex, le degré d'effacement des traces de fabrication est modéré.

Zone de l'apex :

Les altérations du volume : l'apex reste affecté par un émoussé modéré et présente une morphologie arrondie (fig. 54-1). La déformation de la partie active est avancée, stade d'usure 2.

Les altérations de surfaces : À 32x, on note la présence de stries d'utilisation longitudinales, longues, droites et entrecroisées. La topographie est irrégulière (fig. 54-2). Le microrelief est homogène (fig. 54-3). L'aspect des élévations est bombé ou plat et leur texture est grenue. Elles sont brillantes. De nombreuses stries d'utilisation

ainsi que de nombreux microtrous affectent aussi bien les élévations que le fond des dépressions. Les stries sont fines ou plus larges mais inférieures à 2 μm , superficielles, ordonnées, serrées et continues. Les bords des stries larges sont émoussés. Le fond est partiellement ou totalement lisse. De nombreux microtrous sont également observés.

Zone du chas :

Les altérations du volume : Cette zone est affectée par un léger émoussé.

Les altérations de surfaces : À 32x, aucune altération de surface n'est relevée. À 100x, la topographie est celle d'origine (fig. 54-5). Le microrelief est homogène (fig. 54-6). L'aspect des élévations est bombé, leur texture est grenue et elles sont brillantes. On observe sur les élévations, quelques stries longitudinales, longues, fines et parallèles entre elles. Les microtrous restent nombreux.

Durée d'utilisation : 120 minutes (A20)

L'usure est localisée sur l'ensemble de l'aiguille. Si la pointe reste la zone sur laquelle l'usure est la plus développée, le chas est, dans ce cas, plus usé (fig. 55-1 & 55-4). L'étendue de l'usure est couvrante et son développement est dégressif. Le degré d'effacement des traces de fabrication est modéré dans la zone de la pointe.

Zone de l'apex :

Les altérations du volume : L'apex présente un émoussé modéré et un enlèvement qui affecte une des faces de la pointe (fig. 55-1). Le contour initial de l'apex est très modifié (stade d'usure 3).

Les altérations de surfaces : À 32x, on observe quelques stries longitudinales, parallèles entre elles. La topographie d'origine a presque disparu laissant place à une topographie régulière (fig. 55-2). Le microrelief devient homogène (fig. 55-3). Les élévations présentent un aspect bombé, leur texture est lisse. Elles sont vernies. Les stries d'utilisation sont longues ou courtes, fines, superficielles, droites, serrées, ordonnées et continues (fig. 55-3). On note la présence de quelques cratères ovales. Leur largeur varie de 5 μm à 9 μm . Leurs bords sont émoussés et leur fond est partiellement lisse.

Zone du chas :

Les altérations du volume : Aucune altération du volume n'a été relevée dans cette zone.

Les altérations de surfaces : À 32x, des stries d'utilisation longitudinales, longues et parallèles entre elles sont observées sur le relief. À 100x, la topographie est irrégulière (fig. 55-5). Le microrelief est homogène (fig. 55-6). Les élévations présentent un aspect bombé, leur texture est lisse. Elles sont vernies. Les stries sont fines, droites, ordonnées, serrées. Les cratères sont moins nombreux que dans la zone de l'apex.

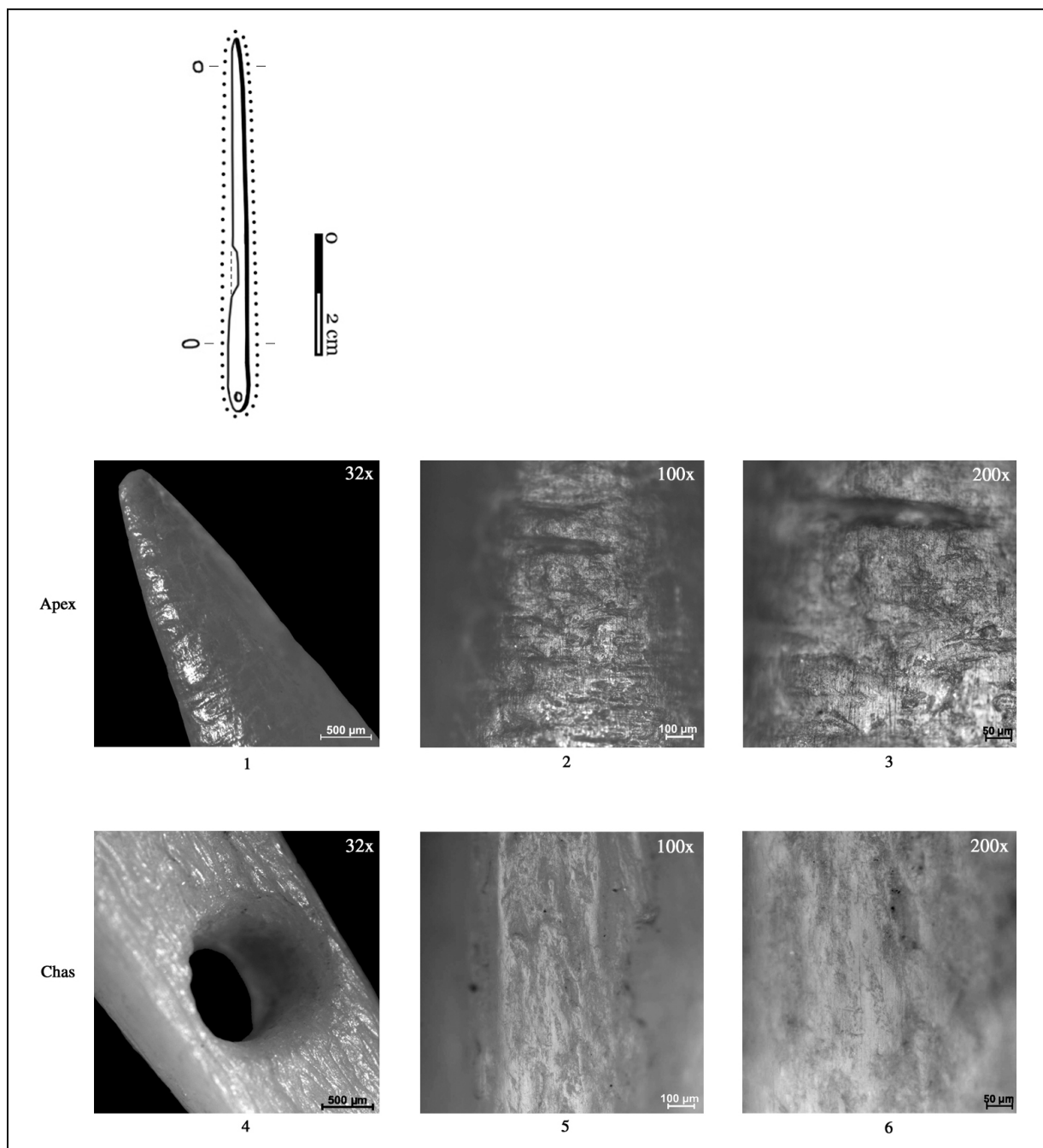


Fig. 53 : Couture sur lin pendant 20 minutes (n° d'inventaire A2) (clichés A. Legrand).

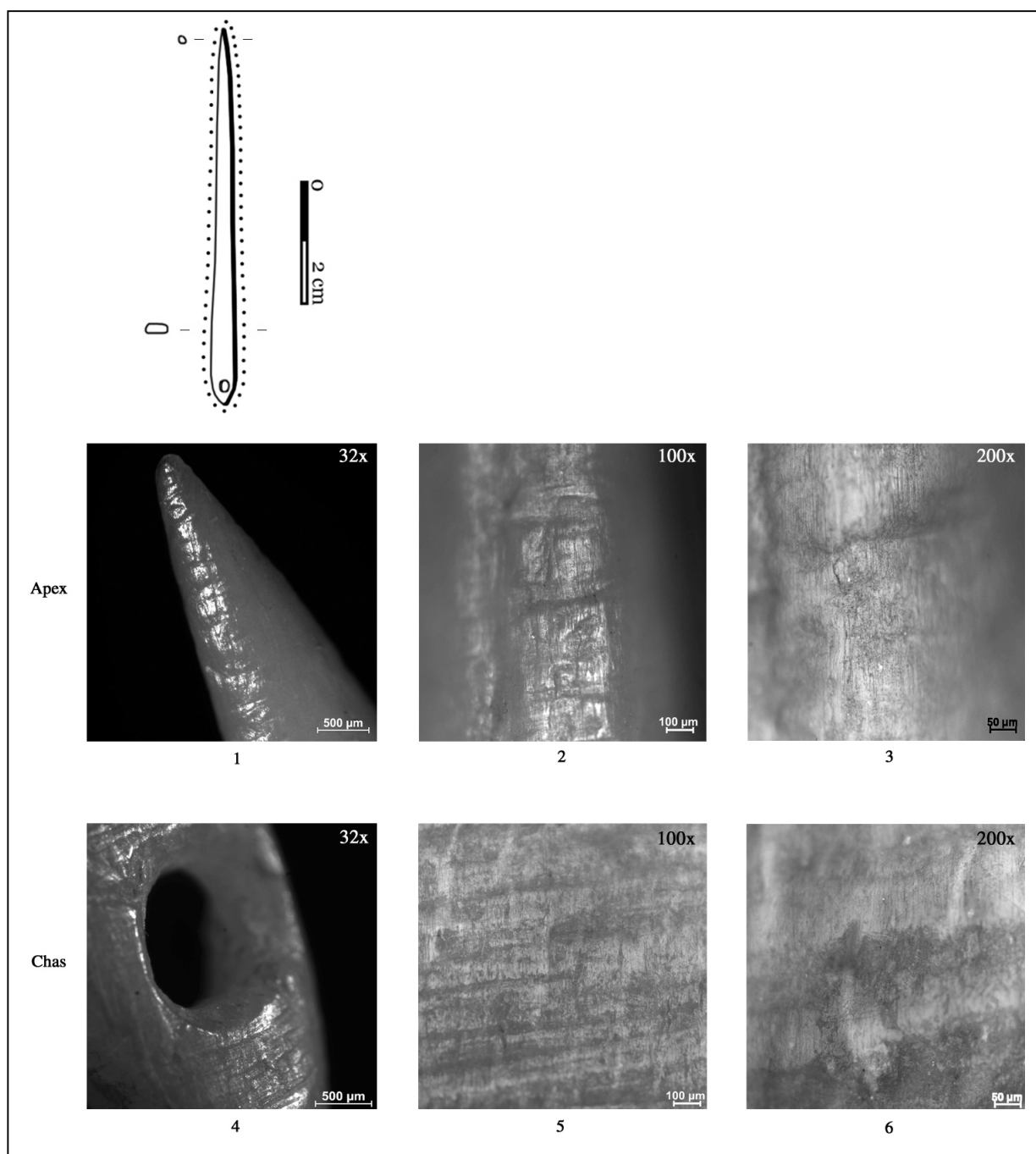


Fig. 54 : Couture sur lin pendant 40 minutes (n° d'inventaire A4) (clichés A. Legrand).

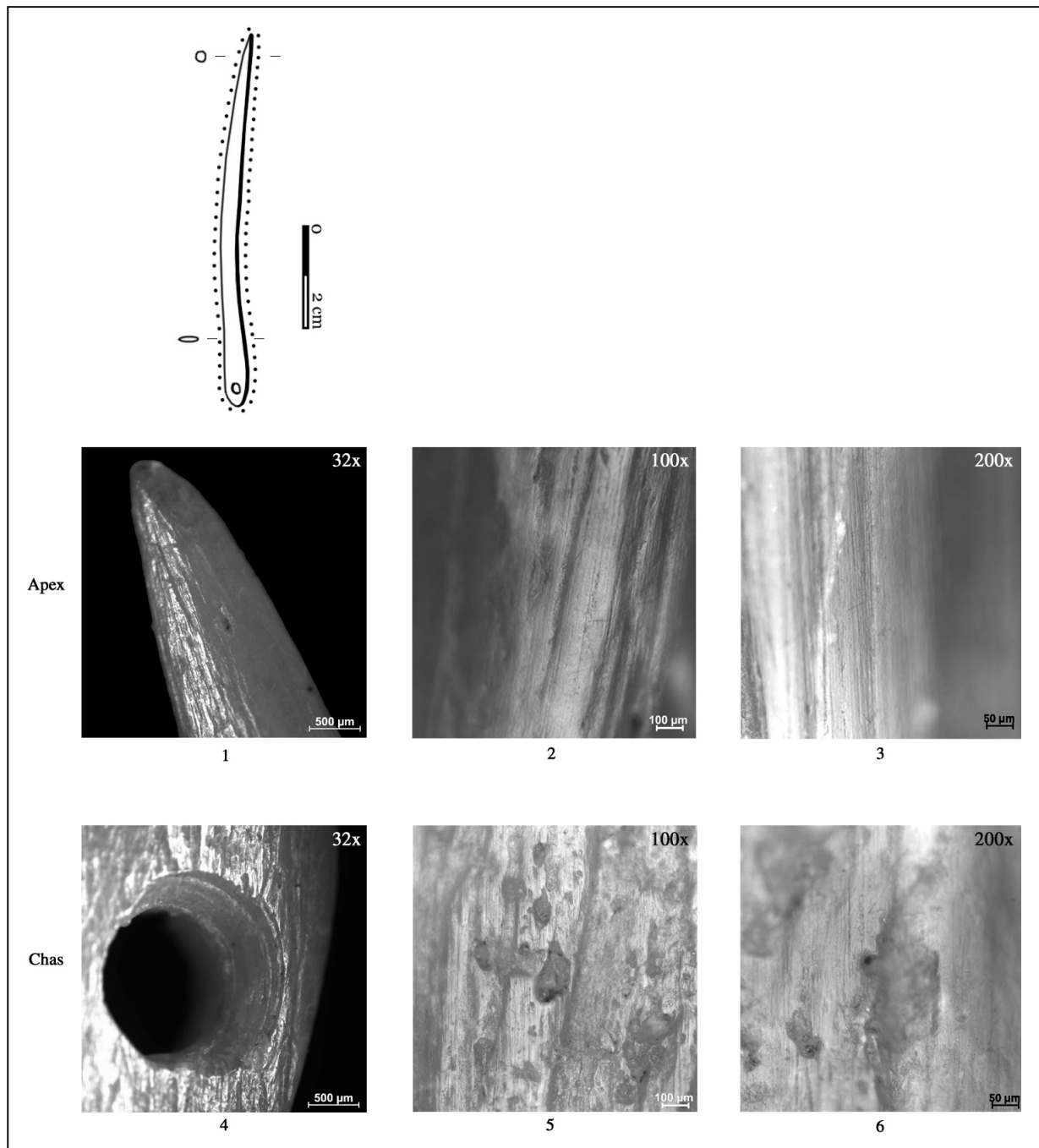


Fig. 55 : Couture sur lin pendant 120 minutes (n° d'inventaire A20) (clichés A. Legrand).

Caractéristiques de l'usure : Couture d'un tissu en lin

- L'étendue de l'usure est toujours couvrante et son développement dégressif. L'usure de la partie active se développe à mesure que le temps d'utilisation s'allonge. De même, des stries d'utilisation apparaissent progressivement dans la zone du chas.
- L'émoussé de l'apex est modéré. Il peut s'accompagner d'enlèvements lorsque le temps d'utilisation est plus long déformant alors davantage l'apex. Le chas est dans tous les cas peu déformé.

- Quelques stries d'utilisation longitudinales, longues ou courtes, parallèles entre elles ou entrecroisées sont observées sur l'apex à faible grossissement.
- La topographie est irrégulière ou régulière lorsque le temps d'utilisation est plus long.
- Le microrelief est irrégulier au début de l'utilisation, puis devient homogène. Les élévations sont brillantes au début de l'utilisation, puis vernies. Leur aspect est bombé ou plat et leur texture grenue ou lisse.

- À l'échelle microscopique, les stries d'utilisation sont fines ou larges, superficielles, droites, serrées, ordonnées et continues. Les bords des stries larges sont émoussés et leur fond est partiellement ou totalement lisse.
- Les cratères apparaissent en fin de l'utilisation. Ils sont rares et partiellement lisses. On observe également des microtrous, présents au début de l'utilisation.

6. TRAVAIL DU CAREX ET DE LA PAILLE DE SEIGLE

Trois pointes (P28, P29 et P62) ont été utilisées selon un mouvement de poussée longitudinale pour monter des paniers selon la technique de la vannerie spiralée en fibres de carex pour les deux premiers outils (15 heures) et en paille de seigle pour le troisième (10 heures). Nous décrirons tout d'abord l'usure relative au travail de fibres de carex.

Carex (P28, P29) :

L'usure est localisée sur l'ensemble de la partie active (fig. 56-1). Son étendue est envahissante et son développement est homogène. Une seule zone d'usure a été observée (fig. 56-2). La limite de cette zone est floue.

Zone d'usure 1 :

Les altérations du volume : L'apex et les arêtes de la pointe sont très émoussés (fig. 56-1). Sa morphologie initiale est particulièrement déformée (stade d'usure 3).

Les altérations de surfaces : À 32x, de nombreuses stries d'utilisation sont observées (fig. 56-2). Elles sont d'une part, longitudinales, longues, droites, parallèles entre elles, entrecroisées et serrées. D'autres, plus rares, sont transversales, obliques, courtes et entrecroisées. Quelques cratères circulaires sont également présents. La topographie est régulière (fig. 56-3). Le microrelief est régulier. La surface est de texture lisse, elle est vernie et striée (fig. 56-4). Les stries d'utilisation sont majoritairement fines, parfois plus larges (jusqu'à 2 µm), superficielles, serrées, ordonnées continues ou discontinues. Les bords des stries larges sont émoussés et leur fond est partiellement ou complètement lisse. Les cratères sont peu nombreux. Ils sont ovales (90 µm de long et 31 µm de large) ou circulaires (diamètre entre 13 µm et 22 µm) et présentent des bords émoussés et un fond rugueux ou partiellement lisse.

La présence de traces de manipulation est probable sur la partie proximale de l'outil mais il est difficile de les distinguer des traces d'usure.

Caractéristiques de l'usure : Vannerie avec des fibres de carex

- L'étendue de l'usure est envahissante et son développement est homogène.

- L'apex et les arêtes de la pointe sont marquées par un émoussé important. La déformation de la partie active est très avancée.

- De nombreuses stries d'utilisation sont observées à faible grossissement. Elles sont longitudinales, longues, droites et parallèles entre elles ou entrecroisées. D'autres, plus rares, sont transversales, obliques, courtes et entrecroisées. Quelques cratères ont également été observés à cette échelle.

- La topographie est régulière.

- Le microrelief est régulier. La surface est de texture lisse, elle est vernie et striée.

- À l'échelle microscopique, les stries d'utilisation sont fines ou larges, superficielles, serrées, ordonnées, continues ou discontinues. Les bords des stries larges sont émoussés et leur fond est partiellement ou complètement lisse.

- Les cratères sont peu nombreux. Ils sont ovales et circulaires. Leurs bords sont émoussés et leur fond est rugueux ou partiellement lisse.

Paille de seigle (P62) :

L'usure est localisée sur l'ensemble de la pointe de l'outil (fig. 57-1). L'étendue de l'usure est envahissante et son développement de l'usure est dégressif en deux zones d'usure. La zone d'usure 1 mesure 45 mm (fig. 57-2). La limite de la zone d'usure 2 n'a pu être déterminée, elle se confond avec la zone de préhension (fig. 57-5).

Zone d'usure 1 :

Les altérations du volume : L'apex est très émoussé et les arêtes de la pointe ont disparu (fig. 57-1). La déformation de la partie active est donc très avancée (stade d'usure 3).

Les altérations de surfaces : À 32x, de nombreuses stries longitudinales, longues, droites et parallèles entre elles ainsi que de nombreux cratères plus ou moins circulaires sont observés (fig. 57-2). Des stries transversales, courtes et entrecroisées sont également présentes mais elles sont moins fréquentes. La topographie est irrégulière (fig. 57-3). Le microrelief est régulier. La surface est de texture lisse, vernie et striée (fig. 57-4). À 200x, les stries longitudinales sont larges (entre 2 µm et 4 µm), profondes, ordonnées, serrées, continues et discontinues. Leurs bords sont émoussés et leur fond est rugueux, partiellement ou totalement lisse. Les stries transversales et obliques présentent une largeur similaire aux précédentes. Les cratères sont nombreux. Ils sont majoritairement ovales mais peuvent également être circulaires. Leur diamètre est d'environ 13 µm. Leurs bords sont émoussés et leur fond est rugueux ou partiellement lisse.

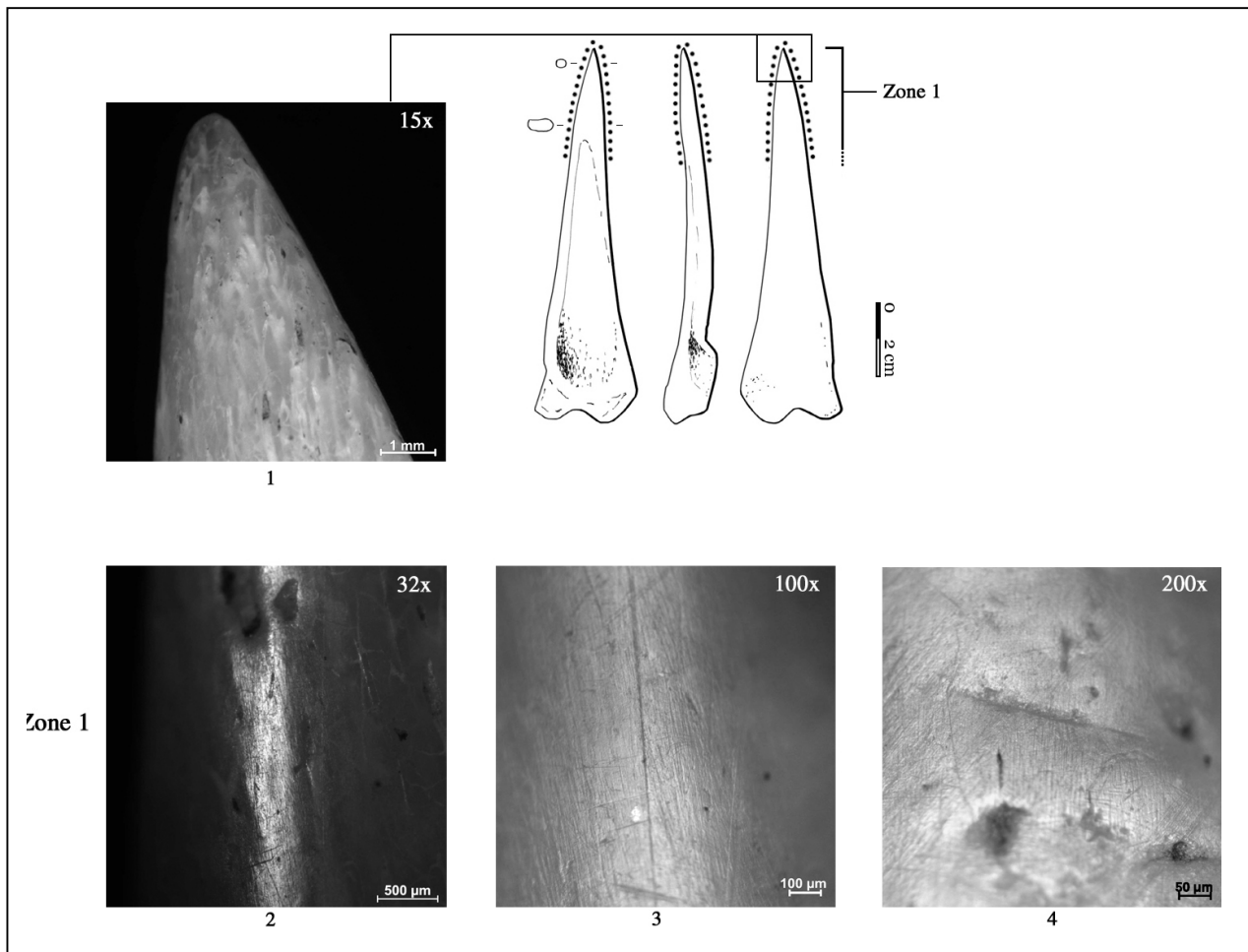


Fig. 56 : Vannerie sur carex pendant 15 heures (n° d'inventaire P28) (clichés A. Legrand).

Zone d'usure 2 :

Les altérations du volume : Les arêtes de la pointe présentent un émoussé important (fig. 57-5).

Les altérations de surfaces : Les mêmes altérations de surfaces, stries et cratères que celles observées dans la zone 1, sont observées à 32x. La topographie est irrégulière (fig. 57-6). Le microrelief est régulier (fig. 57-7). Les caractéristiques des élévations restent identiques à celles décrites pour la zone 1. Les stries d'utilisation sont nombreuses et associées aux dépressions non linéaires qui restent fréquentes. Néanmoins, le nombre de cratères diminue.

L'usure est similaire et homogène d'une zone à l'autre ce qui traduit un contact diffus et continu entre l'outil et la matière travaillée.

Comme dans le cas précédent, la présence de traces de manipulation est probable sur la partie proximale de l'outil mais elles n'ont pu être précisément isolées des traces d'usure.

Caractéristiques de l'usure : Vannerie avec de la paille de seigle

- L'étendue de l'usure est envahissante et son développement est dégressif en deux zones d'usure.
- L'apex et les arêtes de la pointe sont marquées par un émoussé important. La déformation de la partie active est très avancée.
- De nombreuses stries longitudinales, longues, droites et parallèles entre elles ainsi que de nombreux cratères sont visibles à faible grossissement.
- La topographie est irrégulière.
- Le microrelief est régulier. La surface présente une texture lisse. Elle est vernie et striée.
- Les stries longitudinales sont larges, profondes, serrées, ordonnées, continues et discontinues. Leurs bords sont émoussés et leur fond est rugueux, partiellement ou totalement lisse.
- Les cratères sont nombreux. Leurs bords sont émoussés et leur fond est rugueux ou partiellement lisse.

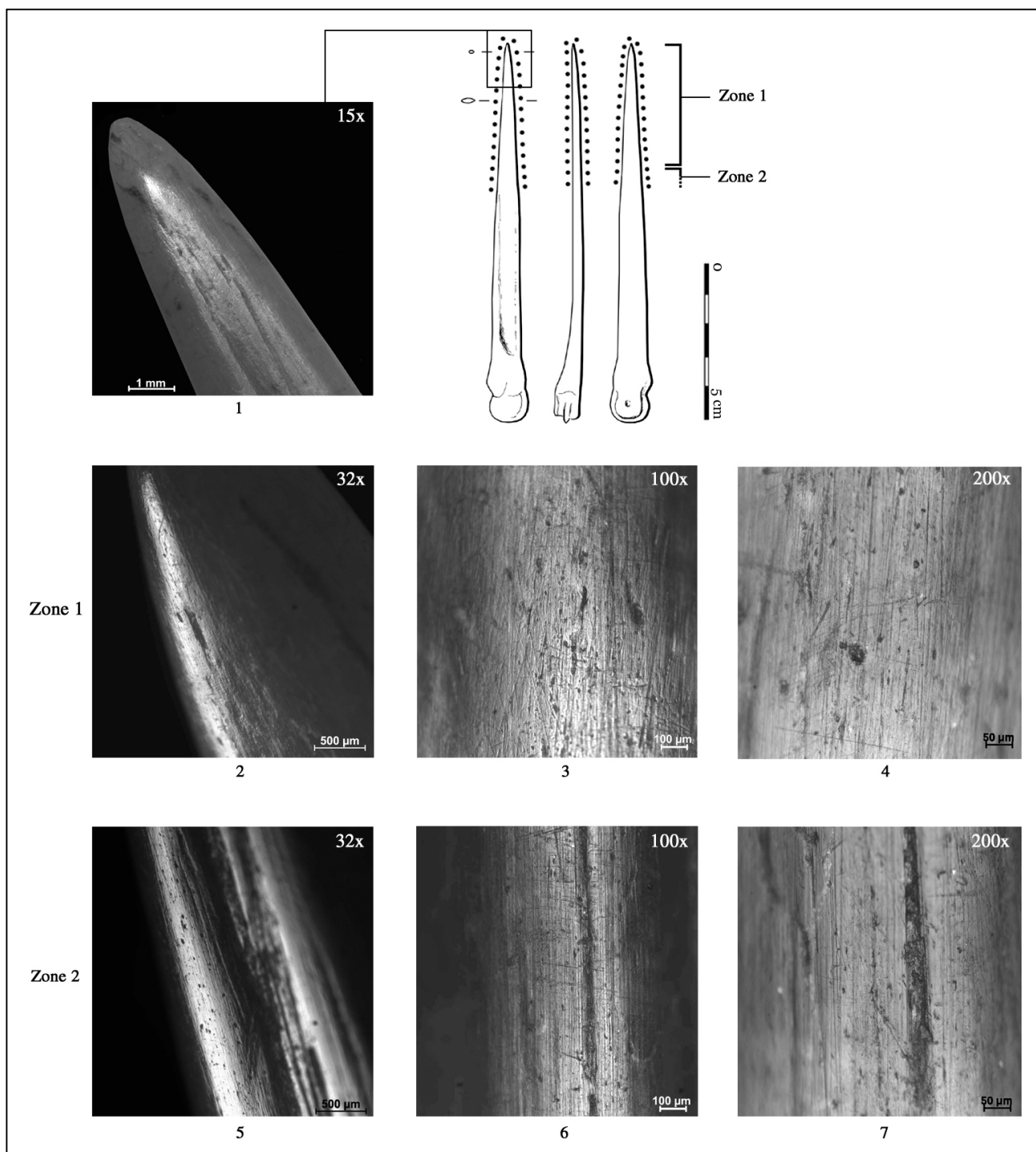


Fig. 57 : Vannerie sur paille de seigle pendant 10 heures (n° d'inventaire P62) (clichés A. Legrand).

7. TRAVAIL DES CANNES

7.1 Fendage de cannes vertes par sciage

La pointe (P8) a été utilisée perpendiculairement à la matière pendant 55 minutes. L'usure est localisée sur l'ensemble de la pointe (fig. 58-1). Son étendue est modérée et son développement est dégressif. Deux zones d'usure ont été mises en évidence. La zone 1 mesure 2 mm (fig. 58-2). La zone d'usure 2 mesure 12 mm (fig. 58-5). La limite de l'usure est bien définie.

Zone d'usure 1 :

Les altérations du volume : L'apex présente un écrasement important qui modifie la morphologie initiale de l'apex (stade d'usure 3). En outre, on observe un émoussé modéré qui affecte les arêtes de la pointe (fig. 58-2). *Les altérations de surfaces :* À 32x, de rares cratères et quelques stries d'utilisation pluridirectionnelles sont observées sur l'ensemble de la surface considérée. La topographie est irrégulière (fig. 58-3). Le microrelief est homogène. Les élévations sont vernies, d'aspect bombé et de texture lisse. Les stries d'utilisation sont courtes, fines, superficielles, droites, désordonnées et continues. Les cratères sont circulaires, d'un diamètre de 11 µm. Leurs bords sont peu émoussés et leur fond est rugueux (fig. 58-4).

Zone d'usure 2 :

Les altérations du volume : L'émoussé des arêtes de la pointe est modéré, voire faible.

Les altérations de surfaces : À 32x, les stries d'utilisation sont plus nombreuses. La topographie est irrégulière (fig. 58-6). Le microrelief est homogène (fig. 58-7). Les élévations présentent un aspect bombé et une texture grenue. Elles sont désormais brillantes et non plus vernies. Les stries d'utilisation sont plus larges, plus profondes et plus serrées que celles observées dans la zone 1.

Caractéristiques de l'usure : Fendage par percussion posée directe de cannes vertes

- L'étendue de l'usure est modérée et son développement est dégressif en deux zones d'usure.
- L'apex présente un écrasement important associé à un émoussé modéré. Son contour initial est totalement déformé (stade d'usure 3).
- De rares stries d'utilisation pluridirectionnelles sont observées à faible grossissement ainsi que de rares cratères.
- La topographie est irrégulière.
- Le microrelief est homogène. Les élévations présentent un aspect bombé et une texture lisse. Elles sont vernies.
- À l'échelle microscopique, les stries d'utilisation sont courtes, fines, superficielles, droites et continues.
- Les cratères présentent des bords peu émoussés et un fond rugueux.

7.2. Fendage de cannes sèches par percussion posée indirecte

Des cannes sèches ont été fendues par percussion indirecte par un outil tranchant (L5) pendant 20 minutes. La localisation de l'usure est bifaciale et symétrique. Son étendue est modérée et son développement dégressif en deux zones d'usure. La première mesure 2 mm (fig. 59-2). La zone d'usure 2 mesure 5 mm (fig. 59-5). La limite de l'usure est claire.

Zone d'usure 1 :

Les altérations du volume : L'émoussé du taillant est symétrique et modéré. Les écaillures situées au centre de celui-ci sont rares (fig. 59-1). La déformation de la partie active est peu avancée (stade d'usure 1).

Les altérations de surfaces : À 32x, on distingue sur l'ensemble de cette zone, de nombreuses stries d'utilisation longitudinales, longues, droites, parallèles entre elles ou entrecroisées et désordonnées. De nombreux cratères sont également observés. La topographie est irrégulière (fig. 59-3). Le microrelief est régulier (fig. 59-4). La surface est vernie et striée. Elle présente une texture grenue. Les stries d'utilisation sont larges (entre 1 et 5 µm), profondes, serrées et continues. Leurs bords sont émoussés ou anguleux et leur fond rugueux, partiellement ou totalement lisse. Les cratères sont circulaires et ovales et leur diamètre varie de 11 à 27 µm. Leurs bords sont émoussés et leur fond est rugueux ou partiellement lisse. De nombreux microtrous sont également présents.

Zone d'usure 2 :

Les altérations du volume : Les bords du taillant sont peu émoussés.

Les altérations de surfaces : À 32x, seul le relief est affecté par l'usure. On y observe de fréquentes stries d'utilisation longitudinales, longues, droites, parallèles entre elles et entrecroisées, accompagnées de rares cratères (fig. 59-5). La topographie est proche de la topographie d'origine (fig. 59-6). Le microrelief est homogène (fig. 59-7). Les élévations sont vernies, d'aspect bombé et de texture lisse. Les stries d'utilisation sont bien plus fines, que dans la zone 1. Elles sont superficielles, droites, serrées, ordonnées et continues. Le nombre de dépressions non linéaires diminue.

L'usure est, comme dans l'exemple précédent, différente d'une zone à l'autre notamment au niveau des stries. Larges dans la zone 1, elles deviennent fines dans la zone 2. Par ailleurs, plus l'on s'éloigne du taillant, plus le nombre de cratères diminue.

Aucune trace de préhension n'a été identifiée. Un léger écrasement a été observé sur la surface proximale de cet outil.

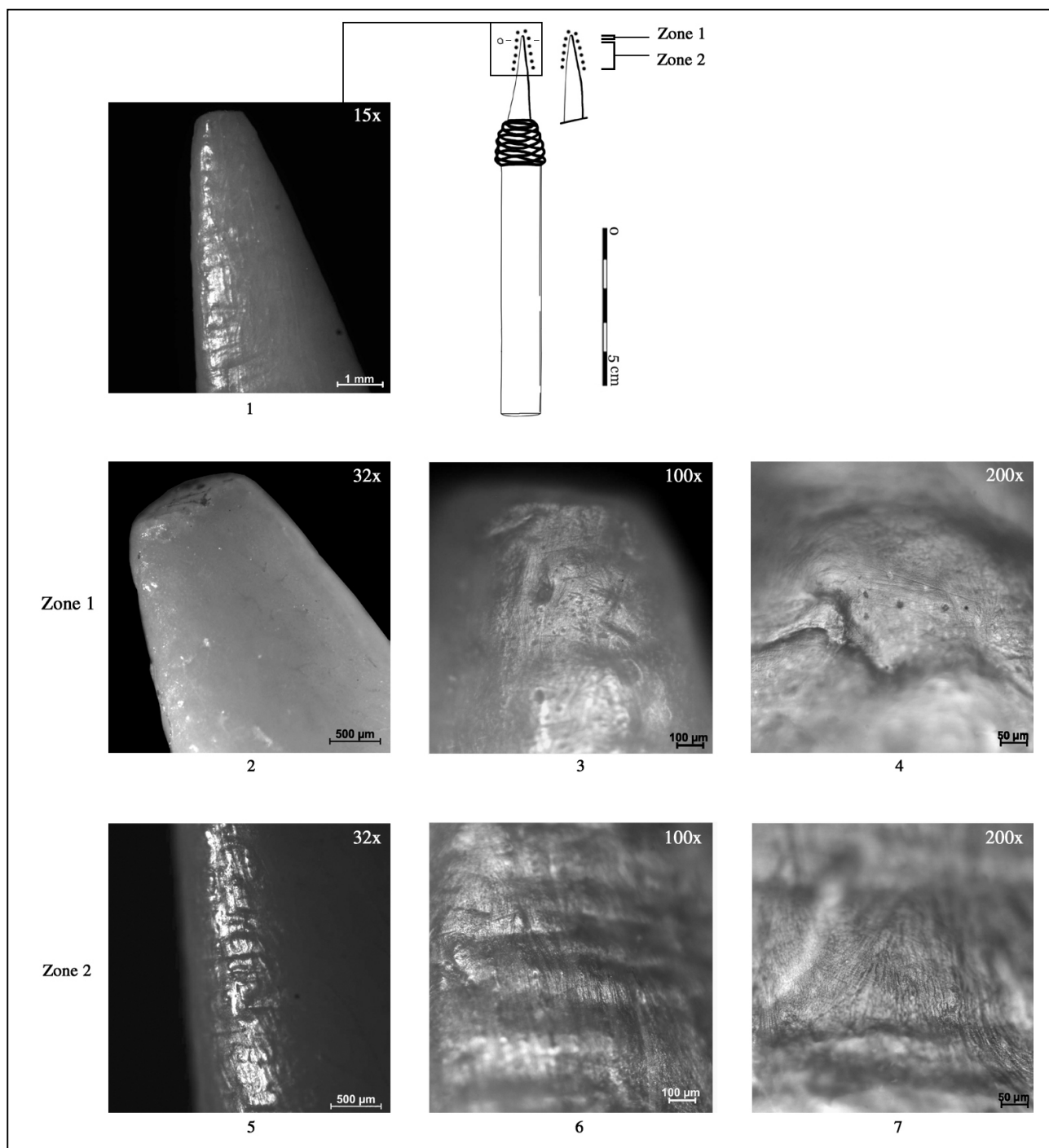


Fig. 58 : Fendage par percussion posée directe de cannes vertes pendant 55 minutes (n° d'inventaire P8)
(clichés A. Legrand).

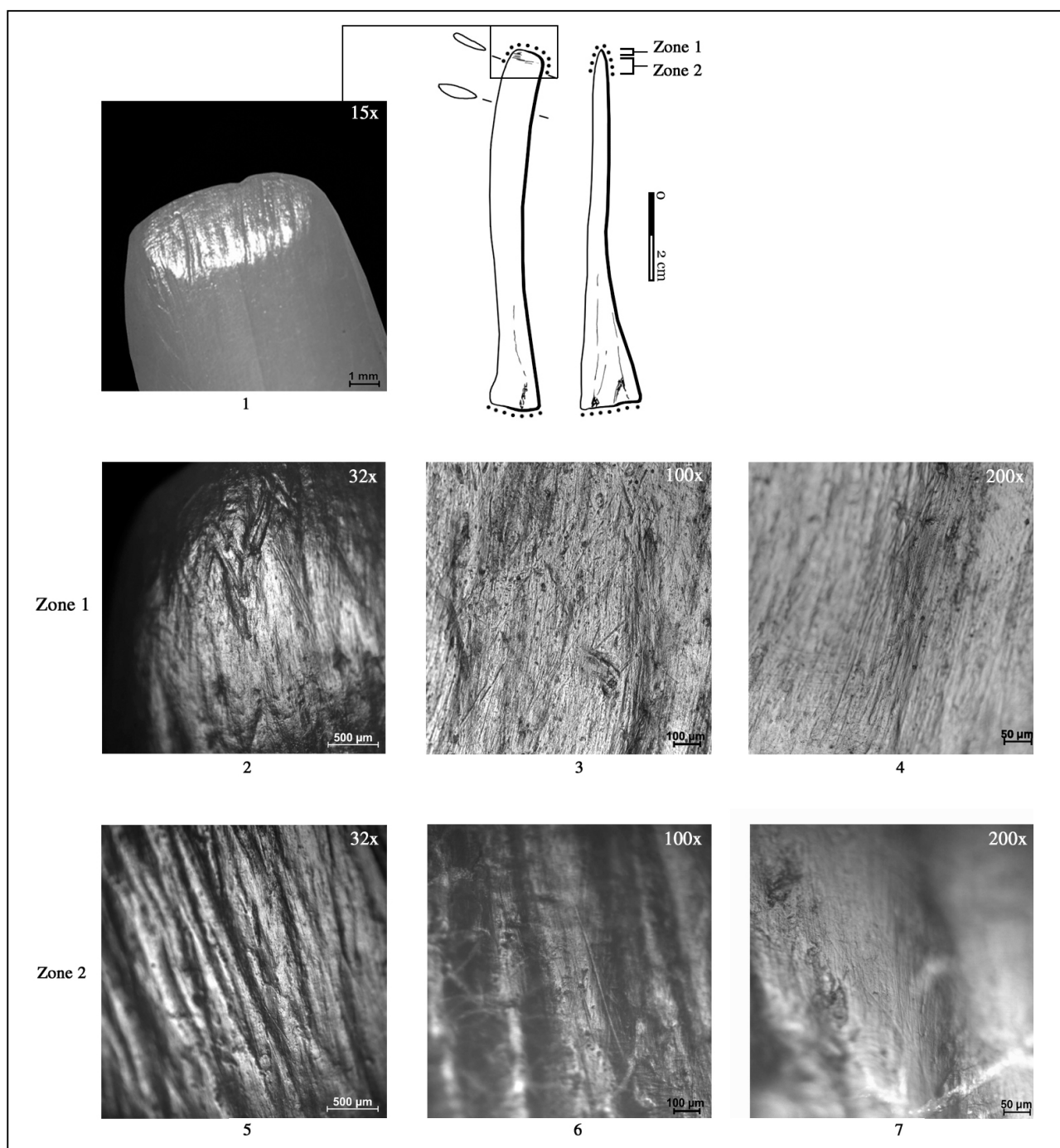


Fig. 59 : Fendage par percussion indirecte de cannes sèches pendant 20 minutes (n° d'inventaire L5)
(clichés A. Legrand).

Caractéristiques de l'usure : Fendage par percussion indirecte de cannes sèches

- L'étendue de l'usure est modérée et son développement est dégressif en deux zones d'usure.
- Le taillant présente un émoussé symétrique et modéré et quelques écaillures. La déformation de la partie active est peu avancée.
- De nombreuses stries d'utilisation longitudinales, longues, droites, parallèles entre elles, entrecroisées et désordonnées sont observées. De nombreux cratères sont également présents.

- La topographie est irrégulière.
- Le microrelief est régulier. La surface est de texture grenue, vernie et striée.
- À l'échelle microscopique, les stries d'utilisation sont larges, profondes, serrées et continues. Leurs bords sont émoussés ou anguleux et leur fond est rugueux, partiellement ou totalement lisse.
- Les cratères sont circulaires et ovales. Leurs bords sont émoussés et leur fond est rugueux ou partiellement lisse. De nombreux microtrous sont également présents.

8. TRAVAIL DE L'ARGILE

Un outil tranchant (T20) a été utilisé pendant 90 minutes pour façonner une assiette.

L'usure est localisée, en fonction des différentes actions réalisées, sur le taillant de l'outil, son bord droit et sa face supérieure. L'étendue et le développement de l'usure ne peuvent alors être mesurés puisqu'il existe différentes zones actives. Nous allons donc décrire successivement ces zones sur lesquelles nous avons observé un degré d'effacement des traces de fabrication important.

Le taillant :

Les altérations du volume : À 15x, le taillant présente un émoussé symétrique et modéré associé à des écaillures localisées au centre de celui-ci (fig. 60-1).

Les altérations de surfaces : De nombreuses stries d'utilisation longitudinales sont observées à 32x. La topographie est irrégulière (fig. 60-3). Le microrelief est homogène (fig. 60-4). L'aspect des élévations est bombé. Leur texture est grenue. Elles sont vernies. Les stries d'utilisation apparaissent, à 200x, pluridirectionnelles, courtes, fines et larges (jusqu'à 2,5 µm), superficielles et profondes, continues et désordonnées. Les bords des stries larges sont plus ou moins émoussés et leur fond est rugueux ou partiellement lisse. De nombreux microtrous sont présents.

Le bord droit du taillant :

Les altérations du volume : Ce bord actif présente un émoussé important (fig. 60-5).

Les altérations de surfaces : À 32x, les stries d'utilisation sont nombreuses, elles sont perpendiculaires au bord, longues, parallèles entre elles ou entrecroisées. La topographie est irrégulière (fig. 60-6). Le microrelief est homogène (fig. 60-7). L'aspect des élévations est bombé ou plat, leur texture est grenue et elles sont vernies. Les stries d'utilisation gardent les mêmes caractéristiques que celles décrites dans la zone du taillant. Le nombre de microtrous est important.

La face supérieure du tranchant :

Les altérations du volume : À 15x, on observe sur cette face, un émoussé important et bombé.

Les altérations de surfaces : À 32x, on observe que la zone considérée est couverte par de nombreuses stries transversales d'utilisation, longues, droites, parallèles entre elles et entrecroisées (fig. 60-8). La topographie est irrégulière en raison de la variété morphologique et directionnelle des stries d'utilisation mais aussi en raison de la présence de nombreuses dépressions non linéaires (fig. 60-9). Le microrelief est régulier. La texture et la brillance des élévations sont similaires à la zone active du bord droit. Les stries d'utilisation sont majoritairement larges (de 3 à 7 µm) et certaines sont plus fines. Elles sont profondes ou superficielles, continues, rugueuses ou partiellement lisses et leurs bords sont émoussés (fig. 60-10). Les cratères sont fréquents, ils sont circulaires, d'un diamètre d'environ 11µm. Leurs bords sont émoussés et leur fond est rugueux ou partiellement lisse.

Les traces de manipulation n'ont pu être précisément déterminées.

Selon la zone active considérée, la déformation observée est plus ou moins avancée. Si l'on considère l'ensemble des usures observées sur ces zones actives, on peut les résumer ainsi :

- L'émoussé est la principale altération du modelé reconnue, il peut être important jusqu'à aboutir à la formation d'une facette qui modifie le profil de l'outil. La déformation des différentes zones actives est très avancée.
- De nombreuses stries longitudinales sont visibles à faible grossissement.
- La topographie est irrégulière.
- Le microrelief est homogène sur le taillant et le bord droit et régulier sur la face supérieure. C'est sur cette face que le contact avec la matière a été le plus important. L'aspect des élévations est bombé ou plat, leur texture est grenue et elles sont vernies.
- Les stries sont longues, principalement larges, profondes, désordonnées et continues. Leurs bords sont émoussés et leur fond est rugueux ou partiellement lisse.
- Les microtrous sont nombreux, les cratères apparaissent lorsque l'usure est bien développée comme elle l'est, par exemple, sur la face supérieure du tranchant.

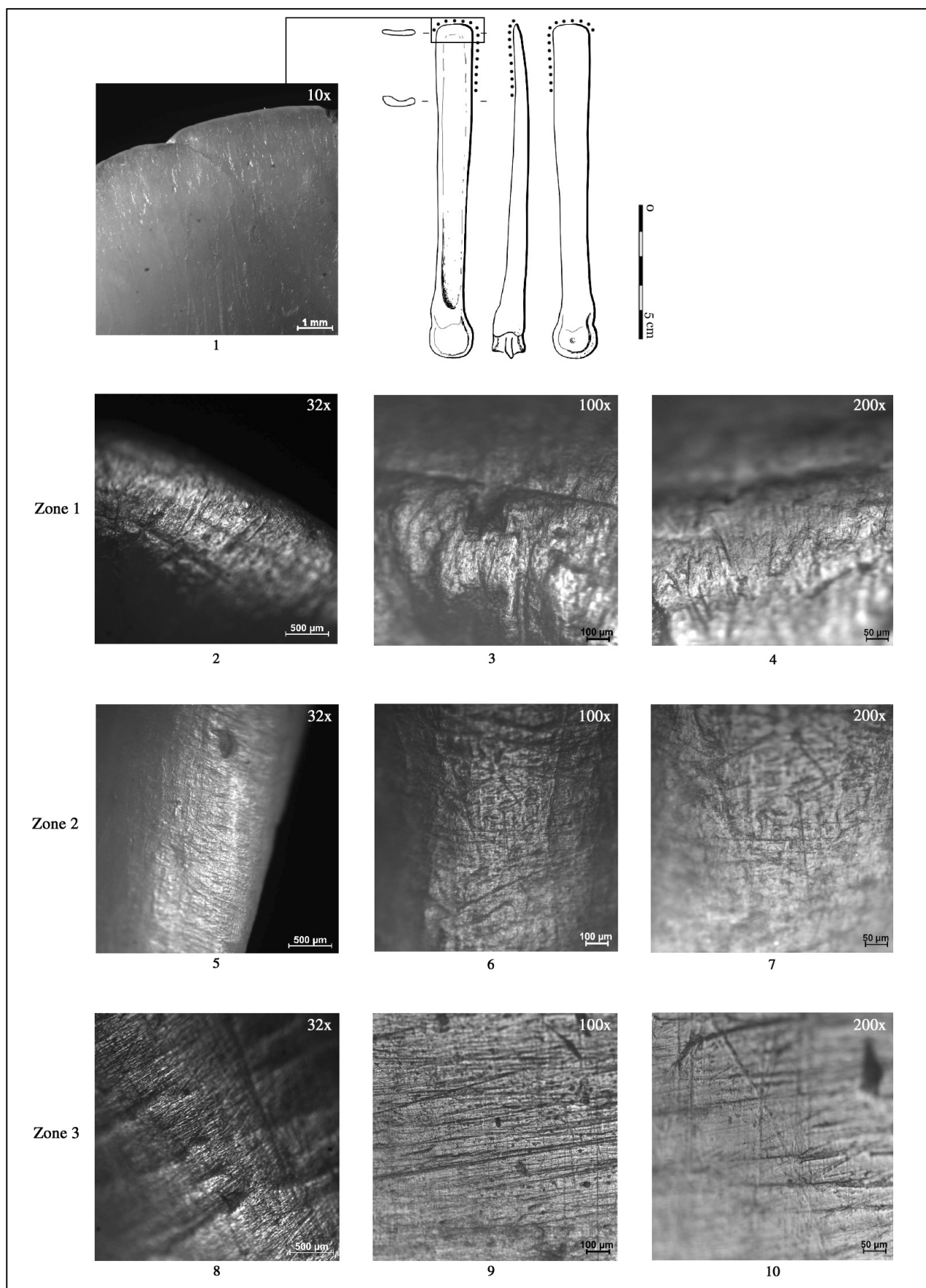


Fig. 60 : Lissage d'une céramique pendant 90 minutes (n° d'inventaire T20) (clichés A. Legrand).

9. SYNTHÈSE

Après avoir caractérisé les altérations du volume et les altérations de surfaces observées sur les outils expérimentaux, nous allons nous attacher dans cette synthèse, à tester la représentativité des attributs d'usure y compris le développement de l'usure, selon les principaux paramètres considérés.

Nous nous interrogerons notamment sur l'existence ou l'absence de traces d'usure diagnostiques d'un mode d'action et/ou d'une matière travaillée. Plus largement, le processus de formation de l'usure sera aussi envisagé. Comment se manifeste l'usure au cours de la progression du travail ? Quelles sont les matières qui produisent rapidement des traces ? Quelles sont celles, au contraire, pour lesquelles l'usure n'est représentative qu'après une longue durée d'utilisation ?

Nous tenterons encore de mesurer l'incidence de la morphologie de la partie active de l'outil sur la formation et la distribution des traces fonctionnelles.

Pour répondre à ces questions, nous avons choisi de centrer notre propos sur la zone d'usure 1 car elle est présente sur toutes les pièces et généralement bien développée et donc diagnostique.

9.1. Les outils utilisés par rotation alternative

Ce sont exclusivement des pointes de calibre varié utilisées sur la peau, l'écorce et l'os.

Étendue et développement de l'usure

L'étendue et le développement de l'usure semblent varier en fonction du temps d'utilisation. Plus celui-ci est long, plus l'étendue est envahissante et le développement dégressif. Le nombre de zone dépendrait donc en partie du temps d'utilisation. Par ailleurs, la morphologie de la pointe pourrait aussi avoir une répercussion sur le développement de l'usure. Si l'on compare les deux pointes utilisées pour perforer des écorces sèches, on constate que celle qui présente un calibre distal fin, montre un développement de l'usure en trois zones. Tandis que la pointe dont le calibre distal est plus large, montre un développement de l'usure en deux zones malgré une durée d'utilisation plus longue. Des expérimentations systématiques impliquant l'utilisation de pointes de même calibre devront être conduites à l'avenir pour mesurer efficacement l'incidence du calibre sur le développement des traces d'usure. Enfin, le caractère dégressif du développement de l'usure pourrait encore être associé au travail de matières souples ou rigides. En effet, toutes les pointes montrent un développement dégressif, excepté celle utilisée sur de l'os sec qui présente un développement homogène.

Altérations du volume

L'ensemble des altérations du volume – émoussés, éclats et écrasements – a été observé sur ces pointes quels que soient la matière travaillée et le temps d'utilisation. Néanmoins, on remarque que les émoussés sont les plus

fréquents. Ils affectent surtout l'apex, modifiant ainsi plus ou moins son contour initial, mais ils peuvent aussi s'étendre aux arêtes de la pointe jusqu'à entraîner parfois leur disparition. La durée d'utilisation joue donc ici un rôle essentiel puisque l'intensité des émoussés s'accroît généralement au cours de l'utilisation. L'exemple du travail des peaux tannées est, sur ce point, tout à fait pertinent (fig. 61). Toutefois, sur d'autres matières comme l'écorce humide ou sèche, l'émoussé est aussi rapidement important (après seulement 15 minutes de travail). D'autres paramètres comme la rigidité du matériau ou son caractère abrasif agissent alors, en complément du temps d'utilisation, sur la formation rapide de l'usure. Aussi, dans ce cas, les causes de l'intensité prononcée de l'émoussé doivent-elles être interprétées avec prudence.

Les émoussés sont souvent associés à des éclats ou des écrasements, quels que soient le temps d'utilisation et la matière travaillée. La combinaison de ces différentes traces n'est donc pas caractéristique d'une matière travaillée ou d'un temps d'utilisation relativement long. Ceci implique, en complément de l'examen des altérations du volume, une analyse des altérations de surfaces à des grossissements plus importants. On observe ces combinaisons pour le travail des peaux fraîches, de l'os et de l'écorce humide (fig. 63). En général, les apex qui combinent plusieurs stigmates, présentent une déformation avancée voire très avancée, pour un temps d'utilisation relativement équivalent. La morphologie initiale de leur contour est alors très modifiée. À l'origine convexe, elle devient plate.

Les éclats semblent peu représentatifs d'une matière travaillée puisqu'ils affectent de manière non systématique des pointes utilisées de façon brève sur des matières souples comme la peau fraîche et des pointes utilisées sur des matières plus rigides comme l'écorce humide pour un temps d'utilisation bien plus long. Le calibre distal fin des pointes ou encore la maladresse du geste réalisé durant le travail participent, en partie, à la formation aléatoire de ces éclats.

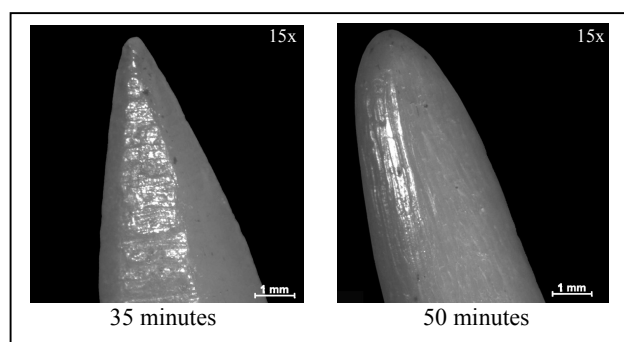


Fig. 61 : Manifestation de l'émoussé sur des pointes utilisées pour perforer par rotation alternative des peaux tannées (clichés A. Legrand).

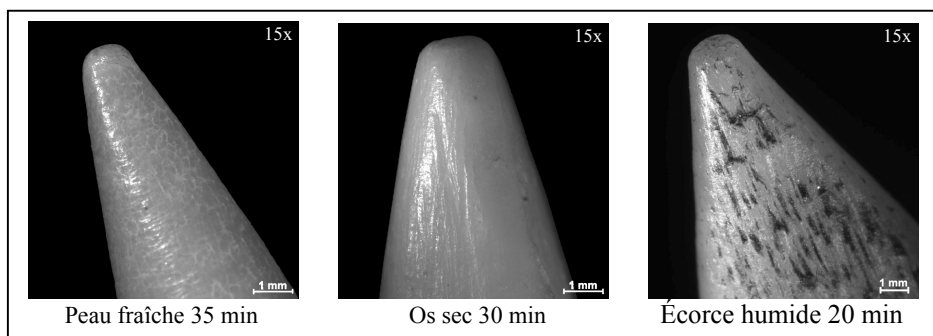


Fig. 62 : Déformation très avancée des apex produite par une combinaison d'un émoussé et d'un écrasement (clichés A. Legrand).

Altérations de surfaces

La topographie est systématiquement irrégulière sur les outils utilisés sur des peaux fraîches quel que soit le temps d'utilisation. De même, le travail des peaux sèches et tannées produit une topographie irrégulière (fig. 63). En revanche, le travail de matières végétales et notamment l'écorce humide ou sèche produit une topographie presque toujours régulière (fig. 64). C'est ici une des grandes caractéristiques qui distingue les matières animales des matières végétales. La topographie apparaît donc comme un critère représentatif des matières travaillées.

Si l'on compare le type de microrelief, on note que pour le travail des peaux, surtout des peaux fraîches, le microrelief est homogène et se régularise au cours de l'utilisation. Précisons que l'ajout d'ocre sur la peau fraîche produit plus rapidement un microrelief régulier. Pour le travail de l'écorce sèche, il apparaît régulier dès le début de l'utilisation.

L'aspect des élévations est bombé ou plat sans que nous puissions l'attribuer à une catégorie de matières travaillées ou à un temps d'utilisation. Leur texture est systématiquement grenue pour le travail des peaux fraîches, elle est lisse sur les outils utilisés pour perforer des peaux tannées pour un temps d'utilisation long. Les élévations sont le plus souvent vernies quels que soient le temps d'utilisation et la matière travaillée.

Les stries d'utilisation et les cratères sont souvent observés à l'échelle macroscopique. On remarque que dans le cas du travail des peaux fraîches, le nombre des stries augmente progressivement au cours de l'utilisation de l'outil. De même, les cratères apparaissent progressivement sur les outils utilisés dans le travail des peaux tannées et de l'écorce humide. À l'échelle microscopique, la distribution des stries varie en fonction de la nature de la matière travaillée. En effet, dans le cas du travail des peaux fraîches, matériau souple, elles affectent les élévations mais aussi le fond des stries de façonnage les plus émoussées. Lorsque la peau est plus raide, comme la peau tannée, le fond des stries de façonnage est partiellement affecté. À l'inverse, les stries observées sur des outils utilisés pour perforer des écorces n'affectent pratiquement pas le fond des dépressions. Enfin, dans le cas de l'os, matériau dur, les stries sont limitées aux élévations.

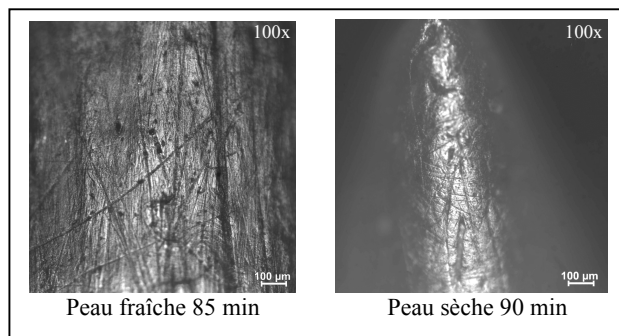


Fig. 63 : Perforation des peaux par rotation alternative. Topographie irrégulière (clichés A. Legrand).

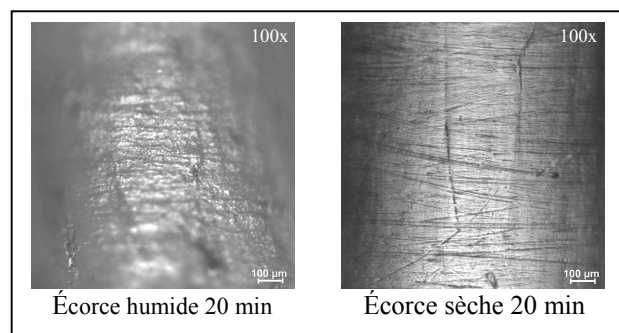


Fig. 64 : Perforation d'écorces par rotation alternative. Topographie régulière (clichés A. Legrand).

La localisation des stries semble donc être représentative de la nature de la matière travaillée. La morphométrie des stries ainsi que leur orientation et organisation est également assez diagnostique des matériaux travaillés. Dans le cas du travail des peaux, quels que soient le temps d'utilisation et la nature de la peau, les stries sont pluridirectionnelles, larges ou fines, profondes ou superficielles, droites ou légèrement courbes (fig. 65). Le travail des peaux tannées se distingue toutefois par la formation de stries de morphométrie plus homogène. Dans le cas du travail de l'écorce, les stries sont très homogènes et notamment dans le cas du travail de l'écorce sèche, où elles sont principalement fines ou larges et superficielles (fig. 66). Dans ce dernier cas, les bords des stries les plus larges sont plus émoussés et leur fond plus lisse que dans le premier cas.

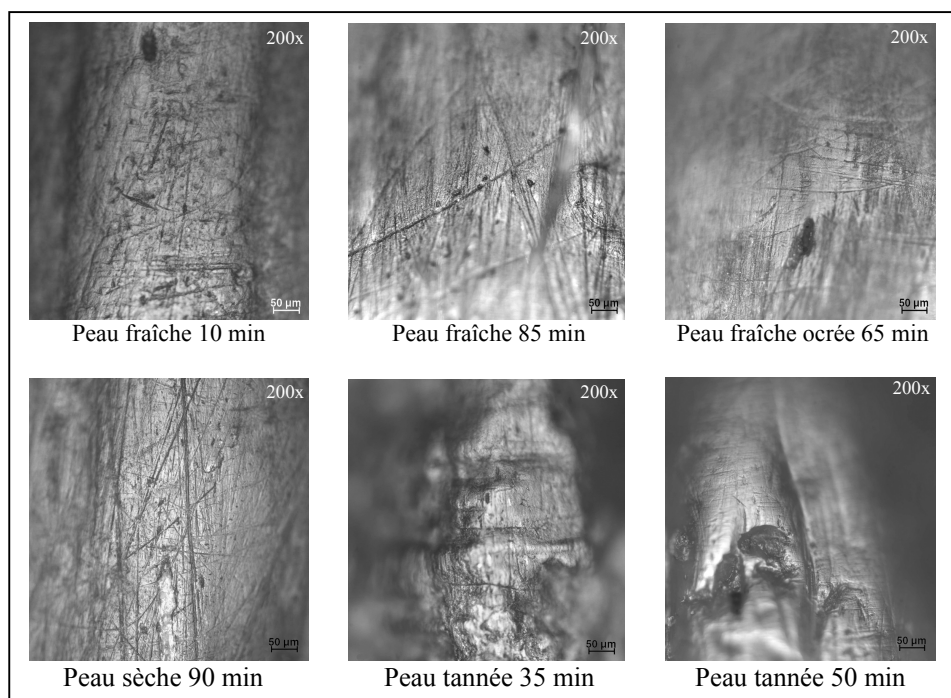


Fig. 65 : Morphométrie et organisation des stries d'utilisation sur des pointes utilisées pour perforer des peaux par rotation alternative (clichés A. Legrand).

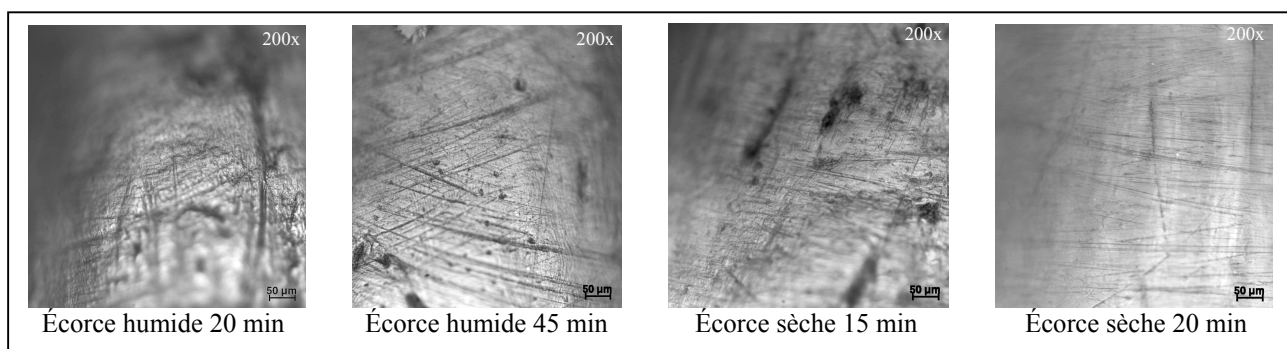


Fig. 66 : Morphométrie et organisation des stries d'utilisation sur des pointes utilisées pour perforer des écorces par rotation alternative (clichés A. Legrand).

9.2. Les outils utilisés par percussion indirecte

Il s'agit d'outils pointus de calibre varié et d'outils tranchants utilisés sur de la peau, du bois végétal, de l'écorce et des cannes.

Étendue et développement de l'usure

Les observations réalisées dans le cadre des outils pointus utilisés par rotation se vérifient également pour ceux utilisés par percussion indirecte. Plus le temps d'utilisation est long, plus l'étendue est modérée et le développement dégressif. Cette observation caractérise également l'ensemble des outils tranchants utilisés par percussion indirecte sur du bois, excepté pour le fendage de feuillus secs, où le développement est dégressif au début de l'utilisation puis devient homogène en raison de la configuration du tranchant qui détermine le développement de l'usure. Par ailleurs, on note que, contrairement aux outils pointus, les outils tranchants

présentent très rarement un développement en trois zones. Ceci confirme donc, d'une part, que la morphologie de la partie active influe sur la pénétration de l'outil dans la matière et donc sur le développement de l'usure. D'autre part, la nature de la matière travaillée joue également un rôle dans le développement de l'usure. Plus celle-ci est souple et plus le développement de l'usure est dégressif.

Altérations du volume

Les outils pointus utilisés par percussion indirecte présentent des usures assez similaires à celles que nous avons observées sur les outils utilisés par rotation alternative. Les émoussés sont bien représentés et leur association avec d'autres stigmates est peu fréquente (fig. 67). La déformation des pointes utilisées par percussion indirecte est souvent avancée, voire très avancée si le temps d'utilisation est long.

Les éclats ou les écrasement ne caractérisent pas plus les outils pointus utilisés par percussion indirecte que les outils utilisés par rotation. Dans les deux cas, ils sont peu fréquents. L'hypothèse émise au chapitre II qui consiste à considérer ces stigmates comme le résultat d'un processus d'usure ou bien d'accidents, du moins pour les outils pointus, et non pas nécessairement d'un mode d'action par percussion indirecte ou du contact avec un matériau dur, serait alors confirmée.

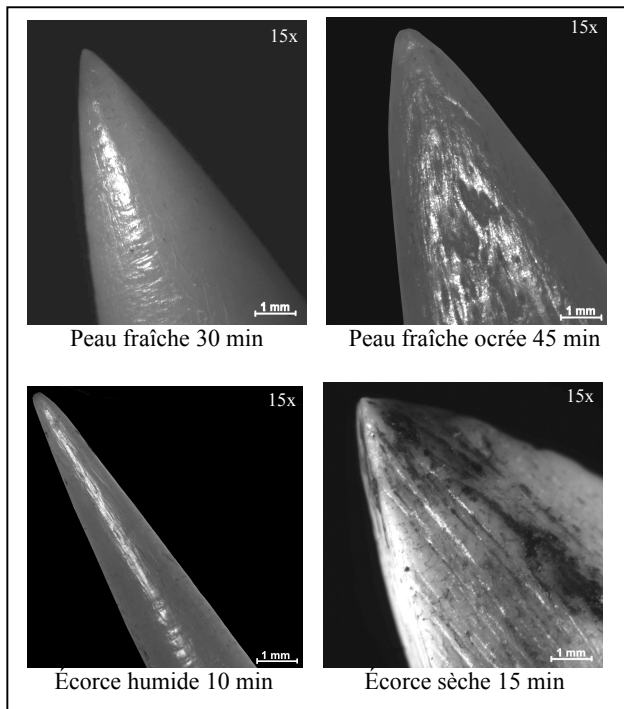


Fig. 67 : Manifestation de l'émoussé sur des pointes utilisées par percussion indirecte (clichés A. Legrand).

Concernant les outils tranchants, l'émoussé est également l'altération du volume la mieux représentée. Mais son intensité et son éventuelle association avec d'autres stigmates varient selon l'état de la matière travaillée. Le travail du bois vert (matériau tendre) produit un émoussé souvent symétrique et modéré, contrairement au travail du bois sec (matériau dense) qui produit un émoussé faible et de nombreux éclats : écaillures, ébréchures et enlèvements (fig. 68-69). La déformation des outils tranchants utilisés sur du bois sec est donc bien souvent plus avancée que celle observée sur les outils utilisés sur du bois vert. Dans ce cas, il semble que, contrairement aux outils pointus, la formation d'éclats soit représentative d'un matériau dur. I. Sidéra remarque également comme traces caractéristiques du travail du bois que « des ébréchures affectent le bord du taillant (...), des écaillures et des enlèvements peuvent se former (...), les taillants sont tous affectés par de petites morsures » (Sidéra 1993 a : 242). Ajoutons que le travail de cannes sèches, matériau dur, produit également des écaillures sur le taillant de l'outil.

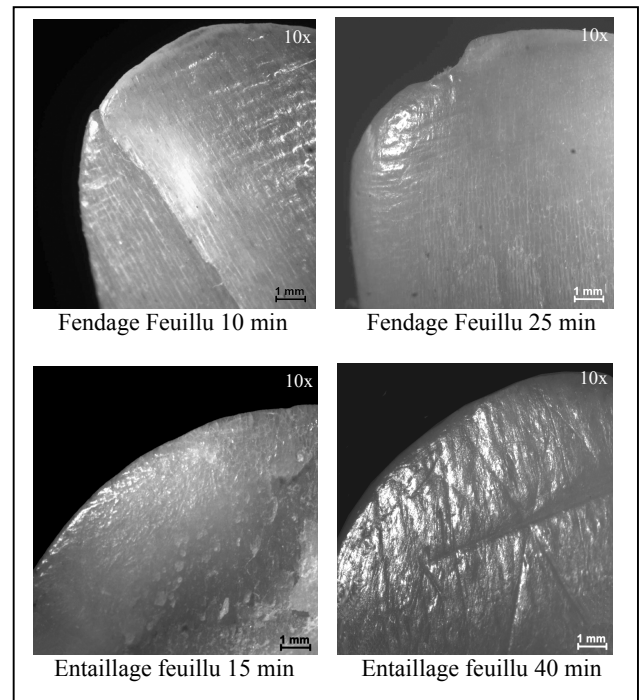


Fig. 68 : Manifestation de l'émoussé sur des outils tranchants utilisés par percussion indirecte sur du bois vert (clichés A. Legrand).

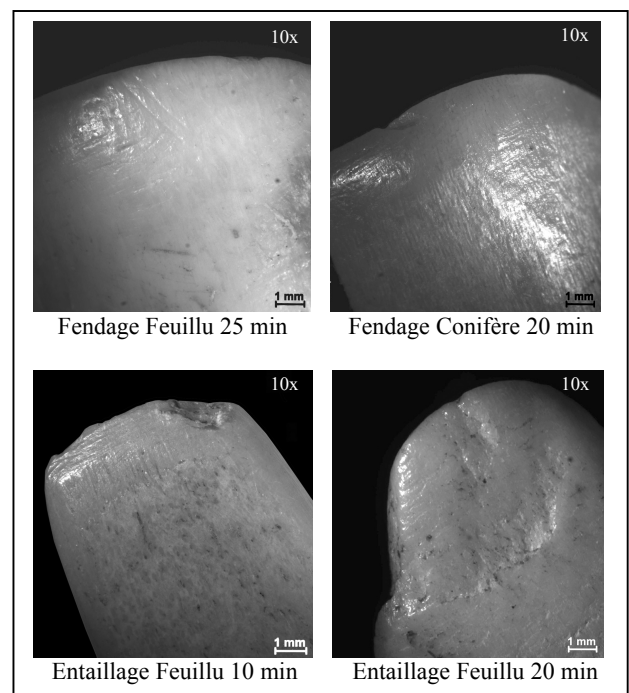


Fig. 69 : Manifestation des éclats sur des outils tranchants utilisés par percussion indirecte sur du bois sec (clichés A. Legrand).

Altérations de surface

La topographie est irrégulière dans le cas du travail de l'écorce sèche et de la peau, excepté dans le travail des peaux sèches où elle est régulière. Elle est également régulière dans le cas du travail de l'écorce humide (fig. 70-71). Cet attribut d'usure semble donc être assez représentatif des deux catégories de matières travaillées. Les caractéristiques du microrelief et des élévations semblent être, en revanche, différentes en fonction du mode d'action. Le microrelief a tendance à devenir progressivement régulier dans le cas du travail par rotation alternative de peaux fraîches, tandis qu'il est irrégulier, homogène ou régulier dans le cas d'une perforation par percussion indirecte. De même, la perforation par rotation d'écorce humide et sèche produit un microrelief rapidement régulier, tandis qu'il tend à devenir régulier au fur et à mesure de l'utilisation dans le cas d'une perforation par percussion indirecte d'écorce sèche. Dans le premier exemple, c'est le contact diffus et continu avec la matière qui lisse progressivement le microrelief. Lorsque ce contact est ponctuel et circonscrit, l'usure du microrelief est bien plus longue. Dans le second exemple, la nature diffuse du contact joue certes un rôle important dans l'usure du microrelief, mais ajoutée au caractère rigide et abrasif de l'écorce, cette usure est plus rapide même lorsque le mode d'action implique un contact limité avec la matière.

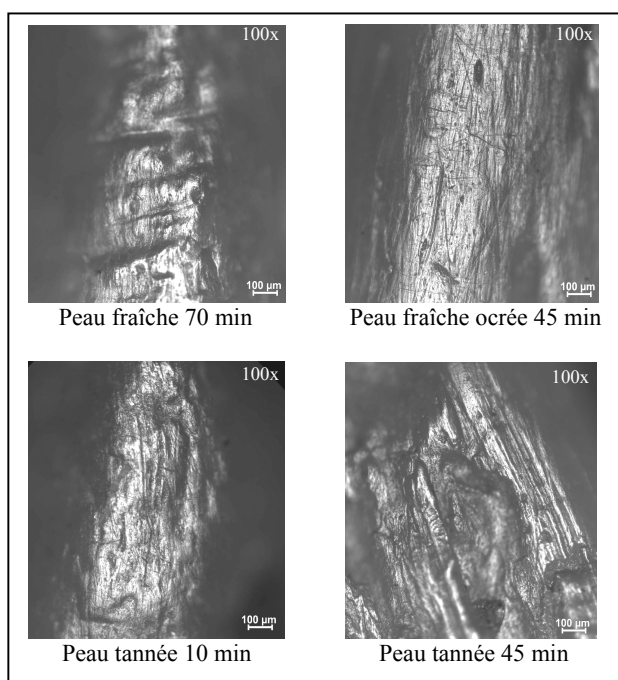


Fig. 70 : Perforation des peaux par percussion posée indirecte – Topographie irrégulière (clichés A. Legrand).

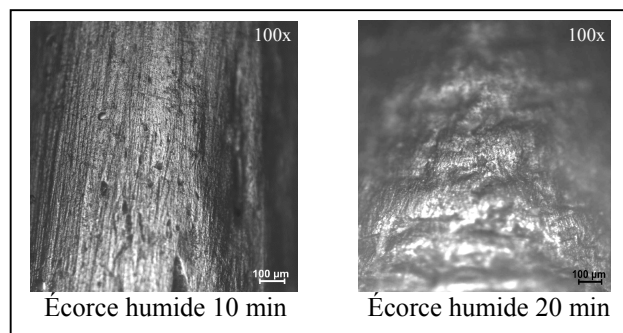


Fig. 71 : Perforation d'écorces par percussion posée indirecte – Topographie régulière (clichés A. Legrand).

Les stries et cratères sont généralement visibles à faible grossissement mais leur développement et leur fréquence varient en fonction de la matière travaillée et de la durée d'utilisation. Par exemple, les stries apparaissent progressivement dans le cas du travail des peaux fraîches et tannées. Les cratères se développent lors d'une utilisation longue sur des peaux fraîches. Ils sont nombreux pour le travail des peaux fraîches et ocrées, et absents pour le travail des peaux tannées et celui des peaux sèches. De même, ils sont fréquents sur les outils utilisés sur de l'écorce humide et absents sur ceux utilisés sur de l'écorce sèche.

Les différences morphométriques et directionnelles des stries que nous avons notées sur les outils utilisés par rotation alternative sur les matières animales et végétales, sont, ici, beaucoup moins importantes. En effet, Les stries sont homogènes et ordonnées, excepté pour le travail de peaux ocrées où elles sont, en partie en raison de la présence d'un abrasif, plus hétérogènes (fig. 72). Le mode d'action par percussion indirecte qui implique une maîtrise plus importante du geste et du mouvement imprimé à l'outil est à l'origine de cette homogénéité. Les stries sont alors bien représentatives de la cinématique de l'outil.

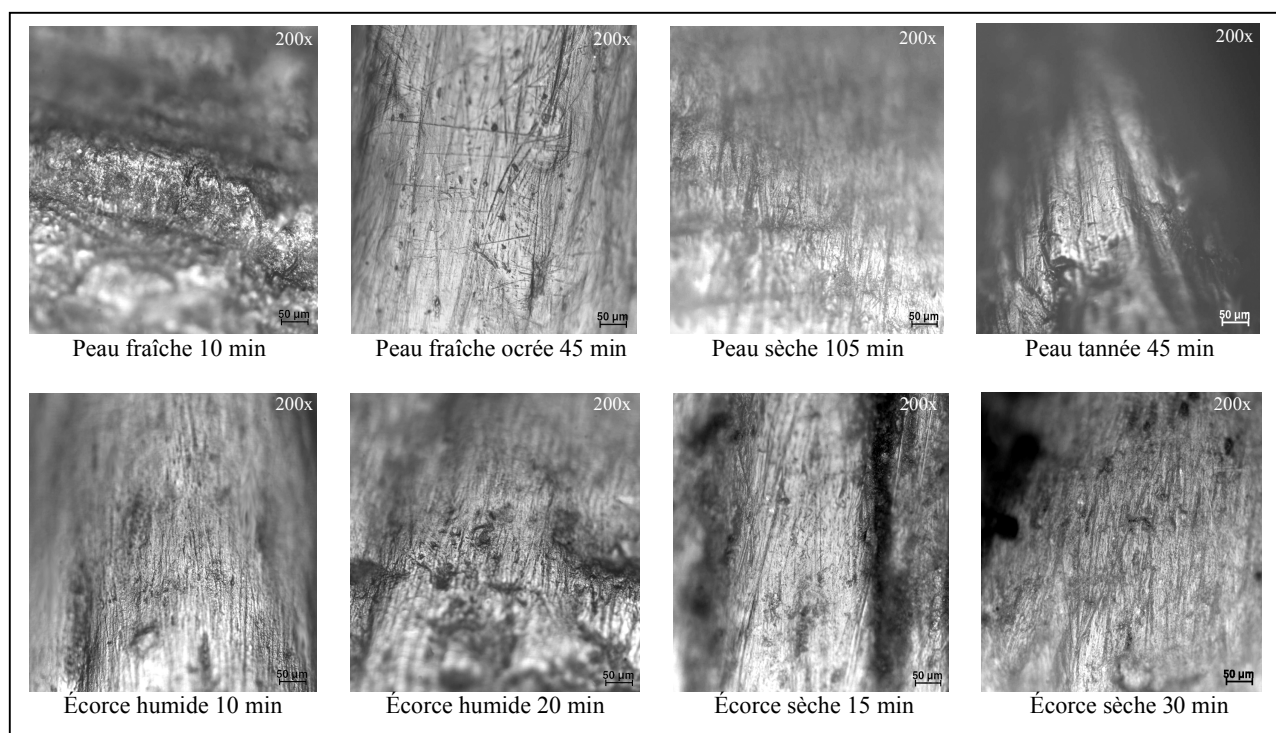


Fig. 72 : Morphométrie et organisation des stries d'utilisation sur des pointes utilisées pour perforer par percussion posée indirecte (clichés A. Legrand).

Sur les outils tranchants, on remarque que la topographie de la surface usée est toujours irrégulière, quels que soient la matière travaillée (bois ou canne) et le temps d'utilisation (fig. 73).

Le microrelief est majoritairement homogène. Deux exceptions ont été relevées. Le fendage de conifères secs produit, pour un temps d'utilisation bref, un microrelief irrégulier. Le fendage de cannes sèches produit, au contraire, un microrelief régulier. Autre caractéristique du travail du bois, la texture des élévations est systématiquement lisse, excepté un cas : le fendage de feuillus secs (durée d'utilisation 25 minutes).

Les dépressions linéaires et non linéaires sont suffisamment bien développées pour être observées à faible grossissement et ce, même lorsque le temps d'utilisation est bref. On peut néanmoins noter qu'elles sont plus nombreuses sur les outils en contact avec du bois vert. À l'échelle microscopique, on observe que les stries n'affectent pas le fond des dépressions mais restent localisées sur les élévations. Elles sont le plus souvent pluridirectionnelles, fines ou larges, superficielles et continues. Elles sont rares sur les outils utilisés pour travailler des conifères. Les cratères augmentent progressivement dans le cas du travail de feuillus verts. En revanche, c'est le phénomène inverse qui est observé pour le travail de feuillus secs, le nombre de cratères diminue au cours de l'utilisation mais le nombre de microtrous reste constant.

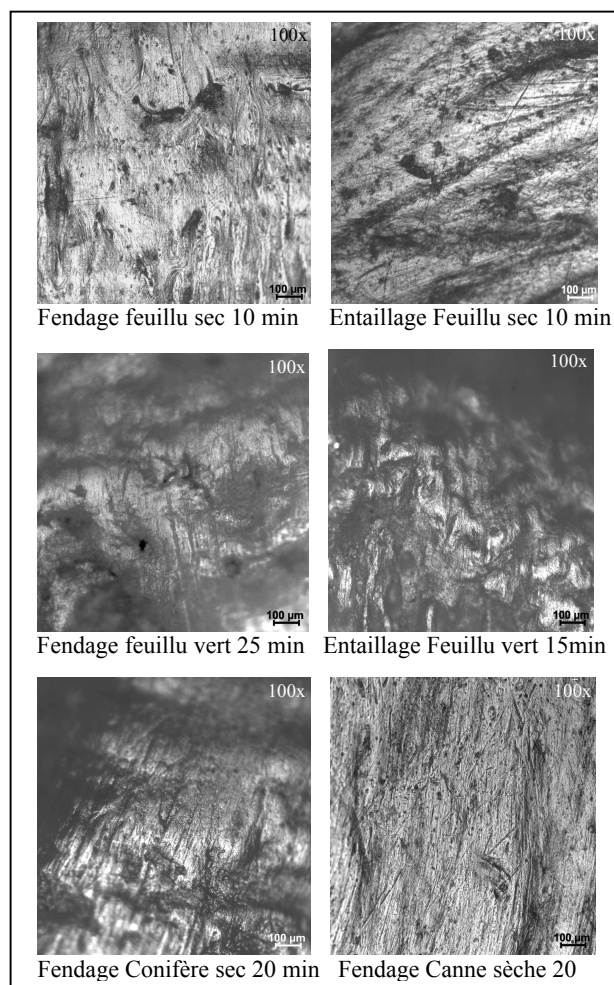


Fig. 73 : Travail des matières végétales par percussion posée indirecte – Topographie irrégulière (clichés A. Legrand).

9.3. Les outils utilisés par percussion posée directe et par percussion lancée

Les outils utilisés par percussion posée directe ou par percussion lancée sont exclusivement des outils tranchants utilisés sur de la peau fraîche, sèche et reverdie, sur de l'écorce verte et sur de l'argile humide.

Étendue et développement de l'usure

Sur les tranchants utilisés par percussion posée directe et par percussion lancée, l'étendue de l'usure est surtout marginale et son développement est souvent dégressif avec deux zones d'usure observées, rarement trois. Dans le cas de l'écharnage de peaux fraîches par raclage sur planche, plus le temps d'utilisation est long, plus le développement de l'usure est dégressif passant d'une à deux zones d'usure.

Altérations du volume

L'émoussé est fréquemment rencontré sur ces outils. Les éclats sont rares et les écrasements absents. L'émoussé affecte le fil du tranchant et ses bords. Sa morphologie majoritairement symétrique, est relativement similaire d'un outil à l'autre (fig. 74). En revanche, son intensité varie en fonction de la durée d'utilisation. Par exemple, dans le cas d'un écharnage par percussion posée ou lancée directe de peaux fraîches, plus le temps d'utilisation est long, plus l'émoussé qui affecte le taillant est important. Dans ce cas, une facette d'usure se forme sur l'une des faces du tranchant matérialisant la zone de contact avec la matière travaillée et modifiant le profil du tranchant. La formation d'une facette d'usure ou d'un méplat peut également traduire le caractère abrasif de la matière travaillée. Le travail de l'argile par exemple, produit un facetage sur la plage de frottement.

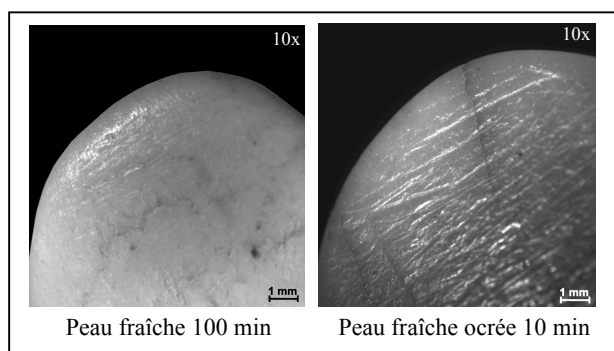


Fig. 74 : Manifestation de l'émoussé sur des outils tranchants utilisés pour écharner des peaux par percussion posée directe (clichés A. Legrand).

Altérations de surface

La topographie de la surface est majoritairement irrégulière. Elle peut également être régulière lorsque la durée d'utilisation est longue. C'est le cas de l'écharnage de peaux fraîches ocrées ou non.

Pour le travail des peaux, le microrelief tend également à se régulariser au cours de l'utilisation. Dans le cas de l'écorçage par exemple, il est, en revanche, d'emblée régulier. L'aspect des élévations est très souvent bombé sans que l'on puisse l'attribuer à une matière ou à un temps d'utilisation. La texture des élévations est majoritairement grenue quelle que soit la matière travaillée, peau, écorce et argile.

À l'échelle macroscopique, les stries et cratères sont généralement observés mais semblent se développer progressivement au cours de l'utilisation de l'outil. En revanche, ces dépressions se forment rapidement sur l'outil utilisé pour écharner une peau ocrée toujours en raison du contact avec un abrasif. À fort grossissement, le caractère hétérogène des stries déjà mis en évidence sur les outils pointus utilisés par rotation alternative, se retrouve également sur les outils tranchants. La striation produite par le travail des peaux est variée tant dans leur morphométrie que dans leur orientation, notamment dans le cas de l'assouplissement de peaux reverdies. Cette variété caractérise également le travail de l'argile. Concernant le travail de l'écorce, la striation est bien plus organisée.

9.4. Les outils utilisés par poussée longitudinale

Ces outils sont des outils pointus et des aiguilles utilisées sur des peaux tannées et sur des fibres végétales comme le lin, le carex et la paille de seigle.

Étendue et développement de l'usure

L'étendue de l'usure peut être envahissante ou couvrante selon qu'il s'agisse d'une pointe ou d'une aiguille. Quand au développement de l'usure, il est souvent dégressif en deux ou trois zones d'usure. La limite de cette dernière zone est bien souvent difficile à délimiter car elle se superpose à la zone de préhension.

Altérations du volume

L'ensemble des altérations du volume a été observé sur ces outils. Les émoussés se développent de manière importante sur les pointes notamment sur les outils utilisés sur du carex et de la paille de seigle. Le contour de l'apex devient alors très arrondi et les arêtes de façonnage disparaissent totalement.

Les éclats sont également assez fréquents. Par exemple, les aiguilles présentent, quelle que soit la matière travaillée, peau tannée ou lin, des éclats équivalents qui envahissent les faces de la pointe en modifiant ainsi son contour de façon importante (fig. 75). La présence d'éclats n'est donc pas au même titre que l'émoussé, représentative d'une matière travaillée. Ces éclats apparaissent toutefois, plus rapidement lors du travail de peaux tannées, en raison probablement de la résistance de ce matériau, supérieure à celle du lin.

Enfin, les écrasements restent rares, ils caractérisent notamment l'aiguille utilisée sur une peau tannée pendant 110 minutes. Le caractère rigide de la peau tannée ainsi que la durée d'utilisation expliquent la formation de cet

écrasement qui par ailleurs en raison de sa morphologie oblique traduit la position de l'outil par rapport à la matière.

Si l'usure sur la partie active est bien développée, en revanche, elle affecte très peu le chas de ces aiguilles. Les stigmates apparaissent progressivement au cours de l'utilisation mais restent peu développés. Ce sont principalement des stries qui affectent les branches et les faces du chas mais aucune déformation d'usage n'est relevée.

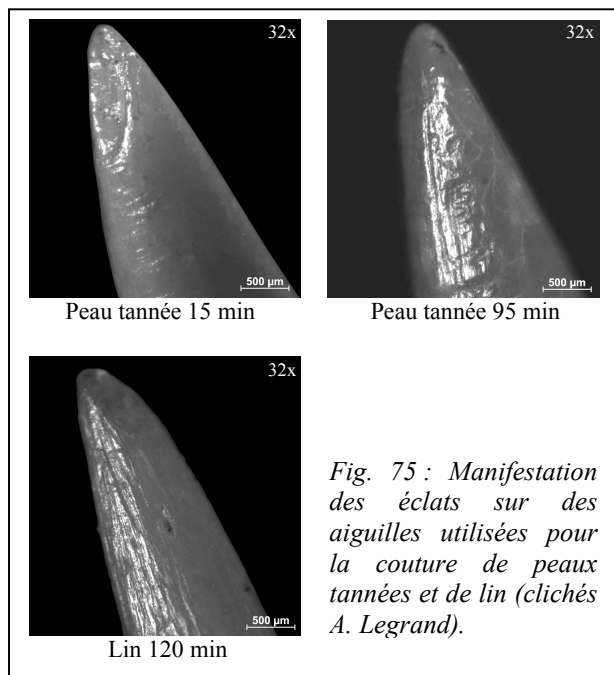


Fig. 75 : Manifestation des éclats sur des aiguilles utilisées pour la couture de peaux tannées et de lin (clichés A. Legrand).

Altérations de surface

La topographie est souvent irrégulière au début de l'utilisation de l'outil puis se régularise ensuite (fig. 76). De même, le microrelief souvent homogène tend également à devenir progressivement régulier. Ce phénomène s'observe particulièrement bien sur les aiguilles quelle que soit la matière travaillée (fig. 77). Notons que pour un temps d'utilisation quasiment équivalent, le microrelief est plus régulier sur les aiguilles utilisées sur de la peau tannée que sur celles en contact avec du lin. La distinction entre les deux matériaux reste, néanmoins, difficile. La texture des élévations est grenue en début d'utilisation ou lorsque le contact est limité et devient lisse lorsque le temps d'utilisation s'accroît. Le microrelief régulier caractérise également les outils pointus utilisés en vannerie. Seul l'outil utilisé pour le tissage de fils de lin montre un microrelief irrégulier sans doute en raison du caractère très ponctuel du geste, en dépit de la durée d'utilisation relativement longue.

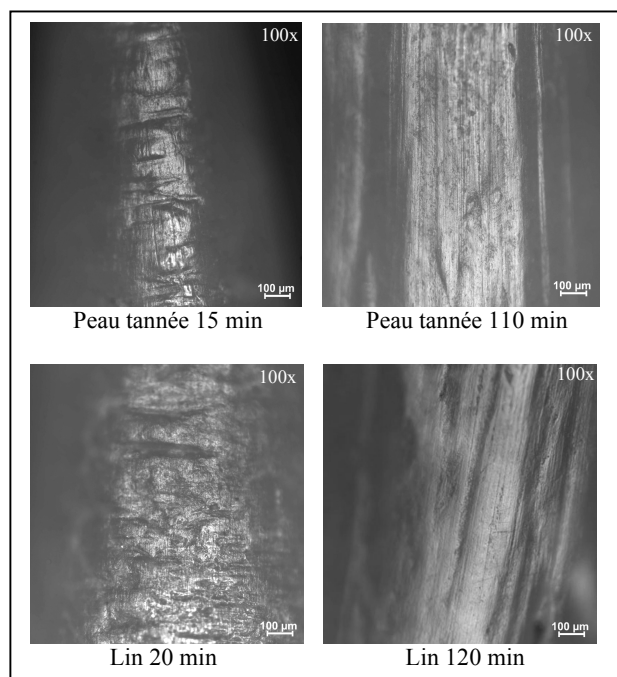


Fig. 76 : Régularisation progressive de la topographie sur des aiguilles utilisées pour la couture de peaux tannées et de lin (clichés A. Legrand).

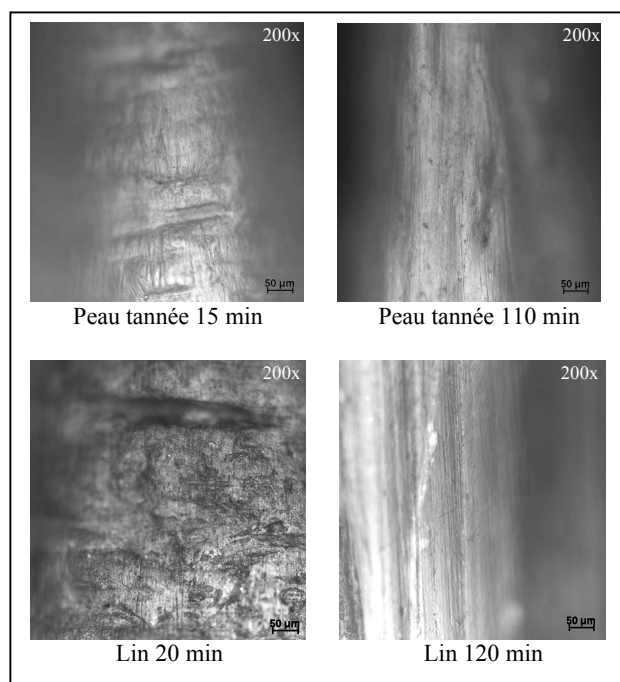


Fig. 77 : Régularisation progressive du microrelief sur des aiguilles utilisées pour la couture de peaux tannées et de lin (clichés A. Legrand).

À l'échelle macroscopique, les stries d'utilisation et cratères sont rarement observés. En revanche, à l'échelle microscopique, les stries sont nombreuses et la présence et la fréquence des cratères sont variables. Le travail du lin et du carex se caractérise notamment par une striation

très homogène, longue, fine, superficielle et serrée. En revanche, les stries observées sur l'outil utilisé sur de la paille de seigle sont bien plus marquées, elles sont larges et profondes. Les cratères caractérisent par exemple le travail de la paille de seigle. Les microtrous sont présents sur les aiguilles utilisées sur de la peau tannée et sur du lin ce qui rend plus difficile la distinction entre ces deux matériaux. Mais ils disparaissent progressivement notamment sur les aiguilles en contact avec du lin tandis qu'il reste nombreux sur les aiguilles utilisées sur de la peau tannée.

Ces premières observations montrent bien que seule la combinaison des stigmates d'usure macro- et microscopiques peut nous permettre d'interpréter efficacement les usures et les attribuer à un mode d'action et à une matière travaillée. Nous avons vu que le mode d'action pouvait être identifié grâce notamment à

l'orientation des tries d'utilisation. La nature des matières travaillées peut parfois être distinguée en examinant les stries d'utilisation mais également en caractérisant la topographie de la surface usée et le microrelief. Le développement de l'usure apparaît également comme un moyen relativement efficace pour savoir s'il s'agit d'une matière souple ou dure. Ces observations montrent également combien l'analyse tracéologique des surfaces osseuses est prometteuse mais encore difficile. Les attributs d'usure utilisés sont parfois insuffisants pour distinguer avec précision des matières travaillées de nature proche. Pour réduire au maximum ces limites, la tribologie apparaît comme une nouvelle voie de recherche à exploiter. Elle nous permettra de comprendre les mécanismes d'usure et ainsi de mesurer précisément quels sont les paramètres qui interviennent sur la formation des traces d'usure.

LISTE DES FIGURES

Fig. 1 : Perforation par rotation alternative d'une peau fraîche de cerf pendant 10 minutes (n° d'inventaire P17) (clichés A. Legrand).....	3
Fig. 2 : Perforation par rotation alternative d'une peau fraîche de cerf pendant 35 minutes (n° d'inventaire P24) (clichés A. Legrand).....	5
Fig. 3 : Perforation par rotation alternative d'une peau fraîche de cerf pendant 85 minutes (n° d'inventaire P10b) (clichés A. Legrand).....	6
Fig. 4 : Perforation par percussion indirecte d'une peau fraîche de vache pendant 10 minutes (n° d'inventaire P13) (clichés A. Legrand).....	8
Fig. 5 : Perforation par percussion indirecte d'une peau fraîche de vache pendant 30 minutes (n° d'inventaire P1) (clichés A. Legrand).....	9
Fig. 6 : Perforation par percussion indirecte d'une peau fraîche de vache pendant 70 minutes (n° d'inventaire 3b) (clichés A. Legrand).....	11
Fig. 7 : Perforation par rotation alternative d'une peau fraîche et ocrée de mouton pendant 65 minutes (n° d'inventaire P7) (clichés A. Legrand).....	13
Fig. 8 : Perforation par percussion indirecte d'une peau fraîche et ocrée de mouton pendant 45 minutes (n° d'inventaire 1a) (clichés A. Legrand).....	14
Fig. 9 : Écharnage par percussion posée directe d'une peau fraîche de cerf posée sur une planche pendant 10 minutes (n° d'inventaire T16) (clichés A. Legrand).....	15
Fig. 10 : Écharnage par percussion posée directe d'une peau fraîche de cerf posée sur une planche pendant 35 minutes (n° d'inventaire L15) (clichés A. Legrand).....	16
Fig. 11 : Écharnage par percussion posée directe d'une peau fraîche de cerf posée sur une planche pendant 100 minutes (n° d'inventaire Os9b) (clichés A. Legrand).....	18
Fig. 12 : Écharnage par percussion posée directe d'une peau fraîche de cerf tendue sur un cadre pendant 50 minutes (n° d'inventaire 5a1) (clichés A. Legrand).....	19
Fig. 13 : Écharnage par percussion lancée d'une peau fraîche de cerf tendue sur le sol pendant 40 minutes (n° d'inventaire T12) (clichés A. Legrand).....	21
Fig. 14 : Écharnage par percussion lancée d'une peau fraîche de cerf tendue sur un cadre pendant 90 minutes (n° d'inventaire L3) (clichés A. Legrand).....	22
Fig. 15 : Écharnage par percussion posée directe d'une peau fraîche de mouton et ocrée tendue sur le sol pendant 10 minutes (n° d'inventaire 20a) (clichés A. Legrand).....	24
Fig. 16 : Perforation par rotation alternative d'une peau sèche de cerf pendant 90 minutes (n° d'inventaire P22b) (clichés A. Legrand).....	26
Fig. 17 : Perforation par percussion indirecte d'une peau sèche de cerf pendant 105 minutes (n° d'inventaire P26) (clichés A. Legrand).....	27
Fig. 18 : Écharnage par percussion posée directe d'une peau sèche de cerf pendant 20 minutes (n° d'inventaire Os16) (clichés A. Legrand).....	29
Fig. 19 : Assouplissement par percussion posée directe d'une peau de cerf reverdie pendant 60 minutes (n° d'inventaire L2) (clichés A. Legrand).....	30
Fig. 20 : Traces de manipulation observées sur la partie mésiale de l'outil L2 (clichés A. Legrand).....	31
Fig. 21 : Esquille utilisée comme outil dormant pour assouplir une peau de cerf reverdie (Clichés R. Christidou).....	31
Fig. 22 : Perforation par rotation alternative d'une peau tannée pendant 35 minutes (n° d'inventaire P16) (clichés A. Legrand).....	32
Fig. 23 : Perforation par rotation alternative d'une peau tannée pendant 50 minutes (n° d'inventaire P22) (clichés A. Legrand).....	34
Fig. 24 : Traces de manipulation observées sur la partie mésiale de l'outil P22 (clichés A. Legrand).....	35
Fig. 25 : Perforation par percussion indirecte d'une peau tannée pendant 10 minutes (n° d'inventaire P31) (clichés A. Legrand).....	36
Fig. 26 : Perforation par percussion indirecte d'une peau tannée pendant 45 minutes (n° d'inventaire P15) (clichés A. Legrand).....	37
Fig. 27 : Couture sur peau tannée pendant 15 minutes (n° d'inventaire A7) (clichés A. Legrand).....	39
Fig. 28 : Couture sur peau tannée pendant 95 minutes (n° d'inventaire A3) (clichés A. Legrand).....	40
Fig. 29 : Couture sur peau tannée pendant 110 minutes (n° d'inventaire A1) (clichés A. Legrand).....	42
Fig. 30 : Perforation par rotation alternative d'une plaquette en os pendant 30 minutes (n° d'inventaire P60) (clichés A. Legrand).....	43
Fig. 31 : Fendage par percussion indirecte de feuillus verts pendant 10 minutes (n° d'inventaire T4) (clichés A. Legrand).....	45
Fig. 32 : Fendage par percussion indirecte de feuillus verts pendant 25 minutes (n° d'inventaire T3) (clichés A. Legrand).....	46
Fig. 33 : Entaillage par percussion indirecte de feuillus verts pendant 15 minutes (n° d'inventaire T6) (clichés A. Legrand).....	48
Fig. 34 : Entaillage par percussion indirecte de feuillus verts pendant 40 minutes (n° d'inventaire Os5) (clichés A. Legrand).....	49
Fig. 35 : Fendage par percussion indirecte de feuillus secs pendant 10 minutes (n° d'inventaire T7) (clichés A. Legrand).....	51
Fig. 36 : Fendage par percussion indirecte de feuillus secs pendant 25 minutes (n° d'inventaire T9) (clichés A. Legrand).....	52
Fig. 37 : Entaillage par percussion indirecte de feuillus secs pendant 10 minutes (n° d'inventaire T10) (clichés A. Legrand).....	54
Fig. 38 : Entaillage par percussion indirecte de feuillus secs pendant 20 minutes (n° d'inventaire T8) (clichés A. Legrand).....	55
Fig. 39 : Fendage par percussion indirecte de conifères secs pendant 10 minutes (n° d'inventaire T5) (clichés A. Legrand).....	57

Fig. 40 : Fendage par percussion indirecte de conifères secs pendant 20 minutes (n° d'inventaire T2) (clichés A. Legrand).....	58
Fig. 41 : Écorçage par percussion posée directe de branches de feuillus verts pendant 40 minutes (n° d'inventaire L4) (clichés A. Legrand).....	60
Fig. 42 : Écorçage par percussion posée directe de branches de feuillus verts pendant 40 minutes (n° d'inventaire H1) (clichés A. Legrand).....	61
Fig. 43 : Perforation par rotation alternative d'écorce humide de chêne pendant 20 minutes (n° d'inventaire P5) (clichés A. Legrand).....	62
Fig. 44 : Perforation par rotation alternative d'écorce humide de chêne pendant 45 minutes (n° d'inventaire P20) (clichés A. Legrand).....	64
Fig. 45 : Perforation par percussion indirecte d'écorce humide de chêne pendant 10 minutes (n° d'inventaire P23) (clichés A. Legrand).....	66
Fig. 46 : Perforation par percussion indirecte d'écorce humide de chêne pendant 20 minutes (n° d'inventaire P3) (clichés A. Legrand).....	67
Fig. 47 : Perforation par rotation alternative d'écorce sèche de chêne pendant 15 minutes (n° d'inventaire P61) (clichés A. Legrand).....	69
Fig. 48 : Perforation par rotation alternative d'écorce sèche de chêne pendant 20 minutes (n° d'inventaire P63) (clichés A. Legrand).....	71
Fig. 49 : Perforation par percussion indirecte d'écorce sèche pendant 15 minutes (n° d'inventaire P2) (clichés A. Legrand).....	73
Fig. 50 : Perforation par percussion indirecte d'écorce sèche de chêne pendant 30 minutes (n° d'inventaire P30) (clichés A. Legrand).....	74
Fig. 51 : Tissage de fils de lin pendant 50 heures (n° d'inventaire P21) (clichés A. Legrand).....	76
Fig. 52 : Tissage de fils de lin pendant 50 heures (n° d'inventaire A6) (clichés A. Legrand).....	77
Fig. 53 : Couture sur lin pendant 20 minutes (n° d'inventaire A2) (clichés A. Legrand).....	79
Fig. 54 : Couture sur lin pendant 40 minutes (n° d'inventaire A4) (clichés A. Legrand).....	80
Fig. 55 : Couture sur lin pendant 120 minutes (n° d'inventaire A20) (clichés A. Legrand).....	81
Fig. 56 : Vannerie sur carex pendant 15 heures (n° d'inventaire P28) (clichés A. Legrand).....	83
Fig. 57 : Vannerie sur paille de seigle pendant 10 heures (n° d'inventaire P62) (clichés A. Legrand).....	84
Fig. 58 : Fendage par percussion posée directe de cannes vertes pendant 55 minutes (n° d'inventaire P8) (clichés A. Legrand).....	86
Fig. 59 : Fendage par percussion indirecte de cannes sèches pendant 20 minutes (n° d'inventaire L5) (clichés A. Legrand).....	87
Fig. 60 : Lissage d'une céramique pendant 90 minutes (n° d'inventaire T20) (clichés A. Legrand).....	89
Fig. 61 : Manifestation de l'émoussé sur des pointes utilisées pour perforer par rotation alternative des peaux tannées (clichés A. Legrand)	90
Fig. 62 : Déformation très avancée des apex produite par une combinaison d'un émoussé et d'un écrasement (clichés A. Legrand).....	91
Fig. 63 : Perforation des peaux par rotation alternative – Topographie irrégulière (clichés A. Legrand).....	91
Fig. 64 : Perforation d'écorces par rotation alternative – Topographie régulière (clichés A. Legrand).....	91
Fig. 65 : Morphométrie et organisation des stries d'utilisation sur des pointes utilisées pour perforer des peaux par rotation alternative (clichés A. Legrand).....	92
Fig. 66 : Morphométrie et organisation des stries d'utilisation sur des pointes utilisées pour perforer des écorces par rotation alternative (clichés A. Legrand).....	92
Fig. 67 : Manifestation de l'émoussé sur des pointes utilisées par percussion indirecte (clichés A. Legrand).....	93
Fig. 68 : Manifestation de l'émoussé sur des outils tranchants utilisés par percussion posée indirecte sur du bois vert (clichés A. Legrand).....	93
Fig. 69 : Manifestation des éclats sur des outils tranchants utilisés par percussion posée indirecte sur du bois sec (clichés A. Legrand).....	93
Fig. 70 : Perforation des peaux par percussion posée indirecte – Topographie irrégulière (clichés A. Legrand).....	94
Fig. 71 : Perforation d'écorces par percussion posée indirecte – Topographie régulière (clichés A. Legrand).....	94
Fig. 72 : Morphométrie et organisation des stries d'utilisation sur des pointes utilisées par percussion posée indirecte (clichés A. Legrand).....	95
Fig. 73 : Travail des matières végétales par percussion posée indirecte – Topographie irrégulière (clichés A. Legrand).....	95
Fig. 74 : Manifestation de l'émoussé sur des tranchants utilisés pour écharner des peaux par percussion posée directe (clichés A. Legrand).....	96
Fig. 75 : Manifestation des éclats sur des aiguilles utilisées pour la couture de peaux tannées et de lin (clichés A. Legrand).....	97
Fig. 79 : Régularisation progressive de la topographie sur des aiguilles utilisées pour la couture de peaux tannées et de lin (clichés A. Legrand).....	97
Fig. 77 : Régularisation progressive du microrelief sur des aiguilles utilisées pour la couture de peaux tannées et de lin (clichés A. Legrand).....	97

ABREVIATIONS ANNEXE

1/ KH-KHP CORPUS GENERAL

Frag. : Fragment
L.T : Longueur Totale
l.T : largeur totale
ép. T : Epaisseur Totale
Taill. : Taillant
Cal. : Calibre distal
PP : Partie Proximale
PD : Partie Distale
PM : Partie Mésiale
Orient. : Orientation
Sect. : Section

OP : Outil Pointu
OT : Outil Tranchant
Frag. O : Fragment d'Outil
EB : Ebauche
PDD : Produit De Débitage
Ind. : Indéterminé
Poss. EB : Possible Ebauche
Poss. PDD : Possible Produit De Débitage

Dist. : Distal
Prox. : Proximal

MTP : Métapode
MTC : Métacarpe
MTC D : Métacarpe Droit
MTC G : Métacarpe Gauche
MTT : Métatarse
MTT D : Métatarse Droit
MTT G : Métatarse Gauche
M+mer+and. : Meule+Merrain+Andouiller
MC+and. : Meule Chute+Andouiller
MC+mer. : Meule Chute+Merrain
Meule C : Meule Chute
MM+mer. : Meule Massacre+Merrain
MM+mer+and. : Meule Massacre+Merrain+Andouiller
Poss. and. : Possible Andouiller
Poss. mer. : Possible Merrain

Ep. Dist. : Epiphyse Distale
Ep. Prox. : Epiphyse Proximale

Déjetée D : Déjetée à Droite
Déjetée G : Déjetée à Gauche

CC : Convexo-Concave
Cir. : Circulaire
PC : Plano-Convexe
Rect. : Rectangulaire
Trian. : Triangulaire
Nat. : Naturelle

2/ KH-KHP DONNEES TECHNIQUES

Proc. Déc. : Procédé de Découpe
Etendue faç : Etendue Façonnage
Degré transf. : Degré de Transformation
For. Sym. : Forage Symétrique
TT : Traitement Thermique

S+P : Sciage et Percussion
P : Percussion
SB : Sciage Bifacial
SIB : Sciage Intégral Bifacial
SPB : Sciage Partiel Bifacial
SU : Sciage Unifacial
SIU : Sciage Intégral Unifacial
SPU : Sciage Partiel Unifacial

Etendue du façonnage :
1 : Partie distale
2 : Partie mésiale
3 : Partie proximale
12 : Parties distale et mésiale
23 : Parties mésiale et proximale
123 : couvrant

3/ KH-KHP DONNEES FONCTIONNELLES

Matière. Trav. : Matière Travaillée
Percussion ind. : Percussion Indirecte

4/ KH-KHP DONNEES SPATIALES

Int. : Intérieur du village
Ext. : Extérieur du village
s : Sur le sol
sd : Démontage réfection du sol
ss : Démontage du sol
rs : Succession de sols
fos : Fosse
do : Structure à usage domestique
fy : Foyer

Référentiel Expérimental

N°	Type	Matière	Nature	Etat	Temps d'utilisation	Action	Mode d'action	Mouvement	Angle	Support	Ajout
T20	Tranchant	Argile		Humide	90'	Lisser	Directe	Bidirectionnel	Varié		
OS1	Tranchant	Bois	Feuillu	Vert	10'	Entailler	Indirecte	Unidirectionnel	Oblique	Sol	
OS10	Tranchant	Bois	Saule	Vert	15'	Fendre	Indirecte	Unidirectionnel	Perpendiculaire	Sol	
OS2	Tranchant	Bois	Feuillu	Vert	10'	Fendre	Indirecte	Unidirectionnel	Perpendiculaire	Sol	
OS5	Tranchant	Bois	Noisetier	Vert	40'	Entailler	Indirecte	Unidirectionnel	Oblique	Sol	
OS6B	Tranchant	Bois	Feuillu	Vert	10'	Fendre	Indirecte	Unidirectionnel	Perpendiculaire	Sol	
T10	Tranchant	Bois	Erable	Sec	10'	Entailler	Indirecte	Unidirectionnel	Oblique	Sol	
T5	Tranchant	Bois	Pin	Sec	10'	Fendre	Indirecte	Unidirectionnel	Perpendiculaire	Pierre	
T2	Tranchant	Bois	Pin	Sec	20'	Fendre	Indirecte	Unidirectionnel	Perpendiculaire	Pierre	
T8	Tranchant	Bois	Erable	Sec	20'	Entailler	Indirecte	Unidirectionnel	Oblique	Sol	
T9	Tranchant	Bois	Chêne	Sec	25'	Fendre	Indirecte	Unidirectionnel	Perpendiculaire	Pierre	
T7	Tranchant	Bois	Chêne	Sec	10'	Fendre	Indirecte	Unidirectionnel	Perpendiculaire	Pierre	
T6	Tranchant	Bois	Noisetier	Vert	15'	Entailler	Indirecte	Unidirectionnel	Oblique	Sol	
T4	Tranchant	Bois	Erable	Vert	10'	Fendre	Indirecte	Unidirectionnel	Perpendiculaire	Pierre	
T3	Tranchant	Bois	Erable	Vert	25'	Fendre	Indirecte	Unidirectionnel	Perpendiculaire	Pierre	
L5	Tranchant	Canne		Sec	20'	Fendre	Indirecte	Unidirectionnel	Perpendiculaire	Sol	
P8	Pointe	Canne		Vert	55'	Fendre	Directe	Unidirectionnel	Perpendiculaire	Sol	
P28	Pointe	Carex			15 heures	Perforer	Directe	Unidirectionnel			
P29	Pointe	Carex			15 heures	Perforer	Directe	Unidirectionnel			
H1	Tranchant	Ecorce	Feuillu	Vert	45'	Gratter	Directe	Unidirectionnel	Oblique	Sol	
L4	Tranchant	Ecorce	Feuillu	Vert	40'	Gratter	Directe	Bidirectionnel	Oblique	Sol	
P20	Pointe	Ecorce	Chêne	Vert	45'	Perforer	Directe	Rotation	Perpendiculaire	Planche	
P23	Pointe	Ecorce	Chêne	Vert	10'	Perforer	Indirecte	Unidirectionnel	Perpendiculaire	Planche	
P30	Pointe	Ecorce	Chêne	Sec	30'	Perforer	Indirecte	Unidirectionnel	Perpendiculaire	Planche	
P61	Pointe	Ecorce	Chêne	Sec	15'	Perforer	Directe	Rotation	Perpendiculaire	Planche	
P5	Pointe	Ecorce	Chêne	Vert	20'	Perforer	Directe	Rotation	Perpendiculaire	Pierre	
P3	Pointe	Ecorce	Chêne	Vert	20'	Perforer	Indirecte	Unidirectionnel	Perpendiculaire	Pierre	
P63	Pointe	Ecorce	Chêne	Sec	20'	Perforer	Directe	Rotation	Perpendiculaire	Sol	
P2	Pointe	Ecorce	Chêne	Sec	15'	Perforer	Indirecte	Unidirectionnel	Perpendiculaire	Sol	
A20	Aiguille	Lin			120'	Perforer	Directe	Unidirectionnel	Perpendiculaire	Cadre	
A5	Aiguille	Lin			40 heures	Perforer	Directe	Unidirectionnel		Cadre	
A6	Aiguille	Lin			40 heures	Perforer	Directe	Unidirectionnel		Cadre	

N°	Type	Matière	Nature	Etat	Temps d'utilisation	Action	Mode d'action	Mouvement	Angle	Support	Ajout
P21	Pointe	Lin			40 heures	Tasser	Directe	Unidirectionnel	Perpendiculaire	Cadre	
A2	Aiguille	Lin			20'	Perforer	Directe	Unidirectionnel	Perpendiculaire		
A4	Aiguille	Lin			40'	Perforer	Directe	Unidirectionnel	Perpendiculaire		Eau
P60	Pointe	Os		Sec	30'	Perforer	Directe	Rotation	Perpendiculaire	Sol	Eau et sable
P9	Pointe	Os		Sec	30'	Perforer	Directe	Rotation	Perpendiculaire	Pierre	
P62	Pointe	Paille de seigle			10 heures	Perforer	Directe	Unidirectionnel			
1A	Pointe	Peau	Mouton	Frais	45'	Perforer	Indirecte	Unidirectionnel	Perpendiculaire	Sol	Ocre
20A	Tranchant	Peau	Mouton	Frais	10'	Gratter	Directe	Bidirectionnel	Oblique	Sol	Ocre
21A	Tranchant	Peau	Cerf	Frais	40'	Gratter	Directe	Bidirectionnel	Oblique	Cadre	
3A	Tranchant	Peau	Cerf	Reverdie	30'	Assouplir	Directe	Bidirectionnel	oblique	Sol	Salive
3B	Pointe	Peau	Vache	Frais	70'	Perforer	Indirecte	Unidirectionnel	Perpendiculaire	Planche et cuir	
5A1	Tranchant	Peau	Cerf	Frais	50'	Gratter	Directe	Bidirectionnel	Oblique	Cadre	
5B	Tranchant	Peau	Vache	Frais	20'	Gratter	Directe	Bidirectionnel	Oblique	Cadre	
A1	Aiguille	Peau		Tanné	110'	Perforer	Directe	Unidirectionnel	Perpendiculaire		
A3	Aiguille	Peau		Tanné	95'	Perforer	Directe	Unidirectionnel	Perpendiculaire		
A7	Aiguille	Peau		Tanné	15'	Perforer	Directe	Unidirectionnel	Perpendiculaire		
L15	Tranchant	Peau	Cerf	Frais	35'	Perforer	Directe	Bidirectionnel	Oblique	Planche	
L2	Tranchant	Peau	Cerf	Reverdie	60'	Assouplir	Directe	Bidirectionnel	oblique	Sol	Salive
L3	Tranchant	Peau	Cerf	Frais	90'	Gratter	Lancée	Unidirectionnel	Oblique	Cadre	
OS16	Tranchant	Peau	Mouton	Sec	20'	Gratter	Directe	Bidirectionnel	Oblique	Cadre	
OS30	Tranchant	Peau	Cerf	Frais	60'	Gratter	Directe	Bidirectionnel	Oblique	Planche	Eau
OS4	Tranchant	Peau		Frais	50'	Gratter	Directe	Bidirectionnel	Oblique	Cadre	
OS9B	Tranchant	Peau	Cerf	Frais	100'	Gratter	Directe	Bidirectionnel	Oblique	Planche	
P10B	Pointe	Peau	Cerf	Frais	85'	Perforer	Directe	Rotation	Perpendiculaire	Sol	Eau
P11	Pointe	Peau	Vache	Frais	10'	Perforer	Indirecte	Unidirectionnel	Perpendiculaire	Planche et cuir	
P12	Pointe	Peau	Vache	Frais	10'	Perforer	Directe	Rotation	Perpendiculaire	Sol	
P13	Pointe	Peau	Vache	Frais	10'	Perforer	Indirecte	Unidirectionnel	Perpendiculaire	Planche et cuir	
P14	Pointe	Peau	Vache	Frais	10'	Perforer	Indirecte	Unidirectionnel	Perpendiculaire	Planche et cuir	
P15	Pointe	Peau		Tanné	45'	Perforer	Indirecte	Unidirectionnel	Perpendiculaire	Cuir	
P16	Pointe	Peau		Tanné	35'	Perforer	Directe	Rotation	Perpendiculaire	Cuisse	
P17	Pointe	Peau	Cerf	Frais	10'	Perforer	Directe	Rotation	Perpendiculaire	Sol	

N°	Type	Matière	Nature	Etat	Temps d'utilisation	Action	Mode d'action	Mouvement	Angle	Support	Ajout
P19	Pointe	Peau	Mouton	Frais	40'	Perforer	Directe	Rotation	Perpendiculaire	Sol	
P22	Pointe	Peau		Tanné	50'	Perforer	Directe	Rotation	Perpendiculaire	Cuisse	
P22B	Pointe	Peau	Cerf	Sec	90'	Perforer	Directe	Rotation	Perpendiculaire		
P24	Pointe	Peau	Cerf	Frais	35'	Perforer	Directe	Rotation	Perpendiculaire	Sol	
P26	Pointe	Peau	Cerf	Sec	105'	Perforer	Indirecte	Unidirectionnel	Perpendiculaire	Planche et cuir	
P31	Pointe	Peau		Tanné	10'	Perforer	Indirecte	Unidirectionnel	Perpendiculaire	Planche et cuir	
P4	Pointe	Peau	Mouton	Frais	65'	Perforer	Indirecte	Unidirectionnel	Perpendiculaire	Planche et cuir	
P6	Pointe	Peau	Vache	Frais	20'	Perforer	Indirecte	Unidirectionnel	Perpendiculaire	Planche et cuir	
P7	Pointe	Peau	Mouton	Frais	65'	Perforer	Directe	Rotation	Perpendiculaire	Sol	Ocre
T11	Tranchant	Peau	Cerf	Frais	40'	Gratter	Lancée	Unidirectionnel	Oblique	Sol	Eau
T12	Tranchant	Peau	Cerf	Frais	40'	Gratter	Lancée	Unidirectionnel	Oblique	Sol	Eau
T13	Tranchant	Peau	Cerf	Frais	50'	Gratter	Directe	Bidirectionnel	Oblique	Planche	Eau
T14	Tranchant	Peau	Cerf	Frais	15'	Gratter	Directe	Bidirectionnel	Oblique	Planche	Eau
T15	Tranchant	Peau	Cerf	Frais	100'	Gratter	Directe	Bidirectionnel	Oblique	Planche	Eau
T16	Tranchant	Peau	Cerf	Frais	10'	Gratter	Directe	Bidirectionnel	Oblique	Planche	Eau
T18	Tranchant	Peau	Vache	Frais	45'	Gratter	Directe	Bidirectionnel	Oblique	Planche	Eau
P1	Pointe	Peau	Vache	Frais	30'	Perforer	Indirecte	Unidirectionnel	Perpendiculaire	Planche	
Total											80

Kh-KhP Corpus général

N°	Catégorie	Type	Frag.	Etat	L.T	I.T	ép. T	I.Taill.	ép. Taill.	I.PP chas	ép.PP chas	L.chas	Cal.	Mat. 1ère	Partie anatomique	Espèce	Orient. PD	Sect. PD	Sect. PM	Niveau	Secteur	
								(mm)														
514	1 OP	ind	dist.	B	38	2	6							os	os long	diaphyse	dans l'axe	Ovale	CC	surface		
514	2 Aiguille	ind	subentier	B	38	6								os	os long	diaphyse	dans l'axe	Ind.	Ovale	surface		
517	1 OP	ind	dist.	B	31	2	6							os	os long	diaphyse	dans l'axe	Cir.	Rect.	surface		
519	1 Frag. O		prox.	B	76,5	3	6							os	MTT	ép. Dist.	dans l'axe	Ind.	CC	surface	ouest	
523	1 Frag. O		mésial	B	17	2	5,5							os	os long	diaphyse	dans l'axe	Ind.	Cir.	Ic	ouest	
528	1 OP	III.B.1	entier	C	88	8	9,5							os	MTP	ép. Prox.	dans l'axe	Ovale	CC	Ic	ouest	
540	1 OP	ind	dist.	B	68	5,5	7							os	os long	diaphyse	dans l'axe	Ovale	CC	Ic	ouest	
548	1 OP	ind	dist.	B	43	16	8							os	os long	diaphyse	dans l'axe	Ovale	CC	Ic	ouest	
548	2 OP	ind	dist.	C	46	13	6							os	os long	diaphyse	dans l'axe	Ovale	PC	Ic	ouest	
558	1 Frag. O		mésial	C		16	8							os	os long	diaphyse	dans l'axe	Ind.	CC	2	ouest	
569	1 Frag. O		prox.	C	75	13	9							os	MTP	ép. Prox.	dans l'axe	Ind.	Ind.	II	ouest	
581	1 OP	ind	dist.	C	67	10	8							os	os long	diaphyse	dans l'axe	Cir.	Ind.	Ic	ouest	
581	2 OP	ind	dist.	C	7	5								os	os long	diaphyse	dans l'axe	Cir.	Ovale	Ic	ouest	
581	3 OP	ind	dist.	C	37	9	5,5							os	os long	diaphyse	dans l'axe	Ind.	Ovale	Ic	ouest	
583	1 OP	ind	subentier	C	102	15	8,5							os	os long	diaphyse	dans l'axe	Cir.	CC	Ic	ouest	
589	1 OP	III.A.2	entier	B	134	14	7						12	os	MTP	ép. Dist.	dans l'axe	Ovale	CC	surface	ouest	
616	1 Frag. O		mésial	C	42	11	7,5							os	os long	diaphyse	dans l'axe	Ind.	Ovale	Ic	ouest	
617	1 OP	ind	dist.	C	33	7	4							os	os long	diaphyse	dans l'axe	Cir.	Ovale	Ic	ouest	
644	Frag. O		prox.	C										os	MTT	ép. Prox.	dans l'axe	Ind.	Ovale	II	ouest	
645	1 OP	ind	dist.	B	76	10	8							os	os long	diaphyse	dans l'axe	Ovale	CC	II	ouest	
646	1 OP	ind	dist.	C	28	6	5							os	os long	diaphyse	dans l'axe	Cir.	Carrée	Ic	ouest	
672	1 Frag. O		mésial	C	41									os	os long	diaphyse	dans l'axe	Ind.	Ind.	Ic	ouest	
672	2 Frag. O		mésial	B	37									os	os long	diaphyse	dans l'axe	Ind.	Ind.	Ic	ouest	
677	1 Frag. O		mésial	C	58	10	4,5							os	os long	diaphyse	dans l'axe	Ind.	Ind.	Ic	ouest	
681	1 Frag. O		mésial	C										os	os long	diaphyse	dans l'axe	Ind.	CC	II	ouest	
702	1 Frag. O		mésial	C	35	4	4							os	os long	diaphyse	dans l'axe	Ind.	CC	III	ouest	
707	1 OP	ind	dist.	C	51	10	5,5							os	os long	diaphyse	dans l'axe	Ovale	Ovale	III	ouest	
710	1 OP	ind	dist.	B	34	5	3							os	os long	diaphyse	dans l'axe	Cir.	Rect.	II	ouest	
714	1 Frag. O		mésial	C	74	12	6							os	os long	diaphyse	dans l'axe	Ind.	CC	II	ouest	
802	1 OP	ind	dist.	B	23,5	6	3							os	os long	diaphyse	dans l'axe	Cir.	CC	surface	ouest	
805	1 OP	ind	dist.	C	66	10	5							os	os long	diaphyse	dans l'axe	Cir.	CC	surface	ouest	
811	1 Frag. O		prox.	C	46	7,5	7							os	os long	ép. Prox.	dans l'axe	Ind.	Cir.	surface	ouest	
822	1 OP	ind	dist.	C										os	os long	diaphyse	dans l'axe	Ovale	Ind.	II	ouest	
827	1 Frag. O		prox.	C	32	5	4							os	os long	diaphyse	dans l'axe	Ind.	Ovale	surface	ouest	
827	2 OP	ind	dist.	C	30	5,5	5							os	os long	diaphyse	dans l'axe	Cir.	Cir.	surface	ouest	

N°	Catégorie	Type	Frag.	Etat	L.T	I.T	ép. T	I.Taill.	ép. Taill.	(mm)			Cal.	Mat. 1ère	Partie anatomique	Espèce	Orient. PD	Sect. PD	Sect. PM	Niveau	Secteur	
1056	1 Frag. O		prox.		64	17	11							os	MTT	ép. Dist.	Daim	dans l'axe	Ind.	Nat.	surface	ouest
1064	1 OP	ind	dist.		40	12								os	os long	diaphyse	Ind.	dans l'axe	Ovale	Ind.	III	ouest
1069	1 Aiguille	ind	dist.		22	2								os	Ind.	diaphyse	Ind.	dans l'axe	Ind.	Cir.	II	ouest
1071	1 Aiguille	ind	dist.		27	2								os	Ind.	diaphyse	Ind.	dans l'axe	Ind.	Cir.	II	ouest
1071	2 Aiguille	ind	mésial											os	Ind.	diaphyse	Ind.	dans l'axe	Ind.	Cir.	II	ouest
1071	3 Aiguille	ind	mésial		31	3								os	Ind.	diaphyse	Ind.	dans l'axe	Ind.	Cir.	II	ouest
1073	1 OP	ind	dist.				3							os	os long	diaphyse	Ind.	dans l'axe	Cir.	CC	Ib	ouest
1073	2 OP	ind	dist.		28	6	3							os	os long	diaphyse	Ind.	dans l'axe	Ovale	Rect.	Ib	ouest
1084	1 OP	ind	dist.		24	8	5							os	os long	diaphyse	Ind.	dans l'axe	Cir.	Ovale	Ib	ouest
1089	1 Frag. O		prox.		46	14	11							os	MTT	ép. Dist.	Daim	dans l'axe	Ind.	Ind.	II	ouest
1090	1 OP	ind	dist.		31	5	4							os	os long	diaphyse	Ind.	dans l'axe	Cir.	Ind.	II	ouest
1091	1 OP	IV.A.1	entier		36	3	3							os	os long	diaphyse	Ind.	dans l'axe	Cir.	Carrée	III	ouest
1097	1 Frag. O		mésial		53	9	5							os	os long	diaphyse	Ind.	dans l'axe	Ind.	CC	II	ouest
1105	1 OP	ind	mésial		123	8								os	os long	diaphyse	Ind.	dans l'axe	Ind.	Rect.	II	ouest
1106	1 OP	ind	dist.		116	5,5								os	os long	diaphyse	Ind.	dans l'axe	Ind.	Ovale	Ib	ouest
1219	1 Aiguille	ind	subentier		81	5								os	os long	diaphyse	Ind.	dans l'axe	Ind.	Ovale	III	ouest
1244	1 OP	ind	dist.		49	12	7							os	os long	diaphyse	Ind.	dans l'axe	Cir.	CC	III	ouest
1244	2 EB		prox.		45	3,5								os	Ind.	diaphyse	Ind.	dans l'axe	Ind.	Carrée	III	ouest
1248	1 OP	ind	dist.		20	6	3							os	os long	diaphyse	Ind.	dans l'axe	Cir.	CC	II	ouest
1270	1 Frag. O		prox.		42									os	MTT	ép. Dist.	Daim	dans l'axe	Ind.	Ind.	II	ouest
1322	1 Frag. O		prox.											os	MTT	ép. Prox.	Ind.	dans l'axe	Ind.	CC	Ic	ouest
1330	1 OP	IV.A.1	subentier		71	6,5	5							os	os long	diaphyse	Ind.	dans l'axe	Cir.	Rect.	II	ouest
1332	1 Frag. O		prox.		71									os	MTP	ép. Dist.	Daim	dans l'axe	Ind.	CC	II	ouest
1333	1 OP	III.B.1	entier		70	11	9							os	MTT G	ép. Prox.	Daim	dans l'axe	Cir.	CC	III	ouest
1343	OP	ind	dist.		60	7	5							os	os long	diaphyse	Ind.	dans l'axe	Ind.	Rect.	surface	ouest
1349	1 OP	ind	entier		51	10	7							os	os long	diaphyse	Ind.	dans l'axe	Cir.	CC	II	ouest
1355	1 OP	ind	dist.		31	4	3							os	os long	diaphyse	Ind.	dans l'axe	Cir.	CC	II	ouest
1357	1 OT	ind	dist.		58	15	9							os	os long	diaphyse	Ind.	dans l'axe	Ind.	CC	II	ouest
1378	1 Aiguille	ind	mésial		17	2,5								os	Ind.	diaphyse	Ind.	dans l'axe	Ind.	Cir.	II	ouest
1391	1 OP	ind	dist.		19									os	os long	diaphyse	Ind.	dans l'axe	Cir.	Ind.	II	ouest
1428	OP	ind	dist.		83	10	5							os	os long	diaphyse	Ind.	dans l'axe	Cir.	CC	surface	ouest
1453	1 Frag. O		prox.		37									os	MTP	ép. Dist.	Ind.	dans l'axe	Ind.	Ovale	III	ouest
1453	2 OP	IV.A.4	entier		44	6	4							os	os long	diaphyse	Ind.	dans l'axe	Ovale	Ovale	III	ouest
1453	3 OP	ind	dist.		27	5	4							os	os long	diaphyse	Ind.	dans l'axe	Cir.	Ovale	III	ouest
1453	4 Frag. O		mésial											os	os long	diaphyse	Ind.	dans l'axe	Ind.	Ind.	III	ouest

N°	Catégorie	Type	Frag.	Etat	L.T	I.T	ép. T	I.Taill.	ép. Taill.	I. PP chas	ép. PP chas	I.chas	Cal.	Mat. 1ère	Partie anatomique	Espèce	Orient. PD	Sect. PD	Sect. PM	Niveau	Secteur	
								(mm)														
1479	1 Frag. O		mésial	C	57	7	3,5							os	os long	diaphyse	Ind.	dans l'axe	Ind.	Rect.	III	ouest
1490	1 Frag. O		mésial	C	26	9	5							os	os long	diaphyse	Ind.	dans l'axe	Ind.	Rect.	II	ouest
1503	OP	IV.B	dist.	C	60	8	5							os	os long	diaphyse	Ind.	dans l'axe	Ovale	Nat.	surface	ouest
1511	1 PDD			C										bois	Ind.	Ind.	dans l'axe	Ind.	Ind.	Ind.	III	ouest
1517	Frag. O		prox.	C										os	MTP	ép. Prox.	Ind.	dans l'axe	Ind.	Nat.	Ib	ouest
1534	1 Frag. O		mésial	C		6	5							os	os long	diaphyse	Ind.	dans l'axe	Ind.	Cir.	I	ouest
1543	1 Frag. O		prox.	B	57	4	4							os	MTT	ép. Prox.	Mouton	dans l'axe	Ind.	Carrée	III	ouest
1543	2 Frag. O		mésial	B	45	5,5	5,5							os	os long	diaphyse	Ind.	dans l'axe	Ind.	PC	III	ouest
1555	1 OP	ind	dist.	C	50	10	6							os	os long	diaphyse	Ind.	dans l'axe	Cir.	CC	Ic	ouest
1555	2 Frag. O		mésial	B										os	os long	diaphyse	Ind.	dans l'axe	Ind.	Cir.	Ic	ouest
1559	1 OP	IV.B	dist.	C	35	6	5							os	os long	diaphyse	Ind.	dans l'axe	Cir.	Ind.	III	ouest
1569	1 Frag. O		subentier	C	65					9	6	2,5		os	os long	diaphyse	Ind.	dans l'axe	Ind.	Rect.	III	ouest
1576	Frag. O		prox.	C										os	MTP	ép. Dist.	Capriné	dans l'axe	Ind.	Nat.	III	ouest
1617	1 OP	ind	dist.	C										os	os long	diaphyse	Ind.	dans l'axe	Ind.	Ind.	Ic	ouest
1621	1 OP	ind	dist.	C	80	14	10							os	os long	diaphyse	Ind.	dans l'axe	Cir.	CC	II	ouest
1626	1 OP	IV.B	dist.	C	85	9	6							os	os long	diaphyse	Ind.	dans l'axe	Cir.	Nat.	III	ouest
1626	2 OP	III.B.1	entier	B	55	12	5							os	MTP	ép. Prox.	Ind.	dans l'axe	Cir.	CC	III	ouest
1626	3 OP	ind	dist.	C										os	os long	diaphyse	Ind.	dans l'axe	Ind.	Ind.	III	ouest
1626	4 Frag. O		mésial	C										os	os long	diaphyse	Ind.	dans l'axe	Ind.	Ind.	III	ouest
1633	1 OP	ind	dist.	C	23									os	os long	diaphyse	Ind.	dans l'axe	Ind.	Cir.	III	ouest
1639	1 EB		dist.	C	22	2,5								os	Ind.	diaphyse	Ind.	dans l'axe	Ind.	CC	II	ouest
1639	2 OP	ind	dist.	C	46	7	5,5							os	os long	diaphyse	Ind.	dans l'axe	Cir.	Carrée	III	ouest
1639	3 Aiguille	ind	mésial	C	58	3								os	Ind.	diaphyse	Ind.	dans l'axe	Ind.	Cir.	III	ouest
1639	4 OP	ind	dist.	C	19									os	os long	diaphyse	Ind.	dans l'axe	Ind.	Ind.	III	ouest
1658	1 OP	III.B.1	subentier	B	30	6	5							os	MTP	ép. Prox.	Capriné	dans l'axe	Cir.	CC	I-III	ouest
1667	1 Aiguille	ind	mésial	C										os	Ind.	diaphyse	Ind.	dans l'axe	Ind.	Rect.	III	ouest
1669	1 Frag. O		mésial	C		17	8							os	os long	diaphyse	Ind.	dans l'axe	Ind.	CC	III	ouest
1681	1 OP	III.B.1	entier	B	66	9	5							os	MTC G	ép. Prox.	Daim	dans l'axe	Cir.	CC	Ib	ouest
1712	1 Frag. O		mésial	C	49	8	5							os	os long	diaphyse	Ind.	dans l'axe	Ind.	Ind.	III	ouest
1712	2 OP	ind	dist.	B	77	9								os	os long	diaphyse	Ind.	dans l'axe	Ovale	Ind.	III	ouest
1713	1 Aiguille	ind	mésial	C										os	Ind.	diaphyse	Ind.	dans l'axe	Ind.	Cir.	III	ouest
1717	1 OP	III.A.2	entier	C	86	16	8							os	MTP	ép. Dist.	Daim	dans l'axe	Ovale	CC	III	ouest
1810	OP	III.A.1	subentier	C	70	11	5							os	MTP	ép. Dist.	Mouton	dans l'axe	Cir.	CC	II	ouest
1824	1 Frag. O		prox.	C	87	23	8							os	MTP	ép. Prox.	Daim	dans l'axe	Ind.	CC	II	ouest
1824	2 Frag. O		prox.	C	44	8	4							os	MTP	ép. Dist.	Mouton	dans l'axe	Ind.	CC	II	ouest

N°	Catégorie	Type	Frag.	Etat	L.T	I.T	ép. T	I.Taill.	ép. Taill.	I. PP chas	ép. PP chas	I.chas	Cal.	Mat. 1ère	Partie anatomique	Espèce	Orient. PD	Sect. PD	Sect. PM	Niveau	Secteur	
					(mm)																	
1827	OP	IV.A.2	subentier	B	73	9,5	5,5							os	os long	diaphyse	Ind.	courbe	Ovale		II	ouest
1829	1 Frag. O		prox.	C	81,5	16	7							os	MTT	ép. Dist.	Daim	dans l'axe	Ind.	CC	II	ouest
1834	1 OP	IV.B	dist.	C	57	8	6							os	os long	diaphyse	Ind.	dans l'axe	Cir.	Cir.	III	ouest
1841	OP	III.B.1	entier	B	98	3	2,5							os	MTP	ép. Prox.	Daim	dans l'axe	Cir.	Cir.	III	ouest
1845	1 Frag. O		prox.	B	72	12	6							os	os long	diaphyse	Ind.	dans l'axe	Ind.	CC	III	ouest
1845	2 OP	IV.B	dist.	C	54	10	5							os	os long	diaphyse	Ind.	dans l'axe	Ovale	Nat.	III	ouest
1857	1 OP	ind	dist.	C	64	11,5	7							os	os long	diaphyse	Ind.	dans l'axe	Ind.	CC	III	ouest
1860	1 OP	ind	dist.	C	89	5	4							os	os long	diaphyse	Ind.	dans l'axe	Cir.	CC	II	ouest
1861	1 OP	ind	dist.	C	69	8	6							os	os long	diaphyse	Ind.	dans l'axe	Cir.	Ovale	II	ouest
1861	2 OP	ind	dist.	C	28	8	5,5							os	os long	diaphyse	Ind.	dans l'axe	Cir.	Ind.	II	ouest
1861	3 OP	IV.B	dist.	C	47	10	5							os	os long	diaphyse	Ind.	dans l'axe	Ind.	Ind.	II	ouest
1871	1 Frag. O		mésial	C	71	10	5,5							os	os long	diaphyse	Ind.	dans l'axe	Ind.	Rect.	III	ouest
1875	1 OP	ind	dist.	C	40	9	7							os	os long	diaphyse	Ind.	courbe	Ovale	Rect.	II	ouest
1875	2 Frag. O		mésial	C	41	5	4							os	os long	diaphyse	Ind.	dans l'axe	Ind.	Rect.	II	ouest
1876	1 Aiguille	V.A.1	prox.	B	17	2				3	2	1		os	Ind.	diaphyse	Ind.	dans l'axe	Ind.	Cir.	II	ouest
1882	OP	IV.B	subentier	C	53	11	4							os	os long	diaphyse	Ind.	dans l'axe	Ovale	Nat.	II	ouest
1887	1 OP	IV.B	dist.	C	25									os	os long	diaphyse	Ind.	dans l'axe	Ovale	Ind.	III	ouest
1887	2 poss. EB		prox.	B	53	5	3,5							os	Ind.	diaphyse	Ind.	dans l'axe	Ind.	Rect.	III	ouest
1887	3 PDD			C										os	MTP	ép. Dist.	Mouton	dans l'axe	Ind.	Nat.	III	ouest
1895	1 Frag. O		mésial	B	21	6	5							os	os long	diaphyse	Ind.	dans l'axe	Ind.	Ovale	II	ouest
1906	1 Frag. O		mésial	C	20	11	6							os	os long	diaphyse	Ind.	dans l'axe	Ind.	CC	II	ouest
1918	1 Frag. O		mésial	B	26	6	3							os	os long	diaphyse	Ind.	dans l'axe	Ind.	Ovale	II	ouest
1926	1 OP	ind	dist.	C	12									os	os long	diaphyse	Ind.	dans l'axe	Cir.	Cir.	II	ouest
1932	1 OP	IV.B	dist.	C	35	10	7							os	os long	diaphyse	Ind.	dans l'axe	Rect.	Ind.	III	ouest
1932	2 OP	ind	dist.	C	33	11	6							os	os long	diaphyse	Ind.	dans l'axe	Ovale	Ind.	III	ouest
1935	Frag. O		mésial	B		5	3							os	os long	diaphyse	Ind.	dans l'axe	Ind.	Carrée	surface	ouest
1938	1 OP	IV.B	dist.	B	61	9	5							os	os long	diaphyse	Ind.	dans l'axe	Ovale	Ind.	II	ouest
1964	1 OP	ind	dist.	C	32	5	4							os	os long	diaphyse	Ind.	dans l'axe	Cir.	Ovale	III	ouest
1967	1 Frag. O		mésial	C	64	5	4							os	os long	diaphyse	Ind.	dans l'axe	Ind.	Carrée	III	ouest
1970	1 poss. EB		prox.	B	61	3	3							os	os long	diaphyse	Ind.	dans l'axe	Ind.	Ind.	III	ouest
1978	1 OP	ind	dist.	C	22									os	os long	diaphyse	Ind.	dans l'axe	Ind.	Ind.	IV	ouest
1991	1 Frag. O		prox.	C	53	8	4							os	os long	diaphyse	Ind.	dans l'axe	Ind.	CC	III	ouest
1991	2 Frag. O		mésial	B	32									os	os long	diaphyse	Ind.	dans l'axe	Ind.	Ind.	III	ouest
1997	1 Frag. O		mésial	B	28	4	3							os	os long	diaphyse	Ind.	dans l'axe	Ind.	Carrée	III	ouest
1997	2 Frag. O		mésial	B	61									os	os long	diaphyse	Ind.	dans l'axe	Ind.	Ind.	III	ouest

N°	Catégorie	Type	Frag.	Etat	L.T	I.T	ép. T	I.Taill.	ép. Taill.	I.PP chas	ép.PP chas	I.chas	Cal.	Mat. 1ère	Partie anatomique	Espèce	Orient. PD	Sect. PD	Sect. PM	Niveau	Secteur	
					(mm)																	
2005	1	Frag. O	prox.	C	75	15	7							os	os long	diaphyse	Ind.	dans l'axe	Ind.	CC	II	ouest
2018	1	Frag. O	prox.	C	44	6,5	3,5							os	MTT	ép. Prox.	Mouton	dans l'axe	Ind.	Rect.	Ib	ouest
2033	1	OP	dist.	C	38	6	2							os	os long	diaphyse	Ind.	dans l'axe	Ovale	Rect.	III	ouest
2036	1	OP	dist.	C	86	10,5	6							os	os long	diaphyse	Ind.	dans l'axe	Ind.	Nat.	III	ouest
2042	1	OP	dist.	B										os	os long	diaphyse	Ind.	dans l'axe	Ind.	Cir.	IV	ouest
2064	1	OP	dist.	B	29	10	5,5							os	os long	diaphyse	Ind.	dans l'axe	Cir.	CC	III	ouest
2081	1	OP	dist.	C	57	6	4,5							os	os long	diaphyse	Ind.	dans l'axe	Cir.	Cir.	IV	ouest
2105	1	OP	dist.	B	36	12	6							os	os long	diaphyse	Ind.	dans l'axe	Ovale	CC	II	ouest
2118	1	OP	dist.	C	76	10	5							os	côte	diaphyse	Ind.	courbe	Ovale	Ind.	III	ouest
2132	1	OP	dist.	C	32	10	5							os	os long	diaphyse	Ind.	dans l'axe	Cir.	Ind.	IV	ouest
2137	1	OP	dist.	C	85	11	7							os	os long	diaphyse	Ind.	dans l'axe	Ovale	Nat.	III	ouest
2137	2	OP	dist.	C	38	8	5							os	os long	diaphyse	Ind.	dans l'axe	Ovale	CC	III	ouest
2140	1	Frag. O	prox.	C	55	9	5							os	MTP	ép. Prox.	Ind.	dans l'axe	Ind.	CC	III	ouest
2146	1	Frag. O	prox.	C	63	7	5							os	MTP	ép. Dist.	Mouton	dans l'axe	Ind.	Ovale	II	ouest
2148	1	Frag. O	prox.	C	71	18	7							os	os long	diaphyse	Daim	dans l'axe	Ind.	CC	Ib	ouest
2157	1	Frag. O	prox.	C	62	11	6							os	MTP	ép. Dist.	Mouton	dans l'axe	Ind.	CC	Ib	ouest
2188	1	OP	dist.	C	43	8	4							os	os long	diaphyse	Ind.	dans l'axe	Ovale	Ovale	Ib	ouest
2198	1	Frag. O	mésial	B	14	5	4							os	os long	diaphyse	Ind.	dans l'axe	Ind.	Cir.	II	ouest
2200	1	Aiguille	prox.	C	77	5,5				6	3	2		os	Ind.	diaphyse	Ind.	dans l'axe	Ind.	Cir.	III	ouest
2201	1	OP	entier	B	97	7,5	5,5							os	os long	diaphyse	Ind.	dans l'axe	Cir.	Cir.	III	ouest
2206	1	Frag. O	prox.	C										os	MTP	ép. Dist.	Daim	dans l'axe	Ind.	Nat.	Ib	ouest
2228	1	EB	prox.	B	53	6				7	2,5			os	Ind.	diaphyse	Ind.	dans l'axe	Ind.	Ovale	II	ouest
2232	1	OP	dist.	C	53	8	5,5							os	os long	diaphyse	Ind.	dans l'axe	Cir.	Ovale	II	ouest
2241	1	OP	dist.	B		5,5	6							os	os long	diaphyse	Ind.	dans l'axe	Ind.	Cir.	III	ouest
2260	1	OP	dist.	B	30	12	5							os	os long	diaphyse	Ind.	dans l'axe	Ind.	CC	IV	ouest
2262	1	Frag. O	mésial	B	38									os	os long	diaphyse	Ind.	dans l'axe	Ind.	Ind.	Ib	ouest
2270	1	OP	subentier	C	56	8	5							os	os long	diaphyse	Ind.	dans l'axe	Ovale	Nat.	III	ouest
2270	2	OP	entier	B	65	7	4						15	os	os long	diaphyse	Ind.	dans l'axe	Cir.	Rect.	III	ouest
2276	1	OP	subentier	B	73	6	4							os	os long	diaphyse	Ind.	dans l'axe	Ind.	Ovale	II	ouest
2276	3	OP	entier	B	95	20	15						38	os	MTT	ép. Prox.	Capriné	dans l'axe	Ind.	Ovale	II	ouest
2278		OP	entier	C	98	17	9						6	os	MTP	ép. Dist.	Daim	déjetée G	Ovale	Nat.	II	ouest
2283	1	Aiguille	prox.	C	46	7				10	4	5		os	os long	diaphyse	Ind.	déjetée G	Cir.	Nat.	II	ouest
2291	1	OP	dist.	C	73	9	5						9	os	Ind.	diaphyse	Ind.	dans l'axe	Ind.	Ovale	II	ouest
2292	1	Frag. O	mésial	B	35	8	5							os	os long	diaphyse	Ind.	dans l'axe	Cir.	Nat.	Ib	ouest
2292	2	OP	dist.	C	64	12	6	3	2					os	os long	diaphyse	Ind.	dans l'axe	Ind.	Rect.	III	ouest
																				CC	III	ouest

N°	Catégorie	Type	Frag.	Etat	L.T	I.T	ép. T	I.Taill.	ép. Taill.	I. PP chas	ép. PP chas	I.chas	Cal.	Mat. 1ère	Partie anatomique	Espèce	Orient. PD	Sect. PD	Sect. PM	Niveau	Secteur		
					(mm)																		
2471	1 OP	ind	dist.	C	36	4,5	4,5							os	os long	diaphyse	Ind.	dans l'axe	Ind.	Cir.	III	ouest	
2480	1 OP	ind	dist.	C	28	4	3							os	os long	diaphyse	Ind.	dans l'axe	Ind.	Cir.	III	ouest	
2487	1 OT	ind	dist.	B	44	7	4	3	2					os	os long	diaphyse	Ind.	dans l'axe	Ovale	Ovale	IV	ouest	
2495	1 Frag. O	ind	mésial	B	54	6	3							os	os long	diaphyse	Ind.	dans l'axe	Ind.	Ind.	II	ouest	
2500	1 Aiguille	ind	prox.	B	27	4								os	Ind.	diaphyse	Ind.	dans l'axe	Cir.	III	ouest		
2500	2 Aiguille	ind	dist.	B	79	2,5								os	Ind.	diaphyse	Ind.	dans l'axe	Rect.	III	ouest		
2500	3 OP	IV.B	subentier	C	70	13	6							os	os long	diaphyse	Ind.	dans l'axe	Nat.	III	ouest		
2508	OP	III.A.2	entier	C	74	6	5						16	os	MTP	ép. Dist.	Daim	dans l'axe	Ovale	CC	II	ouest	
2509	1 OP	ind	dist.	C	18	3,5	4							os	os long	diaphyse	Ind.	dans l'axe	Cir.	Cir.	Ic	ouest	
2511	1 Aiguille	V.A.1	entier	B	41	2						1,5		os	Ind.	diaphyse	Ind.	dans l'axe	Cir.	III	ouest		
2515	1 OP	ind	dist.	C	34	3,5	3			3	1			os	os long	diaphyse	Ind.	dans l'axe	Cir.	III	ouest		
2519	1 OP	III.B.1	entier	C	92	9	4						6	os	MTT D	ép. Prox.	Daim	dans l'axe	Cir.	II	ouest		
2519	2 Aiguille	ind	mésial	B	31	3,5								os	Ind.	diaphyse	Ind.	dans l'axe	Cir.	II	ouest		
2520	1 Aiguille	ind	dist.	B	32	3								os	Ind.	diaphyse	Ind.	dans l'axe	Cir.	II-I	ouest		
2523	1 Poss. EB		prox.	B	57	8	3,5							os	os long	diaphyse	Ind.	dans l'axe	Rect.	III	ouest		
2536	1 OP	III.A.2	entier	C	136	16	7							os	MTP	ép. Dist.	Daim	dans l'axe	Ovale	CC	II-I	ouest	
2536	2 Aiguille	ind	mésial	B	32	3,5								os	Ind.	diaphyse	Ind.	dans l'axe	Ind.	Cir.	II-I	ouest	
2541	OP	IV.A.2	entier	B	58	2				3	1,5			os	Ind.	diaphyse	Ind.	dans l'axe	Cir.	Cir.	III	ouest	
2546	1 Aiguille	ind	prox.	B						1		1,5		os	Ind.	diaphyse	Ind.	dans l'axe	Ind.	Ind.	III	ouest	
2550	1 OP	III.A.1	subentier	B	70	4	3							os	MTP	ép. Dist.	Mouton	dans l'axe	Ovale	II	ouest		
2552	1 OP	IV.B	dist.	B	29									os	os long	diaphyse	Ind.	dans l'axe	Cir.	III	ouest		
2567	1 Frag. O		prox.	C	105	16	8,5							os	MTP	ép. Dist.	Daim	dans l'axe	CC	Ib	ouest		
2572	1 Frag. O		prox.	C	77	8	5							os	MTT G	ép. Prox.	Capriné	dans l'axe	Ind.	Rect.	Ib	ouest	
2572	2 OP	ind	dist.	C	50	8	5							os	os long	diaphyse	Ind.	dans l'axe	Ovale	CC	Ib	ouest	
2574	1 Frag. O		mésial	C	93	19	9							os	os long	diaphyse	Daim	dans l'axe	Ind.	CC	Ib	ouest	
2607	Frag. O		mésial	B	30	6	5							os	os long	diaphyse	Ind.	dans l'axe	Ind.	Ind.	III	ouest	
2630	1 OP	ind	dist.	B		6	5							os	os long	diaphyse	Ind.	dans l'axe	Ind.	Ind.	Ic	ouest	
2637	Frag. O		prox.	C	35	10	7							os	MTP	ép. Prox.	Mouton	dans l'axe	Ind.	CC	surface	est	
2646	1 Frag. O		prox.	C	68									os	MTT	ép. Dist.	Daim	dans l'axe	Ind.	CC	2	ouest	
2646	2 Frag. O		prox.	C	55,5	14	7							os	MTT	ép. Dist.	Daim	dans l'axe	Ind.	CC	2	ouest	
2646	3 Frag. O		mésial	C		15	5							os	os long	diaphyse	Ind.	dans l'axe	Ind.	CC	2	ouest	
2650	1 Aiguille	ind	mésial	B										os	Ind.	diaphyse	Ind.	dans l'axe	Cir.	Cir.	II	ouest	
2650	2 Aiguille	ind	mésial	B										os	Ind.	diaphyse	Ind.	dans l'axe	Ind.	Ind.	II	ouest	
2650	3 OP	III.A.2	subentier	C	90	16	10							os	MTT	ép. Dist.	Daim	dans l'axe	Ovale	CC	II	ouest	
2661	1 OP	IV.A.2	entier	B	42	8	4							os	os long	diaphyse	Ind.	dans l'axe	Rect.	CC	II	ouest	

N°	Catégorie	Type	Frag.	Etat	L.T	I.T	ép. T	I.Taill.	ép. Taill.	L.PP chas	ép.PP chas	I.chas	Cal.	Mat. 1ère	Partie anatomique	Espèce	Orient. PD	Sect. PD	Sect. PM	Niveau	Secteur
					(mm)																
2883	Frag. O		mésial	B	12	5	5					1,5		os	os long	diaphyse	Ind.	Ind.	Cir.	A	est
2892	Aiguille	ind	prox.	C	15									os	Ind.	diaphyse	Ind.	Ind.	Cir.	II	ouest
2903	Frag. O		mésial	B	34		3							os	os long	diaphyse	Ind.	Ind.	Rect.	III	ouest
2905	Frag. O		dist.	C	58	14	6							os	os long	diaphyse	Ind.	Ovale	CC	B4	est
2919	Frag. O		ind.	C										os	os long	diaphyse	Ind.	Ind.	Ind.	A	est
2923	Frag. O		mésial	B	22	7	5							os	os long	diaphyse	Ind.	Ind.	Ovale	HS	est
2926	OP	I.B	dist.	B	49	8	3							os	ulna	diaphyse	Ind.	Carrée	Rect.	B1	est
2947	Frag. O		mésial	B	31	7	6							os	os long	diaphyse	Ind.	Ind.	Ovale	C	est
2950	Divers	XII.B	ind.	B	40	10	5							os	os long	diaphyse	Ind.	Ind.	CC	I-III	ouest
2953	OP	ind	dist.	C		5	3							os	os long	diaphyse	Ind.	Ovale	Ovale	IV	ouest
2970	Frag. O	ind	mésial	B	32	6	2,5							os	os long	diaphyse	Ind.	Ind.	Rect.	II	ouest
2977	Aiguille	ind	mésial	B	19	2								os	Ind.	diaphyse	Ind.	Ind.	Carrée	II	ouest
2980	Frag. O		mésial	C	76	17	9							os	os long	diaphyse	Daim	Ind.	CC	D1	est
2980	Frag. O		prox.	C	60									os	MTT	ép. Dist.	Daim	Ind.	CC	D1	est
2996	Aiguille	ind	dist.	C	45	5								os	Ind.	diaphyse	Ind.	Ind.	Cir.	III	ouest
2996	OP	ind	dist.	C		7	7							os	os long	diaphyse	Ind.	Cir.	Cir.	III	ouest
3000	Aiguille	ind	mésial	C										os	Ind.	diaphyse	Ind.	Ind.	Cir.	III	ouest
3005	Frag. O		mésial	C										os	os long	diaphyse	Ind.	Ind.	Ind.	B5	est
3010	Frag. O		mésial	C										os	os long	diaphyse	Ind.	Ind.	Ind.	C	est
3010	PDD			C										os	os long	diaphyse	Ind.	Ind.	Ind.	C	est
3010	OP	ind	dist.	C	57	14	7							os	os long	diaphyse	Ind.	Ovale	Ind.	C	est
3010	Frag. O		mésial	C	54	12	5							os	os long	diaphyse	Ind.	Ind.	CC	C	est
3021	EB		prox.	C	36	5				5	3			os	Ind.	diaphyse	Ind.	Ind.	Carrée	III	ouest
3021	Aiguille	V.A.1	prox.	B	20					1,5	1	1		os	Ind.	diaphyse	Ind.	Ind.	Cir.	III	ouest
3021	Aiguille	V.C.1	prox.	B	26	3,5				3,5	1	1,5		os	Ind.	diaphyse	Ind.	Ind.	Cir.	III	ouest
3052	Aiguille	ind	mésial	B	10	2								os	Ind.	diaphyse	Ind.	Ind.	Cir.	II	ouest
3058	Frag. O		prox.	B	40									os	MTP	ép. Prox.	Daim	Ind.	CC	C	est
3075	PDD			C										bois	and.		Daim	Ind.	Ind.	C	est
3078	Aiguille	ind	dist.	B	17	2								os	Ind.	diaphyse	Ind.	Ind.	Cir.	D1	est
3080	Aiguille	ind	dist.	C	23	3,5								os	Ind.	diaphyse	Ind.	Ind.	Cir.	B1	est
3082	Frag. O		mésial	C	66	11,5	8							os	os long	diaphyse	Ind.	Ind.	Ovale	I-III	ouest
3082	Frag. O		prox.	B										os	MTT	ép. Dist.	Daim	Ind.	Ind.	I-III	ouest
3090	Frag. O		mésial	B	23	14	6							os	os long	diaphyse	Ind.	Ind.	CC	III	ouest
3100	Aiguille	V.A.1	entier	B	59	2				4	2	1,5		os	Ind.	diaphyse	Ind.	Ind.	Carrée	III	ouest
3110	Aiguille	ind	mésial	B								1		os	Ind.	diaphyse	Ind.	Ind.	Cir.	III	ouest

N°	Catégorie	Type	Frag.	Etat	L.T	I.T	ép. T	I.Taill.	ép. Taill.	I.PP chas	ép.PP chas	I.chas	Cal.	Mat. 1ère	Partie anatomique	Espèce	Orient. PD	Sect. PD	Sect. PM	Niveau	Secteur	
					(mm)																	
3114	Aiguille	V.B.1	prox.	C	18	2								os	Ind.	diaphyse	Ind.	dans l'axe	Ind.	Ovale	2	ouest
3119	OP	ind	dist.	B	38	6	4							os	os long	diaphyse	Ind.	dans l'axe	Cir.	Ovale	III	ouest
3121	OT	ind	dist.	B							1,5	1		os	scapula	diaphyse	Ind.	dans l'axe	Ind.	Ind.	II	ouest
3124	Aiguille	ind	prox.	C	18	2				3				os	Ind.	diaphyse	Ind.	dans l'axe	Ind.	Ovale	II	ouest
3153	Frag. O		mésial	C										os	os long	diaphyse	Ind.	dans l'axe	Ind.	III	ouest	
3202	OP	ind	dist.	C	67	9	6							os	os long	diaphyse	Ind.	dans l'axe	Cir.	CC	B2	est
3213	Frag. O		prox.	C	68									os	os long	diaphyse	Ind.	dans l'axe	Ind.	C	est	
3214	OP	ind	dist.	B	41	5	5							os	os long	diaphyse	Ind.	dans l'axe	Cir.	D1	est	
3218	OP	IV.A.1	entier	B	98	8	6							os	os long	diaphyse	Ind.	dans l'axe	Ind.	C	est	
3218	Aiguille	ind	dist.	C	10	2								os	Ind.	diaphyse	Ind.	dans l'axe	Cir.	C	est	
3218	OP	III.B.1	subentier	C	117	5	4							os	MTT G	ép. Prox.	dans l'axe	Cir.	Cir.	C	est	
3223	OP	ind	dist.	B	53	5	3							os	os long	diaphyse	dans l'axe	Ovale	Ovale	D1	est	
3232	OP	ind	dist.	C	90	12	8							os	os long	diaphyse	dans l'axe	Ind.	CC	AB	est	
3234	Frag. O		mésial	B	67	13	8							os	os long	diaphyse	dans l'axe	Ind.	CC	C	est	
3239	Frag. O		mésial	B	23	7	5,5							os	os long	diaphyse	dans l'axe	Ind.	Ovale	D2	est	
3241	OP	ind	dist.	C	36	7	6							os	os long	diaphyse	dans l'axe	Cir.	Ind.	surface	est	
3241	Frag. O		mésial	C	34	4	4							os	os long	diaphyse	dans l'axe	Ind.	Cir.	surface	est	
3252	Frag. O		prox.	C	57									os	MTP	ép. Dist.	dans l'axe	Ind.	Nat.	AB1	est	
3252	Frag. O		prox.	C	72	16	9							os	MTP	ép. Dist.	dans l'axe	Ind.	CC	AB1	est	
3255	Aiguille	ind	dist.	B	23	3								os	Ind.	diaphyse	dans l'axe	Ind.	Rect.	C	est	
3257	OT	ind	dist.	B	45	9	3	4	2					os	os long	diaphyse	déjetée G	Ovale	CC	2	est	
3266	Aiguille	V.A.1	prox.	C	34	2				3	1,5	1		os	Ind.	diaphyse	dans l'axe	Ind.	Ind.	C	est	
3270	Frag. O		mésial	C										os	os long	diaphyse	dans l'axe	Ind.	Ind.	D2	est	
3279	Frag. O		mésial	C	80	6								os	os long	diaphyse	dans l'axe	Ind.	Ind.	D1	est	
3279	OP	ind	dist.	C	57		6							os	os long	diaphyse	dans l'axe	Ind.	Trian.	D1	est	
3284	Frag. O		prox.	B										os	os long	diaphyse	dans l'axe	Ind.	Ind.	D1	est	
3293	Aiguille	V.B.1	prox.	B	16	2					1,5	2		os	MTP	ép. Dist.	dans l'axe	Ind.	Nat.	AB1	est	
3298	OP	ind	dist.	B	26	4	3			3	1,5			os	Ind.	diaphyse	dans l'axe	Ind.	Cir.	B5	est	
3299	Aiguille	ind	prox.	C	22	2				2	1	1		os	Ind.	diaphyse	dans l'axe	Ind.	Ovale	B5	est	
3299	OT	ind	dist.	C	34		7	3	1,5					os	os long	diaphyse	dans l'axe	Ind.	Cir.	surface	est	
3299	Frag. O		prox.	C	64									os	os long	diaphyse	dans l'axe	CC	CC	surface	est	
3300	OP	ind	dist.	B	30	5	6							os	MTP	ép. Dist.	dans l'axe	Ind.	Nat.	surface	est	
3300	Frag. O		prox.	B	29	2	7							os	os long	diaphyse	dans l'axe	Cir.	Cir.	surface	est	
3301	Frag. O		mésial	C		2								os	MTP	ép. Prox.	dans l'axe	Ind.	CC	surface	est	
3304	OP	ind	dist.	B	31	3	3							os	os long	diaphyse	dans l'axe	Ind.	Ind.	D1	est	
															os long	diaphyse	dans l'axe	Ovale	Ovale	AD	est	

N°	Catégorie	Type	Frag.	Etat	L.T	I.T	ép. T	I.Taill.	ép. Taill.	I. PP chas	ép. PP chas	I.chas	Cal.	Mat. 1ère	Partie anatomique	Espèce	Orient. PD	Sect. PD	Sect. PM	Niveau	Secteur	
					(mm)																	
3312	Frag. O		mésial	C		1								os	os long	diaphyse	Ind.	dans l'axe	Ind.	Ind.	AB	est
3326	OP	ind	dist.	B	35	1,5	5							os	os long	diaphyse	Ind.	dans l'axe	Ind.	Ovale	AC	est
3338	OP	ind	dist.	B	20	1,5	4							os	os long	diaphyse	Ind.	dans l'axe	Ind.	Ovale	B5	est
3342	Frag. O		prox.	B	85	2	5							os	os long	diaphyse	Ind.	dans l'axe	Ind.	Ind.	D1	est
3345	1 OP	ind	dist.	C	120	2	7							os	os long	diaphyse	Ind.	dans l'axe	Ind.	Ind.	surface	est
3345	2 OP	III.B.1	subentier	C	137	2	7,5							os	MTT	ép. Prox.	Daim	dans l'axe	Ind.	PC	surface	est
3345	3 Frag. O		mésial	C		5								os	os long	diaphyse	Ind.	dans l'axe	Ind.	PC	surface	est
3348	OP	ind	dist.	B	31	1,5	5							os	os long	diaphyse	Ind.	dans l'axe	Cir.	Ovale	HS	
3353	Aiguille	ind	mésial	C	30									os	Ind.	diaphyse	Ind.	dans l'axe	Ind.	Cir.	C	est
3356	1 OP	ind	dist.	C	30	8	4							os	os long	diaphyse	Ind.	dans l'axe	Ind.	CC	C	est
3357	1 OP	IV.B	dist.	B	45	6,5	6,5							os	os long	diaphyse	Ind.	dans l'axe	Ind.	Nat.	B5	est
3357	2 Frag. O		mésial	B										os	os long	diaphyse	Ind.	dans l'axe	Ind.	CC	B5	est
3365	1 Frag. O		mésial	C										os	os long	diaphyse	Ind.	dans l'axe	Ind.	Rect.	B2	est
3365	2 Frag. O		mésial	B										os	os long	diaphyse	Ind.	dans l'axe	Ind.	Ind.	B2	est
3383	1 Frag. O		prox.	C	98									os	os long	diaphyse	Daim	dans l'axe	Ind.	Ind.	D1	est
3386	Frag. O		mésial	B	14	5	3,5							os	MTP	ép. Dist.	Daim	dans l'axe	Ind.	Ovale	D1	est
3393	1 OP	ind	dist.	C	71	10	3							os	os long	diaphyse	Ind.	dans l'axe	Cir.	Rect.	C	est
3398	1 Frag. O		mésial	B	22	14	4							os	os long	diaphyse	Ind.	dans l'axe	Ind.	Rect.	B5	est
3398	2 Frag. O		mésial	C	64									bois	and.		Daim	dans l'axe	Ind.	Ind.	B5	est
3403	Frag. O		prox.	C	32	8	3							os	MTT G	ép. Prox.	Capriné	dans l'axe	Ind.	Ovale	E	est
3416	OP	ind	dist.	B	30	5	3,5							os	os long	diaphyse	Ind.	dans l'axe	Cir.	Ovale	B5	est
3419	1 Frag. O		mésial	B	37	9	5							os	os long	diaphyse	Ind.	dans l'axe	Ind.	CC	2	est
3419	2 Frag. O		mésial	B	33	10	5,5							os	os long	diaphyse	Ind.	dans l'axe	Ind.	CC	2	est
3419	3 OP	ind	dist.	C	21,5									os	os long	diaphyse	Ind.	dans l'axe	Ovale	CC	2	est
3422	Aiguille	ind	mésial	B	12									os	Ind.	diaphyse	Ind.	dans l'axe	Ind.	Ovale	B5	est
3423	1 OP	ind	dist.	C										os	os long	diaphyse	Ind.	dans l'axe	Ovale	Ovale	B1	est
3427	1 Frag. O		mésial	C										os	os long	diaphyse	Ind.	dans l'axe	Ind.	CC	B1	est
3427	2 Frag. O		mésial	C										os	os long	diaphyse	Ind.	dans l'axe	Ind.	CC	B1	est
3429	1 Divers	XI.A.1	dist.	C	153	30	21							bois	and.	diaphyse	Daim	dans l'axe	Ind.	Nat.	B1	est
3431	1 Frag. O	.	prox.	B	70									os	MTP	ép. Dist.	Daim	dans l'axe	Ind.	Ind.	D	est
3438	1 OP	IV.B	dist.	C	41									os	os long	diaphyse	Daim	dans l'axe	Ind.	Nat.	B5	est
3438	2 Frag. O		mésial	C										os	os long	diaphyse	Ind.	dans l'axe	Ovale	Ind.	D1	est
3474	Aiguille	V.A.1	prox.	B	15	2				2,5	1	1		os	Ind.	diaphyse	Ind.	dans l'axe	Ind.	Ind.	D1	est
3489	Aiguille	V.B.2.1	prox.	C	50	5				10	3	5		os	Ind.	diaphyse	Ind.	dans l'axe	Ind.	Ind.	C	est
3497	1 Frag. O		mésial	C										os	MTP	diaphyse	Daim	courbe	Ind.	Cir.	2	est
																diaphyse	dans l'axe	Ind.	Nat.	D2	est	

N°	Catégorie	Type	Frag.	Etat	L.T	I.T	ép. T	I.Taill.	ép. Taill.	L.PP chas	ép.PP chas	I.chas	Cal.	Mat. 1ère	Partie anatomique	Espèce	Orient. PD	Sect. PD	Sect. PM	Niveau	Secteur
									(mm)												
3506	1	OP	dist.	C	43	11	6			3	2	2		os	os long	Ind.	dans l'axe	Ind.	Ovale	C	est
3525		Aiguille	prox.	B	42,5	2								os	Ind.	Ind.	dans l'axe	Ind.	Cir.	B5	est
3539	1	Frag. O	mésial	C										os	os long	Ind.	dans l'axe	Ind.	CC	C	est
3544		Frag. O	mésial	B										os	os long	Ind.	dans l'axe	Ind.	Ind.	B5	est
3555		Frag. O	mésial	C										os	os long	Ind.	dans l'axe	Ind.	CC	B5	est
3570	1	OP	dist.	B	36	8,5	5							os	os long	Ind.	dans l'axe	Ovale	CC	B1	est
3570	2	Frag. O	prox.	C	44									os	MTT	Daim	dans l'axe	Ind.	CC	B1	est
3578		OP	dist.	B	85	8,5	4							os	os long	Ind.	dans l'axe	Ovale	Rect.	B5	est
3594		Frag. O	mésial	C										os	os long	Ind.	dans l'axe	Ind.	Ind.	B4	est
3609		Aiguille	mésial	B	13	3								os	Ind.	Ind.	dans l'axe	Ind.	Cir.	C	est
3617		poss. EB	prox.	C	38									os	Ind.	Ind.	dans l'axe	Ind.	Ind.	C	est
3646		Frag. O	mésial	C										os	os long	Ind.	dans l'axe	Ind.	Ind.	B1	est
3659		PDD		B										os	MTP	Daim	dans l'axe	Ind.	Ind.	D2	est
3660		OP	dist.	B	35	8	7							os	os long	Ind.	dans l'axe	Cir.	Trian.	D2	est
3664		Divers	ind.	C	45	9	5							os	os plat	Ind.	dans l'axe	Ind.	Nat.	F	est
3668		Frag. O	mésial	B	15	6	3,5							os	os long	Ind.	dans l'axe	Ind.	Ovale	B5	est
3675		Frag. O	prox.	C	65	8	7							os	MTT	Daim	dans l'axe	Ind.	Cir.	D2	est
3681	1	Aiguille	mésial	B	12	1								os	Ind.	Ind.	dans l'axe	Ind.	Cir.	C	est
3681	2	Aiguille	dist.	B	20	1,5								os	Ind.	Ind.	dans l'axe	Ind.	Cir.	C	est
3685	1	Frag. O	mésial	C	17	7	5							os	os long	Ind.	dans l'axe	Ind.	Ovale	C	est
3692	1	Frag. O	mésial	C										os	os long	Ind.	dans l'axe	Ind.	PC	C	est
3695	1	OP	dist.	C	61	9	5							os	os long	Ind.	dans l'axe	Cir.	CC	D2	est
3695	2	OP	dist.	C	40									os	os long	Ind.	dans l'axe	Ovale	Ind.	D2	est
3696	1	Aiguille	dist.	B	17	1,5								os	Ind.	Ind.	dans l'axe	Ind.	Cir.	C	est
3696	2	Aiguille	dist.	B	57	2								os	Ind.	Ind.	dans l'axe	Ind.	Cir.	C	est
3696	3	Frag. O	mésial	B										os	os long	Ind.	dans l'axe	Ind.	Ind.	C	est
3707	1	Frag. O	mésial	C	30	5	3							os	os long	Ind.	dans l'axe	Ind.	Ovale	B5	est
3711	1	Aiguille	subentier	B	67	5								os	Ind.	Ind.	dans l'axe	Ind.	Ovale	C	est
3716	1	Aiguille	mésial	C	26	2								os	Ind.	Ind.	dans l'axe	Ind.	Cir.	C	est
3716	2	OP	entier	B	138	12	6							os	os long	Ind.	dans l'axe	Cir.	CC	C	est
3716	3	Frag. O	prox.	C	88									os	MTP	Daim	dans l'axe	Ind.	Nat.	C	est
3718	1	OP	dist.	B										os	os long	Ind.	dans l'axe	Ovale	Ind.	B2	est
3726	1	Aiguille	dist.	B	29	2								os	Ind.	Ind.	dans l'axe	Ind.	Cir.	B5	est
3726	2	OP	dist.	C	49	9	8							os	os long	Ind.	dans l'axe	Cir.	Ovale	B5	est
3736	1	Aiguille	entier	B	51	1,5				2,5	1	1		os	Ind.	Ind.	dans l'axe	Ind.	Cir.	B2	est

N°	Catégorie	Type	Frag.	Etat	L.T	I.T	ép. T	I.Taill.	ép. Taill.	I.PP chas	ép.PP chas	L.chas	Cal.	Mat. 1ère	Partie anatomique	Espèce	Orient. PD	Sect. PD	Sect. PM	Niveau	Secteur							
										(mm)																		
3736	2	OP	dist.	B	15	3	3							os	os long	diaphyse	Ind.	dans l'axe	Cir.	Ind.	B2	est						
3737		OP	dist.	B	36	5	4							os	os long	diaphyse	Ind.	dans l'axe	Cir.	Rect.	D1	est						
3739		Frag. O	mésial	B	15	5	3							os	os long	diaphyse	Ind.	dans l'axe	Ind.	Ovale	D2	est						
3747	1	OP	dist.	B		12	5							os	os long	diaphyse	Ind.	dans l'axe	Cir.	CC	E2	est						
3747	2	Frag. O	prox.	C										os	MTP	ép. Dist.	Daim	dans l'axe	Ind.	Ind.	E2	est						
3750		Aiguille	mésial	B	25	2								os	Ind.	diaphyse	Ind.	dans l'axe	Cir.	Cir.	B2	est						
3760	1	Frag. O	mésial	B		5	4							os	os long	diaphyse	Ind.	dans l'axe	CC	C	est							
3761		Aiguille	mésial	C	18	2								os	Ind.	diaphyse	Ind.	dans l'axe	Ovale	B5	est							
3762		Aiguille	mésial	B										os	Ind.	diaphyse	Ind.	dans l'axe	Ind.	B2	est							
3774		Aiguille	dist.	B	18	1,5								os	Ind.	diaphyse	Ind.	dans l'axe	Cir.	C	est							
3778		Frag. O	mésial	B		5	3							os	os long	diaphyse	Ind.	dans l'axe	Ovale	B2	est							
3781	1	OP	dist.	C	78	15	9							os	os long	diaphyse	Daim	dans l'axe	Nat.	C	est							
3781	2	OP	entier	C	93	8	7							os	os long	diaphyse	Ind.	dans l'axe	Ind.	C	est							
3783		Aiguille	prox.	B	22	2				2	1	1		os	Ind.	diaphyse	Ind.	dans l'axe	Cir.	B5	est							
3788	1	OP	dist.	C		10	9							os	os long	diaphyse	Ind.	dans l'axe	Cir.	C	est							
3788	2	OP	dist.	C	47	8	4							os	os long	diaphyse	Ind.	dans l'axe	CC	C	est							
3792		Frag. O	mésial	B		8	4							os	os long	diaphyse	Ind.	dans l'axe	CC	C	est							
3794	1	OP	dist.	B	74	9	5							os	os long	diaphyse	Ind.	dans l'axe	Cir.	D1	est							
3795		Frag. O	mésial	B	32	5	4							os	os long	diaphyse	Ind.	dans l'axe	Ind.	B2	est							
3796	1	Frag. O	mésial	B	46	9	5							os	os long	diaphyse	Ind.	dans l'axe	Ovale	B2	est							
3806		OP	dist.	C										os	os long	diaphyse	Ind.	dans l'axe	Ovale	B1	est							
3810		Frag. O	mésial	B		5,5	5							os	os long	diaphyse	Ind.	dans l'axe	Cir.	D1	est							
3817		OP	dist.	B	38	8	5							os	os long	diaphyse	Ind.	dans l'axe	Cir.	D2	est							
3824		Aiguille	subentier	B	24	2				2		1		os	Ind.	diaphyse	Ind.	dans l'axe	Ind.	B1	est							
3839		OP	dist.	C		5	4							os	os long	diaphyse	Ind.	dans l'axe	Cir.	B2	est							
3843		Frag. O	mésial	B										os	os long	diaphyse	Ind.	dans l'axe	Ind.	B2	est							
3852		OP	dist.	C		10	5							os	os long	diaphyse	Ind.	dans l'axe	Ind.	D1	est							
4007		OP	dist.	B	56	8	5							os	os long	diaphyse	Ind.	dans l'axe	CC	D2	est							
4011	1	OP	dist.	C	54	7	4							os	os long	diaphyse	déjetée G	Ovale	PC	HS	est							
4011	2	OP	dist.	C	43	7	7							os	os long	diaphyse	dans l'axe	Cir.	Cir.	HS	est							
4011	3	OP	dist.	C	35									os	os long	diaphyse	dans l'axe	Ovale	PC	HS	est							
4012	1	OP	dist.	B	44	6	5						6	os	os long	diaphyse	dans l'axe	Cir.	Ovale	C	est							
4012	2	Frag. O	mésial	B									6	os	os long	diaphyse	dans l'axe	Ind.	Ind.	C	est							
4012	3	Aiguille	prox.	B						2	1	1		os	Ind.	diaphyse	dans l'axe	Ind.	Cir.	C	est							
4013		Aiguille	prox.	C	43					15	6	2,5	9	os	Ind.	diaphyse	dans l'axe	Ind.	Rect.	D2	est							

N°	Catégorie	Type	Frag.	Etat	L.T	I.T	ép. T	I.Taill.	ép. Taill.	I. PP chas	ép. PP chas	I.chas	Cal.	Mat. 1ère	Partie anatomique	Espèce	Orient. PD	Sect. PD	Sect. PM	Niveau	Secteur	
								(mm)														
4015	Frag. O		mésial	C		5	5							os	os long	diaphyse	Ind.	dans l'axe	Ind.	Cir.	HS	
4026	Frag. O		mésial	C	31	8	5							os	os long	diaphyse	Ind.	dans l'axe	Ind.	Ovale	HS	
4030	Frag. O		mésial	C			5							os	os long	diaphyse	Ind.	dans l'axe	Ind.	Carrée	HS	
4036	OP	ind	dist.	C										os	os long	diaphyse	Ind.	dans l'axe	Cir.	CC	HS	
4045	Frag. O		mésial	B										os	os long	diaphyse	Ind.	dans l'axe	Ind.	Ovale	A	est
4048	Frag. O		mésial	C		7	4							os	os long	diaphyse	Ind.	déjetée D	CC	HS		
4050	OP	ind	dist.	C	37	5	4							os	os long	diaphyse	Ind.	dans l'axe	Cir.	Ind.	HS	
4050	OP	ind	dist.	B	26	5	4							os	os long	diaphyse	Ind.	dans l'axe	Cir.	HS		
4050	OP	IV.B	dist.	C	50	8	5,5							os	os long	diaphyse	Ind.	dans l'axe	Ovale	Trian.	HS	
4050	Frag. O		mésial	C		7	4							os	os long	diaphyse	Ind.	dans l'axe	Ind.	Ovale	HS	
4058	OP	ind	dist.	B										os	os long	diaphyse	Ind.	dans l'axe	Cir.	D1	est	
4058	Frag. O		ind.	C										os	os long	diaphyse	Ind.	dans l'axe	Ind.	D1	est	
4065	OP	IV.B	dist.	C	62	12	8							os	os long	diaphyse	Ind.	dans l'axe	Ind.	Nat.	A	est
4065	Frag. O		mésial	B	35									os	os long	diaphyse	Ind.	dans l'axe	Ind.	Ind.	A	est
4068	OP	ind	dist.	B	50	6	5							os	os long	diaphyse	Ind.	dans l'axe	Cir.	E2	est	
4082	OP	IV.B	dist.	B	52	7	4							os	os long	diaphyse	Ind.	dans l'axe	Ind.	D1	est	
4092	Aiguille	ind	dist.	B	25	2,5								os	Ind.	diaphyse	Ind.	dans l'axe	Rect.	HS		
4099	Frag. O		mésial	B	105	11	8							os	os long	diaphyse	Ind.	dans l'axe	CC	D1	est	
4099	Frag. O		prox.	B	102	14	7							os	MTC	ép. Prox.	Daim	dans l'axe	CC	D1	est	
4099	Aiguille	ind	mésial	B										os	Ind.	diaphyse	Ind.	dans l'axe	Cir.	D1	est	
4102	OP	IV.B	dist.	C	65	6	4							os	os long	diaphyse	Ind.	dans l'axe	Ovale	D1	est	
4106	OP	ind	dist.	C		7	5							os	os long	diaphyse	Ind.	dans l'axe	Ovale	A	est	
4112	Frag. O		prox.	B	33									os	MTP	ép. Dist.	Daim	dans l'axe	Ind.	Ind.	surface	ouest
4113	Frag. O		mésial	C										os	os long	diaphyse	Ind.	dans l'axe	CC	HS		
4114	OP	ind	dist.	B	46	10	6						24	os	os long	diaphyse	Ind.	dans l'axe	Cir.	C	est	
4114	Frag. O		prox.	B	89	8	4						6	os	MTT D	ép. Prox.	Mouton	dans l'axe	Ovale	C	est	
4115	Frag. O		mésial	B									9	os	MTP	diaphyse	Ind.	dans l'axe	Ind.	D1	est	
4121	OP	III.A.2	subentier	C	96	13	8						20	os	MTT	ép. Dist.	Daim	dans l'axe	Ovale	B1	est	
4122	Frag. O		prox.	C	85	8	5							os	MTT	ép. Dist.	Daim	dans l'axe	CC	B1	est	
4127	Frag. O		prox.	C	68	15	7							os	MTT	ép. Prox.	Daim	dans l'axe	CC	A	est	
4127	OP	ind	dist.	B		7	3							os	os long	diaphyse	Ind.	dans l'axe	Rect.	A	est	
4133	OP	ind	dist.	C	23	12,5	5,5							os	os long	diaphyse	Ind.	dans l'axe	CC	A	est	
4144	OP	ind	dist.	C	31	7	3,5							os	os long	diaphyse	Ind.	dans l'axe	PC	D1	est	
4149	Frag. O		mésial	B		7	5							os	os long	diaphyse	Ind.	dans l'axe	Trian.	B1	est	
4157	Frag. O		prox.	C	60	11	7							os	MTT	ép. Dist.	Daim	dans l'axe	CC	HS		

N°	Catégorie	Type	Frag.	Etat	L.T	I.T	ép. T	I.Taill.	ép. Taill.	I.PP chas	ép.PP chas	I.chas	Cal.	Mat. 1ère	Partie anatomique	Espèce	Orient. PD	Sect. PD	Sect. PM	Niveau	Secteur	
								(mm)														
4434	2 OP	ind	dist.	C	40	8	5							os	os long	diaphyse	Ind.	dans l'axe	Cir.	Rect.	HS	
4438	1 Frag. O		mésial	B			3,5							os	os long	diaphyse	Ind.	dans l'axe	Ind.	Ind.	HS	
4441	Aiguille	V.A.1	prox.	B	24	2					1	1		os	Ind.	diaphyse	Ind.	dans l'axe	Ind.	Ovale	B1	est
4444	1 OP	ind	dist.	C	71	5,5	5							os	os long	diaphyse	Ind.	dans l'axe	Cir.	Ovale	B3	est
4444	3 Aiguille	ind	mésial	C								1,5		os	Ind.	diaphyse	Ind.	dans l'axe	Ind.	Ovale	B3	est
4444	4 Aiguille	ind	mésial	C										os	Ind.	diaphyse	Ind.	dans l'axe	Ind.	Ovale	B3	est
4447	2 OP	ind	dist.	C										os	os long	diaphyse	Ind.	dans l'axe	Ind.	Ovale	HS	
4447	3 Aiguille	ind	dist.	B										os	Ind.	diaphyse	Ind.	dans l'axe	Cir.	Ovale	HS	
4449	OP	ind	dist.	C										os	os long	diaphyse	Ind.	dans l'axe	Cir.	Ovale	B3	est
4452	Frag. O		mésial	B	52	8	4							os	os long	diaphyse	Ind.	dans l'axe	Ind.	Ind.	D2	est
4456	OP	ind	dist.	C	16	3	3							os	os long	diaphyse	Ind.	dans l'axe	Cir.	Ind.	B3	est
4461	Frag. O		mésial	C		14	7							os	os long	diaphyse	Ind.	dans l'axe	Ind.	Ind.	D2	est
4462	OP	ind	dist.	C	23									os	os long	diaphyse	Ind.	dans l'axe	Cir.	Ind.	B3	est
4466	Aiguille	ind	mésial	C										os	Ind.	diaphyse	Ind.	dans l'axe	Ind.	Cir.	B3	est
4467	1 OP	ind	dist.	C	60									os	os long	diaphyse	Ind.	dans l'axe	Ind.	Ind.	D2	est
4467	2 OP	ind	dist.	C	11									os	os long	diaphyse	Ind.	dans l'axe	Cir.	Ind.	D2	est
4467	3 Frag. O		mésial	B										os	os long	diaphyse	Ind.	dans l'axe	Ind.	Ind.	D2	est
4467	4 OP	ind	dist.	C										os	os long	diaphyse	Ind.	dans l'axe	Cir.	Ind.	D2	est
4470	Frag. O		mésial	C	84	7	4							os	os long	diaphyse	Ind.	dans l'axe	Ind.	Trian.	HS	
4471	3 Aiguille	ind	mésial	C										os	Ind.	diaphyse	Ind.	dans l'axe	Ind.	Cir.	B1	est
4491	Aiguille	ind	mésial	C										os	Ind.	diaphyse	Ind.	dans l'axe	Ind.	Cir.	B3	est
4492	1 Aiguille	ind	dist.	B	32	2								os	Ind.	diaphyse	Ind.	COURBE	Ind.	Carrée	B1	est
4492	2 OP	ind	dist.	C	33									os	os long	diaphyse	Ind.	dans l'axe	Cir.	Rect.	B1	est
4493	1 Frag. O		mésial	B		5	5							os	os long	diaphyse	Ind.	dans l'axe	Ind.	Cir.	HS	
4493	2 OP	III.A.1	subentier	C	33	11	5							os	MTP	ép. Dist.	Capriné	dans l'axe	Ind.	Ind.	HS	
4494	1 Aiguille	V.A.1	prox.	B	13	2					1	1		os	Ind.	diaphyse	Ind.	dans l'axe	Ind.	Ovale	HS	
4495	1 Aiguille	ind	dist.	B										os	Ind.	diaphyse	Ind.	dans l'axe	Ind.	Cir.	B3	est
4496	OP	IV.A.1	subentier	C										os	os long	diaphyse	Ind.	dans l'axe	Cir.	Cir.	B3	est
4509	1 OP	ind	dist.	B	23		4							os	os long	diaphyse	Ind.	dans l'axe	Ovale	Ovale	B1	est
4509	2 OP	IV/B	dist.	B	73	7	3,5							os	os long	diaphyse	Ind.	dans l'axe	Ind.	Nat.	B1	est
4539	OP	IV/B	dist.	C	40									os	os long	diaphyse	Ind.	dans l'axe	Ind.	Ind.	B1	est
4545	Frag. O		mésial	B		6	4							os	os long	diaphyse	Ind.	dans l'axe	Ind.	Ovale	C	est
4546	1 OP	ind	dist.	C	20	4	3							os	os long	diaphyse	Ind.	dans l'axe	Ind.	Ovale	C	est
4558	EB		prox.	C	36	2				3	4			os	Ind.	diaphyse	Ind.	dans l'axe	Ind.	Rect.	B5-4	est
4559	1 OP	IV/B	dist.	C	45									os	os long	diaphyse	Ind.	dans l'axe	Cir.	Ind.	B1	est

N°	Catégorie	Type	Frag.	Etat	L.T	I.T	ép. T	I.Taill.	ép. Taill.	L.PP chas	ép.PP chas	I.chas	Cal.	Mat.1ère	Partie anatomique	Espèce	Orient. PD	Sect. PD	Sect. PM	Niveau	Secteur
					(mm)																
4559	2 OP	IV.A.1	entier	B	97	9	3							os	os long	Ind.	dans l'axe	Ovale	CC	B1	est
4563	1 OP	ind	dist.	B	19	6,5	5							os	os long	Ind.	dans l'axe	Cir.	Ovale	C	est
4565	OP	III.A.1	subentier	B	55	7	4							os	MTP	ép. Dist.	dans l'axe	Ind.	Ovale	HS	
4580	Frag. O		mésial	C										os	os long	Ind.	dans l'axe	Ind.	Ind.	B1	est
4585	1 OP	ind	dist.	B	72	9	5,5							os	os long	Ind.	dans l'axe	Cir.	CC	A	est
4601	1 OP	IV.B	dist.	C	48	10	5							os	os long	Ind.	dans l'axe	Cir.	CC	B2	est
4601	2 EB		prox.	B	16	3,5	2		3		1			os	Ind.	diaphyse	dans l'axe	Ind.	Ovale	B2	est
4607	2 Frag. O		mésial	B			6							os	os long	Ind.	dans l'axe	Ind.	Ovale	B3	est
4610	1 Aiguille	ind	dist.	B	15	2								os	Ind.	diaphyse	dans l'axe	Ind.	Cir.	B2	est
4620	1 OP	ind	dist.	C	19	7	5							os	os long	Ind.	dans l'axe	Ovale	Ind.	C	est
4620	2 Frag. O		mésial	B		9	5,5							os	os long	Ind.	dans l'axe	Ind.	CC	C	est
4625	1 OP	ind	entier	C	62	8,5	6							os	os long	Ind.	dans l'axe	Cir.	CC	B1	est
4632	Frag. O		mésial	C		4	3							os	os long	Ind.	dans l'axe	Ind.	Cir.	HS	
4633	1 Divers	XI.A.1	entier	C										os	and.	Daim	dans l'axe	Ind.	Ind.	B1	est
4633	2 Frag. O		prox.	C	60									bois	MTT	ép. Dist.	dans l'axe	Ind.	Nat.	B1	est
4643	1 Aiguille	ind	mésial	B										os	Ind.	diaphyse	dans l'axe	Ind.	Rect.	B2	est
4646	Frag. O		mésial	B		10	6							os	os long	Ind.	dans l'axe	Ind.	CC	C	est
4647	Frag. O		mésial	C		6	4							os	os long	Ind.	dans l'axe	Ind.	Ovale	B3	est
4661	Frag. O		prox.	C	68									os	MTT	ép. Dist.	dans l'axe	Ind.	Nat.	HS	
4670	1 Frag. O		mésial	C		5	2							os	os long	Ind.	dans l'axe	Ind.	Ovale	B3	est
4671	1 OP	ind	dist.	C	107	8	6							os	os long	Ind.	dans l'axe	Cir.	Ovale	B1	est
4675	OP	III.B.1	entier	B	72	4,5	2							os	MTC	ép. Prox.	dans l'axe	Cir.	Ind.	HS	
4683	1 Frag. O		prox.	B	39	3,5	2							os	os long	Capriné	dans l'axe	Ind.	Rect.	B3	est
4685	1 Frag. O		dist.	C		10	3							os	os long	Ind.	dans l'axe	Ovale	Ovale	C	est
4685	2 OP	ind	dist.	B		4,5	3							os	os long	Ind.	dans l'axe	Cir.	Ovale	C	est
4692	Frag. O		mésial	B		8	3							os	os long	Ind.	dans l'axe	Ind.	CC	C	est
4703	1 OP	ind	dist.	C	48	14	4							os	os long	Ind.	dans l'axe	Ovale	Ovale	D2	est
4703	2 Frag. O		prox.	C	45	12	9							os	MTT G	ép. Prox.	dans l'axe	Ind.	CC	D2	est
4703	3 Frag. O		mésial	B		13	6,5							os	os long	Ind.	dans l'axe	Ind.	CC	D2	est
4714	Frag. O		mésial	C		8	5							os	os long	Ind.	dans l'axe	Ind.	CC	B2	est
4719	OP	IV.B	dist.	B	58	4	4							os	os long	Ind.	dans l'axe	Ind.	Cir.	C	est
4727	OP	IV.B	dist.	C	58									os	os long	Ind.	dans l'axe	Cir.	Trian.	C	est
4743	1 Aiguille	ind	prox.	C										os	Ind.	diaphyse	dans l'axe	Ind.	Cir.	B5-4	est
4745	1 OP	ind	dist.	C										os	os long	Ind.	dans l'axe	Ovale	CC	A	est
4745	2 Aiguille	ind	mésial	C										os	Ind.	diaphyse	dans l'axe	Ind.	Cir.	A	est

N°	Catégorie	Type	Frag.	Etat	L.T	I.T	ép. T	I.Taill.	ép. Taill.	L.PP chas	ép.PP chas	L.chas	Cal.	Mat.1ère	Partie anatomique	Espèce	Orient. PD	Sect. PD	Sect. PM	Niveau	Secteur
									(mm)												
5113	Frag. O		mésial	B	8	4								os	os long	Ind.	dans l'axe	Ind.	CC	B3	est
5126	OP	ind	dist.	C	83	5								os	os long	Ind.	dans l'axe	Cir.	Nat.	B1	est
5132	OP	IV.B	subentier	C										os	os long	Ind.	dans l'axe	Ind.	Ovale	A	est
5139	OP	ind	dist.	B	11,5	7								os	os long	Ind.	dans l'axe	Cir.	Rect.	B1	est
5140	Frag. O		mésial	C	6,5	5								os	os long	Ind.	dans l'axe	Ind.	Ovale	B1	est
5149	OP	ind	dist.	B	33	7							28	os	os long	Ind.	dans l'axe	Cir.	Cir.	E2	est
5151	Frag. O		mésial	B	8	4								os	os long	Ind.	dans l'axe	Ind.	CC	B1	est
5157	OP	II.A.2	subentier	C	15	8								os	MTC	Daim	dans l'axe	Ind.	CC	B3	est
5157	OP	ind	dist.	C	37	4								os	ép. Dist.	Ind.	dans l'axe	Cir.	Trian.	B3	est
5157	OT	VIII.A.2	entier	B	96	11		5,5	3,5					os	os long	Daim	dans l'axe	Rect.	CC	B3	est
5158	Frag. O		prox.	C										os	MTT	Daim	dans l'axe	Ind.	Ind.	B1	est
5161	OP	ind	dist.	B	5,5	4								os	os long	Ind.	dans l'axe	PC	PC	B3	est
5161	Frag. O		mésial	B	57	5,5								os	os long	Ind.	dans l'axe	Ind.	Ovale	B3	est
5162	Aiguille	V.A.1	prox.	B	32,5	2				2,5	1,5	1		os	Ind.	Ind.	dans l'axe	Ind.	Cir.	B1	est
5173	PDD			C	19	10								os	os long	Ind.	dans l'axe	Ind.	CC	B2	est
5174	aiguille	ind	dist.	B										os	Ind.	Ind.	dans l'axe	Ind.	Cir.	B2	est
5177	OP	III.B.1	subentier	B	105	6							25	os	MTC G	Daim	dans l'axe	Cir.	CC	B1	est
5183	EB		prox.	C	29	2				4	2			os	Ind.	diaphyse	dans l'axe	Ind.	Cir.	B1	est
5184	Frag. O		prox.	B	67	5								os	MTT	Capriné	dans l'axe	Ind.	CC	B5	est
5187	OP	ind	dist.	C	14									os	os long	Ind.	dans l'axe	Ind.	Ind.	B3	est
5193	Frag. O		prox.	C	12	7								os	os long	Ind.	dans l'axe	Ind.	CC	B5	est
5194	Frag. O		mésial	C	6,5	4								os	os long	Ind.	dans l'axe	Ind.	CC	B3	est
5201	OP	III.B.1	entier	B	97	8							35	os	MTP	Daim	dans l'axe	Cir.	CC	B3	est
5201	OP	ind	dist.	C	10,5								24	os	ép. Prox.	Ind.	dans l'axe	Ovale	Ind.	B3	est
5201	Aiguille	ind	dist.	C										os	Ind.	diaphyse	dans l'axe	Ind.	Cir.	B3	est
5208	OP	ind	dist.	C										os	os long	Ind.	dans l'axe	Cir.	CC	B1	est
5208	Aiguille	ind	mésial	C										os	Ind.	diaphyse	dans l'axe	Ind.	Cir.	B1	est
5209	Frag. O		mésial	C										os	os long	Ind.	dans l'axe	Ind.	Ind.	B3	est
5216	OP	ind	dist.	C	5	5								os	os long	Ind.	dans l'axe	Cir.	Cir.	A	est
5218	Frag. O		prox.	B	57	5								os	MTT	Daim	dans l'axe	Ind.	PC	B3	est
5218	Frag. O		prox.	C	40	14								os	MTP	Daim	dans l'axe	Ind.	Ind.	B3	est
5218	PDD			B	72	8,5								os	MTP	Daim	dans l'axe	Ind.	CC	B3	est
5218	Frag. O		mésial	C	71	5								os	os long	Ind.	dans l'axe	Ind.	Ovale	B3	est
5219	Frag. O		mésial	B	6	5								os	os long	Ind.	dans l'axe	Ind.	Rect.	B3	est
5222	EB		ind.	B	6	3,5								os	os long	Ind.	dans l'axe	Cir.	Rect.	C	est

N°	Catégorie	Type	Frag.	Etat	L.T	I.T	ép. T	I.Taill.	ép. Taill.	L.PP chas	ép.PP chas	I.chas	Cal.	Mat. 1ère	Partie anatomique	Espèce	Orient. PD	Sect. PD	Sect. PM	Niveau	Secteur
									(mm)												
5229	OP	ind	dist.	B	41	9	5			2	1	1		os	os long	diaphyse	Ind.	Cir.	Ind.	E2	est
5237	Aiguille	V.A.1	prox.	B	45	2								os	Ind.	diaphyse	Ind.	Ind.	Cir.	B4	est
5240	OT	ind	dist.	B	43,5	15	6							os	os long	diaphyse	Ind.	Ovale	CC	B3	est
5241	1 Frag. O		mésial	C										os	os long	diaphyse	Ind.	Ind.	CC	C	EST
5241	2 Frag. O		prox.	C	41	6	3,5							os	MTP	ép. Dist.	Ind.	Ind.	Rect.	C	est
5241	3 Frag. O		prox.	C										os	MTP	ép. Dist.	Ind.	Ind.	Rect.	C	est
5245	OP	ind	dist.	B	40	9	4						18	os	os long	diaphyse	Ind.	Cir.	CC	B1	est
5246	OP	ind	dist.	B	30,5	5	3,5						11	os	os long	diaphyse	Ind.	Cir.	CC	B2	est
5253	1 OP	IV.B	dist.	B	36	5,5	5						12	os	os long	diaphyse	Ind.	Cir.	Cir.	B2	est
5253	2 Frag. O		mésial	B		7	5							os	os long	diaphyse	Ind.	Ind.	Rect.	B2	est
5256	EB		prox.	C	43	2,5								os	Ind.	diaphyse	Ind.	Ind.	Rect.	B4	est
5259	OP	ind	dist.	C										os	os long	diaphyse	Ind.	Cir.	Ovale	C	est
5271	Frag. O		prox.	B										os	MTT	ép. Prox.	Capriné	Ind.	CC	B1	est
5273	OP	III.B.1	entier	C	40	9	6							os	MTP	ép. Prox.	Mouton	Ovale	Rect.	B4	est
5275	1 OP	ind	dist.	B										os	os long	diaphyse	Ind.	Ind.	Cir.	B3	est
5275	2 Aiguille	ind	mésial	B										os	Ind.	diaphyse	Ind.	Ind.	Cir.	B3	est
5282	Aiguille	ind	mésial	C										os	Ind.	diaphyse	Ind.	Ind.	Cir.	B2	est
5285	Frag. O		dist.	B	60	7	5							os	os long	diaphyse	Ind.	Ovale	Carrée	B4	est
5289	Aiguille	ind	mésial	C										os	Ind.	diaphyse	Ind.	Ind.	Ovale	B4	est
5304	Frag. O		prox.	C	60									os	MTT	ép. Dist.	Daim	Ind.	Ind.	C	est
5315	Frag. O		prox.	C	62	8	5							os	MTP	ép. Prox.	Ind.	Ind.	PC	B3	est
5318	OP	ind	dist.	B		8	7							os	os long	diaphyse	Ind.	Cir.	Cir.	C	est
5325	Frag. O		mésial	C		11	7							os	os long	diaphyse	Ind.	Ind.	CC	A	est
5326	OP	ind	dist.	B	22	5	5						12	os	os long	diaphyse	Ind.	Cir.	Cir.	B1	est
5330	Aiguille	V.C.2.2	entier	B	86									os	os long	diaphyse	Ind.	Ind.	Cir.	B4	est
5334	OP	ind	dist.	C	99					9	4	2		os	os long	diaphyse	Ind.	Cir.	Trian.	C	est
5339	OP	ind	dist.	C		3,5	3							os	os long	diaphyse	Ind.	Cir.	Rect.	B3	est
5347	Aiguille	ind	mésial	C	35					6	3			os	Ind.	diaphyse	Ind.	Ind.	Ovale	B3	est
5357	OP	ind	dist.	B		4	3							os	os long	diaphyse	Ind.	Cir.	Ovale	B3	est
5361	Aiguille	ind	mésial	C										os	Ind.	diaphyse	Ind.	Ind.	Cir.	B3	est
5363	Frag. O		mésial	C										os	os long	diaphyse	Ind.	Ind.	Ind.	B4	est
5369	2 Aiguille	V.C.2.1	prox.	B						7,5	2,5	2		os	Ind.	diaphyse	Ind.	Ind.	Cir.	B3	est
5373	Frag. O		mésial	B		7	6							os	os long	diaphyse	Ind.	Ind.	Cir.	C	est
5374	OP	ind	dist.	B	52	6	4							os	os long	diaphyse	Ind.	Cir.	Rect.	B1	est
5388	1 Aiguille	ind	mésial	C										os	Ind.	diaphyse	Ind.	Ind.	Cir.	C	EST

N°	Catégorie	Type	Frag.	Etat	L.T	I.T	ép. T	I.Taill.	ép. Taill.	L.PP chas	ép.PP chas	I.chas	Cal.	Mat.1ère	Partie anatomique	Espèce	Orient. PD	Sect. PD	Sect. PM	Niveau	Secteur
					(mm)																
5388	2 Frag. O		mésial	B											os long	diaphyse	Ind.	Ind.	Ind.	C	est
5390	OP	III.B.1	entier	B	55	7	5						11	os	MTP	ép. Prox.	Capriné	Cir.	CC	B4	est
5401	Frag. O		mésial	B		6,5	5							os	os long	diaphyse	Ind.	Ind.	Cir.	C	est
5411	Frag. O		mésial	C		12	7							os	os long	diaphyse	Ind.	Ind.	CC	B2	est
5417	OP	ind	dist.	B	55	7								os	os long	diaphyse	Ind.	Cir.	PC	B2	est
5427	Aiguille	ind	dist.	B	19	3								os	Ind.	diaphyse	Ind.	Ind.	Cir.	B3	est
5451	OP	ind	dist.	B		3	3							os	os long	diaphyse	Ind.	Ind.	Cir.	A	est
5458	OP	IV.B	dist.	C	87	8	7							os	os long	diaphyse	Ind.	Ovale	Nat.	B3	est
5469	1 Frag. O		prox.	C	75	8	5							os	MTT	ép. Prox.	Daim	Ind.	CC	B1	est
5469	2 OP	ind	dist.	B										os	os long	diaphyse	Ind.	Ovale	Trian.	B1	est
5481	1 OP	ind	dist.	B	27,5	7	4						18	os	os long	diaphyse	Ind.	Cir.	Ovale	B2	est
5481	2 Frag. O		mésial	C		5	5						30	os	os long	diaphyse	Ind.	Ind.	Cir.	B2	est
5484	Aiguille	ind	mésial	C						3	1,5		6,3	os	Ind.	diaphyse	Ind.	Ind.	Cir.	B3	est
5485	OP	ind	dist.	C	54	6	3,5						16	os	os long	diaphyse	Ind.	Cir.	CC	B2	est
5494	OP	ind	dist.	B									35	os	os long	diaphyse	Ind.	Ind.	Cir.	B5	est
5508	OP	IV.A.1	entier	B	52,5	8,5	5						11	os	os long	diaphyse	Ind.	Ovale	Rect.	B4	est
5515	OP	IV.A.1	entier	B	90	12	6						35	os	os long	diaphyse	Ind.	Cir.	CC	B4	est
5524	OP	ind	dist.	B										os	os long	diaphyse	Ind.	Cir.	Cir.	B5	est
5530	Aiguille	ind	mésial	C							1	1,5		os	Ind.	diaphyse	Ind.	Ind.	Cir.	B4	est
5531	1 PDD			C										os	MTP	ép. Dist.	Ind.	Ind.	Ind.	B3	est
5531	2 Frag. O		prox.	C	63	17	9							os	os long	diaphyse	Daim	Ind.	CC	B3	est
5537	Frag. O		mésial	B	30	7	4							os	os long	diaphyse	Ind.	Ind.	CC	B3	est
5541	OP	ind	dist.	C										os	os long	diaphyse	Ind.	Ind.	Rect.	B2	est
5544	Aiguille	ind	dist.	C	32	2								os	Ind.	diaphyse	Ind.	Ind.	Rect.	C	est
5559	1 Aiguille	ind	dist.	B	24	2								os	Ind.	diaphyse	Ind.	Ind.	Cir.	B3	est
5559	2 Aiguille	ind	dist.	C	11	2								os	Ind.	diaphyse	Ind.	Ind.	Cir.	B3	est
5564	Frag. O		mésial	C		15	8						16	os	os long	diaphyse	Ind.	Ovale	Trian.	B1	est
5568	1 OP	IV.B	entier	B	54	5	4							os	os long	diaphyse	Ind.	Ind.	Rect.	B1	est
5568	2 OP	IV.B	dist.	C	61	17	4							os	os long	diaphyse	Ind.	Carrée	Rect.	B1	est
5569	1 Aiguille	V.A.2	entier	B	71	7					5	4		os	os long	diaphyse	Ind.	Ind.	Trian.	B3	est
5569	2 OP	III.B.1	entier	B	76	6	6						16	os	MTT	ép. Prox.	Capriné	Cir.	Trian.	B3	est
5582	OT	ind	dist.	C	51			3	2,5					os	os long	diaphyse	Ind.	Ovale	Ovale	B4	est
5590	OP	ind	dist.	C										os	os long	diaphyse	Ind.	Ind.	Ind.	B2	est
5599	1 OP	IV.A.1	subentier	C	118	18	10							os	os long	diaphyse	Daim	Ovale	CC	B1	est
5599	2 OP	ind	dist.	B	37	10	5,5							os	os long	diaphyse	Ind.	Cir.	CC	B1	est

N°	Catégorie	Type	Frag.	Etat	L.T	I.T	ép. T	I.Taill.	ép. Taill.	I. PP chas	ép. PP chas	I.chas	Cal.	Mat. 1ère	Partie anatomique	Espèce	Orient. PD	Sect. PD	Sect. PM	Niveau	Secteur	
								(mm)														
5607	1	OP	ind																			
5607	2	Frag. O																				
5619		OP	ind																			
5620		OP	ind																			
5640		OP	ind																			
5647		OP	ind																			
5660	1	OP	IV.A.3																			
5660	2	Frag. O																				
5670		OP	ind																			
5709		OP	IV.A.1																			
5721		OP	ind																			
5722		OT	ind																			
5730	1	Frag. O																				
5730	2	Frag. O																				
5730	3	Aiguille	ind																			
5732	1	OP	IV.B																			
5732	2	OP	ind																			
5741		OP	ind																			
5746		Frag. O																				
5747		Frag. O																				
5752		OP	IV.B																			
5781		OP	IV.B																			
5789		Frag. O																				
5791		OP	IV.B																			
5797		Aiguille	ind																			
5805		Frag. O																				
5807		OP	IV.B																			
5813		Frag. O																				
5819		Aiguille	ind																			
5828		Frag. O																				
5831		Frag. O																				
5833		Aiguille	V.B.1																			
5845		Frag. O																				
5848		Aiguille	ind																			
5849		OP	ind																			

N°	Catégorie	Type	Frag.	Etat	L.T	I.T	ép. T	I.Taill.	ép. Taill.	I. PP chas	ép. PP chas	I.chas	Cal.	Mat. 1ère	Partie anatomique	Espèce	Orient. PD	Sect. PD	Sect. PM	Niveau	Secteur		
					(mm)																		
5853	OP	ind	dist.	C	57	10	5							os	os long	diaphyse	Ind.	dans l'axe	Cir.	Rect.	B3	est	
5854	Frag. O		mésial	C		12,5	5,5							os	os long	diaphyse	Ind.	dans l'axe	Ind.	CC	B3	est	
5863	OP	ind	dist.	C	38	6,5	3							os	os long	diaphyse	Ind.	dans l'axe	Carrée	Rect.	Icc	ouest	
5864	Frag. O		prox.	C	75									os	MTP	ép. Prox.	Capriné	dans l'axe	Ind.	CC	B3	est	
5867	Frag. O		mésial	C										os	os long	diaphyse	Ind.	dans l'axe	Ind.	CC	B3	est	
5872	Aiguille	ind	mésial	B										os	Ind.	diaphyse	Ind.	dans l'axe	Ind.	Cir.	II	ouest	
5875	Frag. O		mésial	C										os	os long	diaphyse	Ind.	dans l'axe	Ind.	CC	II	ouest	
5879 1	OP	ind	dist.	C	30	9,5	3							os	os long	diaphyse	Ind.	dans l'axe	Cir.	Rect.	B3	est	
5879 2	Frag. O		mésial	C		3,5	3							os	os long	diaphyse	Ind.	dans l'axe	Ind.	Ovale	B3	est	
5881	OP	ind	dist.	B	42	7,5	4,5						13	os	os long	diaphyse	Ind.	dans l'axe	Ovale	Ovale	B3	est	
5884	Frag. O		prox.	C	65									os	MTP	ép. Dist.	Daim	dans l'axe	Ind.	Ind.	B3	est	
5886	OP	ind	dist.	C	33	7	4							os	os long	diaphyse	Ind.	dans l'axe	Cir.	Ovale	II	ouest	
5895	OP	ind	dist.	C	52,5	12	8							os	os long	diaphyse	Ind.	dans l'axe	Cir.	CC	B3	est	
5896	OP	IV.B	dist.	B	143	15	7,5						16	os	os long	diaphyse	Daim	dans l'axe	Ovale	CC	C	est	
5905	Frag. O		mésial	C										os	os long	diaphyse	Ind.	dans l'axe	Ind.	Ind.	B3	est	
5907	OP	ind	dist.	C	40	4	2							os	os long	diaphyse	Ind.	dans l'axe	Ovale	Ovale	C	est	
5922	OT	IX.A	subentier	C	81	13	5							os	os long	diaphyse	Ind.	dans l'axe	Ovale	CC	II	ouest	
5935	Frag. O		mésial	C		12	4							os	os long	diaphyse	Ind.	dans l'axe	Ind.	CC	C	est	
5951	OP	ind	dist.	C	30									os	os long	diaphyse	Ind.	courbe	Cir.	Ovale	II	ouest	
5956 1	OP	IV.A.1.1	subentier	B	86	8	4						14	os	os long	diaphyse	Ind.	dans l'axe	Ovale	Rect.	B3	est	
5956 2	Frag. O		mésial	C										os	os long	diaphyse	Ind.	dans l'axe	Ind.	Ind.	B3	est	
5961	Frag. O		prox.	C	63									os	MTC	ép. Dist.	Daim	dans l'axe	Ind.	Ind.	B3	est	
5964	OT	ind	dist.	C				6	2					os	os long	diaphyse	Ind.	dans l'axe	Ind.	Ind.	II	ouest	
5965	Frag. O		mésial	C										os	os long	diaphyse	Ind.	dans l'axe	Ind.	CC	II	ouest	
5966	OT	ind	dist.	C	30	12	8	5	3					os	os long	diaphyse	Ind.	dans l'axe	Ind.	Cir.	C	est	
5971	Aiguille	ind	dist.	B	52	4	2							os	Ind.	diaphyse	Ind.	dans l'axe	Ind.	Rect.	B4	est	
5987	Frag. O		ind.	C	37	6	3							os	os long	diaphyse	Ind.	dans l'axe	Ind.	Ovale	B3	est	
6002	Frag. O		mésial	C		6	4							os	os long	diaphyse	Ind.	dans l'axe	Ind.	CC	III	ouest	
6007 1	OP	III.B.3	entier	B	119	6	3						7	os	MTP	ép. Prox.	Ind.	dans l'axe	Ovale	Rect.	B4	est	
6007 2	OP	ind	dist.	B	40	8	7						7	os	os long	diaphyse	Ind.	dans l'axe	Cir.	CC	B4	est	
6011 1	OT	ind	dist.	B	27	10	7	5	3					os	os long	diaphyse	Ind.	dans l'axe	Ovale	CC	II	ouest	
6011 2	Frag. O		mésial	B		6	4							os	os long	diaphyse	Ind.	dans l'axe	Ind.	Ovale	II	ouest	
6011 3	Aiguille	ind	dist.	C	32	2				2,5	1,5			os	Ind.	diaphyse	Ind.	dans l'axe	Ind.	Cir.	II	ouest	
6015	OP	ind	dist.	C	104	9	5							os	os long	diaphyse	Ind.	dans l'axe	Ind.	Rect.	C	est	
6025	Aiguille	ind	mésial	C								1		os	Ind.	diaphyse	Ind.	dans l'axe	Ind.	Cir.	II	ouest	

N°	Catégorie	Type	Frag.	Etat	L.T	I.T	ép. T	I.Taill.	ép. Taill.	L.PP chas	ép.PP chas	L.chas	Cal.	Mat.1ère	Partie anatomique	Espèce	Orient. PD	Sect. PD	Sect. PM	Niveau	Secteur
					(mm)																
6030	OP	ind	dist.	C	40	7	5							os	os long	Ind.	dans l'axe	Rect.	PC	B4	est
6046	Frag. O		ind.	C										os	côte	Capriné	dans l'axe	Ind.	Nat.	C	est
6051	1 Aiguille	ind	mésial	C	21	2,5								os	Ind.	Ind.	dans l'axe	Ind.	Rect.	II	ouest
6051	2 OP	ind	dist.	C	27,5	6,5	2,5							os	os long	Ind.	dans l'axe	Ovale	Ovale	II	ouest
6068	Aiguille V.A.2		entier	B	68							2		os	os long	Ind.	dans l'axe	Ind.		II	ouest
6078	OP	ind	dist.	C	49	6	3			4	2,5			os	os long	Ind.	déjetée D	Ind.	Rect.	II	ouest
6081	OP	ind	dist.	C										os	os long	Ind.	dans l'axe	Ovale	Ovale	Ic	ouest
6083	1 OP	ind	dist.	C	42									os	os long	Ind.	dans l'axe	Ovale	Trian.	B3	est
6083	2 poss. EB		prox.	B	31	4					1			os	Ind.	Ind.	dans l'axe	Ind.	Rect.	B3	est
6084	OP	ind	dist.	C	37	7	6							os	os long	Ind.	dans l'axe	Cir.	Ind.	B3	est
6099	Aiguille	ind	mésial	B										os	Ind.	diaphyse	dans l'axe	Ind.	Cir.	II	ouest
6106	Frag. O		ind.	C										os	os long	Ind.	dans l'axe	Ind.	CC	II	ouest
6136	OP	IV.B	dist.	B	32	6	5						25	os	os long	Ind.	dans l'axe	Ovale	Ind.	II	ouest
6203	Frag. O		mésial	C		4	3,5							os	os long	Ind.	dans l'axe	Ind.	Ovale	II	ouest
6206	Frag. O		prox.	C										os	MTP	ép. Dist.	dans l'axe	Ind.	Ind.	II	ouest
6209	Frag. O		mésial	B		14	6							os	os long	Ind.	dans l'axe	Ind.	CC	II	ouest
6225	Aiguille	V.B.1	prox.	B	28					1,5	0,5			os	Ind.	diaphyse	dans l'axe	Ind.	Cir.	B4	est
6233	Frag. O		mésial	B		4	4							os	os long	Ind.	dans l'axe	Ind.	Cir.	B3	est
6245	Aiguille	V.B.2.1	prox.	B							1,5			os	Ind.	diaphyse	dans l'axe	Ind.	Ovale	B5	est
6253	OP	ind	dist.	C	82									os	os long	Ind.	dans l'axe	Cir.	CC	B5	est
6258	OP	ind	dist.	C	43,5	7	3,5							os	os long	Ind.	dans l'axe	Ovale	Rect.	B3	est
6273	1 OP	IV.B	entier	B	101	14	6						16	os	os long	Daim	dans l'axe	Ovale	CC	B3	est
6277	OP	III.A.2	entier	B	48	10	5						20	os	MTP	ép. Dist.	dans l'axe	Ovale	Ovale	B4	est
6281	OP	ind	dist.	B		7,5	3							os	os long	Ind.	dans l'axe	Cir.	CC	HS	
6292	Aiguille	ind	dist.	B	22									os	Ind.	diaphyse	dans l'axe	Ind.	Cir.	B3	est
6301	OP	ind	dist.	C	55	18,5	8,5							os	os long	Ind.	dans l'axe	Ovale	CC	B3	est
6307	Frag. O		mésial	B		12	6							os	os long	Ind.	dans l'axe	Ind.	CC	B3	est
6309	1 Aiguille	ind	dist.	C	22	2								os	os long	Ind.	dans l'axe	Ind.	CC	B3	est
6309	2 OP	IV.B	dist.	C	40	5	4							os	Ind.	diaphyse	dans l'axe	Ind.	Cir.	B5	est
6309	3 Aiguille	V.B.1	prox.	B	25	2					1			os	os long	Ind.	dans l'axe	Ovale	CC	B5	est
6324	OP	ind	dist.	C	51	6	4					2		os	Ind.	diaphyse	dans l'axe	Ind.	Ovale	B5	est
6328	OP	IV.B	dist.	C	66	15,5	9							os	os long	Ind.	dans l'axe	Ovale	Ovale	B5	est
6330	1 Frag. O		prox.	C	42	15	7							os	MTT D	ép. Prox.	dans l'axe	Ind.	Nat.	B4	est
6330	2 Frag. O		prox.	C	52	15								os	MTP	ép. Dist.	dans l'axe	Ind.	Ind.	II	ouest
6330	3 Frag. O		mésial	C		14	8							os	os long	Ind.	dans l'axe	Ind.	CC	II	ouest

N°	Catégorie	Type	Frag.	Etat	L.T	I.T	ép. T	I.Taill.	ép. Taill.	L.PP chas	ép.PP chas	L.chas	Cal.	Mat. 1ère	Partie anatomique	Espèce	Orient. PD	Sect. PD	Sect. PM	Niveau	Secteur
									(mm)												
6333	Frag. O		mésial	B		7	3,5							os	os long	Ind.	dans l'axe	Ind.	Ovale	B3	est
6334	Frag. O		mésial	B		8	3					1		os	os long	Ind.	dans l'axe	Ind.	CC	B3	est
6334	Aiguille	ind	mésial	B										os	Ind.	diaphyse	dans l'axe	Ind.	Cir.	B3	est
6342	Frag. O		mésial	C	70									os	os long	Ind.	dans l'axe	Ind.	CC	I	ouest
6355	OP	III.B.1	subentier	C	133	13	6							os	MTC G	ép. Prox.	dans l'axe	Ovale	CC	B4	est
6357	Frag. O		prox.	C	57	10	5							os	MIT	ép. Dist.	dans l'axe	Ind.	Rect.	B5	est
6360	Frag. O		mésial	B		9,5	4							os	os long	diaphyse	dans l'axe	Ind.	CC	II	ouest
6368	OT	ind	dist.	C	37	7	5							os	os long	diaphyse	dans l'axe	Ind.	CC	B4	est
6395	Frag. O		mésial	C										os	os long	diaphyse	dans l'axe	Ind.	Ind.	III	ouest
6397	Frag. O		prox.	C	39	7								os	MTP	ép. Dist.	dans l'axe	Ind.	PC	II	ouest
6407	OP	ind	dist.	B	65	11	5							os	os long	diaphyse	dans l'axe	Cir.	CC	B5	est
6417	Aiguille	ind	mésial	B								1,5		os	Ind.	diaphyse	dans l'axe	Ind.	Cir.	II	ouest
6417	Aiguille	ind	mésial	C										os	Ind.	diaphyse	dans l'axe	Ind.	Ovale	II	ouest
6420	OP	ind	dist.	B	51	8	6,5						28	os	os long	diaphyse	dans l'axe	Cir.	CC	B4	est
6425	Frag. O		mésial	C										os	os long	diaphyse	dans l'axe	Ind.	Ovale	B4	est
6429	Aiguille	ind	mésial	B										os	Ind.	diaphyse	dans l'axe	Ind.	Cir.	II	ouest
6433	Aiguille	ind	dist.	B										os	Ind.	diaphyse	dans l'axe	Ind.	Cir.	II	ouest
6434	OP	ind	dist.	C	48	5	5							os	os long	diaphyse	dans l'axe	Cir.	Ovale	Ic	ouest
6435	OP	ind	dist.	B	58,5	15	8							os	os long	diaphyse	dans l'axe	Cir.	CC	B4	est
6449	OP	ind	dist.	C	33	7	5							os	os long	diaphyse	dans l'axe	Ind.	Ovale	B5	est
6455	Frag. O		mésial	B										os	os long	diaphyse	dans l'axe	Ind.	Ind.	II-I	ouest
6457	Frag. O		prox.	C	52									os	MTP	ép. Dist.	dans l'axe	Ind.	Nat.	II	ouest
6458	1 OT	ind	dist.	B	35	12	6	4,5	2,5					os	os long	diaphyse	dans l'axe	Rect.	Ovale	II-I	ouest
6458	2 Frag. O		prox.	B	46	16	14							os	MTT	ép. Dist.	dans l'axe	Ind.	Nat.	II-I	ouest
6471	OT	ind	dist.	B	78	14	8	6	3					os	os long	diaphyse	dans l'axe	Ovale	CC	II	ouest
6472	Aiguille	ind	mésial	B										os	Ind.	diaphyse	dans l'axe	Ind.	Cir.	II	ouest
6473	OP	ind	dist.	C		8	4							os	os long	diaphyse	dans l'axe	Ind.	Rect.	II	ouest
6487	Aiguille	ind	dist.	B	13	2								os	Ind.	diaphyse	dans l'axe	Ind.	Cir.	AB	est
6498	1 OP	ind	dist.	C	43	8	5							os	os long	diaphyse	dans l'axe	Ind.	Ovale	C	est
6503	1 Frag. O		mésial	B		14	5							os	os long	diaphyse	dans l'axe	Ind.	Ovale	II	ouest
6503	2 Aiguille	V.A.1	prox.	B	50	3				2,5	1	1		os	Ind.	diaphyse	dans l'axe	Ind.	Cir.	II	ouest
6517	OP	ind	dist.	B	69	10	4,5							os	os long	diaphyse	dans l'axe	Cir.	Ovale	II	ouest
6526	Frag. O		prox.	C	60	14	11							os	MTT	ép. Dist.	dans l'axe	Ind.	Nat.	B3	est
6527	Frag. O		mésial	B										os	os long	diaphyse	dans l'axe	Ind.	Ind.	C	est
6533	OP	IV B	dist.	C										os	os long	diaphyse	dans l'axe	Ovale	CC	II	ouest

N°	Catégorie	Type	Frag.	Etat	L.T	I.T	ép. T	I.Taill.	ép. Taill.	L.PP chas	ép.PP chas	L.chas	Cal.	Mat. 1ère	Partie anatomique	Espèce	Orient. PD	Sect. PD	Sect. PM	Niveau	Secteur
									(mm)												
6537	Frag. O		mésial	C		6	4							os	os long	diaphyse	Ind.	Ind.	Ind.	II	ouest
6544	OP	III.B.1	subentier	C	45	11								os	MTT G	ép. Prox.	Capriné	Cir.	Cir.	II	ouest
6548	1 Frag. O		mésial	C	43	11,5	4							os	os long	diaphyse	Ind.	Ind.	CC	II	ouest
6548	2 Frag. O		mésial	C	26	12	8							os	os long	diaphyse	Ind.	Ind.	Ind.	II	ouest
6561	1 Aiguille	V.A.1	entier	B	43					2,5	1			os	os long	diaphyse	Ind.	Ind.	Ind.	II	ouest
6561	2 OP	ind	dist.	B	28	10	5,5							os	os long	diaphyse	Ind.	Ovale	CC	II	ouest
6562	1 Frag. O		prox.	C	55	15	11							os	MTP	ép. Dist.	Daim	Ind.	CC	II	ouest
6562	2 OP	ind	dist.	C	47	10	4							os	os long	diaphyse	Ind.	Rect.	CC	II	ouest
6563	OP	ind	dist.	B	34	9,5	4						22	os	os long	diaphyse	Ind.	Cir.	CC	II	ouest
6578	Aiguille	ind	dist.	B										os	Ind.	diaphyse	Ind.	Ind.	Cir.	B3	est
6585	1 Frag. O		mésial	B										os	ulna	diaphyse	Ind.	Ind.	Nat.	II	ouest
6585	2 OP	ind	dist.	B		10	5							os	os long	diaphyse	Ind.	Ovale	CC	II	ouest
6608	OP	ind	dist.	C	80	11	8							os	os long	diaphyse	Ind.	Cir.	CC	B5	est
6620	OP	ind	dist.	B	88	12	6						38	os	os long	diaphyse	Ind.	Ovale	CC	C	est
6630	OP	ind	dist.	C										os	os long	diaphyse	Ind.	Ovale	Ind.	B4	est
6637	Frag. O		prox.	B		10	5							os	os long	diaphyse	Ind.	Ind.	Ovale	C	est
6641	Frag. O		prox.	C	31	6	4							os	MTT	ép. Prox.	Mouton	Ind.	Ind.	II	ouest
6652	Frag. O		dist.	B	60	14	5,5							os	os long	diaphyse	Ind.	CC	CC	II	ouest
6653	OP	ind	dist.	B	44	18	5							os	os long	diaphyse	Ind.	Cir.	CC	II	ouest
6668	OP	ind	dist.	B	12	9	6						24	os	os long	diaphyse	Ind.	Cir.	CC	III	ouest
6683	OP	ind	dist.	C	26	6	4,5							os	os long	diaphyse	Ind.	Cir.	Cir.	II	ouest
6685	Frag. O		prox.	C	59	17	12,5							os	MTT	ép. Dist.	Daim	Ind.	Nat.	II-I	ouest
6686	1 Aiguille	ind	dist.	B	18		1,5							os	Ind.	diaphyse	Ind.	Ind.	Cir.	II	ouest
6686	2 Aiguille	ind	dist.	B	14							1,5		os	Ind.	diaphyse	Ind.	Ind.	Cir.	II	ouest
6708	OP	ind	dist.	C	40	6	6							os	os long	diaphyse	Ind.	Cir.	Cir.	II	ouest
6725	OP	ind	dist.	B	55	11	7						22	os	os long	diaphyse	Ind.	Cir.	Ovale	B5	est
6726	Frag. O		mésial	B	41									os	os long	diaphyse	Ind.	Ind.	Ind.	C	est
6731	1 Frag. O		prox.	C	70	17	9							os	os long	diaphyse	Daim	Ind.	CC	II	ouest
6731	2 Frag. O		mésial	C		7	3							os	MTT	ép. Dist.	Daim	Ind.	CC	II	ouest
6731	3 Frag. O		mésial	C		7	5							os	os long	diaphyse	Ind.	Ind.	Ind.	II	ouest
6740	Aiguille	ind	prox.	B						2,5				os	os long	diaphyse	Ind.	Ind.	Cir.	II	ouest
6747	1 Frag. O		mésial	B										os	os long	diaphyse	Ind.	Ind.	Ind.	II	ouest
6747	2 OP	ind	dist.	C										os	os long	diaphyse	Ind.	Ind.	Ind.	II	ouest
6749	Aiguille	ind	mésial	C										os	Ind.	diaphyse	Ind.	Ind.	Cir.	II	ouest
6766	1 OP	III.B.1	subentier	B	37,5	12,5	5						4	os	MTT G	ép. Prox.	Daim	Cir.	CC	II	ouest

N°	Catégorie	Type	Frag.	Etat	L.T	I.T	ép. T	I.Taill.	ép. Taill.	L.PP chas	ép.PP chas	L.chas	Cal.	Mat. 1ère	Partie anatomique	Espèce	Orient. PD	Sect. PD	Sect. PM	Niveau	Secteur
								(mm)													
6766	2 Aiguille	ind	dist.	B			1,5					1,5		os	Ind.	Ind.	dans l'axe	Ind.	Cir.	II	ouest
6768	poss. EB		ind.	B		4	3,5					os		os	Ind.	Ind.	dans l'axe	Ind.	Ovale	II	ouest
6778	OP	ind	dist.	C		6	4					os		os	os long	Ind.	dans l'axe	Cir.	Rect.	II-I	ouest
6781	OP	ind	dist.	C	49	4	4					os		os	os long	Ind.	dans l'axe	Ovale	Ind.	B4	est
6785	1 Divers	XII.A.2	dist.	B								os		os	Ind.	Ind.	dans l'axe	Ind.	Ind.	B4	est
6785	2 OP	ind	dist.	C	80	15	7					os		os	os long	Daim	dans l'axe	Cir.	CC	B4	est
6785	3 Frag. O		subentier	B	87	14	7					os		os	MTP	Daim	dans l'axe	Ovale	Ovale	B4	est
6785	4 Frag. O		mésial	B								os		os	MTP	Ind.	dans l'axe	Ind.	Nat.	B4	est
6787	Aiguille	ind	subentier	C	77	4	5,5					4		os	Ind.	Ind.	dans l'axe	Ind.	Cir.	B4	est
6788	Aiguille	ind	mésial	C										os	Ind.	Ind.	dans l'axe	Ind.	Cir.	B4	est
6798	1 EB		prox.	B	49	3						os		os	Ind.	Ind.	dans l'axe	Ind.	Cir.	II	ouest
6798	2 EB		entier	B	56					3	1,5	os		os	Ind.	Ind.	dans l'axe	Ind.	Cir.	II	ouest
6807	1 Frag. O		prox.	B	58	12				1		os		os	MTT	Daim	dans l'axe	Ind.	Ind.	II	ouest
6807	2 OP	III.A.2	subentier	B	62	11,5	8					12		os	MTP	Capriné	dans l'axe	Cir.	CC	II	ouest
6807	3 OP	ind	dist.	B	41	8	4					9		os	os long	Ind.	dans l'axe	Cir.	CC	II	ouest
6807	4 OP	ind	dist.	B	60,5	14	8					os		os	os long	Ind.	dans l'axe	Ovale	CC	II	ouest
6812	1 Divers	XII.A.1	ind.	C	40	10	3					os		os	os long	Ind.	dans l'axe	Ind.	Ind.	B4	est
6812	2 OT	VIII.A.2	entier	B	108	17	9	6,5	3,5			os		os	MTT	Daim	dans l'axe	Ovale	CC	B4	est
6906	1 OP	ind	dist.	B								os		os	os long	Ind.	dans l'axe	Ind.	Rect.	B4	est
6913	1 Aiguille	V.B.2.2	prox.	C	55	3,5	2,5			4	0,5	os		os	Ind.	Ind.	dans l'axe	Ind.	Ovale	B4	est
6941	Aiguille	ind	mésial	B								os		os	Ind.	Ind.	dans l'axe	Ind.	Cir.	B5	est
6957	OP	IV.A.1	entier	B	68	6	3					16		os	os long	Ind.	dans l'axe	Ovale	Ovale	B5	est
6963	Aiguille	ind	dist.	C	48							os		os	Ind.	Ind.	dans l'axe	Cir.	Cir.	II	ouest
6965	Aiguille	V.A.1	prox.	B	36	2				2,5	1	os		os	Ind.	Ind.	dans l'axe	Ind.	Cir.	II	ouest
6979	1 Aiguille	ind	mésial	B								os		os	Ind.	Ind.	dans l'axe	Ind.	Cir.	II	ouest
6980	1 EB		prox.	C	21	3						os		os	Ind.	Ind.	dans l'axe	Ind.	Ovale	II	ouest
6980	2 Frag. O		mésial	C								os		os	os long	Ind.	dans l'axe	Ind.	Ind.	II	ouest
6993	Frag. O		dist.	B	37	7	4					os		os	Ind.	Ind.	dans l'axe	Ind.	Ovale	B5	est
6998	Frag. O		mésial	B	53							os		os	os long	Ind.	dans l'axe	Ind.	CC	C	est
7003	1 Frag. O		mésial	B								os		os	os long	Ind.	dans l'axe	Ind.	Ind.	II	ouest
7003	2 Aiguille	ind	mésial	B								os		os	os long	Ind.	dans l'axe	Ind.	Ovale	II	ouest
7003	3 EB		entier	B	58					4	2	os		os	Ind.	Ind.	dans l'axe	Ind.	Ovale	II	ouest
7019	OP	ind	dist.	C		10	5					os		os	os long	Capriné	dans l'axe	Ind.	CC	C	est
7036	1 OP	ind	dist.	B	90	6,5	5					os		os	os long	Ind.	dans l'axe	Cir.	Rect.	C	est
7036	2 OP	ind	dist.	C	55	11	4					os		os	os long	Ind.	dans l'axe	Ovale	CC	C	est

N°	Catégorie	Type	Frag.	Etat	L.T	I.T	ép. T	I.Taill.	ép. Taill.	I. PP chas	ép. PP chas	I.chas	Cal.	Mat. 1ère	Partie anatomique	Espèce	Orient. PD	Sect. PD	Sect. PM	Niveau	Secteur	
					(mm)																	
7041	1	OP	ind																			
7041	2	Aiguille Frag. O	V.A.1																			
7049																						
7059		OP	IV.B																			
7082	1	Aiguille	ind																			
7082	2	EB																				
7084		OP	ind																			
7087	1	Aiguille	ind																			
7087	2	OP	IV.B																			
7093		Frag. O																				
7128		OP	ind																			
7148	1	Aiguille	ind																			
7148	2	OP	IV.B																			
7161	1	Frag. O																				
7161	2	Frag. O																				
7163		OP	IV.B																			
7173		Aiguille	ind																			
7174		Aiguille	ind																			
7205		OP	ind																			
7206		OP	ind																			
7223		OP	IV.B																			
7225		Aiguille	V.A.2																			
7238		Aiguille	ind																			
7240		OP	ind																			
7241		Frag. O																				
7244		Frag. O																				
7246		Frag. O																				
7249		Frag. O																				
7251	1	Frag. O																				
7251	2	OP	ind																			
7280		OP	III.B.1																			
7302		Aiguille	V.A.1																			
7314		Aiguille	ind																			
7319		Aiguille	ind																			
7327		OP	IV.B																			

N°	Catégorie	Type	Frag.	Etat	L.T	I.T	ép. T	I.Taill.	ép. Taill.	L.PP chas	ép.PP chas	I.chas	Cal.	Mat. 1ère	Partie anatomique	Espèce	Orient. PD	Sect. PD	Sect. PM	Niveau	Secteur
									(mm)												
7555	Frag. O		prox.	B	92	28	14							os	MITT D	Daim	dans l'axe	Ind.	CC	C	est
7581	PDD			C										os	MTC D	Capriné	dans l'axe	Ind.	Ind.	C	est
7581	OP	ind	dist.	C										os	os long	Ind.	dans l'axe	Cir.	Ind.	C	est
7594	Frag. O		mésial	B		3	3							os	os long	Ind.	dans l'axe	Ind.	Cir.	II	ouest
7601	OP	ind	dist.	B	26	7	4,5							os	os long	Ind.	dans l'axe	Ovale	Ovale	II	ouest
7612	Aiguille	ind	mésial	C										os	Ind.	Ind.	dans l'axe	Ind.	Rect.	C	est
7650	Frag. O		prox.	B	97	10	5							os	MTC G	Capriné	dans l'axe	Ind.	CC	III	ouest
7651	Frag. O		mésial	B										os	os long	Ind.	dans l'axe	Ind.	Ind.	III	ouest
7665	Aiguille	V.B.1	entier	B	40									os	os long	Ind.	Ind.	Ind.	Cir.	II	ouest
7666	OP	ind	dist.	B	57	8	4,5							os	os long	Ind.	dans l'axe	Ovale	Ovale	III	ouest
7670	Aiguille	ind	dist.	B									22	os	Ind.	Ind.	dans l'axe	Rect.	Rect.	II	ouest
7670	Aiguille	ind	mésial	B										os	Ind.	Ind.	dans l'axe	Ind.	Cir.	II	ouest
7680	Frag. O		mésial	C										os	os long	Ind.	dans l'axe	Ind.	Ind.	C	est
7682	Frag. O		prox.	B	54	6	5							os	MITT G	Daim	dans l'axe	Ind.	Rect.	III	ouest
7684	OP	IV.A.1	entier	C	90	8	5,5							os	os long	Ind.	dans l'axe	Cir.	Ovale	II	ouest
7694	OP	ind	dist.	B	91	10	5						16	os	os long	Ind.	dans l'axe	Cir.	Ovale	II	ouest
7695	OP	ind	dist.	B	162	18	8						20	os	os long	Daim	dans l'axe	Cir.	CC	C	est
7698	Aiguille	ind	dist.	B	27,5		1,5							os	Ind.	Ind.	dans l'axe	Ind.	Cir.	II	ouest
7700	Frag. O		mésial	C										os	os long	Ind.	dans l'axe	Ind.	Ind.	III	ouest
7701	OP	ind	dist.	B	29	6,5	5							os	os long	Ind.	dans l'axe	Ind.	Ind.	II	ouest
7709	Aiguille	ind	mésial	B										os	Ind.	Ind.	dans l'axe	Ind.	Cir.	III	ouest
7710	Frag. O		prox.	B	128	8	8							os	MITT	Capriné	dans l'axe	Ind.	Trian.	III	ouest
7711	Frag. O		mésial	C		9	6							os	os long	Ind.	dans l'axe	Ind.	Rect.	III	ouest
7712	1 OP	IV.B	dist.	C	65	13	9							os	os long	Ind.	dans l'axe	Ovale	Nat.	III	ouest
7712	2 OP	IV.B	dist.	C	54	5	3,5							os	os long	Ind.	dans l'axe	Ovale	Ind.	III	ouest
7724	OP	ind	dist.	B	5	5	4							os	os long	Ind.	dans l'axe	Cir.	Carrée	III	ouest
7730	1 Aiguille	V.C.1	prox.	B	39	2								os	Ind.	Ind.	dans l'axe	Ind.	Cir.	IV?	ouest
7730	2 PDD			B										os	MITT	Daim	dans l'axe	Ind.	Ind.	IV?	ouest
7731	OT	IX.B	dist.	C	53									os	os long	Ind.	dans l'axe	Trian.	Nat.	III	ouest
7735	1 OP	ind	dist.	B	42	5,5	4,5							os	os long	Ind.	dans l'axe	Ovale	PC	C	est
7737	1 PDD			C	34									os	MTP	Capriné	dans l'axe	Ind.	Ind.	III	ouest
7737	2 Frag. O		prox.	C										os	os long	Ind.	dans l'axe	Ind.	Ind.	III	ouest
7740	1 Frag. O		prox.	B	47	20	6							os	MTP	Daim	dans l'axe	Ind.	CC	III	ouest
7740	2 OP		dist.	B	30	7,5	5							os	os long	Ind.	dans l'axe	Trian.	CC	III	ouest
7740	3 Frag. O	ind	mésial	B	24									os	os long	Ind.	dans l'axe	Ind.	Ind.	III	ouest

N°	Catégorie	Type	Frag.	Etat	L.T	I.T	ép. T	I.Taill.	ép. Taill.	(mm)			I.chas	Cal.	Mat. 1ère	Partie anatomique	Espèce	Orient. PD	Sect. PD	Sect. PM	Niveau	Secteur
8050	OP	ind	dist.	C		8	8								os	os long	Ind.	dans l'axe	Cir.	Trian.	D2	est
8069	Aiguille	V.A.1	prox.	B											os	Ind.	Ind.	dans l'axe	Ind.	Cir.	C	est
8070	OP	ind	dist.	C											os	os long	Ind.	dans l'axe	Ind.	CC	C	est
8072	OP	IV.B	dist.	B		5	3								os	os long	Ind.	dans l'axe	Ind.	CC	B5	est
8081	Frag. O		mésial	B											os	os long	Ind.	dans l'axe	Ind.	Ind.	C	est
8110	Frag. O		prox.	B		7	5,5								os	MTT	Mouton	dans l'axe	Cir.	B5		est
8111	OP	ind	dist.	C		8	4								os	os long	Ind.	courbe	Ovale	C	est	
8116	Frag. O		mésial	C		5	3								os	os long	Ind.	dans l'axe	Ind.	Ind.	C	est
8132	OP	IV.B	entier	B		6	3								os	os long	Ind.	dans l'axe	Ovale	CC	C	est
8135	Frag. O		mésial	B											os	os long	Ind.	dans l'axe	Ind.	Ind.	C	est
8137	Aiguille	V.B.2.2	entier	B		5	2,5								os	os long	Ind.	dans l'axe	Cir.	PC	C	est
8139	Aiguille	ind	dist.	B											os	Ind.	Ind.	dans l'axe	Ind.	Cir.	C	est
8140	OP	ind	dist.	B		12	8								os	os long	Ind.	dans l'axe	Cir.	Cir.	D	est
8148	Frag. O		prox.	C		13	7								os	MTC	Daim	dans l'axe	Ind.	Ind.	C	est
8149	Frag. O		ind.	B		18	13								os	MTP	Capriné	dans l'axe	Ind.	Cir.	C	est
8151	Frag. O		mésial	B											os	os long	Ind.	dans l'axe	Ind.	Ind.	C	est
8157	OP	ind	dist.	B		14	10								os	os long	Daim	dans l'axe	Cir.	Cir.	C	est
8170	Frag. O		prox.	C		17	8								os	MTC	Daim	dans l'axe	Ind.	CC	C	est
8171	OP	ind	dist.	C		8	5,5								os	os long	Ind.	dans l'axe	Ovale	CC	C	est
8199	OP	ind	dist.	C											os	os long	Ind.	dans l'axe	Ind.	Rect.	C	est
8204	Frag. O		ind.	B											os	os long	Ind.	dans l'axe	Ind.	Ind.	C	est
8232	Frag. O		mésial	B											os	os long	Ind.	dans l'axe	Ind.	Ind.	C	est
8242	Frag. O		mésial	C		12	9								os	os long	Ind.	dans l'axe	Ind.	Ind.	C	est
8247	Frag. O		mésial	B		7	3								os	os long	Ind.	dans l'axe	Ind.	Ovale	C	est
8256	Frag. O		mésial	B											os	os long	Ind.	dans l'axe	Ind.	Ind.	C	est
8259	OP	IV.B	dist.	B		10	5,5								os	os long	Ind.	dans l'axe	Rect.	CC	C	est
8270	Frag. O		mésial	B											os	os long	Ind.	dans l'axe	Ind.	Ind.	C	est
8274	Frag. O		mésial	B											os	os long	Ind.	dans l'axe	Ind.	Ind.	C	est
8282	Frag. O		mésial	C		9	7,5								os	os long	Ind.	dans l'axe	Ind.	Ind.	D-E	est
8291	Aiguille	ind	mésial	B		2									os	Ind.	Ind.	dans l'axe	Ind.	Cir.	D2	est
8299	Frag. O		prox.	B		9	3,5								os	MTP	Capriné	dans l'axe	Ind.	Ovale	D	est
8307	Frag. O		mésial	B		9	6								os	os long	Ind.	dans l'axe	Ind.	Ind.	C	est
8319	Aiguille	V.C.1	prox.	B											os	Ind.	Ind.	dans l'axe	Ind.	Cir.	D-E	est
8354	Frag. O		mésial	B		20									os	os long	Ind.	dans l'axe	Ind.	Ind.	C	est
8355	Frag. O		mésial	B											os	os long	Ind.	dans l'axe	Ind.	Ind.	D2	est

N°	Catégorie	Type	Frag.	Etat	L.T	I.T	ép. T	I.Taill.	ép. Taill.	L.PP chas	ép.PP chas	I.chas	Cal.	Mat. 1ère	Partie anatomique	Espèce	Orient. PD	Sect. PD	Sect. PM	Niveau	Secteur	
					(mm)																	
8360	OP	ind	dist.	B	13									os	os long	diaphyse	Ind.	dans l'axe	Cir.	Rect.	D-E	est
8368	Frag. O		mésial	B										os	os long	diaphyse	Ind.	dans l'axe	Ind.	Ind.	D1	est
8376	1 EB		prox.	B	32	4				4,5	2			os	Ind.	diaphyse	Ind.	dans l'axe	Ind.	Ovale	D2	est
8376	2 OP	III.A.2	entier	B	100	14	9						78	os	MTP	ép. Dist.	Daim	dans l'axe	Ovale	CC	D2	est
8381	OP	IV/B	dist.	B	43	9	5						25	os	os long	diaphyse	Ind.	dans l'axe	Trian.	CC	C	est
8404	Frag. O		mésial	B		9,5	5							os	os long	diaphyse	Ind.	dans l'axe	Ind.	Trian.	D1	est
8406	Frag. O		mésial	B	27	4	3,5							os	os long	diaphyse	Ind.	dans l'axe	Ind.	Ovale	C	est
8411	Frag. O		mésial	C										bois	and.		Daim	dans l'axe	Ind.	Cir.	D2	est
8416	Aiguille	ind	dist.	B										os	Ind.	diaphyse	Ind.	dans l'axe	Ind.	Cir.	C	est
8419	OP	ind	dist.	B	24	4	2,5							os	os long	diaphyse	Ind.	dans l'axe	Ind.	Ovale	E	est
8423	Frag. O		mésial	C										os	os long	diaphyse	Ind.	dans l'axe	Ind.	Ind.	D1	est
8425	Frag. O		mésial	B		8	3							os	os long	diaphyse	Ind.	dans l'axe	CC	D2	est	
8428	1 OP	ind	dist.	C	13									os	os long	diaphyse	Ind.	dans l'axe	Ind.	D1	est	
8428	2 OP	ind	dist.	C	75									os	os long	diaphyse	Ind.	dans l'axe	Cir.	D1	est	
8467	Frag. O		mésial	B										os	os long	diaphyse	Ind.	dans l'axe	Ind.	D2	est	
8470	1 Aiguille	V.A.1	prox.	A						3	1	1,5		os	Ind.	diaphyse	Ind.	dans l'axe	Ind.	Rect.	D-E	est
8470	2 Aiguille	ind	dist.	A										os	Ind.	diaphyse	Ind.	dans l'axe	Cir.	D-E	est	
8472	Frag. O		mésial	B										os	os long	diaphyse	Ind.	dans l'axe	Ind.	Rect.	D2	est
8485	Frag. O		mésial	B										os	os long	diaphyse	Ind.	dans l'axe	Ind.	D2	est	
8492	OP	ind	dist.	B	19	7	2						13	os	os plat	diaphyse	Ind.	dans l'axe	Rect.	Ovale	D1	est
8499	OP	IV/B	subentier	B	56,5	7,5	4						11	os	os long	diaphyse	Ind.	dans l'axe	Cir.	CC	F	est
8509	OP	ind	dist.	A	20	5	3,5							os	os long	diaphyse	Ind.	dans l'axe	Ind.	Cir.	D-E	est
8528	OP	ind	dist.	B	49	8	6							os	os long	diaphyse	Ind.	dans l'axe	Cir.	Cir.	D2	est
8543	Frag. O		mésial	B										os	os long	diaphyse	Ind.	dans l'axe	Ind.	Ind.	D-E	est
8548	1 OP	ind	dist.	C	39	9,5	4							os	os long	diaphyse	Ind.	dans l'axe	Ovale	Rect.	D1	est
8548	2 EB		entier	B	31	2,5	1,5			2,5	1			os	Ind.	diaphyse	Ind.	dans l'axe	Rect.	Rect.	D1	est
8552	OP	ind	dist.	C	41	6,5	4							os	os long	diaphyse	Ind.	dans l'axe	Cir.	Ovale	D	est
8556	Frag. O		mésial	B		6	4							os	os long	diaphyse	Ind.	dans l'axe	Ind.	Ovale	E2	est
8561	OP	ind	dist.	B	31,5	5	4							os	os long	diaphyse	Ind.	dans l'axe	Cir.	Rect.	D1	est
8590	Frag. O		mésial	C										os	os long	diaphyse	Ind.	dans l'axe	Ind.	Ind.	D2	est
8593	Aiguille	V.B.1	prox.	B						3	1	1,5		os	Ind.	diaphyse	Ind.	dans l'axe	Rect.	Rect.	D2	est
8596	Frag. O		prox.	C										os	MTP	ép. Dist.	Daim	dans l'axe	Ind.	D1	est	
8608	OP	ind	dist.	B	57,5	12,5	6,5						29	os	os long	diaphyse	Daim	dans l'axe	CC	D1	est	
8611	OP	ind	dist.	B		7	4							os	os long	diaphyse	Ind.	dans l'axe	Cir.	Ind.	D1	est
8717	Aiguille	V.A.1	prox.	B	18	2				3	2	2		os	Ind.	diaphyse	Ind.	dans l'axe	Ind.	Cir.	la	ouest

N°	Catégorie	Type	Frag.	Etat	L.T	I.T	ép. T	I.Taill.	ép. Taill.	L.PP chas	ép.PP chas	L.chas	Cal.	Mat. 1ère	Partie anatomique	Espèce	Orient. PD	Sect. PD	Sect. PM	Niveau	Secteur
								(mm)													
9368	Frag. O		mésial	B										os	os long	diaphyse	Ind.	dans l'axe	Ind.	C	est
9377	OP	ind	dist.	C	29	3,5	3,5							os	os long	diaphyse	Ind.	dans l'axe	Cir.	I	ouest
9380	OP	ind	dist.	C	53	9	6,5							os	os long	diaphyse	Ind.	dans l'axe	Ovale	Ib	ouest
9382	OP	IV.A.2	entier	B	94	4	4							os	os long	diaphyse	Ind.	dans l'axe	Cir.	Icc	ouest
9400	OP	III.A.2	subentier	B	80	16	9							os	MTT	ép. Dist.	Daim	dans l'axe	Cir.	HS	
9400	Frag. O		mésial	C	41	12,5	6,5							os	os long	diaphyse	Ind.	dans l'axe	Ind.	HS	
9400	OT	ind	dist.	B	43	15	7,5	5	3					os	os long	diaphyse	Ind.	dans l'axe	Ind.	HS	
9400	OP	ind	dist.	C										os	os long	diaphyse	Ind.	dans l'axe	Cir.	HS	
9403	OP	ind	dist.	C										os	os long	diaphyse	Ind.	dans l'axe	Ind.	HS	
9427	Aiguille	ind	mésial	B										os	os long	diaphyse	Ind.	dans l'axe	Cir.	2	ouest
9435	Frag. O		prox.	B	61	8	4							os	Ind.	diaphyse	Ind.	dans l'axe	Cir.	2	ouest
9445	OP	ind	dist.	B	66	7,5	4							os	MTP	ép. Prox.	Capriné	dans l'axe	Ind.	B5	est
9446	ind		dist.	C	8	2								os	os long	diaphyse	Ind.	dans l'axe	Cir.	C	est
9446	OP	ind	dist.	C	77	5	3,5							os	Ind.	diaphyse	Ind.	dans l'axe	Cir.	C	est
9452	OT	ind	dist.	C	42	14	6	2,5						os	os long	diaphyse	Ind.	dans l'axe	Ind.	C	est
9466	Frag. O		mésial	B										os	os long	diaphyse	Ind.	dans l'axe	Ind.	Ic	ouest
9477	PDD			C										os	os long	diaphyse	Ind.	dans l'axe	Ind.	I	ouest
9477	2 Divers	XI.B	entier	C	71									os	tibia	ép. Dist.	Capriné	dans l'axe	Ind.	2	ouest
9487	Divers	XI.B	entier	C	55									os	tibia	ép. Prox.	Capriné	dans l'axe	Ind.	2	ouest
9507	Aiguille	ind	dist.	B	16									os	tibia	ép. Prox.	Capriné	dans l'axe	Ind.	2	ouest
9513	Frag. O		prox.	C	60									os	Ind.	diaphyse	Ind.	dans l'axe	Cir.	Ic	ouest
9533	Frag. O		prox.	C	48	10	10							os	os long	diaphyse	Ind.	dans l'axe	Ind.	2	ouest
9542	Divers	XI.B	entier	C	68									os	MTT G	ép. Prox.	Daim	dans l'axe	Ind.	C	est
9558	1 Divers	XI.B	entier	C	53	17	16							os	tibia	ép. Prox.	Capriné	dans l'axe	Ind.	2	ouest
9558	2 PDD			C	53									os	tibia	ép. Prox.	Capriné	dans l'axe	Ind.	2	ouest
9558	3 Divers	XI.A.3	ind.	C	64	35								bois	and.	ép. Prox.	Capriné	dans l'axe	Ind.	2	ouest
9565	Frag. O		prox.	C	57									os	MTT	ép. Dist.	Daim	dans l'axe	Ind.	2	ouest
9572	ind.	ind	ind.	C										bois	merrain		Daim	dans l'axe	Ind.	2	ouest
9589	Aiguille	ind	mésial	C										os	Ind.	diaphyse	Ind.	dans l'axe	Ovale	Ic	ouest
9590	1 Frag. O		prox.	C										os	MTP	ép. Dist.	Daim	dans l'axe	Ind.	Ic	ouest
9590	2 Frag. O		mésial	C		15,5	6							os	os long	diaphyse	Ind.	dans l'axe	CC	Ic	ouest
9593	Frag. O		mésial	C										bois	and.		Daim	dans l'axe	Ind.	2	ouest
9600	Frag. O		mésial	C										os	os long	diaphyse	Ind.	dans l'axe	CC	2	ouest
9625	OT	ind	dist.	B	27	10	5	4,5	2					os	os long	diaphyse	Ind.	dans l'axe	CC	C	est
9636	1 Aiguille	ind	mésial	B										os	Ind.	diaphyse	Ind.	dans l'axe	Cir.	II	ouest

N°	Catégorie	Type	Frag.	Etat	L.T	I.T	ép. T	I.Taill.	ép. Taill.	I.PP chas	ép.PP chas	I.chas	Cal.	Mat. 1ère	Partie anatomique	Espèce	Orient. PD	Sect. PD	Sect. PM	Niveau	Secteur	
9636	2	Frag. O	mésial	C		6	4							os	os long	diaphyse	Ind.	dans l'axe	Ind.	Ovale	II	ouest
9638		Frag. O	prox.	C	65	15	7,5							os	MTT	ép. Dist.	Daim	dans l'axe	Ind.	CC	II	ouest
9641		Frag. O	prox.	C	49	12	6							os	MTT	ép. Dist.	Daim	dans l'axe	Ind.	Ind.	2	ouest
9643		Aiguille	prox.	B	27									os	Ind.	diaphyse	Ind.	dans l'axe	Ind.	Cir.	II	ouest
9648	1	Frag. O	prox.	C	54	15	9							os	MTC D	ép. Prox.	Daim	dans l'axe	Ind.	CC	2	ouest
9648	2	OT	subentier	C	81	16	9							os	MTP	ép. Dist.	Ind.	déjetée G	Ind.	CC	2	ouest
9650		Frag. O	mésial	C		8	5							os	os long	diaphyse	Ind.	dans l'axe	Ind.	Ovale	2	ouest
9652	1	OP	subentier	B	48	10	5							os	MTP	ép. Dist.	Capriné	dans l'axe	Ind.	CC	II	ouest
9652	2	Aiguille	mésial	B										os	Ind.	diaphyse	Ind.	dans l'axe	Ind.	Cir.	II	ouest
9657		OP	dist.	C	27	6	4							os	Ind.	DI Aphyse	Ind.	dans l'axe	Ovale	Rect.	II	ouest
9669		Frag. O	mésial	C		8	4							os	os long	diaphyse	Ind.	dans l'axe	Ind.	CC	I?	ouest
9672		Aiguille	mésial	C		3	2							os	Ind.	diaphyse	Ind.	dans l'axe	Ind.	Ovale	surface	ouest
9675		Frag. O	prox.	C	49									os	MTP	ép. Dist.	Daim	dans l'axe	Ind.	Ind.	II	ouest
9687	1	OP	dist.	C	75	10,5	5,5							os	os long	diaphyse	Ind.	dans l'axe	Cir.	CC	II	ouest
9687	2	PDD		C	62	16	13,5							os	os long	diaphyse	Ind.	dans l'axe	Ind.	CC	II	ouest
9687	3	Frag. O	mésial	C										os	os long	diaphyse	Ind.	dans l'axe	Ind.	Ind.	II	ouest
9702		Frag. O	mésial	B		7	4,5							os	os long	diaphyse	Ind.	dans l'axe	Ind.	Ovale	2	ouest
9728		Frag. O	mésial	C		15	8							os	os long	diaphyse	Ind.	dans l'axe	Ind.	CC	2	ouest
9730		Frag. O	prox.	C	50									os	MTP	ép. Dist.	Daim	dans l'axe	Ind.	CC	II	ouest
9734	1	Aiguille	dist.	B										os	Ind.	diaphyse	Ind.	dans l'axe	Ind.	Cir.	D	est
9734	2	Frag. O	mésial	B		7	5							os	os long	diaphyse	Ind.	dans l'axe	Ind.	Ovale	D	est
9737		OP	dist.	C	67	16,5	7							os	os long	diaphyse	Ind.	dans l'axe	Ovale	CC	HS	
9746	1	Frag. O	prox.	C	58	20	12							os	MTP	ép. Dist.	Daim	dans l'axe	Ind.	Nat.	II	ouest
9746	2	OP	dist.	C	25	3	3							os	os long	diaphyse	Ind.	dans l'axe	Cir.	PC	II	ouest
9750		OP	dist.	B	25	3,5	2							os	os long	diaphyse	Ind.	dans l'axe	Ovale	Ovale	II	ouest
9755	OP	OP	dist.	B	44,5	4,5	3							os	os long	diaphyse	Ind.	dans l'axe	Rect.	Ovale	D2	
9764		Aiguille	dist.	B			1,5							os	Ind.	diaphyse	Ind.	dans l'axe	Ind.	Cir.	C	est
9783		Aiguille	mésial	C										os	Ind.	diaphyse	Ind.	dans l'axe	Ind.	Ind.	II	ouest
9787		Frag. O	prox.	C	58	9	5							os	MTT	ép. Dist.	Mouton	dans l'axe	Ind.	PC	II	ouest
9788		OP	dist.	C	40	7	5							os	os long	diaphyse	Ind.	dans l'axe	Cir.	CC	II	ouest
9789		Frag. O	prox.	B	38	15								os	MTT	ép. Dist.	Daim	dans l'axe	Ind.	Rect.	2	ouest
9792		OP	dist.	B										os	os long	diaphyse	Ind.	dans l'axe	Cir.	Ind.	C	est
9798		Aiguille	entier	B	55									os	os long	diaphyse	Ind.	dans l'axe	Ind.	Cir.	D2	est
9800		Aiguille	mésial	B										os	Ind.	diaphyse	Ind.	dans l'axe	Ind.	Cir.	C	est
9803		Frag. O	prox.	B	75	10								os	ulna	ép. Prox.	Capriné	dans l'axe	Ind.	Ovale	II	ouest

N°	Catégorie	Type	Frag.	Etat	L.T	I.T	ép. T	I.Taill.	ép. Taill.	L.PP chas	ép.PP chas	I.chas	Cal.	Mat.1ère	Partie anatomique	Espèce	Orient. PD	Sect. PD	Sect. PM	Niveau	Secteur
								(mm)													
9945	Divers	XI.A.1	entier	B	157	22	18								and.	Daim	dans l'axe	Ind.	Ind.	D2	est
9946	OP	ind	dist.	B	58	9	6						23	os	os long	Ind.	dans l'axe	Cir.	Cir.	D2	est
9948	OP	ind	dist.	C	11									os	os long	Ind.	dans l'axe	Cir.	Ovale	II	ouest
9951	OP	ind	dist.	B	23	7	5						20	os	os long	Ind.	dans l'axe	Cir.	Ovale	2	ouest
9956	OP	ind	dist.	B	22	5	2,5						7	os	os long	Ind.	dans l'axe	Cir.	Rect.	D2	est
9958	Frag. O		mésial	B		8	2,5							os	os long	Ind.	dans l'axe	Ind.	Ovale	D2	est
9959	1	Frag. O	mésial	B	34	6	2,5							os	MTP	Ind.	dans l'axe	Ind.	Ovale	D2	est
9959	2	Frag. O	ind.	B	76	17,5	8,5							os	MTP	Ind.	dans l'axe	Ind.	Rect.	D2	est
9959	3	Frag. O	mésial	B		4	2,5							os	os long	Ind.	dans l'axe	Ind.	CC	D2	est
9959	4	Aiguille	prox.	B						2		1		os	Ind.	Ind.	dans l'axe	Ind.	Ovale	D2	est
9960	Divers	XII.A.1	ind.	B										os	os long	Ind.	dans l'axe	Ind.	Rect.	D2	est
9963	2	Aiguille	mésial	C										os	os long	Ind.	dans l'axe	Ind.	Ind.	F	est
9970	1	OP	dist.	B	70									os	Ind.	Ind.	dans l'axe	Ind.	Cir.	II	ouest
9970	2	Aiguille	dist.	B	24		1					1,5		os	os long	Ind.	dans l'axe	Ind.	PC	D1	est
9971	OP	ind	dist.	B	31,5	8,5	5							os	os long	Ind.	courbe	Ind.	Rect.	D1	est
9972	Frag. O		prox.	B	101									os	diaphyse	Ind.	dans l'axe	Cir.	CC	D1	est
9974	OP	ind	dist.	C	16									os	ép. Prox.	Daim	dans l'axe	Ind.	Ovale	D2	est
9975	1	Aiguille	prox.	B	23	2				2	1	1,5		os	os long	Ind.	dans l'axe	Ovale	Ind.	II	ouest
9975	2	Aiguille	dist.	B	15									os	Ind.	Ind.	dans l'axe	Ind.	Cir.	II	ouest
9975	3	Aiguille	dist.	B	25									os	Ind.	Ind.	dans l'axe	Cir.	Cir.	II	ouest
10002	Divers	XI.A.1	entier	C	154	58	23							bois	and.	Daim	dans l'axe	Ind.	Ind.	II	ouest
10006	Frag. O		mésial	B										os	os long	Ind.	dans l'axe	Ind.	Ind.	D2	est
10007	1	III.B.1	entier	B	90	8	7							os	MTT	ép. Prox.	dans l'axe	Cir.	Ovale	D2	est
10007	2	IB.1	subentier	B	145	12	5						20	os	ulna	Daim	dans l'axe	Cir.	Ovale	D2	est
10011	Aiguille	V.A.1	prox.	B	15	2					1			os	Ind.	Ind.	dans l'axe	Ind.	Ovale	II	ouest
10024	1	Frag. O	prox.	C	46	11	6			2	1			os	MTP	Capriné	dans l'axe	Ind.	CC	2	ouest
10024	2	Frag. O	ind.	B	48	16	7							os	os long	Ind.	dans l'axe	Ind.	Ind.	2	ouest
10024	3	Frag. O	dist.	C										os	os long	Ind.	dans l'axe	Rect.	CC	2	ouest
10035	1	Aiguille	mésial	C										os	Ind.	Ind.	dans l'axe	Ind.	Cir.	II	ouest
10035	2	Aiguille	dist.	C										os	Ind.	Ind.	dans l'axe	Ind.	Trian.	II	ouest
10108	OP	III.A.1	subentier	C	52	8	5							os	MTP	ép. Dist.	déjetée G	Cir.	Ind.	II	ouest
10123	Aiguille	ind	mésial	B										os	Ind.	diaphyse	dans l'axe	Ind.	Cir.	II	ouest
10128	OP	ind	dist.	B	30,5	10,5	6,5						36	os	os long	Ind.	dans l'axe	Cir.	CC	2	ouest
10131	OP	ind	dist.	B		4,5	3							os	os long	Ind.	dans l'axe	Ind.	Ovale	D	est
10137	Frag. O		prox.	C	118	15	7							os	MTT	ép. Dist.	dans l'axe	Ind.	CC	II	ouest

N°	Catégorie	Type	Frag.	Etat	L.T	I.T	ép. T	I.Taill.	ép. Taill.	I. PP chas	ép. PP chas	I.chas	Cal.	Mat. 1ère	Partie anatomique	Espèce	Orient. PD	Sect. PD	Sect. PM	Niveau	Secteur	
					(mm)																	
10139	Frag. O		ind.	B										os	os long	diaphyse	Ind.	dans l'axe	Ind.	Ind.	II	ouest
10151	Frag. O		prox.	C	65	15	9			2,5	1	1,5		os	MTT	ép. Dist.	Daim	dans l'axe	Ind.	CC	II	ouest
10155	Aiguille	V.A.1	prox.	B	24									os	Ind.	diaphyse	Ind.	dans l'axe	Ind.	Cir.	II	ouest
10163	Aiguille	ind	mésial	B										os	Ind.	diaphyse	Ind.	dans l'axe	Ind.	Cir.	2	ouest
10166	PDD			B	57									os	os long	diaphyse	Ind.	dans l'axe	Ind.	CC	II	ouest
10173	Frag. O		mésial	B										os	os long	diaphyse	Ind.	dans l'axe	Ind.	Ovale	D	est
10174	Aiguille	ind	mésial	C										os	Ind.	diaphyse	Ind.	dans l'axe	Ind.	Cir.	II	ouest
10182	OT	ind	dist.	B	64	15	8	4	2,5					os	os long	diaphyse	Ind.	dans l'axe	Ovale	CC	II	ouest
10183	Aiguille	V.A.1	prox.	B	21	2				2	1	1		os	Ind.	diaphyse	Ind.	dans l'axe	Ind.	Cir.	II	ouest
10186	OT	VIII.B	entier	C	66	9	5	6	2					os	MTP	ép. Prox.	Ind.	dans l'axe	Ovale	PC	II	ouest
10191 1	Frag. O		prox.	C	33									os	MTP	ép. Dist.	Daim	dans l'axe	Ind.	Ind.	I	ouest
10191 2	Frag. O		prox.	B	62	16	10							os	MTT	ép. Dist.	Daim	dans l'axe	Ind.	CC	I	ouest
10208	OP	ind	dist.	B										os	os long	diaphyse	Ind.	dans l'axe	Cir.	Ovale	II	ouest
10222	Frag. O		mésial	C										os	os long	diaphyse	Ind.	dans l'axe	Ind.	Ind.	I	ouest
10229	Aiguille	V.A.1	entier	C	81	5				8	2	3,5		os	os long	diaphyse	Ind.	dans l'axe	Ind.	Rect.	II	ouest
10230	poss. EB		prox.	B										os	Ind.	diaphyse	Ind.	dans l'axe	Ind.	Trian.	D2	est
10235	Aiguille	ind	mésial	C										os	Ind.	diaphyse	Ind.	dans l'axe	Ind.	Ovale	D	est
10237	Aiguille	V.A.1	prox.	B	26	2				2	1	1		os	Ind.	diaphyse	Ind.	dans l'axe	Ind.	Cir.	II	ouest
10245	OT	ind	dist.	C	18	9	4	6	3,5					os	os long	diaphyse	Ind.	dans l'axe	Ind.	PC	II	ouest
10256	OT	ind	dist.	C	55	14	8	5	3					os	os long	diaphyse	Daim	dans l'axe	Ovale	CC	II	ouest
10280	Aiguille	V.A.1	entier	C	29					3	1	1		os	Ind.	diaphyse	Ind.	dans l'axe	Ind.	Cir.	II	ouest
10281	Aiguille	ind	mésial	B										os	Ind.	diaphyse	Ind.	dans l'axe	Ind.	Ovale	II	ouest
10284 1	OP	ind	dist.	C	24	3,5	2							os	os long	diaphyse	Ind.	dans l'axe	Ovale	Ovale	2	ouest
10284 2	OP	ind	dist.	B	64	11	7							os	os long	diaphyse	Ind.	dans l'axe	Cir.	Trian.	2	ouest
10284 3	OP	ind	dist.	B		3	3							os	os long	diaphyse	Ind.	dans l'axe	Cir.	Cir.	2	ouest
10285	OP	ind	dist.	C	41	7	5							os	os long	diaphyse	Ind.	dans l'axe	Ovale	CC	III?	ouest
10286 1	Aiguille	ind	dist.	C										os	Ind.	diaphyse	Ind.	dans l'axe	Ind.	Cir.	II	ouest
10286 2	Aiguille	ind	mésial	B										os	Ind.	diaphyse	Ind.	dans l'axe	Ind.	Cir.	II	ouest
10286 3	Aiguille	V.A.1	entier	B	30					1,5	1,5	1		os	Ind.	diaphyse	Ind.	dans l'axe	Ind.	Ovale	II	ouest
10286 4	OP	III.B.1	entier	C	87	11	6						40	os	MTT	ép. Prox.	Capriné	dans l'axe	Ovale	CC	II	ouest
10294 1	OP	ind	dist.	B	49	5	3							os	os long	diaphyse	Ind.	dans l'axe	Cir.	Ovale	II	ouest
10294 2	Frag. O		mésial	C		5	3							os	os long	diaphyse	Ind.	dans l'axe	Ind.	Ovale	II	ouest
10296	Aiguille	V.A.1	prox.	B		5	3			2	1	1		os	Ind.	diaphyse	Ind.	dans l'axe	Ind.	Ind.	II	ouest
10297	OP	ind	dist.	C		10,5	5							os	os long	diaphyse	Ind.	dans l'axe	Ind.	Cir.	2	ouest
10299	Aiguille	V.C.2.2	entier	B	98	10	4			11	3	2		os	os long	diaphyse	Ind.	dans l'axe	Ovale	Rect.	II	ouest

N°	Catégorie	Type	Frag.	Etat	L.T	I.T	ép. T	I.Taill.	ép. Taill.	I. PP chas	ép. PP chas	I.chas	Cal.	Mat. 1ère	Partie anatomique	Espèce	Orient. PD	Sect. PD	Sect. PM	Niveau	Secteur
										(mm)											
10301	Aiguille	ind	mésial	B										os	Ind.	diaphyse	dans l'axe	Ind.	Cir.	II	ouest
10313	Aiguille	ind	mésial	B								0,8		os	Ind.	diaphyse	dans l'axe	Ind.	Cir.	2	ouest
10318	OP	III.B.1	subentier	C	38	7	4							os	MTP	ép. Prox.	dans l'axe	Cir.	CC	III?	ouest
10319 1	Frag. O		mésial	B		15	7							os	os long	diaphyse	dans l'axe	Ind.	CC	2	ouest
10319 2	Frag. O		mésial	B		9	6							os	os long	diaphyse	dans l'axe	Ind.	Ovale	2	ouest
10319 3	Frag. O		mésial	C		5	4,5							os	os long	diaphyse	dans l'axe	Ind.	Cir.	2	ouest
10319 4	Aiguille	ind	mésial	B										os	Ind.	diaphyse	dans l'axe	Ind.	Cir.	2	ouest
10323 1	Aiguille	ind	mésial	B						2		1		os	Ind.	diaphyse	dans l'axe	Ind.	Ovale	II	ouest
10323 2	OP	ind	dist.	B	67,5	3,5	3,5						7	os	os long	diaphyse	dans l'axe	Cir.	Carrée	II	ouest
10328	OP	ind	dist.	C	55	9	3							os	os long	diaphyse	courbe	Ind.	CC	D2	est
10331 1	Aiguille	ind	mésial	B	16									os	Ind.	diaphyse	dans l'axe	Ind.	Cir.	II	ouest
10331 2	ind.	ind	ind.	C	23	7	7							bois	poss and.	Daim	dans l'axe	Ind.	Cir.	II	ouest
10335	Aiguille	ind	dist.	B	19							1		os	Ind.	diaphyse	dans l'axe	Ind.	Cir.	I-II?	ouest
10357 1	Divers	XI.A.2	ind.	C										bois	meule C	Daim	dans l'axe	Ind.	Ind.	D2	est
10364	Frag. O		prox.	C	40	10								os	MTT	ép. Dist.	dans l'axe	Ind.	Nat.	II	ouest
10375	Aiguille	V.A.1	prox.	B						4	1	2		os	Ind.	diaphyse	dans l'axe	Ind.	Cir.	I	ouest
10378	Frag. O		prox.	B	31	13								os	MTP	ép. Dist.	dans l'axe	Ind.	CC	III?	ouest
10381	Aiguille	ind	dist.	B										os	Ind.	diaphyse	dans l'axe	Ind.	Carrée	2	ouest
10418 2	Aiguille	ind	mésial	B							1	1,5		os	Ind.	diaphyse	dans l'axe	Ind.	Cir.	E	est
10422	EB		prox.	B	34	3				3	2			os	Ind.	diaphyse	dans l'axe	Ind.	Trian.	II	ouest
10423	Aiguille	ind	dist.	B										os	Ind.	diaphyse	dans l'axe	Ind.	Cir.	II	ouest
10425	EB		prox.	B										os	Ind.	diaphyse	dans l'axe	Ind.	Rect.	II	ouest
10427	Aiguille	ind	mésial	B										os	Ind.	diaphyse	dans l'axe	Ind.	Cir.	II	ouest
10434	Aiguille	ind	mésial	B										os	Ind.	diaphyse	dans l'axe	Ind.	Cir.	II	ouest
10435 1	Aiguille	ind	mésial	B	27									os	Ind.	diaphyse	dans l'axe	Ind.	Cir.	I-II?	ouest
10435 2	OP	ind	dist.	C	49	3,5	3,5							os	os long	diaphyse	dans l'axe	Cir.	Carrée	I-II?	ouest
10442	OP	ind	dist.	C	81	8	5							os	os long	diaphyse	dans l'axe	Cir.	Ind.	II	ouest
10444	OP	ind	dist.	B	38	7,5	7,5							os	os long	diaphyse	dans l'axe	Cir.	Ovale	II	ouest
10445	OP	ind	dist.	C										os	os long	diaphyse	dans l'axe	Trian.	Rect.	II	ouest
10454	Aiguille	ind	dist.	B										os	Ind.	diaphyse	dans l'axe	Ind.	Cir.	II	ouest
10465 1	Aiguille	V.B.1	entier	B	66	2	1,5			3	1	1		os	Ind.	diaphyse	dans l'axe	Ind.	Rect.	III?	ouest
10465 2	Aiguille	ind	mésial	C										os	Ind.	diaphyse	dans l'axe	Ind.	Cir.	III?	ouest
10466 1	Frag. O		mésial	C										os	os long	diaphyse	dans l'axe	Ind.	CC	III?	ouest
10466 2	Aiguille	ind	mésial	B							1	1,5		os	Ind.	diaphyse	dans l'axe	Ind.	Ovale	III?	ouest
10468 1	Aiguille	ind	mésial	B	43	2						1		os	Ind.	diaphyse	dans l'axe	Ind.	Cir.	II	ouest

N°	Catégorie	Type	Frag.	Etat	L.T	I.T	ép. T	I.Taill.	ép. Taill.	L.PP chas	ép.PP chas	I.chas	Cal.	Mat. 1ère	Partie anatomique	Espèce	Orient. PD	Sect. PD	Sect. PM	Niveau	Secteur
10468	2	Aiguille	prox.	B						2		1		os	Ind.	diaphyse	dans l'axe	Ind.	Cir.	II	ouest
10468	3	Aiguille	mésial	C							2			os	Ind.	diaphyse	dans l'axe	Ind.	Cir.	II	ouest
10473	EB		prox.	B	31	2				2,5	2			os	Ind.	diaphyse	dans l'axe	Ind.	Cir.	II	ouest
10479	Aiguille	V.A.1	prox.	B	39	2,5	2			3,5	1	1		os	Ind.	diaphyse	dans l'axe	Ind.	Cir.	I-II?	ouest
10496	Frag. O		mésial	B		5	4							os	os long	diaphyse	dans l'axe	Ind.	Ovale	II	ouest
10498	Aiguille	ind	mésial	C										os	Ind.	diaphyse	dans l'axe	Ind.	Cir.	III?	ouest
10502	Aiguille	ind	mésial	C							1,3	1,5		os	Ind.	diaphyse	dans l'axe	Ind.	Rect.	Ic	ouest
10509	OP	ind	dist.	B	56	8	4						12	os	os long	diaphyse	dans l'axe	Carrée	Rect.	II	ouest
10516	1	Frag. O	prox.	C	83	17	11							os	MTP	ép. Dist.	dans l'axe	Ind.	CC	II	ouest
10516	2	OP	dist.	B	25	6	3,5						18	os	os long	diaphyse	dans l'axe	Cir.	Rect.	II	ouest
10516	3	Frag. O	mésial	C		16	8							os	os long	diaphyse	dans l'axe	Ind.	Ind.	II	ouest
10516	4	Frag. O	mésial	B										os	os long	diaphyse	dans l'axe	Ind.	Ind.	II	ouest
10516	5	Aiguille	prox.	B						2		0,5		os	Ind.	diaphyse	dans l'axe	Ind.	Cir.	II	ouest
10516	6	Aiguille	dist.	B			3							os	Ind.	diaphyse	dans l'axe	Ind.	Ovale	II	ouest
10516	7	Aiguille	mésial	C										os	Ind.	diaphyse	dans l'axe	Ind.	Carrée	II	ouest
10517	Frag. O		prox.	C	98	15	8							os	MTP	ép. Dist.	dans l'axe	Ind.	CC	II	ouest
10518	Aiguille	ind	mésial	B										os	Ind.	diaphyse	dans l'axe	Ind.	Cir.	II	ouest
10521	Frag. O		prox.	C	49									os	MTT	ép. Dist.	dans l'axe	Ind.	Nat.	II	ouest
10527	EB		prox.	C	45	3				4	2			os	Ind.	diaphyse	dans l'axe	Ind.	Cir.	D2	est
10534	Aiguille	ind	mésial	B										os	Ind.	diaphyse	dans l'axe	Ind.	Cir.	II	ouest
10540	1	III.B.2	entier	B	92	11	7						20	os	MTP	ép. Prox.	dans l'axe	Ovale	CC	II	ouest
10551	Aiguille	ind	dist.	C	20									os	Ind.	diaphyse	dans l'axe	Ind.	Cir.	III	ouest
10557	Aiguille	V.A.1	prox.	C						2,5	1	1,5		os	Ind.	diaphyse	dans l'axe	Ind.	Cir.	II	ouest
10559	Aiguille	ind	dist.	B			1,5							os	Ind.	diaphyse	dans l'axe	Ind.	Cir.	II	ouest
10562	1	OP	subentier	B	112	10	5						20	os	MTP	ép. Prox.	dans l'axe	Rect.	Rect.	III	ouest
10562	2	Frag. O	mésial	C		3,5	3,5							os	os long	diaphyse	dans l'axe	Ind.	Cir.	III	ouest
10563	Aiguille	ind	prox.	B						2		1		os	Ind.	diaphyse	dans l'axe	Ind.	Ovale	Ic	ouest
10576	OT	ind	dist.	B	82	12	5							os	os long	diaphyse	déjetée D	Rect.	CC	II	ouest
10577	OP	ind	dist.	C		5,5	4							os	os long	diaphyse	dans l'axe	Ind.	CC	II	ouest
10587	1	EB	prox.	B			2			4	2			os	Ind.	diaphyse	dans l'axe	Ind.	Cir.	II	ouest
10587	2	Frag. O	prox.	C	42,5	13	6							os	os long	ép. Prox.	dans l'axe	Ind.	PC	II	ouest
10594	Aiguille	ind	mésial	C								1		os	Ind.	diaphyse	dans l'axe	Ind.	Cir.	II	ouest
10596	Frag. O		mésial	C										os	os long	diaphyse	dans l'axe	Ind.	Ind.	II	ouest
10601	1	Divers	ind.	B		15	5							os	os long	diaphyse	dans l'axe	Ind.	Ovale	D2	est
10607	Frag. O		mésial	B		9	5							os	os long	diaphyse	dans l'axe	Ind.	CC	II	ouest

N°	Catégorie	Type	Frag.	Etat	L.T	I.T	ép. T	I.Taill.	ép. Taill.	I. PP chas	ép. PP chas	I.chas	Cal.	Mat. 1ère	Partie anatomique	Espèce	Orient. PD	Sect. PD	Sect. PM	Niveau	Secteur	
		(mm)																				
10720	1	Aiguille	ind											os	Ind.	diaphyse	dans l'axe	Cir.	Cir.	II	ouest	
10720	2	Aiguille	ind		18		1,5					1,5		os	Ind.	diaphyse	dans l'axe	Ind.	Cir.	II	ouest	
10722		Aiguille	ind											os	Ind.	diaphyse	dans l'axe	Ind.	Cir.	II	ouest	
10726	OP	IV.A.1	subentier	B		5	2,5							os	os long	diaphyse	dans l'axe	Ind.	Rect.	E	est	
10728	Frag. O		mésial	B										os	os long	diaphyse	dans l'axe	Ind.	Ind.	D2	est	
10729	OP	III.A.1	subentier	C	54	7	5							os	MTP	ép. Dist.	déjetée G	Ind.	PC	II	ouest	
10730	1	Frag. O	prox.	C	76	15	9							os	MTP	ép. Dist.	dans l'axe	Ind.	CC	II	ouest	
10730	2	Aiguille	mésial	B										os	Ind.	diaphyse	dans l'axe	Ind.	Cir.	II	ouest	
10732	1	Frag. O	prox.	C										os	MTT	ép. Dist.	dans l'axe	Ind.	Ind.	II	ouest	
10732	2	Frag. O	prox.	B	48	10,5	7							os	MTP	ép. Dist.	dans l'axe	Ind.	CC	II	ouest	
10732	3	Aiguille	mésial	B										os	Ind.	diaphyse	dans l'axe	Ind.	Cir.	II	ouest	
10734	1	Frag. O	prox.	C										os	MTP	ép. Dist.	dans l'axe	Ind.	Ind.	II	ouest	
10734	2	Frag. O	prox.	C	66	16	10							os	MTT	ép. Dist.	dans l'axe	Ind.	CC	II	ouest	
10741		Aiguille	ind	B										os	Ind.	diaphyse	dans l'axe	Ind.	Cir.	II	ouest	
10750		Aiguille	ind	B										os	Ind.	diaphyse	dans l'axe	Cir.	Cir.	II	ouest	
10751	1	Aiguille	ind	C										os	Ind.	diaphyse	dans l'axe	Ind.	Cir.	II	ouest	
10751	2	Aiguille	ind	B										os	Ind.	diaphyse	dans l'axe	Ind.	Cir.	II	ouest	
10751	3	Aiguille	V.A.1	B	23	2,5				2,5	1	1		os	Ind.	diaphyse	dans l'axe	Ind.	Cir.	II	ouest	
10752	PDD			C										bois	and.		dans l'axe	Ind.	Ind.	II	ouest	
10753	Aiguille	ind	mésial	B										os	Ind.	diaphyse	dans l'axe	Ind.	Ind.	II	ouest	
10754	Frag. O		prox.	B	67	13	5,5							os	MTP	ép. Dist.	dans l'axe	Ind.	Cir.	II	ouest	
10761	OT	VIII.A.2	entier	B	91	15	11	7						os	MTP	ép. Dist.	dans l'axe	Ind.	CC	II	ouest	
10763	Aiguille	ind	dist.	C	27	2,5			3,5					os	Ind.	diaphyse	dans l'axe	Ovale	CC	II	ouest	
10802	1	OP	IV.B	C	38	8	4,5							os	os long	diaphyse	déjetée D	Ind.	Cir.	Ic	ouest	
10802	2	EB		C	22					2	1			os	Ind.	diaphyse	dans l'axe	Trian.	CC	II	ouest	
10803	Frag. O		prox.	C	43									os	MTT	ép. Dist.	dans l'axe	Ind.	Cir.	II	ouest	
10807	Aiguille	ind	mésial	C								1		os	Ind.	diaphyse	dans l'axe	Ind.	Nat.	II	ouest	
10810	1	OP	IV.B	B	69	7	3,5							os	os long	diaphyse	dans l'axe	Cir.	Cir.	II	ouest	
10810	2	Aiguille	ind	C										os	Ind.	diaphyse	dans l'axe	Ind.	Nat.	II	ouest	
10811		Aiguille	ind	C										os	Ind.	diaphyse	dans l'axe	Ind.	Cir.	II	ouest	
10813	1	Aiguille	ind	C										os	Ind.	diaphyse	dans l'axe	Ind.	Cir.	II	ouest	
10813	2	Divers	XI.A.2	C										bois	MC+mer		dans l'axe	Ind.	Ind.	II	ouest	
10814	Aiguille	ind	mésial	B										os	Ind.	diaphyse	dans l'axe	Ind.	Cir.	II	ouest	
10817	1	Aiguille	ind	B	82	2,5								os	Ind.	diaphyse	dans l'axe	Ind.	Cir.	II	ouest	
10817	2	Aiguille	ind	B										os	Ind.	diaphyse	dans l'axe	Ind.	Cir.	II	ouest	

N°	Catégorie	Type	Frag.	Etat	L.T	I.T	ép. T	I.Taill.	ép. Taill.	L.PP chas	ép.PP chas	I.chas	Cal.	Mat. 1ère	Partie anatomique	Espèce	Orient. PD	Sect. PD	Sect. PM	Niveau	Secteur
									(mm)												
10817	3 Aiguille	ind	mésial	B								1,5		os	Ind.	Ind.	dans l'axe	Ind.	Cir.	II	ouest
10818	Aiguille	V.B.1	prox.	B	27	2				2	1,5	1		os	Ind.	Ind.	dans l'axe	Ind.	Cir.	II	ouest
10821	1 Aiguille	ind	dist.	B	64	2	2							os	Ind.	Ind.	dans l'axe	Ind.	Cir.	II	ouest
10821	2 OP	III.A.2	subentier	C	80	17	10							os	MTT	ép. Dist.	dans l'axe	Ind.	CC	II	ouest
10821	3 Aiguille	ind	mésial	B								1,5		os	Ind.	diaphyse	dans l'axe	Cir.	Cir.	II	ouest
10821	4 Aiguille	ind	mésial	C										os	Ind.	diaphyse	dans l'axe	Ind.	Cir.	II	ouest
10821	5 Aiguille	ind	mésial	C								1,5		os	Ind.	diaphyse	dans l'axe	Ind.	Cir.	II	ouest
10821	6 Aiguille	ind	mésial	B										os	Ind.	diaphyse	dans l'axe	Ind.	Cir.	II	ouest
10821	7 Aiguille	ind	mésial	B										os	Ind.	diaphyse	dans l'axe	Ind.	Cir.	II	ouest
10822	Aiguille	ind	mésial	C	98	3								os	Ind.	diaphyse	dans l'axe	Ind.	Rect.	II	ouest
10827	1 OP	II.A.1	subentier	B	38									os	Ind.	diaphyse	dans l'axe	Ind.	Cir.	II	ouest
10827	2 OP	III.B.1	subentier	B	46	8	5							os	MTT	ép. Dist.	déjetée G	Cir.	Nat.	II	ouest
10827	3 Aiguille	ind	dist.	B										os	MTP	ép. Prox.	dans l'axe	Cir.	PC	II	ouest
10827	4 Aiguille	ind	mésial	A										os	Ind.	diaphyse	dans l'axe	Cir.	Cir.	II	ouest
10827	5 Aiguille	ind	dist.	B										os	Ind.	diaphyse	dans l'axe	Ind.	Cir.	II	ouest
10827	6 Aiguille	ind	mésial	C										os	Ind.	diaphyse	dans l'axe	Ind.	Cir.	II	ouest
10827	7 Aiguille	ind	mésial	C										os	Ind.	diaphyse	dans l'axe	Ind.	Cir.	II	ouest
10827	8 Aiguille	ind	mésial	C										os	Ind.	diaphyse	dans l'axe	Ind.	Cir.	II	ouest
10830	OP	IV.A.1	entier	B	41	4	2							os	os long	diaphyse	dans l'axe	Ovale	Ovale	II	ouest
10838	Aiguille	ind	mésial	C										os	Ind.	diaphyse	dans l'axe	Ind.	Ovale	II	ouest
10840	1 Aiguille	ind	dist.	B								1,5		os	Ind.	diaphyse	dans l'axe	Ind.	Ovale	II	ouest
10840	2 Aiguille	ind	mésial	B										os	Ind.	diaphyse	dans l'axe	Ind.	Cir.	II	ouest
10840	3 Aiguille	V.A.1	prox.	A	19	2	2			2	1	1		os	Ind.	diaphyse	dans l'axe	Ind.	Rect.	II	ouest
10843	Aiguille	ind	dist.	B	25	2	2							os	Ind.	diaphyse	dans l'axe	Ind.	Cir.	II	ouest
10844	Aiguille	ind	mésial	B										os	Ind.	diaphyse	dans l'axe	Ind.	Cir.	II	ouest
10845	Aiguille	ind	mésial	C								1,5		os	Ind.	diaphyse	dans l'axe	Ind.	Cir.	II	ouest
10846	Aiguille	ind	mésial	C								1		os	Ind.	diaphyse	dans l'axe	Ind.	Cir.	II	ouest
10854	Aiguille	ind	prox.	B						2		1		os	Ind.	diaphyse	dans l'axe	Ind.	Cir.	II	ouest
10860	Frag. O		prox.	B	61	16	8							os	MTT	ép. Dist.	dans l'axe	Ind.	CC	II	ouest
10862	1 OP	ind	dist.	B	48	4	3,5							os	os long	diaphyse	dans l'axe	Ovale	Ovale	II	ouest
10862	2 Aiguille	V.A.1	entier	B	35		1,5			1,5	1	1		os	Ind.	diaphyse	dans l'axe	Ind.	Cir.	II	ouest
10862	3 Aiguille	V.A.1	entier	B	67	2	2			2	1			os	Ind.	diaphyse	dans l'axe	Ind.	Cir.	II	ouest
10862	4 Aiguille	ind	mésial	C										os	Ind.	diaphyse	dans l'axe	Ind.	Ovale	II	ouest
10862	5 Aiguille	ind	mésial	B								1,5		os	Ind.	diaphyse	dans l'axe	Ind.	Cir.	II	ouest
10868	1 Aiguille	ind	dist.	B										os	Ind.	diaphyse	dans l'axe	Ind.	Cir.	II	ouest

N°	Catégorie	Type	Frag.	Etat	L.T	I.T	ép. T	I.Taill.	ép. Taill.	L.PP chas	ép.PP chas	I.chas	Cal.	Mat.1ère	Partie anatomique	Espèce	Orient. PD	Sect. PD	Sect. PM	Niveau	Secteur
					(mm)																
10868	2 Aiguille	ind	mésial	B								1		os	Ind.	diaphyse	dans l'axe	Ind.	Cir.	II	ouest
10870	OT	VIII.A.2	entier	B	104	14	5	3	2					os	MTT	ép. Dist.	déjetée G	Ovale	CC	II	ouest
10874	OP	ind	dist.	B	52	9	6,5							os	os long	diaphyse	dans l'axe	Ind.	CC	II	ouest
10875	1 Aiguille	ind	mésial	B										os	Ind.	diaphyse	dans l'axe	Ind.	Cir.	II	ouest
10875	2 Aiguille	ind	dist.	C	31		1,5					1,5		os	Ind.	diaphyse	dans l'axe	Ind.	Cir.	II	ouest
10875	3 Aiguille	ind	mésial	C										os	Ind.	diaphyse	dans l'axe	Ind.	Ovale	II	ouest
10878	Aiguille	V.A.1	prox.	B	59	2				2	1	1		os	Ind.	diaphyse	dans l'axe	Ind.	Cir.	II	ouest
10889	1 OP	ind	dist.	C	25	4,5	3						9	os	os long	diaphyse	dans l'axe	Cir.	Rect.	II	ouest
10889	2 Aiguille	ind	mésial	B										os	Ind.	diaphyse	dans l'axe	Ind.	Cir.	II	ouest
10889	3 Aiguille	ind	dist.	B	17,5							1,5		os	Ind.	diaphyse	dans l'axe	Ind.	Cir.	II	ouest
10889	4 Aiguille	ind	dist.	B	44	3	2,5							os	Ind.	diaphyse	dans l'axe	Ind.	Cir.	II	ouest
10891	1 Aiguille	ind	dist.	B	26		1,5					1,5		os	Ind.	diaphyse	dans l'axe	Ind.	Cir.	II	ouest
10891	2 Aiguille	ind	mésial	C										os	Ind.	diaphyse	dans l'axe	Ind.	Cir.	II	ouest
10892	Aiguille	ind	mésial	B								1,5		os	Ind.	diaphyse	dans l'axe	Ind.	Cir.	II	ouest
10898	EB		prox.	C										os	Ind.	diaphyse	dans l'axe	Ind.	Carrée	II	ouest
10899	1 OP	IV.B	dist.	C	60	4,5	3							os	os long	diaphyse	dans l'axe	Trian.	Rect.	II	ouest
10899	2 Aiguille	ind	dist.	B										os	Ind.	diaphyse	dans l'axe	Ind.	Cir.	II	ouest
10903	EB		prox.	B	52	2,5				3	1			os	Ind.	diaphyse	dans l'axe	Ind.	Cir.	II	ouest
10907	OP	ind	dist.	B	25	6	2,5							os	os long	diaphyse	dans l'axe	Ovale	PC	II	ouest
10909	2 Aiguille	V.A.1	entier	B	60	2	1			2	1	1		os	Ind.	diaphyse	dans l'axe	Ind.	Cir.	II	ouest
10910	1 Frag. O		prox.	B	72	16	8							os	MTP	ép. Dist.	dans l'axe	Ind.	CC	II	ouest
10910	2 Aiguille	ind	mésial	B										os	Ind.	diaphyse	dans l'axe	Ind.	Cir.	II	ouest
10910	3 Aiguille	ind	prox.	B										os	Ind.	diaphyse	dans l'axe	Ind.	Cir.	II	ouest
10911	Frag. O		ind.	B	35	9	5							os	Ind.	diaphyse	dans l'axe	Ind.	Cir.	II	ouest
10912	1 Aiguille	ind	mésial	B										os	os long	diaphyse	dans l'axe	Ind.	Rect.	II	ouest
10912	2 EB		entier	C	53	2	2			2	1			os	Ind.	diaphyse	dans l'axe	Ind.	Cir.	II	ouest
10913	Aiguille	ind	mésial	B										os	Ind.	diaphyse	dans l'axe	Ind.	Cir.	II	ouest
10917	Aiguille	ind	dist.	B										os	Ind.	diaphyse	dans l'axe	Ind.	Cir.	II	ouest
10920	OP	ind	dist.	B	34	7	5						14	os	os long	diaphyse	dans l'axe	Cir.	Cir.	II	ouest
10922	Aiguille	ind	mésial	B										os	Ind.	diaphyse	dans l'axe	Ind.	Cir.	II	ouest
10927	1 Aiguille	ind	mésial	B								0,8		os	Ind.	diaphyse	dans l'axe	Ind.	Cir.	II	ouest
10927	2 Aiguille	ind	mésial	B						2		0,8		os	Ind.	diaphyse	dans l'axe	Ind.	Ovale	II	ouest
10927	3 Aiguille	ind	mésial	B										os	Ind.	diaphyse	dans l'axe	Ind.	Ovale	II	ouest
10927	4 Frag. O		prox.	B	56	17								os	MTT	ép. Dist.	dans l'axe	Ind.	CC	II	ouest
10927	5 Aiguille	ind	dist.	B			11							os	Ind.	diaphyse	dans l'axe	Ind.	Cir.	II	ouest

N°	Catégorie	Type	Frag.	Etat	L.T	I.T	ép. T	I.Taill.	ép. Taill.	L.PP chas	ép.PP chas	I.chas	Cal.	Mat.1ère	Partie anatomique	Espèce	Orient. PD	Sect. PD	Sect. PM	Niveau	Secteur
									(mm)												
10932	poss. EB		prox.	B	25	3,5				4	2,5			os	Ind.	Ind.	dans l'axe	Ind.	Cir.	II	ouest
10935	Frag. O		mésial	B										os	os long	Ind.	dans l'axe	Ind.	CC	II	ouest
10937	OP	IV.B	dist.	B	53	3	2						14	os	os long	Ind.	dans l'axe	Trian.	Trian.	II	ouest
10947	1 OP	ind	dist.	B	58,5	13	6,5							os	os long	Ind.	dans l'axe	Cir.	CC	II	ouest
10947	2 Aiguille	ind	mésial	B										os	Ind.	Ind.	dans l'axe	Ind.	Cir.	II	ouest
10947	3 Aiguille	ind	mésial	B										os	Ind.	Ind.	dans l'axe	Ind.	Cir.	II	ouest
10947	4 OP	ind	dist.	C	70	10,5	7							os	os long	Ind.	dans l'axe	Cir.	CC	II	ouest
10948	1 EB		entier	B	33	2				2	1			os	Ind.	Ind.	dans l'axe	Ind.	Cir.	II	ouest
10948	2 Aiguille	V.A.1	prox.	B	61					3	1,5			os	Ind.	Ind.	dans l'axe	Ind.	Cir.	II	ouest
10950	Aiguille	ind	mésial	C										os	Ind.	Ind.	dans l'axe	Ind.	Cir.	II	ouest
10951	Aiguille	ind	mésial	C										os	Ind.	Ind.	dans l'axe	Ind.	Cir.	II	ouest
10956	Aiguille	ind	mésial	C										os	Ind.	Ind.	dans l'axe	Ind.	Cir.	II	ouest
10961	1 OP	ind	dist.	B	79	15	8,5							bois	os long	Ind.	dans l'axe	Ovale	CC	II	ouest
10961	2 PDD			C										os	MM+mer	Daim	dans l'axe	Ind.	Ind.	II	ouest
10963	1 Aiguille	V.A.1	prox.	A	23	2				2	1			os	Ind.	diaphyse	dans l'axe	Ind.	Cir.	II	ouest
10963	2 EB		entier	B	90	2	2			3	2			os	Ind.	diaphyse	dans l'axe	Ind.	Cir.	II	ouest
10963	3 OP	IV.A.1	entier	B	65,5	7	3							os	os long	Ind.	dans l'axe	Ovale	CC	II	ouest
10963	4 OP	ind	mésial	B	40	10	6							os	os long	Ind.	dans l'axe	Ind.	Ovale	II	ouest
10966	EB		entier	B	66									os	Ind.	diaphyse	dans l'axe	Ind.	Cir.	II	ouest
10969	1 Aiguille	ind	mésial	B										os	Ind.	diaphyse	dans l'axe	Ind.	Cir.	II	ouest
10969	2 Aiguille	ind	mésial	C										os	Ind.	diaphyse	dans l'axe	Ind.	Cir.	II	ouest
10974	1 OP	ind	dist.	C										os	Ind.	diaphyse	dans l'axe	Ind.	Cir.	II	ouest
10974	2 OP	ind	subentier	C	41,5	3,5	3,5							os	os long	Ind.	dans l'axe	Rect.	Rect.	II	ouest
10975	1 Aiguille	ind	dist.	B										os	os long	Ind.	dans l'axe	Cir.	CC	II	ouest
10975	2 Frag. O		mésial	B						2				os	Ind.	diaphyse	dans l'axe	Ind.	Cir.	II	ouest
10975	3 Aiguille	ind	dist.	B	39									os	os long	Ind.	dans l'axe	Ind.	Ovale	II	ouest
10975	4 Aiguille	ind	dist.	B	36					2	1			os	Ind.	diaphyse	dans l'axe	Ind.	Rect.	II	ouest
10975	5 Aiguille	ind	prox.	B	81									os	Ind.	diaphyse	dans l'axe	Ovale	Cir.	II	ouest
10980	Aiguille	V.A.1	prox.	C	29	2				2	1			os	Ind.	diaphyse	Ind.	Ind.	Cir.	II	ouest
10983	OP	ind	dist.	B	37	7	4							os	os long	Ind.	dans l'axe	Ind.	Cir.	II	ouest
10990	OP	IV.A.1	entier	B	58	12,5	6,5	3	2					os	os long	Ind.	dans l'axe	Rect.	CC	II	ouest
10992	OP	ind	dist.	B		5	4							os	os long	Ind.	dans l'axe	Ind.	CC	II	ouest
10993	1 Frag. O		prox.	C	50	11,5	7,5							os	MTP	ép. Dist.	dans l'axe	Ind.	CC	II	ouest
10993	2 Aiguille	ind	mésial	C										os	Ind.	diaphyse	dans l'axe	Ind.	Cir.	II	ouest
11001	1 OP	ind	dist.	B		10,5	5,5							os	os long	Ind.	dans l'axe	Cir.	Ovale	II	ouest

N°	Catégorie	Type	Frag.	Etat	L.T	I.T	ép. T	I.Taill.	ép. Taill.	I. PP chas	ép. PP chas	I.chas	Cal.	Mat. 1ère	Partie anatomique	Espèce	Orient. PD	Sect. PD	Sect. PM	Niveau	Secteur	
								(mm)														
11001	2 Aiguille	ind	dist.	B										os	Ind.	diaphyse	dans l'axe	Ind.	Cir.	II	ouest	
11004	1 EB		prox.	B	44					5	2,5			os	Ind.	diaphyse	dans l'axe	Ind.	Rect.	II	ouest	
11004	2 Aiguille	V.A.1	prox.	B						2	1	1,5		os	Ind.	diaphyse	dans l'axe	Ind.	Cir.	II	ouest	
11004	3 Aiguille	ind	dist.	B										os	Ind.	diaphyse	dans l'axe	Ind.	Cir.	II	ouest	
11004	4 Aiguille	ind	subentier	B	22	2	1,5							os	Ind.	diaphyse	dans l'axe	Ind.	Rect.	II	ouest	
11006	Aiguille	ind	dist.	B	23	2	2							os	Ind.	diaphyse	dans l'axe	Ind.	Cir.	II	ouest	
11009	Frag. O		mésial	B										os	os long	diaphyse	dans l'axe	Ind.	CC	II	ouest	
11010	Aiguille	ind	mésial	B						2		0,5		os	Ind.	diaphyse	dans l'axe	Ind.	Cir.	II	ouest	
11012	Aiguille	ind	mésial	C										os	Ind.	diaphyse	dans l'axe	Ind.	Cir.	II	ouest	
11014	1 Aiguille	V.B.1	prox.	B	75	2				2	1	1		os	Ind.	diaphyse	dans l'axe	Ind.	Cir.	II	ouest	
11014	2 Aiguille	ind	prox.	B						2		1		os	Ind.	diaphyse	dans l'axe	Ind.	Cir.	II	ouest	
11021	1 Aiguille	ind	mésial	B										os	Ind.	diaphyse	dans l'axe	Ind.	Cir.	II	ouest	
11021	2 Aiguille	ind	dist.	B										os	Ind.	diaphyse	dans l'axe	Ind.	Cir.	II	ouest	
11022	1 OP	ind	dist.	B		7	3							os	os long	diaphyse	dans l'axe	Ind.	Rect.	II	ouest	
11022	2 EB		prox.	C	73	2				3	1,5			os	Ind.	diaphyse	dans l'axe	Ind.	Cir.	II	ouest	
11023	Aiguille	ind	mésial	B										os	Ind.	diaphyse	dans l'axe	Ind.	Ovale	II	ouest	
11024	Aiguille	V.A.1	entier	B	37	2	1,5			2	1	1		os	Ind.	diaphyse	dans l'axe	Ind.	Cir.	II	ouest	
11026	1 Frag. O		mésial	B		9	5							os	os long	diaphyse	dans l'axe	Ind.	CC	II	ouest	
11026	2 Frag. O		mésial	C										os	os long	diaphyse	dans l'axe	Ind.	Ovale	II	ouest	
11026	3 EB		entier	B	45	2				3	2			os	Ind.	diaphyse	dans l'axe	Ind.	Ovale	II	ouest	
11026	4 Aiguille	ind	dist.	B			2							os	Ind.	diaphyse	dans l'axe	Ind.	Ovale	II	ouest	
11026	5 EB		prox.	B	24	2				2	0,5			os	Ind.	diaphyse	dans l'axe	Ind.	Cir.	II	ouest	
11029	Frag. O		mésial	B		6	5							os	os long	diaphyse	dans l'axe	Ind.	Ovale	II	ouest	
11030	1 Aiguille	V.A.1	prox.	B	14					1,5	0,5	1		os	Ind.	diaphyse	dans l'axe	Ind.	Cir.	II	ouest	
11030	2 Aiguille	ind	dist.	B										os	Ind.	diaphyse	dans l'axe	Ind.	Carrée	II	ouest	
11030	3 Aiguille	ind	dist.	B										os	Ind.	diaphyse	dans l'axe	Ind.	Rect.	II	ouest	
11030	4 Aiguille	ind	dist.	B	78	3	3							os	Ind.	diaphyse	dans l'axe	Ind.	Cir.	II	ouest	
11030	5 Aiguille	ind	dist.	B										os	Ind.	diaphyse	dans l'axe	Ind.	Cir.	II	ouest	
11033	Aiguille	ind	mésial	B										os	Ind.	diaphyse	dans l'axe	Ind.	Cir.	II	ouest	
11034	1 OT	ind	dist.	B	30	10	5	6	3					os	os long	diaphyse	dans l'axe	Ovale	Ovale	II	ouest	
11034	2 OT	ind	dist.	C	31	13	5	5	2					os	os long	diaphyse	dans l'axe	Ovale	CC	II	ouest	
11034	3 OP	IV.A.1	entier	C	80	10	4,5							os	os long	diaphyse	dans l'axe	Cir.	CC	II	ouest	
11034	4 Aiguille	ind	mésial	B						2		0,8		os	Ind.	diaphyse	dans l'axe	Ind.	Cir.	II	ouest	
11035	Aiguille	ind	dist.	B										os	Ind.	diaphyse	dans l'axe	Ind.	Cir.	II	ouest	
11037	OP	III.B.1	subentier	A	77	12	6						5	os	MTT	ép. Prox.	dans l'axe	Cir.	Rect.	II	ouest	

N°	Catégorie	Type	Frag.	Etat	L.T	I.T	ép. T	I.Taill.	ép. Taill.	I. PP chas	ép. PP chas	I.chas	Cal.	Mat. 1ère	Partie anatomique	Espèce	Orient. PD	Sect. PD	Sect. PM	Niveau	Secteur	
					(mm)																	
11093	2 OP	ind	dist.	B	17	3	2,5						4	os	os long	diaphyse	Ind.	dans l'axe	Cir.	Ind.	II	ouest
11096	1 Aiguille	ind	mésial	B										os	Ind.	diaphyse	Ind.	dans l'axe	Cir.	Ind.	III	ouest
11096	2 OP	ind	dist.	B	35	4,5	5							os	os long	diaphyse	Ind.	dans l'axe	CC	Ind.	III	ouest
11108	1 OP	ind	dist.	B		6	4							os	os long	diaphyse	Ind.	dans l'axe	CC	Ind.	II	ouest
11108	2 Aiguille	ind	mésial	C										os	Ind.	diaphyse	Ind.	dans l'axe	Cir.	Ind.	II	ouest
11118	OT	ind	dist.	B	27	8	5	3,5	2,5					os	os long	diaphyse	Ind.	dans l'axe	Ovale	Ind.	II	ouest
11124	Aiguille	ind	mésial	B						2		1		os	Ind.	diaphyse	Ind.	dans l'axe	Cir.	Ind.	II	ouest
11125	1 OT	IX.A	entier	B	73	15	8	5,5	3					os	os long	diaphyse	Daim	dans l'axe	CC	Ind.	II	ouest
11125	2 OP	ind	dist.	C	32	4	4							os	os long	diaphyse	Ind.	dans l'axe	Ovale	Ind.	II	ouest
11128	1 Frag. O		prox.	C	68,5	13	7							os	MTP	ép. Dist.	Daim	dans l'axe	CC	Ind.	II	ouest
11128	2 Aiguille	ind	prox.	B	50,93	8,74				2		1		os	Ind.	diaphyse	Ind.	dans l'axe	Cir.	Ind.	II	ouest
11128	3 Aiguille	ind	mésial	B										os	Ind.	diaphyse	Ind.	dans l'axe	Cir.	Ind.	II	ouest
11128	4 Divers	XI.A.2	ind.	C										bois	MC+mer	diaphyse	Daim	dans l'axe	Ind.	Ind.	II	ouest
11129	Divers	XII.A.1	ind.	B	41	13	6							os	os long	diaphyse	Ind.	dans l'axe	Ind.	Ind.	D2	est
11130	OP	IV.A.2	entier	B	71	3	2,5						6	os	os long	diaphyse	Ind.	dans l'axe	Ovale	Ind.	D2	est
11142	1 Aiguille	V.A.1	prox.	B	17	2				2	1	1		os	Ind.	diaphyse	Ind.	dans l'axe	Cir.	Ind.	II	ouest
11142	2 OP	III.B.2	entier	B	88	16	9						21	os	MTC D	ép. Prox.	Daim	dans l'axe	CC	Ind.	II	ouest
11143	Aiguille	V.A.1	prox.	B						3	1	1,5		os	Ind.	diaphyse	Ind.	dans l'axe	Cir.	Ind.	II	ouest
11145	1 Aiguille	ind	prox.	B	21,5						0,5	1,5		os	Ind.	diaphyse	Ind.	dans l'axe	Cir.	Ind.	II	ouest
11145	2 EB		prox.	B	32	3				3	2			os	Ind.	diaphyse	Ind.	dans l'axe	Ind.	Ind.	II	ouest
11145	3 Aiguille	V.C.2.1	prox.	B	36	3				5	3	2		os	Ind.	diaphyse	Ind.	dans l'axe	Ind.	Ind.	II	ouest
11145	4 OP	III.B.1	entier	B	50	6	3						12	os	MTP	ép. Prox.	Capriné	dans l'axe	Rect.	Ind.	II	ouest
11145	5 Aiguille	ind	mésial	B										os	Ind.	diaphyse	Ind.	dans l'axe	Cir.	Ind.	II	ouest
11146	poss. EB		prox.	B										os	Ind.	diaphyse	Ind.	dans l'axe	Ind.	Ind.	II	ouest
11149	Aiguille	ind	mésial	B	22									os	Ind.	diaphyse	Ind.	dans l'axe	Carrée	Ind.	II	ouest
11151	Frag. O		prox.	B	71	15	7							os	MTT	ép. Dist.	Daim	dans l'axe	Ind.	Ind.	II	ouest
11154	Aiguille	ind	mésial	B								1,5		os	Ind.	diaphyse	Ind.	dans l'axe	CC	Ind.	II	ouest
11155	1 OP	ind	subentier	B	66,5	3,5	3,5							os	os long	ép. Prox.	Ind.	dans l'axe	Cir.	Ind.	II	ouest
11155	2 Aiguille	V.A.1	prox.	B	23	2				2	1	1		os	Ind.	diaphyse	Ind.	dans l'axe	Cir.	Ind.	II	ouest
11159	1 OP	ind	dist.	B	65	10	4,5							os	os long	diaphyse	Ind.	dans l'axe	Ind.	Ind.	HS	
11159	2 Aiguille	V.A.1	entier	B	42		1,5			1,5	1	1		os	Ind.	diaphyse	Ind.	dans l'axe	Cir.	Ind.	HS	
11159	3 Aiguille	V.A.1	prox.	B	31					2	0,5	1		os	Ind.	diaphyse	Ind.	dans l'axe	Ind.	Ind.	HS	
11160	OP	IV.B	dist.	B	84	15,5	7						35	os	os long	diaphyse	Daim	dans l'axe	CC	Ind.	D1	est
11163	Aiguille	V.A.1	prox.	A	23	2				3	2	1,5		os	Ind.	diaphyse	Ind.	dans l'axe	Cir.	Ind.	II	ouest
11166	Frag. O		mésial	B		6	5							os	MTP	ép. Prox.	Ind.	dans l'axe	Ind.	Ind.	D2	est

N°	Catégorie	Type	Frag.	Etat	L.T	I.T	ép. T	I.Taill.	ép. Taill.	I. PP chas	ép. PP chas	I.chas	Cal.	Mat. 1ère	Partie anatomique	Espèce	Orient. PD	Sect. PD	Sect. PM	Niveau	Secteur	
								(mm)														
11169	OP	IV.B	dist.	C	48	17	4,5							os	os long	diaphyse	Ind.	déjetée G	Ovale	CC	II	ouest
11172	Frag. O		prox.	C	60	15	9							os	MTT	ép. Dist.	Daim	dans l'axe	Ind.	PC	II	ouest
11173	Aiguille	ind	prox.	B	27						1	1,5		os	Ind.	diaphyse	Ind.	dans l'axe	Ind.	Ovale	II	ouest
11175	OP	III.B.1	entier	B	62	8	4						12	os	MTT G	ép. Prox.	Capriné	dans l'axe	Cir.	Rect.	II	ouest
11179	Aiguille	ind	mésial	B			2							os	Ind.	diaphyse	Ind.	dans l'axe	Ind.	Rect.	II	ouest
11187	1 Aiguille	V.A.1	prox.	B	34	2				3	1,5	1		os	Ind.	diaphyse	Ind.	dans l'axe	Cir.	II	ouest	
11187	2 Aiguille	ind	mésial	B										os	Ind.	diaphyse	Ind.	dans l'axe	Cir.	II	ouest	
11187	3 Aiguille	ind	mésial	C										os	Ind.	diaphyse	Ind.	dans l'axe	Cir.	II	ouest	
11187	4 Aiguille	ind	mésial	B	31		1,5					1,5		os	Ind.	diaphyse	Ind.	dans l'axe	Cir.	II	ouest	
11206	1 Frag. O		prox.	B	51	18	13							os	MTT	ép. Dist.	Daim	dans l'axe	CC	II	ouest	
11206	2 OP	III.A.2	subentier	B	76	15	9							os	MTT	ép. Dist.	Daim	dans l'axe	CC	II	ouest	
11209	Frag. O		prox.	B	47	8	4							os	MTP	ép. Dist.	Mouton	dans l'axe	CC	III	ouest	
11213	Frag. O		mésial	B		6	3							os	os long	diaphyse	Ind.	dans l'axe	Ovale	II	ouest	
11219	Aiguille	ind	mésial	C										os	Ind.	diaphyse	Ind.	dans l'axe	Cir.	II	ouest	
11224	Aiguille	ind	prox.	B										os	Ind.	diaphyse	Ind.	dans l'axe	Cir.	II	ouest	
11225	Frag. O		mésial	B		10	4							os	os long	diaphyse	Ind.	dans l'axe	CC	II	ouest	
11226	EB		prox.	B	24	2				2	1			os	Ind.	diaphyse	Ind.	dans l'axe	Ovale	II	ouest	
11235	1 OP	III.A.2	subentier	B	90	16	9							os	MTP	ép. Dist.	Daim	dans l'axe	CC	II	ouest	
11235	2 Aiguille	ind	mésial	B										os	Ind.	diaphyse	Ind.	dans l'axe	Cir.	II	ouest	
11237	1 Frag. O		mésial	B		6	3,5							os	os long	diaphyse	Ind.	dans l'axe	Ind.	II	ouest	
11237	2 OP	ind	dist.	B	47,5	6	3,5						18	os	os long	diaphyse	Ind.	dans l'axe	Ovale	II	ouest	
11238	1 OP	IV.A.1	subentier	B	88	8	4						9	os	os long	diaphyse	Ind.	dans l'axe	CC	II	ouest	
11238	2 Aiguille	V.B.1	prox.	B	25					1,5	1			os	Ind.	diaphyse	Ind.	dans l'axe	Cir.	II	ouest	
11238	3 OP	IV.B	dist.	B	30	4	4							os	os long	diaphyse	Ind.	dans l'axe	Ind.	II	ouest	
11238	4 Aiguille	ind	prox.	B			2							os	Ind.	diaphyse	Ind.	dans l'axe	Cir.	II	ouest	
11238	5 Aiguille	V.A.1	entier	A	34					2,5	1	1,5		os	Ind.	diaphyse	Ind.	dans l'axe	Ovale	II	ouest	
11243	Aiguille	V.A.1	prox.	B	10	2,5				3	2	1,5		os	Ind.	diaphyse	Ind.	dans l'axe	Cir.	II	ouest	
11244	1 Aiguille	V.A.1	prox.	B	30	2				2	1	1		os	Ind.	diaphyse	Ind.	dans l'axe	Cir.	II	ouest	
11244	2 Aiguille	ind	mésial	B						2				os	Ind.	diaphyse	Ind.	dans l'axe	Cir.	II	ouest	
11247	Aiguille	ind	mésial	B										os	Ind.	diaphyse	Ind.	dans l'axe	Ovale	III	ouest	
11248	Aiguille	V.A.1	prox.	B	27	2,5				3	1,5	1,5		os	Ind.	diaphyse	Ind.	dans l'axe	Cir.	II	ouest	
11249	OT	ind	dist.	B	50	10	5		3					os	os long	diaphyse	Ind.	dans l'axe	Ovale	II	ouest	
11250	Aiguille	ind	dist.	B				3,5						os	Ind.	diaphyse	Ind.	dans l'axe	Ovale	II	ouest	
11251	PDD			C	86	37	29							bois	M+mer+and		dans l'axe	Ind.	Ind.	II	ouest	
11252	1 OP	III.B.1	subentier	B	65	8	3						16	os	MTC	ép. Prox.	Capriné	dans l'axe	Rect.	Rect.	II	ouest

N°	Catégorie	Type	Frag.	Etat	L.T	I.T	ép. T	I.Taill.	ép. Taill.	L.PP chas	ép.PP chas	I.chas	Cal.	Mat.1ère	Partie anatomique	Espèce	Orient. PD	Sect. PD	Sect. PM	Niveau	Secteur
									(mm)												
11252	2 OP	IV.B	dist.	C	30									os	os long	Ind.	dans l'axe	Ovale	Nat.	II	ouest
11252	3 Frag. O		mésial	B										os	os long	Ind.	dans l'axe	Ind.	Ind.	II	ouest
11255	OP	ind	dist.	B		3,5	2					1,5		os	os long	Ind.	dans l'axe	Cir.	Rect.	II	ouest
11260	Aiguille	ind	mésial	B										os	Ind.	diaphyse	dans l'axe	Ind.	Cir.	D2	est
11264	Frag. O		prox.	C										os	MTT	ép. Dist.	dans l'axe	Ind.	Ind.	II	ouest
11265	1 poss. EB		prox.	C	27	4	4							os	Ind.	diaphyse	dans l'axe	Ind.	Ovale	II	ouest
11265	3 Aiguille	V.A.1	prox.	B	22	2				3	1	1		os	Ind.	diaphyse	dans l'axe	Ind.	Cir.	II	ouest
11266	OP	ind	dist.	C	42	8	4							os	os long	diaphyse	déjetée D	Ind.	CC	D2	est
11267	Divers	XI.A.2	ind.	C										bois	MC+mer	Daim	dans l'axe	Ind.	Ind.	II	ouest
11271	1 Aiguille	ind	mésial	C	32	2								os	Ind.	diaphyse	dans l'axe	Ind.	Ovale	II	ouest
11271	2 Aiguille	ind	mésial	C										os	Ind.	diaphyse	dans l'axe	Ind.	Rect.	II	ouest
11274	Frag. O		prox.	C	72	16	9							os	MTP	ép. Dist.	dans l'axe	Ind.	CC	II	ouest
11276	PDD			C	80	26	22							bois	merrain	Daim	dans l'axe	Ind.	Ind.	III	ouest
11277	1 Frag. O		prox.	C	49	15	10							os	MTT	ép. Dist.	dans l'axe	Ind.	Ovale	II/III	ouest
11277	2 Aiguille	V.A.1	prox.	B	53	2				2	1	1,5		os	Ind.	diaphyse	dans l'axe	Ind.	Cir.	II/III	ouest
11277	3 Aiguille	V.A.1	prox.	B	22	2,5				2,5	1	1		os	Ind.	diaphyse	dans l'axe	Ind.	Cir.	II/III	ouest
11278	OP	ind	dist.	B	82	4	3						6,3	os	os long	diaphyse	courbe	Cir.	Rect.	II/III	ouest
11279	1 Frag. O		prox.	B	46	16	10,5							os	MTP	ép. Dist.	dans l'axe	Ind.	Nat.	II/III	ouest
11279	2 OP	IV.A.1	subentier	B	69	5	3							bois	os long	diaphyse	dans l'axe	Cir.	Rect.	II/III	ouest
11279	3 Aiguille	V.A.1	prox.	B	27	2,5				3	1	1,5		os	Ind.	diaphyse	dans l'axe	Ind.	Cir.	II/III	ouest
11279	4 PDD			C										os	MC+and	Daim	dans l'axe	Ind.	Ind.	II/III	ouest
11290	OT	VII	dist.	C	40	20	12							os	os long	diaphyse	dans l'axe	Ind.	CC	II	ouest
11294	1 EB		entier	B	33		1,5			1		1,5		os	Ind.	diaphyse	dans l'axe	Ind.	Cir.	III	ouest
11298	OP	IV.A.1	entier	B	45	3	3,5						9	os	os long	diaphyse	dans l'axe	Trian.	Carrée	II	ouest
11301	1 OP	ind	dist.	B	49	11	6							os	os long	diaphyse	dans l'axe	Rect.	CC	II	ouest
11301	2 Aiguille	ind	dist.	B										os	Ind.	diaphyse	dans l'axe	Ovale	Cir.	II	ouest
11302	OT	VIII.A.2	entier	C	100	17	9	6	3					os	MTT	ép. Dist.	dans l'axe	Ovale	CC	II	ouest
11303	1 Frag. O		prox.	C										os	MTP	ép. Dist.	dans l'axe	Ind.	Ind.	II	ouest
11303	2 Aiguille	ind	dist.	B	32	2	2							os	Ind.	diaphyse	dans l'axe	Ind.	Cir.	II	ouest
11305	Aiguille	ind	mésial	B										os	Ind.	diaphyse	dans l'axe	Ind.	Cir.	II	ouest
11306	Aiguille	ind	mésial	B										os	Ind.	diaphyse	dans l'axe	Ind.	Cir.	II	ouest
11307	Divers	XI.C	entier	B	46	4	4							os	os long	diaphyse	dans l'axe	Ind.	Cir.	II	ouest
11310	Aiguille	ind	mésial	B										os	Ind.	diaphyse	dans l'axe	Ind.	Cir.	II	ouest
11312	2 OP	ind	dist.	C	36	9	5							os	os long	diaphyse	dans l'axe	Ind.	Cir.	D2	est
11312	1 OP	ind	subentier	B	62	2,5	3							os	os long	diaphyse	dans l'axe	Ind.	Ind.	II	ouest
																capriné	dans l'axe	Ind.	Cir.	II	ouest

N°	Catégorie	Type	Frag.	Etat	L.T	I.T	ép. T	I.Taill.	ép. Taill.	L.PP chas	ép.PP chas	L.chas	Cal.	Mat.1ère	Partie anatomique	Espèce	Orient. PD	Sect. PD	Sect. PM	Niveau	Secteur
11315	PDD			C											MM+mer	Daim	dans l'axe	Ind.	Ind.	II	ouest
11321	Aiguille	ind	mésial	B										os	Ind.	Ind.	dans l'axe	Ind.	Ovale	II	ouest
11325	OT	ind	dist.	A	82,5	10	4	4	2					os	os long	Ind.	dans l'axe	Ovale	Ovale	II	ouest
11327	Frag. O		prox.	B	54	15	10							os	MTP	Daim	dans l'axe	Ind.	CC	II	ouest
11332	Frag. O		prox.	B	56	16	9							os	MTP	Capriné	dans l'axe	Ind.	CC	III	ouest
11332	1	V.A.1	prox.	B	41,5	2				2,5	1	1,5		os	Ind.	Ind.	dans l'axe	Ind.	Cir.	III	ouest
11340	Aiguille	ind	mésial	A										os	Ind.	Ind.	dans l'axe	Ind.	Cir.	II	ouest
11341	Frag. O		ind.	B	30	7	3							os	os long	Ind.	dans l'axe	Ind.	CC	II	ouest
11346	1	III.A.1	subentier	B	54	4	3							os	MTT	Daim	déjetée G	Cir.	Ind.	II	ouest
11346	2	Frag. O	prox.	B	63	15	9							os	MTP	Daim	dans l'axe	Ind.	CC	II	ouest
11346	3	OP	dist.	B	66	5,5	3						7	os	os long	Ind.	dans l'axe	Cir.	PC	II	ouest
11356	1	OP	subentier	B	92	5	4						4	os	os long	Ind.	dans l'axe	Cir.	Ovale	II	ouest
11356	2	Aiguille	dist.	B	32	2	2							os	Ind.	Ind.	dans l'axe	Ind.	Cir.	II	ouest
11359	1	Frag. O	mésial	B	77	15	7							os	MTP	Ind.	dans l'axe	Ind.	CC	II	ouest
11359	2	Aiguille	dist.	B										os	Ind.	Ind.	dans l'axe	Ind.	Rect.	II	ouest
11359	3	Aiguille	mésial	C										os	Ind.	Ind.	dans l'axe	Ind.	Cir.	II	ouest
11362	1	OP	dist.	B	54	7	4						5	os	os long	Ind.	dans l'axe	Cir.	Cir.	II	ouest
11362	2	OP	subentier	B	62	8	5							os	MTT	Capriné	dans l'axe	Cir.	CC	II	ouest
11364	Aiguille	V.A.1	prox.	B	26					1,5	1			os	Ind.	Ind.	dans l'axe	Ind.	Cir.	II	ouest
11367	Aiguille	ind	mésial	C										os	Ind.	Ind.	dans l'axe	Ind.	Cir.	II	ouest
11371	Frag. O		prox.	B	88	14	4							os	MTP	Ind.	dans l'axe	Ind.	PC	E2	est
11373	1	OP	dist.	C		4	3							os	os long	Ind.	dans l'axe	Cir.	Carrée	II	ouest
11373	2	Aiguille	mésial	B						2		1		os	Ind.	Ind.	dans l'axe	Ind.	Rect.	II	ouest
11381	1	Frag. O	mésial	C	88	8	4							os	os long	Ind.	déjetée G	Rect.	Rect.	II	ouest
11381	2	Aiguille	entier	B	64	3	2			4	2	2		os	Ind.	Ind.	dans l'axe	Ind.	Rect.	II	ouest
11386	Aiguille	V.A.1	prox.	A	24	2				2,5	1	1,5		os	Ind.	Ind.	dans l'axe	Ind.	Ovale	II	ouest
11387	Aiguille	ind	subentier	B	51	2	2							os	Ind.	Ind.	dans l'axe	Ind.	Cir.	II	ouest
11388	Frag. O		mésial	C		3	3							os	os long	Ind.	dans l'axe	Ind.	Carrée	II	ouest
11395	EB		prox.	B	135	4	4							os	os long	Daim	dans l'axe	Cir.	Cir.	II	ouest
11396	Frag. O		prox.	C	42	17	12,5							os	MTT	Daim	dans l'axe	Ind.	Ind.	II	ouest
11397	Aiguille	ind	mésial	C										os	Ind.	Ind.	dans l'axe	Ind.	Cir.	II	ouest
11399	1	EB	prox.	B	26	2								os	Ind.	Ind.	dans l'axe	Ind.	Cir.	II	ouest
11399	2	Aiguille	mésial	B										os	Ind.	Ind.	dans l'axe	Ind.	Cir.	II	ouest
11500	1	OP	dist.	C	85	9	5						20	os	os long	Ind.	dans l'axe	Ind.	Cir.	II	ouest
11500	2	OP	entier	B	83	10	9							os	MTT	Daim	dans l'axe	Cir.	CC	surface	surface

N°	Catégorie	Type	Frag.	Etat	L.T	I.T	ép. T	I.Taill.	ép. Taill.	L.PP chas	ép.PP chas	I.chas	Cal.	Mat. 1ère	Partie anatomique	Espèce	Orient. PD	Sect. PD	Sect. PM	Niveau	Secteur
					(mm)																
11537	OP	ind	dist.	B										os	os long	Ind.	dans l'axe	Ind.	Ovale	A	est
11556	Aiguille	ind	mésial	C										os	Ind.	diaphyse	dans l'axe	Ind.	Cir.	A	est
11558	OP	ind	dist.	B	30	5	3							os	os long	Ind.	dans l'axe	Cir.	CC	A	est
11604	OP	IV.B	dist.	C	38	5	4							os	os long	Ind.	dans l'axe	Ovale	CC	2	ouest
11611	Aiguille	ind	subentier	B	110	7,5				8	3	4		os	os long	Ind.	dans l'axe	Cir.	Rect.	2	ouest
11614	OP	ind	mésial	B	28	9,5	5							os	os long	Ind.	dans l'axe	Ind.	CC	2-I	ouest
11615	EB		prox.	B	20	2,5				2	1,5			os	Ind.	diaphyse	dans l'axe	Ind.	Cir.	II	ouest
11618	Aiguille	ind	dist.	B										os	Ind.	diaphyse	dans l'axe	Ind.	Rect.	II	ouest
11619	Aiguille	ind	dist.	B	33	2	2							os	Ind.	diaphyse	dans l'axe	Ind.	Cir.	II	ouest
11623	OP	ind	dist.	B	67,5	8	2,5							os	os long	Ind.	dans l'axe	Cir.	Rect.	II	ouest
11625	OP	III.A.2	entier	B	79	18	10						9	os	MTP	ép. Dist.	dans l'axe	Ovale	CC	II	ouest
11636	OP	ind	dist.	B	29	7	4,5						45	os	os long	Ind.	dans l'axe	Cir.	Rect.	III	ouest
11640	Aiguille	ind	mésial	C										os	Ind.	diaphyse	dans l'axe	Ind.	Ovale	III	ouest
11642	Aiguille	ind	prox.	B										os	Ind.	diaphyse	dans l'axe	Ind.	Ovale	III	ouest
11647	Frag. O		prox.	B	37									os	MTT D	ép. Prox.	dans l'axe	Ind.	CC	2	ouest
11651	EB		prox.	B	26	3				3	1,5			os	Ind.	diaphyse	dans l'axe	Ind.	Cir.	III	ouest
11654	Aiguille	ind	dist.	C	20	2								os	Ind.	diaphyse	dans l'axe	Ind.	Ovale	II-I	ouest
11660	poss. PDD		mésial	B		18	7							os	os long	Ind.	dans l'axe	Ind.	CC	III	ouest
11662 1	Aiguille	ind	mésial	C										os	Ind.	diaphyse	dans l'axe	Ind.	Cir.	III	ouest
11662 2	Frag. O		prox.	B	25	12								os	MTP	ép. Dist.	dans l'axe	Ind.	PC	III	ouest
11666	PDD			C										os	MTP	ép. Dist.	dans l'axe	Ind.	Ovale	II-I	ouest
11669	Aiguille	ind	mésial	C	26									os	Ind.	diaphyse	dans l'axe	Ind.	Ind.	III	ouest
11670 1	Frag. O		prox.	B										os	MTT	ép. Dist.	dans l'axe	Ind.	Ind.	III	ouest
11670 2	Frag. O		prox.	B	63	9,5	5							os	MTP	ép. Dist.	dans l'axe	Ind.	PC	III	ouest
11674 1	OP	III.A.2	subentier	C	56	6	4						4	os	MTP	ép. Dist.	dans l'axe	Cir.	CC	III	ouest
11674 2	Aiguille	ind	dist.	C	47	14	6							os	Ind.	diaphyse	courbe	Rect.	Rect.	III	ouest
11680	Frag. O		prox.	C	49									os	MTT	ép. Dist.	dans l'axe	Ind.	CC	II-I	ouest
11681	Aiguille	ind	dist.	B										os	Ind.	diaphyse	dans l'axe	Ind.	Cir.	II-I	ouest
11719	OP	IV.B	dist.	C	68	10	5							os	os long	diaphyse	dans l'axe	Ovale	Nat.	A	est
11725	OP	ind	dist.	B	23,5	5	4							os	os long	diaphyse	dans l'axe	Cir.	Ovale	A	est
11738	Frag. O		prox.	C										os	MTP	ép. Dist.	dans l'axe	Ind.	Ind.	A	est
11743	Aiguille	ind	dist.	B										os	Ind.	diaphyse	dans l'axe	Ind.	Cir.	A	est
11748	Frag. O		dist.	B										os	os long	diaphyse	dans l'axe	Ind.	Ind.	A	est
11749 1	OP	ind	dist.	C	68	8,5	5							os	os long	diaphyse	dans l'axe	Cir.	CC	B1	est
11749 2	Frag. O		mésial	B		8	5,5							os	os long	diaphyse	dans l'axe	Ind.	CC	B1	est

N°	Catégorie	Type	Frag.	Etat	L.T	I.T	ép. T	I.Taill.	ép. Taill.	L.PP chas	ép.PP chas	I.chas	Cal.	Mat.1ère	Partie anatomique	Espèce	Orient. PD	Sect. PD	Sect. PM	Niveau	Secteur
					(mm)																
11749	3	Aiguille	prox.	C	19	2				2	1	1,5		os	Ind.	diaphyse	Ind.	Ind.	Cir.	B1	est
11749	4	Aiguille	dist.	C	24	3								os	Ind.	diaphyse	Ind.	Ind.	Cir.	B1	est
11752		OP	dist.	C		5	5							os	os long	diaphyse	Ind.	Ind.	Cir.	A	est
11758		Frag. O	prox.	C	57									os	MTP	ép. Dist.	Daim	Ind.	Ind.	B1	est
11762		OP	dist.	B	30	3	3,5						9	os	os long	diaphyse	Ind.	Cir.	PC	A	est
11770		OP	dist.	C										os	os long	diaphyse	Ind.	Ind.	Ind.	A	est
11774		Aiguille	mésial	C										os	Ind.	diaphyse	Ind.	Ind.	Cir.	B1	est
11775		OP	dist.	C	69	9	5							os	os long	diaphyse	Ind.	Cir.	CC	A	est
11777	1	OP	dist.	B	17								16	os	os long	diaphyse	Ind.	Cir.	Ind.	A	est
11777	2	OP	dist.	C	75									os	os long	diaphyse	Ind.	Cir.	CC	A	est
11780		Aiguille	mésial	C	116	3								os	Ind.	diaphyse	Ind.	Ind.	Cir.	A	est
11787		Frag. O	mésial	C						4	2,5			os	os long	diaphyse	Ind.	Ind.	CC	A	est
11788		Aiguille	mésial	C										os	os long	diaphyse	Ind.	Ind.	CC	A	est
11800		Aiguille	mésial	B										os	Ind.	diaphyse	Ind.	Ind.	Cir.	A	est
11803		Aiguille	mésial	B										os	Ind.	diaphyse	Ind.	Ind.	Cir.	A	est
11804		Aiguille	entier	B										os	Ind.	diaphyse	Ind.	Ind.	Cir.	A	est
11805		Frag. O	prox.	C	66									os	MTP	ép. Dist.	Daim	Ind.	Ind.	A	est
11812		Frag. O	mésial	C	54	11	6							os	os long	diaphyse	Ind.	Ind.	PC	A	est
11822		OP	dist.	C	57,5	7	4							os	os long	diaphyse	Ind.	Cir.	Nat.	A	est
11828		Frag. O	prox.	C	78	14	8,5							os	MTC	ép. Dist.	Mouton	Ind.	CC	A	est
11831		Frag. O	mésial	C		12	5							os	os long	diaphyse	Ind.	Ind.	CC	A	est
11903		Aiguille	entier	B	64		1,5				1	1		os	Ind.	diaphyse	Ind.	Ind.	Cir.	A	est
11910		Frag. O	mésial	C		5	3			1,5				os	os long	diaphyse	Ind.	Ind.	Ovale	A	est
11921		Frag. O	prox.	C	78	17	11							os	MTP	ép. Dist.	Daim	Ind.	CC	B	est
11927		OP	dist.	C	35	7	4							os	os long	diaphyse	Ind.	Cir.	Nat.	A	est
11936		Frag. O	mésial	C										os	os long	diaphyse	Ind.	Ind.	Ind.	B2	est
11951		OP	subentier	C	40									os	MTC	ép. Dist.	Mouton	Ind.	PC	A	est
11959	1	Aiguille	prox.	B	21	2				2	1	1,5		os	Ind.	diaphyse	Ind.	Ind.	Cir.	B1	est
11959	2	Aiguille	prox.	B	46	2				2	1	1		os	Ind.	diaphyse	Ind.	Ind.	Cir.	B1	est
11965	1	OP	dist.	C	150	13	9							os	os long	diaphyse	Daim	Ind.	CC	B1	est
11965	2	Aiguille	mésial	C										os	Ind.	diaphyse	Ind.	Ind.	Cir.	B1	est
11965	3	OP	subentier	B	94	7	5							os	MTP	ép. Prox.	Ind.	Cir.	CC	B1	est
11965	4	Aiguille	mésial	B										os	Ind.	diaphyse	Ind.	Ind.	Cir.	B1	est
11970		Aiguille	prox.	B	2,5	2				2	1	1,5		os	Ind.	diaphyse	Ind.	Ind.	Cir.	A	est
11971	1	Aiguille	mésial	B										os	Ind.	diaphyse	Ind.	Ind.	Cir.	B1	est

N°	Catégorie	Type	Frag.	Etat	L.T	I.T	ép. T	I.Taill.	ép. Taill.	L.PP chas	ép.PP chas	I.chas	Cal.	Mat.1ère	Partie anatomique	Espèce	Orient. PD	Sect. PD	Sect. PM	Niveau	Secteur
									(mm)												
11971	2	Frag. O	mésial	C	59	5	3							os	os plat	Ind.	dans l'axe	Ind.	Ovale	Bl	est
12017		Aiguille	dist.	B	22	3								os	Ind.	Ind.	dans l'axe	Ind.	Cir.	A	est
12028	1	OP	dist.	C	25	6,5	5							os	os long	Ind.	dans l'axe	Ind.	Rect.	A	est
12028	2	Frag. O	mésial	C		9	5							os	os long	Ind.	dans l'axe	Ind.	Ovale	A	est
12050	1	EB	prox.	B						3		1,5		os	Ind.	Ind.	dans l'axe	Ind.	Ovale	A	est
12050	2	Aiguille	mésial	C										os	Ind.	Ind.	dans l'axe	Ind.	Cir.	A	est
12051	1	Aiguille	mésial	C										os	Ind.	Ind.	dans l'axe	Ind.	Cir.	A	est
12051	2	Frag. O	mésial	B		3	3							os	os long	Ind.	dans l'axe	Ind.	Cir.	A	est
12056		Aiguille	mésial	B										os	Ind.	Ind.	dans l'axe	Ind.	Cir.	A	est
12068		OP	dist.	B	45	12	5						28	os	os long	Ind.	dans l'axe	Ovale	CC	A	est
12074		Aiguille	prox.	B	29	2				2	1	0,5		os	Ind.	Ind.	dans l'axe	Ind.	Ovale	A	est
12087	1	Aiguille	dist.	B										os	Ind.	Ind.	dans l'axe	Cir.	Cir.	B	est
12087	2	Frag. O	prox.	C	46	12	5							os	MTT	Mouton	dans l'axe	Ind.	CC	B	est
12087	3	Aiguille	mésial	C										os	Ind.	Ind.	dans l'axe	Ind.	Cir.	B	est
12093		PDD		C										os	MTT	Mouton	dans l'axe	Ind.	Cir.	A	est
12100	1	Aiguille	prox.	B	35					3	2	1,5		os	Ind.	Ind.	dans l'axe	Ind.	Cir.	A	est
12100	2	Aiguille	prox.	B	22					1,5	1	1		os	Ind.	Ind.	dans l'axe	Ind.	Cir.	A	est
12101		OP	dist.	B		5,5	4							os	os long	Ind.	dans l'axe	Ovale	Rect.	A	est
12102		OP	dist.	B	46	7	3						18	os	os long	Ind.	dans l'axe	Ovale	CC	A	est
12105	1	Aiguille	dist.	B										os	Ind.	Ind.	dans l'axe	Ind.	Cir.	A	est
12105	2	Aiguille	mésial	B							1	1,5		os	Ind.	Ind.	dans l'axe	Ind.	Cir.	A	est
12105	3	Aiguille	mésial	B								1,5		os	Ind.	Ind.	dans l'axe	Ind.	Cir.	A	est
12107	1	PDD		C										os	MTC	Mouton	dans l'axe	Ind.	PC	A	est
12107	2	Aiguille	dist.	B	22	3								os	Ind.	Ind.	dans l'axe	Ind.	Cir.	A	est
12116	1	OP	subentier	B	75	4	4			7,5	5			os	os long	Ind.	dans l'axe	Ind.	Cir.	A	est
12116	2	Aiguille	dist.	B										os	Ind.	Ind.	dans l'axe	Cir.	Cir.	A	est
12117		Aiguille	prox.	B	60					1,5	1,5	1		os	Ind.	Ind.	dans l'axe	Ind.	Cir.	A	est
12122		OP	dist.	B	50	5	4						6,3	os	os long	Ind.	dans l'axe	Ovale	Trian.	A	est
12133		Frag. O	mésial	C	43	5,5	5							os	os long	Ind.	dans l'axe	Ind.	PC	A	est
12150		Aiguille	dist.	C	29									os	Ind.	Ind.	dans l'axe	Ind.	Cir.	A	est
12152		Frag. O	mésial	C										os	os long	Ind.	dans l'axe	Ind.	Ovale	A	est
12153		OP	dist.	B		7,5	4							os	os long	Ind.	dans l'axe	Ovale	CC	A	est
12155		Aiguille	prox.	C	34	13				14	6	4		os	Ind.	Ind.	dans l'axe	Ind.	Rect.	A	est
12156		Aiguille	dist.	B										os	Ind.	Ind.	dans l'axe	Ind.	Cir.	A	est
12157		OP	dist.	C	70									os	os long	Ind.	dans l'axe	Ovale	Ind.	A	est

N°	Catégorie	Type	Frag.	Etat	L.T	I.T	ép. T	I.Taill.	ép. Taill.	I. PP chas	ép. PP chas	I.chas	Cal.	Mat. 1ère	Partie anatomique	Espèce	Orient. PD	Sect. PD	Sect. PM	Niveau	Secteur	
								(mm)														
12171	OP	IV.B	dist.	C	43	12	7							os	os long	diaphyse	Ind.	dans l'axe	Ovale	Trian.	A	est
12181	1 Frag. O		prox.	C	75									os	MTP	ép. Dist.	Daim	dans l'axe	Ind.	Ind.	A	est
12181	2 Aiguille	ind	mésial	B										os	Ind.	diaphyse	Ind.	dans l'axe	Ind.	Rect.	A	est
12181	3 Aiguille	ind	mésial	B										os	Ind.	diaphyse	Ind.	dans l'axe	Ind.	Cir.	A	est
12190	EB		prox.	B	30	3				3	1,5			os	Ind.	diaphyse	Ind.	dans l'axe	Ind.	Ovale	A	est
12196	OP	ind	dist.	B		10	6							os	os long	diaphyse	Ind.	dans l'axe	Cir.	CC	A	est
12216	OP	ind	dist.	C	48	5,5	5							os	os long	diaphyse	Ind.	dans l'axe	Cir.	Ovale	A	est
12229	OP	III.A.2	entier	B	52	6	5						18	os	MTP	ép. Dist.	Capriné	déjetée G	Cir.	Cir.	A	est
12238	Aiguille	ind	dist.	B										os	Ind.	diaphyse	Ind.	dans l'axe	Ind.	Cir.	A	est
12240	Aiguille	ind	mésial	B								1,5		os	Ind.	diaphyse	Ind.	dans l'axe	Ind.	Cir.	A	est
12248	OP	IV.B	entier	B	55	13	5						12	os	os long	diaphyse	Ind.	dans l'axe	Ovale	CC	B1	est
12263	1 Frag. O		prox.	C	53	14	9							os	MTT	ép. Dist.	Daim	dans l'axe	Ind.	Nat.	B1	est
12263	2 Frag. O		mésial	C	98	12	6,5							os	os long	diaphyse	Ind.	dans l'axe	Ind.	CC	B1	est
12263	3 OP	IV.B	dist.	B	49,5	8	5						12	os	os long	diaphyse	Ind.	dans l'axe	Cir.	CC	B1	est
12264	Aiguille	ind	dist.	B	41	3,5								os	Ind.	diaphyse	Ind.	dans l'axe	Ind.	Carrée	B1	est
12278	Aiguille	ind	dist.	C										os	Ind.	diaphyse	Ind.	dans l'axe	Ind.	Rect.	B2	est
12286	Aiguille	ind	mésial	C										os	Ind.	diaphyse	Ind.	dans l'axe	Ind.	Cir.	B2	est
12294	1 EB		entier	B	54	4								os	Ind.	diaphyse	Ind.	dans l'axe	Ind.	Rect.	B2	est
12294	2 Aiguille	ind	mésial	C										os	Ind.	diaphyse	Ind.	dans l'axe	Ind.	Cir.	B2	est
12304	OP	III.B.1	entier	B	85	9	5						11	os	MTP	ép. Prox.	Capriné	dans l'axe	Cir.	Rect.	C	est
12305	1 Aiguille	V.A.1	prox.	B	21,5	2				3	1,5			os	Ind.	diaphyse	Ind.	dans l'axe	Ind.	Cir.	B2	est
12305	2 Aiguille	ind	mésial	B										os	Ind.	diaphyse	Ind.	dans l'axe	Ind.	Cir.	B2	est
12306	1 PDD			C										os	MTP	ép. Dist.	Daim	dans l'axe	Ind.	Ind.	C	est
12306	2 OP	ind	dist.	B	66	15	7						14	os	os long	diaphyse	Ind.	dans l'axe	Ovale	CC	C	est
12309	Frag. O		prox.	B	54	13	7							os	MTP	ép. Dist.	Daim	dans l'axe	Ind.	CC	C	est
12407	poss. PDD		ind.	B	47,5	8	7							os	os long	diaphyse	Ind.	dans l'axe	Ind.	Ind.	A	est
12422	OP	ind	dist.	B		7,5	4,5							os	os long	diaphyse	Ind.	dans l'axe	Ovale	CC	A	est
12436	OP	ind	dist.	B		8	4							os	os long	diaphyse	Ind.	dans l'axe	Cir.	CC	A	est
12439	Divers	XI.C	mésial	C	32	9	9							os	os long	diaphyse	Oiseau	dans l'axe	Ind.	Cir.	B2	est
12464	Frag. O		prox.	C		14	5							os	MTT	ép. Prox.	Daim	dans l'axe	Ind.	CC	B2	est
12491	Aiguille	ind	dist.	B	33	2								os	Ind.	diaphyse	Ind.	dans l'axe	Cir.	Cir.	B2	est
12493	Aiguille	ind	mésial	B						2	1	1		os	Ind.	diaphyse	Ind.	dans l'axe	Ind.	Cir.	B2	est
12499	Aiguille	V.A.1	prox.	A	28	2				2,5	1	0,5		os	Ind.	diaphyse	Ind.	dans l'axe	Ind.	Cir.	B2	est
12532	1 Aiguille	ind	dist.	B	26									os	Ind.	diaphyse	Ind.	dans l'axe	Cir.	Cir.	B3	est
12532	2 OP	ind	dist.	B		10	6							os	os long	diaphyse	Ind.	dans l'axe	Cir.	Ovale	B3	est

N°	Catégorie	Type	Frag.	Etat	L.T	I.T	ép. T	I.Taill.	ép. Taill.	L.PP chas	ép.PP chas	L.chas	Cal.	Mat.1ère	Partie anatomique	Espèce	Orient. PD	Sect. PD	Sect. PM	Niveau	Secteur
12789	Frag. O		prox.	C										os	MTP	Daim	dans l'axe	Ind.	Ind.	B4	est
12793	OP	IV.B	dist.	C	50	6	4							OS	os long	Ind.	dans l'axe	Ovale	CC	B4	est
12793	OP	IV.B	dist.	B	35	4	3							os	os long	Ind.	dans l'axe	Ovale	Rect.	B4	est
12793	OP	ind	dist.	B	68,5	10	5,5						33	os	os long	Ind.	dans l'axe	Cir.	Trian.	B4	est
12802	Aiguille	ind	dist.	B										os	Ind.	Ind.	dans l'axe	Ind.	Cir.	C	est
12802	Aiguille	ind	mésial	B	64					4,5				os	Ind.	Ind.	dans l'axe	Ind.	Cir.	C	est
12916	Aiguille	ind	mésial	B										os	Ind.	Ind.	dans l'axe	Ind.	Cir.	B5	est
12917	OP	ind	dist.	C	59	12	6					0,8		os	os long	Ind.	dans l'axe	Cir.	CC	B5	est
12917	Frag. O		mésial	B										os	os long	Ind.	dans l'axe	Ind.	Ind.	B5	est
12924	Frag. O		mésial	B		9	5							os	os long	Ind.	dans l'axe	Ind.	Ovale	B5	est
12924	OP	ind	dist.	B	4	4								os	os long	Ind.	dans l'axe	Cir.	Cir.	B5	est
12934	Aiguille	ind	dist.	B										os	Ind.	Ind.	dans l'axe	Cir.	Cir.	B5	est
12943	Frag. O		prox.	C										os	MTP	ép. Dist.	dans l'axe	Ind.	Ind.	C	est
12980	Frag. O		mésial	B										os	os long	Ind.	dans l'axe	Ind.	CC	C	est
12993	Frag. O		prox.	B										os	MTT	ép. Dist.	dans l'axe	Ind.	Ind.	C	est
12995	OP	ind	dist.	B	101	6	4							os	os long	Ind.	dans l'axe	Cir.	Rect.	C	est
12997	OP	ind	dist.	C		15,5	5,5							os	os long	Ind.	dans l'axe	Ovale	CC	B5	est
13001	OP	ind	dist.	B	50	7,5	4							os	os long	Ind.	dans l'axe	Ind.	CC	C	est
13024	EB		prox.	B	26	3				3,5	1,5			os	Ind.	Ind.	dans l'axe	Ind.	Cir.	C	est
13029	Frag. O		prox.	B										os	MTC	ép. Dist.	dans l'axe	Ind.	Nat.	C	est
13031	OP	IV.B	dist.	B	63	5,5	4							os	os long	Ind.	dans l'axe	Rect.	Rect.	C	est
13045	Aiguille	ind	mésial	B								1,5		os	Ind.	Ind.	dans l'axe	Ind.	Rect.	C	est
13045	Aiguille	ind	dist.	B			1							os	Ind.	Ind.	dans l'axe	Ind.	Rect.	C	est
13049	Aiguille	V.A.1	prox.	B								0,8		os	Ind.	Ind.	dans l'axe	Ind.	Cir.	C	est
13109	Frag. O		mésial	B		12	4							os	os long	Ind.	dans l'axe	Ind.	CC	D1	est
13144	Divers	XII.D	ind.	B	23									os	os long	Ind.	dans l'axe	Ind.	Ind.	D1	est
13149	OP	ind	dist.	B		6,5	5,5							os	os long	Ind.	dans l'axe	Cir.	Cir.	D1	est
13151	OP	III.B.1	entier	B	88	8	3					10		os	MTT G	Capriné	dans l'axe	Cir.	CC	B	est
13153	Aiguille	ind	mésial	B			2							os	Ind.	Ind.	dans l'axe	Ind.	Cir.	D1	est
13200	OP	ind	dist.	B	43	8	8					42		os	os long	Ind.	dans l'axe	Cir.	Carrière	C	est
13200	Frag. O		mésial	B		15	8							os	os long	Ind.	dans l'axe	Ind.	CC	C	est
13217	OP	IV.B	dist.	B		8	5							os	os long	Ind.	dans l'axe	Ind.	Nat.	C	est
13217	Frag. O		prox.	B										os	MTT	Daim	dans l'axe	Ind.	Ind.	C	est
13224	OP	ind	dist.	B	56	6	4							os	os long	Ind.	dans l'axe	Ovale	Ovale	C	est
13236	OP	ind	dist.	B	47	3	3							os	os long	Ind.	dans l'axe	Cir.	Cir.	D2	est

N°	Catégorie	Type	Frag.	Etat	L.T	I.T	ép. T	I.Taill.	ép. Taill.	L.PP chas	ép.PP chas	L.chas	Cal.	Mat.1ère	Partie anatomique	Espèce	Orient. PD	Sect. PD	Sect. PM	Niveau	Secteur
								(mm)													
13585	1 OP	IV.B	dist.	B			5	5	3				6,3	os	os long	Ind.	dans l'axe	Ovale	Nat.	C	est
13585	2 OT	VI	dist.	B		11	5							os	ulna	Ind.	dans l'axe	Rect.	Nat.	C	est
13585	3 OP	IV.B	dist.	B		11	5						25	os	os long	Ind.	dans l'axe	Ovale	Nat.	C	est
13594	OP	ind	dist.	B	69	9,5	5,5							os	os long	Ind.	dans l'axe	Ovale	Ovale	E3	est
13607	Frag. O		prox.	B										os	MTP	ép. Dist.	dans l'axe	Ind.	Nat.	E2	est
13618	OP	ind	dist.	B		8	6							os	os long	Ind.	dans l'axe	Cir.	Ovale	D2	est
13627	OP	ind	dist.	C	63	11,5	5,5							os	os long	Ind.	dans l'axe	Ovale	CC	D2	est
13638	1 Frag. O		prox.	B	42,5	10	4							os	os long	Ind.	dans l'axe	Ind.	CC	E3	est
13638	2 Frag. O		mésial	B		10	5,5							os	os long	Ind.	dans l'axe	Ind.	Ovale	E3	est
13650	1 OP	IV.B	dist.	C		5	3							os	os long	Ind.	dans l'axe	Ind.	Rect.	E1	est
13650	2 OT	ind	dist.	B	41	11	12							os	os long	Ind.	dans l'axe	Ind.	Carrée	E1	est
13666	OP	ind	dist.	B	73,5	7,5	5,5							os	os long	Ind.	dans l'axe	Ind.	Trian.	E2	est
13689	OP	ind	dist.	B		5	4							os	os long	Ind.	dans l'axe	Ind.	Ovale	E1	est
13690	OP	ind	dist.	C	76	11,5	7							os	os long	Ind.	dans l'axe	Cir.	Nat.	E1	est
13691	Frag. O		dist.	C	39,5	12	15							bois	Ind.	Daim	dans l'axe	Ind.	Nat.	E2	est
13699	Frag. O		mésial	B		6,5	4							os	os long	Ind.	dans l'axe	Ind.	Ovale	E-F	est
50001	OP	ind	dist.	B	58	14	6						24	os	os long	Ind.	dans l'axe	Cir.	CC	potamos	potamos
50022	Frag. O		mésial	B		5,5	3,5							os	os long	Ind.	dans l'axe	Ind.	Ovale	potamos	potamos
50106	Frag. O		mésial	B		8	4							os	os long	Ind.	dans l'axe	Ind.	Rect.	potamos	potamos
50108	OP	ind	dist.	B	42,5	10,5	5						6,3	os	os long	Ind.	dans l'axe	Cir.	Rect.	potamos	potamos
50114	Aiguille	ind	dist.	B	23,5	2								os	Ind.	Ind.	dans l'axe	Rect.	Rect.	potamos	potamos
50142	OP	III.B.2	entier	B	110	9	8						22	os	MTT G	Daim	dans l'axe	Cir.	Trian.	potamos	potamos
50143	OP	ind	dist.	B	67,5	14,5	7						28	os	os long	Ind.	dans l'axe	Cir.	CC	potamos	potamos
50144	Frag. O		prox.	C										os	MTP	ép. Dist.	dans l'axe	Ind.	Ind.	potamos	potamos
50168	OP	IV.B	dist.	B	52	4	3						5	os	os long	Ind.	dans l'axe	Cir.	Nat.	potamos	potamos
50178	OT	IX.A	entier	B	135	20	13		4					os	os long	Daim	dans l'axe	Ovale	CC	potamos	potamos
50184	OP	ind	dist.	C	46	13,5	7	5,5						os	os long	Ind.	dans l'axe	Cir.	CC	potamos	potamos
50200	OP	LA	entier	B	143	10	4						6	os	fibula	ép. Prox.	dans l'axe	Cir.	Ovale	potamos	potamos
50202	1 Frag. O		ind.	B	162									os	os long	Ind.	dans l'axe	Ind.	Rect.	potamos	potamos
50202	2 Frag. O		prox.	B	61	9	7							os	os long	Ind.	dans l'axe	Ind.	CC	potamos	potamos
50308	1 PDD		mésial	C	2,5									bois	MC+mer	Daim	dans l'axe	Ind.	Ind.	potamos	potamos
50308	2 Frag. O		dist.	C	88	28	27							bois	poss and.	Daim	dans l'axe	Ind.	Ind.	potamos	potamos
50308	3 Frag. O		mésial	C	106	21	21							bois	and.	Daim	dans l'axe	Ind.	Ind.	potamos	potamos
50308	4 ind.		ind.	C	84	18	16							bois	merrain	Daim	dans l'axe	Ind.	Ind.	potamos	potamos
50339	PDD	ind		B	35	14	11							bois	Ind.	Daim	dans l'axe	Ind.	Ovale	potamos	potamos

N°	Catégorie	Type	Frag.	Etat	L.T	I.T	ép. T	I.Taill.	ép. Taill.	L.PP chas	ép.PP chas	I.chas	Cal.	Mat. 1ère	Partie anatomique	Espèce	Orient. PD	Sect. PD	Sect. PM	Niveau	Secteur
51132	OP	III.A.1	subentier	B	83	11	5							os	MTP	Ind.	dans l'axe	Ovale	CC		potamos
51134	Aiguille	ind	subentier	B										os	Ind.	Ind.	dans l'axe	Ind.	Cir.		potamos
51141	OP	ind	dist.	B	59	10	4							os	os long	Ind.	dans l'axe	Ind.	CC		potamos
51255	Frag. O		mésial	C										os	os long	Ind.	dans l'axe	Ind.	Nat.		potamos
ss n°	OP	ind	dist.	B	57	4	4							os	os long	Ind.	dans l'axe	Cir.		HS	
ss n°	Frag. O		mésial	B		6,5	3,5							os	os long	Ind.	dans l'axe	Ind.	Ovale		HS
ss n°	Frag. O		mésial	B		5	4							os	os long	Ind.	dans l'axe	Ind.	Ovale		HS
Total																					2317

Kh-KhP Données techniques

N°	Catégorie	Type	Frag.	Proc. Déc.	Technique	Méthode	Etendue faç.	Technique	Degré transf.	Forage	For. Sym.	TT
50200	OP	I.A	entier	Os entier			12	abrasion et raclage	0			
9042	OP	I.B.1	subentier	Os entier			1	raclage	0			
9914	2 OP	I.B.1	entier	Os entier			12	abrasion	0			
10007	2 OP	I.B.2	subentier	Os entier			1	abrasion et raclage	0			oui
13580	OP	I.C	entier	Os entier			2	raclage	0			
2409	1 OP	II.A.1	subentier	Ind.	Percussion	Ind.	2	abrasion	1			
10827	1 OP	II.A.1	subentier	Ind.	Percussion	Ind.	1	abrasion	1			
12648	OP	II.A.1	entier	Ind.	Percussion	Ind.		Ind.	1			
2276	3 OP	II.A.2	entier	Ind.	Percussion	Ind.		Ind.	1			
5157	1 OP	II.A.2	subentier	Ind.	Percussion	Ind.	1	abrasion	1			
12709	1 OP	II.A.2	entier	Ind.	Percussion	Ind.	12	abrasion et raclage	1			
1013	1 OP	III.A.1	subentier	2	Ind.	Ind.	1	abrasion	2			
1810	OP	III.A.1	subentier	2	Percussion	Ind.	1	abrasion	2			
2550	1 OP	III.A.1	subentier	2	S+P	Poss. SU+P	2	abrasion et raclage	2			
4493	2 OP	III.A.1	subentier	2	Percussion	Ind.	2	abrasion	2			oui
4565	OP	III.A.1	subentier	2	Percussion	Ind.	2	abrasion	2			
4790	1 OP	III.A.1	subentier	2	Ind.	Ind.		Ind.	2			
9135	OP	III.A.1	subentier	2	Percussion	Ind.		Ind.	2			
9652	OP	III.A.1	subentier	2	Percussion	Ind.	1	abrasion	2			
10108	OP	III.A.1	subentier	2	Percussion	Ind.	12	abrasion	2			
10729	OP	III.A.1	subentier	2	Percussion	Ind.	23	abrasion et raclage	2			
11064	1 OP	III.A.1	subentier	2	Sciage	Poss. SU	2	abrasion	2			oui
11346	1 OP	III.A.1	subentier	2	Percussion	Ind.	1	abrasion	2			oui
11951	OP	III.A.1	subentier	2	S+P	SU+P		Ind.	2			
51132	OP	III.A.1	subentier	2	Percussion	Ind.		Ind.	2			
589	1 OP	III.A.2	entier	2	Sciage	Poss. SB	2	abrasion	2			
1717	1 OP	III.A.2	entier	2	S+P	SU+P		Ind.	2			
2508	OP	III.A.2	entier	2	Percussion	Ind.		Ind.	2			
2536	1 OP	III.A.2	entier	2	S+P	SPB+P		Ind.	2			
2650	3 OP	III.A.2	subentier	2	S+P	SU+P	2	abrasion et raclage	2			
4121	OP	III.A.2	subentier	2	Ind.	Ind.		Ind.	2			
6277	OP	III.A.2	entier	2	S+P	SPB+P		Ind.	2			oui
6807	2 OP	III.A.2	subentier	2	S+P	SIU+P	2	abrasion	2			
8376	2 OP	III.A.2	entier	2	S+P	SIB+P	12	raclage	2			oui

N°	Catégorie	Type	Frag.	Proc. Déc.	Technique	Méthode	Etendue faç.	Technique	Degré transf.	Forage	For. Sym.	TT
8973	OP	III.A.2	entier	2	S+P	Poss. SPB+P	1	abrasion	2			
9246	OP	III.A.2	entier	2	Percussion	Ind.		Ind.	2			
9400	1	III.A.2	subentier	2	S+P	SPB+P	1	abrasion	2			
10821	2	III.A.2	subentier	2	S+P	Poss. SPB+P	23	abrasion	2			
11206	2	III.A.2	subentier	2	Percussion	Ind.	123	raclage	2			
11235	1	III.A.2	subentier	2	S+P	SIB+P		Ind.	2			
11625	OP	III.A.2	entier	2	Sciage	SIB	123	abrasion et raclage	2			oui
11674	OP	III.A.2	subentier	2	S+P	SU+P	12	abrasion	2			
12229	OP	III.A.2	entier	2	Percussion	Ind.	1	abrasion	2			oui
528	1	III.B.1	entier	Poss. 4	Ind.	Ind.	12	raclage	2			
966	1	III.B.1	subentier	2	Ind.	Ind.		Ind.	2			
1333	1	III.B.1	entier	2-	Ind.	Ind.		Ind.	2			
1626	2	III.B.1	entier	4-	Percussion	Ind.	12	abrasion et raclage	2			
1658	1	III.B.1	subentier	Poss. 4	Ind.	Ind.	12	abrasion	2			
1681	1	III.B.1	entier	2-	Percussion	Ind.	1	abrasion	2			
1841	OP	III.B.1	entier	4	Ind.	Ind.	12	raclage	2			oui
2276	1	III.B.1	subentier	4	Ind.	Ind.		Ind.	2			
2328	1	III.B.1	subentier	4	Percussion	Ind.	2	abrasion	2			
2352	OP	III.B.1	entier	Poss. 4	Percussion	Ind.	2	abrasion	2			
2519	1	III.B.1	entier	4	S+P	SIB+P	23	abrasion	2			
2858	1	III.B.1	entier	Ind.	Ind.	Ind.		Ind.	2			
3218	3	III.B.1	subentier	2-	Ind.	Ind.	23	abrasion	2			
3345	2	III.B.1	subentier	2	Ind.	Ind.		Ind.	2			
4205	1	III.B.1	entier	4	Percussion	Ind.		Ind.	2			
4675	OP	III.B.1	entier	2	Percussion	Ind.	1	abrasion	2			
5177	OP	III.B.1	subentier	2	Sciage	Poss. SIB	12	abrasion	2			
5201	1	III.B.1	entier	2	Sciage	Poss. SIB		Ind.	2			
5273	OP	III.B.1	entier	Ind.	Ind.	Ind.		Ind.	2			
5390	OP	III.B.1	entier	2	Sciage	Poss. SIB	12	raclage	2			
5569	2	III.B.1	entier	4	S+P	SPU+P	123	abrasion	2			oui
6355	OP	III.B.1	subentier	2	Percussion	Ind.	12	abrasion	2			oui
6544	OP	III.B.1	subentier	4	Ind.	Ind.	2	abrasion	2			
6766	OP	III.B.1	subentier	4	Percussion	Ind.	2	abrasion	2			
7280	OP	III.B.1	subentier	4	S+P	SIU+P	2	abrasion	2			
7529	OP	III.B.1	entier	2	Percussion	Ind.		Ind.	2			

N°	Catégorie	Type	Frag.	Proc. Déc.	Technique	Méthode	Etendue faç.	Technique	Degré transf.	Forage	For. Sym.	TT
7755	2 OP	III.B.1	subentier	2-	Sciage	Poss. SIB	2	raclage	2			
7804	1 OP	III.B.1	subentier	2	Percussion	Ind.		Ind.	2			oui
8923	OP	III.B.1	subentier	4	S+P	SIU+P	2	abrasion	2			
9211	OP	III.B.1	entier	2-	S+P	SIB+P	1	raclage	2			
9873	OP	III.B.1	entier	2	S+P	Poss. SB+P	12	abrasion	2			oui
9898	OP	III.B.1	entier	4-	Percussion	Ind.		Ind.	2			
10007	1 OP	III.B.1	entier	2-	S+P	SIU+P	123	abrasion et raclage	2			oui
10286	4 OP	III.B.1	entier	4-	Sciage	Poss. SIB	2	raclage	2			oui
10318	OP	III.B.1	subentier	2-	S+P	Poss.	2	abrasion	2			
10827	2 OP	III.B.1	subentier	4-	Poss. P	SPU+P	12	abrasion	2			
11037	OP	III.B.1	subentier	4-	S+P	SPB+P	12	abrasion et raclage	2			oui
11145	4 OP	III.B.1	entier	4-	Percussion	Ind.	1	abrasion	2			oui
11175	OP	III.B.1	entier	4	S+P	Poss. SB+P	23	abrasion	2			oui
11252	1 OP	III.B.1	subentier	4	Ind.	Ind.	12	abrasion et raclage	2			oui
11362	2 OP	III.B.1	subentier	2-	Sciage	SB	12	abrasion et raclage	2			
11500	2 OP	III.B.1	entier	4	S+P	SU+P		Ind.	2			
11965	3 OP	III.B.1	subentier	4	Sciage	Poss. SIB	12	raclage	2			oui
12304	OP	III.B.1	entier	4-	Ind.	Ind.	123	abrasion et raclage	2			oui
12592	OP	III.B.1	subentier	4-	Ind.	Ind.		Ind.	2			
12678	OP	III.B.1	subentier	4	Percussion	Ind.	123	abrasion et raclage	2			oui
13151	OP	III.B.1	entier	4	S+P	SIU+P	1	abrasion	2			
50829	OP	III.B.1	subentier	Poss. 2-	Ind.	Ind.	2	abrasion	Ind.			
10540	1 OP	III.B.2	entier	2-	Poss. P	Ind.		Ind.	2			oui
10562	1 OP	III.B.2	subentier	2	Sciage	SIB	123	abrasion et raclage	2			
11142	2 OP	III.B.2	entier	2	S+P	SPB+P	2	abrasion	2			
50142	OP	III.B.2	entier	2	S+P	SIU+P	123	abrasion et raclage	2			oui
1045	1 OP	III.B.3	entier	4	Sciage	Poss. SB		Ind.	2			
6007	1 OP	III.B.3	entier	4-	Sciage	SB	123	abrasion et raclage	2			
50867	OP	III.B.3	entier	4	Ind.	Ind.	1	raclage	2			oui
4325	OP	III.B.4	entier	4	Ind.	Ind.		Ind.	2			
1428	OP	ind	dist.	Ind.	Ind.	Ind.		Ind.	3			
1037	1 OP	IV.A.1	entier	Ind.	Percussion	Ind.	12	abrasion	3			
1091	1 OP	IV.A.1	entier	Ind.	Ind.	Ind.	123	abrasion	3			
1330	1 OP	IV.A.1	subentier	Ind.	Ind.	Ind.	123	abrasion et raclage	3			
2201	1 OP	IV.A.1	entier	Ind.	Ind.	Ind.		Ind.	3			
2270	2 OP	IV.A.1	entier	Ind.	Ind.	Ind.	23	abrasion	3			

N°	Catégorie	Type	Frag.	Proc. Déc.	Technique	Méthode	Etendue faç.	Technique	Degré transf.	Forage	For. Sym.	TT
2705	1	OP	entier	Ind.	Ind.	Ind.		Ind.	2			
3218	1	OP	entier	4	Ind.	Ind.	23	abrasion	3			
3716	2	OP	entier	Ind.	Ind.	Ind.	123	abrasion et racle	3			oui
3781	2	OP	entier	4	Ind.	Ind.		Ind.	3			
4496	OP	IV.A.1	subentier	Ind.	Ind.	Ind.		Ind.	3			
4559	2	OP	entier	Ind.	Poss. P	Ind.	123	racle	3			
4806	OP	IV.A.1	subentier	Ind.	Ind.	Ind.	123	abrasion et racle	3			oui
5099	OP	IV.A.1	subentier	2	S+P	SU+P	3	racle	3			
5508	OP	IV.A.1	entier	Ind.	Percussion	Ind.	2	abrasion	3			
5515	OP	IV.A.1	entier	2	Ind.	Ind.	123	abrasion et racle	3			
5599	1	OP	subentier	2	S+P	SU+P		Ind.	3			oui
5709	OP	IV.A.1	subentier	Ind.	Ind.	Ind.	123	abrasion et racle	3			
6957	OP	IV.A.1	entier	Ind.	Percussion	Ind.	123	abrasion et racle	3			
7684	OP	IV.A.1	entier	Ind.	Ind.	Ind.	2	abrasion	3			
8737	OP	IV.A.1	entier	2	Sciage	SIB	12	abrasion	3			oui
9896	OP	IV.A.1	entier	2-	S+P	SPB+P	123	abrasion et racle	3			
10726	OP	IV.A.1	subentier	Ind.	Ind.	Ind.	23	abrasion	3			oui
10830	OP	IV.A.1	entier	Ind.	Percussion	Ind.	123	abrasion et racle	3			oui
10963	3	OP	entier	Ind.	Ind.	Ind.	123	abrasion	3			oui
10990	OP	IV.A.1	entier	2	Ind.	Ind.	123	abrasion et racle	3			
11034	3	OP	entier	Ind.	Percussion	Ind.	1	abrasion	3			
11238	1	OP	subentier	Ind.	Percussion	Ind.	123	abrasion et racle	3			oui
11279	2	OP	subentier	Ind.	Ind.	Ind.	123	abrasion	3			
11298	OP	IV.A.1	entier	Ind.	Percussion	Ind.	2	abrasion	3			oui
12116	OP	IV.A.1	subentier	Ind.	Ind.	Ind.	23	abrasion	3			oui
12777	OP	IV.A.1	subentier	Ind.	Ind.	Ind.		Ind.	3			
12783	OP	IV.A.1	subentier	Ind.	Ind.	Ind.	123	abrasion et racle	3			
13421	2	OP	subentier	Poss. 4	Ind.	Ind.	123	abrasion et racle	3			
13539	OP	IV.A.1	subentier	Ind.	Percussion	Ind.	2	racle	3			
50476	OP	IV.A.1	entier	Ind.	Ind.	Ind.	1	abrasion	3			
50871	OP	IV.A.1	entier	Ind.	Percussion	Ind.	123	abrasion et racle	3			oui
5956	1	OP	subentier	Ind.	Ind.	Ind.	23	abrasion et racle	3			oui
1827	OP	IV.A.2	subentier	Ind.	Ind.	Ind.		Ind.	3			
2541	OP	IV.A.2	entier	Ind.	Ind.	Ind.	123	abrasion	Ind.			
2661	1	OP	entier	Ind.	Sciage	Poss. SU		Ind.	3			
9382	OP	IV.A.2	entier	Poss. 4	Sciage	Poss. SB	123	racle	3			

N°	Catégorie	Type	Frag.	Proc. Déc.	Technique	Méthode	Etendue faç.	Technique	Degré transf.	Forage	For. Sym.	TT
9891	OP	IV.A.2	entier	Ind.	Percussion	Ind.	123	abrasion et raclage	3			oui
11130	OP	IV.A.2	entier	Ind.	Percussion	Ind.	1	abrasion et raclage	1			
11356	1 OP	IV.A.2	subentier	Ind.	Ind.	Ind.	123	abrasion et raclage	3			
5660	1 OP	IV.A.3	dist.	Ind.	Ind.	Ind.		Ind.				
1453	2 OP	IV.A.4	entier	Ind.	Ind.	Ind.	3	abrasion	3			
834	1 OP	IV.B	dist.	Ind.	Percussion	Ind.		Ind.				
937	1 OP	IV.B	dist.	Ind.	Percussion	Ind.		Ind.				
1503	OP	IV.B	dist.	Ind.	Percussion	Ind.		Ind.				
1559	1 OP	IV.B	dist.	Ind.	Percussion	Ind.	1	abrasion				oui
1626	1 OP	IV.B	dist.	Ind.	Percussion	Ind.	1	abrasion				
1834	1 OP	IV.B	dist.	Ind.	Percussion	Ind.		Ind.				
1845	2 OP	IV.B	dist.	Ind.	Percussion	Ind.	1	abrasion				
1861	3 OP	IV.B	dist.	Ind.	Percussion	Ind.		Ind.				oui
1882	OP	IV.B	subentier	Ind.	Percussion	Ind.	1	abrasion	1			
1887	1 OP	IV.B	dist.	Ind.	Percussion	Ind.		Ind.				
1932	1 OP	IV.B	dist.	Ind.	Percussion	Ind.		Ind.				
1938	1 OP	IV.B	dist.	Ind.	Percussion	Ind.		Ind.				oui
2036	1 OP	IV.B	dist.	Ind.	Percussion	Ind.	12	abrasion				oui
2118	1 OP	IV.B	dist.	Ind.	Percussion	Ind.		Ind.				oui
2137	2 OP	IV.B	dist.	Ind.	Percussion	Ind.	12	abrasion				oui
2291	1 OP	IV.B	dist.	Ind.	Percussion	Ind.		Ind.				
2448	1 OP	IV.B	dist.	Ind.	Percussion	Ind.		Ind.				
2500	3 OP	IV.B	subentier	Ind.	Percussion	Ind.		Ind.	1			
2552	1 OP	IV.B	dist.	Ind.	Percussion	Ind.	1	raclage				
2723	1 OP	IV.B	dist.	Ind.	Percussion	Ind.	1	abrasion				
2765	2 OP	IV.B	dist.	Ind.	Percussion	Ind.		Ind.				
3357	1 OP	IV.B	dist.	Ind.	Percussion	Ind.		Ind.				
3438	1 OP	IV.B	dist.	Ind.	Percussion	Ind.		Ind.				
3781	1 OP	IV.B	dist.	Ind.	Percussion	Ind.		Ind.				
4007	OP	IV.B	dist.	Ind.	Percussion	Ind.		Ind.				
4050	3 OP	IV.B	dist.	Ind.	Percussion	Ind.		Ind.				
4065	1 OP	IV.B	dist.	Ind.	Percussion	Ind.		Ind.				
4082	1 OP	IV.B	dist.	Ind.	Percussion	Ind.	1	abrasion				
4102	OP	IV.B	dist.	Ind.	Percussion	Ind.		Ind.				
4254	2 OP	IV.B	entier	Ind.	Percussion	Ind.		Ind.	1			
4254	1 OP	IV.B	dist.	Ind.	Percussion	Ind.	1	abrasion				

N°	Catégorie	Type	Frag.	Proc. Déc.	Technique	Méthode	Etendue faç.	Technique	Degré transf.	Forage	For. Sym.	TT
4254	OP	IV.B	dist.	Ind.	Percussion	Ind.		Ind.				
4338	OP	IV.B	dist.	Ind.	Percussion	Ind.		Ind.				
4412	OP	IV.B	dist.	Ind.	Percussion	Ind.		Ind.				
4509	2	OP	IV.B	Ind.	Percussion	Ind.		Ind.				oui
4539	OP	IV.B	dist.	Ind.	Percussion	Ind.		Ind.				oui
4559	1	OP	IV.B	Ind.	Percussion	Ind.		Ind.				
4601	1	OP	IV.B	Ind.	Percussion	Ind.	1	abrasion				
4719	OP	IV.B	dist.	Ind.	Percussion	Ind.	1	raclage				oui
4727	OP	IV.B	dist.	Ind.	Percussion	Ind.		Ind.				
5132	OP	IV.B	subentier	Ind.	Percussion	Ind.	2	abrasion	1			
5253	1	OP	IV.B	Ind.	Percussion	Ind.	1	abrasion				oui
5458	OP	IV.B	dist.	Ind.	Percussion	Ind.		Ind.				
5568	1	OP	entier	Ind.	Percussion	Ind.		Ind.	1			
5568	2	OP	dist.	Ind.	Percussion	Ind.	1	raclage				
5732	1	OP	dist.	Ind.	Percussion	Ind.	1	raclage				
5752	OP	IV.B	entier	Ind.	Percussion	Ind.		Ind.	1			
5781	OP	IV.B	dist.	Ind.	Percussion	Ind.		Ind.				
5791	OP	IV.B	dist.	Ind.	Percussion	Ind.		Ind.				
5807	OP	IV.B	dist.	Ind.	Percussion	Ind.	12	abrasion				
5896	OP	IV.B	dist.	Ind.	Percussion	Ind.	1	abrasion				
6136	OP	IV.B	dist.	Ind.	Percussion	Ind.	1	abrasion				
6273	1	OP	entier	Ind.	Percussion	Ind.	1	abrasion	1			
6309	2	OP	dist.	Ind.	Percussion	Ind.		Ind.				
6328	OP	IV.B	dist.	Ind.	Percussion	Ind.	1	abrasion				
6533	OP	IV.B	dist.	Ind.	Percussion	Ind.	1	abrasion				
7059	OP	IV.B	dist.	Ind.	Percussion	Ind.		Ind.				oui
7087	2	OP	dist.	Ind.	Percussion	Ind.		Ind.				
7148	2	OP	dist.	Ind.	Percussion	Ind.		Ind.				
7163	OP	IV.B	dist.	Ind.	Percussion	Ind.	12	abrasion				
7223	OP	IV.B	dist.	Ind.	Percussion	Ind.	12	abrasion et raclage				oui
7327	OP	IV.B	dist.	Ind.	Percussion	Ind.	1	abrasion				
7554	OP	IV.B	dist.	Ind.	Percussion	Ind.		Ind.				
7712	2	OP	dist.	Ind.	Percussion	Ind.		Ind.				
7712	OP	IV.B	dist.	Ind.	Percussion	Ind.		Ind.				
8072	OP	IV.B	dist.	Ind.	Percussion	Ind.		Ind.				
8132	OP	IV.B	entier	Ind.	Percussion	Ind.	12	abrasion et raclage	1			oui

N°	Catégorie	Type	Frag.	Proc. Déc.	Technique	Méthode	Etendue faç.	Technique	Degré transf.	Forage	For. Sym.	TT
8259	OP	IV.B	dist.	Ind.	Percussion	Ind.		Ind.				oui
8381	OP	IV.B	dist.	Ind.	Percussion	Ind.	1	abrasion				oui
8499	OP	IV.B	subentier	Ind.	Percussion	Ind.		Ind.	1			
9130	OP	IV.B	dist.	Ind.	Percussion	Ind.	1	raclage				oui
9315	OP	IV.B	dist.	Ind.	Percussion	Ind.	1	abrasion				
9788	OP	IV.B	dist.	Ind.	Percussion	Ind.		Ind.				
10652	OP	IV.B	dist.	Ind.	Percussion	Ind.	12	raclage				oui
10674	OP	IV.B	dist.	Ind.	Percussion	Ind.	1	abrasion				
10802	OP	IV.B	dist.	Ind.	Percussion	Ind.		Ind.				oui
10810	OP	IV.B	subentier	Ind.	Percussion	Ind.	1	abrasion	1			
10899	OP	IV.B	dist.	Ind.	Percussion	Ind.		Ind.				
10937	OP	IV.B	dist.	Ind.	Percussion	Ind.	1	raclage				oui
11092	OP	IV.B	dist.	Ind.	Percussion	Ind.	1	abrasion				oui
11160	OP	IV.B	dist.	Ind.	Percussion	Ind.	12	abrasion et raclage				oui
11169	OP	IV.B	dist.	Ind.	Percussion	Ind.	12	abrasion et raclage				oui
11238	OP	IV.B	dist.	Ind.	Percussion	Ind.	1	abrasion				oui
11252	OP	IV.B	dist.	Ind.	Percussion	Ind.	1	abrasion				
11604	OP	IV.B	dist.	Ind.	Percussion	Ind.		Ind.				
11719	OP	IV.B	dist.	Ind.	Percussion	Ind.		Ind.				oui
11770	OP	IV.B	dist.	Ind.	Percussion	Ind.		Ind.				
11822	OP	IV.B	dist.	Ind.	Percussion	Ind.	1	raclage				
11927	OP	IV.B	dist.	Ind.	Percussion	Ind.		Ind.				
12122	OP	IV.B	dist.	Ind.	Percussion	Ind.		Ind.				
12171	OP	IV.B	dist.	Ind.	Percussion	Ind.		Ind.				
12248	OP	IV.B	entier	Ind.	Percussion	Ind.	1	abrasion	1			oui
12263	OP	IV.B	dist.	Ind.	Percussion	Ind.	1	raclage				
12586	OP	IV.B	dist.	Ind.	Percussion	Ind.	12	abrasion				
12596	OP	IV.B	dist.	Ind.	Percussion	Ind.	1	abrasion				
12633	OP	IV.B	dist.	Ind.	Percussion	Ind.	1	abrasion				
12653	OP	IV.B	dist.	Ind.	Percussion	Ind.		Ind.				
12673	OP	IV.B	entier	Ind.	Percussion	Ind.	1	abrasion	1			
12735	OP	IV.B	dist.	Ind.	Percussion	Ind.	1	abrasion				
12793	OP	IV.B	dist.	Ind.	Percussion	Ind.		Ind.				
12793	OP	IV.B	dist.	Ind.	Percussion	Ind.	1	raclage				
13031	OP	IV.B	dist.	Ind.	Percussion	Ind.	12	abrasion				
13217	OP	IV.B	dist.	Ind.	Percussion	Ind.	1	abrasion				

N°	Catégorie	Type	Frag.	Proc. Déc.	Technique	Méthode	Etendue faç.	Technique	Degré transf.	Forage	For. Sym.	TT
13236	2 OP	IV.B	dist.	Ind.	Percussion	Ind.	12	abrasion	1			
13306	OP	IV.B	subentier	Ind.	Percussion	Ind.	123	abrasion				
13410	OP	IV.B	dist.	Ind.	Percussion	Ind.	1	abrasion				
13413	OP	IV.B	dist.	Ind.	Percussion	Ind.	12	raclage				oui
13417	OP	IV.B	dist.	Ind.	Percussion	Ind.	12	abrasion et raclage				
13502	1 OP	IV.B	dist.	Ind.	Percussion	Ind.	1	abrasion				oui
13581	1 OP	IV.B	dist.	Ind.	Percussion	Ind.	1	abrasion				
13585	1 OP	IV.B	dist.	Ind.	Percussion	Ind.		Ind.				
13585	3 OP	IV.B	dist.	Ind.	Percussion	Ind.	1	abrasion				
13650	1 OP	IV.B	dist.	Ind.	Percussion	Ind.		Ind.				
50168	OP	IV.B	dist.	Ind.	Percussion	Ind.	1	abrasion				
50458	OP	IV.B	dist.	Ind.	Percussion	Ind.	1	abrasion et raclage				
50875	2 OP	IV.B	dist.	Ind.	Percussion	Ind.	12	abrasion et raclage				oui
50925	OP	IV.B	dist.	Ind.	Percussion	Ind.	1	abrasion				oui
51085	2 OP	IV.B	dist.	Ind.	Percussion	Ind.		Ind.				
2751	2 OT	IX.A	subentier	Ind.	Ind.	Ind.		Ind.	3			
5922	OT	IX.A	subentier	Ind.	Ind.	Ind.		Ind.	3			
7838	OT	IX.A	entier	2	Sciage	Poss. SU	123	abrasion et raclage				oui
10702	OT	IX.A	entier	2	Sciage	Poss. SB	1	abrasion				oui
11125	1 OT	IX.A	entier	2	S+P	SPU+P	23	abrasion et raclage				
50178	OT	IX.A	entier	2	S+P	SU+P	12	abrasion	1			oui
4262	OT	IX.B	dist.	Ind.	Percussion	Ind.		Ind.				
7731	OT	IX.B	dist.	Ind.	Percussion	Ind.		Ind.				
10689	OT	IX.B	dist.	Ind.	Percussion	Ind.		Ind.				
9914	1 OT	VI	entier	Os entier			12	abrasion	0			oui
7440	OT	VII	dist.	Ind.	Percussion	Ind.		Ind.				oui
11290	OT	VII	dist.	Ind.	Percussion	Ind.		Ind.				
50511	OT	VII	dist.	Ind.	Percussion	Ind.		Ind.				oui
9648	2 OT	VIII.A.1	subentier	2	S+P	Poss. SU+P		Ind.	1			
5157	3 OT	VIII.A.2	entier	2	S+P	SPB+P		Ind.	1			
6812	2 OT	VIII.A.2	entier	2	S+P	SIB+P	123	raclage	1			oui
10761	OT	VIII.A.2	entier	2	S+P	SIB+P	12	abrasion et raclage	1			oui
10870	OT	VIII.A.2	entier	2	S+P	SIB+P		Ind.	1			oui
11302	OT	VIII.A.2	entier	2	S+P	SIB+P	12	abrasion	1			oui
10186	OT	VIII.B	entier	4	Percussion	Ind.		Ind.	1			
1876	1 Aiguille	V.A.1	prox.	Ind.	Ind.	Ind.	3	abrasion	3	bifacial	oui	oui

N°	Catégorie	Type	Frag.	Proc. Déc.	Technique	Méthode	Etendue faç.	Technique	Degré transf.	Forage	For. Sym.	TT
2438	1	Aiguille	V.A.1	prox.	Ind.	Ind.	23	raclage	3			
2511	1	Aiguille	V.A.1	entier	Ind.	Ind.	1	abrasion	3	bifacial	oui	
3021	2	Aiguille	V.A.1	prox.	Ind.	Ind.		Ind.	3			oui
3100	1	Aiguille	V.A.1	entier	Ind.	Ind.	123	raclage	3	bifacial	oui	
3266		Aiguille	V.A.1	prox.	Ind.	Ind.	3	raclage	3	bifacial	oui	oui
3474		Aiguille	V.A.1	prox.	Ind.	Ind.	3	abrasion	3	bifacial	oui	oui
3736	1	Aiguille	V.A.1	entier	Ind.	Ind.	3	raclage	3	bifacial	oui	oui
4441	1	Aiguille	V.A.1	prox.	Ind.	Ind.		Ind.	3		oui	
4494	1	Aiguille	V.A.1	prox.	Ind.	Ind.		Ind.	3		oui	oui
4760	1	Aiguille	V.A.1	prox.	Ind.	Ind.	23	abrasion et raclage	3			
4772		Aiguille	V.A.1	prox.	Ind.	Ind.	23	raclage	3	bifacial	oui	
5162		Aiguille	V.A.1	prox.	Ind.	Ind.		Ind.	3		oui	oui
5237		Aiguille	V.A.1	prox.	Ind.	Ind.		Ind.	3	bifacial	oui	
6503	2	Aiguille	V.A.1	prox.	Ind.	Ind.		Ind.	3			oui
6561	1	Aiguille	V.A.1	entier	Ind.	Ind.	3	abrasion	3			
6965		Aiguille	V.A.1	prox.	Ind.	Ind.		Ind.	3		non	
7041	2	Aiguille	V.A.1	entier	Ind.	Ind.		Ind.	3			oui
7302		Aiguille	V.A.1	prox.	Ind.	Ind.		Ind.	3			oui
7743		Aiguille	V.A.1	prox.	Ind.	Ind.	23	abrasion et raclage	3		non	oui
8069		Aiguille	V.A.1	prox.	Ind.	Ind.		Ind.	3			oui
8470	1	Aiguille	V.A.1	prox.	Ind.	Ind.		Ind.	3		oui	oui
8717		Aiguille	V.A.1	prox.	Ind.	Ind.		Ind.	3		non	
8846		Aiguille	V.A.1	prox.	Ind.	Ind.	3	abrasion	3		non	oui
8882		Aiguille	V.A.1	prox.	Ind.	Ind.		Ind.	3			
9071		Aiguille	V.A.1	prox.	Ind.	Ind.	3	Ind.	3	unifacial	oui	
9798		Aiguille	V.A.1	entier	Ind.	Ind.	123	abrasion et raclage	3			
9975	1	Aiguille	V.A.1	prox.	Ind.	Ind.		Ind.	3		non	
10011		Aiguille	V.A.1	prox.	Ind.	Ind.		Ind.	3		oui	oui
10155		Aiguille	V.A.1	prox.	Ind.	Ind.		Ind.	3	unifacial	oui	
10183		Aiguille	V.A.1	prox.	Ind.	Ind.		Ind.	3		oui	
10229		Aiguille	V.A.1	entier	Ind.	Ind.		Ind.	3			
10237		Aiguille	V.A.1	prox.	Ind.	Ind.		Ind.	3	bifacial	oui	oui
10280		Aiguille	V.A.1	entier	Ind.	Ind.		Ind.	3	bifacial	oui	oui
10286	3	Aiguille	V.A.1	entier	Ind.	Ind.		Ind.	3			oui
10296		Aiguille	V.A.1	prox.	Ind.	Ind.	3	abrasion	3		oui	oui
10375		Aiguille	V.A.1	prox.	Ind.	Ind.		Ind.	3	bifacial	non	

N°	Catégorie	Type	Frag.	Proc. Déc.	Technique	Méthode	Etendue faç.	Technique	Degré transf.	Forage	For. Sym.	TT
10479	Aiguille	V.A.1	prox.	Ind.	Ind.	Ind.		Ind.	3		oui	
10557	Aiguille	V.A.1	prox.	Ind.	Ind.	Ind.	3	abrasion	3			
10608	Aiguille	V.A.1	prox.	Ind.	Ind.	Ind.	3	raclage	3			
10693	Aiguille	V.A.1	prox.	Ind.	Ind.	Ind.		Ind.	3			oui
10751	Aiguille	V.A.1	prox.	Ind.	Ind.	Ind.		Ind.	3		non	
10840	Aiguille	V.A.1	prox.	Ind.	Ind.	Ind.		Ind.	3	bifacial	oui	
10862	Aiguille	V.A.1	entier	Ind.	Ind.	Ind.	3	abrasion	3			
10862	Aiguille	V.A.1	entier	Ind.	Ind.	Ind.	3	abrasion	3			
10878	Aiguille	V.A.1	prox.	Ind.	Ind.	Ind.		Ind.	3			
10909	Aiguille	V.A.1	entier	Ind.	Ind.	Ind.	3	abrasion	3		non	
10948	Aiguille	V.A.1	prox.	Ind.	Ind.	Ind.	23	raclage	3	bifacial	oui	oui
10963	Aiguille	V.A.1	prox.	Ind.	Ind.	Ind.		Ind.	3	unifacial	oui	oui
10980	Aiguille	V.A.1	prox.	Ind.	Ind.	Ind.		Ind.	3			oui
11004	Aiguille	V.A.1	prox.	Ind.	Ind.	Ind.		Ind.	3		non	
11024	Aiguille	V.A.1	entier	Ind.	Ind.	Ind.		Ind.	3		oui	
11030	Aiguille	V.A.1	prox.	Ind.	Ind.	Ind.		Ind.	3			
11051	Aiguille	V.A.1	prox.	Ind.	Ind.	Ind.		Ind.	3			oui
11066	Aiguille	V.A.1	prox.	Ind.	Ind.	Ind.		Ind.	3			
11073	Aiguille	V.A.1	prox.	Ind.	Ind.	Ind.		Ind.	3			
11142	Aiguille	V.A.1	prox.	Ind.	Ind.	Ind.		Ind.	3	bifacial	oui	
11143	Aiguille	V.A.1	prox.	Ind.	Ind.	Ind.		Ind.	3		non	
11155	Aiguille	V.A.1	prox.	Ind.	Ind.	Ind.		Ind.	3	unifacial	oui	
11159	Aiguille	V.A.1	entier	Ind.	Ind.	Ind.	12	abrasion et raclage	3			oui
11159	Aiguille	V.A.1	prox.	Ind.	Ind.	Ind.	3	abrasion	3	bifacial	oui	
11163	Aiguille	V.A.1	prox.	Ind.	Ind.	Ind.	23	abrasion	3	bifacial	oui	
11187	Aiguille	V.A.1	prox.	Ind.	Ind.	Ind.	23	abrasion et raclage	3	bifacial	non	
11238	Aiguille	V.A.1	entier	Ind.	Ind.	Ind.		Ind.	3		oui	oui
11243	Aiguille	V.A.1	prox.	Ind.	Ind.	Ind.		Ind.	3	bifacial	oui	oui
11244	Aiguille	V.A.1	prox.	Ind.	Ind.	Ind.		Ind.	3	bifacial	oui	oui
11248	Aiguille	V.A.1	prox.	Ind.	Ind.	Ind.	3	abrasion	3		oui	oui
11265	Aiguille	V.A.1	prox.	Ind.	Ind.	Ind.	3	abrasion	3	bifacial	oui	oui
11277	Aiguille	V.A.1	prox.	Ind.	Ind.	Ind.		Ind.	3	bifacial	non	oui
11277	Aiguille	V.A.1	prox.	Ind.	Ind.	Ind.	23	raclage	3	bifacial	oui	oui
11279	Aiguille	V.A.1	prox.	Ind.	Ind.	Ind.	3	abrasion	3	bifacial	oui	oui
11332	Aiguille	V.A.1	prox.	Ind.	Ind.	Ind.		Ind.	3	bifacial	oui	
11364	Aiguille	V.A.1	prox.	Ind.	Ind.	Ind.		Ind.	3	bifacial	oui	

N°	Catégorie	Type	Frag.	Proc. Déc.	Technique	Méthode	Etendue faç.	Technique	Degré transf.	Forage	For. Sym.	TT
11381	2 Aiguille	V.A.1	entier	Ind.	Ind.	Ind.		Ind.	3			oui
11386	Aiguille	V.A.1	prox.	Ind.	Ind.	Ind.		Ind.	3	bifacial	oui	oui
11749	3 Aiguille	V.A.1	prox.	Ind.	Ind.	Ind.		Ind.	3	bifacial	oui	
11903	Aiguille	V.A.1	entier	Ind.	Ind.	Ind.		Ind.	3	bifacial	non	
11959	2 Aiguille	V.A.1	prox.	Ind.	Ind.	Ind.		Ind.	3			oui
11959	1 Aiguille	V.A.1	prox.	Ind.	Ind.	Ind.		Ind.	3	bifacial	oui	oui
11970	Aiguille	V.A.1	prox.	Ind.	Ind.	Ind.	3	raclage	3	bifacial	oui	
12074	Aiguille	V.A.1	prox.	Ind.	Ind.	Ind.		Ind.	3	bifacial	oui	
12100	2 Aiguille	V.A.1	prox.	Ind.	Ind.	Ind.		Ind.	3	bifacial	non	
12100	1 Aiguille	V.A.1	prox.	Ind.	Ind.	Ind.		Ind.	3		oui	
12117	Aiguille	V.A.1	prox.	Ind.	Ind.	Ind.	3	abrasion	3			
12305	1 Aiguille	V.A.1	prox.	Ind.	Ind.	Ind.	3	abrasion	3		non	oui
12499	Aiguille	V.A.1	prox.	Ind.	Ind.	Ind.	3	raclage	3	bifacial	non	
12610	Aiguille	V.A.1	prox.	Ind.	Ind.	Ind.		Ind.	3			
12718	1 Aiguille	V.A.1	entier	Ind.	Ind.	Ind.	123	abrasion	3	bifacial	non	
12737	Aiguille	V.A.1	prox.	Ind.	Ind.	Ind.		Ind.	3			oui
12778	Aiguille	V.A.1	entier	Ind.	Ind.	Ind.		Ind.	3	bifacial	oui	
13049	Aiguille	V.A.1	prox.	Ind.	Ind.	Ind.		Ind.	3	bifacial	oui	
13434	Aiguille	V.A.1	entier	Ind.	Ind.	Ind.		Ind.	3	bifacial	oui	
50491	Aiguille	V.A.1	entier	Ind.	Ind.	Ind.		Ind.	3	bifacial	oui	
5569	1 Aiguille	V.A.2	entier	Ind.	Ind.	Ind.	123	abrasion et raclage	3	unifacial	oui	oui
6068	Aiguille	V.A.2	entier	Ind.	Ind.	Ind.	123	raclage	3			
7225	Aiguille	V.A.2	entier	Ind.	Ind.	Ind.	123	abrasion et raclage	3	bifacial	oui	
10653	1 Aiguille	V.A.2	entier	Ind.	Ind.	Ind.		Ind.	3	bifacial	oui	
3114	Aiguille	V.B.1	prox.	Ind.	Ind.	Ind.		Ind.	3			
3293	Aiguille	V.B.1	prox.	Ind.	Ind.	Ind.	3	abrasion et raclage	3	bifacial	oui	
3525	Aiguille	V.B.1	prox.	Ind.	Ind.	Ind.	23	abrasion	3	bifacial	oui	oui
3783	Aiguille	V.B.1	prox.	Ind.	Ind.	Ind.		Ind.	3			
4012	3 Aiguille	V.B.1	prox.	Ind.	Ind.	Ind.		Ind.	3		oui	oui
5833	Aiguille	V.B.1	prox.	Ind.	Ind.	Ind.		Ind.	3			
6225	Aiguille	V.B.1	prox.	Ind.	Ind.	Ind.		Ind.	3		non	
6309	Aiguille	V.B.1	prox.	Ind.	Ind.	Ind.		Ind.	3		oui	
7665	Aiguille	V.B.1	entier	Ind.	Ind.	Ind.		Ind.	3			
8593	Aiguille	V.B.1	prox.	Ind.	Ind.	Ind.	3	raclage	3			
9817	Aiguille	V.B.1	entier	Ind.	Ind.	Ind.		Ind.	3		oui	
10465	1 Aiguille	V.B.1	entier	Ind.	Ind.	Ind.	123	abrasion et raclage	3	unifacial	oui	

N°	Catégorie	Type	Frag.	Proc. Déc.	Technique	Méthode	Etendue faç.	Technique	Degré transf.	Forage	For. Sym.	TT
10818	Aiguille	V.B.1	prox.	Ind.	Ind.	Ind.		Ind.	3		non	
11014	Aiguille	V.B.1	prox.	Ind.	Ind.	Ind.		Ind.	3	bifacial	non	
11238	Aiguille	V.B.1	prox.	Ind.	Ind.	Ind.	3	abrasion	3	bifacial	oui	oui
11804	Aiguille	V.B.1	entier	Ind.	Ind.	Ind.	123	raclage	3			
12709	Aiguille	V.B.1	prox.	Ind.	Ind.	Ind.		Ind.	3	bifacial	oui	
13262	Aiguille	V.B.1	prox.	Ind.	Ind.	Ind.	23	abrasion	3	bifacial	non	
2283	Aiguille	V.B.2.1	prox.	Ind.	Ind.	Ind.		Ind.	3			
3489	Aiguille	V.B.2.1	prox.	Ind.	Ind.	Ind.		Ind.	3	bifacial	oui	
6245	Aiguille	V.B.2.1	prox.	Ind.	Ind.	Ind.		Ind.	3			
9927	Aiguille	V.B.2.1	entier	Ind.	Ind.	Ind.		Ind.	3			
12756	Aiguille	V.B.2.1	prox.	Ind.	Ind.	Ind.	23	abrasion	3	bifacial	oui	oui
51053	Aiguille	V.B.2.1	entier	Ind.	Ind.	Ind.	23	raclage	3			
2200	Aiguille	V.B.2.1	prox.	Ind.	Ind.	Ind.		Ind.	3	bifacial	oui	oui
6913	Aiguille	V.B.2.2	prox.	Ind.	Ind.	Ind.	3	abrasion	3			
8137	Aiguille	V.B.2.2	entier	Ind.	Ind.	Ind.	1	abrasion	3	unifacial	oui	
3021	Aiguille	V.C.1	prox.	Ind.	Ind.	Ind.	23	abrasion	3	bifacial	oui	oui
7730	Aiguille	V.C.1	prox.	Ind.	Ind.	Ind.	23	abrasion et raclage	3			oui
8319	Aiguille	V.C.1	prox.	Ind.	Ind.	Ind.		Ind.	3	bifacial	oui	
9895	Aiguille	V.C.1	prox.	Ind.	Ind.	Ind.		Ind.	3		non	
10644	Aiguille	V.C.1	entier	Ind.	Ind.	Ind.		Ind.	3	Rain. unif.	oui	
4223	Aiguille	V.C.2.1	prox.	Ind.	Ind.	Ind.		Ind.	3	bifacial	non	
5369	Aiguille	V.C.2.1	prox.	Ind.	Ind.	Ind.		Ind.	3	unifacial	oui	
7483	Aiguille	V.C.2.1	prox.	Ind.	Ind.	Ind.		Ind.	3			
7843	Aiguille	V.C.2.1	prox.	Ind.	Ind.	Ind.		abrasion et raclage	3	oui	oui	oui
10709	Aiguille	V.C.2.1	entier	Ind.	Ind.	Ind.	23	abrasion et raclage	3	bifacial	oui	
11145	Aiguille	V.C.2.1	prox.	Ind.	Ind.	Ind.	23	abrasion et raclage	3	bifacial	oui	oui
50902	Aiguille	V.C.2.1	prox.	Ind.	Ind.	Ind.		Ind.	3			
12574	Aiguille	V.C.2.1	entier	Ind.	Ind.	Ind.		Ind.	3	bifacial	oui	
7755	Aiguille	V.C.2.2.1	entier	Ind.	Ind.	Ind.	123	abrasion et raclage	3			
4013	Aiguille	V.C.2.2	prox.	Ind.	Ind.	Ind.	123	raclage	3			
5330	Aiguille	V.C.2.2	entier	Ind.	Ind.	Ind.	123	raclage	3	unifacial	oui	
10299	Aiguille	V.C.2.2	entier	Ind.	Ind.	Ind.	23	abrasion	3	bifacial	non	
12155	Aiguille	V.C.2.2	prox.	Ind.	Ind.	Ind.	3	abrasion	3			
514	Aiguille	ind	subentier	Ind.	Ind.	Ind.	12	raclage	3	unifacial	oui	
7525	Aiguille	ind	mésial	Ind.	Ind.	Ind.	2	abrasion	3			
9104	Aiguille	ind	prox.	Ind.	Ind.	Ind.	3	abrasion	3	bifacial	oui	

N°	Catégorie	Type	Frag.	Proc. Déc.	Technique	Méthode	Etendue faç.	Technique	Degré transf.	Forage	For. Sym.	TT
13045	2 Aiguille	ind	dist.	Ind.	Ind.	Ind.	12	abrasion et raclage	3			oui
1069	1 Aiguille	ind	dist.	Ind.	Ind.	Ind.		Ind.	3			oui
1071	3 Aiguille	ind	mésial	Ind.	Ind.	Ind.	2	raclage	3			
1071	2 Aiguille	ind	mésial	Ind.	Ind.	Ind.	2	raclage	3			
1071	1 Aiguille	ind	dist.	Ind.	Ind.	Ind.		Ind.	3			
1219	1 Aiguille	ind	subentier	Ind.	Ind.	Ind.	123	raclage	3	bifacial	oui	
1378	1 Aiguille	ind	mésial	Ind.	Ind.	Ind.		Ind.	3			
1639	3 Aiguille	ind	mésial	Ind.	Ind.	Ind.		Ind.	3			
1667	1 Aiguille	ind	mésial	Ind.	Ind.	Ind.		Ind.	3			
1713	1 Aiguille	ind	mésial	Ind.	Ind.	Ind.		Ind.	3			
2293	1 Aiguille	ind	mésial	Ind.	Ind.	Ind.	2	raclage	3			
2348	1 Aiguille	ind	prox.	Ind.	Ind.	Ind.		Ind.	3	bifacial	oui	
2395	2 Aiguille	ind	dist.	Ind.	Ind.	Ind.		Ind.	3			
2500	1 Aiguille	ind	prox.	Ind.	Ind.	Ind.	3	raclage	3	bifacial	oui	
2500	2 Aiguille	ind	dist.	Ind.	Ind.	Ind.	12	raclage	3			
2519	2 Aiguille	ind	mésial	Ind.	Ind.	Ind.	2	raclage	3			
2520	1 Aiguille	ind	dist.	Ind.	Ind.	Ind.		Ind.	3			oui
2536	2 Aiguille	ind	mésial	Ind.	Ind.	Ind.	2	raclage	3			
2546	1 Aiguille	ind	prox.	Ind.	Ind.	Ind.		Ind.	3	unifacial	oui	
2650	1 Aiguille	ind	mésial	Ind.	Ind.	Ind.		Ind.	3			oui
2650	2 Aiguille	ind	mésial	Ind.	Ind.	Ind.		Ind.	3			
2793	Aiguille	ind	mésial	Ind.	Ind.	Ind.		Ind.	3			oui
2892	Aiguille	ind	prox.	Ind.	Ind.	Ind.		Ind.	3			
2977	Aiguille	ind	mésial	Ind.	Ind.	Ind.		Ind.	3			
2996	1 Aiguille	ind	dist.	Ind.	Ind.	Ind.	1	abrasion et raclage	3			oui
3000	Aiguille	ind	mésial	Ind.	Ind.	Ind.		Ind.	3			
3052	Aiguille	ind	mésial	Ind.	Ind.	Ind.		Ind.	3			
3078	Aiguille	ind	dist.	Ind.	Ind.	Ind.		Ind.	3			
3080	Aiguille	ind	dist.	Ind.	Ind.	Ind.		Ind.	3			
3110	Aiguille	ind	mésial	Ind.	Ind.	Ind.		Ind.	3			oui
3124	Aiguille	ind	prox.	Ind.	Ind.	Ind.		Ind.	3			
3218	Aiguille	ind	dist.	Ind.	Ind.	Ind.		Ind.	3			
3255	Aiguille	ind	dist.	Ind.	Ind.	Ind.	1	raclage	3			oui
3299	1 Aiguille	ind	prox.	Ind.	Ind.	Ind.		Ind.	3	bifacial	oui	
3353	Aiguille	ind	mésial	Ind.	Ind.	Ind.	2	raclage	3			
3422	Aiguille	ind	mésial	Ind.	Ind.	Ind.	2	raclage	3			oui

N°	Catégorie	Type	Frag.	Proc. Déc.	Technique	Méthode	Etendue faç.	Technique	Degré transf.	Forage	For. Sym.	TT
3609	Aiguille	ind	mésial	Ind.	Ind.	Ind.		Ind.	3			
3681	1 Aiguille	ind	mésial	Ind.	Ind.	Ind.	2	raclage	3			
3681	2 Aiguille	ind	dist.	Ind.	Ind.	Ind.	1	raclage	3			
3696	1 Aiguille	ind	dist.	Ind.	Ind.	Ind.	1	abrasion et raclage	3			
3696	2 Aiguille	ind	dist.	Ind.	Ind.	Ind.	12	raclage	3			
3711	1 Aiguille	ind	subentier	Ind.	Ind.	Ind.	23	raclage	3			oui
3716	1 Aiguille	ind	mésial	Ind.	Ind.	Ind.	2	abrasion	3			
3726	1 Aiguille	ind	dist.	Ind.	Ind.	Ind.		Ind.	3			oui
3750	Aiguille	ind	mésial	Ind.	Ind.	Ind.	2	abrasion	3			
3761	Aiguille	ind	mésial	Ind.	Ind.	Ind.		Ind.	3			
3762	Aiguille	ind	mésial	Ind.	Ind.	Ind.		Ind.	3			
3774	Aiguille	ind	dist.	Ind.	Ind.	Ind.		Ind.	3			
3824	Aiguille	ind	subentier	Ind.	Ind.	Ind.		Ind.	3	unifacial	oui	
4092	Aiguille	ind	dist.	Ind.	Ind.	Ind.	1	abrasion	3			
4099	3 Aiguille	ind	mésial	Ind.	Ind.	Ind.		Ind.	3			
4159	Aiguille	ind	mésial	Ind.	Ind.	Ind.		Ind.	3			
4190	Aiguille	ind	mésial	Ind.	Ind.	Ind.		Ind.	3			oui
4211	Aiguille	ind	mésial	Ind.	Ind.	Ind.		Ind.	3			oui
4212	1 Aiguille	ind	dist.	Ind.	Ind.	Ind.	1	abrasion	3			oui
4212	2 Aiguille	ind	mésial	Ind.	Ind.	Ind.		Ind.	3	bifacial		oui
4223	4 Aiguille	ind	mésial	Ind.	Ind.	Ind.		Ind.	3			oui
4250	Aiguille	ind	dist.	Ind.	Ind.	Ind.		Ind.	3			oui
4299	Aiguille	ind	dist.	Ind.	Ind.	Ind.	12	abrasion et raclage	3			
4305	Aiguille	ind	dist.	Ind.	Ind.	Ind.		Ind.	3			
4306	Aiguille	ind	dist.	Ind.	Ind.	Ind.		Ind.	3			
4346	3 Aiguille	ind	mésial	Ind.	Ind.	Ind.		Ind.	3			
4348	1 Aiguille	ind	mésial	Ind.	Ind.	Ind.		Ind.	3			
4380	Aiguille	ind	mésial	Ind.	Ind.	Ind.		Ind.	3			
4392	Aiguille	ind	dist.	Ind.	Ind.	Ind.		Ind.	3			oui
4405	Aiguille	ind	mésial	Ind.	Ind.	Ind.		Ind.	3			
4434	1 Aiguille	ind	prox.	Ind.	Ind.	Ind.		Ind.	3	bifacial	oui	oui
4444	3 Aiguille	ind	mésial	Ind.	Ind.	Ind.		Ind.	3			
4444	4 Aiguille	ind	mésial	Ind.	Ind.	Ind.		Ind.	3			
4447	3 Aiguille	ind	dist.	Ind.	Ind.	Ind.		Ind.	3			
4466	Aiguille	ind	mésial	Ind.	Ind.	Ind.		Ind.	3			
4471	3 Aiguille	ind	mésial	Ind.	Ind.	Ind.		Ind.	3			

N°	Catégorie	Type	Frag.	Proc. Déc.	Technique	Méthode	Etendue faç.	Technique	Degré transf.	Forage	For. Sym.	TT
4491	Aiguille	ind	mésial	Ind.	Ind.	Ind.		Ind.	3			
4492	Aiguille	ind	dist.	Ind.	Ind.	Ind.		Ind.	3			oui
4495	Aiguille	ind	dist.	Ind.	Ind.	Ind.		Ind.	3			
4610	Aiguille	ind	dist.	Ind.	Ind.	Ind.	1	abrasion	3			
4643	Aiguille	ind	mésial	Ind.	Ind.	Ind.	2	abrasion et raclage	3			
4743	Aiguille	ind	prox.	Ind.	Ind.	Ind.		Ind.	3		oui	
4745	Aiguille	ind	mésial	Ind.	Ind.	Ind.		Ind.	3			
4757	Aiguille	ind	mésial	Ind.	Ind.	Ind.		Ind.	3			
4763	Aiguille	ind	dist.	Ind.	Ind.	Ind.		Ind.	3			
4844	Aiguille	ind	mésial	Ind.	Ind.	Ind.		Ind.	3			
5001	Aiguille	ind	mésial	Ind.	Ind.	Ind.		Ind.	3			
5022	Aiguille	ind	mésial	Ind.	Ind.	Ind.		Ind.	3			
5038	Aiguille	ind	mésial	Ind.	Ind.	Ind.		Ind.	3			
5041	Aiguille	ind	dist.	Ind.	Ind.	Ind.		Ind.	3			
5078	Aiguille	ind	dist.	Ind.	Ind.	Ind.		Ind.	3			
5105	Aiguille	ind	dist.	Ind.	Ind.	Ind.	1	abrasion	3			
5109	Aiguille	ind	mésial	Ind.	Ind.	Ind.		Ind.	3			
5174	Aiguille	ind	dist.	Ind.	Ind.	Ind.		Ind.	3			
5201	Aiguille	ind	dist.	Ind.	Ind.	Ind.		Ind.	3			
5208	Aiguille	ind	mésial	Ind.	Ind.	Ind.		Ind.	3			
5275	Aiguille	ind	mésial	Ind.	Ind.	Ind.	2	raclage	3			oui
5282	Aiguille	ind	mésial	Ind.	Ind.	Ind.		Ind.	3			
5289	Aiguille	ind	mésial	Ind.	Ind.	Ind.		Ind.	3			
5347	Aiguille	ind	mésial	Ind.	Ind.	Ind.		Ind.	3			
5361	Aiguille	ind	mésial	Ind.	Ind.	Ind.		Ind.	3			
5388	Aiguille	ind	mésial	Ind.	Ind.	Ind.		Ind.	3			
5427	Aiguille	ind	dist.	Ind.	Ind.	Ind.		Ind.	3			oui
5484	Aiguille	ind	mésial	Ind.	Ind.	Ind.		Ind.	3			
5530	Aiguille	ind	mésial	Ind.	Ind.	Ind.		Ind.	3			
5544	Aiguille	ind	dist.	Ind.	Ind.	Ind.		Ind.	3			
5559	Aiguille	ind	dist.	Ind.	Ind.	Ind.		Ind.	3			oui
5559	Aiguille	ind	dist.	Ind.	Ind.	Ind.		Ind.	3			
5730	Aiguille	ind	dist.	Ind.	Ind.	Ind.		Ind.	3			
5797	Aiguille	ind	mésial	Ind.	Ind.	Ind.		Ind.	3			
5819	Aiguille	ind	mésial	Ind.	Ind.	Ind.	2	raclage	3			
5848	Aiguille	ind	dist.	Ind.	Ind.	Ind.		Ind.	3			

N°	Catégorie	Type	Frag.	Proc. Déc.	Technique	Méthode	Etendue faç.	Technique	Degré transf.	Forage	For. Sym.	TT
5872	Aiguille	ind	mésial	Ind.	Ind.	Ind.		Ind.	3			
5971	Aiguille	ind	dist.	Ind.	Ind.	Ind.		Ind.	3			
6011	Aiguille	ind	dist.	Ind.	Ind.	Ind.		Ind.	3			
6025	Aiguille	ind	mésial	Ind.	Ind.	Ind.		Ind.	3			
6051	Aiguille	ind	mésial	Ind.	Ind.	Ind.		Ind.	3			
6099	Aiguille	ind	mésial	Ind.	Ind.	Ind.		Ind.	3			
6292	Aiguille	ind	dist.	Ind.	Ind.	Ind.		Ind.	3			
6309	Aiguille	ind	dist.	Ind.	Ind.	Ind.		Ind.	3			
6334	Aiguille	ind	mésial	Ind.	Ind.	Ind.		Ind.	3			oui
6417	Aiguille	ind	mésial	Ind.	Ind.	Ind.		Ind.	3			
6417	Aiguille	ind	mésial	Ind.	Ind.	Ind.		Ind.	3			
6429	Aiguille	ind	mésial	Ind.	Ind.	Ind.		Ind.	3			
6433	Aiguille	ind	dist.	Ind.	Ind.	Ind.		Ind.	3			
6472	Aiguille	ind	mésial	Ind.	Ind.	Ind.		Ind.	3			
6487	Aiguille	ind	dist.	Ind.	Ind.	Ind.		Ind.	3			oui
6578	Aiguille	ind	dist.	Ind.	Ind.	Ind.	12	abrasion	3			oui
6686	Aiguille	ind	dist.	Ind.	Ind.	Ind.		Ind.	3			
6686	Aiguille	ind	dist.	Ind.	Ind.	Ind.		Ind.	3			
6740	Aiguille	ind	prox.	Ind.	Ind.	Ind.	3	abrasion	3	bifacial	oui	oui
6749	Aiguille	ind	mésial	Ind.	Ind.	Ind.		Ind.	3			
6766	Aiguille	ind	dist.	Ind.	Ind.	Ind.		Ind.	3			
6787	Aiguille	ind	subentier	Ind.	Ind.	Ind.	123	abrasion	3			
6788	Aiguille	ind	mésial	Ind.	Ind.	Ind.		Ind.	3			
6941	Aiguille	ind	mésial	Ind.	Ind.	Ind.	2	abrasion	3			
6963	Aiguille	ind	dist.	Ind.	Ind.	Ind.	12	raclage	3			
6979	Aiguille	ind	mésial	Ind.	Ind.	Ind.		Ind.	3			oui
7003	Aiguille	ind	mésial	Ind.	Ind.	Ind.	2	raclage	3			oui
7082	Aiguille	ind	dist.	Ind.	Ind.	Ind.	1	abrasion	3			
7087	Aiguille	ind	dist.	Ind.	Ind.	Ind.		Ind.	3			
7148	Aiguille	ind	mésial	Ind.	Ind.	Ind.		Ind.	3			oui
7173	Aiguille	ind	mésial	Ind.	Ind.	Ind.		Ind.	3			
7174	Aiguille	ind	dist.	Ind.	Ind.	Ind.		Ind.	3			
7238	Aiguille	ind	dist.	Ind.	Ind.	Ind.		Ind.	3			oui
7314	Aiguille	ind	entier	Ind.	Ind.	Ind.		Ind.	3			
7319	Aiguille	ind	dist.	Ind.	Ind.	Ind.		Ind.	3			
7479	Aiguille	ind	dist.	Ind.	Ind.	Ind.		Ind.	3			

N°	Catégorie	Type	Frag.	Proc. Déc.	Technique	Méthode	Etendue faç.	Technique	Degré transf.	Forage	For. Sym.	TT
7499	Aiguille	ind	dist.	Ind.	Ind.	Ind.		Ind.	3			
7510	Aiguille	ind	dist.	Ind.	Ind.	Ind.		Ind.	3			
7537	Aiguille	ind	mésial	Ind.	Ind.	Ind.	2	abrasion	3			oui
7612	Aiguille	ind	mésial	Ind.	Ind.	Ind.		Ind.	3			
7670	Aiguille	ind	dist.	Ind.	Ind.	Ind.	1	abrasion et raclage	3			
7670	Aiguille	ind	mésial	Ind.	Ind.	Ind.		Ind.	3			
7698	Aiguille	ind	dist.	Ind.	Ind.	Ind.		Ind.	3			
7709	Aiguille	ind	mésial	Ind.	Ind.	Ind.	2	raclage	3			
7747	Aiguille	ind	dist.	Ind.	Ind.	Ind.	12	abrasion	3			
7752	Aiguille	ind	mésial	Ind.	Ind.	Ind.		Ind.	3			
7804	Aiguille	ind	dist.	Ind.	Ind.	Ind.	1	abrasion	3			
7807	Aiguille	ind	subentier	Ind.	Ind.	Ind.	12	abrasion et raclage	3		oui	
7816	Aiguille	ind	mésial	Ind.	Ind.	Ind.		Ind.	3			
7824	Aiguille	ind	mésial	Ind.	Ind.	Ind.	2	abrasion	3			
7852	Aiguille	ind	mésial	Ind.	Ind.	Ind.		Ind.	3			
7928	Aiguille	ind	mésial	Ind.	Ind.	Ind.		Ind.	3			
8033	Aiguille	ind	mésial	Ind.	Ind.	Ind.	2	abrasion	3			
8139	Aiguille	ind	dist.	Ind.	Ind.	Ind.		Ind.	3			
8291	Aiguille	ind	mésial	Ind.	Ind.	Ind.		Ind.	3			
8416	Aiguille	ind	dist.	Ind.	Ind.	Ind.		Ind.	3			
8470	Aiguille	ind	dist.	Ind.	Ind.	Ind.		Ind.	3			
8750	Aiguille	ind	mésial	Ind.	Ind.	Ind.	2	abrasion et raclage	3			oui
8927	Aiguille	ind	dist.	Ind.	Ind.	Ind.	1	abrasion	3			
8958	Aiguille	ind	dist.	Ind.	Ind.	Ind.		Ind.	3			
9057	Aiguille	ind	mésial	Ind.	Ind.	Ind.		Ind.	3			
9076	Aiguille	ind	mésial	Ind.	Ind.	Ind.		Ind.	3			
9122	Aiguille	ind	mésial	Ind.	Ind.	Ind.		Ind.	3			oui
9123	Aiguille	ind	mésial	Ind.	Ind.	Ind.		Ind.	3			
9131	Aiguille	ind	dist.	Ind.	Ind.	Ind.		Ind.	3			
9136	Aiguille	ind	mésial	Ind.	Ind.	Ind.		Ind.	3			
9166	Aiguille	ind	mésial	Ind.	Ind.	Ind.		Ind.	3			oui
9284	Aiguille	ind	dist.	Ind.	Ind.	Ind.		Ind.	3			
9286	Aiguille	ind	subentier	Ind.	Ind.	Ind.	12	abrasion et raclage	3		oui	
9297	Aiguille	ind	mésial	Ind.	Ind.	Ind.	2	abrasion et raclage	3			
9314	Aiguille	ind	dist.	Ind.	Ind.	Ind.		Ind.	3			
9315	Aiguille	ind	dist.	Ind.	Ind.	Ind.		Ind.	3			

N°	Catégorie	Type	Frag.	Proc. Déc.	Technique	Méthode	Etendue faç.	Technique	Degré transf.	Forage	For. Sym.	TT
9320	Aiguille	ind	mésial	Ind.	Ind.	Ind.		Ind.	3			
9322	Aiguille	ind	prox.	Ind.	Ind.	Ind.		Ind.	3	unifacial	oui	
9329	Aiguille	ind	mésial	Ind.	Ind.	Ind.		Ind.	3			
9335	Aiguille	ind	mésial	Ind.	Ind.	Ind.		Ind.	3			
9427	Aiguille	ind	mésial	Ind.	Ind.	Ind.		Ind.	3			
9446	Aiguille	ind	dist.	Ind.	Ind.	Ind.		Ind.	3			
9507	Aiguille	ind	dist.	Ind.	Ind.	Ind.		Ind.	3			
9589	Aiguille	ind	mésial	Ind.	Ind.	Ind.		Ind.	3			
9636	Aiguille	ind	mésial	Ind.	Ind.	Ind.		Ind.	3			
9643	Aiguille	ind	prox.	Ind.	Ind.	Ind.		Ind.	3	bifacial	oui	
9652	Aiguille	ind	mésial	Ind.	Ind.	Ind.		Ind.	3			
9672	Aiguille	ind	mésial	Ind.	Ind.	Ind.		Ind.	3			
9734	Aiguille	ind	dist.	Ind.	Ind.	Ind.		Ind.	3			
9764	Aiguille	ind	dist.	Ind.	Ind.	Ind.	1	abrasion	3			
9783	Aiguille	ind	mésial	Ind.	Ind.	Ind.	1	abrasion et raclage	3			
9800	Aiguille	ind	mésial	Ind.	Ind.	Ind.		Ind.	3			
9854	Aiguille	ind	subentier	Ind.	Ind.	Ind.	3	abrasion	3			
9863	Aiguille	ind	dist.	Ind.	Ind.	Ind.	1	abrasion	3			
9884	Aiguille	ind	dist.	Ind.	Ind.	Ind.		Ind.	3			
9927	Aiguille	ind	mésial	Ind.	Ind.	Ind.		Ind.	3			
9927	Aiguille	ind	mésial	Ind.	Ind.	Ind.		Ind.	3			
9929	Aiguille	ind	mésial	Ind.	Ind.	Ind.		Ind.	3			
9959	Aiguille	ind	prox.	Ind.	Ind.	Ind.		Ind.	3			
9963	Aiguille	ind	mésial	Ind.	Ind.	Ind.		Ind.	3	bifacial	oui	oui
9970	Aiguille	ind	dist.	Ind.	Ind.	Ind.		Ind.	3			
9975	Aiguille	ind	dist.	Ind.	Ind.	Ind.		Ind.	3			
9975	Aiguille	ind	dist.	Ind.	Ind.	Ind.		Ind.	3			
10035	Aiguille	ind	mésial	Ind.	Ind.	Ind.		Ind.	3			
10035	Aiguille	ind	dist.	Ind.	Ind.	Ind.		Ind.	3			
10123	Aiguille	ind	mésial	Ind.	Ind.	Ind.	2	raclage	3			
10163	Aiguille	ind	mésial	Ind.	Ind.	Ind.		Ind.	3			
10174	Aiguille	ind	mésial	Ind.	Ind.	Ind.		Ind.	3			
10235	Aiguille	ind	mésial	Ind.	Ind.	Ind.		Ind.	3			
10281	Aiguille	ind	mésial	Ind.	Ind.	Ind.		Ind.	3			
10286	Aiguille	ind	mésial	Ind.	Ind.	Ind.		Ind.	3			oui
10286	Aiguille	ind	dist.	Ind.	Ind.	Ind.		Ind.	3			oui

N°	Catégorie	Type	Frag.	Proc. Déc.	Technique	Méthode	Etendue faç.	Technique	Degré transf.	Forage	For. Sym.	TT
10301	Aiguille	ind	mésial	Ind.	Ind.	Ind.	2	raclage	3			oui
10313	Aiguille	ind	mésial	Ind.	Ind.	Ind.	2	abrasion	3			
10319	4 Aiguille	ind	mésial	Ind.	Ind.	Ind.		Ind.	3			
10323	1 Aiguille	ind	mésial	Ind.	Ind.	Ind.		Ind.	3			oui
10331	Aiguille	ind	mésial	Ind.	Ind.	Ind.		Ind.	3			
10335	Aiguille	ind	dist.	Ind.	Ind.	Ind.		Ind.	3			oui
10381	Aiguille	ind	dist.	Ind.	Ind.	Ind.		Ind.	3			
10418	2 Aiguille	ind	mésial	Ind.	Ind.	Ind.	2	abrasion	3			oui
10423	Aiguille	ind	dist.	Ind.	Ind.	Ind.		Ind.	3			
10427	Aiguille	ind	mésial	Ind.	Ind.	Ind.		Ind.	3			oui
10434	Aiguille	ind	mésial	Ind.	Ind.	Ind.	2	abrasion	3			
10435	Aiguille	ind	mésial	Ind.	Ind.	Ind.		Ind.	3			oui
10454	Aiguille	ind	dist.	Ind.	Ind.	Ind.	1	abrasion	3			oui
10465	2 Aiguille	ind	mésial	Ind.	Ind.	Ind.		Ind.	3			
10466	2 Aiguille	ind	mésial	Ind.	Ind.	Ind.		Ind.	3			oui
10468	1 Aiguille	ind	mésial	Ind.	Ind.	Ind.		Ind.	3			
10468	2 Aiguille	ind	prox.	Ind.	Ind.	Ind.	3	abrasion	3	bifacial	oui	oui
10468	3 Aiguille	ind	mésial	Ind.	Ind.	Ind.	2	raclage	3			
10498	Aiguille	ind	mésial	Ind.	Ind.	Ind.		Ind.	3			
10502	Aiguille	ind	mésial	Ind.	Ind.	Ind.		Ind.	3			
10516	5 Aiguille	ind	prox.	Ind.	Ind.	Ind.	23	abrasion et raclage	3	bifacial	oui	
10516	6 Aiguille	ind	dist.	Ind.	Ind.	Ind.		Ind.	3			
10516	7 Aiguille	ind	mésial	Ind.	Ind.	Ind.	2	abrasion	3			
10518	Aiguille	ind	mésial	Ind.	Ind.	Ind.		Ind.	3			
10534	Aiguille	ind	mésial	Ind.	Ind.	Ind.		Ind.	3			
10551	Aiguille	ind	dist.	Ind.	Ind.	Ind.	1	abrasion	3			
10559	Aiguille	ind	dist.	Ind.	Ind.	Ind.	1	raclage	3			
10563	Aiguille	ind	prox.	Ind.	Ind.	Ind.	23	abrasion	3	bifacial	oui	
10594	Aiguille	ind	mésial	Ind.	Ind.	Ind.		Ind.	3			
10608	2 Aiguille	ind	dist.	Ind.	Ind.	Ind.		Ind.	3			
10608	4 Aiguille	ind	mésial	Ind.	Ind.	Ind.		Ind.	3			
10631	Aiguille	ind	mésial	Ind.	Ind.	Ind.		Ind.	3			
10633	Aiguille	ind	mésial	Ind.	Ind.	Ind.		Ind.	3			
10653	3 Aiguille	ind	mésial	Ind.	Ind.	Ind.		Ind.	3			
10679	Aiguille	ind	mésial	Ind.	Ind.	Ind.		Ind.	3			
10684	Aiguille	ind	mésial	Ind.	Ind.	Ind.		Ind.	3			oui

N°	Catégorie	Type	Frag.	Proc. Déc.	Technique	Méthode	Etendue faç.	Technique	Degré transf.	Forage	For. Sym.	TT
10692	1 Aiguille	ind	subentier	Ind.	Ind.	Ind.	123	abrasion et raclage	3			
10692	2 Aiguille	ind	mésial	Ind.	Ind.	Ind.	2	raclage	3			
10701	Aiguille	ind	mésial	Ind.	Ind.	Ind.		Ind.	3			
10705	Aiguille	ind	mésial	Ind.	Ind.	Ind.	2	abrasion	3			oui
10715	Aiguille	ind	mésial	Ind.	Ind.	Ind.		Ind.	3			
10717	2 Aiguille	ind	mésial	Ind.	Ind.	Ind.		Ind.	3			
10720	1 Aiguille	ind	dist.	Ind.	Ind.	Ind.		Ind.	3			oui
10720	2 Aiguille	ind	dist.	Ind.	Ind.	Ind.	1	abrasion	3			
10722	Aiguille	ind	dist.	Ind.	Ind.	Ind.		Ind.	3			
10730	2 Aiguille	ind	mésial	Ind.	Ind.	Ind.		Ind.	3			
10732	3 Aiguille	ind	mésial	Ind.	Ind.	Ind.		Ind.	3			
10741	Aiguille	ind	mésial	Ind.	Ind.	Ind.		Ind.	3			
10750	Aiguille	ind	subentier	Ind.	Ind.	Ind.	3	abrasion	3	bifacial	oui	
10751	1 Aiguille	ind	mésial	Ind.	Ind.	Ind.		Ind.	3			
10751	2 Aiguille	ind	mésial	Ind.	Ind.	Ind.		Ind.	3			
10753	Aiguille	ind	mésial	Ind.	Ind.	Ind.		Ind.	3			
10763	Aiguille	ind	dist.	Ind.	Ind.	Ind.		Ind.	3			
10807	Aiguille	ind	mésial	Ind.	Ind.	Ind.		Ind.	3			
10810	2 Aiguille	ind	dist.	Ind.	Ind.	Ind.		Ind.	3			
10811	Aiguille	ind	mésial	Ind.	Ind.	Ind.		Ind.	3			
10813	Aiguille	ind	dist.	Ind.	Ind.	Ind.		Ind.	3			
10814	Aiguille	ind	mésial	Ind.	Ind.	Ind.	2	raclage	3			
10817	1 Aiguille	ind	dist.	Ind.	Ind.	Ind.	1	abrasion et raclage	3			oui
10817	2 Aiguille	ind	mésial	Ind.	Ind.	Ind.	2	abrasion et raclage	3			
10817	3 Aiguille	ind	mésial	Ind.	Ind.	Ind.		Ind.	3			oui
10821	1 Aiguille	ind	dist.	Ind.	Ind.	Ind.	12	abrasion	3			
10821	3 Aiguille	ind	mésial	Ind.	Ind.	Ind.		Ind.	3			
10821	4 Aiguille	ind	mésial	Ind.	Ind.	Ind.		Ind.	3			
10821	5 Aiguille	ind	mésial	Ind.	Ind.	Ind.		Ind.	3			
10821	6 Aiguille	ind	mésial	Ind.	Ind.	Ind.	2	abrasion	3			
10821	7 Aiguille	ind	mésial	Ind.	Ind.	Ind.		Ind.	3			
10822	Aiguille	ind	mésial	Ind.	Ind.	Ind.	2	raclage	3			
10827	3 Aiguille	ind	dist.	Ind.	Ind.	Ind.		Ind.	3			
10827	4 Aiguille	ind	mésial	Ind.	Ind.	Ind.		Ind.	3			
10827	5 Aiguille	ind	dist.	Ind.	Ind.	Ind.		Ind.	3			
10827	6 Aiguille	ind	mésial	Ind.	Ind.	Ind.		Ind.	3			

N°	Catégorie	Type	Frag.	Proc. Déc.	Technique	Méthode	Etendue faç.	Technique	Degré transf.	Forage	For. Sym.	TT
10827	7 Aiguille	ind	mésial	Ind.	Ind.	Ind.		Ind.	3			
10827	8 Aiguille	ind	mésial	Ind.	Ind.	Ind.		Ind.	3			
10838	Aiguille	ind	mésial	Ind.	Ind.	Ind.		Ind.	3			
10840	1 Aiguille	ind	dist.	Ind.	Ind.	Ind.		Ind.	3			oui
10840	2 Aiguille	ind	mésial	Ind.	Ind.	Ind.	2	abrasion	3			
10843	Aiguille	ind	dist.	Ind.	Ind.	Ind.		Ind.	3			
10844	Aiguille	ind	mésial	Ind.	Ind.	Ind.	2	raclage	3			oui
10845	Aiguille	ind	mésial	Ind.	Ind.	Ind.		Ind.	3			
10846	Aiguille	ind	mésial	Ind.	Ind.	Ind.		Ind.	3			
10854	Aiguille	ind	prox.	Ind.	Ind.	Ind.	3	abrasion	3	bifacial	oui	
10862	4 Aiguille	ind	mésial	Ind.	Ind.	Ind.		Ind.	3			
10862	5 Aiguille	ind	mésial	Ind.	Ind.	Ind.		Ind.	3			
10868	1 Aiguille	ind	dist.	Ind.	Ind.	Ind.		Ind.	3			
10868	2 Aiguille	ind	mésial	Ind.	Ind.	Ind.		Ind.	3			
10875	1 Aiguille	ind	mésial	Ind.	Ind.	Ind.		Ind.	3			oui
10875	2 Aiguille	ind	dist.	Ind.	Ind.	Ind.		Ind.	3			
10875	3 Aiguille	ind	mésial	Ind.	Ind.	Ind.		Ind.	3			
10889	2 Aiguille	ind	mésial	Ind.	Ind.	Ind.		Ind.	3			
10889	3 Aiguille	ind	dist.	Ind.	Ind.	Ind.		Ind.	3			
10889	4 Aiguille	ind	dist.	Ind.	Ind.	Ind.	1	abrasion	3			
10891	1 Aiguille	ind	dist.	Ind.	Ind.	Ind.		Ind.	3			oui
10891	2 Aiguille	ind	mésial	Ind.	Ind.	Ind.		Ind.	3			
10892	Aiguille	ind	mésial	Ind.	Ind.	Ind.		Ind.	3			
10899	2 Aiguille	ind	dist.	Ind.	Ind.	Ind.	1	raclage	3			
10910	2 Aiguille	ind	mésial	Ind.	Ind.	Ind.		Ind.	3			
10910	3 Aiguille	ind	prox.	Ind.	Ind.	Ind.	23	abrasion	3	bifacial	oui	
10912	Aiguille	ind	mésial	Ind.	Ind.	Ind.	2	raclage	3			oui
10913	Aiguille	ind	mésial	Ind.	Ind.	Ind.		Ind.	3			
10917	Aiguille	ind	dist.	Ind.	Ind.	Ind.	12	abrasion	3			
10922	Aiguille	ind	mésial	Ind.	Ind.	Ind.		Ind.	3			oui
10927	1 Aiguille	ind	mésial	Ind.	Ind.	Ind.		Ind.	3			
10927	2 Aiguille	ind	mésial	Ind.	Ind.	Ind.	23	abrasion et raclage	3			
10927	3 Aiguille	ind	mésial	Ind.	Ind.	Ind.		Ind.	3			
10927	5 Aiguille	ind	dist.	Ind.	Ind.	Ind.		Ind.	3			oui
10947	2 Aiguille	ind	mésial	Ind.	Ind.	Ind.		Ind.	3			
10947	3 Aiguille	ind	mésial	Ind.	Ind.	Ind.		Ind.	3			

N°	Catégorie	Type	Frag.	Proc. Déc.	Technique	Méthode	Etendue faç.	Technique	Degré transf.	Forage	For. Sym.	TT
10950	Aiguille	ind	mésial	Ind.	Ind.	Ind.		Ind.	3			
10951	Aiguille	ind	mésial	Ind.	Ind.	Ind.	2	abrasion	3			
10956	Aiguille	ind	mésial	Ind.	Ind.	Ind.		Ind.	3			
10969	Aiguille	ind	mésial	Ind.	Ind.	Ind.		Ind.	3			oui
10969	Aiguille	ind	mésial	Ind.	Ind.	Ind.		Ind.	3			
10975	Aiguille	ind	dist.	Ind.	Ind.	Ind.		Ind.	3			
10975	Aiguille	ind	dist.	Ind.	Ind.	Ind.		Ind.	3			
10975	Aiguille	ind	dist.	Ind.	Ind.	Ind.	12	abrasion	3			oui
10975	Aiguille	ind	prox.	Ind.	Ind.	Ind.	23	raclage	3	bifacial	oui	
10993	Aiguille	ind	mésial	Ind.	Ind.	Ind.		Ind.	3			
11001	Aiguille	ind	dist.	Ind.	Ind.	Ind.	1	abrasion	3			
11004	Aiguille	ind	dist.	Ind.	Ind.	Ind.		Ind.	3			
11004	Aiguille	ind	subentier	Ind.	Ind.	Ind.	3	abrasion	3			
11006	Aiguille	ind	dist.	Ind.	Ind.	Ind.	1	raclage	3			
11010	Aiguille	ind	mésial	Ind.	Ind.	Ind.	23	abrasion et raclage	3			oui
11012	Aiguille	ind	mésial	Ind.	Ind.	Ind.		Ind.	3			
11014	Aiguille	ind	prox.	Ind.	Ind.	Ind.	3	abrasion	3		oui	
11021	Aiguille	ind	mésial	Ind.	Ind.	Ind.		Ind.	3			
11021	Aiguille	ind	dist.	Ind.	Ind.	Ind.		Ind.	3			
11023	Aiguille	ind	mésial	Ind.	Ind.	Ind.	2	abrasion	3			
11026	Aiguille	ind	dist.	Ind.	Ind.	Ind.		Ind.	3			
11030	Aiguille	ind	dist.	Ind.	Ind.	Ind.	1	abrasion	3			oui
11030	Aiguille	ind	dist.	Ind.	Ind.	Ind.	12	abrasion et raclage	3			
11030	Aiguille	ind	dist.	Ind.	Ind.	Ind.	12	raclage	3			
11030	Aiguille	ind	dist.	Ind.	Ind.	Ind.		Ind.	3			
11033	Aiguille	ind	mésial	Ind.	Ind.	Ind.	2	raclage	3			
11034	Aiguille	ind	mésial	Ind.	Ind.	Ind.	23	abrasion	3			oui
11035	Aiguille	ind	dist.	Ind.	Ind.	Ind.		Ind.	3			
11040	Aiguille	ind	mésial	Ind.	Ind.	Ind.		Ind.	3			
11045	Aiguille	ind	dist.	Ind.	Ind.	Ind.		Ind.	3			
11054	Aiguille	ind	mésial	Ind.	Ind.	Ind.		Ind.	3			
11060	Aiguille	ind	mésial	Ind.	Ind.	Ind.		Ind.	3			
11060	Aiguille	ind	dist.	Ind.	Ind.	Ind.		Ind.	3			
11062	Aiguille	ind	mésial	Ind.	Ind.	Ind.		Ind.	3			oui
11062	Aiguille	ind	mésial	Ind.	Ind.	Ind.	2	raclage	3			
11063	Aiguille	ind	dist.	Ind.	Ind.	Ind.		Ind.	3			

N°	Catégorie	Type	Frag.	Proc. Déc.	Technique	Méthode	Etendue faç.	Technique	Degré transf.	Forage	For. Sym.	TT
11070	2 Aiguille	ind	mésial	Ind.	Ind.	Ind.		Ind.	3			oui
11077	2 Aiguille	ind	mésial	Ind.	Ind.	Ind.		Ind.	3			
11080	Aiguille	ind	dist.	Ind.	Ind.	Ind.	1	abrasion	3			
11091	3 Aiguille	ind	mésial	Ind.	Ind.	Ind.		Ind.	3			
11096	1 Aiguille	ind	mésial	Ind.	Ind.	Ind.		Ind.	3			
11108	2 Aiguille	ind	mésial	Ind.	Ind.	Ind.		Ind.	3			oui
11124	Aiguille	ind	mésial	Ind.	Ind.	Ind.	23	abrasion et raclage	3	bifacial	non	oui
11128	2 Aiguille	ind	prox.	Ind.	Ind.	Ind.		Ind.	3	bifacial	oui	
11128	3 Aiguille	ind	mésial	Ind.	Ind.	Ind.		Ind.	3			
11145	1 Aiguille	ind	prox.	Ind.	Ind.	Ind.		Ind.	3	bifacial	oui	oui
11145	5 Aiguille	ind	mésial	Ind.	Ind.	Ind.		Ind.	3			oui
11149	Aiguille	ind	mésial	Ind.	Ind.	Ind.		Ind.	3			
11154	Aiguille	ind	mésial	Ind.	Ind.	Ind.		Ind.	3			oui
11173	Aiguille	ind	prox.	Ind.	Ind.	Ind.		Ind.	3	bifacial	oui	
11179	Aiguille	ind	mésial	Ind.	Ind.	Ind.		Ind.	3			oui
11187	2 Aiguille	ind	mésial	Ind.	Ind.	Ind.	2	abrasion	3			
11187	3 Aiguille	ind	mésial	Ind.	Ind.	Ind.		Ind.	3			oui
11187	4 Aiguille	ind	mésial	Ind.	Ind.	Ind.		Ind.	3			
11219	Aiguille	ind	mésial	Ind.	Ind.	Ind.		Ind.	3			
11224	Aiguille	ind	prox.	Ind.	Ind.	Ind.	3	abrasion et raclage	3	bifacial	oui	
11235	2 Aiguille	ind	mésial	Ind.	Ind.	Ind.		Ind.	3			oui
11238	4 Aiguille	ind	prox.	Ind.	Ind.	Ind.	23	raclage	3	bifacial	oui	oui
11244	2 Aiguille	ind	mésial	Ind.	Ind.	Ind.		Ind.	3			oui
11247	Aiguille	ind	mésial	Ind.	Ind.	Ind.		Ind.	3			
11250	Aiguille	ind	dist.	Ind.	Ind.	Ind.		Ind.	3			oui
11260	Aiguille	ind	mésial	Ind.	Ind.	Ind.		Ind.	3			
11271	1 Aiguille	ind	mésial	Ind.	Ind.	Ind.		Ind.	3			
11271	2 Aiguille	ind	mésial	Ind.	Ind.	Ind.		Ind.	3			
11301	2 Aiguille	ind	dist.	Ind.	Ind.	Ind.	12	abrasion	3			
11303	2 Aiguille	ind	dist.	Ind.	Ind.	Ind.		Ind.	3			
11305	Aiguille	ind	mésial	Ind.	Ind.	Ind.		Ind.	3			oui
11306	Aiguille	ind	mésial	Ind.	Ind.	Ind.		Ind.	3			
11310	Aiguille	ind	mésial	Ind.	Ind.	Ind.		Ind.	3			
11321	Aiguille	ind	mésial	Ind.	Ind.	Ind.		Ind.	3			oui
11340	Aiguille	ind	mésial	Ind.	Ind.	Ind.	2	abrasion	3			oui
11356	2 Aiguille	ind	dist.	Ind.	Ind.	Ind.		Ind.	3			oui

N°	Catégorie	Type	Frag.	Proc. Déc.	Technique	Méthode	Etendue faç.	Technique	Degré transf.	Forage	For. Sym.	TT
11359	2 Aiguille	ind	dist.	Ind.	Ind.	Ind.	12	abrasion	3			
11359	3 Aiguille	ind	mésial	Ind.	Ind.	Ind.		Ind.	3			
11367	Aiguille	ind	mésial	Ind.	Ind.	Ind.	2	abrasion	3			
11373	2 Aiguille	ind	mésial	Ind.	Ind.	Ind.		Ind.	3			
11387	Aiguille	ind	subentier	Ind.	Ind.	Ind.	3	abrasion	3			
11397	Aiguille	ind	mésial	Ind.	Ind.	Ind.		Ind.	3			
11399	2 Aiguille	ind	mésial	Ind.	Ind.	Ind.		Ind.	3			
11556	Aiguille	ind	mésial	Ind.	Ind.	Ind.		Ind.	3			
11611	Aiguille	ind	subentier	Ind.	Ind.	Ind.	123	abrasion	3			
11618	Aiguille	ind	dist.	Ind.	Ind.	Ind.		Ind.	3			
11619	Aiguille	ind	dist.	Ind.	Ind.	Ind.	12	raclage	3			
11640	Aiguille	ind	mésial	Ind.	Ind.	Ind.		Ind.	3			
11642	Aiguille	ind	prox.	Ind.	Ind.	Ind.	3	abrasion	3			
11654	Aiguille	ind	dist.	Ind.	Ind.	Ind.		Ind.	3			
11662	Aiguille	ind	mésial	Ind.	Ind.	Ind.		Ind.	3			
11669	Aiguille	ind	mésial	Ind.	Ind.	Ind.	2	abrasion	3			
11674	2 Aiguille	ind	dist.	Ind.	Ind.	Ind.		Ind.	3			
11681	Aiguille	ind	dist.	Ind.	Ind.	Ind.		Ind.	3			
11743	Aiguille	ind	dist.	Ind.	Ind.	Ind.		Ind.	3			
11749	4 Aiguille	ind	dist.	Ind.	Ind.	Ind.		Ind.	3			
11774	Aiguille	ind	mésial	Ind.	Ind.	Ind.		Ind.	3			
11780	Aiguille	ind	mésial	Ind.	Ind.	Ind.	2	raclage	3			
11788	Aiguille	ind	mésial	Ind.	Ind.	Ind.		Ind.	3			
11800	Aiguille	ind	mésial	Ind.	Ind.	Ind.		Ind.	3			
11803	Aiguille	ind	mésial	Ind.	Ind.	Ind.		Ind.	3			
11965	2 Aiguille	ind	mésial	Ind.	Ind.	Ind.		Ind.	3			
11965	4 Aiguille	ind	mésial	Ind.	Ind.	Ind.		Ind.	3			
11971	Aiguille	ind	mésial	Ind.	Ind.	Ind.		Ind.	3			
12017	Aiguille	ind	dist.	Ind.	Ind.	Ind.		Ind.	3			
12050	2 Aiguille	ind	mésial	Ind.	Ind.	Ind.		Ind.	3			
12051	Aiguille	ind	mésial	Ind.	Ind.	Ind.		Ind.	3			
12056	Aiguille	ind	mésial	Ind.	Ind.	Ind.	2	raclage	3			
12087	1 Aiguille	ind	dist.	Ind.	Ind.	Ind.		Ind.	3			
12087	3 Aiguille	ind	mésial	Ind.	Ind.	Ind.		Ind.	3			
12105	1 Aiguille	ind	dist.	Ind.	Ind.	Ind.		Ind.	3			
12105	2 Aiguille	ind	mésial	Ind.	Ind.	Ind.		Ind.	3			

N°	Catégorie	Type	Frag.	Proc. Déc.	Technique	Méthode	Etendue faç.	Technique	Degré transf.	Forage	For. Sym.	TT
12105	3 Aiguille	ind	mésial	Ind.	Ind.	Ind.		Ind.	3			
12107	2 Aiguille	ind	dist.	Ind.	Ind.	Ind.		Ind.	3			oui
12116	2 Aiguille	ind	dist.	Ind.	Ind.	Ind.		Ind.	3			
12150	Aiguille	ind	dist.	Ind.	Ind.	Ind.		Ind.	3			
12156	Aiguille	ind	dist.	Ind.	Ind.	Ind.		Ind.	3			
12181	2 Aiguille	ind	mésial	Ind.	Ind.	Ind.	2	raclage	3			
12181	3 Aiguille	ind	mésial	Ind.	Ind.	Ind.		Ind.	3			
12238	Aiguille	ind	dist.	Ind.	Ind.	Ind.	1	abrasion	3			
12240	Aiguille	ind	mésial	Ind.	Ind.	Ind.		Ind.	3			oui
12264	Aiguille	ind	dist.	Ind.	Ind.	Ind.	12	abrasion	3			
12278	Aiguille	ind	dist.	Ind.	Ind.	Ind.		Ind.	3			oui
12286	Aiguille	ind	mésial	Ind.	Ind.	Ind.		Ind.	3			
12294	2 Aiguille	ind	mésial	Ind.	Ind.	Ind.		Ind.	3			oui
12305	2 Aiguille	ind	mésial	Ind.	Ind.	Ind.		Ind.	3			
12491	Aiguille	ind	dist.	Ind.	Ind.	Ind.		Ind.	3			
12493	Aiguille	ind	mésial	Ind.	Ind.	Ind.	2	abrasion	3			oui
12532	1 Aiguille	ind	dist.	Ind.	Ind.	Ind.	1	abrasion	3			oui
12581	2 Aiguille	ind	dist.	Ind.	Ind.	Ind.		Ind.	3			
12586	1 Aiguille	ind	mésial	Ind.	Ind.	Ind.		Ind.	3			oui
12598	2 Aiguille	ind	dist.	Ind.	Ind.	Ind.		Ind.	3			
12611	2 Aiguille	ind	mésial	Ind.	Ind.	Ind.	2	abrasion	3	bifacial	non	oui
12614	Aiguille	ind	dist.	Ind.	Ind.	Ind.		Ind.	3			
12653	3 Aiguille	ind	mésial	Ind.	Ind.	Ind.		Ind.	3			oui
12653	1 Aiguille	ind	dist.	Ind.	Ind.	Ind.	1	abrasion	3			
12689	Aiguille	ind	dist.	Ind.	Ind.	Ind.		Ind.	3			oui
12703	Aiguille	ind	mésial	Ind.	Ind.	Ind.		Ind.	3			oui
12705	Aiguille	ind	prox.	Ind.	Ind.	Ind.		Ind.	3			oui
12708	Aiguille	ind	mésial	Ind.	Ind.	Ind.		Ind.	3	bifacial	oui	oui
12711	Aiguille	ind	mésial	Ind.	Ind.	Ind.	2	raclage	3			
12718	2 Aiguille	ind	subentier	Ind.	Ind.	Ind.	123	abrasion et raclage	3			oui
12730	Aiguille	ind	dist.	Ind.	Ind.	Ind.	12	raclage	3			oui
12771	Aiguille	ind	dist.	Ind.	Ind.	Ind.	1	abrasion	3			
12802	1 Aiguille	ind	dist.	Ind.	Ind.	Ind.	1	abrasion	3			
12802	2 Aiguille	ind	mésial	Ind.	Ind.	Ind.	2	abrasion	3			
12916	Aiguille	ind	mésial	Ind.	Ind.	Ind.	2	raclage	3			
12934	Aiguille	ind	dist.	Ind.	Ind.	Ind.		Ind.	3			

N°	Catégorie	Type	Frag.	Proc. Déc.	Technique	Méthode	Etendue faç.	Technique	Degré transf.	Forage	For. Sym.	TT
13045	1	Aiguille	ind	Ind.	Ind.	Ind.	2	raclage	3			oui
13153		Aiguille	ind	Ind.	Ind.	Ind.		Ind.	3			oui
13571		Aiguille	ind	Ind.	Ind.	Ind.		Ind.	3			
13584		Aiguille	ind	Ind.	Ind.	Ind.	1	abrasion	3			
50114		Aiguille	ind	Ind.	Ind.	Ind.	1	abrasion	3			
50440	1	Aiguille	ind	Ind.	Ind.	Ind.		Ind.	3			
50440	2	Aiguille	ind	Ind.	Ind.	Ind.		Ind.	3			
50440	3	Aiguille	ind	Ind.	Ind.	Ind.	3	raclage	3	unifacial	oui	oui
50506		Aiguille	ind	Ind.	Ind.	Ind.		Ind.	3	bifacial	oui	oui
50726		Aiguille	ind	Ind.	Ind.	Ind.		Ind.	3			
51134		Aiguille	ind	Ind.	Ind.	Ind.	23	abrasion et raclage	3			oui
13570		Divers	X	Os entier				Ind.				
3429	1	Divers	XI.A.1	Ind.	Percussion	Ind.		Ind.				
4633	1	Divers	XI.A.1	Ind.	Ind.	Ind.		Ind.	2			
9945		Divers	XI.A.1	Ind.	Entaillage	Ind.		Ind.	2			
10002		Divers	XI.A.1	Ind.	Percussion	Ind.		Ind.	2			
8904		Divers	XI.A.2	Ind.	Entaillage	Ind.		Ind.				
10357	1	Divers	XI.A.2	Ind.	Percussion	Ind.		Ind.				
10813		Divers	XI.A.2	Ind.	Ind.	Ind.		Ind.				
11128	2	Divers	XI.A.2	Ind.	Ind.	Ind.		Ind.				
11267		Divers	XI.A.2	Ind.	Ind.	Ind.		Ind.				
9558		Divers	XI.A.3	Ind.	Ind.	Ind.		Ind.				
9477	2	Divers	XI.B	Ind.	S+P	Ind.		Ind.				oui
9487		Divers	XI.B	Ind.	S+P	Ind.		Ind.				oui
9542		Divers	XI.B	Ind.	S+P	Ind.		Ind.				oui
9558		Divers	XI.B	Ind.	Sciage	Ind.		Ind.				
11307		Divers	XI.C	Ind.	Sciage	Ind.		Ind.				
12439		Divers	XI.C	Ind.	Sciage	Ind.		Ind.	1			
6812	1	Divers	XII.A.1	Ind.	Ind.	Ind.		raclage				oui
9315		Divers	XII.A.1	Ind.	Ind.	Ind.		Ind.				
9960		Divers	XII.A.1	Ind.	Ind.	Ind.		abrasion				
10601	1	Divers	XII.A.1	Ind.	Ind.	Ind.		raclage				
11129		Divers	XII.A.1	Ind.	Ind.	Ind.		Ind.				
6785	1	Divers	XII.A.2	Ind.	Ind.	Ind.	1	abrasion				
1041	1	Divers	XII.B	Ind.	Sciage	Ind.		Ind.				
2950	1	Divers	XII.B	Ind.	Sciage	Ind.		Ind.				

N°	Catégorie	Type	Frag.	Proc. Déc.	Technique	Méthode	Etendue faç.	Technique	Degré transf.	Forage	For. Sym.	TT
3664	Divers	XII.B	ind.	Ind.	Sciage	Ind.		Ind.				
12702	Divers	XII.C	ind.	Ind.	Ind.	Ind.		Ind.				
13144	Divers	XII.D	ind.	Ind.	Ind.	Ind.		Ind.				
50656	Divers	XII.E	mésial	Ind.	Percussion	Ind.		Ind.				
3427	Frag. O		mésial	Os entier				Ind.				
6585	Frag. O		mésial	Os entier				raclage				
9803	Frag. O		prox.	Os entier				abrasion				
9972	Frag. O		prox.	Os entier				Ind.				
51118	Frag. O		prox.	Os entier				raclage				
8149	Frag. O		ind.	Ind.	Percussion	Ind.		raclage				
3431	Frag. O	1	prox.	Ind.	Percussion	Ind.		Ind.				
4633	Frag. O	2	prox.	Ind.	Percussion	Ind.		Ind.				
4661	Frag. O		prox.	Ind.	Percussion	Ind.		Ind.				
5961	Frag. O		prox.	Ind.	Percussion	Ind.		abrasion				
9746	Frag. O	1	prox.	Ind.	Percussion	Ind.		abrasion				
12309	Frag. O		prox.	Ind.	Percussion	Ind.		abrasion				oui
13029	Frag. O		prox.	Ind.	Percussion	Ind.		Ind.				
50144	Frag. O		prox.	Ind.	Percussion	Ind.		Ind.				
51049	Frag. O		prox.	Ind.	Percussion	Ind.		Ind.				
4099	Frag. O	2	prox.	Ind.	Percussion	Ind.		abrasion				
1270	Frag. O	1	prox.	2	Ind.	Ind.		Ind.				
1453	Frag. O	1	prox.	2	Ind.	Ind.		Ind.				
1576	Frag. O		prox.	2	S+P	SIU+P		Ind.				
1824	Frag. O	2	prox.	2	Percussion	Ind.		Ind.				
2146	Frag. O	1	prox.	2	Sciage	Poss. SB		abrasion et raclage				
2157	Frag. O	1	prox.	2	S+P	SB+P		Ind.				
2206	Frag. O	1	prox.	2	S+P	SB+P		Ind.				
2417	Frag. O	1	prox.	2	S+P	SIU+P		Ind.				
2797	Frag. O	1	prox.	2	Ind.	Ind.		Ind.				
2870	Frag. O		prox.	2	Ind.	Ind.		abrasion				
3252	Frag. O	1	prox.	2	Percussion	Ind.		Ind.				
3383	Frag. O	1	prox.	2	S+P	SIB+P		Ind.				
3716	Frag. O	3	prox.	2	S+P	SIB+P		Ind.				
4322	Frag. O		subentier	2	Ind.	Ind.		Ind.				oui
5241	Frag. O		prox.	2	Poss. P	Ind.		abrasion				
5241	Frag. O	2	prox.	2	Ind.	Ind.		Ind.				

N°	Catégorie	Type	Frag.	Proc. Déc.	Technique	Méthode	Etendue faç.	Technique	Degré transf.	Forage	For. Sym.	TT
5304	Frag. O		prox.	2	S+P	SIU+P		Ind.				
6206	Frag. O		prox.	2	Ind.	Ind.		Ind.				
6397	Frag. O		prox.	2	Sciage	Poss. SU		Ind.				
6526	Frag. O		prox.	2	S+P	SIB+P		Ind.				
6807	Frag. O	1	prox.	2	S+P	SIB+P		Ind.				
7421	Frag. O		prox.	2	Ind.	Ind.		Ind.				
9111	Frag. O		prox.	2	Percussion	Ind.		Ind.				
9294	Frag. O		prox.	2	Ind.	Ind.		Ind.				
9565	Frag. O		prox.	2	S+P	SPU+P		abrasion				
9590	Frag. O	1	prox.	2	Ind.	Ind.		Ind.				
9730	Frag. O		prox.	2	Ind.	Ind.		Ind.				
9787	Frag. O		prox.	2	S+P	SIU+P		Ind.				
9789	Frag. O		prox.	2	Percussion	Ind.		abrasion				oui
9840	Frag. O		prox.	2	S+P	SPU+P		Ind.				
10684	Frag. O		prox.	2	S+P	SPB+P		Ind.				
10730	Frag. O	1	prox.	2	Sciage	SB		abrasion et raclage				
10732	Frag. O	1	prox.	2	S+P	SIB+P		abrasion				
10734	Frag. O	1	prox.	2	S+P	SIB+P		Ind.				
11066	Frag. O	2	prox.	2	Sciage	Poss. SIB		abrasion				oui
11151	Frag. O		prox.	2	S+P	SU+P		abrasion				
11662	Frag. O		prox.	2	Sciage	Poss. SIB		Ind.				
11680	Frag. O		prox.	2	S+P	SU+P		Ind.				
11738	Frag. O		prox.	2	S+P	SU+P		Ind.				
11758	Frag. O		prox.	2	Percussion	Ind.		Ind.				
11805	Frag. O		prox.	2	Sciage	SIB		Ind.				
11828	Frag. O		prox.	2	S+P	SIU+P		Ind.				
12087	Frag. O		prox.	2	S+P	SPU+P		Ind.				
12686	Frag. O		prox.	2	S+P	SU+P		Ind.				
12764	Frag. O		prox.	2	S+P	SIU+P		Ind.				
12770	Frag. O		prox.	2	S+P	SIU+P		Ind.				
12943	Frag. O		prox.	2	Ind.	SIB+P		Ind.				
50469	Frag. O		prox.	2	S+P	Ind.		Ind.				
50469	Frag. O	2	prox.	2	S+P	SPU+P		Ind.				
50675	Frag. O		prox.	2	Ind.	Ind.		Ind.				
50675	Frag. O	2	prox.	2	Ind.	Ind.		abrasion				
50699	Frag. O		prox.	2	Ind.	Ind.		Ind.				

N°	Catégorie	Type	Frag.	Proc. Déc.	Technique	Méthode	Etendue faç.	Technique	Degré transf.	Forage	For. Sym.	TT
50927	Frag. O		prox.	2	Ind.	Ind.		abrasion				
519	Frag. O	1	prox.	2	S+P	SU+P		abrasion				
1056	Frag. O	1	prox.	2	Ind.	Ind.		Ind.				
1089	Frag. O	1	prox.	2	Ind.	Ind.		Ind.				
1332	Frag. O	1	prox.	2	S+P	SU+P		Ind.				
1829	Frag. O	1	prox.	2	Percussion	Ind.		Ind.				
2567	Frag. O	1	prox.	2	S+P	SU+P		Ind.				
2646	Frag. O	2	prox.	2	Ind.	Ind.		Ind.				
2646	Frag. O	1	prox.	2	Ind.	Ind.		Ind.				
2707	Frag. O	1	prox.	2	Percussion	Ind.		Ind.				
2980	Frag. O	2	prox.	2	S+P	SB+P		Ind.				
3082	Frag. O	2	prox.	2	Percussion	Ind.		Ind.				
3252	Frag. O	2	prox.	2	Ind.	Ind.		abrasion				
3284	Frag. O		prox.	2	Percussion	Ind.		abrasion				
3299	Frag. O	3	prox.	2	S+P	SB+P		Ind.				
3570	Frag. O	2	prox.	2	Ind.	Ind.		Ind.				
3747	Frag. O	2	prox.	2	Percussion	Ind.		Ind.				
4112	Frag. O		prox.	2	Ind.	Ind.		Ind.				
4122	Frag. O		prox.	2	Ind.	Ind.		Ind.				oui
4157	Frag. O		prox.	2	S+P	SIU+P		abrasion				
4300	Frag. O		prox.	2	Ind.	Ind.		Ind.				
4396	Frag. O		prox.	2	S+P	SPU+P		abrasion				
4417	Frag. O		prox.	2	Ind.	Ind.		Ind.				
5029	Frag. O		prox.	2	S+P	SIB+P		Ind.				oui
5158	Frag. O		prox.	2	Poss. P	Ind.		Ind.				oui
5218	Frag. O	1	prox.	2	S+P	SPU+P		abrasion				
5218	Frag. O	2	prox.	2	Ind.	Ind.		Ind.				
5884	Frag. O		prox.	2	Ind.	Ind.		Ind.				
6330	Frag. O	2	prox.	2	S+P	SIB+P		Ind.				
6357	Frag. O		prox.	2	Poss. S+P	Ind.		Ind.				
6457	Frag. O		prox.	2	S+P	SIB+P		Ind.				
6458	Frag. O	2	prox.	2	S+P	Poss. SB+P		Ind.				
6562	Frag. O		prox.	2	Sciage	Poss. SU		Ind.				
6685	Frag. O		prox.	2	S+P	SU+P		Ind.				
6731	Frag. O	1	prox.	2	S+P	SIB+P		Ind.				
6785	Frag. O	3	subentier	2	S+P	SPU+P		abrasion et raclage				

N°	Catégorie	Type	Frag.	Proc. Déc.	Technique	Méthode	Etendue faç.	Technique	Degré transf.	Forage	For. Sym.	TT
7049	Frag. O		prox.	2	S+P	SIU+P		abrasion				oui
7515	Frag. O		prox.	2	S+P	SIB+P		Ind.				oui
7545	Frag. O		prox.	2	Sciage	Poss. SB		abrasion				
8596	Frag. O		prox.	2	Ind.	Ind.		Ind.				
8840	Frag. O		prox.	2	Percussion	Ind.		abrasion				
9230	Frag. O		prox.	2	Ind.	Ind.		Ind.				
9272	Frag. O		prox.	2	Percussion	Ind.		Ind.				
9638	Frag. O		prox.	2	Ind.	Ind.		Ind.				
9641	Frag. O		prox.	2	Percussion	Ind.		Ind.				
9675	Frag. O		prox.	2	Ind.	Ind.		Ind.				
10024	Frag. O	1	prox.	2	Sciage	SIB		Ind.				
10137	Frag. O		prox.	2	S+P	SPB+P		abrasion et raclage				oui
10151	Frag. O		prox.	2	Sciage	Poss. SB		abrasion et raclage				
10191	Frag. O	2	prox.	2	S+P	SU+P		abrasion				
10191	Frag. O	1	prox.	2	Ind.	Ind.		Ind.				
10364	Frag. O		prox.	2	S+P	SU+P		Ind.				
10378	Frag. O		prox.	2	S+P	SIB+P		Ind.				
10516	Frag. O	1	prox.	2	Ind.	Ind.		Ind.				
10517	Frag. O		prox.	2	Sciage	SIB		Ind.				
10521	Frag. O		prox.	2	Percussion	Ind.		abrasion				
10608	Frag. O		prox.	2	Ind.	Ind.		Ind.				
10613	Frag. O		prox.	2	S+P	SPB+P		abrasion				
10674	Frag. O	1	prox.	2	Sciage	Poss. SU		Ind.				
10718	Frag. O	3	prox.	2	S+P	SIB+P		abrasion				oui
10732	Frag. O	2	prox.	2	S+P	SIB+P		abrasion				
10734	Frag. O	2	prox.	2	S+P	SPU+P		raclage				
10754	Frag. O		prox.	2	S+P	Poss. SU+P		abrasion				
10803	Frag. O		prox.	2	Ind.	Ind.		abrasion et raclage				
10860	Frag. O		prox.	2	S+P	SPB+P		abrasion				
10910	Frag. O	1	prox.	2	S+P	SPB+P		raclage				
10927	Frag. O	4	prox.	2	Sciage	SIB		abrasion				
10993	Frag. O		prox.	2	S+P	Poss. SB+P		Ind.				
11042	Frag. O		prox.	2	S+P	SIU+P		abrasion et raclage				oui
11057	Frag. O		prox.	2	S+P	SPU+P		abrasion				oui
11064	Frag. O	2	prox.	2	S+P	SPB+P		abrasion				
11093	Frag. O	1	prox.	2	S+P	SIU+P		raclage				

N°	Catégorie	Type	Frag.	Proc. Déc.	Technique	Méthode	Etendue faç.	Technique	Degré transf.	Forage	For. Sym.	TT
11128	1	Frag. O	prox.	2	Percussion	Ind.		abrasion				oui
11206	1	Frag. O	prox.	2	S+P	SPB+P		abrasion				
11264		Frag. O	prox.	2	S+P	SIB+P		abrasion				
11274		Frag. O	prox.	2	S+P	SU+P		abrasion et racleage				
11277	1	Frag. O	prox.	2	S+P	SIB+P		Ind.				
11279	1	Frag. O	prox.	2	Sciage	SIB		abrasion				oui
11303	1	Frag. O	prox.	2	Ind.	Ind.		Ind.				
11327		Frag. O	prox.	2	S+P	SPU+P		racleage				
11346	2	Frag. O	prox.	2	S+P	SIU+P		abrasion				
11396		Frag. O	prox.	2	Ind.	Ind.		Ind.				
11670	1	Frag. O	prox.	2	Ind.	Ind.		Ind.				oui
11670	2	Frag. O	prox.	2	S+P	SPB+P		Ind.				oui
11921		Frag. O	prox.	2	Sciage	SB		Ind.				
12181	1	Frag. O	prox.	2	Ind.	Ind.		Ind.				
12263	1	Frag. O	prox.	2	S+P	SIB+P		Ind.				
12773		Frag. O	prox.	2	Percussion	Ind.		Ind.				
12789		Frag. O	prox.	2	Ind.	Ind.		Ind.				
12993		Frag. O	prox.	2	Ind.	Ind.		Ind.				
13217	2	Frag. O	prox.	2	Ind.	Ind.		Ind.				
13421	1	Frag. O	prox.	2	Ind.	Ind.		abrasion				
13607		Frag. O	prox.	2	S+P	SIB+P		abrasion et racleage				
50432	1	Frag. O	prox.	2	Ind.	Ind.		Ind.				
50463		Frag. O	prox.	2	Ind.	Ind.		Ind.				
51024		Frag. O	prox.	2	S+P	SPU+P		abrasion				
2395	1	Frag. O	prox.	2	Sciage	Poss. SB		Ind.				
7372		Frag. O	prox.	2	Ind.	Ind.		Ind.				
11172		Frag. O	prox.	2	S+P	SU+P		abrasion				
11209		Frag. O	prox.	2	Sciage	Poss. SB		abrasion et racleage				oui
50387		Frag. O	prox.	2	Ind.	Ind.		Ind.				
569	1	Frag. O	prox.	4	Percussion	Ind.		Ind.				
644		Frag. O	prox.	4	Ind.	Ind.		Ind.				
877	3	Frag. O	prox.	4	Ind.	Ind.		abrasion				oui
1322	1	Frag. O	prox.	4	Ind.	Ind.		abrasion				oui
1517		Frag. O	prox.	4	Percussion	Ind.		Ind.				
1543	1	Frag. O	prox.	4	Ind.	Ind.		Ind.				
1824	1	Frag. O	prox.	2-	Ind.	Ind.		abrasion				

N°	Catégorie	Type	Frag.	Proc. Déc.	Technique	Méthode	Etendue faç.	Technique	Degré transf.	Forage	For. Sym.	TT
2018	1	Frag. O	prox.	4	Percussion	Ind.		Ind.				
2140	1	Frag. O	prox.	4	Ind.	Ind.		Ind.				
2572	1	Frag. O	prox.	4	Sciage	SB		abrasion				
2637		Frag. O	prox.	Ind.	Ind.	Ind.		abrasion				
2737	1	Frag. O	prox.	2	Ind.	Ind.		Ind.				
3058		Frag. O	prox.	2	Ind.	Ind.		abrasion				
3675		Frag. O	prox.	2	Ind.	Ind.		Ind.				
4114	2	Frag. O	prox.	2-	Sciage	SB		abrasion				oui
4127	1	Frag. O	prox.	4	S-P	SPB+P		Ind.				
4234		Frag. O	prox.	2	S-P	Poss. SB+P		Ind.				
4333	1	Frag. O	prox.	2	S-P	SU+P		abrasion				
4703	2	Frag. O	prox.	4	S-P	Poss. SU+P		abrasion				oui
5315		Frag. O	prox.	Ind.	Ind.	Ind.		Ind.				
5469		Frag. O	prox.	4	Sciage	SB		raclage				
5805		Frag. O	prox.	2	S-P	SIB+P		abrasion				
5864		Frag. O	prox.	Poss. 4	Percussion	Ind.		abrasion				
6330		Frag. O	prox.	2	Sciage	SIB		Ind.				
6641		Frag. O	prox.	4	S-P	SU+P		Ind.				
7161	2	Frag. O	prox.	4-	S-P	Ind.		Ind.				
7555		Frag. O	prox.	2	S-P	Poss. SU+P		raclage				
7650		Frag. O	prox.	4-	Poss. P	Ind.		abrasion				
7710		Frag. O	prox.	4	Ind.	Ind.		abrasion et raclage				
8148		Frag. O	prox.	4	S-P	SPU+P		Ind.				oui
8170		Frag. O	prox.	2	Sciage	Poss. SB		abrasion				oui
8299		Frag. O	prox.	Ind.	Sciage	SB		raclage				oui
9435		Frag. O	prox.	4	Sciage	SB		abrasion et raclage				
9533		Frag. O	prox.	4	Ind.	Ind.		abrasion				oui
9648		Frag. O	prox.	2	Sciage	Poss. SIB		Ind.				
11049		Frag. O	prox.	2	Ind.	Ind.		abrasion et raclage				oui
11070	1	Frag. O	prox.	4	S-P	SIU+P		Ind.				
11077		Frag. O	prox.	4	Sciage	Poss. SB		abrasion				
11166		Frag. O	mésial	Ind.	Ind.	Ind.		abrasion				oui
11647		Frag. O	prox.	2	Percussion	Ind.		Ind.				
12464		Frag. O	prox.	2	S-P	SU+P		abrasion				
50617		Frag. O	prox.	4	Ind.	Ind.		abrasion				
3300	2	Frag. O	prox.	Ind.	Ind.	Ind.		abrasion				

N°	Catégorie	Type	Frag.	Proc. Déc.	Technique	Méthode	Etendue faç.	Technique	Degré transf.	Forage	For. Sym.	TT
3403	Frag. O		prox.	4	Ind.	Ind.		abrasion				
5271	Frag. O		prox.	4	Ind.	Ind.		Ind.				
7682	Frag. O		prox.	4	Ind.	Ind.		abrasion				
8110	Frag. O		prox.	4	S+P	SIB+P		raclage				
11091	Frag. O	1	prox.	2	Percussion	Ind.		abrasion				oui
50393	Frag. O		prox.	2	Ind.	Ind.		Ind.				
5184	Frag. O		prox.	4	Sciage	SIB		Ind.				
7740	Frag. O	1	prox.	2	Ind.	Ind.		abrasion				
827	Frag. O	1	prox.	Ind.	Ind.	Ind.		Ind.				
988	Frag. O	1	prox.	Ind.	Ind.	Ind.		Ind.				
1845	Frag. O	1	prox.	2	S+P	SU+P		abrasion				oui
2005	Frag. O	1	prox.	2	Ind.	Ind.		abrasion et raclage				oui
3213	Frag. O		prox.	Ind.	Ind.	Ind.		abrasion				oui
4249	Frag. O		prox.	Ind.	Ind.	Ind.		Ind.				oui
5193	Frag. O		prox.	Ind.	Ind.	Ind.		Ind.				
5531	Frag. O		prox.	2	Sciage	Poss. SU		abrasion				oui
6637	Frag. O		prox.	Ind.	Ind.	Ind.		Ind.				
7460	Frag. O		prox.	Ind.	Ind.	Ind.		Ind.				
7516	Frag. O		prox.	Ind.	Percussion	Ind.		abrasion et raclage				oui
7737	Frag. O	2	prox.	Ind.	Ind.	Ind.		abrasion				
7935	Frag. O		prox.	2	Sciage	Poss. SB		abrasion et raclage				oui
9346	Frag. O		prox.	Ind.	Ind.	Ind.		abrasion				oui
10717	Frag. O	1	prox.	Ind.	Ind.	Ind.		abrasion et raclage				oui
11332	Frag. O	1	prox.	2	S+P	SU+P		abrasion et raclage				oui
11371	Frag. O		prox.	Ind.	Percussion	Ind.		abrasion				oui
12590	Frag. O	2	prox.	2	Ind.	Ind.		raclage				
13421	Frag. O	3	prox.	Ind.	Ind.	Ind.		abrasion et raclage				
13638	Frag. O	1	prox.	Ind.	Ind.	Ind.		abrasion		bifacial		
50202	Frag. O	2	prox.	4	Ind.	Ind.		abrasion				
50382	Frag. O		prox.	Ind.	Ind.	Ind.		Ind.				
50501	Frag. O	1	prox.	Poss. 2	Sciage	SB		Ind.				oui
51030	Frag. O		prox.	Ind.	Ind.	Ind.		abrasion et raclage				
1569	Frag. O	1	subentier	Ind.	Ind.	Ind.		Ind.		bifacial		
3342	Frag. O		prox.	Ind.	Percussion	Ind.		abrasion				
Total												1183

Kh-KhP Données fonctionnelles

N°	Catégorie	Type	Frag.	Etat	Stade d'usure PD	Stade d'usure PP	Mode d'action	Mouvement	Matière travaillée
50200	OP	I.A	entier	C	1		Percussion dir.	Ind.	Ind.
9042	OP	I.B.1	subentier	B	3		Percussion dir.	Ind.	Ind.
9914	OP	I.B.1	entier	C	3		Percussion dir.	Ind.	Ind.
13580	OP	I.C	entier	A	2		Percussion dir.	rotation	cuir
2276	OP	II.A.2	entier	C	3		Percussion ind.	longitudinal	Ind.
12709	OP	II.A.2	entier	C	3		Percussion ind.	longitudinal	Ind.
6277	OP	III.A.2	entier	C	2		Percussion ind.	longitudinal	Ind.
9400	OP	III.A.2	subentier	C	3		Ind.	Ind.	Ind.
11625	OP	III.A.2	entier	C	3		Percussion ind.	longitudinal	Ind.
12229	OP	III.A.2	entier	C	3		Percussion ind.	longitudinal	fibres végétales
5177	OP	III.B.1	subentier	C	3		Percussion dir.	rotation	fibres végétales rigides
5201	OP	III.B.1	entier	C	3		Ind.	Ind.	Ind.
5390	OP	III.B.1	entier	B	1		Ind.	Ind.	Ind.
5569	OP	III.B.1	entier	C	3		Percussion dir.	Ind.	Ind.
7755	OP	III.B.1	subentier	B	2		Percussion dir.	rotation	fibres végétales rigides
9873	OP	III.B.1	entier	C	2		Percussion dir.	Ind.	Ind.
9898	OP	III.B.1	entier	C	3		Percussion dir.	Ind.	Ind.
10007	OP	III.B.1	entier	C	2		Ind.	Ind.	Ind.
11037	OP	III.B.1	subentier	A	3		Percussion dir.	rotation	fibres végétales rigides
11145	OP	III.B.1	entier	C	1		Ind.	Ind.	Ind.
11175	OP	III.B.1	entier	C	1		Percussion dir.	Ind.	Ind.
11252	OP	III.B.1	subentier	C	3		Ind.	Ind.	Ind.
11500	OP	III.B.1	entier	C	2		Ind.	Ind.	Ind.
12304	OP	III.B.1	entier	C	1		Ind.	Ind.	Ind.
13151	OP	III.B.1	entier	C	3		Ind.	Ind.	Ind.
10540	OP	III.B.2	entier	C	3		Percussion ind.	longitudinal	Ind.
10562	OP	III.B.2	subentier	C	3		Percussion dir.	rotation	fibres végétales
11142	OP	III.B.2	entier	C	3		Percussion ind.	longitudinal	Ind.
50142	OP	III.B.2	entier	C	3		Percussion ind.	longitudinal	Ind.
6007	OP	III.B.3	entier	C	3		Ind.	Ind.	Ind.
5508	OP	IV.A.1	entier	B	2		Percussion dir.	rotation	Ind.
5515	OP	IV.A.1	entier	C	3		Percussion dir.	rotation	Ind.
6957	OP	IV.A.1	entier	C	1		Percussion dir.	rotation	Ind.
8737	OP	IV.A.1	entier	C	2		Percussion ind.	longitudinal	Ind.
9896	OP	IV.A.1	entier	C	1		Percussion ind.	longitudinal	Ind.
11238	OP	IV.A.1	subentier	B	3		Percussion dir.	rotation	écorce
11298	OP	IV.A.1	entier	B	2		Percussion dir.	rotation	fibres végétales souples
13421	OP	IV.A.1	subentier	B	3		Percussion dir.	rotation	Ind.

N°	Catégorie	Type	Frag.	Etat	Stade d'usure PD	Stade d'usure PP	Mode d'action	Mouvement	Matière travaillée
13539	OP	IV.A.1	subentier	C	1		Percussion dir.	rotation	Ind.
50476	OP	IV.A.1	entier	c	1		Percussion dir.	rotation	Ind.
50871	OP	IV.A.1	entier	C	2		Percussion dir.	rotation	Ind.
9382	OP	IV.A.2	entier	C	1		Percussion dir.	rotation	fibres végétales souples
11130	OP	IV.A.2	entier	C	2		Percussion dir.	rotation	cuir
11356	OP	IV.A.2	subentier	C	2		Percussion dir.	rotation	Ind.
5660	OP	IV.A.3	dist.	C	1		Ind.	Ind.	Ind.
4412	OP	IV.B	dist.	C	3		Ind.	Ind.	Ind.
4719	OP	IV.B	dist.	C	2		Ind.	Ind.	Ind.
5253	OP	IV.B	dist.	B	1		Ind.	Ind.	écorce
5568	OP	IV.B	entier	c	2		Percussion dir.	rotation	Ind.
5752	OP	IV.B	entier	B	1		Percussion ind.	longitudinal	Ind.
5807	OP	IV.B	dist.	C	3		Ind.	Ind.	écorce
6136	OP	IV.B	dist.	C	1		Ind.	Ind.	Ind.
6273	OP	IV.B	entier	C	3		Percussion dir.	rotation	Ind.
7059	OP	IV.B	dist.	C	1		Ind.	Ind.	Ind.
7087	OP	IV.B	dist.	C	2		Ind.	Ind.	Ind.
7223	OP	IV.B	dist.	c	3		Ind.	Ind.	Ind.
8132	OP	IV.B	entier	C	2		Percussion dir.	rotation	Ind.
8381	OP	IV.B	dist.	C	1		Ind.	Ind.	Ind.
8499	OP	IV.B	subentier	c	1		Percussion dir.	rotation	Ind.
9130	OP	IV.B	dist.	C	1		Ind.	Ind.	Ind.
10674	OP	IV.B	dist.	C	2		Ind.	Ind.	Ind.
10810	OP	IV.B	subentier	B	1		Percussion dir.	rotation	Ind.
10937	OP	IV.B	dist.	B	3		Ind.	Ind.	Ind.
11092	OP	IV.B	dist.	B	2		Ind.	Ind.	Ind.
12122	OP	IV.B	dist.	c	1		Ind.	Ind.	Ind.
12248	OP	IV.B	entier	C	3		Percussion ind.	longitudinal	Ind.
12263	OP	IV.B	dist.	C	3		Ind.	Ind.	écorce
12586	OP	IV.B	dist.	C	3		Ind.	Ind.	fibres végétales souples
13306	OP	IV.B	subentier	C	3		Ind.	Ind.	Ind.
13410	OP	IV.B	dist.	B	2		Ind.	Ind.	écorce
13417	OP	IV.B	dist.	B	3		Ind.	Ind.	Ind.
13581	OP	IV.B	dist.	C	3		Ind.	Ind.	Ind.
13585	OP	IV.B	dist.	C	2		Ind.	Ind.	Ind.
13585	OP	IV.B	dist.	C	3		Ind.	Ind.	Ind.
50168	OP	IV.B	dist.	C	1		Ind.	Ind.	Ind.
4012	OP	Ind.	dist.	C	1		Percussion dir.	rotation	Ind.
4114	OP	Ind.	dist.	C	2		Ind.	Ind.	Ind.
4197	OP	Ind.	dist.	C	3		Ind.	Ind.	Ind.
4346	OP	Ind.	dist.	c	1		Ind.	Ind.	Ind.

N°	Catégorie	Type	Frag.	Etat	Stade d'usure PD	Stade d'usure PP	Mode d'action	Mouvement	Matière travaillée
4362	OP	Ind.	dist.	C	2		Ind.	Ind.	Ind.
5149	OP	Ind.	dist.	c	3		Ind.	Ind.	Ind.
5229	OP	Ind.	dist.	c	3		Ind.	Ind.	Ind.
5245	OP	Ind.	dist.	c	2		Ind.	Ind.	Ind.
5246	OP	Ind.	dist.	C	2		Ind.	Ind.	Ind.
5326	OP	Ind.	dist.	B	1		Ind.	Ind.	Ind.
5417	OP	Ind.	dist.	c	1		Ind.	Ind.	Ind.
5469	OP	Ind.	dist.	C	3		Ind.	Ind.	Ind.
5481	OP	Ind.	dist.	C	3		Ind.	Ind.	Ind.
5619	OP	Ind.	dist.	c	2		Ind.	Ind.	Ind.
5849	OP	Ind.	dist.	C	1		Percussion dir.	rotation	Ind.
5881	OP	Ind.	dist.	C	1		Ind.	Ind.	Ind.
6007	OP	Ind.	dist.	C	3		Ind.	Ind.	Ind.
6420	OP	Ind.	dist.	c	3		Ind.	Ind.	Ind.
6563	OP	Ind.	dist.	c	2		Ind.	Ind.	Ind.
6620	OP	Ind.	dist.	C	1		Ind.	Ind.	Ind.
6668	OP	Ind.	dist.	B	3		Percussion dir.	rotation	Ind.
6725	OP	Ind.	dist.	C	3		Ind.	Ind.	Ind.
6807	OP	Ind.	dist.	B	2		Ind.	Ind.	Ind.
7036	OP	Ind.	dist.	C	2		Ind.	Ind.	Ind.
7041	OP	Ind.	dist.	C	2		Ind.	Ind.	Ind.
7477	OP	Ind.	dist.	B	2		Ind.	Ind.	Ind.
7666	OP	Ind.	dist.	C	3		Ind.	Ind.	Ind.
7695	OP	Ind.	dist.	c	2		Ind.	Ind.	Ind.
7701	OP	Ind.	dist.	C	2		Percussion dir.	rotation	Ind.
7756	OP	Ind.	dist.	C	1		Ind.	Ind.	Ind.
7937	OP	Ind.	dist.	C	2		Ind.	Ind.	Ind.
7959	OP	Ind.	dist.	C	3		Ind.	Ind.	Ind.
8046	OP	Ind.	dist.	C	3		Ind.	Ind.	Ind.
8140	OP	Ind.	dist.	C	3		Percussion dir.	rotation	Ind.
8157	OP	Ind.	dist.	C	3		Ind.	Ind.	fibres végétales souples
8492	OP	Ind.	dist.	B	3		Ind.	Ind.	Ind.
8608	OP	Ind.	dist.	C	3		Ind.	Ind.	Ind.
8611	OP	Ind.	dist.	C	2		Ind.	Ind.	Ind.
8726	OP	Ind.	dist.	C	2		Ind.	Ind.	Ind.
9057	OP	Ind.	dist.	C	2		Ind.	Ind.	Ind.
9082	OP	Ind.	dist.	C	2		Ind.	Ind.	fibres végétales souples
9283	OP	Ind.	dist.	B	3		Ind.	Ind.	Ind.
9351	OP	Ind.	dist.	A	3		Ind.	Ind.	Ind.
9354	OP	Ind.	dist.	C	1		Ind.	Ind.	Ind.
9445	OP	Ind.	dist.	C	2		Ind.	Ind.	Ind.

N°	Catégorie	Type	Frag.	Etat	Stade d'usure PD	Stade d'usure PP	Mode d'action	Mouvement	Matière travaillée
9750	OP	Ind.	dist.	C	2		Ind.	Ind.	Ind.
9946	OP	Ind.	dist.	C	3		Ind.	Ind.	écorce
9951	OP	Ind.	dist.	C	2		Ind.	Ind.	Ind.
9956	OP	Ind.	dist.	B	3		Ind.	Ind.	fibres végétales souples
10128	OP	Ind.	dist.	c	1		Ind.	Ind.	Ind.
10208	OP	Ind.	dist.	c	3		Ind.	Ind.	Ind.
10294	OP	Ind.	dist.	c	2		Ind.	Ind.	Ind.
10323	OP	Ind.	dist.	c	1		Ind.	Ind.	Ind.
10516	OP	Ind.	dist.	C	2		Ind.	Ind.	fibres végétales souples
10654	OP	Ind.	dist.	C	2		Ind.	Ind.	Ind.
10907	OP	Ind.	dist.	c	2		Ind.	Ind.	Ind.
10920	OP	Ind.	dist.	C	1		Ind.	Ind.	fibres végétales souples
10947	OP	Ind.	dist.	c	3		Ind.	Ind.	Ind.
10961	OP	Ind.	dist.	C	3		Ind.	Ind.	Ind.
10983	OP	Ind.	dist.	C	3		Ind.	Ind.	Ind.
11076	OP	Ind.	dist.	c	1		Ind.	Ind.	Ind.
11089	OP	Ind.	dist.	B	2		Ind.	Ind.	fibres végétales souples
11093	OP	Ind.	dist.	B	2		Ind.	Ind.	écorce
11237	OP	Ind.	dist.	B	1		Ind.	Ind.	Ind.
11278	OP	Ind.	dist.	B	3		Ind.	rotation	Ind.
11346	OP	Ind.	dist.	C	2		Percussion dir.	Ind.	fibres végétales souples
11558	OP	Ind.	dist.	C	1		Ind.	Ind.	Ind.
11623	OP	Ind.	dist.	C	3		Ind.	Ind.	écorce
11636	OP	Ind.	dist.	c	3		Ind.	Ind.	Ind.
11725	OP	Ind.	dist.	C	2		Ind.	Ind.	Ind.
11762	OP	Ind.	dist.	C	2		Ind.	Ind.	Ind.
11777	OP	Ind.	dist.	C	2		Ind.	Ind.	Ind.
12068	OP	Ind.	dist.	C	1		Ind.	Ind.	Ind.
12101	OP	Ind.	dist.	C	2		Ind.	Ind.	Ind.
12102	OP	Ind.	dist.	C	3		Ind.	Ind.	Ind.
12196	OP	Ind.	dist.	c	1		Ind.	Ind.	Ind.
12306	OP	Ind.	dist.	B	3		Percussion dir.	rotation ?	fibres végétales
12422	OP	Ind.	dist.	C	2		Ind.	Ind.	Ind.
12436	OP	Ind.	dist.	c	1		Ind.	Ind.	Ind.
12555	OP	Ind.	dist.	B	3		Ind.	Ind.	écorce
12618	OP	Ind.	dist.	C	3		Ind.	Ind.	Ind.
12787	OP	Ind.	dist.	C	3		Ind.	Ind.	Ind.
12793	OP	Ind.	dist.	C	3		Ind.	Ind.	Ind.
13200	OP	Ind.	dist.	C	3		Ind.	Ind.	Ind.
13224	OP	Ind.	dist.	C	1		Ind.	Ind.	écorce
13236	OP	Ind.	dist.	C	1		Ind.	Ind.	Ind.

N°	Catégorie	Type	Frag.	Etat	Stade d'usure PD	Stade d'usure PP	Mode d'action	Mouvement	Matière travaillée
13245	OP	Ind.	dist.	C	3		Ind.	Ind.	Ind.
13258	OP	Ind.	dist.	C	3		Ind.	Ind.	Ind.
13401	OP	Ind.	dist.	C	3		Ind.	Ind.	Ind.
13422	OP	Ind.	dist.	B	2		Ind.	Ind.	Ind.
13422	OP	Ind.	dist.	C	2		Ind.	Ind.	Ind.
13458	OP	Ind.	dist.	C	1		Ind.	Ind.	Ind.
50001	OP	Ind.	dist.	c	3		Ind.	Ind.	Ind.
50108	OP	Ind.	dist.	C	2		Percussion dir.	rotation	Ind.
50143	OP	Ind.	dist.	c	3		Ind.	Ind.	Ind.
50432	OP	Ind.	dist.	C	2		Ind.	Ind.	Ind.
50445	OP	Ind.	dist.	B	3		Percussion dir.	rotation ?	fibres végétales
50472	OP	Ind.	dist.	C	1		Ind.	Ind.	Ind.
50610	OP	Ind.	dist.	C	1		Percussion dir.	rotation	Ind.
50660	OP	Ind.	dist.	C	3		Ind.	Ind.	Ind.
50719	OP	Ind.	dist.	C	3		Ind.	Ind.	Ind.
50775	OP	Ind.	dist.	C	2		Ind.	Ind.	Ind.
50836	OP	Ind.	dist.	C	3		Ind.	Ind.	Ind.
50904	OP	Ind.	dist.	C	3		Ind.	Ind.	Ind.
51058	OP	Ind.	dist.	c	2		Ind.	Ind.	Ind.
4441	aiguille	V.A.1	prox.	C	3		Percussion dir.	longitudinal	Ind.
4494	aiguille	V.A.1	prox.	C	2		Percussion dir.	longitudinal	Ind.
5162	aiguille	V.A.1	prox.	C	2		Percussion dir.	longitudinal	Ind.
5237	aiguille	V.A.1	prox.	B	2		Percussion dir.	longitudinal	écorce
6561	aiguille	V.A.1	entier	C	2		Percussion dir.	longitudinal	Ind.
6965	aiguille	V.A.1	prox.	C	2		Percussion dir.	longitudinal	Ind.
7302	aiguille	V.A.1	prox.	C	1		Percussion dir.	longitudinal	fibres végétales souples
7743	aiguille	V.A.1	prox.	C	1		Percussion dir.	longitudinal	Ind.
8470	aiguille	V.A.1	prox.	A	3		Percussion dir.	longitudinal	fibres végétales souples
8717	aiguille	V.A.1	prox.	C	3		Percussion dir.	longitudinal	Ind.
8882	aiguille	V.A.1	prox.	B	3		Percussion dir.	longitudinal	cuir
9071	aiguille	V.A.1	prox.	C	1		Percussion dir.	longitudinal	Ind.
9975	aiguille	V.A.1	prox.	C	3		Percussion dir.	longitudinal	Ind.
10011	aiguille	V.A.1	prox.	C	2		Percussion dir.	longitudinal	fibres végétales souples
10183	aiguille	V.A.1	prox.	C	3		Percussion dir.	longitudinal	Ind.
10237	aiguille	V.A.1	prox.	B	2		Percussion dir.	longitudinal	Ind.
10286	aiguille	V.A.1	mésial	C	2		Percussion dir.	longitudinal	fibres végétales souples
10296	aiguille	V.A.1	prox.	B	2		Percussion dir.	longitudinal	fibres végétales souples
10479	aiguille	V.A.1	prox.	C	2		Percussion dir.	longitudinal	Ind.
10608	aiguille	V.A.1	prox.	B	3		Percussion dir.	longitudinal	Ind.
10693	aiguille	V.A.1	prox.	B	2		Percussion dir.	longitudinal	fibres végétales souples
10751	aiguille	V.A.1	mésial	B	2		Percussion dir.	longitudinal	fibres végétales souples

N°	Catégorie	Type	Frag.	Etat	Stade d'usure PD	Stade d'usure PP	Mode d'action	Mouvement	Matière travaillée
10840	3 aiguille	V.A.1	prox.	A		3	Percussion dir.	longitudinal	fibres végétales souples
10862	2 aiguille	V.A.1	entier	C	Ind.	1	Percussion dir.	longitudinal	Ind.
10862	3 aiguille	V.A.1	entier	B	1	1	Percussion dir.	longitudinal	fibres végétales souples
10878		V.A.1	prox.	C		2	Percussion dir.	longitudinal	Ind.
10909		V.A.1	entier	C	1	2	Percussion dir.	longitudinal	Ind.
10948	2 aiguille	V.A.1	prox.	B		1	Percussion dir.	longitudinal	fibres végétales souples
10963	1 aiguille	V.A.1	prox.	A		3	Percussion dir.	longitudinal	Ind.
11004	2 aiguille	V.A.1	prox.	C		1	Percussion dir.	longitudinal	fibres végétales souples
11024		V.A.1	entier	B	1	3	Percussion dir.	longitudinal	fibres végétales souples
11030	1 aiguille	V.A.1	prox.	B		3	Percussion dir.	longitudinal	fibres végétales souples
11051		V.A.1	prox.	C		3	Percussion dir.	longitudinal	Ind.
11066	1 aiguille	V.A.1	prox.	C		3	Percussion dir.	longitudinal	Ind.
11073		V.A.1	prox.	B		3	Percussion dir.	longitudinal	fibres végétales souples
11142	1 aiguille	V.A.1	prox.	C		3	Percussion dir.	longitudinal	Ind.
11143		V.A.1	prox.	C		2	Percussion dir.	longitudinal	Ind.
11155	2 aiguille	V.A.1	prox.	C		2	Percussion dir.	longitudinal	Ind.
11159	2 aiguille	V.A.1	entier	B		3	Percussion dir.	longitudinal	fibres végétales souples
11159	3 aiguille	V.A.1	prox.	B	Ind.	3	Percussion dir.	longitudinal	fibres végétales souples
11163		V.A.1	prox.	A		2	Percussion dir.	longitudinal	cuir
11187	1 aiguille	V.A.1	prox.	B		3	Percussion dir.	longitudinal	Ind.
11238	5 aiguille	V.A.1	entier	B	2	3	Percussion dir.	longitudinal	écorce
11243		V.A.1	prox.	B		1	Percussion dir.	longitudinal	Ind.
11244	1 aiguille	V.A.1	prox.	B		2	Percussion dir.	longitudinal	cuir
11248		V.A.1	prox.	B		1	Percussion dir.	longitudinal	Ind.
11265	3 aiguille	V.A.1	prox.	C		2	Percussion dir.	longitudinal	Ind.
11277	2 aiguille	V.A.1	prox.	B		2	Percussion dir.	longitudinal	Ind.
11279	3 aiguille	V.A.1	prox.	C		1	Percussion dir.	longitudinal	Ind.
11279	3 aiguille	V.A.1	prox.	C		2	Percussion dir.	longitudinal	Ind.
11332	2 aiguille	V.A.1	prox.	B		3	Percussion dir.	longitudinal	fibres végétales souples
11364		V.A.1	prox.	B		2	Percussion dir.	longitudinal	Ind.
11381	2 aiguille	V.A.1	entier	C	1	2	Percussion dir.	longitudinal	Ind.
11386		V.A.1	prox.	A		2	Percussion dir.	longitudinal	fibres végétales souples
11959	1 aiguille	V.A.1	prox.	A		3	Percussion dir.	longitudinal	fibres végétales souples
11959	2 aiguille	V.A.1	prox.	B		2	Percussion dir.	longitudinal	fibres végétales souples
11970		V.A.1	prox.	C		2	Percussion dir.	longitudinal	Ind.
12074		V.A.1	prox.	C		2	Percussion dir.	longitudinal	Ind.
12100	1 aiguille	V.A.1	prox.	C		2	Percussion dir.	longitudinal	Ind.
12117		V.A.1	prox.	C		1	Percussion dir.	longitudinal	Ind.
12305		V.A.1	prox.	B		1	Percussion dir.	longitudinal	Ind.
12499		V.A.1	prox.	A		2	Percussion dir.	longitudinal	fibres végétales souples
12610		V.A.1	prox.	A		1	Percussion dir.	longitudinal	fibres végétales souples

N°	Catégorie	Type	Frag.	Etat	Stade d'usure PD	Stade d'usure PP	Mode d'action	Mouvement	Matière travaillée
12718	1	1	entier	C	Ind.	1	Percussion dir.	longitudinal	fibres végétales souples
12737		V.A.1	prox.	A		3	Percussion dir.	longitudinal	fibres végétales souples
13049		V.A.1	prox.	B		3	Percussion dir.	longitudinal	Ind.
13434		V.A.1	entier	C	3	1	Percussion dir.	longitudinal	Ind.
50491		V.A.1	entier	A	Ind.	Ind.	Percussion dir.	longitudinal	fibres végétales souples
5569	1	V.A.2	entier	C	2	1	Percussion dir.	longitudinal	Ind.
6068		V.A.2	entier	C		1	Percussion dir.	longitudinal	Ind.
7225		V.A.2	entier	C		3	Percussion dir.	longitudinal	Ind.
4012	3	V.B.1	prox.	C		3	Percussion dir.	longitudinal	Ind.
6225		V.B.1	prox.	C		2	Percussion dir.	longitudinal	Ind.
6309	3	V.B.1	prox.	C		2	Percussion dir.	longitudinal	Ind.
7665		V.B.1	entier	B			Percussion dir.	longitudinal	Ind.
9817		V.B.1	entier	B	2		Percussion dir.	longitudinal	Ind.
10465	1	V.B.1	entier	B	2	3	Percussion dir.	longitudinal	fibres végétales souples
10818		V.B.1	prox.	B		3	Percussion dir.	longitudinal	Ind.
11014	1	V.B.1	prox.	C		1	Percussion dir.	longitudinal	fibres végétales souples
11238	2	V.B.1	prox.	C		1	Percussion dir.	longitudinal	Ind.
12709	2	V.B.1	prox.	B		2	Percussion dir.	longitudinal	Ind.
13262		V.B.1	prox.	C		3	Percussion dir.	longitudinal	Ind.
6245		V.B.2.1	prox.	C		1	Percussion dir.	longitudinal	Ind.
12756		V.B.2.1	prox.	C		1	Percussion dir.	longitudinal	Ind.
7730		V.C.1	prox.	B		1	Percussion dir.	longitudinal	Ind.
8319		V.C.1	prox.	B		2	Percussion dir.	longitudinal	écorce
9895		V.C.1	prox.	B		1	Percussion dir.	longitudinal	Ind.
10644	1	V.C.1	entier	B	2	3	Percussion dir.	longitudinal	Ind.
5369	2	V.C.2.1	prox.	C		1	Percussion dir.	longitudinal	Ind.
11145	3	V.C.2.1	prox.	C		1	Percussion dir.	longitudinal	Ind.
12574		V.C.2.1	entier	B	3	1	Percussion dir.	longitudinal	écorce
5330		V.C.2.2	entier	C		1	Percussion dir.	longitudinal	Ind.
10299		V.C.2.2	entier	B	2	1	Percussion dir.	longitudinal	écorce
4434	1	Ind.	prox.	B		2	Percussion dir.	longitudinal	Ind.
5174		Ind.	dist.	C			Percussion dir.	longitudinal	fibres végétales souples
6740		Ind.	prox.	C		2	Percussion dir.	longitudinal	fibres végétales souples
6979	1	Ind.	mésial	B			Percussion dir.	longitudinal	fibres végétales souples
7003	2	Ind.	mésial	C	3		Percussion dir.	longitudinal	Ind.
7510		Ind.	dist.	C			Percussion dir.	longitudinal	Ind.
7755	1	Ind.	entier	B	1	1	Percussion dir.	longitudinal	Ind.
8416		Ind.	dist.	B	1		Percussion dir.	longitudinal	Ind.
8470	2	Ind.	dist.	A	2		Percussion dir.	longitudinal	fibres végétales souples
9104		Ind.	prox.	B		2	Percussion dir.	longitudinal	écorce
9854	4	Ind.	subentier	B	1	2	Percussion dir.	longitudinal	Ind.

N°	Catégorie	Type	Frag.	Etat	Stade d'usure PD	Stade d'usure PP	Mode d'action	Mouvement	Matière travaillée
9959	4 aiguille	Ind.	prox.	B		3	Percussion dir.	longitudinal	Ind.
9970	2 aiguille	Ind.	dist.	B			Percussion dir.	longitudinal	Ind.
10313	aiguille	Ind.	mésial	B			Percussion dir.	longitudinal	fibres végétales souples
10335	aiguille	Ind.	dist.	B	2		Percussion dir.	longitudinal	fibres végétales souples
10516	aiguille	Ind.	dist.	B			Percussion dir.	longitudinal	Ind.
10563	aiguille	Ind.	prox.	B		2	Percussion dir.	longitudinal	Ind.
10653	1 aiguille	Ind.	entier	B	3		Percussion dir.	longitudinal	fibres végétales souples
10692	1 aiguille	Ind.	mésial	C		2	Percussion dir.	longitudinal	fibres végétales souples
10705	aiguille	Ind.	mésial	B			Percussion dir.	longitudinal	fibres végétales souples
10720	1 aiguille	Ind.	dist.	C	2		Percussion dir.	longitudinal	fibres végétales souples
10827	4 aiguille	Ind.	mésial	A			Percussion dir.	longitudinal	Ind.
10840	1 aiguille	Ind.	dist.	C	1		Percussion dir.	longitudinal	Ind.
10843	aiguille	Ind.	dist.	C	1		Percussion dir.	longitudinal	fibres végétales souples
10854	aiguille	Ind.	prox.	B			Percussion dir.	longitudinal	fibres végétales souples
10889	2 aiguille	Ind.	mésial	B			Percussion dir.	longitudinal	fibres végétales souples
10917	aiguille	Ind.	dist.	C	2		Percussion dir.	longitudinal	fibres végétales souples
10975	1 aiguille	Ind.	dist.	B	3		Percussion dir.	longitudinal	fibres végétales souples
10975	3 aiguille	Ind.	dist.	B	1		Percussion dir.	longitudinal	Ind.
11004	3 aiguille	Ind.	dist.	C	3		Percussion dir.	longitudinal	Ind.
11004	4 aiguille	Ind.	subentier	C	Ind.		Percussion dir.	longitudinal	Ind.
11026	4 aiguille	Ind.	dist.	C	1		Percussion dir.	longitudinal	fibres végétales souples
11030	4 aiguille	Ind.	dist.	C	2		Percussion dir.	longitudinal	Ind.
11045	2 aiguille	Ind.	dist.	C	3		Percussion dir.	longitudinal	Ind.
11060	2 aiguille	Ind.	dist.	A	2		Percussion dir.	longitudinal	écorce
11063	aiguille	Ind.	dist.	B	2		Percussion dir.	longitudinal	fibres végétales souples
11080	aiguille	Ind.	dist.	B	3		Percussion dir.	longitudinal	Ind.
11124	aiguille	Ind.	mésial	B			Percussion dir.	longitudinal	fibres végétales souples
11145	1 aiguille	Ind.	prox.	B			Percussion dir.	longitudinal	fibres végétales souples
11145	5 aiguille	Ind.	mésial	B			Percussion dir.	longitudinal	fibres végétales souples
11187	2 aiguille	Ind.	mésial	B		Ind.	Percussion dir.	longitudinal	fibres végétales souples
11224	aiguille	Ind.	prox.	B			Percussion dir.	longitudinal	fibres végétales souples
11244	2 aiguille	Ind.	mésial	C		1	Percussion dir.	longitudinal	Ind.
11250	aiguille	Ind.	dist.	B	3		Percussion dir.	longitudinal	Ind.
11310	aiguille	Ind.	mésial	B			Percussion dir.	longitudinal	fibres végétales souples
11359	2 aiguille	Ind.	dist.	C	3		Percussion dir.	longitudinal	fibres végétales souples
11387	aiguille	Ind.	subentier	B	1		Percussion dir.	longitudinal	fibres végétales souples
11611	aiguille	Ind.	subentier	B	Ind.		Percussion dir.	longitudinal	fibres végétales souples
11681	aiguille	Ind.	dist.	B	Ind.		Percussion dir.	longitudinal	fibres végétales souples
12105	2 aiguille	Ind.	dist.	C	3		Percussion dir.	longitudinal	Ind.
12493	aiguille	Ind.	mésial	B			Percussion dir.	longitudinal	fibres végétales souples
12532	1 aiguille	Ind.	dist.	B	Ind.		Percussion dir.	longitudinal	Ind.

N°	Catégorie	Type	Frag.	Etat	Stade d'usure PD	Stade d'usure PP	Mode d'action	Mouvement	Matière travaillée
12689	aiguille	Ind.	dist.	C	1		Percussion dir.	longitudinal	Ind.
12703	aiguille	Ind.	mésial	B			Percussion dir.	longitudinal	Ind.
12705	aiguille	Ind.	prox.	A		2	Percussion dir.	longitudinal	fibres végétales souples
12708	aiguille	Ind.	mésial	B			Percussion dir.	longitudinal	fibres végétales souples
12718	aiguille	Ind.	subentier	C	3		Percussion dir.	longitudinal	Ind.
12730	aiguille	Ind.	dist.	B	1		Percussion dir.	longitudinal	Ind.
12802	aiguille	Ind.	dist.	C	Ind.		Percussion dir.	longitudinal	fibres végétales souples
12802	aiguille	Ind.	mésial	B			Percussion dir.	longitudinal	
13045	aiguille	Ind.	dist.	C	1		Percussion dir.	longitudinal	cuir
50506	aiguille	Ind.	prox.	C		2	Percussion dir.	longitudinal	Ind.
5240	OT	ind	dist.	C	3		Ind.	Ind.	Ind.
5722	OT	ind	dist.	C	2		Ind.	Ind.	Ind.
6011	OT	ind	dist.	C	2		Ind.	Ind.	Ind.
6458	OT	ind	dist.	C	3		Ind.	Ind.	Ind.
6471	OT	ind	dist.	C	3		Ind.	Ind.	Ind.
8920	OT	ind	dist.	C	3		Ind.	Ind.	Ind.
9400	OT	ind	dist.	C	3		Ind.	Ind.	Ind.
9625	OT	ind	dist.	C	3		Ind.	Ind.	Ind.
9858	OT	ind	dist.	C	3		Ind.	Ind.	Ind.
10182	OT	ind	dist.	C	3		Ind.	Ind.	Ind.
10576	OT	ind	dist.	C	2		Ind.	Ind.	Ind.
11086	OT	ind	dist.	C	3		Ind.	Ind.	Ind.
11118	OT	ind	dist.	B	2		Ind.	Ind.	Ind.
11249	OT	ind	dist.	C	2		Ind.	Ind.	Ind.
11325	OT	ind	dist.	B	3		Ind.	Ind.	Ind.
13650	OT	ind	dist.	C	3		Ind.	Ind.	peau fraîche
50178	OT	ind	entier	C	Ind.		Percussion ind.	longitudinal	Ind.
3121	OT	Ind.	dist.	C	3	Ind.	Percussion dir.	longitudinal	Ind.
9914	OT	VI	entier	C	3		Ind.	Ind.	bois
5157	OT	VIII.A.2	entier	C	3		Percussion ind.	longitudinal	Ind.
6812	OT	VIII.A.2	entier	C	3		Percussion ind.	longitudinal	bois sec
10761	OT	VIII.A.2	entier	C	3		Percussion ind.	longitudinal	bois sec
7838	OT	IX.A	entier	C	2		Percussion ind.	longitudinal	bois sec
10702	OT	IX.A	entier	C	3		Ind.	Ind.	Ind.
11125	OT	IX.A	entier	C	3		Percussion ind.	longitudinal	Ind.
10689	OT	IX.B	dist.	C	1		Ind.	Ind.	Ind.
13570	divers	X	dist.	C	Ind.		Ind.	Ind.	Ind.
Total									363

Kh Donnée spatiales

N°	Catégorie	Niveau	Secteur	Locus 2	description Locus 2	Locus 1	Village	Structure	Structure définition	Dépôt
2751	1	OP	B1	est	465	fosse	int	465	fosse	fos
2751	3	OP	B1	est	465	fosse	int	465	fosse	fos
2765	2	OP	B1	est	465	fosse	int	465	fosse	fos
2783		OP	B1	est	465	fosse	int	465	fosse	fos
2783	1	OP	B1	est	465	fosse	int	465	fosse	fos
3423	1	OP	B1	est	490	fosse	int	490	fosse	fos
3570	1	OP	B1	est	568	fosse	int	568	fosse	fos
3806		OP	B1	est	568	fosse	int	568	fosse	fos
4121		OP	B1	est	546	fosse	int	546	fosse	fos
4197	1	OP	B1	est	466	fosse	int	466	fosse	fos
4197	2	OP	B1	est	466	fosse	int	466	fosse	fos
4205	1	OP	B1	est	546	fosse	int	546	fosse	fos
4308	1	OP	B1	est	602	fosse	int	602	fosse	fos
4320	1	OP	B1	est	602	fosse	int	602	fosse	fos
4338		OP	B1	est	573	espace/sol	int	573	espace extérieur	rs
4346	1	OP	B1	est	564	fosse	int	490	fosse	fos
4347	1	OP	B1	est	564	fosse	int	490	fosse	fos
4492	2	OP	B1	est	546	fosse	int	546	fosse	fos
4509	1	OP	B1	est	546	fosse	int	546	fosse	fos
4509	2	OP	B1	est	546	fosse	int	546	fosse	fos
4539		OP	B1	est	546	fosse	int	546	fosse	fos
4559	1	OP	B1	est	546	fosse	int	546	fosse	fos
4559	2	OP	B1	est	546	fosse	int	546	fosse	fos
4625	1	OP	B1	est	546	fosse	int	546	fosse	fos
4671	1	OP	B1	est	546	fosse	int	546	fosse	fos
4747	1	OP	B1	est	564	fosse	int	490	fosse	fos
4790	1	OP	B1	est	564	fosse	int	490	fosse	fos
5014		OP	B1	est	573	espace/sol	int	573	espace extérieur	rs
5059	2	OP	B1	est	568	fosse	int	568	fosse	fos
5075		OP	B1	est	568	fosse	int	568	fosse	fos
5077		OP	B1	est	573	espace/sol	int	573	espace extérieur	rs
5105		OP	B1	est	573	espace/sol	int	573	espace extérieur	rs
5139		OP	B1	est	573	espace/sol	int	573	espace extérieur	rs
5208		OP	B1	est	574	espace/sol	int	574	espace extérieur	rs
5245		OP	B1	est	564	fosse	int	490	fosse	fos

N°	Catégorie	Niveau	Secteur	Locus 2	description Locus 2	Locus 1	Village	Structure	Structure définition	Dépôt
5326	OP	B1	est	564	fosse	564	int	490	fosse	fos
5374	OP	B1	est	564	fosse	564	int	490	fosse	fos
5469	OP	B1	est	564	fosse	564	int	490	fosse	fos
5568	OP	B1	est	564	fosse	564	int	490	fosse	fos
5568	OP	B1	est	564	fosse	564	int	490	fosse	fos
5599	OP	B1	est	564	fosse	564	int	490	fosse	fos
5599	OP	B1	est	564	fosse	564	int	490	fosse	fos
5620	OP	B1	est	564	fosse	564	int	490	fosse	fos
11749	OP	B1	est	1032	fosse	1054	int	1054	espace extérieur	
11965	OP	B1	est	1032	fosse	1054	int	1054	espace extérieur	
11965	OP	B1	est	1032	fosse	1054	int	1054	espace extérieur	
12263	OP	B1	est	1032	fosse	1054	int	1054	espace extérieur	
12625	OP	B1	est	1032	fosse	1054	int	1054	espace extérieur	
3718	OP	B2	est	608	espace/sol	608	int	554	espace extérieur	rs
3736	OP	B2	est	608	espace/sol	608	int	554	espace extérieur	rs
3839	OP	B2	est	608	espace/sol	608	int	554	espace extérieur	rs
5246	OP	B2	est	608	espace/sol	608	int	554	espace extérieur	rs
5253	OP	B2	est	608	espace/sol	608	int	554	espace extérieur	rs
5481	OP	B2	est	658	espace/sol	658	int	658	espace extérieur	s
5485	OP	B2	est	657	espace/sol	657	int	657	espace extérieur	s
5541	OP	B2	est	657	espace/sol	657	int	657	espace extérieur	s
5590	OP	B2	est	657	espace/sol	657	int	657	espace extérieur	ss
4342	OP	B3	est	597	espace/sol	597	int	121	élément d'habitation	s
5161	OP	B3	est	583	espace/sol	583	int	583	espace extérieur	rs
5187	OP	B3	est	583	espace/sol	583	int	583	espace extérieur	rs
5275	OP	B3	est	783	espace/sol	783	int	783	espace extérieur	s
5357	OP	B3	est	544	espace/sol	544	int	676	espace extérieur	ss
5670	OP	B3	est	609	espace/sol	609	int	554	espace extérieur	s
5752	OP	B3	est	544	espace/sol	544	int	676	espace extérieur	ss
5853	OP	B3	est	691	espace/sol	691	int	676	espace extérieur	sd
5879	OP	B3	est	691	espace/sol	691	int	676	espace extérieur	s
5881	OP	B3	est	691	espace/sol	691	int	676	espace extérieur	s
5895	OP	B3	est	644	espace/sol	644	int	676	espace extérieur	s
6083	OP	B3	est	720	espace/sol	720	int	720	espace extérieur	s
6084	OP	B3	est	721	espace/sol	721	int	720	espace extérieur	s
6273	OP	B3	est	721	espace/sol	721	int	720	espace extérieur	s
12532	OP	B3	est	1071	espace/sol	1071	int	1071	espace extérieur	

N°	Catégorie	Niveau	Secteur	Locus 2	description Locus 2	Locus 1	Village	Structure	Structure définition	Dépôt
12538	1	OP	B3	est	1071	espace/sol	1071	int	espace extérieur	
12538	2	OP	B3	est	1071	espace/sol	1071	int	espace extérieur	
12555		OP	B3	est	1071	espace/sol	1071	int	espace extérieur	
12571		OP	B3	est	1071	espace/sol	1071	int	espace extérieur	
12581		OP	B3	est	1071	espace/sol	1071	int	espace extérieur	
12586	2	OP	B3	est	1071	espace/sol	1071	int	espace extérieur	
12590	1	OP	B3	est	1071	espace/sol	1071	int	espace extérieur	
12592		OP	B3	est	1071	espace/sol	1071	int	espace extérieur	
12596		OP	B3	est	1071	espace/sol	1071	int	espace extérieur	
12618		OP	B3	est	1077	espace/sol	1071	int	espace extérieur	
12622		OP	B3	est	1077	espace/sol	1071	int	espace extérieur	
12633		OP	B3	est	1077	espace/sol	1071	int	espace extérieur	
12648		OP	B3	est	1079	espace/sol	1081	int	espace extérieur	
12653	2	OP	B3	est	1079	espace/sol	1081	int	espace extérieur	
12673		OP	B3	est	1079	espace/sol	1081	int	espace extérieur	
12678		OP	B3	est	1081	espace/sol	1081	int	espace extérieur	
12683	1	OP	B3	est	1079	espace/sol	1081	int	espace extérieur	
12687		OP	B3	est	1079	espace/sol	1081	int	espace extérieur	
12713		OP	B3	est	1070	espace/sol	1070	int	élément d'habitation	
12763		OP	B3	est	1081	espace/sol	1081	int	espace extérieur	
5273		OP	B4	est	649	espace/sol	649	int	espace extérieur	rs
5508		OP	B4	est	682	espace/sol	682	int	élément d'habitation	rs
5515		OP	B4	est	634	espace/sol	634	int	élément d'habitation	s
5607		OP	B4	est	649	espace/sol	649	int	espace extérieur	s
5640		OP	B4	est	649	espace/sol	649	int	espace extérieur	ss
6007	2	OP	B4	est	706	espace/sol	706	int	espace extérieur	s
6007	1	OP	B4	est	706	espace/sol	706	int	espace extérieur	s
6030		OP	B4	est	706	espace/sol	706	int	espace extérieur	s
6277		OP	B4	est	706	espace/sol	706	int	espace extérieur	s
6328		OP	B4	est	706	espace/sol	706	int	espace extérieur	s
6355		OP	B4	est	738	espace/sol	738	int	espace extérieur	s
6630		OP	B4	est	738	espace/sol	738	int	espace extérieur	s
6785	2	OP	B4	est	769	espace/sol	769	int	élément d'habitation	s
6906	1	OP	B4	est	738	espace/sol	738	int	espace extérieur	s
7206		OP	B4	est	706	espace/sol	706	int	espace extérieur	rs
7223		OP	B4	est	738	espace/sol	738	int	espace extérieur	s
12735		OP	B4	est	1086	espace/sol	1086	int	espace extérieur	

N°	Catégorie	Niveau	Secteur	Locus 2	description Locus 2	Locus 1	Village	Structure	Structure définition	Dépôt
12736	OP	B4	est	1086	espace/sol	1086	int	1086	espace extérieur	
12777	OP	B4	est	1086	espace/sol	1086	int	1086	espace extérieur	
12787 1	OP	B4	est	1091	espace/sol	1086	int	1086	espace extérieur	
12787 2	OP	B4	est	1091	espace/sol	1086	int	1086	espace extérieur	
12793 2	OP	B4	est	1091	espace/sol	1086	int	1086	espace extérieur	
12793 1	OP	B4	est	1091	espace/sol	1086	int	1086	espace extérieur	
12793 3	OP	B4	est	1091	espace/sol	1086	int	1086	espace extérieur	
3338	OP	B5	est	462	espace/sol	462	int	117	élément d'habitation	s
3357 1	OP	B5	est	462	espace/sol	462	int	117	élément d'habitation	s
3726 2	OP	B5	est	478	espace/sol	478	int	478	espace extérieur	rs
5494	OP	B5	est	660	espace/sol	660	int	120	élément d'habitation	s
5524	OP	B5	est	668	espace/sol	668	int	130	élément d'habitation	s
5660 1	OP	B5	est	733	espace/sol	733	int	733	espace extérieur	s
5781	OP	B5	est	692	espace/sol	692	int	133	élément d'habitation	s
6253	OP	B5	est	733	espace/sol	733	int	733	espace extérieur	s
6309 2	OP	B5	est	743	structure pavée	733	int	733	espace extérieur	do
6324	OP	B5	est	733	espace/sol	733	int	733	espace extérieur	s
6407	OP	B5	est	733	espace/sol	733	int	733	espace extérieur	s
6449	OP	B5	est	672	espace/sol	672	int	672	espace extérieur	s
6608	OP	B5	est	771	espace/sol	771	int	760	espace extérieur	s
6957	OP	B5	est	733	espace/sol	733	int	733	espace extérieur	s
7251 2	OP	B5	est	771	espace/sol	771	int	760	espace extérieur	ss
12783	OP	B5	est	1096	espace/sol	1096	int	1096	espace extérieur	
12917 1	OP	B5	est	1085	plate-forme	1087	int	1086	espace extérieur	
12924 2	OP	B5	est	1096	espace/sol	1096	int	1096	espace extérieur	
5099	OP	B5-4	est	552	espace/sol	552	int	122	élément d'habitation	s
3010 3	OP	C	est	508	fosse	508	int	508	fosse	fos
3218 1	OP	C	est	508	fosse	508	int	508	fosse	fos
3218 3	OP	C	est	508	fosse	508	int	508	fosse	fos
3393 1	OP	C	est	463	espace/sol	463	int	118	élément d'habitation	s
3506 1	OP	C	est	463	espace/sol	463	int	118	élément d'habitation	sd
3716 2	OP	C	est	508	fosse	508	int	508	fosse	fos
3781 2	OP	C	est	508	fosse	508	int	508	fosse	fos
3781 1	OP	C	est	508	fosse	508	int	508	fosse	fos
3788 1	OP	C	est	489	espace/sol	489	int	489	espace extérieur	rs
3788 2	OP	C	est	489	espace/sol	489	int	489	espace extérieur	rs
4012 1	OP	C	est	508	fosse	508	int	508	fosse	fos

N°	Catégorie	Niveau	Secteur	Locus 2	description Locus 2	Locus 1	Village	Structure	Structure définition	Dépôt
4114	1	OP	est	481	espace/sol	481	int	118	élément d'habitation	sd
4620	1	OP	est	535	espace/sol	535	int	117	élément d'habitation	s
5259	OP	C	est	489	espace/sol	489	int	489	espace extérieur	rs
5318	OP	C	est	489	espace/sol	489	int	489	espace extérieur	rs
5334	OP	C	est	594	espace/sol	594	int	594	espace extérieur	rs
5896	OP	C	est	681	aire aménagée	647	int	122	élément d'habitation	s
5907	OP	C	est	713	aire aménagée	815	int	122	élément d'habitation	s
6015	OP	C	est	708	divers	647	int	122	élément d'habitation	do
6620	OP	C	est	647	espace/sol	647	int	122	élément d'habitation	s
7019	OP	C	est	807	fosse	764	int	764	fosse	fos
7036	1	OP	est	764	espace/sol	764	int	764	espace extérieur	s
7036	2	OP	est	764	espace/sol	764	int	764	espace extérieur	s
7059	OP	C	est	764	espace/sol	764	int	764	espace extérieur	s
7087	2	OP	est	764	espace/sol	764	int	764	espace extérieur	fos
7412	OP	C	est	815	espace/sol	815	int	122	élément d'habitation	sd
7427	OP	C	est	764	espace/sol	764	int	764	espace extérieur	s
7455	OP	C	est	815	espace/sol	815	int	122	élément d'habitation	s
7477	OP	C	est	764	espace/sol	764	int	764	espace extérieur	s
7529	OP	C	est	781	espace/sol	781	int	781	espace extérieur	rs
7531	OP	C	est	781	espace/sol	781	int	781	espace extérieur	rs
7581	2	OP	est	840	espace/sol	840	int	764	espace extérieur	s
7695	OP	C	est	781	espace/sol	781	int	781	espace extérieur	rs
7735	1	OP	est	840	espace/sol	840	int	764	espace extérieur	rs
7755	2	OP	est	647	espace/sol	647	int	122	élément d'habitation	s
7756	1	OP	est	647	espace/sol	647	int	122	élément d'habitation	s
7937	OP	C	est	781	espace/sol	781	int	781	espace extérieur	rs
7959	OP	C	est	764	espace/sol	764	int	764	espace extérieur	rs
8046	OP	C	est	869	espace/sol	869	int	764	espace extérieur	rs
8070	OP	C	est	869	espace/sol	869	int	764	espace extérieur	rs
8111	OP	C	est	869	espace/sol	869	int	764	espace extérieur	rs
8132	OP	C	est	869	espace/sol	869	int	764	espace extérieur	rs
8157	OP	C	est	764	espace/sol	764	int	764	espace extérieur	rs
8171	OP	C	est	869	espace/sol	869	int	764	espace extérieur	rs
8199	OP	C	est	869	espace/sol	869	int	764	espace extérieur	rs
8381	OP	C	est	869	espace/sol	869	int	764	espace extérieur	rs
9351	OP	C	est	924	espace/sol	924	int	140	élément d'habitation	s
9445	OP	C	est	807	fosse	764	int	764	fosse	fos

N°	Catégorie	Niveau	Secteur	Locus 2	description Locus 2	Locus 1	Village	Structure	Structure définition	Dépôt
9446	OP	C	est	764	espace/sol	764	int	764	espace extérieur	rs
12995	OP	C	est	1107	espace/sol	1107	int	1107	espace extérieur	
13001	OP	C	est	1107	espace/sol	1107	int	1107	espace extérieur	
13031	OP	C	est	1107	espace/sol	1107	int	1107	espace extérieur	
13200	1	C	est	1122	fosse	1122	int	1122	fosse	fos
13217	OP	C	est	1122	fosse	1122	int	1122	fosse	fos
13224	OP	C	est	1122	fosse	1122	int	1122	fosse	fos
13245	OP	C	est	1122	fosse	1122	int	1122	fosse	fos
13307	OP	C	est	1132	cuvette		int	1111	espace extérieur	
13401	OP	C	est	1108	plate forme	2	int	1111	espace extérieur	rs
13410	OP	C	est	1113	espace/sol	1113	int	1113	espace extérieur	rs
13417	OP	C	est	1108	plate forme	2	int	1111	espace extérieur	rs
13421	2	C	est	1113	espace/sol	1113	int	1113	espace extérieur	rs
13422	1	C	est	1113	espace/sol	1113	int	1113	espace extérieur	rs
13422	2	C	est	1113	espace/sol	1113	int	1113	espace extérieur	rs
13429	OP	C	est	1113	espace/sol	1113	int	1113	espace extérieur	rs
13585	1	C	est	1122	fosse	1122	int	145	fosse	fos
13585	3	C	est	1122	fosse	1122	int	145	fosse	fos
645	1	II	ouest	218	espace/sol	218	int	86	élément d'habitation	s
710	1	II	ouest	231	espace/sol	231	int	88	élément d'habitation	s
822	1	II	ouest	312	espace/sol	312	int	312	espace extérieur	rs
879	1	II	ouest	237	espace/sol	237	int	88	élément d'habitation	s
986	1	II	ouest	241	espace/sol	241	int	84	élément d'habitation	s
1007	1	II	ouest	312	espace/sol	312	int	312	espace extérieur	rs
1014	1	II	ouest	251	espace/sol	251	int	85	élément d'habitation	s
1017	1	II	ouest	312	espace/sol	312	int	312	espace extérieur	rs
1037	1	II	ouest	251	espace/sol	251	int	85	élément d'habitation	s
1090	1	II	ouest	251	espace/sol	251	int	85	élément d'habitation	s
1105	1	II	ouest	312	espace/sol	312	int	312	espace extérieur	rs
1248	1	II	ouest	241	espace/sol	241	int	84	élément d'habitation	ss
1330	1	II	ouest	273	espace/sol	273	int	84	élément d'habitation	s
1349	1	II	ouest	237	espace/sol	237	int	88	élément d'habitation	sd
1355	1	II	ouest	237	espace/sol	237	int	88	élément d'habitation	ss
1810	OP	II	ouest	317	espace/sol	317	int	211	espace extérieur	rs
1861	1	II	ouest	320	espace/sol	320	int	211	espace extérieur	rs
1861	2	II	ouest	320	espace/sol	320	int	211	espace extérieur	rs
1861	3	II	ouest	320	espace/sol	320	int	211	espace extérieur	rs

N°	Catégorie	Niveau	Secteur	Locus 2	Description Locus 2	Locus 1	Village	Structure	Structure définition	Dépôt	
1875	1	OP	II	ouest	317	espace/sol	317	int	211	espace extérieur	rs
1926	1	OP	II	ouest	308	espace/sol	308	int	97	élément d'habitation	s
1938	1	OP	II	ouest	453	espace/sol	453	int	211	espace extérieur	s
2278		OP	II	ouest	445	espace/sol	445	int	550	espace extérieur	rs
2407	1	OP	II	ouest	332	espace/sol	332	int	89	élément d'habitation	s
2519	1	OP	II	ouest	704	espace/sol	704	ext	400	espace extérieur	sd
2550	1	OP	II	ouest	358	espace/sol	358	int	100	élément d'habitation	s
2650	3	OP	II	ouest	695	espace/sol	695	ext	400	espace extérieur	s
5849		OP	II	ouest	690	espace/sol	690	ext	400	espace extérieur	s
5886		OP	II	ouest	690	espace/sol	690	ext	400	espace extérieur	ss
5951		OP	II	ouest	699	espace/sol	699	ext	400	espace extérieur	sd
6051	1	OP	II	ouest	704	espace/sol	704	ext	400	espace extérieur	s
6078		OP	II	ouest	709	espace/sol	709	ext	400	espace extérieur	ss
6517		OP	II	ouest	747	espace/sol	747	ext	400	espace extérieur	s
6533		OP	II	ouest	747	espace/sol	747	ext	400	espace extérieur	s
6561	2	OP	II	ouest	747	espace/sol	747	ext	400	espace extérieur	s
6562	2	OP	II	ouest	747	espace/sol	747	ext	400	espace extérieur	s
6563		OP	II	ouest	747	espace/sol	747	ext	400	espace extérieur	s
6585	2	OP	II	ouest	747	espace/sol	747	ext	400	espace extérieur	s
6653		OP	II	ouest	747	espace/sol	747	ext	400	espace extérieur	s
6683		OP	II	ouest	747	espace/sol	747	ext	400	espace extérieur	s
6747	2	OP	II	ouest	747	espace/sol	747	ext	400	espace extérieur	s
6766		OP	II	ouest	747	espace/sol	747	ext	400	espace extérieur	s
6807	3	OP	II	ouest	749	espace/sol	749	ext	400	espace extérieur	s
6807	2	OP	II	ouest	749	espace/sol	749	ext	400	espace extérieur	s
6807	4	OP	II	ouest	749	espace/sol	749	ext	400	espace extérieur	s
7496		OP	II	ouest	779	espace/sol	779	int	550	espace extérieur	rs
7601		OP	II	ouest	833	espace/sol	833	int	550	espace extérieur	rs
7694		OP	II	ouest	833	espace/sol	833	int	550	espace extérieur	s
7701		OP	II	ouest	833	espace/sol	833	int	550	espace extérieur	ss
7742	1	OP	II	ouest	749	espace/sol	749	ext	400	espace extérieur	rs
7742	2	OP	II	ouest	749	espace/sol	749	ext	400	espace extérieur	rs
9652		OP	II	ouest	400	accès au village	400	ext	400	espace extérieur	rs
9657		OP	II	ouest	959	fosse	690	ext	400	espace extérieur	rs
9687		OP	II	ouest	695	espace/sol	695	ext	400	espace extérieur	rs
9746		OP	II	ouest	959	fosse	690	ext	400	espace extérieur	rs
9750		OP	II	ouest	695	espace/sol	695	ext	400	espace extérieur	rs

N°	Catégorie	Niveau	Secteur	Locus 2	description Locus 2	Locus 1	Village	Structure	Structure définition	Dépôt
9788	OP	II	ouest	695	espace/sol	695	ext	400	espace extérieur	rs
9814	OP	II	ouest	969	fosse	959	ext	400	espace extérieur	fos
9864	OP	II	ouest	695	espace/sol	695	ext	400	espace extérieur	rs
9927	OP	II	ouest	695	espace/sol	695	ext	400	espace extérieur	rs
9927	OP	II	ouest	695	espace/sol	695	ext	400	espace extérieur	rs
9948	OP	II	ouest	695	espace/sol	695	ext	400	espace extérieur	rs
9974	OP	II	ouest	695	espace/sol	695	ext	400	espace extérieur	rs
10108	OP	II	ouest	973	espace/sol	973	ext	400	espace extérieur	rs
10208	OP	II	ouest	973	espace/sol	973	ext	400	espace extérieur	rs
10286	OP	II	ouest	973	espace/sol	973	ext	400	espace extérieur	rs
10294	OP	II	ouest	979	espace/sol	979	ext	400	espace extérieur	rs
10297	OP	II	ouest	979	espace/sol	979	ext	400	espace extérieur	rs
10323	OP	II	ouest	979	espace/sol	979	ext	400	espace extérieur	rs
10442	OP	II	ouest	979	espace/sol	979	ext	400	espace extérieur	rs
10444	OP	II	ouest	979	espace/sol	979	ext	400	espace extérieur	rs
10445	OP	II	ouest	979	espace/sol	979	ext	400	espace extérieur	rs
10509	OP	II	ouest	985	espace/sol	985	ext	400	espace extérieur	rs
10516	OP	II	ouest	981	sol	981	ext	981	espace extérieur	rs
10540	OP	II	ouest	985	espace/sol	985	ext	400	espace extérieur	rs
10577	OP	II	ouest	985	espace/sol	985	ext	400	espace extérieur	rs
10621	OP	II	ouest	990	espace/sol	990	ext	400	espace extérieur	rs
10652	OP	II	ouest	990	espace/sol	990	ext	400	espace extérieur	rs
10654	OP	II	ouest	990	espace/sol	990	ext	400	espace extérieur	rs
10674	OP	II	ouest	990	espace/sol	990	ext	400	espace extérieur	rs
10729	OP	II	ouest	995	espace/sol	995	ext	400	espace extérieur	rs
10802	OP	II	ouest	995	espace/sol	995	ext	400	espace extérieur	rs
10810	OP	II	ouest	995	espace/sol	995	ext	400	espace extérieur	rs
10821	OP	II	ouest	995	espace/sol	995	ext	400	espace extérieur	rs
10827	OP	II	ouest	995	espace/sol	995	ext	400	espace extérieur	rs
10827	OP	II	ouest	995	espace/sol	995	ext	400	espace extérieur	rs
10830	OP	II	ouest	995	espace/sol	995	ext	400	espace extérieur	rs
10862	OP	II	ouest	1002	fosse	400	ext	400	espace extérieur	rs
10874	OP	II	ouest	995	espace/sol	995	ext	400	espace extérieur	rs
10889	OP	II	ouest	1002	fosse	400	ext	400	espace extérieur	rs
10899	OP	II	ouest	400	accès au village	400	ext	400	espace extérieur	rs
10920	OP	II	ouest	995	espace/sol	995	ext	400	espace extérieur	rs
10937	OP	II	ouest	400	accès au village	400	ext	400	espace extérieur	rs

N°	Catégorie	Niveau	Secteur	Locus 2	description Locus 2	Locus 1	Village	Structure	Structure définition	Dépôt
10947	1	II	ouest	400	accès au village	400	ext	400	espace extérieur	rs
10947	4	II	ouest	400	accès au village	400	ext	400	espace extérieur	rs
10961	1	II	ouest	400	accès au village	400	ext	400	espace extérieur	rs
10963	4	II	ouest	1002	fosse	400	ext	400	espace extérieur	
10963	3	II	ouest	1002	fosse	400	ext	400	espace extérieur	
10974		II	ouest	400	accès au village	400	ext	400	espace extérieur	rs
10974	2	II	ouest	400	accès au village	400	ext	400	espace extérieur	rs
10983		II	ouest	400	accès au village	400	ext	400	espace extérieur	rs
10990		II	ouest	400	accès au village	400	ext	400	espace extérieur	rs
10992		II	ouest	400	accès au village	400	ext	400	espace extérieur	rs
11022	1	II	ouest	400	accès au village	400	ext	400	espace extérieur	rs
11037		II	ouest	400	accès au village	400	ext	400	espace extérieur	rs
11064	1	II	ouest	400	accès au village	400	ext	400	espace extérieur	rs
11089		II	ouest	981	sol	981	ext	981	espace extérieur	rs
11092		II	ouest	400	accès au village	400	ext	400	espace extérieur	rs
11093	2	II	ouest	400	accès au village	400	ext	400	espace extérieur	rs
11108		II	ouest	1003	espace/sol	1003	ext	400	espace extérieur	
11125	2	II	ouest	1003	espace/sol	1003	ext	400	espace extérieur	
11142	2	II	ouest	1003	espace/sol	1003	ext	400	espace extérieur	
11145	4	II	ouest	400	accès au village	400	ext	400	espace extérieur	rs
11155		II	ouest	1003	espace/sol	1003	ext	400	espace extérieur	
11169		II	ouest	1003	espace/sol	1003	ext	400	espace extérieur	
11175		II	ouest	1003	espace/sol	1003	ext	400	espace extérieur	
11206	2	II	ouest	1002	fosse	400	ext	400	espace extérieur	
11235	1	II	ouest	981	sol	981	ext	981	espace extérieur	
11237	2	II	ouest	1003	espace/sol	1003	ext	400	espace extérieur	
11238	3	II	ouest	1003	espace/sol	1003	ext	400	espace extérieur	
11238	1	II	ouest	1003	espace/sol	1003	ext	400	espace extérieur	
11252	1	II	ouest	1003	espace/sol	1003	ext	400	espace extérieur	
11252	2	II	ouest	1003	espace/sol	1003	ext	400	espace extérieur	
11255		II	ouest	400	accès au village	400	ext	400	espace extérieur	rs
11298		II	ouest	400	accès au village	400	ext	400	espace extérieur	rs
11346	1	II	ouest	1008	fosse		ext	400	espace extérieur	
11346	3	II	ouest	1008	fosse		ext	400	espace extérieur	
11356	1	II	ouest	1003	espace/sol	1003	ext	400	espace extérieur	
11362	2	II	ouest	1009	fosse		ext	400	espace extérieur	
11362	1	II	ouest	1009	fosse		ext	400	espace extérieur	

N°	Catégorie	Niveau	Secteur	Locus 2	description Locus 2	Locus 1	Village	Structure	Structure définition	Dépôt
11373	OP	II	ouest	1009	fosse		ext	400	espace extérieur	s
707	OP	III	ouest	221	espace/sol	221	int	87	élément d'habitation	rs
1064	OP	III	ouest	313	espace/sol	313	int	313	espace extérieur	rs
1091	OP	III	ouest	313	espace/sol	313	int	313	espace extérieur	s
1244	OP	III	ouest	272	espace/sol	272	int	87	élément d'habitation	rs
1333	OP	III	ouest	282	espace/sol	282	int	282	espace extérieur	rs
1453	OP	III	ouest	282	espace/sol	282	int	282	espace extérieur	rs
1453	OP	III	ouest	282	espace/sol	282	int	282	espace extérieur	rs
1559	OP	III	ouest	282	espace/sol	282	int	282	espace extérieur	rs
1626	OP	III	ouest	288	espace/sol	288	int	94	élément d'habitation	s
1626	OP	III	ouest	288	espace/sol	288	int	94	élément d'habitation	s
1626	OP	III	ouest	288	espace/sol	288	int	94	élément d'habitation	s
1639	OP	III	ouest	314	espace/sol	314	int	412	espace extérieur	rs
1639	OP	III	ouest	314	espace/sol	314	int	412	espace extérieur	rs
1717	OP	III	ouest	288	espace/sol	288	int	94	élément d'habitation	s
1834	OP	III	ouest	325	espace/sol	325	int	325	espace extérieur	rs
1841	OP	III	ouest	325	espace/sol	325	int	325	espace extérieur	rs
1845	OP	III	ouest	325	espace/sol	325	int	325	espace extérieur	rs
1857	OP	III	ouest	325	espace/sol	325	int	325	espace extérieur	rs
1887	OP	III	ouest	325	espace/sol	325	int	325	espace extérieur	rs
1932	OP	III	ouest	326	espace/sol	326	int	326	espace extérieur	rs
1932	OP	III	ouest	326	espace/sol	326	int	326	espace extérieur	rs
1964	OP	III	ouest	326	espace/sol	326	int	326	espace extérieur	rs
2033	OP	III	ouest	341	espace/sol	341	int	413	espace extérieur	rs
2036	OP	III	ouest	325	espace/sol	325	int	325	espace extérieur	rs
2064	OP	III	ouest	413	espace/sol	413	int	413	espace extérieur	rs
2137	OP	III	ouest	381	espace/sol	381	int	381	espace extérieur	s
2137	OP	III	ouest	381	espace/sol	381	int	381	espace extérieur	s
2241	OP	III	ouest	354	espace/sol	354	int	103	élément d'habitation	sd
2373	OP	III	ouest	335	espace/sol	335	int	413	espace extérieur	rs
2427	OP	III	ouest	329	espace/sol	329	int	105	élément d'habitation	s
2552	OP	III	ouest	376	espace/sol	376	int	108	élément d'habitation	s
2723	OP	III	ouest	329	espace/sol	329	int	105	élément d'habitation	s
2738	OP	III	ouest	326	espace/sol	326	int	326	espace extérieur	rs
2739	OP	III	ouest	396	espace/sol	396	int	94	élément d'habitation	ss
2996	OP	III	ouest	417	espace/sol	417	int	85	élément d'habitation	s
3119	OP	III	ouest	432	espace/sol	432	int	105	élément d'habitation	s

N°	Catégorie	Niveau	Secteur	Locus 2	description Locus 2	Locus 1	Village	Structure	Structure définition	Dépôt
6668	OP	III	ouest	727	structure d'accès au village	727	ext	727	espace extérieur	s
7666	OP	III	ouest	820	espace/sol	820	ext	727	espace extérieur	rs
7712	2	III	ouest	836	espace/sol	836	int	836	espace extérieur	rs
7712	OP	III	ouest	836	espace/sol	836	int	836	espace extérieur	rs
7724	OP	III	ouest	836	espace/sol	836	int	836	espace extérieur	rs
7740	2	III	ouest	819	espace/sol	819	ext	727	espace extérieur	rs
7804	1	III	ouest	820	espace/sol	820	ext	727	espace extérieur	rs
7845	OP	III	ouest	845	fosse	820	ext	727	espace extérieur	fos
11055	OP	III	ouest	724	espace extérieur	724	ext	727	espace extérieur	
11096	2	III	ouest	724	espace extérieur	724	ext	727	espace extérieur	
11636	OP	III	ouest	724	espace extérieur	724	ext	727	espace extérieur	
11674	OP	III	ouest	819	espace/sol	819	ext	727	espace extérieur	
3824	Aiguille	B1	est	568	fosse	568	int	568	fosse	fos
4250	Aiguille	B1	est	602	fosse	602	int	602	fosse	fos
4346	3	B1	est	564	fosse	564	int	490	fosse	fos
4348	1	B1	est	568	fosse	568	int	568	fosse	fos
4392	Aiguille	B1	est	466	fosse	466	int	466	fosse	fos
4405	Aiguille	B1	est	564	fosse	564	int	490	fosse	fos
4441	Aiguille	B1	est	564	fosse	564	int	490	fosse	fos
4471	3	B1	est	546	fosse	546	int	546	fosse	fos
4492	1	B1	est	546	fosse	546	int	546	fosse	fos
4763	Aiguille	B1	est	564	fosse	564	int	490	fosse	fos
4772	Aiguille	B1	est	564	fosse	564	int	490	fosse	fos
5022	Aiguille	B1	est	568	fosse	568	int	568	fosse	fos
5041	Aiguille	B1	est	568	fosse	568	int	568	fosse	fos
5105	Aiguille	B1	est	573	espace/sol	573	int	573	espace extérieur	rs
5208	2	B1	est	574	espace/sol	574	int	574	espace extérieur	rs
11749	4	B1	est	1032	fosse	1054	int	1054	espace extérieur	
11749	3	B1	est	1032	fosse	1054	int	1054	espace extérieur	
11774	Aiguille	B1	est	1032	fosse	1054	int	1054	espace extérieur	
11959	2	B1	est	1032	fosse	1054	int	1054	espace extérieur	
11959	1	B1	est	1032	fosse	1054	int	1054	espace extérieur	
11965	2	B1	est	1032	fosse	1054	int	1054	espace extérieur	
11965	4	B1	est	1032	fosse	1054	int	1054	espace extérieur	
11971	Aiguille	B1	est	1032	fosse	1054	int	1054	espace extérieur	
12264	Aiguille	B1	est	1032	fosse	1054	int	1054	espace extérieur	
3736	1	B2	est	608	espace/sol	608	int	554	espace extérieur	rs

N°	Catégorie	Niveau	Secteur	Locus 2	description Locus 2	Locus 1	Village	Structure	Structure définition	Dépôt
3750	Aiguille	B2	est	608	espace/sol	608	int	554	espace extérieur	rs
3762	Aiguille	B2	est	608	espace/sol	608	int	554	espace extérieur	s
5038	Aiguille	B2	est	575	espace/sol	575	int	575	espace extérieur	rs
12286	Aiguille	B2	est	1058	espace/sol	1058	int	1058	espace extérieur	
12294	Aiguille	B2	est	1058	espace/sol	1058	int	1058	espace extérieur	
12491	Aiguille	B2	est	1069	espace/sol	1069	int		espace extérieur	
12493	Aiguille	B2	est	1069	espace/sol	1069	int		espace extérieur	
12499	Aiguille	B2	est	1069	espace/sol	1069	int		espace extérieur	
4491	Aiguille	B3	est	531	espace/sol	531	int	125	élément d'habitation	s
4495	Aiguille	B3	est	597	espace/sol	597	int	121	élément d'habitation	s
5275	Aiguille	B3	est	783	espace/sol	783	int	783	espace extérieur	s
5369	Aiguille	B3	est	691	espace/sol	691	int	676	espace extérieur	s
5427	Aiguille	B3	est	644	espace/sol	644	int	676	espace extérieur	s
5484	Aiguille	B3	est	720	espace/sol	720	int	720	espace extérieur	ss
6292	Aiguille	B3	est	691	espace/sol	691	int	676	espace extérieur	s
6334	Aiguille	B3	est	644	espace/sol	644	int	676	espace extérieur	ss
6578	Aiguille	B3	est	531	espace/sol	531	int	125	élément d'habitation	ss
12532	Aiguille	B3	est	1071	espace/sol	1071	int	1071	espace extérieur	
12581	Aiguille	B3	est	1071	espace/sol	1071	int	1071	espace extérieur	
12586	Aiguille	B3	est	1071	espace/sol	1071	int	1071	espace extérieur	
12598	Aiguille	B3	est	1071	espace/sol	1071	int	1071	espace extérieur	
12611	Aiguille	B3	est	1077	espace/sol		int	1071	espace extérieur	
12614	Aiguille	B3	est	1079	espace/sol	1081	int	1081	espace extérieur	
12653	Aiguille	B3	est	1079	espace/sol	1081	int	1081	espace extérieur	
12653	Aiguille	B3	est	1079	espace/sol	1081	int	1081	espace extérieur	
12689	Aiguille	B3	est	1081	espace/sol	1081	int	1081	espace extérieur	
12703	Aiguille	B3	est	1070	espace/sol	1070	int	134	élément d'habitation	
12705	Aiguille	B3	est	1070	espace/sol	1070	int	134	élément d'habitation	
12708	Aiguille	B3	est	1081	espace/sol	1081	int	1081	espace extérieur	
12711	Aiguille	B3	est	1081	espace/sol	1081	int	1081	espace extérieur	
12718	Aiguille	B3	est	1081	espace/sol	1081	int	1081	espace extérieur	
12718	Aiguille	B3	est	1081	espace/sol	1081	int	1081	espace extérieur	
12718	Aiguille	B3	est	1081	espace/sol	1081	int	1081	espace extérieur	
12771	Aiguille	B3	est	1081	espace/sol	1081	int	1081	espace extérieur	
5330	Aiguille	B4	est	649	espace/sol	649	int	603	espace extérieur	rs
5971	Aiguille	B4	est	706	espace/sol	706	int	706	espace extérieur	s
6225	Aiguille	B4	est	706	espace/sol	706	int	706	espace extérieur	ss
6913	Aiguille	B4	est	738	espace/sol	738	int	738	espace extérieur	s

N°	Catégorie	Niveau	Secteur	Locus 2	description Locus 2	Locus 1	Village	Structure	Structure définition	Dépôt
12730	Aiguille	B4	est	1086	espace/sol	1086	int	1086	espace extérieur	
12737	Aiguille	B4	est	1086	espace/sol	1086	int	1086	espace extérieur	
12756	Aiguille	B4	est	1088	espace/sol	1088	int	134	élément d'habitation	
12778	Aiguille	B4	est	1091	espace/sol	1086	int	1086	espace extérieur	s
3293	Aiguille	B5	est	462	espace/sol	462	int	117	élément d'habitation	rs
3726	Aiguille	B5	est	478	espace/sol	478	int	478	espace extérieur	rs
3783	Aiguille	B5	est	478	espace/sol	478	int	478	espace extérieur	rs
6245	Aiguille	B5	est	733	espace/sol	733	int	733	espace extérieur	s
6309	Aiguille	B5	est	743	structure pavée	733	int	733	espace extérieur	do
6309	Aiguille	B5	est	743	structure pavée	733	int	733	espace extérieur	do
6941	Aiguille	B5	est	672	espace/sol	672	int	672	espace extérieur	s
12916	Aiguille	B5	est	1099	espace/sol	1099	int	156	élément d'habitation	
12934	Aiguille	B5	est	1096	espace/sol	1096	int	1096	espace extérieur	
4743	Aiguille	B5-4	est	577	plate-forme	552	int	122	élément d'habitation	do
3218	Aiguille	C	est	508	fosse	508	int	508	fosse	Fos
3255	Aiguille	C	est	508	fosse	508	int	508	fosse	Fos
3266	Aiguille	C	est	508	fosse	508	int	508	fosse	Fos
3353	Aiguille	C	est	463	espace/sol	463	int	118	élément d'habitation	s
3474	Aiguille	C	est	489	espace/sol	489	int	489	espace extérieur	rs
3716	Aiguille	C	est	508	fosse	508	int	508	fosse	fos
4012	Aiguille	C	est	508	fosse	508	int	508	fosse	fos
4757	Aiguille	C	est	492	espace/sol	492	int	117	élément d'habitation	ss
5388	Aiguille	C	EST	489	espace/sol	489	INT	489	espace extérieur	ss
7087	Aiguille	C	est	764	espace/sol	764	int	764	espace extérieur	fos
7174	Aiguille	C	est	764	espace/sol	764	int	764	espace extérieur	s
7225	Aiguille	C	est	803	espace/sol	803	int	136	élément d'habitation	s
7238	Aiguille	C	est	764	espace/sol	764	int	764	espace extérieur	s
7319	Aiguille	C	est	570	espace/sol	570	int	586	espace extérieur	rs
7479	Aiguille	C	est	815	espace/sol	815	int	122	élément d'habitation	s
7525	Aiguille	C	est	764	espace/sol	764	int	764	espace extérieur	s
7537	Aiguille	C	est	815	espace/sol	815	int	122	élément d'habitation	s
7612	Aiguille	C	est	815	espace/sol	815	int	122	élément d'habitation	s
7755	Aiguille	C	est	647	espace/sol	647	int	122	élément d'habitation	s
7928	Aiguille	C	est	822	espace/sol	822	int	795	espace extérieur	rs
8033	Aiguille	C	est	840	espace/sol	840	int	764	espace extérieur	rs
8069	Aiguille	C	est	869	espace/sol	869	int	764	espace extérieur	rs
8137	Aiguille	C	est	869	espace/sol	869	int	764	espace extérieur	rs

N°	Catégorie	Niveau	Secteur	Locus 2	description Locus 2	Locus 1	Village	Structure	Structure définition	Dépôt
8139	Aiguille	C	est	869	espace/sol	869	int	764	espace extérieur	rs
8416	Aiguille	C	est	869	espace/sol	869	int	764	espace extérieur	rs
9446	Aiguille	C	est	764	espace/sol	764	int	764	espace extérieur	rs
9817	Aiguille	C	est	924	espace/sol	924	int	140	élément d'habitation	s
12802	Aiguille	C	est	1100	espace/sol	1100	int	1100	espace extérieur	
12802	Aiguille	C	est	1100	espace/sol	1100	int	1100	espace extérieur	
13045	Aiguille	C	est	1111	espace/sol	1111	int	1111	espace extérieur	
13049	Aiguille	C	est	1107	espace/sol	1107	int	1107	espace extérieur	
13262	Aiguille	C	est	1107	espace/sol	1107	int	1107	espace extérieur	
13434	Aiguille	C	est	1113	espace/sol	1113	int	1113	espace extérieur	rs
1069	Aiguille	II	ouest	312	espace/sol	312	int	312	espace extérieur	rs
1071	Aiguille	II	ouest	251	espace/sol	251	int	85	élément d'habitation	s
1071	Aiguille	II	ouest	251	espace/sol	251	int	85	élément d'habitation	s
1071	Aiguille	II	ouest	251	espace/sol	251	int	85	élément d'habitation	s
1378	Aiguille	II	ouest	308	espace/sol	308	int	97	élément d'habitation	s
2519	Aiguille	II	ouest	704	espace/sol	704	ext	400	espace extérieur	sd
2650	Aiguille	II	ouest	695	espace/sol	695	ext	400	espace extérieur	s
2650	Aiguille	II	ouest	695	espace/sol	695	ext	400	espace extérieur	s
2892	Aiguille	II	ouest	453	espace/sol	453	int	211	espace extérieur	s
2977	Aiguille	II	ouest	704	espace/sol	704	ext	400	espace extérieur	sd
3124	Aiguille	II	ouest	453	espace/sol	453	int	211	espace extérieur	sd
5797	Aiguille	II	ouest	704	espace/sol	704	ext	400	espace extérieur	sd
5848	Aiguille	II	ouest	699	espace/sol	699	ext	400	espace extérieur	sd
5872	Aiguille	II	ouest	695	espace/sol	695	ext	400	espace extérieur	s
6011	Aiguille	II	ouest	704	espace/sol	704	ext	400	espace extérieur	s
6025	Aiguille	II	ouest	704	espace/sol	704	ext	400	espace extérieur	s
6051	Aiguille	II	ouest	704	espace/sol	704	ext	400	espace extérieur	s
6068	Aiguille	II	ouest	709	espace/sol	709	ext	400	espace extérieur	sd
6099	Aiguille	II	ouest	709	espace/sol	709	ext	400	espace extérieur	ss
6417	Aiguille	II	ouest	747	espace/sol	747	ext	400	espace extérieur	s
6417	Aiguille	II	ouest	747	espace/sol	747	ext	400	espace extérieur	s
6429	Aiguille	II	ouest	747	espace/sol	747	ext	400	espace extérieur	s
6433	Aiguille	II	ouest	747	espace/sol	747	ext	400	espace extérieur	s
6472	Aiguille	II	ouest	747	espace/sol	747	ext	400	espace extérieur	s
6503	Aiguille	II	ouest	747	espace/sol	747	ext	400	espace extérieur	s
6561	Aiguille	II	ouest	747	espace/sol	747	ext	400	espace extérieur	s
6766	Aiguille	II	ouest	747	espace/sol	747	ext	400	espace extérieur	s

N°	Catégorie	Niveau	Secteur	Locus 2	description Locus 2	Locus 1	Village	Structure	Structure définition	Dépôt
7665	Aiguille	II	ouest	833	espace/sol	833	int	550	espace extérieur	rs
7670	Aiguille	II	ouest	833	espace/sol	833	int	550	espace extérieur	rs
7670	Aiguille	II	ouest	833	espace/sol	833	int	550	espace extérieur	rs
7743	Aiguille	II	ouest	749	espace/sol	749	ext	400	espace extérieur	rs
9636	Aiguille	II	ouest	969	fosse	959	ext	400	espace extérieur	fos
9643	Aiguille	II	ouest	400	accès au village	400	ext	400	espace extérieur	rs
9652	2	II	ouest	400	accès au village	400	ext	400	espace extérieur	rs
9783	Aiguille	II	ouest	400	accès au village	400	ext	400	espace extérieur	rs
9863	Aiguille	II	ouest	690	espace/sol	690	ext	400	espace extérieur	rs
9895	Aiguille	II	ouest	400	accès au village	400	ext	400	espace extérieur	rs
9927	4	II	ouest	695	espace/sol	695	ext	400	espace extérieur	rs
9927	3	II	ouest	695	espace/sol	695	ext	400	espace extérieur	rs
9927	2	II	ouest	695	espace/sol	695	ext	400	espace extérieur	rs
9929	Aiguille	II	ouest	695	espace/sol	695	ext	400	espace extérieur	rs
9963	2	II	ouest	690	espace/sol	690	ext	400	espace extérieur	rs
9975	2	II	ouest	695	espace/sol	695	ext	400	espace extérieur	rs
9975	3	II	ouest	695	espace/sol	695	ext	400	espace extérieur	rs
9975	Aiguille	II	ouest	695	espace/sol	695	ext	400	espace extérieur	rs
10011	Aiguille	II	ouest	695	espace/sol	695	ext	400	espace extérieur	rs
10035	2	II	ouest	695	espace/sol	695	ext	400	espace extérieur	rs
10035	1	II	ouest	695	espace/sol	695	ext	400	espace extérieur	rs
10123	Aiguille	II	ouest	973	espace/sol	973	ext	400	espace extérieur	rs
10155	Aiguille	II	ouest	400	accès au village	400	ext	400	espace extérieur	rs
10174	Aiguille	II	ouest	973	espace/sol	973	ext	400	espace extérieur	rs
10183	Aiguille	II	ouest	973	espace/sol	973	ext	400	espace extérieur	rs
10229	Aiguille	II	ouest	973	espace/sol	973	ext	400	espace extérieur	rs
10237	Aiguille	II	ouest	973	espace/sol	973	ext	400	espace extérieur	rs
10280	Aiguille	II	ouest	979	espace/sol	979	ext	400	espace extérieur	rs
10281	Aiguille	II	ouest	979	Espace/sol	979	ext	400	espace extérieur	rs
10286	2	II	ouest	973	espace/sol	973	ext	400	espace extérieur	rs
10286	3	II	ouest	973	espace/sol	973	ext	400	espace extérieur	rs
10286	3	II	ouest	973	espace/sol	973	ext	400	espace extérieur	rs
10301	Aiguille	II	ouest	979	Espace/sol	979	ext	400	espace extérieur	rs
10323	1	II	ouest	979	Espace/sol	979	ext	400	espace extérieur	rs
10331	Aiguille	II	ouest	979	Espace/sol	979	ext	400	espace extérieur	rs
10423	Aiguille	II	ouest	981	sol	981	ext	981	espace extérieur	rs
10427	Aiguille	II	ouest	979	Espace/sol	979	ext	400	espace extérieur	rs

N°	Catégorie	Niveau	Secteur	Locus 2	description Locus 2	Locus 1	Village	Structure	Structure définition	Dépôt
10434	Aiguille	II	ouest	979	Espace/sol	979	ext	400	espace extérieur	rs
10468 1	Aiguille	II	ouest	979	Espace/sol	979	ext	400	espace extérieur	rs
10468 2	Aiguille	II	ouest	979	Espace/sol	979	ext	400	espace extérieur	rs
10468 3	Aiguille	II	ouest	979	Espace/sol	979	ext	400	espace extérieur	rs
10516 5	Aiguille	II	ouest	981	sol	981	ext	981	espace extérieur	rs
10516	Aiguille	II	ouest	981	sol	981	ext	981	espace extérieur	rs
10516 3	Aiguille	II	ouest	981	sol	981	ext	981	espace extérieur	rs
10518	Aiguille	II	ouest	985	espace/sol	985	ext	400	espace extérieur	rs
10534	Aiguille	II	ouest	981	sol	981	ext	981	espace extérieur	rs
10557	Aiguille	II	ouest	985	espace/sol	985	ext	400	espace extérieur	rs
10559	Aiguille	II	ouest	985	espace/sol	985	ext	400	espace extérieur	rs
10594	Aiguille	II	ouest	990	espace/sol	990	ext	400	espace extérieur	rs
10608 2	Aiguille	II	ouest	990	espace/sol	990	ext	400	espace extérieur	rs
10608 4	Aiguille	II	ouest	990	espace/sol	990	ext	400	espace extérieur	rs
10608 3	Aiguille	II	ouest	990	espace/sol	990	ext	400	espace extérieur	rs
10631	Aiguille	II	ouest	985	espace/sol	985	ext	400	espace extérieur	rs
10653 3	Aiguille	II	ouest	990	espace/sol	990	ext	400	espace extérieur	rs
10653 1	Aiguille	II	ouest	990	espace/sol	990	ext	400	espace extérieur	rs
10684	Aiguille	II	ouest	990	espace/sol	990	ext	400	espace extérieur	rs
10692	Aiguille	II	ouest	990	espace/sol	990	ext	400	espace extérieur	rs
10692 2	Aiguille	II	ouest	990	espace/sol	990	ext	400	espace extérieur	rs
10693	Aiguille	II	ouest	990	espace/sol	990	ext	400	espace extérieur	rs
10701	Aiguille	II	ouest	990	espace/sol	990	ext	400	espace extérieur	rs
10705	Aiguille	II	ouest	990	espace/sol	990	ext	400	espace extérieur	rs
10715	Aiguille	II	ouest	990	espace/sol	990	ext	400	espace extérieur	rs
10717 2	Aiguille	II	ouest	990	espace/sol	990	ext	400	espace extérieur	rs
10720	Aiguille	II	ouest	995	espace/sol	995	ext	400	espace extérieur	rs
10720 2	Aiguille	II	ouest	995	espace/sol	995	ext	400	espace extérieur	rs
10722	Aiguille	II	ouest	990	espace/sol	990	ext	400	espace extérieur	rs
10730 2	Aiguille	II	ouest	995	espace/sol	995	ext	400	espace extérieur	rs
10732 3	Aiguille	II	ouest	995	espace/sol	995	ext	400	espace extérieur	rs
10741	Aiguille	II	ouest	995	espace/sol	995	ext	400	espace extérieur	rs
10750	Aiguille	II	ouest	995	espace/sol	995	ext	400	espace extérieur	rs
10751 2	Aiguille	II	ouest	995	espace/sol	995	ext	400	espace extérieur	rs
10751 1	Aiguille	II	ouest	995	espace/sol	995	ext	400	espace extérieur	rs
10751	Aiguille	II	ouest	995	espace/sol	995	ext	400	espace extérieur	rs
10753	Aiguille	II	ouest	995	espace/sol	995	ext	400	espace extérieur	rs

N°	Catégorie	Niveau	Secteur	Locus 2	description Locus 2	Locus 1	Village	Structure	Structure définition	Dépôt
10807	Aiguille	II	ouest	995	espace/sol	995	ext	400	espace extérieur	rs
10810	2 Aiguille	II	ouest	995	espace/sol	995	ext	400	espace extérieur	rs
10811	Aiguille	II	ouest	995	espace/sol	995	ext	400	espace extérieur	rs
10813	Aiguille	II	ouest	995	espace/sol	995	ext	400	espace extérieur	rs
10814	Aiguille	II	ouest	995	espace/sol	995	ext	400	espace extérieur	rs
10817	3 Aiguille	II	ouest	995	espace/sol	995	ext	400	espace extérieur	rs
10817	Aiguille	II	ouest	995	espace/sol	995	ext	400	espace extérieur	rs
10817	Aiguille	II	ouest	995	espace/sol	995	ext	400	espace extérieur	rs
10817	2 Aiguille	II	ouest	995	espace/sol	995	ext	400	espace extérieur	rs
10818	Aiguille	II	ouest	400	accès au village	400	ext	400	espace extérieur	rs
10821	3 Aiguille	II	ouest	995	espace/sol	995	ext	400	espace extérieur	rs
10821	1 Aiguille	II	ouest	995	espace/sol	995	ext	400	espace extérieur	rs
10821	4 Aiguille	II	ouest	995	espace/sol	995	ext	400	espace extérieur	rs
10821	5 Aiguille	II	ouest	995	espace/sol	995	ext	400	espace extérieur	rs
10821	6 Aiguille	II	ouest	995	espace/sol	995	ext	400	espace extérieur	rs
10821	7 Aiguille	II	ouest	995	espace/sol	995	ext	400	espace extérieur	rs
10822	Aiguille	II	ouest	995	espace/sol	995	ext	400	espace extérieur	rs
10827	4 Aiguille	II	ouest	995	espace/sol	995	ext	400	espace extérieur	rs
10827	3 Aiguille	II	ouest	995	espace/sol	995	ext	400	espace extérieur	rs
10827	5 Aiguille	II	ouest	995	espace/sol	995	ext	400	espace extérieur	rs
10827	6 Aiguille	II	ouest	995	espace/sol	995	ext	400	espace extérieur	rs
10827	7 Aiguille	II	ouest	995	espace/sol	995	ext	400	espace extérieur	rs
10827	8 Aiguille	II	ouest	995	espace/sol	995	ext	400	espace extérieur	rs
10838	Aiguille	II	ouest	995	espace/sol	995	ext	400	espace extérieur	rs
10840	1 Aiguille	II	ouest	995	espace/sol	995	ext	400	espace extérieur	rs
10840	2 Aiguille	II	ouest	995	espace/sol	995	ext	400	espace extérieur	rs
10840	Aiguille	II	ouest	995	espace/sol	995	ext	400	espace extérieur	rs
10843	Aiguille	II	ouest	995	espace/sol	995	ext	400	espace extérieur	rs
10844	Aiguille	II	ouest	995	espace/sol	995	ext	400	espace extérieur	rs
10845	Aiguille	II	ouest	400	accès au village	400	ext	400	espace extérieur	rs
10846	Aiguille	II	ouest	995	espace/sol	995	ext	400	espace extérieur	rs
10854	Aiguille	II	ouest	400	accès au village	400	ext	400	espace extérieur	rs
10862	4 Aiguille	II	ouest	1002	fosse	400	ext	400	espace extérieur	rs
10862	5 Aiguille	II	ouest	1002	fosse	400	ext	400	espace extérieur	rs
10862	2 Aiguille	II	ouest	1002	fosse	400	ext	400	espace extérieur	rs
10862	3 Aiguille	II	ouest	1002	fosse	400	ext	400	espace extérieur	rs
10868	2 Aiguille	II	ouest	1003	espace/sol	1003	ext	400	espace extérieur	rs
10868	1 Aiguille	II	ouest	1003	espace/sol	1003	ext	400	espace extérieur	rs

N°	Catégorie	Niveau	Secteur	Locus 2	description Locus 2	Locus 1	Village	Structure	Structure définition	Dépôt
10875 1	Aiguille	II	ouest	400	accès au village	400	ext	400	espace extérieur	rs
10875 2	Aiguille	II	ouest	400	accès au village	400	ext	400	espace extérieur	rs
10875 3	Aiguille	II	ouest	400	accès au village	400	ext	400	espace extérieur	rs
10878	Aiguille	II	ouest	1003	espace/sol	1003	ext	400	espace extérieur	rs
10889 2	Aiguille	II	ouest	1002	fosse	400	ext	400	espace extérieur	
10889 3	Aiguille	II	ouest	1002	fosse	400	ext	400	espace extérieur	
10889 4	Aiguille	II	ouest	1002	fosse	400	ext	400	espace extérieur	
10891	Aiguille	II	ouest	400	accès au village	400	ext	400	espace extérieur	rs
10891 2	Aiguille	II	ouest	400	accès au village	400	ext	400	espace extérieur	rs
10892	Aiguille	II	ouest	400	accès au village	400	ext	400	espace extérieur	rs
10899 2	Aiguille	II	ouest	400	accès au village	400	ext	400	espace extérieur	rs
10909 2	Aiguille	II	ouest	400	accès au village	400	ext	400	espace extérieur	rs
10910 2	Aiguille	II	ouest	400	accès au village	400	ext	400	espace extérieur	rs
10910 3	Aiguille	II	ouest	400	accès au village	400	ext	400	espace extérieur	rs
10912	Aiguille	II	ouest	1002	fosse	400	ext	400	espace extérieur	fos
10913	Aiguille	II	ouest	400	accès au village	400	ext	400	espace extérieur	rs
10917	Aiguille	II	ouest	400	accès au village	400	ext	400	espace extérieur	rs
10927 2	Aiguille	II	ouest	1002	fosse	400	ext	400	espace extérieur	fos
10927 5	Aiguille	II	ouest	1002	fosse	400	ext	400	espace extérieur	fos
10927 3	Aiguille	II	ouest	1002	fosse	400	ext	400	espace extérieur	fos
10927 1	Aiguille	II	ouest	1002	fosse	400	ext	400	espace extérieur	fos
10947 3	Aiguille	II	ouest	400	accès au village	400	ext	400	espace extérieur	rs
10947 2	Aiguille	II	ouest	400	accès au village	400	ext	400	espace extérieur	rs
10948 2	Aiguille	II	ouest	400	accès au village	400	ext	400	espace extérieur	rs
10950	Aiguille	II	ouest	400	accès au village	400	ext	400	espace extérieur	rs
10951	Aiguille	II	ouest	400	accès au village	400	ext	400	espace extérieur	rs
10956	Aiguille	II	ouest	1003	espace/sol	1003	ext	400	espace extérieur	rs
10963 1	Aiguille	II	ouest	1002	fosse	400	ext	400	espace extérieur	
10969 2	Aiguille	II	ouest	400	accès au village	400	ext	400	espace extérieur	rs
10969 1	Aiguille	II	ouest	400	accès au village	400	ext	400	espace extérieur	rs
10975 4	Aiguille	II	ouest	400	accès au village	400	ext	400	espace extérieur	rs
10975 3	Aiguille	II	ouest	400	accès au village	400	ext	400	espace extérieur	rs
10975 1	Aiguille	II	ouest	400	accès au village	400	ext	400	espace extérieur	rs
10975	Aiguille	II	ouest	400	accès au village	400	ext	400	espace extérieur	rs
10980	Aiguille	II	ouest	400	accès au village	400	ext	400	espace extérieur	rs
10993 2	Aiguille	II	ouest	400	accès au village	400	ext	400	espace extérieur	rs
11010	Aiguille	II	ouest	400	accès au village	400	ext	400	espace extérieur	rs

N°	Catégorie	Niveau	Secteur	Locus 2	description Locus 2	Locus 1	Village	Structure	Structure définition	Dépôt
11014 2	Aiguille	II	ouest	981	sol	981	ext	981	espace extérieur	
11014 1	Aiguille	II	ouest	981	sol	981	ext	981	espace extérieur	
11021	Aiguille	II	ouest	400	accès au village	400	ext	400	espace extérieur	rs
11021 2	Aiguille	II	ouest	400	accès au village	400	ext	400	espace extérieur	rs
11026 4	Aiguille	II	ouest	400	accès au village	400	ext	400	espace extérieur	rs
11030 3	Aiguille	II	ouest	981	sol	981	ext	981	espace extérieur	
11030 2	Aiguille	II	ouest	981	sol	981	ext	981	espace extérieur	
11030 4	Aiguille	II	ouest	981	sol	981	ext	981	espace extérieur	
11030 5	Aiguille	II	ouest	981	sol	981	ext	981	espace extérieur	
11030 1	Aiguille	II	ouest	981 ?	Sol	981	ext	981	espace extérieur	
11035	Aiguille	II	ouest	400	accès au village	400	ext	400	espace extérieur	rs
11040	Aiguille	II	ouest	400	accès au village	400	ext	400	espace extérieur	rs
11045 2	Aiguille	II	ouest	400	accès au village	400	ext	400	espace extérieur	rs
11051	Aiguille	II	ouest	400	accès au village	400	ext	400	espace extérieur	rs
11054	Aiguille	II	ouest	400	accès au village	400	ext	400	espace extérieur	rs
11060 2	Aiguille	II	ouest	400	accès au village	400	ext	400	espace extérieur	rs
11060	Aiguille	II	ouest	400	accès au village	400	ext	400	espace extérieur	rs
11063	Aiguille	II	ouest	400	accès au village	400	ext	400	espace extérieur	rs
11066	Aiguille	II	ouest	400	accès au village	400	ext	400	espace extérieur	rs
11070 2	Aiguille	II	ouest	400	accès au village	400	ext	400	espace extérieur	rs
11077 2	Aiguille	II	ouest	1002	fosse	400	ext	400	espace extérieur	
11091 3	Aiguille	II	ouest	400	accès au village	400	ext	400	espace extérieur	rs
11108 2	Aiguille	II	ouest	1003	espace/sol	1003	ext	400	espace extérieur	
11124	Aiguille	II	ouest	1003	espace/sol	1003	ext	400	espace extérieur	
11128 2	Aiguille	II	ouest	1002	fosse	400	ext	400	espace extérieur	fos
11128 3	Aiguille	II	ouest	1002	fosse	400	ext	400	espace extérieur	fos
11142 1	Aiguille	II	ouest	1003	espace/sol	1003	ext	400	espace extérieur	
11145 1	Aiguille	II	ouest	400	accès au village	400	ext	400	espace extérieur	rs
11145 5	Aiguille	II	ouest	400	accès au village	400	ext	400	espace extérieur	rs
11145 3	Aiguille	II	ouest	400	accès au village	400	ext	400	espace extérieur	rs
11149	Aiguille	II	ouest	1003	espace/sol	1003	ext	400	espace extérieur	
11154	Aiguille	II	ouest	400	accès au village	400	ext	400	espace extérieur	rs
11155 2	Aiguille	II	ouest	1003	espace/sol	1003	ext	400	espace extérieur	
11173	Aiguille	II	ouest	1003	espace/sol	1003	ext	400	espace extérieur	
11179	Aiguille	II	ouest	400	accès au village	400	ext	400	espace extérieur	rs
11187 4	Aiguille	II	ouest	400	accès au village	400	ext	400	espace extérieur	rs
11187 3	Aiguille	II	ouest	400	accès au village	400	ext	400	espace extérieur	rs

N°	Catégorie	Niveau	Secteur	Locus 2	description Locus 2	Locus 1	Village	Structure	Structure définition	Dépôt
11187	2	Aiguille	II	400	accès au village	400	ext	400	espace extérieur	rs
11187	1	Aiguille	II	400	accès au village	400	ext	400	espace extérieur	rs
11219		Aiguille	II	1003	espace/sol	1003	ext	400	espace extérieur	
11224		Aiguille	II	981	sol	981	ext	981	espace extérieur	
11235	2	Aiguille	II	981	sol	981	ext	981	espace extérieur	
11238	4	Aiguille	II	1003	espace/sol	1003	ext	400	espace extérieur	
11238	5	Aiguille	II	1003	espace/sol	1003	ext	400	espace extérieur	
11238	2	Aiguille	II	1003	espace/sol	1003	ext	400	espace extérieur	
11244	2	Aiguille	II	981	sol	981	ext	981	espace extérieur	
11244	1	Aiguille	II	981	sol	981	ext	981	espace extérieur	
11250		Aiguille	II	981	sol	981	ext	981	espace extérieur	
11271	2	Aiguille	II	981	sol	981	ext	981	espace extérieur	rs
11271		Aiguille	II	981	sol	981	ext	981	espace extérieur	rs
11303	2	Aiguille	II	981	sol	981	ext	981	espace extérieur	
11305		Aiguille	II	1003	espace/sol	1003	ext	400	espace extérieur	
11306		Aiguille	II	1003	espace/sol	1003	ext	400	espace extérieur	
11321		Aiguille	II	1003	espace/sol	1003	ext	400	espace extérieur	
11340		Aiguille	II	400	accès au village	400	ext	400	espace extérieur	rs
11356	2	Aiguille	II	1003	espace/sol	1003	ext	400	espace extérieur	
11359	2	Aiguille	II	1003	espace/sol	1003	ext	400	espace extérieur	
11359	3	Aiguille	II	1003	espace/sol	1003	ext	400	espace extérieur	
11364		Aiguille	II	1003	espace/sol	1003	ext	400	espace extérieur	
11373	2	Aiguille	II	1009	fosse		ext	400	espace extérieur	
1219	1	Aiguille	III	272	espace/sol	272	int	87	élément d'habitation	s
1639	3	Aiguille	III	314	espace/sol	314	int	412	espace extérieur	rs
1667	1	Aiguille	III	289	installation à broyer	282	int	282	espace extérieur	do
2395	2	Aiguille	III	329	espace/sol	329	int	105	élément d'habitation	s
2546	1	Aiguille	III	376	espace/sol	376	int	108	élément d'habitation	s
2996	1	Aiguille	III	417	espace/sol	417	int	85	élément d'habitation	s
3000		Aiguille	III	378	structure d'accès au village	725	ext	727	espace extérieur	s
3021	3	Aiguille	III	417	espace/sol	417	int	85	élément d'habitation	s
3021	2	Aiguille	III	417	espace/sol	417	int	85	élément d'habitation	s
3110		Aiguille	III	376	espace/sol	376	int	108	élément d'habitation	sd
7483	1	Aiguille	III	724	espace extérieur	724	ext	727	espace extérieur	s
7510		Aiguille	III	819	espace/sol	819	ext	727	espace extérieur	rs
7709		Aiguille	III	819	espace/sol	819	ext	727	espace extérieur	rs
7747		Aiguille	III	819	espace/sol	819	ext	727	espace extérieur	rs

N°	Catégorie	Niveau	Secteur	Locus 2	description Locus 2	Locus 1	Village	Structure	Structure définition	Dépôt
7752	Aiguille	III	ouest	819	espace/sol	819	ext	727	espace extérieur	s
7804	Aiguille	III	ouest	820	espace/sol	820	ext	727	espace extérieur	rs
7807	Aiguille	III	ouest	820	espace/sol	820	ext	727	espace extérieur	rs
7816	Aiguille	III	ouest	820	espace/sol	820	ext	727	espace extérieur	rs
7824	Aiguille	III	ouest	845	fosse	820	ext	727	espace extérieur	fos
11096	1	III	ouest	724	espace extérieur	724	ext	727	espace extérieur	
11247	Aiguille	III	ouest	724	espace extérieur	724	ext	727	espace extérieur	
11332	2	III	ouest	724	espace extérieur	724	ext	727	espace extérieur	
11640	Aiguille	III	ouest	724	espace extérieur	724	ext	727	espace extérieur	
11642	Aiguille	III	ouest	724	espace extérieur	724	ext	727	espace extérieur	
11662	Aiguille	III	ouest	819	espace/sol	819	ext	727	espace extérieur	
11669	Aiguille	III	ouest	724	espace extérieur	724	ext	727	espace extérieur	
11674	2	III	ouest	819	espace/sol	819	ext	727	espace extérieur	
13045	2	C	est	1111	espace/sol	1111	int	1111	espace extérieur	
2751	2	B1	est	465	fosse	465	int	465	fosse	fos
5240	OT	B3	est	783	espace/sol	783	int	783	espace extérieur	s
5582	OT	B4	est	682	espace/sol	682	int	120	élément d'habitation	rs
6812	OT	B4	est	769	espace/sol	769	int	125	élément d'habitation	s
9625	OT	C	est	869	espace/sol	869	int	764	espace extérieur	rs
13585	2	C	est	1122	fosse	1122	int	145	fosse	fos
939	1	II	ouest	237	espace/sol	237	int	88	élément d'habitation	s
1357	1	II	ouest	308	espace/sol	308	int	97	élément d'habitation	s
3121	1	II	ouest	453	espace/sol	453	int	211	espace extérieur	sd
5922	OT	II	ouest	699	espace/sol	699	ext	400	espace extérieur	sd
5964	OT	II	ouest	705	espace/sol	705	ext	400	espace extérieur	sd
6011	1	II	ouest	704	espace/sol	704	ext	400	espace extérieur	s
6471	OT	II	ouest	747	espace/sol	747	ext	400	espace extérieur	s
9858	OT	II	ouest	400	accès au village	400	ext	400	espace extérieur	rs
10182	OT	II	ouest	973	espace/sol	973	ext	400	espace extérieur	rs
10186	OT	II	ouest	973	espace/sol	973	ext	400	espace extérieur	rs
10245	OT	II	ouest	979	espace/sol	979	ext	400	espace extérieur	rs
10256	OT	II	ouest	973	espace/sol	973	ext	400	espace extérieur	rs
10576	OT	II	ouest	985	espace/sol	985	ext	400	espace extérieur	rs
10689	OT	II	ouest	990	espace/sol	990	ext	400	espace extérieur	rs
10702	OT	II	ouest	990	espace/sol	990	ext	400	espace extérieur	rs
10761	OT	II	ouest	995	espace/sol	995	ext	400	espace extérieur	rs
10870	OT	II	ouest	400	accès au village	400	ext	400	espace extérieur	rs

N°	Catégorie	Niveau	Secteur	Locus 2	description Locus 2	Locus 1	Village	Structure	Structure définition	Dépôt
11086	OT	II	ouest	400	accès au village	400	ext	400	espace extérieur	rs
11118	OT	II	ouest	1003	espace/sol	1003	ext	400	espace extérieur	
11125 1	OT	II	ouest	1003	espace/sol	1003	ext	400	espace extérieur	
11249	OT	II	ouest	981	sol	981	ext	981	espace extérieur	
11302	OT	II	ouest	981	sol	981	ext	981	espace extérieur	
11325	OT	II	ouest	1003	espace/sol	1003	ext	400	espace extérieur	
7440	OT	III	ouest	819	espace/sol	819	ext	727	espace extérieur	rs
7731	OT	III	ouest	819	espace/sol	819	ext	727	espace extérieur	rs
2765 1	Frag. O	B1	est	465	fosse	465	int	465	fosse	fos
2797 1	Frag. O	B1	est	465	fosse	465	int	465	fosse	fos
2797 2	Frag. O	B1	est	465	fosse	465	int	465	fosse	fos
2817 1	Frag. O	B1	est	465	fosse	465	int	465	fosse	fos
2817 2	Frag. O	B1	est	465	fosse	465	int	465	fosse	fos
2870	Frag. O	B1	est	465	fosse	465	int	465	fosse	fos
3427 1	Frag. O	B1	est	568	fosse	568	int	568	fosse	fos
3427 2	Frag. O	B1	est	568	fosse	568	int	568	fosse	fos
3570 2	Frag. O	B1	est	568	fosse	568	int	568	fosse	fos
3646	Frag. O	B1	est	568	fosse	568	int	568	fosse	fos
4122	Frag. O	B1	est	573	espace/sol	573	int	573	espace extérieur	rs
4149	Frag. O	B1	est	546	fosse	546	int	546	fosse	fos
4216	Frag. O	B1	est	466	fosse	466	int	466	fosse	fos
4249	Frag. O	B1	est	602	fosse	602	int	602	fosse	fos
4250 2	Frag. O	B1	est	602	fosse	602	int	602	fosse	fos
4308 3	Frag. O	B1	est	602	fosse	602	int	602	fosse	fos
4312	Frag. O	B1	est	602	fosse	602	int	602	fosse	fos
4322	Frag. O	B1	est	602	fosse	602	int	602	fosse	fos
4408 1	Frag. O	B1	est	564	fosse	564	int	490	fosse	fos
4580	Frag. O	B1	est	564	fosse	564	int	490	fosse	fos
4633 2	Frag. O	B1	est	466	fosse	466	int	466	fosse	fos
4633	Frag. O	B1	est	546	fosse	546	int	546	fosse	fos
4777	Frag. O	B1	est	564	fosse	564	int	490	fosse	fos
5024	Frag. O	B1	est	573	espace/sol	573	int	573	espace extérieur	rs
5029	Frag. O	B1	est	568	fosse	568	int	568	fosse	fos
5094	Frag. O	B1	est	568	fosse	568	int	568	fosse	fos
5151 1	Frag. O	B1	est	573	espace/sol	573	int	573	espace extérieur	rs
5158	Frag. O	B1	est	568	fosse	568	int	568	fosse	fos
5271	Frag. O	B1	est	564	fosse	564	int	490	fosse	fos
5469	Frag. O	B1	est	564	fosse	564	int	490	fosse	fos

N°	Catégorie	Niveau	Secteur	Locus 2	description Locus 2	Locus 1	Village	Structure	Structure définition	Dépôt
11749	2	B1	est	1032	fosse	1054	int	1054	espace extérieur	
11758		B1	est	1032	fosse	1054	int	1054	espace extérieur	
11971		B1	est	1032	fosse	1054	int	1054	espace extérieur	
12263	1	B1	est	1032	fosse	1054	int	1054	espace extérieur	
12263	2	B1	est	1032	fosse	1054	int	1054	espace extérieur	
3778		B2	est	608	espace/sol	608	int	554	espace extérieur	s
3795		B2	est	608	espace/sol	608	int	554	espace extérieur	rs
3796	1	B2	est	608	espace/sol	608	int	554	espace extérieur	s
3843		B2	est	608	espace/sol	608	int	554	espace extérieur	s
4714		B2	est	575	espace/sol	575	int	575	espace extérieur	rs
5026		B2	est	575	espace/sol	575	int	575	espace extérieur	rs
5253	2	B2	est	608	espace/sol	608	int	554	espace extérieur	rs
5481	2	B2	est	658	espace/sol	658	int	658	espace extérieur	s
11936		B2	est	1033	espace/sol	1033	int	134	élément d'habitation	
12464		B2	est	1058	espace/sol	1058	int	1058	espace extérieur	
4342	1	B3	est	597	espace/sol	597	int	121	élément d'habitation	s
4342	3	B3	est	597	espace/sol	597	int	121	élément d'habitation	s
4607	2	B3	est	583	espace/sol	583	int	583	espace extérieur	rs
5113		B3	est	583	espace/sol	583	int	583	espace extérieur	rs
5218	1	B3	est	583	espace/sol	583	int	583	espace extérieur	s
5218	2	B3	est	583	espace/sol	583	int	583	espace extérieur	s
5218	4	B3	est	583	espace/sol	583	int	583	espace extérieur	s
5531		B3	est	635	espace/sol	635	int	126	élément d'habitation	s
5747		B3	est	544	espace/sol	544	int	676	espace extérieur	ss
5813		B3	est	691	espace/sol	691	int	676	espace extérieur	s
5828		B3	est	691	espace/sol	691	int	676	espace extérieur	s
5831		B3	est	691	espace/sol	691	int	676	espace extérieur	s
5845		B3	est	691	espace/sol	691	int	676	espace extérieur	s
5854		B3	est	691	espace/sol	691	int	676	espace extérieur	s
5864		B3	est	691	espace/sol	691	int	676	espace extérieur	ss
5867		B3	est	691	espace/sol	691	int	676	espace extérieur	s
5879	2	B3	est	691	espace/sol	691	int	676	espace extérieur	s
5884		B3	est	644	espace/sol	644	int	676	espace extérieur	s
5905		B3	est	644	espace/sol	644	int	676	espace extérieur	s
5961		B3	est	644	espace/sol	644	int	676	espace extérieur	sd
5987		B3	est	644	espace/sol	644	int	676	espace extérieur	ss
6233		B3	est	721	espace/sol	721	int	720	espace extérieur	s

N°	Catégorie	Niveau	Secteur	Locus 2	description Locus 2	Locus 1	Village	Structure	Structure définition	Dépôt
6333	Frag. O	B3	est	721	espace/sol	721	int	720	espace extérieur	s
6334	Frag. O	B3	est	644	espace/sol	644	int	676	espace extérieur	ss
6526	Frag. O	B3	est	609	espace/sol	609	int	554	espace extérieur	s
12540	Frag. O	B3	est	1071	espace/sol	1071	int	1071	espace extérieur	
12586	Frag. O	B3	est	1071	espace/sol	1071	int	1071	espace extérieur	
12590	Frag. O	B3	est	1071	espace/sol	1071	int	1071	espace extérieur	
12611	Frag. O	B3	est	1077	espace/sol		int	1071	espace extérieur	
12613	Frag. O	B3	est	1079	espace/sol	1081	int	1081	espace extérieur	
12641	Frag. O	B3	est	1077	espace/sol		int	1071	espace extérieur	
12649	Frag. O	B3	est	1077	espace/sol		int	1071	espace extérieur	
12658	Frag. O	B3	est	1081	espace/sol	1081	int	1081	espace extérieur	
12669	Frag. O	B3	est	1070	espace/sol	1070	int	134	élément d'habitation	
12686	Frag. O	B3	est	1079	espace/sol	1081	int	1081	espace extérieur	
12700	Frag. O	B3	est	1081	espace/sol	1081	int	1081	espace extérieur	
2905	Frag. O	B4	est	430	espace/sol	430	int	119	élément d'habitation	s
3594	Frag. O	B4	est	603	espace/sol	603	int	603	espace extérieur	rs
5285	Frag. O	B4	est	649	espace/sol	649	int	603	espace extérieur	rs
5607	Frag. O	B4	est	649	espace/sol	649	int	603	espace extérieur	s
5746	Frag. O	B4	est	686	espace/sol	686	int	133	élément d'habitation	s
6425	Frag. O	B4	est	734	espace/sol	734	int	137	élément d'habitation	s
6785	Frag. O	B4	est	769	espace/sol	769	int	125	élément d'habitation	s
6785	Frag. O	B4	est	769	espace/sol	769	int	125	élément d'habitation	s
7372	Frag. O	B4	est	706	espace/sol	706	int	706	espace extérieur	rs
12710	Frag. O	B4	est	1089	foyer sur plate-forme	1088	int	134	élément d'habitation	
12764	Frag. O	B4	est	1086	espace/sol	1086	int	1086	espace extérieur	
12766	Frag. O	B4	est	1091	espace/sol	1086	int	1086	espace extérieur	
12773	Frag. O	B4	est	1091	espace/sol	1086	int	1086	espace extérieur	
12789	Frag. O	B4	est	1091	espace/sol	1086	int	1086	espace extérieur	
3005	Frag. O	B5	est	470	espace/sol	470	int	119	élément d'habitation	s
3357	Frag. O	B5	est	462	espace/sol	462	int	117	élément d'habitation	s
3431	Frag. O	B5	est	478	espace/sol	478	int	478	espace extérieur	ss
3707	Frag. O	B5	est	478	espace/sol	478	int	478	espace extérieur	rs
5184	Frag. O	B5	est	782	espace/sol	782	int	478	espace extérieur	ss
5193	Frag. O	B5	est	782	espace/sol	782	int	478	espace extérieur	ss
5660	Frag. O	B5	est	733	espace/sol	733	int	733	espace extérieur	s
6993	Frag. O	B5	est	784	espace/sol	784	int	784	espace extérieur	s
7251	Frag. O	B5	est	771	espace/sol	771	int	760	espace extérieur	ss

N°	Catégorie	Niveau	Secteur	Locus 2	description Locus 2	Locus 1	Village	Structure	Structure définition	Dépôt
9435	Frag. O	B5	est	672	espace/sol	672	int	672	espace extérieur	rs
12770	Frag. O	B5	est	1099	espace/sol	1099	int	156	élément d'habitation	
12917	Frag. O	B5	est	1085	plate-forme	1087	int	1086	espace extérieur	
12924	Frag. O	B5	est	1096	espace/sol	1096	int	1096	espace extérieur	
3010	Frag. O	C	est	508	fosse	508	int	508	fosse	fos
3010	Frag. O	C	est	508	fosse	508	int	508	fosse	fos
3213	Frag. O	C	est	508	fosse	508	int	508	fosse	fos
3234	Frag. O	C	est	508	fosse	508	int	508	fosse	fos
3716	Frag. O	C	est	508	fosse	508	int	508	fosse	fos
3760	Frag. O	C	est	489	espace/sol	489	int	489	espace extérieur	s
3792	Frag. O	C	est	492	espace/sol	492	int	117	élément d'habitation	s
4012	Frag. O	C	est	508	fosse	508	int	508	fosse	fos
4114	Frag. O	C	est	481	espace/sol	481	int	118	élément d'habitation	sd
4620	Frag. O	C	est	535	espace/sol	535	int	117	élément d'habitation	s
4646	Frag. O	C	est	535	espace/sol	535	int	117	élément d'habitation	s
5241	Frag. O	C	est	489	espace/sol	489	INT	489	espace extérieur	ss
5241	Frag. O	C	est	489	espace/sol	489	int	489	espace extérieur	ss
5241	Frag. O	C	est	489	espace/sol	489	int	489	espace extérieur	ss
5304	Frag. O	C	est	594	espace/sol	594	int	594	espace extérieur	rs
5388	Frag. O	C	est	489	espace/sol	489	int	489	espace extérieur	ss
6726	Frag. O	C	est	764	espace/sol	764	int	764	espace extérieur	s
6998	Frag. O	C	est	764	espace/sol	764	int	764	espace extérieur	s
7249	Frag. O	C	est	764	espace/sol	764	int	764	espace extérieur	s
7388	Frag. O	C	est	816	espace/sol	816	int	136	élément d'habitation	s
7460	Frag. O	C	est	570	espace/sol	570	int	586	espace extérieur	rs
7505	Frag. O	C	est	764	espace/sol	764	int	764	espace extérieur	s
7555	Frag. O	C	est	764	espace/sol	764	int	764	espace extérieur	s
7913	Frag. O	C	est	822	espace/sol	822	int	795	espace extérieur	rs
7935	Frag. O	C	est	840	espace/sol	840	int	764	espace extérieur	rs
7938	Frag. O	C	est	764	espace/sol	764	int	764	espace extérieur	rs
7948	Frag. O	C	est	821	fosse	813	int	795	fosse	fos
8081	Frag. O	C	est	822	espace/sol	822	int	795	espace extérieur	rs
8116	Frag. O	C	est	873	espace/sol	873	int	873	espace extérieur	rs
8135	Frag. O	C	est	869	espace/sol	869	int	764	espace extérieur	rs
8148	Frag. O	C	est	869	espace/sol	869	int	764	espace extérieur	rs
8149	Frag. O	C	est	869	espace/sol	869	int	764	espace extérieur	rs
8151	Frag. O	C	est	869	espace/sol	869	int	764	espace extérieur	rs

N°	Catégorie	Niveau	Secteur	Locus 2	description Locus 2	Locus 1	Village	Structure	Structure définition	Dépôt
8170	Frag. O	C	est	869	espace/sol	869	int	764	espace extérieur	rs
8204	Frag. O	C	est	873	espace/sol	873	int	873	espace extérieur	rs
8232	Frag. O	C	est	869	espace/sol	869	int	764	espace extérieur	rs
8242	Frag. O	C	est	822	espace/sol	822	int	795	espace extérieur	rs
8247	Frag. O	C	est	869	espace/sol	869	int	764	espace extérieur	rs
8270	Frag. O	C	est	869	espace/sol	869	int	764	espace extérieur	rs
8299	Frag. O	C	est	869	espace/sol	869	int	764	espace extérieur	rs
9533	Frag. O	C	est	764	espace/sol	764	int	764	espace extérieur	rs
12943	Frag. O	C	est	1100	espace/sol	1100	int	1100	espace extérieur	
12980	Frag. O	C	est	1100	espace/sol	1100	int	1100	espace extérieur	
12993	Frag. O	C	est	1107	espace/sol	1107	int	1107	espace extérieur	
13029	Frag. O	C	est	1107	espace/sol	1107	int	1107	espace extérieur	
13200	Frag. O	C	est	1122	fosse	1122	int	1122	fosse	fos
13217	Frag. O	C	est	1122	fosse	1122	int	1122	fosse	fos
13421	Frag. O	C	est	1113	espace/sol	1113	int	1113	espace extérieur	rs
13421	Frag. O	C	est	1113	espace/sol	1113	int	1113	espace extérieur	rs
13421	Frag. O	C	est	1113	espace/sol	1113	int	1113	espace extérieur	rs
569	Frag. O	II	ouest	218	espace/sol	218	int	86	élément d'habitation	s
644	Frag. O	II	ouest	317	espace/sol	317	int	211	espace extérieur	rs
677	Frag. O	II	ouest	312	espace/sol	312	int	312	espace extérieur	rs
714	Frag. O	II	ouest	231	espace/sol	231	int	88	élément d'habitation	s
979	Frag. O	II	ouest	211	espace/sol	211	int	211	espace extérieur	rs
988	Frag. O	II	ouest	241	espace/sol	241	int	84	élément d'habitation	s
1089	Frag. O	II	ouest	312	espace/sol	312	int	312	espace extérieur	rs
1097	Frag. O	II	ouest	251	espace/sol	251	int	85	élément d'habitation	s
1270	Frag. O	II	ouest	312	espace/sol	312	int	312	espace extérieur	rs
1332	Frag. O	II	ouest	237	espace/sol	237	int	88	élément d'habitation	ss
1490	Frag. O	II	ouest	252	espace/sol	252	int	94	élément d'habitation	ss
1824	Frag. O	II	ouest	317	espace/sol	317	int	211	espace extérieur	rs
1824	Frag. O	II	ouest	317	espace/sol	317	int	211	espace extérieur	rs
1829	Frag. O	II	ouest	317	espace/sol	317	int	211	espace extérieur	rs
1875	Frag. O	II	ouest	317	espace/sol	317	int	211	espace extérieur	rs
1918	Frag. O	II	ouest	453	espace/sol	453	int	211	espace extérieur	s
2146	Frag. O	II	ouest	211	espace/sol	211	int	211	espace extérieur	rs
2407	Frag. O	II	ouest	332	espace/sol	332	int	89	élément d'habitation	s
2407	Frag. O	II	ouest	332	espace/sol	332	int	89	élément d'habitation	s
2707	Frag. O	II	ouest	695	espace/sol	695	ext	400	espace extérieur	s

N°	Catégorie	Niveau	Secteur	Locus 2	description Locus 2	Locus 1	Village	Structure	Structure définition	Dépôt
2759	Frag. O	II	ouest	332	espace/sol	332	int	89	élément d'habitation	s
2786	Frag. O	II	ouest	332	espace/sol	332	int	89	élément d'habitation	s
2970	Frag. O	II	ouest	704	espace/sol	704	ext	400	espace extérieur	sd
5875	Frag. O	II	ouest	695	espace/sol	695	ext	400	espace extérieur	s
6011	Frag. O	II	ouest	704	espace/sol	704	ext	400	espace extérieur	s
6106	Frag. O	II	ouest	704	espace/sol	704	ext	400	espace extérieur	ss
6203	Frag. O	II	ouest	747	espace/sol	747	ext	400	espace extérieur	s
6206	Frag. O	II	ouest	747	espace/sol	747	ext	400	espace extérieur	s
6209	Frag. O	II	ouest	747	espace/sol	747	ext	400	espace extérieur	s
6330	Frag. O	II	ouest	747	espace/sol	747	ext	400	espace extérieur	s
6330	Frag. O	II	ouest	747	espace/sol	747	ext	400	espace extérieur	s
6330	Frag. O	II	ouest	747	espace/sol	747	ext	400	espace extérieur	s
6360	Frag. O	II	ouest	747	espace/sol	747	ext	400	espace extérieur	s
6397	Frag. O	II	ouest	749	espace/sol	749	ext	400	espace extérieur	s
6457	Frag. O	II	ouest	747	espace/sol	747	ext	400	espace extérieur	s
6503	Frag. O	II	ouest	747	espace/sol	747	ext	400	espace extérieur	s
6548	Frag. O	II	ouest	747	espace/sol	747	ext	400	espace extérieur	s
6548	Frag. O	II	ouest	747	espace/sol	747	ext	400	espace extérieur	s
6562	Frag. O	II	ouest	747	espace/sol	747	ext	400	espace extérieur	s
6585	Frag. O	II	ouest	747	espace/sol	747	ext	400	espace extérieur	s
6641	Frag. O	II	ouest	749	espace/sol	749	ext	400	espace extérieur	s
6652	Frag. O	II	ouest	747	espace/sol	747	ext	400	espace extérieur	s
6731	Frag. O	II	ouest	747	espace/sol	747	ext	400	espace extérieur	s
6731	Frag. O	II	ouest	747	espace/sol	747	ext	400	espace extérieur	s
6731	Frag. O	II	ouest	747	espace/sol	747	ext	400	espace extérieur	s
6747	Frag. O	II	ouest	747	espace/sol	747	ext	400	espace extérieur	s
6807	Frag. O	II	ouest	749	espace/sol	749	ext	400	espace extérieur	s
7403	Frag. O	II	ouest	768	espace/sol	768	int	768	espace extérieur	rs
7421	Frag. O	II	ouest	768	espace/sol	768	int	768	espace extérieur	rs
7446	Frag. O	II	ouest	445	espace/sol	445	int	550	espace extérieur	rs
7459	Frag. O	II	ouest	826	espace/sol	826	int	768	espace extérieur	rs
7473	Frag. O	II	ouest	445	espace/sol	445	int	550	espace extérieur	rs
7742	Frag. O	II	ouest	749	espace/sol	749	ext	400	espace extérieur	rs
9636	Frag. O	II	ouest	969	fosse	959	ext	400	espace extérieur	fos
9638	Frag. O	II	ouest	959	fosse	690	ext	400	espace extérieur	rs
9675	Frag. O	II	ouest	695	espace/sol	695	ext	400	espace extérieur	rs
9687	Frag. O	II	ouest	695	espace/sol	695	ext	400	espace extérieur	rs

N°	Catégorie	Niveau	Secteur	Locus 2	description Locus 2	Locus 1	Village	Structure	Structure définition	Dépôt
9730	Frag. O	II	ouest	969	fosse	959	ext	400	espace extérieur	fos
9746	Frag. O	II	ouest	959	fosse	690	ext	400	espace extérieur	rs
9787	Frag. O	II	ouest	959	fosse	690	ext	400	espace extérieur	fos
9803	Frag. O	II	ouest	959	fosse	690	ext	400	espace extérieur	fos
9840	Frag. O	II	ouest	695	espace/sol	695	ext	400	espace extérieur	rs
9890	Frag. O	II	ouest	969	fosse	959	ext	400	espace extérieur	fos
10137	Frag. O	II	ouest	973	espace/sol	973	ext	400	espace extérieur	rs
10139	Frag. O	II	ouest	973	espace/sol	973	ext	400	espace extérieur	rs
10151	Frag. O	II	ouest	973	espace/sol	973	ext	400	espace extérieur	rs
10294	Frag. O	II	ouest	979	espace/sol	979	ext	400	espace extérieur	rs
10364	Frag. O	II	ouest	979	espace/sol	979	ext	400	espace extérieur	rs
10496	Frag. O	II	ouest	985	espace/sol	985	ext	400	espace extérieur	rs
10516	Frag. O	II	ouest	981	sol	981	ext	981	espace extérieur	rs
10516	Frag. O	II	ouest	981	sol	981	ext	981	espace extérieur	rs
10516	Frag. O	II	ouest	981	sol	981	ext	981	espace extérieur	rs
10517	Frag. O	II	ouest	985	espace/sol	985	ext	400	espace extérieur	rs
10521	Frag. O	II	ouest	985	espace/sol	985	ext	400	espace extérieur	rs
10596	Frag. O	II	ouest	985	espace/sol	985	ext	400	espace extérieur	rs
10607	Frag. O	II	ouest	990	espace/sol	990	ext	400	espace extérieur	rs
10608	Frag. O	II	ouest	990	espace/sol	990	ext	400	espace extérieur	rs
10613	Frag. O	II	ouest	985	espace/sol	985	ext	400	espace extérieur	rs
10653	Frag. O	II	ouest	990	espace/sol	990	ext	400	espace extérieur	rs
10674	Frag. O	II	ouest	990	espace/sol	990	ext	400	espace extérieur	rs
10684	Frag. O	II	ouest	990	espace/sol	990	ext	400	espace extérieur	rs
10699	Frag. O	II	ouest	990	espace/sol	990	ext	400	espace extérieur	rs
10717	Frag. O	II	ouest	990	espace/sol	990	ext	400	espace extérieur	rs
10718	Frag. O	II	ouest	990	espace/sol	990	ext	400	espace extérieur	rs
10718	Frag. O	II	ouest	990	espace/sol	990	ext	400	espace extérieur	rs
10718	Frag. O	II	ouest	990	espace/sol	990	ext	400	espace extérieur	rs
10730	Frag. O	II	ouest	995	espace/sol	995	ext	400	espace extérieur	rs
10732	Frag. O	II	ouest	995	espace/sol	995	ext	400	espace extérieur	rs
10732	Frag. O	II	ouest	995	espace/sol	995	ext	400	espace extérieur	rs
10734	Frag. O	II	ouest	995	espace/sol	995	ext	400	espace extérieur	rs
10734	Frag. O	II	ouest	995	espace/sol	995	ext	400	espace extérieur	rs
10754	Frag. O	II	ouest	995	espace/sol	995	ext	400	espace extérieur	rs
10803	Frag. O	II	ouest	995	espace/sol	995	ext	400	espace extérieur	rs
10813	Frag. O	II	ouest	995	espace/sol	995	ext	400	espace extérieur	rs

N°	Catégorie	Niveau	Secteur	Locus 2	description Locus 2	Locus 1	Village	Structure	Structure définition	Dépôt
10860	Frag. O	II	ouest	400	accès au village	400	ext	400	espace extérieur	rs
10910	Frag. O	II	ouest	400	accès au village	400	ext	400	espace extérieur	rs
10911	Frag. O	II	ouest	400	accès au village	400	ext	400	espace extérieur	rs
10927	Frag. O	II	ouest	1002	fosse	400	ext	400	espace extérieur	fos
10935	Frag. O	II	ouest	1003	espace/sol	1003	ext	400	espace extérieur	rs
10975	Frag. O	II	ouest	400	accès au village	400	ext	400	espace extérieur	rs
10993	Frag. O	II	ouest	400	accès au village	400	ext	400	espace extérieur	rs
11009	Frag. O	II	ouest	400	accès au village	400	ext	400	espace extérieur	rs
11026	Frag. O	II	ouest	400	accès au village	400	ext	400	espace extérieur	rs
11026	Frag. O	II	ouest	400	accès au village	400	ext	400	espace extérieur	rs
11029	Frag. O	II	ouest	981	sol	981	ext	981	espace extérieur	
11042	Frag. O	II	ouest	981	sol	981	ext	981	espace extérieur	
11045	Frag. O	II	ouest	400	accès au village	400	ext	400	espace extérieur	rs
11057	Frag. O	II	ouest	981	sol	981	ext	981	espace extérieur	
11064	Frag. O	II	ouest	400	accès au village	400	ext	400	espace extérieur	rs
11066	Frag. O	II	ouest	400	accès au village	400	ext	400	espace extérieur	rs
11068	Frag. O	II	ouest	981	sol	981	ext	981	espace extérieur	rs
11070	Frag. O	II	ouest	400	accès au village	400	ext	400	espace extérieur	rs
11077	Frag. O	II	ouest	1002	fosse	400	ext	400	espace extérieur	rs
11085	Frag. O	II	ouest	400	accès au village	400	ext	400	espace extérieur	rs
11091	Frag. O	II	ouest	400	accès au village	400	ext	400	espace extérieur	rs
11091	Frag. O	II	ouest	400	accès au village	400	ext	400	espace extérieur	rs
11093	Frag. O	II	ouest	400	accès au village	400	ext	400	espace extérieur	rs
11128	Frag. O	II	ouest	1002	fosse	400	ext	400	espace extérieur	fos
11128	Frag. O	II	ouest	1002	fosse	400	ext	400	espace extérieur	fos
11151	Frag. O	II	ouest	1003	espace/sol	1003	ext	400	espace extérieur	
11206	Frag. O	II	ouest	1002	fosse	400	ext	400	espace extérieur	rs
11213	Frag. O	II	ouest	400	accès au village	400	ext	400	espace extérieur	
11225	Frag. O	II	ouest	1002	fosse	400	ext	400	espace extérieur	fos
11237	Frag. O	II	ouest	1003	espace/sol	1003	ext	400	espace extérieur	
11252	Frag. O	II	ouest	1003	espace/sol	1003	ext	400	espace extérieur	
11264	Frag. O	II	ouest	1003	espace/sol	1003	ext	400	espace extérieur	
11267	Frag. O	II	ouest	981	sol	981	ext	981	espace extérieur	
11274	Frag. O	II	ouest	1003	espace/sol	1003	ext	400	espace extérieur	
11303	Frag. O	II	ouest	981	sol	981	ext	981	espace extérieur	
11327	Frag. O	II	ouest	981	sol	981	ext	981	espace extérieur	
11341	Frag. O	II	ouest	1003	espace/sol	1003	ext	400	espace extérieur	

N°	Catégorie	Niveau	Secteur	Locus 2	description Locus 2	Locus 1	Village	Structure	Structure définition	Dépôt
11346	2	II	ouest	1008	fosse		ext	400	espace extérieur	
11359	1	II	ouest	1003	espace/sol	1003	ext	400	espace extérieur	
11388		II	ouest	1003	espace/sol	1003	ext	400	espace extérieur	
868	1	III	ouest	221	espace/sol	221	int	87	élément d'habitation	s
868	2	III	ouest	221	espace/sol	221	int	87	élément d'habitation	s
877	1	III	ouest	221	espace/sol	221	int	87	élément d'habitation	s
877	2	III	ouest	221	espace/sol	221	int	87	élément d'habitation	s
877	3	III	ouest	221	espace/sol	221	int	87	élément d'habitation	s
1029	1	III	ouest	412	espace/sol	412	int	412	espace extérieur	rs
1453	1	III	ouest	282	espace/sol	282	int	282	espace extérieur	rs
1453	4	III	ouest	282	espace/sol	282	int	282	espace extérieur	rs
1569	1	III	ouest	282	espace/sol	282	int	282	espace extérieur	rs
1576		III	ouest	381	espace/sol	381	int	381	espace extérieur	s
1626	4	III	ouest	288	espace/sol	288	int	94	élément d'habitation	s
1845	1	III	ouest	325	espace/sol	325	int	325	espace extérieur	rs
1871	1	III	ouest	325	espace/sol	325	int	325	espace extérieur	rs
1991	1	III	ouest	341	espace/sol	341	int	413	espace extérieur	rs
1991	2	III	ouest	341	espace/sol	341	int	413	espace extérieur	rs
1997	1	III	ouest	413	espace/sol	413	int	413	espace extérieur	rs
1997	2	III	ouest	413	espace/sol	413	int	413	espace extérieur	rs
2140	1	III	ouest	234	espace/sol	234	int	381	espace extérieur	rs
2371	1	III	ouest	331	espace/sol	331	int	97	élément d'habitation	s
2395	1	III	ouest	329	espace/sol	329	int	105	élément d'habitation	s
2427	2	III	ouest	329	espace/sol	329	int	105	élément d'habitation	s
2433	1	III	ouest	335	espace/sol	335	int	413	espace extérieur	rs
2433	2	III	ouest	335	espace/sol	335	int	413	espace extérieur	rs
2607		III	ouest	331	espace/sol	331	int	97	élément d'habitation	s
2731		III	ouest	397	espace/sol	397	int	94	élément d'habitation	s
2740		III	ouest	397	espace/sol	397	int	94	élément d'habitation	s
2903		III	ouest	417	espace/sol	417	int	85	élément d'habitation	s
3153		III	ouest	417	espace/sol	417	int	85	élément d'habitation	s
7483	2	III	ouest	724	espace extérieur	724	ext	727	espace extérieur	s
7495		III	ouest	819	espace/sol	819	ext	727	espace extérieur	rs
7515		III	ouest	819	espace/sol	819	ext	727	espace extérieur	rs
7516		III	ouest	819	espace/sol	819	ext	727	espace extérieur	s
7545		III	ouest	819	espace/sol	819	ext	727	espace extérieur	s
7650		III	ouest	820	espace/sol	820	ext	727	espace extérieur	rs

N°	Catégorie	Niveau	Secteur	Locus 2	description Locus 2	Locus 1	Village	Structure	Structure définition	Dépôt
7651	Frag. O	III	ouest	819	espace/sol	819	ext	727	espace extérieur	rs
7682	Frag. O	III	ouest	818	espace/sol	818	int	102	élément d'habitation	fy
7700	Frag. O	III	ouest	818	espace/sol	818	int	102	élément d'habitation	s
7710	Frag. O	III	ouest	819	espace/sol	819	ext	727	espace extérieur	rs
7711	Frag. O	III	ouest	818	espace/sol	818	int	102	élément d'habitation	s
7737	Frag. O	III	ouest	819	espace/sol	819	ext	727	espace extérieur	rs
7740	Frag. O	III	ouest	819	espace/sol	819	ext	727	espace extérieur	rs
7740	Frag. O	III	ouest	819	espace/sol	819	ext	727	espace extérieur	rs
7745	Frag. O	III	ouest	819	espace/sol	819	ext	727	espace extérieur	rs
7745	Frag. O	III	ouest	819	espace/sol	819	ext	727	espace extérieur	rs
7745	Frag. O	III	ouest	819	espace/sol	819	ext	727	espace extérieur	rs
7751	Frag. O	III	ouest	819	espace/sol	819	ext	727	espace extérieur	s
11049	Frag. O	III	ouest	724	espace extérieur	724	ext	727	espace extérieur	
11209	Frag. O	III	ouest	724	espace extérieur	724	ext	727	espace extérieur	
11332	Frag. O	III	ouest	724	espace extérieur	724	ext	727	espace extérieur	
11662	Frag. O	III	ouest	819	espace/sol	819	ext	727	espace extérieur	
11670	Frag. O	III	ouest	819	espace/sol	819	ext	727	espace extérieur	
11670	Frag. O	III	ouest	819	espace/sol	819	ext	727	espace extérieur	
4633	Divers	B1	est	546	fosse	546	int	546	fosse	fos
12702	Divers	B3	est	1081	espace/sol	1081	int	1081	espace extérieur	
6785	Divers	B4	est	769	espace/sol	769	int	125	élément d'habitation	s
6812	Divers	B4	est	769	espace/sol	769	int	125	élément d'habitation	s
1041	Divers	II	ouest	251	espace/sol	251	int	85	élément d'habitation	s
10002	Divers	II	ouest	695	espace/sol	695	ext	400	espace extérieur	
5028	EB	B1	est	568	fosse	568	int	568	fosse	fos
12294	EB	B2	est	1058	espace/sol	1058	int	1058	espace extérieur	
5222	EB	C	est	489	espace/sol	489	int	489	espace extérieur	rs
13024	EB	C	est	1107	espace/sol	1107	int	1107	espace extérieur	
951	EB	II	ouest	237	espace/sol	237	int	88	élément d'habitation	s
6798	EB	II	ouest	749	espace/sol	749	ext	400	espace extérieur	s
6798	EB	II	ouest	749	espace/sol	749	ext	400	espace extérieur	s
9921	EB	II	ouest	695	espace/sol	695	ext	400	espace extérieur	rs
10422	EB	II	ouest	981	sol	981	ext	981	espace extérieur	rs
10425	EB	II	ouest	979	Espace/sol	979	ext	400	espace extérieur	rs
10473	EB	II	ouest	979	Espace/sol	979	ext	400	espace extérieur	rs
10802	EB	II	ouest	995	espace/sol	995	ext	400	espace extérieur	rs
10898	EB	II	ouest	1001	espace/sol	1001	ext	400	espace extérieur	fos

N°	Catégorie	Niveau	Secteur	Locus 2	description Locus 2	Locus 1	Village	Structure	Structure définition	Dépôt
10903	EB	II	ouest	1002	fosse	400	ext	400	espace extérieur	fos
10912	EB	II	ouest	1002	fosse	400	ext	400	espace extérieur	fos
10948	EB	II	ouest	400	accès au village	400	ext	400	espace extérieur	rs
10963	EB	II	ouest	1002	fosse	400	ext	400	espace extérieur	rs
10966	EB	II	ouest	400	accès au village	400	ext	400	espace extérieur	rs
11022	EB	II	ouest	400	accès au village	400	ext	400	espace extérieur	rs
11026	EB	II	ouest	400	accès au village	400	ext	400	espace extérieur	rs
11026	EB	II	ouest	400	accès au village	400	ext	400	espace extérieur	rs
11145	EB	II	ouest	400	accès au village	400	ext	400	espace extérieur	rs
11226	EB	II	ouest	981	sol	981	ext	981	espace extérieur	rs
1244	EB	III	ouest	272	espace/sol	272	int	87	élément d'habitation	s
1639	EB	III	ouest	314	espace/sol	314	int	412	espace extérieur	rs
2541	EB	III	ouest	376	espace/sol	376	int	108	élément d'habitation	s
3021	EB	III	ouest	417	espace/sol	417	int	85	élément d'habitation	s
11294	EB	III	ouest	724	espace extérieur	724	ext	727	espace extérieur	
11651	EB	III	ouest	724	espace extérieur	724	ext	727	espace extérieur	
5173	PDD	B2	est	540	espace/sol	540	int	554	espace extérieur	rs
5218	PDD	B3	est	583	espace/sol	583	int	583	espace extérieur	s
5531	PDD	B3	est	635	espace/sol	635	int	126	élément d'habitation	s
12582	PDD	B3	est	1071	espace/sol	1071	int	1071	espace extérieur	
12598	PDD	B3	est	1071	espace/sol	1071	int	1071	espace extérieur	
12683	PDD	B3	est	1079	espace/sol	1081	int	1081	espace extérieur	
7335	PDD	B5	est	784	espace/sol	784	int	784	espace extérieur	s
3010	PDD	C	est	508	fosse	508	int	508	fosse	fos
3075	PDD	C	est	508	fosse	508	int	508	fosse	fos
7525	PDD	C	est	764	espace/sol	764	int	764	espace extérieur	s
7581	PDD	C	est	840	espace/sol	840	int	764	espace extérieur	s
9687	PDD	II	ouest	695	espace/sol	695	ext	400	espace extérieur	rs
9814	PDD	II	ouest	969	fosse	959	ext	400	espace extérieur	fos
10166	PDD	II	ouest	973	espace/sol	973	ext	400	espace extérieur	rs
10752	PDD	II	ouest	995	espace/sol	995	ext	400	espace extérieur	rs
10961	PDD	II	ouest	400	accès au village	400	ext	400	espace extérieur	rs
11251	PDD	II	ouest	1003	espace/sol	1003	ext	400	espace extérieur	
11315	PDD	II	ouest	981	sol	981	ext	981	espace extérieur	
1511	PDD	III	ouest	234	espace/sol	234	int	381	espace extérieur	rs
1887	PDD	III	ouest	325	espace/sol	325	int	325	espace extérieur	rs
11276	PDD	III	ouest	724	espace extérieur	724	ext	727	espace extérieur	

6083	2	Poss EB	B3	est	720	espace/sol	720	int	720	espace extérieur	s
1014	2	Poss EB	II	ouest	251	espace/sol	251	int	85	élément d'habitation	s
10932		Poss EB	II	ouest	400	accès au village	400	ext	400	espace extérieur	rs
11084		Poss EB	II	ouest	981	sol	981	ext	981	espace extérieur	
11146		Poss EB	II	ouest	1003	espace/sol	1003	ext	400	espace extérieur	
1887	2	Poss EB	III	ouest	325	espace/sol	325	int	325	espace extérieur	rs
1970	1	Poss EB	III	ouest	341	espace/sol	341	int	413	espace extérieur	rs
2523	1	Poss EB	III	ouest	725	structure d'accès au village	725	ext	727	espace extérieur	sd
11660		Poss PDD	III	ouest	724	espace extérieur	724	ext	727	espace extérieur	
10331		Ind.	II	ouest	979	espace/sol	979	ext	400	espace extérieur	rs
Total											1193

CAK Corpus général

N°	Catégorie		Type	Fragment	Etat	L.T	ép.T	L. Taill.	ép. Taill.	(mm)			L. PP (aig.)	ép. PP (aig.)	L. chas	Mat. 1ère	Partie	Espèce		Orient. PD	Sect. PD	Sect. PM
115	1	OP	Ind.	mésial	D	49	14	6								os	os long	diaphyse	Ind.		Cir.	Nat.
121	1	Frag. O		mésial	D											os	os long	Ind.	Ind.		Ind.	Nat.
152	1	Frag. O		mésial	D											os	os long	Ind.	Ind.		Rect.	Nat.
204	1	Frag. O		mésial	D											os	os long	diaphyse	Ind.		Ind.	CC
218	1	OP	Ind.	distal	C	35	6	5								os	os long	Ind.	Ind.	dans l'axe	Cir.	ovale
243	1	OP	IV.B	mésial	D											os	os long	Ind.	Ind.		Ind.	Ind.
277	1	OP	Ind.	distal	D	101	6,5	3								os	os long	diaphyse	Ind.	dans l'axe	Ind.	Ind.
277	2	PDD			D											bois	merrain+andouiller		daim		Ind.	Ind.
292	1	OP	Ind.	distal	D		7	5								os	os long	diaphyse	Ind.	dans l'axe	ovale	ovale
292	2	OP	Ind.	distal	D				4							os	os long	diaphyse	Ind.	dans l'axe	Rect.	Ind.
296	1	OP	IV.A	entier	c	47	7	4,5								os	os long	diaphyse	Ind.	dans l'axe	ovale	Nat.
428	1	OP	Ind.	distal	D	3	9	5,5								os	os long	Ind.	Ind.	dans l'axe	Cir.	ovale
441	1	OP	III.B	proximal	D	56,5	10	7								os	MTP	ép.	Ind.		Cir.	Cir.
459	1	OP	I	distal	C											os	ulna	diaphyse	Ind.	dans l'axe	Rect.	Rect.
461	1	OP	Ind.	mésial	C		12	7								os	os long	diaphyse	Ind.		ovale	CC
461	3	OP	Ind.	distal	D											os	os long	Ind.	Ind.	dans l'axe	Ind.	Ind.
461	4	Hameçon	V.B	entier	C	25	20									os	os long	diaphyse	Ind.	dans l'axe	Ind.	Ind.
478	2	OP	IV.B	proximal	D	94	19,5	9,5								os	os long	diaphyse	Ind.	dans l'axe	Ind.	Ind.
487	1	OT	Ind.	distal	C	42	13	5								os	os long	diaphyse	Ind.	dans l'axe	Rect.	CC
489	1	OP	IV.A	distal	D	116	21,5	5,5								os	os long	diaphyse	Ind.	dans l'axe	Cir.	CC
492	1	OP	II.A	proximal	C	49	7	5								dent	os long	diaphyse	daim	dans l'axe	Ind.	Ind.
498	1	Divers	X.B	ind	C		5	4								os	os long	diaphyse	sanglier		Ind.	Ind.
500	1	Frag. O		mésial	D											os	os long	diaphyse	oiseau		Ind.	Ind.
509	1	Frag. O		entier	D	60	15	3								os	os long	Ind.	Ind.	dans l'axe	Ind.	Ind.
509	2	OP	IV.B	mésial	D	66	14	5								os	os long	Ind.	Ind.		Ind.	Ind.
509	3	Frag. O		proximal	C											os	os long	diaphyse	Ind.		Ind.	Ind.
511	1	Divers	X.B	ind	D	38	5	4								os	os long	diaphyse	oiseau		Ind.	Ind.
518	1	OP	Ind.	distal	D	58	8	3								os	os long	diaphyse	Ind.	dans l'axe	Rect.	Rect.
518	2	OP	IV.B	distal	C		11,5	5								os	os long	diaphyse	Ind.	dans l'axe	ovale	Ind.

N°	Catégorie	Type	Fragment	Etat	L.T	I.T	ép.T	L	ép. Taill.	L PP (aig.)	ép. PP (aig.)	L. chas	Mat. Tère	Partie	Espèce		Orient. PD	Sect. PD	Sect. PM
									(mm)										
528	1 Divers	X.B	entier	C	25	5	3,5						os	os long	diaphyse	oiseau	dans l'axe	Ind.	Ind.
535	2 OP	IV.B	distal	D	52	8	4						os	os long	diaphyse	Ind.	dans l'axe	ovale	Nat.
535	1 OP	IV.A	entier	c	126	8	5						os	os long	diaphyse	Ind.	dans l'axe	ovale	Rect.
535	3 Frag. O		mésial	C		17	9,5						os	os long	diaphyse	daim		Ind.	Ind.
539	1 Frag. O		proximal	D									os	os long	diaphyse	Ind.		Ind.	Nat.
539	2 Frag. O		mésial	D									os	os long	Ind.	Ind.		Ind.	Ind.
539	3 Divers	X.B	mésial	C	15	5	4						os	os long	diaphyse	oiseau	dans l'axe	Ind.	Trian.
539	4 PDD			C									os	indéterminé	diaphyse	ind		Ind.	Trian.
539	5 Frag. O		mésial	D									os	os long	diaphyse	Ind.		Ind.	Ind.
540	1 Divers	Ind.	proximal	C						3			os	Ind.	diaphyse	Ind.		Ind.	Ind.
543	1 OP	III.B	subentier	D	122	19	5						os	MTC D	ép.	daim	dans l'axe	ovale	CC
543	2 Hameçon	V.A	entier	C	16	16	9						dent		Prox.	sanglier	dans l'axe	Ind.	Ind.
543	4 Frag. O		mésial	D									os	os long	Ind.	Ind.		Ind.	ovale
546	2 PDD			C									os	os long	ind	ind		Ind.	Ind.
555	1 Frag. O		ind	D									bois	and.	daim	daim		Ind.	Ind.
558	1 OT	IX	entier	C	86	8	7						os	os long	diaphyse	Ind.	dans l'axe	Rect.	Cir.
558	2 OP	IV.B	subentier	D	92	19	7						os	os long	diaphyse	Ind.	dans l'axe	Ind.	Ind.
558	3 OP	IV.B	distal	D	74	23	7,5						os	os long	diaphyse	daim	dans l'axe	Ind.	Nat.
558	4 Frag. O		mésial	C									os	os long	Ind.	Ind.		Ind.	Ind.
565	1 OP	II.B	entier	D	140								bois	meule+mer.	daim	daim	dans l'axe	Ind.	Ind.
565	2 Divers	Ind.	ind	C	52	9	2,5						dent		sanglier			Ind.	CC
573	1 Divers	X.B	ind	C		5	4						os	os long	diaphyse	oiseau		Ind.	Ind.
579	1 OP	IV.B	entier	D	82	14	7						os	os long	diaphyse	Ind.	dans l'axe	Cir.	Nat.
602	1 OP	Ind.	distal	C	76	13,5	7						os	os long	diaphyse	Ind.	dans l'axe	Cir.	CC
605	1 Frag. O		mésial	D		15	9						os	os long	diaphyse	Ind.		Ind.	Ind.
607	1 Divers	X.B	ind	D		4	3,5						os	os long	diaphyse	oiseau		Ind.	Ind.
609	1 Frag. O		mésial	D									os	os long	Ind.	Ind.		Ind.	Ind.
624	1 Divers	X.B	ind	C	30	4	3						os	os long	diaphyse	oiseau		Ind.	Ind.
631	1 Divers	X.B	entier	c	31	4	3						os	os long	diaphyse	oiseau	dans l'axe	Ind.	Ind.
640	1 OP	Ind.	distal	C	64	8	5						os	os long	diaphyse	Ind.	dans l'axe	Cir.	PC
642	1 OP	Ind.	distal	C	29	5	3,5						os	os long	diaphyse	Ind.	dans l'axe	Cir.	Ind.
649	1 OP	Ind.	mésial	C		9	4						os	os long	Ind.	Ind.		Ind.	Ind.
656	1 OP	IV.B	distal	D									os	os long	Ind.	Ind.	dans l'axe	Ind.	Ind.
660	1 Frag. O		ind	D	67	22	20						bois	Ind.	daim	daim		Ind.	Ind.

N°	Catégorie		Type	Fragment	Etat	L.T	I.T	ép.T	L	ép. Taill.	L PP (aig.)	ép. PP (aig.)	L. chas	Mat. Tère	Partie	Espèce		Orient. PD	Sect. PD	Sect. PM
660	2	Frag. O		ind	D									bois	and.		daim		Ind.	Ind.
660	4	Divers	X.B	ind	D									os	os long	diaphyse	diaphyse		Ind.	Ind.
667	1	OP	Ind.	mésial	C	70	7	5						os	os long	diaphyse	Ind.	dans l'axe	Cir.	Rect.
669	1	Frag. O		proximal	C									os	os long	diaphyse	Ind.		Ind.	Ind.
673	1	Frag. O		mésial	C									os	os long	Ind.	Ind.		Ind.	Ind.
678	1	OP	Ind.	distal	D	81								os	os long	diaphyse	Ind.	dans l'axe	Cir.	CC
679	1	OT	VIII	entier	C	100	23	7	14					os	MTT	ép.	daim	dans l'axe	ovale	Ind.
686	1	OP	Ind.	distal	D	36								os	os long	diaphyse	Ind.	dans l'axe	ovale	Ind.
689	1	Frag. O		proximal	D	63								os	MTT	ép. Dist.	daim		Ind.	Ind.
691	1	OT	Ind.	distal	D	91	18,5	7,5	15	3,5				os	os long	diaphyse	Ind.	dans l'axe	Ind.	Ind.
693	1	OP	Ind.	distal	D	57	10	4						os	os long	diaphyse	Ind.	dans l'axe	Rect.	Ind.
699	1	Frag. O		proximal	D									os	MTP	Prox.	Ind.		Ind.	Ind.
700	1	Frag. O		mésial	C									os	os long	Ind.	Ind.		Ind.	Ind.
702	2	OP	Ind.	distal	C	63	6,5	6,5						os	os long	diaphyse	Ind.	dans l'axe	ovale	Ind.
702	5	OP	II.A	distal	C									dent			Ind.	dans l'axe	Ind.	Ind.
702	6	Frag. O		mésial	D									os	os long	Ind.	Ind.		Ind.	Ind.
705	1	Hameçon	V.B	mésial	C	7	7	3						os	os long	Ind.	Ind.		Ind.	Ind.
710	1	Hameçon	V.A	proximal	C									os	os long	diaphyse	Ind.		Ind.	Ind.
713	1	OP	IV.B	distal	D									os	os long	diaphyse	Ind.	dans l'axe	ovale	Nat.
715	1	Frag. O		mésial	D									os	os long	diaphyse	Ind.		Ind.	Ind.
719	1	Frag. O		ind	D									os	os long	diaphyse	Ind.		Ind.	Ind.
722	1	Divers	X.A.3	entier	D	42	10	5						bois	and.		daim	dans l'axe	Ind.	Ind.
727	1	OP	I	mésial	C									os	ulna	diaphyse	daim	dans l'axe	ovale	Nat.
727	3	OP	IV.B	distal	C									os	os long	Ind.	Ind.	dans l'axe	Ind.	Ind.
728	1	Frag. O		ind	C									os	MTT	ép.	capriné		Ind.	Ind.
728	2	OP	IV.B	distal	C	34	5	6,5						os	os long	diaphyse	Ind.	dans l'axe	Ind.	Nat.
740	1	Hameçon	V.A	entier	c	12								os	os long	diaphyse	Ind.	dans l'axe	Ind.	Ind.
746	1	Frag. O		mésial	D									os	os long	Ind.	Ind.		Ind.	Ind.
749	1	Divers	X.B	ind	C	39	4	3,5						os	os long	diaphyse	oiseau		Ind.	Ind.
751	1	Frag. O		ind	D									os	os long	diaphyse	Ind.		Ind.	Ind.
754	1	Hameçon	V.B	ind	D		7	3						os	os long	Ind.	Ind.		Ind.	Ind.
758	1	Aiguille	VI	mésial	C	106								os	os long	diaphyse	Ind.	dans l'axe	Ind.	Rect.
759	1	Hameçon	V.B	mésial	D	11	2	1,5					3	os	os long	Ind.	Ind.		Ind.	Ind.

N°	Catégorie		Type	Fragment	Etat	L.T	I.T	ép.T	L	ép. Taill.	L PP (aig.)	ép. PP (aig.)	L. chas	Mat. Tère	Partie	Espèce		Orient. PD	Sect. PD	Sect. PM
						L.T	I.T	ép.T	L	ép. Taill.	L PP (aig.)	ép. PP (aig.)	L. chas							
									(mm)											
761	1	Frag. O		mésial ind	D	10,5		5						os	os long	Ind.	Ind.		Ind.	Ind.
764	1	Frag. O			D									os	os long	Ind.	Ind.		Ind.	Ind.
778	1	Divers	X.B	entier	c	25	5	3,5					3	os	os long	diaphyse	oiseau	dans l'axe	Ind.	Ind.
780	1	Aiguille	VI	distal	C	174					9			os	os long	diaphyse	Ind.	dans l'axe	Ind.	Ind.
794	1	OP	Ind.	mésial	C	62	12	5						os	scapula	diaphyse	Ind.		Ind.	Ind.
806	1	Divers	X.B	ind	C									os	os long	diaphyse	oiseau		Ind.	Ind.
811	1	OP	IV.B	distal	D	70	9	6						os	os long	diaphyse	Ind.	dans l'axe	Cir.	Nat.
811	2	PDD			c									os	os long	diaphyse	ind		Ind.	Ind.
821	1	Frag. O		mésial	D		7	7,5						os	os long	Ind.	Ind.		Ind.	CC
825	1	OP	Ind.	distal	C									os	os long	diaphyse	Ind.	dans l'axe	Rect.	Ind.
826	1	OP	I	mésial	D									os	ulna	diaphyse	Ind.		ovale	Nat.
826	2	OP	IV.B	distal	D	57	8	5						os	os long	Ind.	Ind.	dans l'axe	ovale	Rect.
831	1	Frag. O		mésial	D									os	os long	diaphyse	Ind.		Ind.	Ind.
835	1	OP	II.A	distal	D	70	10	4						dent		diaphyse	Ind.	dans l'axe	Ind.	Ind.
853	1	OP	Ind.	distal	D									os	os long	diaphyse	Ind.	dans l'axe	Cir.	Rect.
854	1	Frag. O		mésial	D									os	os long	diaphyse	Ind.		Ind.	Ind.
864	1	OP	Ind.	distal	D	56	11,5	6,5						os	os long	diaphyse	Ind.	dans l'axe	Cir.	CC
864	2	OP	Ind.	distal	C									os	os long	diaphyse	Ind.	dans l'axe	Trian.	Ind.
864	3	OT	VII	distal	D									os	scapula	diaphyse	Ind.	dans l'axe	Ind.	Ind.
865	1	Frag. O		mésial	C		6	4						os	os long	Ind.	Ind.		Ind.	Rect.
869	1	OP	III.A	subentier	C	37	3	2						os	MTP	ép. Dist.	daim	dans l'axe	Ind.	CC
														os		ép.				
869	2	OP	III.B	proximal	C	34	4	4						os	MTT D	Prox.	daim	dans l'axe	Ind.	CC
871	2	Frag. O		mésial	D									os	os long	diaphyse	Ind.		Ind.	Ind.
872	1	Frag. O		proximal	D									os	Ind.	Ind.	Ind.		Ind.	Ind.
874	1	Divers	X.B	ind	D	31	4	4						os	os long	diaphyse	oiseau		Ind.	Ind.
880	1	OP	Ind.	distal	C	27	4,5	3,5						os	os long	Ind.	Ind.	dans l'axe	Trian.	ovale
886	1	OP	Ind.	distal	D	67	10	5	7,5	4				os	os long	diaphyse	Ind.	dans l'axe	Ind.	Ind.
														os		ép.				
890	1	Fag. O		proximal	D									os	MTP	Prox.	Ind.		Ind.	Ind.
896	1	Dvers	X.B	entier	C	45	4	3,5						os	os long	diaphyse	oiseau	dans l'axe	Ind.	Ind.
900	1	OP	IV.B	distal	D	56	6	4						os	os long	Ind.	Ind.	dans l'axe	Rect.	Rect.
902	1	Fag. O		ind	D									os	os long	Ind.	Ind.		Ind.	Ind.
903	1	OP	II.A	entier	C	42	6,5	5,5						dent		sanglier		dans l'axe	Ind.	Ind.
903	2	OP	IV.B	mésial	D	43	9	6						os	os long	Ind.	Ind.		Ind.	PC

N°	Catégorie		Type	Fragment	Etat	L.T	L.T	ép.T	L	ép. Taill.	(mm)					L. PP (aig.)	ép. PP (aig.)	L. chas	Mat. 1ère	Partie			Espèce		Orient. PD	Sect. PD	Sect. PM
909	1	Fag. O		mésial	D															os long							Ind.
917	1	Fag. O		ind	D															os long							Ind.
919	2	Fag. O		ind	D															os long							Ind.
924	1	OP	Ind.	distal	D															os long							Ind.
927	1	Hameçon	V.B	proximal	D															os long							Ind.
Total																											134

CAK Donnée techniques

N°	Catégorie	Type	Fragment	Proc. Déc.	Technique	TT	Forage	For. Sym.	Etendue faç.	Technique	degré transf.	Niveau	Locus 2	Locus 1	Dépôt
459	1	OP	distal	Ind.	Ind.	oui			12	abrasion	0	VI	528	528	r
727	1	OP	mésial	os entier					1	abrasion/raclage	0	IV			
826	1	OP	mésial	os entier					Ind.	Ind.	0	II	609	609	s
492	1	OP	proximal	Ind.	Ind.				23	abrasion	0	V	530	530	r
702	5	OP	distal	Ind.	Ind.				Ind.	Ind.	0	IV			
835	1	OP	distal	Ind.	percussion					abrasion	0	V	588	588	s
903	1	OP	entier	Ind.	Ind.				123	abrasion	0	II	610	610	s
565	1	OP	entier	Ind.	entaillage				1	raclage	0	V	SE		s
869	1	OP	subentier	2	Ind.				1	abrasion	2	II	608	608	s
441	1	OP	proximal	4	sciage				23	abrasion	2	VI	585	585	r
543	1	OP	subentier	2	S+P				Ind.	Ind.	2	V	526	526	s
869	2	OP	proximal	2	percussion				23	abrasion	2	II	608	608	s
218	1	OP	distal	Ind.	Ind.				12	abrasion		III	502	502	s
277	1	OP	distal	Ind.	Ind.				1	abrasion		V	517	517	s
292	1	OP	distal	Ind.	Ind.				Ind.	Ind.		V	521	521	r
292	2	OP	distal	Ind.	Ind.				Ind.	Ind.		V	521	521	r
428	1	OP	distal	Ind.	Ind.				Ind.	Ind.		VI	585	585	r
461	1	OP	mésial	Ind.	Ind.				2	abrasion		VI	528	528	s
461	3	OP	distal	Ind.	Ind.				2	abrasion		VI	528	528	s
518	1	OP	distal	Ind.	Ind.				1	abrasion		VI	528	528	s
602	1	OP	distal	4	Ind.				12	abrasion		VI	528	528	s
640	1	OP	distal	Ind.	Ind.				Ind.	Ind.		VI	528	528	s
642	1	OP	distal	Ind.	Ind.					Ind.		surf			
649	1	OP	mésial	Ind.	Ind.				1	raclage		III			
667	1	OP	mésial	Ind.	Ind.				2	abrasion		IV	600	600	r
678	1	OP	distal	Ind.	Ind.				2	raclage		surf			
686	1	OP	distal	Ind.	Ind.				Ind.	Ind.		V	590	590	s
693	1	OP	distal	Ind.	Ind.				Ind.	Ind.		V	590	590	s
702	2	OP	distal	Ind.	percussion				1	abrasion		V	589	589	s
794	1	OP	distal	poss 4	S+P				12	abrasion		IV			
825	1	OP	mésial	Ind.	Ind.				2	abrasion/raclage	0	VI	579	579	r
853	1	OP	distal	Ind.	Ind.				Ind.	Ind.		V	588	588	r

864	1	OP	Ind.	distal	Ind.	percussion							12	abrasion		V	554	554	xm
864	2	OP	Ind.	distal	Ind.	percussion							1	abrasion/raclage		V	570	578	x
880	1	OP	Ind.	distal	Ind.	Ind.							1	abrasion		VI	578	570	x
886	1	OP	Ind.	distal	Ind.	percussion							1	abrasion		III			
N°		Catégorie	Type	Fragment	Proc. Déc.	Technique	TT	Forage	For. Sym.	Etendue faç.	Technique	degré transf.	Niveau	Locus 2	Locus 1	Dépôt			
924	1	OP	Ind.	distal	Ind.	percussion				Ind.	Ind.		II						
296	1	OP	IV.A	entier	Ind.	percussion				12	abrasion	3	V	592	592	s			
489	1	OP	IV.A	distal	Ind.	S+P				12	abrasion	3	VI	585	585	r			
535	1	OP	IV.A	entier	Ind.	Ind.				12	abrasion	3	V	530	530	s			
543	2	Hameçon	V.A	entier	Ind.	Ind.				2	abrasion	3	V	526	526	s			
710	1	Hameçon	V.A	proximal	Ind.	Ind.				3	abrasion	3	VI	585	585	r			
461	4	Hameçon	V.B	entier	Ind.	sciage				12	abrasion	3	VI	528	528	s			
705	1	Hameçon	V.B	mésial	Ind.	Ind.				2	abrasion	3	III	502	502	cu			
740	1	Hameçon	V.B	entier	Ind.	Ind.				123	abrasion	3	III						
754	1	Hameçon	V.B	ind	Ind.	Ind.				Ind.	Ind.	3	V	599	599	s			
759	1	Hameçon	V.B	mésial	Ind.	Ind.				2	abrasion	3	VI	585	585	r			
927	1	Hameçon	V.B	proximal	Ind.	Ind.				2	abrasion	3	HS						
243	1	OP	IV.B	mésial	Ind.	Ind.				Ind.	Ind.	1	IV	605	605	s			
478	2	OP	IV.B	proximal	Ind.	percussion				3	abrasion	1	V	517	517	s			
509	2	OP	IV.B	mésial	Ind.	percussion				Ind.	Ind.	1	V						
518	2	OP	IV.B	distal	Ind.	percussion				Ind.	Ind.	1	VI	528	528	s			
535	2	OP	IV.B	distal	Ind.	percussion				Ind.	Ind.	1	V	530	530	s			
558	2	OP	IV.B	subentier	Ind.	percussion				1	abrasion	1	V	N	607	s			
558	3	OP	IV.B	distal	Ind.	percussion				1	abrasion	1	V	N	607	s			
579	1	OP	IV.B	entier	Ind.	percussion				1	abrasion	1	V	537	537	s			
656	1	OP	IV.B	distal	Ind.	percussion				Ind.	Ind.	1	surf						
713	1	OP	IV.B	distal	Ind.	percussion				Ind.	Ind.	1	V	621	621	r			
727	3	OP	IV.B	distal	Ind.	Ind.				Ind.	Ind.	1	IV						
728	2	OP	IV.B	distal	Ind.	percussion				1	abrasion	1	IV						
811	1	OP	IV.B	distal	Ind.	percussion				Ind.	Ind.	1	II	560	560	s			
826	2	OP	IV.B	distal	Ind.	percussion				Ind.	Ind.	1	II	609	609	s			
900	1	OP	IV.B	distal	Ind.	percussion				Ind.	Ind.	1	II	627	627	s			
903	2	OP	IV.B	mésial	Ind.	Ind.				Ind.	Ind.	1	II	610	610	s			
115	1	Aiguille	VI	mésial	Ind.	percussion				Ind.	Ind.	1	HS						
487	1	OT	Ind.	distal	Ind.	Ind.				12	abrasion		V	530	530	r			
691	1	OT	Ind.	distal	Ind.	Ind.				Ind.	Ind.		V	590	590	s			
864	3	OT	VII	distal	Ind.	S+P				2	abrasion	3	V	554	554	xm			

679	1	OT	VIII	entier	2	poss P	TT	Forage	For.	Etendue	Technique	degré transf.	Niveau	Locus 2 1	Locus 1	s
558	1	OT	IX	entier	Ind.	Ind.				12	abrasion	2	surf	N	607	s
758	1	Aiguille	VI	mésial	Ind.	Ind.				123	abrasion/raclage	3	V	584	584	r
780	1	Aiguille	VI	distal	Ind.	Ind.				2	abrasion	3	VI	554	554	r
N°		Catégorie	Type	Fragment	Proc. Déc.	Technique	TT	Forage	For. Sym.	For.	Technique	degré transf.	Niveau	Locus 2 1	Locus 1	Dépôt
540	1	Divers	Ind.	proximal	Ind.	Ind.				23	abrasion		V	588	588	s
565	2	Divers	Ind.	ind	Ind.	sciage					abrasion	2	V	SE		s
722	1	Divers	X.A.3	entier	Ind.	Ind.				Ind.	Ind.	2	VI	585	585	r
498	1	Divers	X.B	ind	Ind.	S+P				Ind.	Ind.	2	V	530	530	r
511	1	Divers	X.B	ind	Ind.	Ind.				Ind.	Ind.	1	IV	607	N	r
528	1	Divers	X.B	entier	Ind.	S+P	oui			Ind.	Ind.	1	VI	586	586	s
539	3	Divers	X.B	mésial	Ind.	sciage				Ind.	Ind.	1	V	530	530	s
573	1	Divers	X.B	ind	Ind.	Ind.				Ind.	Ind.	1	V	589	550	ba
607	1	Divers	X.B	ind	Ind.	Ind.				Ind.	Ind.	1	III	502	502	s
624	1	Divers	X.B	ind	Ind.	S+P				Ind.	Ind.	1	IV			
631	1	Divers	X.B	entier	Ind.	Ind.				Ind.	Ind.	1	V	590	590	
660	4	Divers	X.B	ind	Ind.	Ind.				Ind.	Ind.	1	V	624	624	s
749	1	Divers	X.B	ind	Ind.	S+P				Ind.	Ind.	1	II			
778	1	Divers	X.B	entier	Ind.	S+P				Ind.	Ind.	1	VI	584	584	s
806	1	Divers	X.B	ind	Ind.	S+P				Ind.	Ind.	1	V	588	588	r
874	1	Divers	X.B	ind	Ind.	S+P				Ind.	Ind.	1	II	567	567	s
896	1	Divers	X.B	entier	Ind.	Ind.				Ind.	Ind.	1	V	588	588	r
555	1	frag. O		ind	Ind.	Ind.				Ind.	Ind.	0	V			r
660	1	frag. O		ind	Ind.	Ind.				Ind.	abrasion	2	V	624	624	s
660	2	frag. O		ind	Ind.	Ind.				Ind.	Ind.	2	V	624	624	s
728	1	frag. O		ind	Ind.	percussion					abrasion	2	IV			
509	1	frag. O		entier	Ind.	Ind.	oui		oui	2	abrasion	2	V			s
872	1	frag. O		proximal	Ind.	Ind.				23	abrasion	2	II			cu
689	1	frag. O		proximal	2	Poss S				Ind.	Ind.	2	surf			
699	1	frag. O		proximal	2	Ind.				Ind.	Ind.	2	V			r
890	1	frag. O		proximal	2	Ind.				Ind.	Ind.	2	II			r
121	1	frag. O		mésial	Ind.	percussion				2	abrasion	3	HS			
152	1	frag. O		mésial	Ind.	percussion				2	abrasion	3	HS			
509	3	frag. O		proximal	Ind.	percussion				23	abrasion	3	V			s
535	3	frag. O		mésial	2	Ind.				2	abrasion	3	V	530	530	s
539	2	frag. O		mésial	Ind.	Ind.				2	abrasion	3	V	530	530	s
543	4	frag. O		mésial	Ind.	Ind.				2	abrasion	3	V	526	526	s

